



UNIVERSIDAD ESTATAL PENÍNSULA

DE SANTA ELENA

FACULTAD DE CIENCIAS AGRARIAS

ESCUELA DE AGROPECUARIA

**“EVALUACIÓN *in vitro* e *in vivo* DE ELICITORES DE CRECIMIENTO
SOBRE ESPECIES HORTÍCOLAS BAJO CONDICIONES DE
SALINIDAD”**

TRABAJO DE GRADUACIÓN

Previo a la obtención del título de:

INGENIERO AGROPECUARIO

DARWIN OMAR LAINEZ GONZÁLEZ

LA LIBERTAD-ECUADOR

2015

**UNIVERSIDAD ESTATAL PENÍNSULA
DE SANTA ELENA**

FACULTAD DE CIENCIAS AGRARIAS

ESCUELA DE AGROPECUARIA

**“EVALUACIÓN *in vitro e in vivo* DE ELICITORES DE CRECIMIENTO
SOBRE ESPECIES HORTÍCOLAS BAJO CONDICIONES DE
SALINIDAD”**

TRABAJO DE GRADUACIÓN

Previo a la obtención del título de:

INGENIERO AGROPECUARIO

DARWIN OMAR LAINEZ GONZÁLEZ

LA LIBERTAD-ECUADOR

2015

TRIBUNAL DE GRADO

Ing. Antonio Mora Alcívar, M.Sc.
PRESIDENTE DEL TRIBUNAL

Ing. Andrés Drouet Candell.
DIRECTOR ESCUELA

Ing. Fernando Toro Avelino. Ph.D
PROFESOR TUTOR

Ing. Néstor Orrala Borbor M.Sc.
PROFESOR DEL ÁREA

Ab. Joe Espinoza Ayala. MSc.
SECRETARIO GENERAL- PROCURADOR

DEDICATORIA

A Segundo y María, mis padres; guías por el bien en todo momento de mi existencia.

A mis herman@s y demás familiares, mi gratitud eterna por su total apoyo.

AGRADECIMIENTOS

A lo largo del tiempo el ser humano conquista metas trazadas, gracias a la ayuda del ser supremo, DIOS; que nos da fortaleza y ganas de vivir el día a día; una de esas metas, fue mi formación académica, que no hubiese sido posible sin los Docentes y Directivos de la Facultad de Ciencias Agrarias- UPSE.

Al culminar mi trabajo de titulación, gratitud al tutor de mi proyecto final, que con sana paciencia y dedicación permitió su culminación, Dr. Femando Jair Toro Avelino; también a mis compañer@s de aula por su lealtad y camarería a lo largo de esta etapa formativa.

Al caminar en el final de esta etapa nos encontramos con seres que sin conocerte te muestran su apoyo; a los correctores del presente trabajo de titulación, Dr. Harry en parte estadística; a la técnica del laboratorio donde realicé la fase experimental, Sandra; y gracias Esther por la amistad brindada.

ÍNDICE GENERAL

	Pág.
1. INTRODUCCIÓN	1
1.1 Antecedentes	1
1.2 Justificación.....	2
1.3 Objetivos	3
1.3.1 Objetivo general	3
1.3.2 Objetivos específicos	3
1.4 Hipótesis.....	4
2. REVISIÓN DE LITERATURA.....	5
2.1 Importancia de las hortalizas.....	5
2.2 Estrés vegetal- salinidad.....	7
2.3 Elicitores	10
2.3.1 Ácido salicílico (AS).....	11
2.3.2 Ácido benzoico (AB)	14
2.3.3 Ácido ascórbico (A.As).....	16
2.3.4 Taurina (T)	18
3. MATERIALES Y MÉTODOS	20
3.1 Localización y descripción del lugar del ensayo.....	20
3.2 Materiales.....	20
3.2.1 Material vegetal.....	20
3.2.2 Material químico	21
3.2.3 Materiales del laboratorio	21
3.2.4 Materiales de campo	22
3.2.5 Equipos de laboratorio	22
3.2.6 Equipos de campo	23
3.3 Tratamiento y diseño experimental.....	23
3.3.1 Cultivo <i>in vitro</i>	23
3.3.2 Cultivo <i>in vivo</i>	25
3.4 Manejo del experimento.....	26
3.4.1 Cultivo <i>in vitro</i>	26
3.4.1.1 Desinfección del material del laboratorio	26
3.4.1.2 Preparación del medio MURASHIGE Y SKOOG, 1962 (MS).....	26
3.4.1.3 Preparación del medio de cultivo ms modificado	28
3.4.1.4 Preparación de los medios de tratamiento-salinidad.....	28
3.4.1.5 Preparación de los medios de tratamiento-elicitor.....	29

a) Tratamiento ácido salicílico	29
b) Tratamiento ácido benzoico.....	30
c) Tratamiento ácido ascórbico	30
d) Tratamiento taurina.....	30
3.4.1.6 Control de CE, ajuste de pH y agregado de gelrite.....	31
3.4.1.7 Disolución del gelificante	31
3.4.1.8 Repartición de medio	31
3.4.1.9 Esterilización del medio y material a utilizar.....	32
3.4.1.10 Desinfección de semillas.....	32
3.4.1.11 Siembra de semillas <i>in vitro</i>	33
3.4.1.12 Toma de datos experimentales <i>in vitro</i>	33
3.4.2 Cultivo <i>in vivo</i>	33
3.4.2.1 Preparación de sustrato	33
3.4.2.2 Preparación de tratamiento.....	34
3.4.2.3 Preparación de semillas.....	34
3.4.2.4 Siembra <i>in vivo</i>	34
3.4.2.5 Riego	35
3.4.2.6 Aplicación de tratamientos.....	35
3.4.2.7 Control de conductividad eléctrica.....	35
3.4.2.8 Toma de datos experimentales <i>in vivo</i>	35
3.5 Variables experimentales	35
3.5.1 Germinación.....	35
3.5.2 Longitud del tallo	36
3.5.3 Longitud de la raíz	36
3.5.4 Número de hojas	36
3.5.5 Medición de las clorofilas	36
3.5.6 Medición del área foliar	37
3.5.7 Pesos fresco y seco de hojas.....	37
3.5.8 Pesos fresco y seco del tallo.....	37
3.5.9 Pesos fresco y seco de las raíces	38
3.5.10 Longitud de hoja de la cebolla	38
3.5.11 Diámetro del bulbo de la cebolla	38
3.5.12 Pesos fresco y seco del bulbo de la cebolla.....	38
4. RESULTADOS Y DISCUSIÓN	39
4.1 Resultados	39
4.1.1 Efecto del ácido salicílico en el crecimiento y desarrollo de especies hortícolas cultivadas <i>in vitro</i> en 2,5, 5 y 7,5 mS de salinidad	39
4.1.1.1 Germinación.....	39
4.1.1.2 Longitud del tallo	42
4.1.1.3 Longitud de las raíces.....	45
4.1.1.4 Número de hojas	47
4.1.1.5 Longitud de hoja en cebolla	50
4.1.1.7 Clorofilas.....	51
4.1.1.8 Área foliar	52

4.1.1.9 Pesos fresco y seco de hojas.....	53
4.1.1.10 Pesos fresco y seco del tallo.....	55
4.1.1.11 Pesos fresco y seco de las raíces	56
4.1.1.12 Diámetro del bulbo de la cebolla	57
4.1.1.13 Pesos fresco y seco del bulbo de la cebolla.....	58
4.1.2 Efecto del ácido salicílico en el crecimiento y desarrollo de tomate, berenjena y rábano cultivadas <i>in vivo</i> en 0, 2,5 y 5 mS de salinidad.....	58
4.1.2.1. Germinación.....	58
4.1.2.2 Longitud del tallo	60
4.1.2.3 Longitud de las raíces.....	62
4.1.2.4 Número de hojas	63
4.1.2.5 Clorofilas.....	65
4.1.2.6 Área foliar	66
4.1.2.7 Pesos fresco y seco de hojas.....	67
4.1.2.8 Pesos frescos y seco del tallo	68
4.1.2.9 Pesos fresco y seco de las raíces	70
4.1.3 Efecto del ácido benzoico (AB) en el crecimiento y desarrollo de tomate y berenjena cultivadas <i>in vitro</i> en 2,5, 5 y 7,5 mS de salinidad.....	72
4.1.3.1 Germinación.....	72
4.1.3.2 Longitud del tallo	74
4.1.3.3 Longitud de las raíces.....	75
4.1.3.4 Número de hojas	76
4.1.3.5 Clorofilas.....	77
4.1.3.6 Área foliar	78
4.1.3.7 Pesos fresco y seco de hojas.....	79
4.1.3.8 Pesos fresco y seco del tallo.....	80
4.1.3.9 Pesos fresco y seco de las raíces	80
4.1.4 Efecto del ácido benzoico (AB) en el crecimiento y desarrollo de especies hortícolas cultivadas <i>in vivo</i> en 0, 2,5 y 5 mS de salinidad.....	82
4.1.4.1 Germinación.....	82
4.1.4.2 Longitud del tallo	83
4.1.4.3 Longitud de las raíces.....	85
4.1.4.4 Número de hojas	86
4.1.4.5 Clorofilas.....	88
4.1.4.6 Área foliar	90
4.1.4.7 Pesos fresco y seco de hojas.....	91
4.1.4.8. Pesos fresco y seco del tallo.....	93
4.1.4.9 Pesos fresco y seco de las raíces	95
4.1.5 Efecto del ácido ascórbico en el crecimiento y desarrollo de tomate y berenjena cultivadas <i>in vitro</i> en 2,5, 5 y 7,5 mS de salinidad.....	97
4.1.5.1 Germinación.....	97
4.1.5.2 Longitud del tallo	98
4.1.5.3 Longitud de las raíces.....	100

4.1.5.4	Número de hojas	102
4.1.5.5	Clorofilas.....	103
4.1.5.6	Área foliar	104
4.1.5.7	Pesos fresco y seco de hojas.....	104
4.1.5.8	Pesos fresco y seco del tallo.....	106
4.1.5.9	Pesos fresco y seco de las raíces	107
4.1.6	Efecto del ácido ascórbico en el crecimiento y desarrollo de tomate, berenjena y rábano cultivadas <i>in vivo</i> en 0, 2,5 y 5 mS de salinidad.....	108
4.1.6.1	Germinación.....	109
4.1.6.2	Longitud del tallo	110
4.1.6.3	Longitud de las raíces.....	111
4.1.6.4	Número de hojas	112
4.1.6.5	Clorofilas.....	114
4.1.6.6	Área foliar	115
4.1.6.7	Pesos fresco y seco de hojas.....	116
4.1.6.8	Pesos fresco y seco del tallo.....	117
4.1.6.9	Pesos fresco y seco de las raíces	118
4.1.7	Efecto de la taurina en el crecimiento y desarrollo de tomate y berenjena cultivadas <i>in vitro</i> en 2,5, 5 y 7,5 mS de salinidad	119
4.1.7.1	Germinación.....	119
4.1.7.2	Longitud del tallo	121
4.1.7.3	Longitud de las raíces.....	123
4.1.7.4	Número de hojas	124
4.1.7.5	Clorofilas.....	126
4.1.7.6	Área foliar	127
4.1.7.7	Pesos fresco y seco de hojas.....	127
4.1.7.8	Pesos fresco y seco del tallo.....	129
4.1.7.9	Pesos fresco y seco de las raíces	130
4.1.8	Efecto de la taurina en el crecimiento y desarrollo de especies hortícolas cultivadas <i>in vivo</i> en 0, 2,5 y 5 mS de salinidad	131
4.1.8.1	Germinación.....	131
4.1.8.2	Longitud del tallo	133
4.1.8.3	Longitud de las raíces.....	134
4.1.8.4	Número de hojas	135
4.1.8.5	Clorofilas.....	136
4.1.8.6	Área foliar	137
4.1.8.7	Pesos fresco y seco de hojas.....	138
4.1.8.8	Pesos fresco y seco del tallo.....	139
4.1.8.9	Pesos fresco y seco de las raíces	140
4.2	Discusión.....	95
4.2.1	Discusión del efecto del ácido salicílico en el crecimiento y desarrollo de especies hortícolas cultivadas <i>in vitro</i> e <i>in vivo</i> sometidas en condiciones de salinidad	141

4.2.2	Discusión del efecto del ácido benzoico en el crecimiento y desarrollo de especies hortícolas cultivadas <i>in vitro</i> e <i>in vivo</i> en condiciones de salinidad	145
4.2.3	Discusión del efecto del ácido ascórbico en el crecimiento y desarrollo de especies hortícolas cultivadas <i>in vitro</i> e <i>in vivo</i> sometidas en condiciones de salinidad	147
4.2.4	Discusión del efecto de la taurina en el crecimiento y desarrollo de especies hortícolas <i>in vitro</i> e <i>in vivo</i> sometidas en condiciones de salinidad.....	149
	CONCLUSIONES Y RECOMENDACIONES.....	152
	Conclusiones	152
	Recomendaciones.....	153
	BIBLIOGRAFÍA	154

ÍNDICE DE TABLAS

Tabla 1. Pérdida porcentual del rendimiento de los cultivos, según la ECe (dS.m ⁻¹) del suelo.....	9
Tabla 2. Especies, cultivar y descripción de los materiales vegetales utilizados en los ensayos.....	21
Tabla 3. Descripción de salinidad, tratamiento y concentraciones del ensayo <i>in vitro</i>	24
Tabla 4. Grados de libertad del experimento <i>in vitro</i>	25
Tabla 5. Descripción de salinidad, tratamiento y concentraciones del ensayo <i>in vivo</i>	25
Tabla 6. Grados de libertad del experimento <i>in vivo</i>	26
Tabla 7. Composición del medio MURASHIGE Y SKOOG (MS)	27
Tabla 8. Soluciones madres empleadas para preparar el medio MS.....	27
Tabla 9. Preparación de 1 litro de medio MS al 50 % con 1,5 % de sacarosa.....	28
Tabla 10. Cantidad de NaCl requerida para obtener CE, en un litro de medio MS al 50 % con 1,5 % de sacarosa	29
Tabla 11. Concentraciones de AS para el experimento <i>in vitro</i>	29
Tabla 12. Volumen de la solución madre de as disuelto en ETOH aplicado para obtener 250 ml del medio de cultivo de tratamiento para las tres concentraciones de AS.....	29
Tabla 13. Concentraciones de AB para el experimento <i>in vitro</i>	30
Tabla 14. Concentraciones de Ácido Ascórbico para el experimento <i>in vitro</i>	30
Tabla 15. Concentraciones de taurina para el experimento <i>in vitro</i>	31
Tabla 16. Cantidad de NaCl requerida para obtener CE de estudio, en un litro de agua.....	33
Tabla 17. Tratamiento del ensayo <i>in vivo</i>	34
Tabla 18. Efecto del AS, sobre la germinación <i>in vitro</i> del cultivo de tomate	40
Tabla 19. Efecto del AS, sobre la germinación <i>in vitro</i> del cultivo de berenjena. 40	
Tabla 20. Efecto del AS, sobre la germinación <i>in vitro</i> del cultivo de rábano	41
Tabla 21. Efecto del AS, en la longitud del tallo de tomate, <i>in vitro</i>	43

Tabla 22. Efecto del AS, en la longitud del tallo de la berenjena, <i>in vitro</i>	44
Tabla 23. Efecto del AS, en la longitud del tallo de rábano, <i>in vitro</i>	44
Tabla 24. Efecto del AS, en la longitud de las raíces de tomate, <i>in vitro</i>	45
Tabla 25. Efecto del AS, en la longitud de las raíces de la berenjena, <i>in vitro</i>	46
Tabla 26. Efecto del AS, en la longitud de las raíces del rábano, <i>in vitro</i>	47
Tabla 27. Efecto del AS sobre la longitud de las raíces en el cultivo de la cebolla, <i>in vitro</i>	47
Tabla 28. Efecto del AS, sobre el número de hojas en el cultivo de tomate, <i>in vitro</i>	48
Tabla 29. Efecto del AS, en el número de hojas en el cultivo de berenjena, <i>in vitro</i>	49
Tabla 30. Efecto del AS, en el número de hojas en el cultivo de rábano, <i>in vitro</i>	49
Tabla 31. Efecto del AS sobre el número de hojas en el cultivo de cebolla, <i>in vitro</i>	50
Tabla 32. Efecto del AS sobre la longitud de hojas en el cultivo de cebolla, <i>in vitro</i>	51
Tabla 33. Variación de las clorofilas en diferentes especies por efecto del AS, <i>in vitro</i>	51
Tabla 34. Clorofilas en hojas de cebolla, bajo efecto del AS, <i>in vitro</i>	52
Tabla 35. Variación del área foliar en diferentes especies por efecto de concentraciones del AS, <i>in vitro</i>	53
Tabla 36. Variación del área foliar del cultivo de cebolla por efecto de concentraciones del AS, <i>in vitro</i>	53
Tabla 37. Pesos fresco y seco de hojas de tomate, berenjena y rábano, bajo efecto del AS, <i>in vitro</i>	54
Tabla 38. Pesos fresco y seco de hojas en cebolla bajo efecto del AS, <i>in vitro</i>	54
Tabla 39. Efecto del AS, sobre los pesos fresco y seco del tallo en tomate y rábano, <i>in vitro</i>	55
Tabla 40. Efecto del AS, en pesos fresco y seco del tallo del cultivo de berenjena, <i>in vitro</i>	56

Tabla 41. Efecto del AS, sobre los pesos fresco y seco de raíces de diferente especies, <i>in vitro</i>	57
Tabla 42. Pesos fresco y seco del sistema radical de la cebolla <i>in vitro</i> , bajo acción del AS	57
Tabla 43. Efecto del AS sobre el diámetro del bulbo de la cebolla, <i>in vitro</i>	57
Tabla 44. Pesos fresco y seco del bulbo de la cebolla, bajo acción del AS <i>in vitro</i>	58
Tabla 45. Efecto de la germinación del cultivo de tomate, <i>in vivo</i> por acción del AS	59
Tabla 46. Efecto de la germinación del cultivo de berenjena, <i>in vivo</i> por acción del AS	59
Tabla 47. Efecto de la germinación del cultivo de rábano, <i>in vivo</i> por acción del AS	60
Tabla 48. Efecto del AS en la longitud del tallo del cultivo de tomate, <i>in vivo</i>	60
Tabla 49. Efecto del AS, en la longitud del tallo del cultivo de la berenjena, <i>in vivo</i>	61
Tabla 50. Efecto del AS, en la longitud del tallo del cultivo de rábano, <i>in vivo</i> ...	62
Tabla 51. Efecto del AS en la longitud de las raíces en tomate, berenjena y rábano <i>in vivo</i>	63
Tabla 52. Efecto del AS en el número de hojas de tomate y rábano, <i>in vivo</i>	64
Tabla 53. Efecto del AS en el número de hojas en el cultivo de berenjena, <i>in vivo</i>	65
Tabla 54. Niveles de las clorofilas en hojas de tomate por efecto del AS, <i>in vivo</i>	65
Tabla 55. Variación de las clorofilas en berenjena y rábano por efecto del AS, <i>in vivo</i>	66
Tabla 56. Variación de área foliar en diferentes especies por efecto del AS, <i>in vivo</i>	67
Tabla 57. Efecto del AS sobre los pesos fresco y seco de hoja en tomate, <i>in vivo</i>	68
Tabla 58. Efecto del AS sobre los pesos fresco y seco de hojas en la berenjena y rábano, <i>in vivo</i>	68

Tabla 59. Efecto del AS sobre los pesos fresco y seco del tallo en tomate, <i>in vivo</i>	69
Tabla 60. Efecto del AS sobre los pesos fresco y seco del tallo en berenjena, <i>in vivo</i>	70
Tabla 61. Efecto del AS, sobre los pesos fresco y seco del tallo en rábano, <i>in vivo</i>	70
Tabla 62. Efecto del AS, sobre los pesos fresco y seco de las raíces en tomate, <i>in vivo</i>	71
Tabla 63. Efecto del AS, sobre los pesos fresco y seco de las raíces de berenjena, <i>in vivo</i>	71
Tabla 64. Efecto del AS, sobre los pesos fresco y seco de las raíces en especies hortícolas, <i>in vivo</i>	72
Tabla 65. Efecto del AB, sobre la germinación <i>in vitro</i> del cultivo de tomate.....	73
Tabla 66. Efecto del AB, sobre la germinación <i>in vitro</i> del cultivo de berenjena	73
Tabla 67. Efecto del AB, en la longitud del tallo del cultivo de tomate, <i>in vitro</i> .	74
Tabla 68. Efecto del AB, en la longitud del tallo del cultivo de berenjena, <i>in vitro</i>	75
Tabla 69. Efecto del AB, en la longitud de las raíces en el cultivo de tomate, <i>in vitro</i>	75
Tabla 70. Efecto del AB, en la longitud de las raíces del cultivo de berenjena, <i>in vitro</i>	76
Tabla 71. Efecto del AB, en el número de hojas en el cultivo de tomate, <i>in vitro</i>	77
Tabla 72. Efecto del AB, en el número de hojas en el cultivo de berenjena, <i>in vitro</i>	77
Tabla 73. Variación de las clorofilas en tomate y berenjena por efecto del AB, <i>in vitro</i>	78
Tabla 74. Variación del área foliar en tomate y berenjena, por efecto del AB, <i>in vitro</i>	78
Tabla 75. Efecto del AB en los pesos fresco y seco de hojas en tomate y berenjena, <i>in vitro</i>	79
Tabla 76. Pesos fresco y seco del tallo de tomate por efecto del AB, <i>in vitro</i>	80

Tabla 77. Pesos fresco y seco de tallo de berenjena por efecto del AB, <i>in vitro</i> ..	80
Tabla 78. Variación de los pesos fresco y seco de las raíces de Tomate por efecto del AB, <i>in vitro</i>	81
Tabla 79. Efecto del AB en los pesos fresco y seco de raíces de berenjena cultivadas <i>in vitro</i>	81
Tabla 80. Efecto del AB, sobre la germinación del cultivo de tomate, <i>in vivo</i>	82
Tabla 81. Efecto del AB, sobre la germinación del cultivo de berenjena, <i>in vivo</i>	83
Tabla 82. Efecto del AB, sobre la germinación del cultivo de rábano, <i>in vivo</i>	83
Tabla 83. Longitud del tallo del cultivo de tomate y berenjena bajo pulverización de AB, <i>in vivo</i>	84
Tabla 84. Longitud del tallo del cultivo de rábano, bajo pulverización de AB, <i>in vivo</i>	85
Tabla 85. Variación de longitud de las raíces de tomate, berenjena y rábano, bajo pulverización de concentraciones de AB, <i>in vivo</i>	86
Tabla 86. Números de hojas en el cultivo de tomate bajo acción del AB, <i>in vivo</i>	86
Tabla 87. Números de hojas en berenjena y en rábano, bajo acción del AB, <i>in vivo</i>	87
Tabla 88. Variación del contenido de las clorofilas en hojas de tomate, bajo efecto del AB, <i>in vivo</i>	88
Tabla 89. Variación del contenido de las clorofilas en hojas de tomate, bajo efecto del AB <i>in vivo</i>	89
Tabla 90. Variación del contenido de las clorofilas en hojas de rábano, bajo efecto del AB, <i>in vivo</i>	89
Tabla 91. Área foliar, bajo acción del AB en cultivo de tomate, <i>in vivo</i>	90
Tabla 92. Área foliar, bajo acción del AB en cultivo de berenjena, <i>in vivo</i>	90
Tabla 93. Área foliar, bajo acción del AB en cultivo de rábano, <i>in vivo</i>	91
Tabla 94. Pesos seco y fresco de las hojas de tomate bajo efecto del AB, <i>in vivo</i>	92
Tabla 95. Pesos seco y fresco de las hojas de berenjena bajo efecto del AB, <i>in vivo</i>	92
Tabla 96. Pesos seco y fresco de las hojas de rábano bajo efecto del AB, <i>in vivo</i>	93
Tabla 97. Pesos seco y fresco del tallo del tomate bajo efecto del AB, <i>in vivo</i>	93

Tabla 98. Pesos seco y fresco del tallo de la berenjena bajo efecto del AB, <i>in vivo</i>	94
Tabla 99. Pesos seco y fresco del tallo de la berenjena bajo efecto del AB, <i>in vivo</i>	95
Tabla 100. Pesos seco y fresco del sistema radical del tomate bajo efecto del AB, <i>in vivo</i>	95
Tabla 101. Pesos seco y fresco del sistema radical de la berenjena bajo efecto del AB, <i>in vivo</i>	96
Tabla 102. Pesos seco y fresco del sistema radical del rábano bajo efecto del AB, <i>in vivo</i>	96
Tabla 103. Efecto del A.As, sobre la germinación <i>in vitro</i> del cultivo de tomate	97
Tabla 104. Efecto del A.As, sobre la germinación <i>in vitro</i> del cultivo de berenjena	98
Tabla 105. Efecto del A.As, en la longitud del tallo del cultivo de tomate, <i>in vitro</i>	99
Tabla 106. Efecto del A.As, en la longitud del tallo del cultivo de berenjena, <i>in vitro</i>	100
Tabla 107. Efecto del A.As, en la longitud de las raíces del cultivo de tomate, <i>in vitro</i>	101
Tabla 108. Efecto del A.As, en la longitud de las raíces del cultivo de berenjena, <i>in vitro</i>	102
Tabla 109. Efecto del A.As, en el número de hojas en el cultivo de tomate, <i>in vitro</i>	102
Tabla 110. Efecto del A.As, en el número de hojas en el cultivo de berenjena, <i>in vitro</i>	103
Tabla 111. Variación de las clorofilas en tomate y berenjena por efecto del A.As, <i>in vitro</i>	104
Tabla 112. Variación del Área foliar en tomate y berenjena por efecto del AS, <i>in vitro</i>	104
Tabla 113. Efecto del A.As en los pesos fresco y seco de hojas de tomate, <i>in vitro</i>	105

Tabla 114. Efecto del A.As, en pesos fresco y seco de hojas en berenjena, <i>in vitro</i>	106
Tabla 115. Efecto del A.As, en pesos fresco y seco del tallo en tomate <i>in vitro</i>	106
Tabla 116. Efecto del A.As, en pesos fresco y seco del tallo en berenjena, <i>in vitro</i>	107
Tabla 117. Efecto del A.As, sobre pesos fresco y seco de raíces de tomate <i>in vitro</i>	107
Tabla 118. Efecto del A.As, sobre pesos fresco y seco de raíces de berenjena, <i>in vitro</i>	108
Tabla 119. Efecto del A.As, en la germinación <i>in vivo</i> del cultivo de tomate....	109
Tabla 120. Efecto del A.As, en la germinación <i>in vitro</i> del cultivo de berenjena	109
Tabla 121. Efecto del A.As, en la germinación <i>in vitro</i> del cultivo de rábano ...	110
Tabla 122. Efecto del A.As, en la longitud del tallo en el cultivo de rábano, <i>in vivo</i>	111
Tabla 123. Efecto del A.As, en la longitud de las raíces en tomate, berenjena y rábano, <i>in vivo</i>	112
Tabla 124. Efecto del A.As, sobre el número de hojas de tomate, <i>in vivo</i>	113
Tabla 125. Efecto del A.As, sobre el número de hojas de berenjena, <i>in vivo</i>	113
Tabla 126. Efecto del A.As, sobre el número de hojas de rábano, <i>in vivo</i>	114
Tabla 127. Variación de las clorofilas en diferentes especies hortícolas, bajo acción del A.As, <i>in vivo</i>	115
Tabla 128. Variación del área foliar en diferentes especies hortícolas, bajo acción del A.As, <i>in vivo</i>	116
Tabla 129. Pesos fresco y seco de las hojas en diferentes especies hortícolas cultivado <i>in vivo</i> , bajo efecto del A.As.....	117
Tabla 130. Pesos frescos y secos de tallo en diferentes especies hortícolas cultivado <i>in vivo</i> , bajo efecto del A.As.....	118
Tabla 131. Pesos frescos y secos de las raíces en diferentes especies hortícolas cultivado <i>in vivo</i> , bajo efecto del A.As.....	119

Tabla 132. Efecto de la taurina, en la germinación <i>in vitro</i> del cultivo de tomate	120
Tabla 133. Efecto de la taurina sobre la germinación <i>in vitro</i> del cultivo de berenjena.....	121
Tabla 134. Efecto de la taurina, en la longitud del tallo del cultivo de tomate, <i>in vitro</i>	122
Tabla 135. Efecto de la taurina sobre la longitud del tallo del cultivo de berenjena, <i>in vitro</i>	123
Tabla 136. Efecto de la taurina, en la longitud de las raíces del cultivo de tomate, <i>in vitro</i>	124
Tabla 137. Efecto de la taurina en la longitud de las raíces del cultivo de berenjena, <i>in vitro</i>	124
Tabla 138. Efecto de la taurina en el número de las hojas del cultivo de tomate, <i>in vitro</i>	125
Tabla 139. Efecto de la taurina, en el número de hojas en el cultivo de berenjena, <i>in vitro</i>	126
Tabla 140. Variación de las clorofilas en tomate y berenjena por efecto de la taurina, <i>in vitro</i>	126
Tabla 141. Área foliar en diferentes especies por efecto de la taurina, <i>in vitro</i> ..	127
Tabla 142. Efecto de la taurina, en pesos fresco y seco de hojas en tomate y berenjena, <i>in vitro</i>	129
Tabla 143. Efecto de la taurina, en pesos fresco y seco del tallo en tomate y berenjena, <i>in vitro</i>	130
Tabla 144. Efecto de la taurina, sobre pesos fresco y seco de las raíces de tomate y berenjena, <i>in vitro</i>	131
Tabla 145. Germinación del cultivo de tomate, bajo acción de concentraciones de la taurina, <i>in vivo</i>	132
Tabla 146. Germinación del cultivo de berenjena, bajo acción de concentraciones de la taurina, <i>in vivo</i>	132
Tabla 147. Germinación del cultivo de rábano, bajo acción de concentraciones de la taurina, <i>in vivo</i>	133

Tabla 148. Efecto de la taurina sobre el desarrollo de la longitud del tallo en tomate, berenjena y rábano, <i>in vivo</i>	134
Tabla 149. Efecto de la taurina sobre el desarrollo de la longitud de las raíces en tomate, berenjena y rábano, <i>in vivo</i>	135
Tabla 150. Efecto de la taurina sobre el número de hojas en los cultivos de tomate, berenjena y rábano, <i>in vivo</i>	136
Tabla 151. Variación de las clorofilas en tomate, berenjena y rábano bajo efecto de la taurina <i>in vivo</i>	137
Tabla 152. Variación del área foliar de hojas de tomate, berenjena y rábano bajo acción de la taurina <i>in vivo</i>	138
Tabla 153. Variación de los pesos fresco y seco de hojas de tomate, berenjena y rábano cultivado <i>in vivo</i> bajo acción de la taurina.....	139
Tabla 154. Variación de los pesos fresco y seco del tallo de tomate, berenjena y rábano bajo efecto de la taurina <i>in vivo</i>	140
Tabla 155. Evaluación de los pesos fresco y seco del sistema radical de tomate, berenjena y rábano bajo efecto de la taurina <i>in vivo</i>	141

ÍNDICE DE ANEXOS

- Anexo 1. Análisis de la variancia Oneway ANOVA de las variables estudiadas por efecto del ácido salicílico en tomate cultivada *in vitro* en 2,5, 5 y 7,5 mS de salinidad.
- Anexo 2. Análisis de la variancia Oneway ANOVA de las variables estudiadas por efecto del ácido salicílico en berenjena cultivada *in vitro* en 2,5, 5 y 7,5 mS de salinidad.
- Anexo 3. Análisis de la variancia Oneway ANOVA de las variables estudiadas por efecto del ácido salicílico en rábano cultivada *in vitro* en 2,5, 5 y 7,5 mS de salinidad.
- Anexo 4. Análisis de la variancia Oneway ANOVA de las variables estudiadas por efecto del ácido salicílico en cebolla cultivada *in vitro* en 2,5, 5 y 7,5 mS de salinidad.
- Anexo 5. Análisis de la variancia Oneway ANOVA de las variables estudiadas por efecto del ácido salicílico en tomate cultivada *in vivo* en 0, 5 y 7,5 mS de salinidad.
- Anexo 6. Análisis de la variancia Oneway ANOVA de las variables estudiadas por efecto del ácido salicílico en berenjena cultivada *in vivo* en 2,5, 5 y 7,5 mS de salinidad.
- Anexo 7. Análisis de la variancia Oneway ANOVA de las variables estudiadas por efecto del Ácido salicílico en rábano cultivada *in vivo* en 0, 2,5 y 5 mS de salinidad.
- Anexo 8. Análisis de la variancia Oneway ANOVA de las variables estudiadas por efecto del ácido benzoico en tomate cultivada *in vitro* en 2,5, 5 y 7,5 mS de salinidad.
- Anexo 9. Análisis de la variancia Oneway ANOVA de las variables estudiadas por efecto del ácido benzoico en berenjena cultivada *in vitro* en 2,5, 5 y 7,5 mS de salinidad.
- Anexo 10. Análisis de la variancia Oneway ANOVA de las variables estudiadas por efecto del ácido benzoico en tomate cultivada *in vivo* en 0, 2,5 y 5 mS de salinidad.
- Anexo 11. Análisis de la variancia Oneway ANOVA de las variables estudiadas por efecto del ácido benzoico en berenjena cultivada *in vivo* en 0, 2,5 y 5 mS de salinidad.
- Anexo 12. Análisis de la variancia Oneway ANOVA de las variables estudiadas por efecto del ácido benzoico en rábano cultivada *in vivo* en 0, 2,5 y 5 mS de salinidad.
- Anexo 13. Análisis de la variancia Oneway ANOVA de las variables estudiadas por efecto del ácido ascórbico en tomate cultivada *in vitro* en 2,5, 5 y 7,5 mS de salinidad.

- Anexo 14. Análisis de la variancia Oneway ANOVA de las variables estudiadas por efecto del ácido ascórbico en berenjena cultivada *in vitro* en 2,5, 5 y 7,5 mS de salinidad.
- Anexo 15. Análisis de la variancia Oneway ANOVA de las variables estudiadas por efecto del ácido ascórbico en tomate cultivada *in vivo* en 0, 2,5 y 5 mS de salinidad.
- Anexo 16. Análisis de la variancia Oneway ANOVA de las variables estudiadas por efecto del ácido ascórbico en berenjena cultivada *in vivo* en 0, 2,5 y 5 mS de salinidad.
- Anexo 17. Análisis de la variancia Oneway ANOVA de las variables estudiadas por efecto del ácido ascórbico en rábano cultivada *in vivo in vivo* en 0, 2,5 y 5 mS de salinidad.
- Anexo 18. Análisis de la variancia Oneway ANOVA de las variables estudiadas por efecto de la taurina en tomate cultivada *in vitro* en 2,5, 5 y 7,5 mS de salinidad.
- Anexo 19. Análisis de la variancia Oneway ANOVA de las variables estudiadas por efecto de la taurina en berenjena cultivada *in vitro* en 2,5, 5 y 7,5 mS de salinidad.
- Anexo 20. Análisis de la variancia Oneway ANOVA de las variables estudiadas por efecto de la taurina en tomate cultivadas *in vivo* en 0, 5 y 7,5 mS de salinidad.
- Anexo 21. Análisis de la variancia Oneway ANOVA de las variables estudiadas por efecto de la taurina en berenjena cultivada *in vivo* en 0, 2,5 y 5 mS de salinidad.
- Anexo 22. Análisis de la variancia Oneway ANOVA de las variables estudiadas por efecto de la taurina en rábano cultivada *in vivo* en 0, 2,5 y 5 mS de salinidad.

Anexo 23. Figuras de actividades realizadas

Figura 1A. Desinfección del material de laboratorio

Figura 2A. Preparación de soluciones Stock

Figura 3A. Preparación de medio MS (MURASHIGE Y SKOOG, 1962)

Figura 4A. Control del pH del medio MS (MURASHIGE Y SKOOG, 1962)

Figura 5A. Repartición del medio MS.

Figura 6A. Siembra *in vitro*

Figura 7A. Control de conductividad eléctrica

Figura 8A. Cultivo en cámara desarrollo de explantos

Figura 9A. Control de desarrollo de los explantos

Figura 10A. Desarrollo de explantos de cebolla

Figura 11A. Llenado de bandejas germinadoras

Figura 12A. Plantas de berenjena cultivadas *in vivo*.

ABREVIATURAS

AS. Ácido salicílico

AB. Ácido benzoico

A.As. Ácido ascórbico

T. Taurina

MMS. Medio MURASHIGE Y SKOOG 1962

M. Unidad de medidas moles por litro

mM. Unidad de medida milimol por litro

CE. Conductividad eléctrica

mS. Unidad de medida mili Siemens

1. INTRODUCCIÓN

1.1 ANTECEDENTES

En el ámbito mundial de producción hortícola la papa (*Solanum tuberosum*) y el tomate (*Lycopersicon esculentum*) sobresalen al contribuir con un 40 % de la producción de hortalizas seguidas por lechuga, sandía y cebolla, siendo la hortaliza más comercializada en el 2010, el tomate (14,9 % del comercio mundial), luego pimiento (9,6 %), legumbres secas (9,3 %), cebollas, ajo y puerro (7,9 %), papa (7,6 %) y vegetales congelados (6,2 %) (FERRATO J. y MONDIDO C. 2011).

La producción hortícola en la Península de Santa Elena se ha impulsado a través de la mecanización, el uso de agroquímicos y fertilización, trayendo como consecuencia la destrucción de propiedades físicas y químicas de los suelos, y por ende un riesgo potencial la salinización (PROAÑO J. *et al*, 2003).

La salinidad es uno de los principales factores limitantes en la productividad de los cultivos agrícolas; la sensibilidad de los vegetales a este factor es un proceso complejo porque involucra una serie de cambios a nivel fisiológico, bioquímico y molecular (PALMA J, 2009); sin embargo, en las últimas décadas el mejoramiento vegetal y la utilización de principios activos (hormonas, elicitores y promotores de crecimiento) han ayudado a reducir los efectos adversos contra el estrés por salinidad en las especies hortícolas de interés para la producción de alimentos (ASHRAF M. y HARRIS P. 2004).

Las sustancias elicitoras en contacto con las células de las plantas incrementan la producción de pigmentos, flavenoides, phytoalexinas y otros compuestos relacionados con su sistema de defensa; en estos se encuentra varios principios químicos que en combinación o en concentración inapropiada pueden resultar un efecto nulo de elicitación (BARRERA. C. 2007).

El ácido salicílico (SA) es un compuesto fenólico, considerado como regulador endógeno en los mecanismos de defensa en las plantas contra factores biótico y abiótico (ERDAL S *et al* 2011); además, varias investigaciones demuestran que ejercen influencia en procesos de fotosíntesis, captación de iones, permeabilidad de la membrana, actividades enzimáticas, floración, crecimiento y desarrollo en la planta.

El ácido benzoico (AB) es precursor del ácido salicílico que al ser aplicado de manera exógena a las plantas promueve el crecimiento, tolerancia al estrés abiótico y modifica las estructuras anatómicas y morfológicas de las especies vegetales (MAGALLÓN E. *et al*, 2002).

La funcionalidad de la aplicación del ácido ascórbico (A.As) en las plantas ha recibido considerable atención por actuar en funciones bioquímicas, en la fotosíntesis y estrés de los vegetales; además, su posible participación en la división celular muestra aun su interés de estudio (LOEWUS. F., 1999).

La eficiencia fotoquímica, la permeabilidad relativa de la membrana, la peroxidación de lípidos de membrana y los índices de crecimiento en plántulas determinan el uso de la taurina en la agricultura. (HAO. L.H. *et al*, 2004).

En la Provincia de Santa Elena el uso de sustancias elicitoras en la agricultura muestran un gran interés para el desarrollo de la producción hortícola, considerándose que los suelos salinos y los factores ambientales tienen muchas incidencias en la producción de los cultivos agrícolas de la zona.

1.2 JUSTIFICACIÓN

La producción y consumo de hortalizas frescas a escala mundial cobra cada día mayor importancia, por el papel que desempeñan las verduras y legumbres en la dieta diaria familiar, debido a su riqueza en vitaminas, sales minerales y fibras; sin embargo su producción se ve afectada por un sinnúmero de factores adversos

que amenazan la sostenibilidad de la productividad de las hortalizas en la agricultura.

La salinidad es el segundo factor abiótico que limita la producción agrícola; no obstante, las plantas superiores han sido capaces de desarrollar una diversidad de mecanismos de defensa durante la evolución; cuyos mecanismos de respuestas de defensa son reguladas por la aplicación de moléculas activadoras o promotoras.

Existen algunos experimentos que plantean la inducción de tolerancia de los vegetales al estrés salino con la utilización de sustancias elicitoras; esto promueve el interés de estudio del efecto del ácido salicílico, ácido benzoico, ácido ascórbico y taurina en el desarrollo y crecimiento de especies hortícolas.

La presente investigación permitirá generar información sobre el efecto de la aplicación exógena de sustancias elicitoras en especies hortícolas cultivadas *in vitro* e *in vivo* en condiciones de salinidad; considerando la potencialidad agrícola de la Península de Santa Elena y sus riesgos de salinización de sus suelos cultivables.

1.3 OBJETIVOS

1.3.1 OBJETIVO GENERAL

Evaluar *in vitro* e *in vivo* los efectos de elicitores de crecimiento en especies hortícolas cultivadas bajo condiciones de salinidad.

1.3.2 OBJETIVOS ESPECÍFICOS

- Analizar el efecto del ácido salicílico en el crecimiento y desarrollo de especies hortícolas cultivadas *in vitro* e *in vivo* sometidas a estrés salino.
- Analizar el efecto del ácido benzoico en el crecimiento y desarrollo de especies hortícolas cultivadas *in vitro* e *in vivo* sometidas a estrés salino.
- Analizar el efecto ácido ascórbico en el crecimiento y desarrollo de especies hortícolas cultivadas *in vitro* e *in vivo* sometidas a estrés salino.

- Analizar el efecto de la taurina en el crecimiento y desarrollo de especies hortícolas cultivadas *in vitro* e *in vivo* sometidas a estrés salino
- Determinar la concentración óptima de los elicitores para potenciar el crecimiento y desarrollo de las especies hortícolas cultivadas *in vitro* e *in vivo*.

1.4 HIPÓTESIS

Los elicitores generan repuesta sobre el desarrollo y crecimiento vegetal bajo estrés por salinidad en especies hortícolas cultivadas *in vitro* e *in vivo*.

2. REVISIÓN DE LITERATURA

2.1 IMPORTANCIA DE LAS HORTALIZAS

TAPIA G. (2010) menciona que el tomate es la hortaliza de mayor valor económico y difusión en todo el mundo, considerada tanto por su alto contenido nutritivo; por su adaptabilidad a distintos pisos ecológicos y niveles de rendimiento.

El tomate (*Lycopersicon esculentum* Mill.) es miembro de la familia *Solanáceas* de género *Solanum* originaria de la franja costera del oeste de América del sur (BONET JJ. 2008); siendo en la actualidad es un cultivo de gran importancia económica para la investigación por la fisiología, bioquímica y genética molecular (KINET JM. y PEET MM. 2009).

El tomate es una planta dicotiledónea, se desarrolla entre temperatura de 18 y 30 °C es insensible al fotoperiodo en cuanto a estímulo del desarrollo vegetativo; la humedad relativa óptima está entre 70 al 80 % y su polinización es autógena. (GÁZQUEZ J. 2005); se adapta bien a climas templados; por el cual se puede sembrar en gran parte de la tierra, prefiriéndose aquellos ubicados en alturas entre los 100 y 1 500 msnm, este cultivo se siembra todo el año, pero los problemas cambian según la época, PÉREZ J. *et al* (2012)

El rábano (*Raphanus sativus* L.) es una planta de gran importancia por sus propiedades farmacéuticas y altos contenidos vitamínicos y de minerales (RAMÍREZ R. y PÉREZ M. 2006).

El cultivo de rábano es originarios de Asia, de nombre científico *Raphanus sativus*, perteneciente a la familia Crucíferas; dicha hortaliza se consume la raíz, en este cultivo se define dos ciclo; la primera es la fase vegetativa en la que se

desarrollan su follaje y sus raíces carnosas, en la etapa reproductiva es cuando se desarrollan las flores, frutos y las semillas (IICA. 2007).

CRIOLLO H. y GARCÍA J. (2009) describen que el rábano es una planta de raíz gruesa y carnosa, de tamaño y forma variable, piel de color rojo, rosado, blanco u oscuro, según la variedad; posee hojas basales, pecioladas, lámina lobulada con uno a tres pares de segmentos laterales con bordes dentados. Este cultivo según (MONTERO S. *et al* 2006) se desarrolla bien en climas medios y húmedos del trópico con una temperatura óptima de 18 a 22 °C; su ciclo productivo es corto y puede variar entre 20 y 70 días, según la variedad; se adapta a cualquier tipo de suelo pero los suelos profundos, arcillosos y neutros son los ideales.

MACUÁ I. *et al* (2008); sostienen que el cultivo de berenjena (*Solanum melongena* L.), perteneciente a la familia de las solanáceas, se cultiva en todo el mundo, principalmente en zonas tropicales, donde es una planta vivaz, y en el área mediterránea, como cultivo anual; su producción mundial se sitúa en torno a los 34 millones de toneladas.

La berenjena es originaria de las zonas tropicales y subtropicales asiáticas; pertenece a la familia *Solanáceas* su ciclo de cultivo es de 4 a 5 meses de cosecha, requiere un rango de temperatura oscila entre 22 a 30 °C, (CASACA D. 2005).

La berenjena necesita temperaturas comprendida entre los 23 y 25 °C. Por debajo de 13 °C se paraliza el desarrollo vegetativo; cuando la temperatura es menor de 0° C. se hiela el cultivo, no germina la semilla y si las temperaturas son menores de 15 °C o mayores de 35 °C; necesita bastante luminosidad, tanto para su desarrollo como para la floración y cuaje de los frutos (SERRANO Z. 2006).

La cebolla (*Allium cepa* L.), es una planta antigua que se originó en las regiones montañosas de Asia Central; su consumo está asociado con la reducción de lípidos en sangre y el colesterol, (ROTHMAN S. y DONDO G. 2008).

Este cultivo juega un papel importante, la temperatura en el desarrollo de las diferentes etapas del cultivo, desde la germinación (20 y 25 °C) hasta la inducción de la madurez fisiológica y comercial. Se debe destacar que este factor acelera o retrasa los procesos, incluso cuando la planta ha recibido el estímulo del fotoperiodo (SUBIABRE H. *et al.*, 2011).

El cultivo de cebolla, se adapta a todos los clima; sin embargo su producción está entre 3 000 y los 3 400 msnm, requiere un tipo de suelo que va desde franco a franco arcilloso, buena profundidad efectiva, con un contenido de materia orgánica de medio a alto y con un pH entre 6,0 y 7,0. (RAMÍREZ H. 2004).

2.2 ESTRÉS VEGETAL- SALINIDAD

Para NILSEN E. y ORCUTT D. (1996); el termino estrés en los vegetales se puede indicar simplemente al conjunto de condiciones que causan un cambio en los diferentes procesos fisiológicos de las plantas, causados por la diversidad de factores abióticos y biótico que por lo general provocan lesiones.

También se define estrés en las plantas al entorno provocado por un factor abiótico y biótico que puede reducir la tasa de algunos procesos fisiológicos (crecimiento o fotosíntesis), por debajo de la tasa máxima que la planta de otro modo puede sostener (LAMBERS H. *et al* 1998)

Sin embargo, BASURTO M. *et al* (2008), lo define como una desviación significativa a condiciones óptimas para la vida de las plantas. Dichas condiciones ocasionan cambios en todo los niveles funcionales de los vegetales.

Según VELARDE A. (2009) los estreses vegetales se divide en:

1. Estrés abiótico causado por radiación, deficiencia mineral, frio, calor, sequía, NaCl y choque osmótico.
2. Estrés biótico causado por patógenos (bacteria, hongos y virus) insectos, herbívoros y roedores.

Las plantas son organismos sensibles y están expuesto a constantes cambios ambientales, que por lo general se conoce como estrés abiótico; las causantes son sequía, la salinidad, temperaturas extremas, la toxicidad química y el estrés oxidativo; convirtiéndose en la principal causa de pérdida de producción de cultivos con más de un 50 % en todo el mundo (CIARMIELLO L. *et al*, 2011).

Según LAMZ A. y GONZÁLEZ M. (2013), el término salinidad se refiere a la presencia en el suelo de una elevada concentración de sales disueltas que perjudican al crecimiento y desarrollo de las plantas por su efecto tóxico y la disminución del potencial osmótico del suelo.

Los efectos perjudiciales de la salinidad en la agricultura sobre el crecimiento de plantas están asociados con bajo potencial osmótico de la solución del suelo (estrés hídrico), un desequilibrio nutricional, efecto de ion específico (estrés salino) o una combinación de estos factores. Todos estos causan efectos adversos sobre el crecimiento y desarrollo de la planta a niveles fisiológicos, bioquímicos y a nivel molecular (ASHRAF M. 2004)

La salinidad de los suelo afecta el crecimiento y desarrollo de plantas; se presenta como estrés osmótico, mediante la reducción del potencial hídrico del suelo que lleva a limitar la captación de agua y una absorción excesiva de iones en particular Na^+ y Cl^- interfiriendo en diversos procesos metabólicos (ABOGADALLAH G., 2010). Se estima un aumento de la salinización de los suelos, lo que resulta en la pérdida de la tierra cultivable hasta 30 % dentro de los próximos 25 años y hasta el 50 % para el año 2050 (WANG W. *et al*, 2003).

La salinidad afecta casi todos los aspectos de la fisiología y bioquímica de las plantas; reduce significativamente el rendimiento, pero existen algunos cultivares parcialmente tolerantes a la salinidad (CUARTERO J. *et al*, 2006), Estos efectos provocan un descenso en el crecimiento de las plantas, se vinculan a la citotoxicidad de iones (Na^+ , Cl^- , y SO_4^{+}) y al estrés osmótico, (CHINNUSAMY V. *et al*, 2005).

Los síntomas generales de los daños causados por el estrés salino son la inhibición del crecimiento, la senescencia y la muerte durante una exposición prolongada. La inhibición del crecimiento es la lesión primaria que conduce a otros síntomas aunque la muerte celular programada también puede ocurrir por severo choque de salinidad (JOUYBAN Z. 2012).

En tomate la salinidad afecta el nivel del porcentaje de germinación prolongando el tiempo en el cual las semillas llevan a cabo este proceso; a nivel de raíces, éstas alcanzan una menor longitud, los tallos alcanzan una menor altura, las hojas se reducen en número y presentan desecación en sus bordes, el número y peso de los frutos disminuye; sin embargo se ha detectado variabilidad en la respuesta a salinidad (ZUSHI K. 2009).

Según KOTUBY J. *et al* (2000), la salinidad es abreviada por CE (conductividad eléctrica) cuya unidad de medida es dS.m (dS.m=mS.cm); y a partir de 4 dS.m se ve restringido el crecimiento de los vegetales; en la tabla 1, se muestra en porcentaje el umbral óptimo del cultivo y su pérdida de rendimiento en salinidad del terreno (Tabla 1).

Tabla 1. Pérdida porcentual del rendimiento de los cultivos, según la ECe (dS.m⁻¹) del suelo

Cultivo	Valor umbral	Pérdida del rendimiento		
		10 %	25 %	50 %
		ECe (dS.m ⁻¹)		
Tomate	2,5	3,5	5,0	7,6
Cebolla	1,2	1,8	2,8	4,3
Rábano	1,2	2,0	3,0	8,0
Berenjena*	1,1	1,8	4,1	7,9

KOTUBY J. *et al* (2000) y *CHINNUSAMY V. *et al* (2005)

CHINNUSAMY V. *et al* (2005) manifiestan que el valor umbral de tolerancia de salinidad del suelo para el cultivo de *Solanum melogena* es de 1,1 dS.m⁻¹, pero si se incrementa un dS.m⁻¹ hay un porcentaje de pérdida 6,9; en tomate es de 9,9 % y en cebolla es de 16 %; cuyos valores umbrales y porcentaje de pérdida concuerdan con la tabla 1.

2.3 ELICITORES

JÜRGEN E. y COSIO E. (2008) indican que los compuestos de señales extracelulares están implicados en el desencadenamiento de las reacciones de defensa de los vegetales que se conocen como "elicitores" cuyo efecto es inducir toda una serie de respuestas de manera paralela o secuencial; estas respuestas de defensa de las plantas está en función de su origen pudiendo ser señales exógenas o endógenas.

Los elicitores son compuestos de ayuda a la defensa química en las plantas; según sus vías biosintéticas se activan en las plantas tratadas y va depender del compuesto utilizado. Los elicitores químicos comúnmente probados son el ácido salicílico, salicilato de metilo, benzotiadiazol, ácido benzoico, quitosano y aquellos que afectan a la producción de compuestos fenólicos y la activación de diversas enzimas relacionadas con la defensa en las plantas (MEENAKSHI T. y BALDEV S. 2013).

Los elicitores son compuestos que inician respuestas inducidas a la herbivoría cuando son aplicados al follaje o las raíces. Los elicitores son una forma práctica para inducir respuestas de la planta por tecnología de aspersión convencional (CAMARERA G. 2007).

En la actualidad, según RIVEROS A. (2001), la síntesis de phytoalexinas en las plantas se da por moléculas químicas activadoras que pueden estimular mecanismos de defensa o asociados con la respuesta de defensa vegetal; estas moléculas activadoras hacen referencia a un amplio ámbito de compuestos, los cuales pueden ser derivados a partir de patógenos, de plantas u otros microorganismos así como a partir de preparados biológicos de origen vegetal o de análogos producidos sintéticamente. Estas moléculas no son sustitutos de fungicidas, sin embargo son una alternativa de ayuda adicional dentro de una estrategia de manejo de plagas.

GARCÍAS M. y PÉREZ L. (2003) manifiestan que la base fisiológica y bioquímica de la resistencia de patógenos, hongos y bacterias; se encuentra relacionada con la biosíntesis de metabolitos implicados en el proceso infeccioso; esta expresión de cambios bioquímicos ocurre en las plantas después de una infección y algunos de estos se asocian con el mecanismos de defensa, produciendo sustancias llamadas phytoalexinas

2.3.1 ÁCIDO SALICÍLICO (AS)

El ácido salicílico (AS), según RASKIN I. (1992), fue aislado en 1828 por Johann Buchner, en pequeña cantidad de salicina en glucósido de alcohol salicílico, que fue el principal silicato; cuyo nombre proviene del árbol de sauce *Salix* y nombrado por Raffaele Piria en 1838 como AS; la primera producción comercial del sintético comenzó en Alemania en 1874; siendo el medicamento más vendido del mundo bajo el nombre comercial Aspirina presentado por la empresa Bayer.

CADET PE. (2011) afirma que el AS; es un ácido orgánico cristalino, sólido (que se derrite a 159C^0) que ha sido utilizado para hacer aspirina y otros productos farmacéuticos. La fórmula del AS es $\text{C}_6\text{H}_4(\text{OH})\text{COOH}$, donde el grupo OH es ortho al grupo carboxílico.

Según FOOD- INFO (2007), el ácido salicílico o ácido orto-hidroxi-y compuestos relacionados pertenecen a un grupo diverso de compuestos fenólicos de las plantas. Estos son compuestos con un anillo aromático que lleva un grupo hidroxilo o su funcional derivado. Es el mecanismo más importante para la formación de ácidos benzoicos en las plantas es la degradación de la cadena lateral de ácidos cinámicos, que son intermedios importantes en la ruta del ácido shikímico (RASKIN I., 1992).

LOSANKA P. *et al* (1997) señalan que desde el punto de vista químico el AS pertenece a un grupo de compuestos fenólicos de las plantas, que posee un anillo aromático con un grupo hidroxilo. Es moderadamente soluble en agua pero extremadamente soluble en solventes polares orgánicos. El pH de su solución acuosa

es de 2,8 a 2,9. El AS se ha caracterizado por estar en 36 plantas, de diferentes familias. Por ejemplo en arroz, soya y cebada, se ha encontrado niveles de AS aproximadamente de 1 $\mu\text{g}\cdot\text{g}^{-1}$ en material fresco.

HAYAT S. (2007) mencionan que el AS es un derivado fenólico, distribuido en una amplia gama de especies de plantas; producto natural del metabolismo de fenil propanoides. Se experimenta un metabolismo mediante la conjugación con glucosa a AS glucósido y un éster. El AS tiene una participación directa en la planta sobre el crecimiento, la termogénesis, la inducción floral y la absorción de los iones. Además afecta la biosíntesis del etileno y mejora el nivel de clorofila, pigmentos de carotenoides, tasa de fotosíntesis y la modificación de la actividad de importantes enzimas son otros roles asignados al AS.

SHIRASU K. *et al* (1997) demuestran que aplicando AS disminuye la susceptibilidad al daño por patógenos o estrés abiótico, estudiando en suspensiones de células de soja en la ausencia de un patógeno *Pseudomonas syringae pv glycinea*, con concentraciones de AS desde 10 a 100 μM ; siendo la potenciación de la señal con concentraciones de AS de 10 μM y la óptima a 50 μM , mientras que la inducción de SAR, y otras respuestas relacionadas con la defensa en el tejido foliar normalmente requiere la administración de la aplicación AS en concentraciones que van desde 0,5 a 5 mM.

AHMAD Z y AFTAB F. (2012) consideran que el AS es una molécula de señal, el cual reduce el daño oxidativo causado por la salinidad. Sus estudios sobre la tolerancia en papa a la salinidad con aplicaciones de AS a concentraciones 0, 0,125, 0,25, 0,50 y 0,75 mM y NaCl a 0 y 60 mM en un M. MS, muestran que las aplicaciones de 0,125 y 0,25 mM de AS incrementaron el crecimiento de las plantas, mientras que concentraciones mayores de AS 0,50 y 0,75 mM no hubo diferencias respecto al control.

SYEED S. *et al* (2011) demostraron que al pulverizar AS en concentraciones de 0,5 mM redujo los efectos negativos de NaCl 50 mM, pero en 1,0 mM de AS

resultó inhibitorio. Este estudio se realizó en dos variedades de mostaza una tolerante a sal y una sensible, concluyendo que la mayor tolerancia era debido a su baja contenido en la hoja de Na^+ y Cl^- , conteniendo los nutrientes más altos y su metabolismo antioxidante más eficaz.

REOLON F. *et al* (2013) observaron que los cambios fisiológicos de la semillas de maíz tratadas durante 60 minutos con AS y germinadas en sustrato húmedo con diferentes concentraciones de cloruro de sodio (0, 30, 90 y 180 mM); sostienen que el AS reduce al mínimo los daños inducidos por estrés salino en la germinación de las semillas; sin embargo, sin AS no fue capaz de mantener viabilidad de las semillas de más de 90 mM de NaCl.

JADHAV SH. y BHAMBURDEKAR SB. (2011) investigaron la influencia de concentraciones de ácido salicílico (0, 5, 10 y 25 ppm) en el rendimiento de la germinación de semillas en cultivares de Maní (W-55, W-44, TAG y el SB-11). Los cultivares de maní W-44, TAG y SB-11 mostraron germinación significativa por la aplicación de AS con referencia al control. En el cv. W-55 todas las concentraciones AS impuestas aumentaron la germinación, excepto 10 ppm AS particularmente después de 48 horas de germinación. El ácido salicílico en general con 50 ppm de concentración mostró una germinación significativa en todos los cultivares de maní, como efectos positivos en la raíz y crecimiento de los brotes en W-44, TAG y SB-11 cultivares, mientras que la tendencia opuesta se observó en W-55.

BENAVIDES MA. *et al* (2003) demostraron el efecto del AS en la actividad de catalasa y peroxidasa en frutos de tomate; mediante técnicas de aspersion a concentración de 0,1 mM; en las etapas de amarre, llenado y en la etapa 3 de la maduración; resultó que el ácido salicílico durante el amarre incrementó la actividad de catalasa y la actividad de la peroxidasa disminuyó significativamente en el amarre y llenado de fruto.

LARQUÉ SA. *et al* (2010) estudiaron la acción del AS mediante la técnica de aspersión a concentraciones de 1, 0,01 y 0,0001 μM y un testigo con agua; en plántulas de tomate, para estimar su efecto en el crecimiento de la raíz y del tallo; resultando que el tratamiento de 1 μM de AS, incrementó la longitud de la raíz en un 43 %, 14,8 % el tamaño del tallo y 38,6 % el área foliar en comparación con el control.

VÁZQUEZ M. (2012) concluyó que el desarrollo vegetativo de tomate no tiene efecto significativo al aplicar concentraciones de 0,01, 0,1 y 1 mM de AS; sin embargo produce mayor número de frutos, racimos florales y un fenómeno de aclimatación de las plantas en condiciones de invernadero con concentraciones de 550 y 1100 ppm de CO_2 en las últimas semanas con relación al control. El contenido de clorofila mostró ser sensible a los incrementos de AS, aunque en las diez primeras semanas a concentración con 0,01 mM aumentó los niveles de contenido de clorofila.

SAYYARI M. (2012) señala que el ácido salicílico induce respuestas de defensa y aumento de la tolerancia al estrés por enfriamiento; aplicó diferentes concentraciones 0, 0,5, 1 y 1,5 mM, mediante la imbibición de semillas de pepino, obteniendo en concentraciones de 0,5 y 1 mM de AS mejor protección al estrés por enfriamiento y aumento en el crecimiento de las plántulas.

2.3.2 ÁCIDO BENZOICO (AB)

ANJUM SA. *et al* (2013) detallan que aplicar de manera exógena AB en el cultivo de soya a concentración de 0,5 mM ayuda a mejorar la fotosíntesis neta en un 11,54 % y el contenido de clorofila a 6,57 %; además mejora la altura de planta, diámetro de vaina, rendimiento biológico, rendimiento de grano y el índice de cosecha en plantas de soya sometidas a estrés hídrico.

RAMÍREZ H. *et al* (2006) investigaron en col, coliflor y brócoli a condiciones de invernadero el efecto del ácido benzoico a concentración de 10^{-6} M, obteniendo que la altura de la planta y longitud de la raíz no se vieron afectados en ninguna

de las verduras probadas, sin embargo, el número de la hoja y peso fresco de raíz se incrementaron en la col. Este parámetro se redujo en la coliflor, mientras que el brócoli y la col no mostraron diferencias significativas. El peso seco incrementó con el tratamiento en col.

SENARATNA T. *et al* (2003) mencionan que el ácido benzoico es un regulador en la inducción de tolerancia al estrés por calor, frío y sequía en frijol (*Phaseolus vulgaris* cv Marrón Belleza) y tomate (*Lycopersicum esculentum* cv Romano); pre-trataron las semillas con AB a concentraciones de 0, 0,05, 0,1, 0,25, 0,5 y 1 mM; resultando como óptimas las concentraciones de 0,1y 0,25 mM de AB con un 100 % de supervivencia de las plantas en estudios; la concentración de 1 mM AB perjudicó a las plantas presentando necrosis y desecado en las hojas.

ESTRADA W. *et al* (2007) demostraron que semillas pre-tratadas de lechuga durante dos horas a una concentración de 0,01 mM de AB y luego sembrada en condiciones de invernadero durante 24 días, mejoró significativamente los indicadores de biomasa fresca de hoja, tallo y raíz y biomasa seca de la raíz y el tallo.

BENAVIDES A. *et al* (2007) aplicó concentración de 10^{-4} M de AB y obtuvo un efecto positivo en el crecimiento y la producción de fruto *Lycopersicon esculentum* MILL en suelos calcáreos.

KAUR H. *et al* (2005) estudiaron cambios celulares en las raíces de mostaza (*Brassica juncea* L.) cultivadas en suelos tratados con 1,09, 1,46 y 1,83 mg/g de suelo con AB, demostrando que los tratamientos de ácido benzoico suprimen el crecimiento de raíces en un 30,5 %, 58,8 % y 81,1 %, respectivamente y además observaron que el daño de la raíz de mostaza a nivel celular se puso de manifiesto por los cambios en la morfología celular y la organización interna de sus células.

2.3.3 ÁCIDO ASCÓRBICO (A.As)

DAVEY M. *et al* (2000) mencionan que la estructura química del ácido ascórbico (L- AA o Vitamina C) es la vitaminas más simples, esta relacionadas con los azúcares C6, siendo el donante -1,4-lactona de un ácido hexónico (L-galactónico o ácido L-gulónico), y contiene un grupo enodiol en los carbonos 2 y 3. La estereoisómero de L-AA, ácido D - isoascórbico (D - isoAsA, Ácido D-arabosacorbic, ácido D eritórbico), tiene poco o cualquier actividad antiescorbútica, y no debe ser confundido con ácido D- eritroascórbico, que es el análogo C5 de L-AA se encuentra en muchas levaduras y hongos.

KHAN A. *et al* (2011) indican que el A.As, se encuentra en todos los organismos eucariotas, incluyendo animales y plantas y en los procariotas carecen completamente excepto en las cianobacterias; en las plantas es importante por sus propiedades antioxidantes y además actúa en el crecimiento, en el desarrollo y la regulación de mecanismos celulares de los vegetales contra el estrés ambiental.

WHEELER GL. *et al*, (1998) comentan que el A.As tiene importantes funciones antioxidantes y metabólicos en las plantas y los animales, sosteniendo que los ascorbatos son derivados en las plantas y es la mayor fuente de vitamina C en la dieta humana; Los ascorbatos se encuentra en concentraciones de 1 a 5 mM en hojas y 25 mM en los cloroplastos de las plantas y tiene un papel fundamental en la fotosíntesis y el transporte de electrones.

El A.As es un componente abundante de las plantas; alcanza una concentración de más de 20 mM en los cloroplastos y se produce en todos los compartimentos celulares, incluyendo la pared celular. Llegando a proponer su función en la fotosíntesis siendo un cofactor de enzima (incluyendo la síntesis de etileno, giberelinas y antocianinas) y en el control del crecimiento celular. (SMIRNOF F. y WHEELER G. 2000)

REHMAN H., KHAN A. y ASHRAF M. (2007) utilizaron dos cultivares de trigo (S-24 y MH-97) en cultivo hidropónico; sometidas en soluciones de 0 y 150 mM

de NaCl suplementada con 0, 50 y 100 mg.l⁻¹ de A.As durante 58 días; demostrando que al aplicar A.As mejora el crecimiento de la raíz (peso fresco y peso seco) del cv. S -24 a concentración 100 mg.l⁻¹ en 150 mM de NaCl y lo contrario en el cultivar MH- 97, sosteniendo que el A.As contrarresta los efectos adversos sobre el estrés salino en el crecimiento del cv. S -24 mediante la cual mejora la capacidad fotosintética y el estrés oxidativo inducido por la sal.

SHAFIQ S. *et al* (2014) demostraron que la aplicación foliar de A.As en el cultivo de canola (*Brassica napus L.*) bajo condiciones de estrés por sequía mejora el peso fresco y el peso seco de brotes y raíz, a concentraciones de 0, 50, 100 y 150 mg.l⁻¹, obteniéndose mejores resultados con la concentración de 100 mg.l⁻¹ de A.As.

MORA-HERRERA M. *et al* (2011) estudiaron el efecto del A.As en crisantemo (*Dendranthema grandiflora Tzvelev*) cv. Polaris en condiciones de invernadero; aplicando foliarmente concentraciones de 0; 3,4 y 6,8 mM de A.As, a partir de los 30 días hasta los 100 días de cultivo (dos veces por semana); obteniéndose incremento significativos en la longitud del tallo, peso seco, número de botones y tallos por planta con respecto al testigo, siendo el mejor tratamiento la concentración de 6.8 mM de A.As.

AZOOZ M. *et al* (2013) sostienen que pre-tratar semillas de haba (*Vicia faba L*) con vitaminas es un método eficaz para aumentar el crecimiento y la productividad de las plantas de semillero bajo condiciones de estrés salino (150 mM NaCl); estudiaron concentraciones de 100 mg.l⁻¹ de ácido ascórbico y nicotinamida; obteniéndose un aumento en pigmentos fotosintéticos, carbohidratos solubles y proteínas, prolina y contenido de aminoácidos; cuando se aplican por separados; sin embargo, estos efectos estimuladores fueron mayores cuando se aplican en combinación la dos vitaminas.

KHAN A. *et al* (2013) aseguran que pulverizar A.As el cultivo girasol minimiza la toxicidad de la salinidad; aplicando diferentes concentraciones de A.As 0, 50,

100 mg.l⁻¹ resulta mejorar de forma significativa el peso fresco y seco del rodaje de girasol, pigmentos fotosintéticos, iones como potasio (K⁺) y calcio (Ca²⁺) siendo la mejor concentración 100 mg.l⁻¹.

SAEIDI-SAR S. *et al* (2013) experimentaron en plántulas de frijol (*Phaseolus vulgaris* L. cv. Naz) bajo estrés salino el efectos de aplicación exógena de 1 mM de A.As, demostrando cambios en los parámetros de crecimiento, fotosintética y pigmentos no fotosintéticos y una disminución considerable del daño oxidativo de 200 mM de NaCl en las plantas.

AGAMI R. (2014) evaluó la aplicación de A.As en *Hordeum vulgare*, a concentración de 1 mM de A.As, bajo condiciones de 100 y 200 mM de NaCl, sosteniendo que aumenta el crecimiento, contenido de pigmentos fotosintéticos, prolina, contenido relativo de agua, electrolitos y enzimas antioxidantes en la anatomía de la hoja y además de forma generalizada mejora el estrés generado por NaCl.

2.3.4 TAURINA (T)

CAÑAS P. (2002) indica que la distribución de la taurina es desigual en los diferentes organismos biológicos encontrándose en alta cantidad en algunas células y fluidos biológicos del reino animal y en mucho menor cantidad en especies del reino vegetal.

En cuanto al contenido de taurina en las plantas TAKAOKA H. (1990) informa que existe en algunos tipos de algas marinas aunque no se ha aclara el contenido y significado fisiológico de la taurina en los vegetales.

SHARANOVA N. *et al* (2012) afirma que la taurina es un ácido -β etano-amino (NH₃)-sulfónico (SO₃), no considerado como aminoácido, ya que carece del grupo carboxilo y es menos ácido y es esencial para la síntesis de proteínas en las mitocondrias y además realiza algunas funciones fisiológicas (por ejemplo, la

conjugación de ácidos grasos y la regulación osmótica) y tiene propiedades antioxidantes.

HAO LH. *et al* (2004) cultivaron plántulas de *Triticum aestivum L.*, con soluciones de taurina en concentraciones crecientes de 0, 10, 100, 500, 1000 y 5000 mg.l⁻¹, resultando que los tratamientos con taurina claramente promueven el crecimiento de las plántulas de trigo y el aumento de longitud de la raíz, altura de planta, peso fresco y seco; con una concentración óptima de tratamiento hasta 500 mg.l⁻¹; a partir de esta concentración disminuye la permeabilidad relativa de la membrana y el contenido de lípidos; sugiriendo que la taurina tiene efectos protectores sobre la membrana celular de las plantas de trigo en semilleros hasta cierta medida.

3. MATERIALES Y MÉTODOS

3.1 LOCALIZACIÓN Y DESCRIPCIÓN DEL LUGAR DEL ENSAYO.

La presente investigación se realizó en los laboratorios de Fisiología Vegetal y en el campo de invernadero, del Departamento de Horto-fruticultura, Botánica y Jardinería, adscrito a la Escuela Técnica Superior de Ingenieros Agrónomos (ETSEA) de la Universidad de Lleida, Av. Alcalde Rovira Roure 191,25198 Lleida- España.

El presente trabajo de investigación se llevó a cabo en dos fases:

Fase I. Cultivo *in vitro*. En cámara de cultivo con 16 horas luz, temperatura de $20\text{ }^{\circ}\text{C} \pm 2$, en medio de cultivo MURASHIGE Y SKOOG (MS) modificado al 50 % con 1,5 % de sacarosa; con 2,5; 5 y 7,5 mS de salinidad, durante 28 días a partir de su germinación.

Fase II. Cultivo *in vivo*. Se realizó en invernadero con condiciones controladas, de temperatura (que oscilaron entre 16 y 27 °C) durante los meses de junio, julio y agosto; se realizaron plantales para cada especie hortícola a estudiar; utilizando sustrato compuesto por: 75 % de turba y 25 % de perlita, con 0; 2,5 y 5 mS de conductividad eléctrica (CE), durante 28 días a partir de su germinación

3.2 MATERIALES

3.2.1 MATERIAL VEGETAL

El material vegetal que se utilizó para los ensayos fue de procedencia comercial de SEMILLAS FITÓ, las cuales se describen en la tabla 2.

Tabla 2. Especies, cultivar y descripción de los materiales vegetales utilizados en los ensayos

ESPECIE	NOMBRE CIENTÍFICO	CULTIVAR	DESCRIPCIÓN
Tomate	<i>Lycopersicon esculentum Mill.</i>	Tres cantos	Altura de planta entre 150 y 160 cm. Los frutos son macizos, redondos, muy uniformes de tamaño, de peso aproximado 160 g.
Rábano	<i>Raphanus sativus</i>	Vermell	Variedad de hojas escasas, pequeñas, de buena precocidad. La raíz es globosa de color rojo, de 2 a 4 cm de diámetro y altura. De carne compacta.
Berenjena	<i>Solanum melongena.</i>	Larga Negra	Planta de porte vigoroso y da gran cantidad de frutos alargados y finos de color morado.
Cebolla	<i>Allium cepa.</i>	Valenciana tardía.	Posee un bulbo globoso de 170 g de color amarillo pajizo, con tonalidades cobrizas en su exterior. Carne compacta, blanca de sabor dulce, con bulbos de muy buena conservación.

3.2.2 MATERIAL QUÍMICO

- Ácido salicílico.
- Ácido benzoico.
- Ácido ascórbico
- Taurina.
- Medio MS al 50 % con 1,5 % de Sacarosa.
- Solución de KOH al 0,1 y 1 N.
- Solución de Etanol al 80 %.
- NaCl; cloruro de sodio.
- Solución de hipoclorito de sodio al 20 %.
- Tween 20.

3.2.3 MATERIALES DEL LABORATORIO

- Cajas Petri.
- Cajas magentas.
- Tubos de ensayos y tapones de tubos.
- Gradillas para tubos de ensayos.

- Probeta de 25, 100, 250, 500 y 1 000 ml.
- Matraces Enlermeyer de 100, 250, 500, 1 000 y 2 000 ml.
- Vaso de precipitación de 250, 500 y 1 000 ml.
- Pipetas de 1, 5, 10 ml.
- Pipeteadores de plástico con rueda manual y válvula de vaciado.
- Micropipetas de 2-20, 20- 100, 200-1 000 μ L.
- Puntas de Micropipetas.
- Goteros.
- Papel aluminio.
- Papeles absorbentes.
- Cinta parafilm.
- Cinta adhesivas.
- Rotuladores permanentes.
- Espátulas metálicas.
- Pizetas de agua destilada.
- Mango y gillette de bisturí.
- Tijeras.
- Pinzas.
- Cuaderno y lápiz de apunte.

3.2.4 MATERIALES DE CAMPO

- Turba.
- Perlita
- Gradillas de germinación de 216 alvéolos.
- Regla de medir.
- Cubeta de riego.
- Aspersores para aplicación de tratamiento.

3.2.5 EQUIPOS DE LABORATORIO

- Autoclave.

- pH-metro.
- Conductímetro.
- Cámara de flujo laminar.
- Balanza común.
- Balanza analítica.
- Agitador magnético con calefacción.
- Pastilla y varilla magnética.
- Vortex para tubos de ensayos.
- Medidor de clorofila SPAD 520.
- Medidor de área foliar (Área meter AM 100).
- Estufa.

3.2.6 EQUIPOS DE CAMPO

- Calculadora.
- Calibrador Vernier.
- Refractómetro.
- Termómetro Laser
- Ordenador.
- Cámara Fotográfica.
- Conductrimetro.

3.3 TRATAMIENTO Y DISEÑO EXPERIMENTAL

3.3.1 CULTIVO *in vitro*

Se aplicó un diseño completamente al azar, dónde cada tubo de ensayo representan las repeticiones; los tratamientos se diferenciaron por elicitador (ácido salicílico, ácido benzoico, ácido ascórbico y taurina) y concentraciones utilizadas en 2,5, 5 y 7,5 mS de conductividad eléctrica (CE) de salinidad (Tabla 3).

Tabla 3. Descripción de salinidad, tratamiento y concentraciones del ensayo *in vitro*

Salinidad (CE) Ms	Tratamientos	Concentración	
		En mili molar (mM)	En gramos por litro (g.l ⁻¹)
2,5	Control	0	0
	Ácido salicílico	1	0,1381
		0,1	0,0138
		0,01	0,0013
		1	0,1221
	Ácido Benzoico	0,1	0,0122
		0,01	0,0012
		Ácido Ascórbico	0,250
		0,175	
	Taurina.	0,100	
		0,250	
		0,175	
0,100			
5	Control	0	0
	Ácido salicílico	1	0,1381
		0,1	0,0138
		0,01	0,0013
		1	0,1221
	Ácido Benzoico	0,1	0,0122
		0,01	0,0012
		Ácido Ascórbico	0,250
		0,175	
	Taurina	0,100	
		0,250	
		0,175	
0,100			
7,5	Control	0	0
	Ácido salicílico	1	0,1381
		0,1	0,0138
		0,01	0,0013
		1	0,1221
	Ácido Benzoico	0,1	0,0122
		0,01	0,0012
		Ácido Ascórbico	0,250
		0,175	
	Taurina.	0,100	
		0,250	
		0,175	
0,100			

Los resultados de las medias de cada variable experimentales fueron sometidos al análisis de la varianza ANOVA Oneway Tukey- Kramer HSD al 5 %;

individualmente por cada elicitor; utilizando software estadístico JMP 10. Los grados de libertad del análisis estadístico se detallan en la Tabla 4.

Tabla 4. Grados de libertad del experimento *in vitro*

Fuente de variación	Grado de Libertad
Repetición	19
Tratamiento	3
Error experimental	76
Total	79

3.3.2 CULTIVO *in vivo*

Se aplicó un diseño completamente al azar dónde cada planta representan las repeticiones, los tratamientos se diferenciaron por elicitor (ácido salicílico, ácido benzoico, ácido ascórbico y taurina) y concentraciones utilizadas en 0, 2,5 y 5 mS de conductividad eléctrica (CE) de salinidad.

Tabla 5. Descripción de salinidad, tratamiento y concentraciones del ensayo *in vivo*

Salinidad (CE) mS	Tratamientos	Concentración	
		En milimolar (mM)	En gramos por litro (g/l)
0	Control	0	0
	Ácido salicílico	0,1	0,0138
		0,01	0,0013
	Ácido benzoico	1	0,122
		0,1	0,0122
	Ácido ascórbico		0,250
			0,100
Taurina		0,250	
		0,100	
2,5	Control	0	0
	Ácido salicílico	0,1	0,0138
		0,01	0,0013
	Ácido benzoico	1	0,1221
		0,1	0,0122
	Ácido ascórbico		0,250
			0,100
Taurina		0,250	
		0,100	
5	Control	0	0
	Ácido salicílico	0,1	0,0138
		0,01	0,0013
	Ácido benzoico	1	0,1221
		0,1	0,0122
	Ácido ascórbico		0,250
			0,100
Taurina		0,250	
		0,100	

Los resultados de las medias de cada variable experimentales fueron sometidos al análisis de la varianza ANOVA Oneway Tukey- Kramer HSD al 5 %; individualmente por elicitador; utilizando software estadístico JMP 10. Los grados de libertad del análisis estadístico se detallan en la Tabla 6.

Tabla 6. Grados de libertad del experimento *in vivo*

Fuente de variación	Grado de Libertad
Repetición	19
Tratamiento	2
Error experimental	57
Total	59

3.4 MANEJO DEL EXPERIMENTO

3.4.1 CULTIVO *in vitro*

3.4.1.1 Desinfección del material del laboratorio

Previo a la siembra *in vitro* se procedió a la desinfección de los materiales a utilizar (cajas magentas, tubos, tapones de tubos); siendo sometidos en agua con jabón líquido; con el objetivo de eliminar residuos como posible fuente de contaminación.

3.4.1.2 Preparación del medio MURASHIGE Y SKOOG, 1962 (MS)

El medio MURASHIGE Y SKOOG (M. MS) se ha utilizado a través del tiempo para experimento como medio de cultivo con 3 % de sacarosa y phytigel como gelificante; el medio MS está compuesto por las siguientes sales descritas en la tabla 7.

Por tal motivo y para facilitar el trabajo se preparó 4 soluciones madre en agua destilada tabla 8; una para los macronutrientes (concentrada 10 veces), otra para los micronutrientes (concentrada 100 veces), otra para el hierro y otra para las vitaminas (concentradas 200 veces). Estas soluciones posteriormente se diluyeron para obtener la cantidad necesaria para el experimento.

Tabla 7. Composición del medio MURASHIGE Y SKOOG (MS)

Elementos	Concentración
(NH ₄) NO ₃	16,50 g.l ⁻¹
K NO ₃	19,00 g.l ⁻¹
CaCl ₂ . 2H ₂ O	4,40 g.l ⁻¹
Mg SO ₄ . 7H ₂ O	3,70 g.l ⁻¹
KH ₂ PO ₄	1,70 g.l ⁻¹
Mn SO ₄ . H ₂ O	16,9 mg.l ⁻¹
Zn SO ₄ . 2H ₂ O	8,6 mg.l ⁻¹
H BO ₃	6,2 mg.l ⁻¹
KI	0,83 mg.l ⁻¹
Na ₂ MoO ₄ . 2H ₂ O	0,25 mg.l ⁻¹
Cu SO ₄ . 5H ₂ O	0,025 mg.l ⁻¹
Co Cl ₂ . 6H ₂ O	0,025 mg.l ⁻¹
Na ₂ EDTA. 2H ₂ O	37,2 mg.l ⁻¹
Fe SO ₄ . 7H ₂ O	27,2 mg.l ⁻¹
Glicina	2 mg.l ⁻¹
Ácido Nicotínico	0,5 mg.l ⁻¹
Piridoxina -HCl	0,5 mg.l ⁻¹
Tiamina -HCl	0,1 mg.l ⁻¹
Mio- inositol	100 mg.l ⁻¹
Sacarosa	30 g.l ⁻¹
Phytigel.	2 g.l ⁻¹

Tabla 8. Soluciones madres empleadas para preparar el medio MS

Solución Madre	Concentración
Macronutrientes MS x 10	
(NH ₄) NO ₃	16,50 g.l ⁻¹
K NO ₃	19,00 g.l ⁻¹
CaCl ₂ . 2H ₂ O	4,40 g.l ⁻¹
Mg SO ₄ . 7H ₂ O	3,70 g.l ⁻¹
KH ₂ PO ₄	1,70 g.l ⁻¹
Micronutrientes MS x 100	
Mn SO ₄ . H ₂ O	1,690 g.l ⁻¹
Zn SO ₄ . 2H ₂ O	860 mg.l ⁻¹
H BO ₃	620 mg.l ⁻¹
KI	83 mg.l ⁻¹
Na ₂ MoO ₄ . 2H ₂ O	25 mg.l ⁻¹
Cu SO ₄ . 5H ₂ O	25 mg.l ⁻¹
Co Cl ₂ . 6H ₂ O	25 mg.l ⁻¹
Hierro MS x 200	
Na ₂ EDTA. 2H ₂ O	37,2 mg.l ⁻¹
Fe SO ₄ . 7H ₂ O	27,2 mg.l ⁻¹
Vitaminas MS x 200	
Glicina	2 mg.l ⁻¹
Ácido Nicotínico.	0,5 mg.l ⁻¹
Piridoxina -HCl	0,5 mg.l ⁻¹
Tiamina -HCl	0,1 mg.l ⁻¹
Mio- inositol	100 mg.l ⁻¹

Las soluciones de macro y micronutrientes se conservaron en un recipiente apropiado y de fácil manejo bajo refrigeración a temperatura entre 4-5 °C; igual sucedió con la solución de hierro pero en un recipiente oscuro para evitar la oxidación causada por efecto de la luz. La solución madre de vitaminas se conservaron a una temperatura de -20 °C.

3.4.1.3 Preparación del medio de cultivo MS modificado

En un matraz Erlenmeyer de 1 000 ml, con agua destilada para favorecer la disolución homogénea de las soluciones madre (aproximadamente un tercio del volumen final de medio de cultivo a preparar), y una vez agregada las medidas de las soluciones madre a aplicar en función a la cantidad de medio requerido (tabla 9); se añadió sacarosa al 1,5 % (p/v) y se enrasó con agua destilada en una probeta de 1 000 ml.

Seguido de esto se ajustó el pH a $5,7 \pm 0,05$ con solución de KOH de 1 N o 0,1 N con pH-metro electrónico y luego se añadió Gelrite (2 g.l^{-1}).

Tabla 9. Preparación de 1 litro de medio MS al 50 % con 1,5 % de sacarosa

Solución Madre	Concentración
Macronutrientes MS x10	50 ml
Micronutrientes MS x100	5 ml
Hierro MS x 200	2,5 ml
Vitaminas MS x200	2,5 ml
Sacarosa	15g
Gelrite	2 g
Agua destilada	Hasta enrasar a 1 l

3.4.1.4 Preparación de los medios de tratamiento-salinidad

En el presente estudio los vegetales estuvieron sometidos a estrés por salinidad; para esto se necesitó condiciones crecientes de 2,5, 5 y 7,5 mS de conductividad eléctrica (CE.); el medio MS al 50 % con 1,5 % de sacarosa enrasado se modificó con las aplicaciones de las concentraciones NaCl (tabla 10) para obtener la conductividad requerida. Antes de la aplicación de NaCl se divide en tres matraces erlenmeyer de 1 000 ml; uno para CE. 2,5; otro para CE. 5 y otro para CE. 7,5.

Se midió la CE (antes de aplicar NaCl, dejando una de las tres como CE. 2,5) con la ayuda de conductrimetro electrónico; además se tomó la CE, antes y después de aplicar los tratamiento de los elicitores, con su debida temperatura y control de pH. Cuando se ajustó el pH a 5,700 del medio MS, también se tomó estos valores.

Tabla 10. Cantidad de NaCl requerida para obtener CE, en un litro de medio MS al 50 % con 1,5 % de sacarosa

	CE (mS)		
	2,5	5	7,5
Medio MS al 50 % (ml).	1 000	1 000	1 000
NaCl (g.l ⁻¹).	0	1,30	2,80

3.4.1.5 Preparación de los medios de tratamiento-elicitor

a) Tratamiento ácido salicílico

El medio MS con 1,5 % de sacarosa y con la respectiva CE, se modificó al aplicar la concentraciones de AS (tabla 11); antes de aplicar el AS se dividió en cuatro matraces erlenmeyer de 250 ml; uno para el control respectivo, otro la concentración de 1 mM de AS, otro para 0,1 mM y otro para 0,01 mM de AS. Para mayor disolución del AS, se preparó una solución madre de AS en etanol puro (ETOH) aplicando 3,5 g de AS en 10 ml ETOH (p/v) tabla 12.

Tabla 11. Concentraciones de AS para el experimento *in vitro*

Elicitor	En mili-molar (mM)		En gramos por litro (g.l ⁻¹)
Ácido salicílico	AS ₀	Control	0
	AS ₁	1	0,1381
	AS ₂	0,1	0,013
	AS ₃	0,01	0,0013

Tabla 12. Volumen de la solución madre de as disuelto en ETOH aplicado para obtener 250 ml del medio de cultivo de tratamiento para las tres concentraciones de AS

	Concentraciones de AS en medio de cultivo de los tratamientos (mM) en 250 ml			
	Control	1	0,1	0,01
Solución madre de AS (ml)	0	0,1	0,01	0,001
ETOH (ml)	0,1	0	0,09	0,099

b) Tratamiento ácido benzoico

El medio MS con 1,5 % de sacarosa y con la respectiva CE, se modificó al aplicar las concentraciones de ácido benzoico (AB) (tabla 13). Antes de aplicar el AB se dividió en cuatro matraces erlenmeyer de 250 ml; una para el control, otro para la concentración 1 mM, otro para 0,1 mM y otro para 0,01 mM de AB.

Tabla 13. Concentraciones de AB para el experimento *in vitro*

Elicitor	En mili molar (mM) AB	En gramos por litro (g.l ⁻¹)	
Ácido benzoico	AB ₀	Control.	0
	AB ₁	1	0,1221
	AB ₂	0,1	0,0122
	AB ₃	0,01	0,0012

c) Tratamiento ácido ascórbico

El medio MS con 1,5 % de sacarosa y con la respectiva CE, se modificó al aplicar las concentraciones ácido ascórbico (A.As) (tabla 14). Antes de aplicar las concentraciones de los tratamientos se dividió en cuatro matraces erlenmeyer de 250 ml; uno para el control, los tres restante para las concentraciones de 100, 175 y 250 mg.l⁻¹ de A.As respectivamente separado.

Tabla 14. Concentraciones de Ácido Ascórbico para el experimento *in vitro*

Elicitor	En gramos por litro (g.l ⁻¹)	
Ácido Ascórbico	A.As ₀	0
	A.As ₁	0,100
	A.As ₂	0,175
	A.As ₃	0,250

d) Tratamiento taurina

El medio MS con 1,5 % de sacarosa y con la respectiva CE; se modificará al aplicar la concentraciones de taurina (T) (tabla 15). Antes de aplicar la se divide en cuatro matraces erlenmeyer de 250 ml; una para el control, los tres para las concentraciones 100, 175 y 250 mg.l⁻¹ respectivamente separado.

Tabla 15. Concentraciones de taurina para el experimento *in vitro*

Elicitor	En gramos por litro (g.l⁻¹)	
Taurina.	T ₀	0
	T ₁	0,100
	T ₂	0,175
	T ₃	0,250

3.4.1.6 Control de CE, ajuste de pH y agregado de gelrite

El medio MS experimental (al 50 %; con 1,5 % de sacarosa, agregado NaCl para las tres CE y elicitores) se procedió a controlar la respectiva conductividad para cada tratamiento con conductrimetro electrónico (antes y después de aplicar los tratamiento de los elicitores), con su debida temperatura y control de pH; y cuando se ajustó el pH $5,7\pm 0,05$ del medio también se tomó estos valores.

Para llegar a un pH de $5,7\pm 0,05$ en el medio del experimento (agregado tanto salinidad y los elicitores) se utilizó soluciones de KOH al 0,1 y 1 N; según sea necesario considerando el pH inicial del medio.

Ajustado el pH del medio del experimento en $5,7\pm 0,05$ se procedió agregar GELRITE (2 g.l⁻¹), utilizado como gelificante; seguido de éste proceso, se tapa los Erlenmeyer con papel aluminio y se agitó suavemente para lograr una homogeneidad del gel en el medio; para después llevarle al autoclave, para aún favorecer mejor la disolución del gel.

3.4.1.7 Disolución del gelificante

Tapados los Erlenmeyer y debidamente identificado se calentó en el autoclave (Selecta Autester-E) durante 5 minutos a 120 °C de temperatura, favoreciendo la disolución del gelificante.

3.4.1.8 Repartición de medio

Sin dejar que se enfríe se repartió el medio MS experimental en tubos de ensayos (20 ml, de medio) y cajas magentas (30 ml, de medio), debidamente identificados.

Los tubos de ensayos utilizados para el medio de cultivo fueron de vidrio (Sigma y Kimax) y tienen unas dimensiones de 150 mm de alto y 25 mm de ancho.

Los tapones fueron de polipropileno translúcido que favorecen la entrada de la luz en el tubo. Las cajas magentas utilizada fueron de polipropileno autoclavables y tuvieron las siguientes dimensiones (95 mm de alto y 60 mm de base). Las tapas son de polipropileno translucido que favorecen la entrada de la luz.

3.4.1.9 Esterilización del medio y material a utilizar

Debidamente identificado y repartido el medio experimental en los tubos y cajas, se procedió a autoclavar por 20 minutos, a 121 °C y 1 kg.cm⁻² de presión. Luego del proceso se dejó enfriar y se procedió a cultivar.

Los materiales utilizados durante la siembra *in vitro* fueron totalmente estéril para prevenir fuente de contaminación.

3.4.1.10 Desinfección de semillas

En el proceso de desinfección de las semillas se realizó:

1. Se pesó la cantidad necesaria de semillas para cada experimento y luego llevarlos a un tubo de ensayo estéril.
2. Se preparó solución de hipoclorito de sodio (40 g de cloro activo) al 20 % en agua destilada estéril y una gota de Tween 20.
3. Se colocó la solución de hipoclorito sobre las semillas durante 5 minutos en movimiento con un Vórtex para tubos de ensayos y luego se sumergió las semillas en solución de etanol al 80 % por un minuto; seguido a estos dos procesos se realizó un triple enjuague con agua destilada estéril.
4. Se pasó a cámara de flujo laminar las semillas y se volvió a lavar (triple lavado) en agua destilada estéril y se procedió a la siembra de semillas de cada especie.

3.4.1.11 Siembra de semillas *in vitro*

Preparada la cámara de flujo laminar y teniendo semillas desinfectadas, medio de cultivo, materiales se procedió a sembrar colocando 2 semillas por tubos y 6 semillas por caja magenta.

Se tomó semillas con pinzas y se depositó sobre del medio de cultivo; sin necesidad de introducirlas al medio y sin topar la pinza sobre las paredes del tubo y cajas.

Y luego se llevó a cámara de cultivo dónde estuvieron sometidas a fotoperiodo de 16 horas luz y temperatura de $20^{\circ} \text{C} \pm 2$; durante los 28 días después de su germinación.

3.4.1.12 Toma de datos experimentales *in vitro*

Se evaluó a los 7, 14, 21 y 28 días después de la germinación; tomando 20 muestra de cada tratamiento para cada variable y por cada conductividad.

3.4.2 CULTIVO *in vivo*

3.4.2.1 Preparación de sustrato

El sustrato utilizado fue una mezcla con 75 % de turba y 25 % perlita; luego se humedeció con agua que contendría cada una de la salinidad de estudio (Tabla. 16); seguido de esto se llenó las bandejas germinadoras con su respectivas identificación.

Tabla 16. Cantidad de NaCl requerida para obtener CE de estudio, en un litro de agua

	0	CE (mS)	
		2,5	5
Agua (ml).	1000	1000	1000
NaCl (g.l ⁻¹).	0	1,30	2,80

3.4.2.2 Preparación de tratamiento

Se preparó cada tratamiento en matraces erlenmeyer de un litro para cada tratamiento; según lo indica la tabla 17; todos los tratamientos fueron disueltos en agua destilada y sometidos a agitación para homogenizar la solución; en cambio para favorecer la disolución del ácido salicílico y ácido benzoico se sometió a agitación, con un agitador magnético con calefacción; seguido a esto se controlaron el pH a cada tratamiento.

Tabla 17. Tratamiento del ensayo *in vivo*

Tratamientos	Concentración del elicitador	
	Nominación	Gramos por litro (g.l ⁻¹)
Control	Agua destilada.	0
Ácido salicílico	AS 0,1 mM.	0,0138
	AS 0,01 mM.	0,0013
Ácido benzoico	AB 1 mM	0,1221
	AB 0,1 mM	0,0122
Ácido ascórbico	A.As 100	0,250
	A.As 250	0,100
Taurina.	T 100	0,250
	T 250	0,100

3.4.2.3 Preparación de semillas

Las semillas de rábano, tomate y berenjena se colocaron en cajas petri y luego fueron sometidas a un pre-tratamiento de imbibición con 10 ml de solución de cada tratamiento y durante 24 horas en reposo.

3.4.2.4 Siembra *in vivo*

Teniendo las bandejas germinadoras llenas con el sustrato humedecido con su respectiva salinidad se procedió a la siembra; en este caso se colocaron dos semillas por alvéolo.

3.4.2.5 Riego

El riego se realizó según la necesidad de cada especie; además a los 7 y 14 días el agua de riego contenía las respectivas conductividad eléctrica ensayadas; igual manera sucede con los riego a partir del día 15 hasta finalizado el ensayo.

3.4.2.6 Aplicación de tratamientos

Los tratamientos se aplicaron a los 7, 14, 21 y 25 días después de la germinación de cada especie; mediante pulverización. A los 7 días se aplicó 25 ml de solución de cada tratamiento; a los 14 días 30 ml, a los 21 días 40 ml y a los 25 días 50 ml; todas las medidas fueron asperjadas homogéneamente en cada conductividad y en cada especie.

3.4.2.7 Control de conductividad eléctrica

En fase cultivo *in vivo*, se controló el agua que se humedecía el sustrato al inicio, el agua de riego a los 7 y 14; y a partir del 14 hasta 28 días el agua del riego contendrían cada salinidad de estudio.

3.4.2.8 Toma de datos experimentales *in vivo*

Se evaluó a los 7, 14, 21 y 28 días después de la germinación; tomando 20 muestra de cada tratamiento para cada variables y en las tres conductividad.

3.5 VARIABLES EXPERIMENTALES

3.5.1 GERMINACIÓN

Se tomaron en cuenta los días de germinación de cada tratamiento y su valoración está dada en porcentaje (%).

3.5.2 LONGITUD DEL TALLO

La longitud del tallo de cada especies; se tomó a los 7, 14, 21 y 28 días para obtener datos sobre el desarrollo en los diferentes tratamiento; siendo tomado visualmente con la ayuda de una regla milimetrada, cuyos valores son expresados en milímetros (mm); tanto para cultivo *in vitro* e *in vivo*.

3.5.3 LONGITUD DE LA RAÍZ

La longitud de la raíz; se tomó a los 7, 14 y 21 días (cultivo *in vitro*); 14 días (cultivo *in vivo*) para obtener datos sobre el desarrollo en los diferentes tratamiento; en la fase cultivo *in vitro*, fueron tomados visualmente desde el exterior del tubo o cajas magentas con la ayuda de una regla milimetrada.

A los 28 días de finalizar el cultivo, se midió tanto *in vitro* e *in vivo* la longitud de la raíz del cual se obtuvo un promedio por cada tratamiento y están expresadas en milímetro (mm).

3.5.4 NÚMERO DE HOJAS

Se contó la cantidad de hojas de cada tratamiento a los 7, 14, 21 y 28 días para obtener datos de la evolución de cada tratamiento, tanto en las fase de cultivo *in vitro* y cultivo *in vivo*, cuyo valor está dada por unidades.

3.5.5 MEDICIÓN DE LAS CLOROFILAS

La valoración de los pigmentos clorofílicos, se tomó con la ayuda de un medidor de clorofilas SPAD-502 (Minolta Camera Co.; Osaka, Japón), la valoración del contenido de las clorofilas se tomó de la ante penúltima hoja del desarrollo vegetativo de cada especies. En la fase cultivo *in vivo* se tomó a los 14, 21 y al final del cultivo; en la fase cultivo *in vitro* sólo se evaluó finalizado el ensayo; siendo expresadas en Unidades SPAD.

3.5.6 MEDICIÓN DEL ÁREA FOLIAR

Al finalizado el ensayo, seguido del conteo de hojas, peso fresco y medición de las clorofilas, se procedió a coger las hojas de cada una de las planta para obtener la superficie foliar, la valoración se obtuvo con la ayuda de un medidor de área foliar (Área Meter AM 100); donde se determinó el área foliar total de cada planta permitiendo promedio por tratamiento de cada conductividad eléctrica; cuyo valor es expresado en mm². En la fase de cultivo *in vivo* se tomó a los 14 y 28 días del cultivo.

3.5.7 PESOS FRESCO Y SECO DE HOJAS.

Contado y medido el contenido de las clorofilas de la hojas de cada especies; se evaluó su peso fresco por planta de cada tratamiento, obteniendo un promedio por tratamientos.

Tomado la medida del peso fresco de las hojas se sometió a una estufa a 100 °C ± 2 °C hasta obtener un peso constante; para luego tomar su peso seco por muestra y obtener un promedio por tratamiento.

En la fase cultivo *in vivo* se evaluó a los 14 y 28 días del cultivo. Estos valores son tomados con la ayuda de una balanza de precisión y expresados en mg.

3.5.8 PESOS FRESCO Y SECO DEL TALLO

Luego de tomado la longitud final del tallo se cortó el mismo y se evaluó su peso fresco por tratamiento.

Después de tomar medida de peso fresco del material vegetal del tallo se sometió a una estufa a 100 °C ± 2 °C hasta obtener un peso constante para después medir su peso seco por muestra y obtener un promedio por tratamiento.

En la fase cultivo *in vivo* se tomó a los 14 y 28 días del cultivo. Esta valoración se realizó con la ayuda de una balanza de precisión y son expresados en mg.

3.5.9 PESOS FRESCO Y SECO DE LAS RAÍCES

Luego de tomado la longitud final de las raíces se cortó desde la base del tallo y se evaluó su peso fresco por planta de cada tratamiento.

Después de tomado medida de peso fresco de las raíces se sometió a una estufa a 100 ± 2 °C hasta obtener un peso constante y después se tomó su peso seco por muestra y se obtuvo un promedio por tratamiento.

En la fase cultivo *in vivo* se tomarán a los 14 y 28 días del cultivo. Estos valores se tomarán con la ayuda de una balanza de precisión y serán expresados en mg.

3.5.10 LONGITUD DE HOJA DE LA CEBOLLA

La longitud de hojas de la cebolla se realizó a los 7, 14, 21 y 28 días después de la germinación del cultivo; la valoración se realizó con la ayuda de una regla milimetrada y es expresada en mm.

3.5.11 DIÁMETRO DEL BULBO DE LA CEBOLLA

Al finalizado el ensayo se obtuvo el diámetro del bulbo, cortando desde la base del mismo en cual empieza las raíces hasta 0,5 cm de alto; donde con la ayuda de un pie DE REY se valoró por cada tratamiento.

3.5.12 PESOS FRESCO Y SECO DEL BULBO DE LA CEBOLLA

Cortado y medido el diámetro de bulbo de la cebolla se evaluó su peso fresco por planta de cada tratamiento.

Después de tomado medida del peso fresco del bulbo se sometió a una estufa a 100 ± 2 °C hasta obtener un peso constante y luego se tomó su peso seco por muestra y se obtuvo un promedio por tratamiento. Esta valoración se realizó con la ayuda de una balanza de precisión y serán expresados en mg.

4. RESULTADOS Y DISCUSIÓN

4.1 RESULTADOS

4.1.1 EFECTO DEL ÁCIDO SALICÍLICO EN EL CRECIMIENTO Y DESARROLLO DE ESPECIES HORTÍCOLAS CULTIVADAS *in vitro* EN 2,5, 5 Y 7,5 mS DE SALINIDAD

La influencia de concentraciones de 0, 1, 0,1 y 0,01 mM de ácido salicílico en medio MS modificado al 50 % con 1,5 % de sacarosa y salinidad de 2,5, 5 y 7,5 mS, ocasionaron un incremento en el crecimiento y desarrollo de las especies estudiadas.

4.1.1.1 Germinación

En *Lycopersicon esculentum Mill*, cultivados en conductividad eléctrica de 2,5 mS germinó un 100 % a los 8 días con la concentración de 0,01 mM de AS y a los 9 días con concentración de 0,1 mM de AS, mientras que el control germinó a los 10 días. A los 9 días a concentración de 0,01 mM de AS, germinó al 100 % en las conductividades de 5 y 7,5 mS; la concentración de 0,1 mM de AS también logró el 100 % a los 10 días, mientras que el control sólo germinó un 96 % para conductividad de 5 mS y 88 % para 7,5 mS de salinidad. Con concentraciones de 1 mM de AS, la germinación del cultivo disminuye, llegando sólo al 42 % en 2,5 y 5 mS de salinidad y en salinidad de 7,5 mS no germinan, observándose claramente que esta concentración puede ser inhibidora de la misma (Tabla 18).

La concentración de 0,01 mM de AS en berenjena (*Solanum melongena L*); promueve la germinación en un 100 % a los 14 días en 2,5 y 5 mS de CE (conductividad eléctrica), tal porcentaje también se logra en 2,5 mS a los 14 días y a los 15 días en 5 mS con la concentración de 0,1 mM de AS; respecto al control que a los 17 días con 2,5 mS de salinidad alcanza un 100 %, en 5 mS un 83 % y en 7,5 mS de CE un 66,7 % de germinación, sólo en esta conductividad la

concentración de 0,01 mM de AS logra un 100 % de la emergencia a los 15 días y con 0,1 mM de AS a los 17 días germinó solo un 83,3 %; mientras que a concentración de 1 mM de AS en 2,5 logra un 66,7 % y 50 % de la germinación para 5 y 7,5 mS de salinidad (Tabla 19).

Tabla 18. Efecto del AS, sobre la germinación *in vitro* del cultivo de tomate

Niveles de salinidad (mS)	Concentraciones de AS (mM)	Días de cultivo							
		3	4	5	6	7	8	9	10
		% de germinación.							
2,5	Control	0	12,5	62,5	75,0	83,3	83,3	91,7	100
	1	0	0,0	4,2	12,5	25,0	33,3	37,5	41,7
	0,1	0	20,8	54,2	83,3	87,5	91,7	100	100
	0,01	0	29,2	45,8	83,3	91,7	100	100	100
5	Control	0	0,0	29,2	70,8	87,5	87,5	91,7	95,8
	1	0	0,0	4,2	4,2	20,8	25,0	33,3	41,7
	0,1	0	0,0	33,3	62,5	75,0	83,3	91,7	100
	0,01	0	0,0	41,7	66,7	83,3	91,7	100	100
7,5	Control	0	25,0	41,7	58,3	66,7	75,0	79,2	83,3
	1	0	0,0	0,0	0,0	0,0	0,0	0,0	0,0
	0,1	0	4,2	16,7	25,0	41,7	75,0	91,7	100
	0,01	0	0,0	37,5	66,7	75,0	91,7	100	100

Tabla 19. Efecto del AS, sobre la germinación *in vitro* del cultivo de berenjena

Niveles de salinidad (mS)	Concentraciones AS (mM)	Días de cultivo										
		7	8	9	10	11	12	13	14	15	16	17
		% de germinación.										
2,5	Control	0	6,7	26,7	40	50	60	63,3	67	73,3	83,3	100
	1	0	3,3	3,3	6,7	13,3	16,7	16,7	30,0	40	50	66,7
	0,1	13,3	40	46,7	53,3	60	73,3	93	100	100	100	100
	0,01	20	50	60	60	66,7	73	97	100	100	100	100
5	Control	0	3,3	13,3	20	30	33,3	40	63,3	63,3	70	83,3
	1	0	3,3	3,3	13,3	13,3	20	20	23,3	26,7	40	50
	0,1	0	26,7	33,3	40	50	60	70	83	100	100	100
	0,01	0	33,3	50	53,3	60	73,3	93	100	100	100	100
7,5	Control	0	0,0	13,3	23,3	26,7	26,7	33,3	40,0	40	60	66,7
	1	0	0,0	3,3	13,3	13,3	20,0	20,0	23,3	26,7	40	50
	0,1	0	0,0	16,7	33,3	46,7	46,7	53,3	53	60	73,3	83,3
	0,01	0	6,7	26,7	33,3	50,0	60,0	67	70	100	100	100

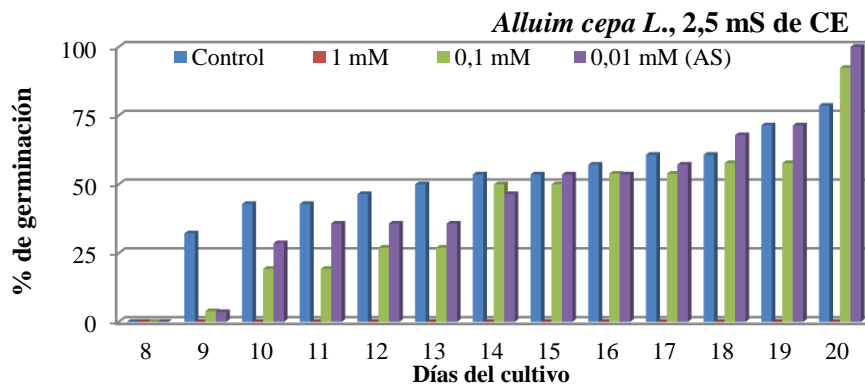
Las aplicaciones de concentraciones de 0,1 y 0,01 mM de AS, alcanza un 100 % de germinación en el cultivo de *Raphanus sativus L.*, al cuarto día; mientras que el control solo alcanzó un 66,7 % y 50 % logró la concentración de 1 mM de AS en 2,5 mS de salinidad. En cambio en las conductividades de 5 y 7,5 mS, germinaron a los 5 y 6 días respectivamente, con concentración de 0,01 mM, en la que se obtuvo el 100 %. Sin embargo, con concentración de 0,1 mM de AS germina el 100 % al sexto día en ambas conductividades y un 60 % con tratamiento de 1 mM de AS, el 93,3 % con salinidad de 5 mS y 83 % en 7,5 mS para controles respectivos (Tabla 20).

Tabla 20. Efecto del AS, sobre la germinación *in vitro* del cultivo de rábano

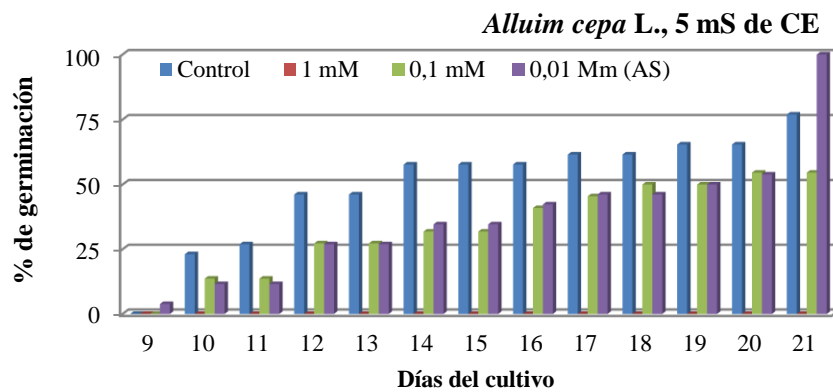
Niveles de salinidad (mS)	Concentraciones AS (mM)	Días de cultivo					
		1	2	3	4	5	6
		% de germinación.					
2,5	Control	0	50	60	66,7	73,3	100
	1	0	33,3	40	50	50	66,7
	0,1	0	50	66,7	100	100	100
	0,01	0	60	66,7	100	100	100
5	Control	0	33,3	46,7	66,7	83,3	93,3
	1	0	16,7	26,7	33,3	50	60
	0,1	0	40	50	83,3	93,3	100
	0,01	0	46,7	60	93,3	100	100
7,5	Control	0	20	40	50	70	83
	1	0	16,7	26,7	33,3	50	60
	0,1	0	33,3	46,7	66,7	83,3	100
	0,01	0	33,3	53,3	90	93,3	100

El cebolla (*Allium cepa L.*) cultivado *in vitro* en un M. MS al 50 % con 1,5 % de sacarosa y en 2,5 mS de salinidad, germinó al 100 % a los 20 días con la aplicación de concentración de 0,01 mM de AS; con 0,1 mM de AS sólo germinó en un 92,3 % y el control en un 82,1 % a los 21 días. En 5 y 7,5 mS de salinidad sólo la concentración de 0,01 mM de AS mostró un 100 % de emergencia del cultivo a los 21 días, superando a los controles respectivos que en 5 mS sólo germinó un 76,9 % y un 53,8 % en 7,5 mS de salinidad; en cambio la concentración de 0,1 mM de AS en 5 mS provocó un 54,5 % de germinación y un 62,5 % con salinidad del medio de 7,5 mS; sin embargo, al elevar la concentración de AS a 1 mM en los tres niveles de salinidad el cultivo no germinó (Fig. 1).

A)



B)



C)

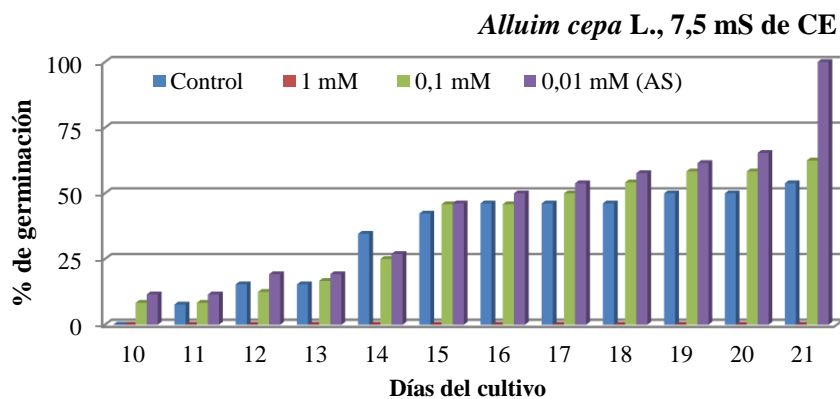


FIG. 1: Germinación *in vitro* del cultivo de cebolla (*Allium cepa L.*) bajo acción del ácido salicílico en diferentes conductividad eléctrica. A. Germinación en 2,5 mS de salinidad. B. Germinación en 5 mS de salinidad. C. Germinación en 7,5 mS de salinidad

4.1.1.2 Longitud del tallo

A los 7, 14, 21 y 28 días en tomate cultivados *in vitro* con salinidad de 2,5, 5 y 7,5 mS, la longitud de tallo de los explantos se incrementaron con las aplicaciones de

concentraciones de 0,01 y 0,1 mM de AS; observándose que con la concentración de 0,01 mM de AS se obtiene mayor incremento significativo sobre el parámetro evaluado al compararle con el control respectivo; con tratamiento de 1 mM de AS afectó negativamente el desarrollo de la longitud del tallo en las tres CE de estudio, evidenciando que la concentración posee propiedades inhibitoras en este parámetro (Tabla 21).

Tabla 21. Efecto del AS, en la longitud del tallo de tomate, *in vitro*

Niveles de salinidad (mS)	Días del cultivo	Longitud del tallo (mm)			
		Control	1 mM AS	0,1 mM AS	0,01 mM AS
2,5	7	19,3 c	14,4 d	22,1 b	24,9 a
	14	31,9 c	21,2 d	43,2 b	51,2 a
	21	48,6 c	31,8 d	52,2 b	60,2 a
	28	68,5 c	41,6 d	79,4 b	83,3 a
5	7	18,7 b	10,0 c	18,8 b	21,6 a
	14	26,7 c	15,7 d	32,6 b	39,8 a
	21	39,9 c	26,6 d	47,1 b	52,2 a
	28	55,4 c	35,4 d	65,1 b	70,9 a
7,5	7	7,4 c	0,0 d	8,9 b	16,5 a
	14	20,0 c	0,0 d	22,4 b	30,6 a
	21	34,4 c	0,0 d	38,1 b	50,6 a
	28	50,6 b	0,0 c	52,2 b	63,9 a

Letras diferentes entre concentraciones indican diferencias significativas con $\alpha > 0,05$.

A los 7, 14, 21 y 28 días la longitud de tallo del explantos de berenjena cultivados en 2,5, 5 y 7,5 mS de salinidad se incrementó significativamente con la aplicación de concentración de 0,01 M de AS con respecto al control, con concentración de 0,1 mM de AS y en salinidad de 2,5 mS la longitud del tallo es afectado negativamente, siendo menor estadísticamente al control durante los 28 días; en salinidad de 5 mS en los primeros 21 días de cultivo también redujo el parámetro evaluado mientras que al finalizado la longitud del tallo se aumentó con respecto al control, pero no mostró significancia estadística mayor; este efecto también se observó a los 7, 21 y 28 días en salinidad de 7,5 mS con la aplicación de 0,1 mM de AS. En cambio con tratamiento de 1 mM de AS la longitud del tallo es afectado negativamente provocando significancia menor con respecto al control (Tabla 22).

Tabla 22. Efecto del AS, en la longitud del tallo de la berenjena, *in vitro*

Niveles de salinidad (mS)	Días del cultivo	Longitud del tallo (mm)			
		Control	1 mM AS	0,1 mM AS	0,01 mM AS
2,5	7	10,1 b	8,2 d	9,2 c	15,2 a
	14	18,9 b	8,6 d	16,1 c	21,7 a
	21	24,1 b	10,9 d	20,7 c	31,5 a
	28	36,0 b	17,8 d	31,4 c	42,4 a
5	7	9,9 b	7,7 d	8,8 c	14,4 a
	14	15,1 b	7,4 c	14,3 b	19,7 a
	21	20,5 b	8,8 d	17,7 c	30,6 a
	28	24,3 b	15,9 c	26,1 b	40,4 a
7,5	7	8,0 b	6,4 c	8,2 b	13,0 a
	14	13,0 b	7,2 c	12,6 b	17,2 a
	21	16,8 b	7,8 c	16,9 b	27,5 a
	28	19,3 b	13,4 c	20,4 b	37,1 a

Letras diferentes entre concentraciones indican diferencias significativas con $\alpha > 0,05$.

Éste efecto promotor del AS a concentraciones de 0,01 y 0,1 mM sobre la longitud del tallo también se muestra en rábano cultivados en 2,5, 5 y 7,5 mS de salinidad; observándose en la tabla 23 que mayor incremento significativo se presentan con la aplicación de 0,01 mM de AS en los tres niveles de salinidad durante los 28 días del ensayo; con tratamiento de 1 mM de AS en las tres CE afectó negativamente el crecimiento de la longitud del tallo observándose que es menor significativamente con el control respectivo.

Tabla 23. Efecto del AS, en la longitud del tallo de rábano, *in vitro*

Niveles de salinidad (mS)	Días del cultivo	Longitud del tallo (mm)			
		Control	1 mM AS	0,1 mM AS	0,01 mM AS
2,5	7	9,1 c	4,7 d	11,5 b	17,1 a
	14	12,1 c	8,9 d	14,9 b	19,4 a
	21	18,0 b	11,2 d	19,0 b	24,7 a
	28	25,3 b	17,2 c	26,9 b	30,5 a
5	7	7,6 c	3,9 d	10,9 b	14,5 a
	14	9,7 c	6,4 d	13,5 b	17,6 a
	21	15,9 c	9,8 d	18,1 b	23,8 a
	28	22,2 b	12,0 c	26,4 a	29,1 a
7,5	7	7,1 c	3,1 d	8,7 b	13,0 a
	14	8,9 c	4,8 d	11,1 b	14,8 a
	21	14,4 c	7,5 d	16,2 b	20,8 a
	28	20,6 b	10,3 c	25,9 a	27,1 a

Letras diferentes entre concentraciones indican diferencias significativas con $\alpha > 0,05$.

4.1.1.3 Longitud de las raíces

En tomate cultivado en 2,5, 5 y 7,5 mS de salinidad las concentraciones de 0,01 y 0,1 mM de AS mostraron un efecto promotor significativo sobre longitud de las raíces; obteniéndose mayor incremento significativo con la aplicación de la concentración de 0,01 mM de AS durante los 28 días del cultivo. Con concentración 1 mM de AS la longitud del sistema radical se ve claramente afectada, siendo menor estadísticamente al compararle con el control respectivo (Tabla 24).

Tabla 24. Efecto del AS, en la longitud de las raíces de tomate, *in vitro*

Niveles de salinidad (mS)	Días del cultivo	Longitud de las raíces (mm)			
		Control	1 mM AS	0,1 mM AS	0,01 mM AS
2,5	7	21,4 c	18,6 d	26,9 b	32,0 a
	14	25,7 c	22,3 d	32,5 b	41,5 a
	21	40,4 c	32,8 d	49,2 b	55,4 a
	28	56,0 c	40,1 d	65,2 b	71,9 a
5	7	18,7 c	10 d	18,8 b	21,6 a
	14	26,7 c	15,7 d	32,6 b	39,8 a
	21	39,9 c	26,6 d	47,1 b	52,2 a
	28	51,5 c	38,0 d	56,2 b	61,8 a
7,5	7	14,3 c	0,0 d	17,2 b	25,5 a
	14	17,4 c	0,0 d	24,3 b	32,5 a
	21	27,5 c	0,0 d	37,0 b	45,6 a
	28	44,9 c	0,0 d	49,8 b	55,7 a

Letras diferentes entre concentraciones indican diferencias significativas con $\alpha > 0,05$.

En el cultivo de berenjena sólo la concentración de 0,01 mM de AS ocasionó un incremento significativo sobre la longitud del sistema radical en 2,5, 5 y 7,5 mS de salinidad durante los 28 días de ensayo. Con concentración de 0,1 mM de AS sólo produjo un aumento no significativo de la longitud de raíces respecto al control con salinidad de 2,5 mS a los 21 días; igual efecto se muestra con 5 de CE a los 7 días; con 7,5 mS de salinidad la longitud radical se incrementa durante los 28 días del estudio, pero sólo se observó significancia sobre el control a los 14 días; con concentración de 1 mM de AS el parámetro se reduce significativamente en los tres niveles de salinidad (Tabla 25).

Tabla 25. Efecto del AS, en la longitud de las raíces de la berenjena, *in vitro*

Niveles de salinidad (mS)	Días del cultivo	Longitud de las raíces (mm)			
		Control	1 mM AS	0,1 mM AS	0,01 mM AS
2,5	7	16,0 b	10,1 c	15,2 b	25,5 a
	14	23,8 b	14,3 d	19,4 c	30,5 a
	21	31,1 b	20,0 c	31,3 b	40,4 a
	28	39,6 b	22,9 c	36,1 b	47,1 a
5	7	11,0 b	9,3 c	11,5 b	20,2 a
	14	20,0 b	12,0 d	17,3 c	27,9 a
	21	26,5 b	15,9 d	24,4 c	35,2 a
	28	33,7 b	24,9 c	31,1 b	43,2 a
7,5	7	5,3 b	3,4 c	5,4 b	12,9 a
	14	7,5 c	5,6 d	9,7 b	15,9 a
	21	10,8 b	8,4 c	11,2 b	24,9 a
	28	14,7 b	11,5 c	15,9 b	31,8 a

Letras diferentes entre concentraciones indican diferencias significativas con $\alpha > 0,05$.

A los 7, 14, 21 y 28 días del cultivo de rábano con 2,5, 5 y 7,5 mS de salinidad la longitud del sistema radical se incrementó significativamente con la aplicación de 0,01 mM de AS respecto al control; con concentración de 0,1 mM de AS la longitud de las raíces del cultivo en 2,5 mS de salinidad a los 7, 21 y 28 días del ensayo el parámetro se redujo, siendo menor significativamente al control al finalizado el ensayo, mientras que a los 14 días mostró un aumento no significativo; con 5 mS de salinidad durante los 28 días del cultivo con concentración de 0,1 mM de AS se observó claramente que reduce la longitud radical, siendo menor significativamente al control a los 21 días de ensayo; con 7,5 mS de salinidad a partir de los 14 días la longitud del sistemas radical, se aumentó con la aplicación de 0,1 mM de AS, pero no mostró diferencias significativas sobre el control. Durante los 28 días de estudio en 2,5, 5 y 7,5 mS de salinidad y tratamientos de 1 mM de AS disminuyó significativamente el desarrollo del sistema radical del cultivo (Tabla 26).

La longitud del sistema radical de cebolla cultivada en 2,5 mS de salinidad se incrementó con la aplicación de 0,01 mM de AS; mostrando significancia sobre el control a los 7, 21 y 28 días del cultivo; mientras que durante los 28 días del ensayo la longitud radical se disminuyó significativamente con la aplicación de 0,1 mM de AS; el efecto de disminución también se observó en 5 y 7,5 mS de

salinidad con aplicaciones de 0,1 y 0,01 mM de AS durante los 28 días del cultivo (Tabla 27).

Tabla 26. Efecto del AS, en la longitud de las raíces del rábano, *in vitro*

Niveles de salinidad (mS)	Días del cultivo	Longitud de las raíces (mm)			
		Control	1 mM AS	0,1 mM AS	0,01 mM AS
2,5	7	9,5 b	6,3 c	8,3 b	24,5 a
	14	20,3 b	7,4 c	21,3 b	30,9 a
	21	28,8 b	10,3 d	25,8 b	46,3 a
	28	39,5 b	12,2 d	32,1 c	54,2 a
5	7	9,0 b	5,0 c	8,3 b	20,2 a
	14	16,9 b	7,4 c	16,0 b	29,7 a
	21	28,6 b	8,8 d	23,1 c	43,0 a
	28	34,2 b	10,4 c	30,9 b	53,0 a
7,5	7	7,1 b	4,1 c	7,0 b	15,5 a
	14	15,4 b	5,4 c	16,0 b	25,3 a
	21	20,1 b	5,9 c	22,0 b	36,0 a
	28	26,3 b	6,9 c	27,6 b	52,5 a

Letras diferentes entre concentraciones indican diferencias significativas con $\alpha > 0,05$.

Tabla 27. Efecto del AS sobre la longitud de las raíces en el cultivo de la cebolla, *in vitro*

Niveles de salinidad (mS)	Días del cultivo	Longitud de las raíces (mm)			
		Control	1 mM AS	0,1 mM AS	0,01 mM AS
2,5	7	13,3 b	0,0 c	2,0 c	21,8 a
	14	21,4 a	0,0 b	3,2 b	25,4 a
	21	27,8 b	0,0 d	4,1 c	35,5 a
	28	44,1 b	0,0 d	9,8 c	50,5 a
5	7	21,8 a	0,0 d	2,0 c	11,1 b
	14	26,6 a	0,0 d	3,0 c	20,3 b
	21	31,5 a	0,0 d	4,0 c	25,4 b
	28	42,3 a	0,0 c	5,0 c	34,7 b
7,5	7	19,4 a	0,0 d	3,4 c	15,0 b
	14	25,2 a	0,0 d	5,6 c	17,0 b
	21	28,8 a	0,0 d	8,6 c	19,9 b
	28	34,8 a	0,0 d	9,7 c	29,8 b

Letras diferentes entre concentraciones indican diferencias significativas con $\alpha > 0,05$.

4.1.1.4 Número de hojas

El AS en el cultivo de tomate a concentraciones de 0,01 mM desarrolló un mayor número de hojas en los tres niveles de salinidad estudiados, demostrando significancia durante los 28 días con respecto al control; mientras que con tratamiento de 0,1 mM de AS, estos incrementos significativos del número de

hojas, se presentaron a partir de los 14 días hasta finalizado el ensayo con salinidad de 2,5 y 5 mS; con salinidad de 7,5 mS, estos incrementos se presentaron durante todo el ensayo con la aplicación de 0,1 mM de AS. En cambio con tratamiento de 1 mM de AS el número de hojas de explantos de tomate se ve afectado negativamente en salinidad de 2,5, 5 y 7,5 mS durante todo el ensayo (Tabla 28).

Tabla 28. Efecto del AS, sobre el número de hojas en el cultivo de tomate, *in vitro*

Niveles de salinidad (mS)	Días del cultivo	Número de hojas			
		Control	1 mM AS	0,1 mM AS	0,01 mM AS
2,5	7	2,0 bc	1,8 c	2,2 ab	2,5 a
	14	2,3 c	2,0 c	3,2 b	3,6 a
	21	3,2 b	2,5 c	4,0 a	4,2 a
	28	4,1 c	3,5 d	4,6 b	5,0 a
5	7	1,9 b	1,5 c	2,0 b	2,2 a
	14	2,2 bc	1,9 c	2,5 a	3,0 a
	21	3,0 c	2,0 d	3,5 b	4,0 a
	28	3,9 c	3,0 d	4,3 b	5,0 a
7,5	7	1,4 c	0,0 c	1,2 b	2,0 a
	14	2,0 c	0,0 c	2,3 b	2,5 a
	21	2,7 c	0,0 d	3,2 b	3,6 a
	28	3,5 c	0,0 d	4,1 b	4,6 a

Letras diferentes entre concentraciones indican diferencias significativas con $\alpha > 0,05$.

Con salinidad de 2,5, 5 y 7,5 mS el AS a concentración de 0,01 mM en el cultivo de berenjena aumentó significativamente el número de hojas desde los 7 días hasta finalizar el ensayo; el incremento de números de hojas también se mostró con la concentración de 0,1 mM de AS durante todo el experimento en los tres niveles de salinidad; aunque no se encuentran diferencias significativas a los 7 y 28 días del ensayo con 5 mS de salinidad y al inicio del estudio con 7,5 mS. Sin embargo aunque ambas concentraciones de AS incrementa el número de las hojas la concentración de 1 mM AS afecta negativamente, este parámetro (Tabla 29).

En el cultivo de rábano concentraciones de 1 mM de AS mostró una fuerte inhibición, reduciendo significativamente el número de hojas a los 7, 14, 21 y 28 días del ensayo, con salinidad de 2,5, 5 y 7,5 mS. Al disminuir la concentración de AS a 0,1 mM el promedio de números de hojas se incrementó; encontrándose diferencia significativos con el control en 2,5 mS de salinidad a partir de los 14 días; en salinidad de 5 mS al finalizar el estudio y con la conductividad de 7,5 mS

a los 7, 14 y 28 días; aumentos significativos más alto resultaron con la concentración de 0,01 mM de AS en todos los niveles de salinidad durante todo el experimento (Tabla 30).

Tabla 29. Efecto del AS, en el número de hojas en el cultivo de berenjena, *in vitro*

Niveles de salinidad (mS)	Días del cultivo	Número de hojas			
		Control	1 mM AS	0,1 mM AS	0,01 mM AS
2,5	7	2,0 c	2,0 c	2,3 b	2,9 a
	14	2,8 b	2,2 c	3,6 a	3,8 a
	21	3,3 b	2,3 c	3,8 a	4,2 a
	28	4,5 b	3,0 c	5,2 a	5,5 a
5	7	2,0 b	2,0 b	2,1 ab	2,3 a
	14	2,7 b	2,1 c	3,2 a	3,3 a
	21	3,1 b	2,3 c	3,9 a	4,0 a
	28	4,2 b	2,5 c	4,6 b	5,2 a
7,5	7	2,0 a	2,0 b	2,1 a	2,2 a
	14	2,4 b	2,0 c	3,0 a	3,1 a
	21	2,6 b	2,0 c	3,4 a	3,6 a
	28	3,2 c	2,4 c	4,0 b	4,8 a

Letras diferentes entre concentraciones indican diferencias significativas con $\alpha > 0,05$.

Tabla 30. Efecto del AS, en el número de hojas en el cultivo de rábano, *in vitro*

Niveles de salinidad (mS)	Días del cultivo	Número de hojas			
		Control	1 mM AS	0,1 mM AS	0,01 mM AS
2,5	7	2,0 bc	1,6 c	2,1 ab	2,5 a
	14	3,1 b	2,0 c	3,7 a	3,8 a
	21	3,8 c	2,3 c	4,0 a	4,4 a
	28	4,3 b	3,0 c	5,3 a	6,0 a
5	7	2,0 b	1,6 c	2,0 b	2,5 a
	14	2,9 b	2,0 c	3,2 ab	3,0 a
	21	3,5 b	2,0 c	3,8 ab	4,0 a
	28	4,1 b	3,0 c	4,8 a	5,0 a
7,5	7	2,0 b	1,6 c	2,0 a	2,2 a
	14	2,8 b	1,8 c	3,0 a	3,1 a
	21	2,9 b	1,9 c	3,2 b	3,6 a
	28	4,0 b	2,7 c	4,7 a	5,1 a

Letras diferentes entre concentraciones indican diferencias significativas con $\alpha > 0,05$.

El número de hojas en la cebolla cultivada en 2,5 mS y 5 mS de salinidad con aplicación de 0,01 mM de AS, se incrementó significativamente durante los 28 días después de la germinación del cultivo; a concentraciones de 0,1 mM de AS el número de hojas se disminuyó significativamente a partir de los 14 días con 2,5

mS de salinidad y a los 21 y 28 días con 5 mS de salinidad. En 7,5 mS de salinidad, sólo a partir de los 14 días, el número de hojas se incrementó significativamente con la aplicación de 0,01 mM de AS, mientras que la concentración de 0,1 mM de AS disminuyó el número de hojas a los 21 días y al finalizado el ensayo; siendo significativamente menor al control, cuando se finaliza el estudio (Tabla 31).

Tabla 31. Efecto del AS sobre el número de hojas en el cultivo de cebolla, *in vitro*

Niveles de salinidad (mS)	Días del cultivo	Número de hojas			
		Control	1 mM AS	0,1 mM AS	0,01 mM AS
2,5	7	1,0 b	0,0 c	1,0 b	1,7 a
	14	1,6 b	0,0 d	1,0 c	2,0 a
	21	1,6 b	0,0 d	1,0 c	2,0 a
	28	2,0 b	0,0 d	1,0 c	2,3 a
5	7	1,0 b	0,0 c	1,0 b	1,3 a
	14	1,1 b	0,0 c	1,0 b	1,8 a
	21	1,5 b	0,0 d	1,0 c	1,8 a
	28	1,7 b	0,0 d	1,0 c	2,0 a
7,5	7	1,0 a	0,0 b	1,0 a	1,0 a
	14	1,0 b	0,0 c	1,0 b	1,4 a
	21	1,1 b	0,0 c	1,0 b	1,5 a
	28	1,6 a	0,0 d	1,0 c	2,0 a

Letras diferentes entre concentraciones indican diferencias significativas con $\alpha > 0,05$.

4.1.1.5 Longitud de hoja en cebolla

La longitud de la hoja de la cebolla cultivada en 2,5 mS de salinidad se incrementó con la aplicación de 0,01 mM de AS; mostrándose significancia sobre el control a los 7, 14 y 28 días del cultivo; mientras que durante los 28 días del ensayo la longitud de la hoja se disminuyó significativamente con la aplicación de concentraciones de 0,1 mM de AS; el efecto de disminución significativa también se observó en 5 y 7,5 mS de salinidad con las concentraciones de 0,1 y 0,01 mM de AS durante los 28 días del cultivo (Tabla 32).

Tabla 32. Efecto del AS sobre la longitud de hojas en el cultivo de cebolla, *in vitro*

Niveles de salinidad (mS)	Días del cultivo	Longitud de hojas (mm)			
		Control	1 mM AS	0,1 mM AS	0,01 mM AS
2,5	7	34,7 b	0,0 d	15,2 c	39,1 a
	14	49,0 b	0,0 d	14,0 c	53,1 a
	21	66,0 a	0,0 c	23,6 b	69,1 a
	28	84,2 b	0,0 d	32,1 c	90,3 a
5	7	25,6 a	0,0 d	10,4 c	21,2 b
	14	41,2 a	0,0 d	15,1 c	23,6 b
	21	52,5 a	0,0 c	20,3 b	27,8 b
	28	68,1 a	0,0 d	24,7 c	32,6 b
7,5	7	20,0 a	0,0 d	9,1 c	17,3 b
	14	25,3 a	0,0 d	9,1 c	18,5 b
	21	27,0 a	0,0 c	19,7 b	21,3 b
	28	63,2 a	0,0 d	23,7 c	31,3 b

Letras diferentes entre concentraciones indican diferencias significativas con $\alpha > 0,05$.

4.1.1.7 Clorofilas

En tomate, berenjena y rábano el AS a concentraciones de 0,01 y 0,1 mM incrementó significativamente el contenido de las clorofilas respecto al control; observándose que los promedios más altos de las clorofilas se presentaron con concentración de 0,01 mM de AS en los tres niveles de salinidad ensayados; sin embargo con la aplicación de concentraciones de 1 mM de AS el nivel de clorofilas se ve afectado negativamente, cuyo valor promedio se disminuyó significativamente al compararlo con el control respectivo en las tres especies y en los tres niveles de salinidad (Tabla 33).

Tabla 33. Variación de las clorofilas en diferentes especies por efecto del AS, *in vitro*

Especies	Niveles de salinidad (mS)	Clorofila en Unidades SPAD			
		Control	1 mM AS	0,1 mM AS	0,01 mM AS
Tomate	2,5	27,8 b	10,0 c	29,4 a	30,1 a
	5	25,9 c	4,3 d	27,2 b	28,0 a
	7,5	23,9 c	0,0 d	25,2 b	27,9 a
Berenjena	2,5	18,8 c	14,6 d	20,8 b	23,7 a
	5	17,8 c	11,3 d	20,0 b	22,7 a
	7,5	15,3 c	10,0 d	17,1 b	20,7 a
Rábano	2,5	23,7 c	12,9 d	26,3 b	28,0 a
	5	21,3 c	11,6 d	23,3 b	26,0 a
	7,5	19,8 c	9,6 d	22,3 b	24,3 a

Letras diferentes entre concentraciones indican diferencias significativas con $\alpha > 0,05$.

En la cebolla los niveles de las clorofilas se incrementó significativamente con la aplicación de 0,01 mM de AS en los tres niveles de salinidad ensayados; concentraciones de 0,1 mM de AS en 2,5 y 5 mS de salinidad disminuyeron el contenido de clorofilas respecto al control, mientras que con 7,5 mS de salinidad ocasionó un aumento no significativo. La disminución y aumento de las clorofilas con tratamiento de 0,1 mM de AS no provocaron significancia estadística sobre control. Al contrario concentraciones de 1 mM de AS, provocaron la no germinación del cultivo de la cebolla, el cual no permitió analizar dicho parámetro (Tabla 34).

Tabla 34. Clorofilas en hojas de cebolla, bajo efecto del AS, *in vitro*

Niveles de salinidad (mS)	Clorofila en Unidades SPAD			
	Control	1 mM AS	0,1 mM AS	0,01 mM AS
2,5	11,2 b	0,0 d	8,9 c	16,9 a
5	6,3 b	0,0 c	5,4 b	13,5 a
7,5	4,6 b	0,0 c	4,9 b	11,2 a

Letras diferentes entre concentraciones indican diferencias significativas con $\alpha > 0,05$.

4.1.1.8 Área foliar

En tomate, rábano y berenjena con la aplicación de 0,01 mM de AS; el área foliar aumentó significativamente en los tres niveles de salinidad con respecto a 0 y 1 mM de AS; el efecto también se muestra con 0,1 mM de AS en el cultivo de tomate con salinidad de 2,5; 5 y 7,5 mS y en berenjena con conductividad de 7,5 mS; mientras que en los tres niveles de salinidad en rábano y con salinidad de 2,5 y 5 mS en berenjena no difieren estadísticamente con el control; cuyo efecto promotor disminuye significativamente con la aplicación de 1 mM de AS durante todo el ciclo del ensayo bajo las condiciones de salinidad en las tres especie estudiadas (Tabla 35).

El área foliar de las hojas del cultivo de cebolla en 2,5 mS de salinidad se incrementó significativamente con la aplicación de 0,01 mM de AS al compararlo con el control; en cambio la concentración de 0,1 mM de AS disminuyó significativamente este parámetro. En 5 y 7,5 mS de salinidad, las aplicaciones de 0,1 y 0,01 mM de AS disminuyeron el área foliar de las hojas de cebolla, aunque

en 5 y 7,5 mS de salinidad con tratamiento de 0,01 mM de AS no se encontraron diferencias significativas (Tabla 36).

Tabla 35. Variación del Área foliar en diferentes especies por efecto de concentraciones del AS, *in vitro*

Especies	Niveles de salinidad (mS)	Área foliar (mm ²)			
		Control	1 mM AS	0,1 mM AS	0,01 mM AS
Tomate	2,5	1213,8 c	177,2 d	1354,1 b	1513,1 a
	5	993,5 c	125,6 d	1276,9 b	1385,0 a
	7,5	899,5 c	0,0 d	1093,0 b	1284,3 a
Berenjena	2,5	893,7 b	230,2 c	978,1 b	1191,1 a
	5	676,5 b	146,3 c	675,8 b	987,8 a
	7,5	307,3 c	136,9 d	372,7 b	644,9 a
Rábano	2,5	1270,6 b	451,7 c	1278,6 b	1607,2 a
	5	1018,3 b	258,0 c	1005,3 b	1502,9 a
	7,5	966,7 b	146,0 c	978,5 b	1418,4 a

Letras diferentes entre concentraciones indican diferencias significativas con $\alpha > 0,05$.

Tabla 36. Variación del Área foliar del cultivo de cebolla por efecto de concentraciones del AS, *in vitro*

Niveles de salinidad (mS)	Área foliar (mm ²)			
	Control	1 mM AS	0,1 mM AS	0,01 mM AS
2,5	381,1 b	0,0 d	141,6 c	446,8 a
5	260,2 a	0,0 c	107,9 b	246,9 a
7,5	215,3 a	0,0 c	83,7 b	108,0 a

Letras diferentes entre concentraciones indican diferencias significativas con $\alpha > 0,05$.

4.1.1.9 Pesos fresco y seco de hojas

En consecuencia de un mayor número de hojas con concentración de 0,01 mM de AS resultó dar mayores pesos fresco y seco de las hojas en tomate, rábano y berenjena cultivadas en 2,5; 5 y 7,5 mS de salinidad, también se observa que a concentraciones de 0,1 mM de AS incrementa los pesos frescos de hojas con las tres conductividades eléctricas en rábano y tomate y en 5 mS en berenjena. Sólo en berenjena con 2,5 y 7,5 mS de salinidad en los pesos frescos de hojas la concentración de 0,1 mM de AS disminuyó este parámetro, aunque no difieren estadísticamente con el control.

Con tratamiento de 0,1 mM de AS en los pesos secos de las hojas en berenjena con salinidad de 2,5 y 5 mS aumentaron, aunque no de forma significativa si se

compara con el control; mientras que con 7,5 mS de salinidad disminuye significativamente. Aun así, el promedio del peso fresco y seco de las hojas se reduce más con la aplicación de 1 mM de AS en los tres niveles de salinidad y en las tres especies ensayadas (Tabla 37).

Tabla 37. Pesos fresco y seco de hojas de tomate, berenjena y rábano bajo efecto del AS, *in vitro*

Especies	Niveles de salinidad (mS)	Peso fresco hoja (mg)				Peso seco hoja (mg)			
		Control	1 mM AS	0,1 mM AS	0,01 mM AS	Control	1 mM AS	0,1 mM AS	0,01 mM AS
Tomate	2,5	256,8 c	118 d	301,3 b	320,9 a	25,1 c	13,8 d	35,3 b	44,9 a
	5	199,5 c	77,7 d	255,2 b	285,4 a	21,1 c	7,8 d	25,3 b	31,0 a
	7,5	183,8 c	0,0 d	213,8 b	262,4 a	15,3 c	0,0 d	20,5 b	25,1 a
Berenjena	2,5	180,8 b	59,0 c	163,1 b	274,6 a	15,3 b	6,5 c	17,0 b	25,3 a
	5	122,1 c	42,0 d	139,5 b	257,2 a	12,3 b	4,1 c	13,0 b	23,7 a
	7,5	72,2 b	34,4 c	68,5 b	209,5 a	10,2 b	3,3 c	9,2 c	20,3 a
Rábano	2,5	459,0 c	155,0 c	571,5 b	653,9 a	44,3 c	16,0 d	53,9 b	66,0 a
	5	416,1 c	124,9 d	446,9 b	627,8 a	40,2 c	13,3 d	43,9 b	54,0 a
	7,5	249,4 c	115,1 d	343,3 b	562,0 a	23,6 c	10,0 d	30,7 b	37,0 a

Letras diferentes entre concentraciones indican diferencias significativas con $\alpha > 0,05$.

Los pesos fresco y seco de las hojas de cebolla se incrementaron significativamente con la aplicación de 0,01 mM de AS al finalizar el ensayo en los tres niveles de salinidad; en las concentraciones de 0,1 mM de AS se observó que los pesos frescos y seco se disminuyeron; siendo significativamente menor con respecto al control en 2,5, 5 y 7,5 mS de salinidad en el peso fresco de las hojas; pero en el peso seco la disminución del parámetro en los tres niveles de salinidad no fue significativamente menor al compararle con el control (Tabla 38).

Tabla 38. Pesos fresco y seco de hojas en cebolla bajo efecto del AS, *in vitro*

Niveles de salinidad (mS)	Peso fresco hoja (mg)				Peso seco hoja (mg)			
	Control	1 mM AS	0,1 mM AS	0,01 mM AS	Control	1 mM AS	0,1 mM AS	0,01 mM AS
2,5	135,5 b	0,0 d	23,5 c	159,8 a	13,4 b	0,0 c	9,6 b	23,5 a
5	128,5 b	0,0 d	23,2 c	153,0 a	11,4 b	0,0 c	8,0 b	18,0 a
7,5	51,7 b	0,0 d	33,5 c	96,4 a	6,5 b	0,0 c	5,2 b	14,9 a

Letras diferentes entre concentraciones indican diferencias significativas con $\alpha > 0,05$.

4.1.1.10 Pesos fresco y seco del tallo

Los pesos frescos y secos del tallo se aumentaron en los cultivos de rábano y tomate a concentraciones de 0,1 y 0,01 mM de AS con relación a 0 y 1 mM de AS en los tres niveles de salinidad; cuyos valores más altos significativamente se observaron con el tratamiento de 0,01 mM de AS en las dos especies; mientras que aplicaciones de 1 mM de AS mostraron claramente una reducción significativa de los pesos frescos y secos del tallo para los tres niveles de salinidad ensayados en las dos especies mencionadas (Tabla 39).

Tabla 39. Efecto del AS, sobre los pesos fresco y seco del tallo en tomate y rábano, *in vitro*

Especies.	Niveles de salinidad (mS)	Peso fresco tallo (mg)				Peso seco tallo (mg)				
		Control	1 mM	0,1 mM	0,01	Control	0,1	0,01	Control	0,1
			AS	AS	mM AS		mM	mM		AS
Tomate	2,5	181,2 c	80,2 d	205,8 b	238,0 a	15,5 c	8,3 d	19,3 b	24,8 a	
	5	152,5 c	69,2 d	172,8 b	201,0 a	12,8 c	6,6 d	18,1 b	22,2 a	
	7,5	127,2 c	0,0 d	163,9 b	191,3 a	6,9 b	0,0 c	10,7 b	16,7 a	
Rábano	2,5	105,4 c	61,0 d	130,4 b	153,0 a	11,8 c	6,4 d	15,8 b	21,6 a	
	5	89,0 c	45,7 d	95,7 b	131,0 a	10,0 c	4,6 d	12,8 b	17,6 a	
	7,5	71,7 c	25,8 d	79,2 b	113,0 a	7,3 c	3,0 d	10,9 b	14,7 a	

Letras diferentes entre concentraciones indican diferencias significativas con $\alpha > 0,05$.

El AS, a concentraciones de 0,01 mM con salinidad de 2,5, 5 y 7,5 mS en el cultivo de berenjena incrementó significativamente los pesos frescos y secos del tallo, en comparación a 0 y 1 mM de AS. El tratamiento de 0,1 mM de AS también aumentó los pesos frescos y secos de tallo en salinidades de 5 y 7,5 mS; en peso seco con 2,5 mS, aumenta aunque no significativamente si lo comparamos con el control; en cambio el peso fresco del tallo en berenjena con salinidad de 2,5 mS disminuyó significativamente, sin embargo el efecto de reducción sobre los pesos, aun es más notorio, al aplicar ácido salicílico a concentración de 1 mM en las tres conductividades eléctrica (Tabla 40).

Tabla 40. Efecto del AS, en pesos fresco y seco del tallo del cultivo de berenjena, *in vitro*

Niveles de salinidad (mS)	Peso fresco tallo (mg)				Peso seco tallo (mg)			
	Control	1 mM AS	0,1 mM AS	0,01 mM AS	Control	1 mM AS	0,1 mM AS	0,01 mM AS
2,5	63,3 b	26,2 c	44,0 c	113 a	8,8 b	3,2 c	13,2 b	19,0 a
5	35,8 c	18,7 d	43,1 b	100 a	7,4 c	2,7 d	12,6 b	17,2 a
7,5	24,6 c	12,5 d	32,8 b	91,3 a	6,0 c	1,8 d	8,4 b	14,8 a

Letras diferentes entre concentraciones indican diferencias significativas con $\alpha > 0,05$.

4.1.1.11 Pesos fresco y seco de las raíces

Los pesos frescos y secos de las raíces se aumentaron en los cultivos de rábano y tomate a concentraciones de 0,1 y 0,01 mM de AS respecto a 0 y 1 mM de AS en los tres niveles de salinidad, observándose mayor incremento de los pesos con la aplicación de 0,01 mM de AS. En berenjena los tres niveles de salinidad, la aplicación de 0,01 mM de AS aumentó significativamente los pesos frescos y secos en comparación a 0 y 1 mM; con 0,1 mM de AS también aumentó el peso fresco con la conductividad de 7,5 mS y peso seco con salinidad 5 y 7,5, pero no difieren significativamente con el control.

La concentración de AS de 0,1 mM, disminuye de forma no significativa el peso fresco de las raíces de berenjena con salinidad de 5 mS y el peso seco con conductividad de 2,5 mS, respecto al control, mientras que el peso fresco de la raíz con salinidad 2,5 mS es afectada, siendo significativamente menor al control. Conductividades de 2,5, 5 y 7,5 mS los pesos frescos y secos del sistema radical de tomate, berenjena y rábano con la aplicación de 1 mM de AS, mostraron los valores más bajos; siendo estadísticamente menor al control (Tabla 41).

Los pesos frescos del sistema radical de la cebolla cultivado en 2,5, 5 y 7,5 mS de salinidad se incrementó con la aplicación de 0,01 mM de AS; observándose estadísticamente significativo sobre el control en 2,5 y 7,5 mS; la concentración de 0,1 mM de AS disminuye significativamente el peso fresco de las raíces respecto al control. En el peso seco con tratamiento de 0,01 mM de AS se observó que el promedio final se incrementó significativamente en los tres niveles de

salinidad, mientras que concentraciones de 0,1 mM de AS resultó ser estadísticamente menor al control (Tabla 42)

Tabla 41. Efecto del AS, sobre los pesos fresco y seco de raíces de diferente especies, *in vitro*

Especies.	Niveles de salinidad (mS)	Peso fresco raíz (mg)				Peso seco raíz (mg)			
		Control	1 mM AS	0,1 mM AS	0,01 mM AS	Control	1 mM AS	0,1 mM AS	0,01 mM AS
Tomate	2,5	110,8 c	28,6 d	144,1 b	160 a	12,0 c	3,3 d	16,3 b	24,1 a
	5	93,2 c	16,0 d	112,8 b	140 a	9,7 c	1,6 d	14,9 b	22,1 a
	7,5	67,6 c	0,0 d	84,3 b	97,3 a	5,7 c	0,0 d	7,4 b	15,2 a
Berenjena	2,5	43,3 b	23,4 c	34,3 c	112 a	5,9 b	2,9 c	5,2 b	15,0 a
	5	26,7 b	11,5 c	23,7 b	89,0 a	4,4 b	1,9 c	4,7 b	13,1 a
	7,5	15,0 b	9,6 c	15,7 b	68,6 a	2,3 b	1,4 c	3,2 b	11,4 a
Rábano	2,5	82,8 c	24,2 d	92,4 b	122 a	9,6 c	2,6 d	9,0 b	16,2 a
	5	52,4 c	14,2 d	71,9 b	110 a	4,6 c	1,9 d	7,8 b	12,3 a
	7,5	35,7 c	12,5 d	54,0 b	89,0 a	3,9 c	1,4 d	6,4 b	11,5 a

Letras diferentes entre concentraciones indican diferencias significativas con $\alpha > 0,05$.

Tabla 42. Pesos fresco y seco del sistema radical de la cebolla *in vitro*, bajo acción del AS

Niveles de salinidad (mS)	Peso fresco hoja (mg)				Peso seco hoja (mg)			
	Control	1 mM AS	0,1 mM AS	0,01 mM AS	Control	1 mM AS	0,1 mM AS	0,01 mM AS
2,5	35,3 b	0,0 d	10,2 c	49,0 a	11,4 b	0,0 d	8,0 c	18,0 a
5	33,7 a	0,0 b	8,8 b	43,2 a	4,8 b	0,0 d	1,8 c	10,3 a
7,5	14,7 b	0,0 c	3,2 c	23,6 a	3,9 b	0,0 c	2,9 c	9,0 a

Letras diferentes entre concentraciones indican diferencias significativas con $\alpha > 0,05$.

4.1.1.12 Diámetro del bulbo de la cebolla

El AS en concentraciones de 0,01 y 0,1 mM incrementó el diámetro del bulbo de cebolla cultivadas en 2,5, 5 y 7,5 mS de salinidad; observándose claramente que el mayor incremento de los bulbos se presentaron con el tratamiento de 0,01 mM de AS, provocando diferencias significativas sobre el control en salinidad de 5 y 7,5 mS (Tabla 43).

Tabla 43. Efecto del AS sobre el diámetro del bulbo de la cebolla, *in vitro*

Niveles de salinidad (mS)	Diámetro del bulbo (mm)			
	Control	1 mM AS	0,1 mM AS	0,01 mM AS
2,5	2,2 a	0,0 b	2,4 a	2,5 a
5	1,7 b	0,0 c	1,9 b	2,7 a
7,5	1,0 c	0,0 d	2,5 b	3,4 a

Letras diferentes entre concentraciones indican diferencias significativas con $\alpha > 0,05$.

4.1.1.13 Pesos fresco y seco del bulbo de la cebolla

Los pesos fresco y seco de los bulbos de cebolla, se incrementaron significativamente con la aplicación de 0,01 mM de AS en los tres niveles de salinidad, con concentración de 0,1 mM de AS, también se observó incremento sobre el peso fresco del bulbo de cebolla en 5 y 7,5 mS y en el peso seco con salinidad de 7,5 mS; mientras que en salinidad de 2,5 mS los pesos fresco y seco disminuyó, siendo estadísticamente igual a control. El peso seco de los bulbos con salinidad de 5 mS tratados con 0,1 mM de AS, también presentó el mismo efecto (Tabla 44).

Tabla 44. Pesos fresco y seco del bulbo de la cebolla, bajo acción del AS *in vitro*

Niveles de salinidad (mS)	Peso fresco bulbo (mg)				Peso seco bulbo (mg)			
	Control	1 mM AS	0,1 mM AS	0,01 mM AS	Control	1 mM AS	0,1 mM AS	0,01 mM AS
2,5	31,0 b	0,0 b	30,0 b	44,4 a	4,3 b	0,0 d	3,2 b	13,2 a
5	22,1 c	0,0 d	38,2 b	51,7 a	3,9 b	0,0 c	2,9 b	9,0 a
7,5	17,7 bc	0,0 c	72,8 ab	107,9 a	2,6 c	0,0 d	5,5 b	10,0 a

Letras diferentes entre concentraciones indican diferencias significativas con $\alpha > 0,05$.

4.1.2 EFECTO DEL ÁCIDO SALICÍLICO EN EL CRECIMIENTO Y DESARROLLO DE TOMATE, BERENJENA Y RÁBANO CULTIVADAS *in vivo* EN 0, 2,5 Y 5 mS DE SALINIDAD

Se observó la acción del ácido salicílico en la germinación, crecimiento y desarrollo en los cultivos de tomate, berenjena y rábano; con semillas previamente tratadas por el método de imbibición durante 24 horas a concentraciones de 0, 0,1 y 0,01 mM de AS; y luego sembradas en un sustrato (turba 75 % + perlita 25 %) con salinidad de 0, 2,5 y 5 mS.

4.1.2.1. Germinación

El proceso de imbibición de semillas de *Lycopersicon esculentum* Mill, con AS a concentraciones de 0,01 y 0,1 mM, incrementó claramente la germinación,

alcanzando un 100 % en las conductividades de 0 y 5 mS de salinidad al quinto día, mientras que el control de 0 mS sólo logró el 97,5 % y 92,5 % con salinidad de 5 mS. Con salinidad de 2,5 mS la concentración de 0,1 mM de AS, en el mismo día alcanzó el 100 %; en cambio con 0,01 mM de AS logró el 100 % al sexto día, dejando solo en un 95 % el control (Tabla 45).

Tabla 45. Efecto de la germinación del cultivo de tomate, *in vivo* por acción del AS

Niveles de salinidad (mS)	Concentraciones de AS (mM)	Días de cultivo					
		1	2	3	4	5	6
		% de germinación.					
0	Control	0,0	10,0	25,0	72,5	97,5	97,5
	0,1	0,0	25,0	62,5	97,5	100	100
	0,01	0,0	20,0	50,0	80,0	100	100
2,5	Control	0,0	12,5	37,5	75,0	95,0	95,0
	0,1	0,0	30,0	80,0	87,5	100	100
	0,01	0,0	25,0	75,0	87,5	95,0	100
5	Control	0,0	10,0	30,0	65,0	92,5	92,5
	0,1	0,0	50,0	95,0	95,0	100	100
	0,01	0,0	45,0	90,0	95,0	100	100

El porcentaje de germinación del cultivo berenjena (*Solanum melongena* L.); mostrado en la tabla 38, se observa claramente que el AS influye sobre la emergencia de las semillas en suelos con 0, 2,5 y 5 mS de salinidad; alcanzado al noveno día un 100 % en concentraciones de 0,1 y 0,01 mM y el control solo logra un 93 % con 0 mS, 90 % con 2,5 mS y 87,5 % con 5 mS (tabla 46).

Tabla 46. Efecto de la germinación del cultivo de berenjena, *in vivo* por acción del AS

Niveles de salinidad (mS)	Concentraciones AS (mM)	Días de cultivo				
		5	6	7	8	9
		% de germinación.				
0	Control.	0	5,0	30,0	70	93
	0,1	0	12,5	47,5	85,0	100
	0,01	0	15	52,5	92,5	100
2,5	Control.	0	5,0	28	75	90,0
	0,1	7,5	25,0	42,5	67,5	100
	0,01	5,0	20,0	38	65	100
5	Control	0	2,5	30	65	87,5
	0,1	0	17,5	70	95	100
	0,01	0	22,5	57,5	95	100

El cultivo de *Raphanus sativus* L., germinó el 100 % al cuarto día, con conductividades de 0, 2,5 y 5 mS con tratamientos de 0,01 y 0,1 mM de AS;

mientras que en el mismo día, el control con salinidad de 0 mS logra un 95 %, un 87 % con salinidad de 2,5 mS y un 80 % con conductividad de 5 mS (Tabla 47).

Tabla 47. Efecto de la germinación del cultivo de rábano, *in vivo* por acción del AS

Niveles de salinidad (mS)	Concentraciones AS (mM)	Días de cultivo			
		1	2	3	4
		% de germinación.			
0	Control	0	25	78	95,0
	0,1	12,5	42,5	85	100
	0,01	30	53	85,0	100
2,5	Control	0	12,5	45,0	87,5
	0,1	12,5	37,5	80,0	100
	0,01	15	45	83	100
5	Control	12,5	58	68	80
	0,1	20	60,0	95,0	100
	0,01	25	60,0	90,0	100

4.1.2.2 Longitud del tallo

La longitud del tallo en el cultivo de tomate se aumentó significativamente durante todo el ensayo con las pulverizaciones de concentraciones de 0,1 y 0,01 mM de AS sembrada en suelo con 0, 2,5 y 5 mS de salinidad; observándose mayor longitud del tallo con el tratamiento 0,01 mM de AS (Tabla 48).

Tabla 48. Efecto del AS en la longitud del tallo del cultivo de tomate, *in vivo*

Niveles de salinidad (mS)	Días del cultivo	Longitud del tallo (mm)		
		Control	0,1 mM AS	0,01 mM AS
0	7	30,2 b	34,5 a	34,2 a
	14	84,8 b	96,1 a	98,2 a
	21	96,2 b	126,6 a	128,2 a
	28	133,3 b	179,6 a	180,3 a
2,5	7	29,1 b	34,8 a	35,2 a
	14	73,5 b	88,1 a	88,7 a
	21	91,2 c	99,5 b	108,2 a
	28	114,4 b	151,8 a	153,9 a
5	7	26,3 b	30,2 a	30,3 a
	14	66,9 b	83,0 a	83,9 a
	21	87,6 c	96,6 b	100,9 a
	28	97,4 b	111,3 a	113,5 a

Letras diferentes entre concentraciones indican diferencias significativas con $\alpha > 0,05$.

Con 0 mS de salinidad, el AS a concentraciones de 0,1 y 0,01 mM incrementó significativamente la longitud del tallo durante los 28 días del cultivo de berenjena, observándose mayor incremento a los 14 y 28 días, obteniéndose mejores resultados con tratamientos de 0,1 mM de AS; mientras que a los 7 y 21 días, la mayor longitud del tallo se observó con concentraciones de 0,01 mM de AS; en salinidad de 2,5 y 5 mS también incrementaron la longitud del tallo con la aplicación de éstas dos concentraciones de AS, demostrándose en la tabla 49, que la mayor longitud de los tallos se obtuvieron con tratamientos de 0,1 mM de AS durante los 28 días del cultivo.

Tabla 49. Efecto del AS, en la longitud del tallo del cultivo de la berenjena, *in vivo*

Niveles de salinidad (mS)	Días del cultivo	Longitud del tallo (mm)		
		Control	0,1 mM AS	0,01 mM AS
0	7	21,2 b	27,0 a	28,7 a
	14	52,4 b	56,6 a	55,1 a
	21	63,7 b	68,3 a	69,7 a
	28	73,3 b	82,4 a	79,6 a
2,5	7	20,1 b	25,6 a	24,4 a
	14	52,1 b	56,2 a	55,1 ab
	21	63,7 b	70,9 a	70,7 a
	28	67,6 b	79,0 a	77,8 a
5	7	19,7 b	24,5 a	23,8 a
	14	49,9 a	52,9 a	51,9 ab
	21	61,7 b	71,6 a	69,6 a
	28	66,4 b	77,4 a	75,3 a

Letras diferentes entre concentraciones indican diferencias significativas con $\alpha > 0,05$.

Con 0, 2,5 y 5 mS de salinidad el AS a concentraciones de 0,1 y 0,01 mM incrementó significativamente la longitud del tallo del cultivo de rábano; a partir de los 14 días en 0 mS de conductividad eléctrica un mayor incremento se presentó con tratamiento de 0,1 mM de AS; a los 7 y 28 días en salinidad de 2,5 mS y con tratamiento de 0,01 mM de AS obtuvo mayor longitud del tallo mientras que a los 14 días presentaron el mismo promedio ambas concentraciones de AS, a los 21 días en estas conductividad eléctrica mayor longitud se presentó con tratamiento de 0,1 mM de AS. Con 5 mS de salinidad a los 7, 21 y 28 días mayor longitud del tallo presentó la concentración de 0,01 mM de AS; sin embargo a los 14 días del

cultivo en salinidad de 5 mS a concentración de 0,1 mM de AS presentó mayor crecimiento longitudinal del tallo de rábano (Tabla 50).

Tabla 50. Efecto del AS, en la longitud del tallo del cultivo de rábano, *in vivo*

Niveles de salinidad (mS)	Días del cultivo	Longitud del tallo (mm)		
		Control	0,1 mM AS	0,01 mM AS
0	7	52,8 b	56,0 a	57,2 a
	14	60,0 b	67,6 a	64,8 a
	21	63,7 b	73,7 a	73,1 a
	28	74,8 b	89,6 a	89,1 a
2,5	7	46,2 b	53,3 a	54,9 a
	14	59,1 b	64,6 a	64,6 a
	21	63,7 b	70,9 a	70,7 a
	28	74,0 b	84,0 a	84,3 a
5	7	44,1 b	51,6 a	53,2 a
	14	57,4 b	64,1 a	61,8 a
	21	63,0 b	68,3 a	69,2 a
	28	70,7 c	76,6 b	83,6 a

Letras diferentes entre concentraciones indican diferencias significativas con $\alpha > 0,05$.

4.1.2.3 Longitud de las raíces

El AS a concentraciones de 0,1 y 0,01 mM tiene efecto promotor significativo en la longitud de las raíces en tomate cultivado en suelo con conductividades de 0, 2,5 y 5 mS; alcanzando mayor longitud de raíces con la concentración de 0,01 mM de AS. A los 14 y 28 días de cultivo en berenjena la longitud del sistema radical se incrementó con pulverizaciones de AS de 0,01 y 0,1 mM en los tres niveles de salinidad, ocasionando diferencias significativas sobre el control en 0 y 2,5 mS de salinidad y a los 14 días con salinidad de 5 mS; al finalizar el ensayo sólo la concentración de 0,1 mM de AS con 5 mS de salinidad *mostró* ser significativo respecto al control, mientras que concentraciones de 0,01 mM de AS sólo ocasionó un aumento aunque no significativo (Tabla 51).

En el cultivo de rábano la longitud de raíces se incrementó significativamente al pulverizar concentraciones de 0,1 y 0,01 mM de AS cultivadas en 0 y 2,5 mS de salinidad a los 14 y 28 días del cultivo y al finalizar el ensayo con 5 mS de salinidad, observándose mayor longitud del sistema radical en la concentración de 0,01 mM de AS. A los 14 días del ensayo con la salinidad de 5 mS, la longitud de

las raíces aumentó, aunque no fue significativamente mayor que el control (Tabla 51).

Tabla 51. Efecto del AS en la longitud de las raíces en tomate, berenjena y rábano *in vivo*

Especies	Niveles de salinidad (mS)	Días del cultivo	Longitud de las raíces (mm)		
			Control	0,1 mM AS	0,01 mM AS
Tomate	0	14	53,1 b	55,2 ab	61,8 a
		28	80,4 c	92,2 b	100,5 a
	2,5	14	44,4 c	51,3 b	58,1 a
		28	78,3 c	88,5 b	96,8 a
	5	14	37,4 c	50,8 b	57,7 a
		28	71,6 b	84,5 a	85,0 a
Berenjena	0	14	48,7 b	64,1 a	66,2 a
		28	76,9 b	87,9 a	85,8 a
	2,5	14	47,6 b	62,3 a	63,7 a
		28	70,2 b	82,4 a	80,6 a
	5	14	46,7 b	57,3 a	55,9 a
		28	67,8 b	73,0 a	70,6 ab
Rábano	0	14	55,9 c	61,3 b	63,6 a
		28	65,9 b	84,5 a	85,4 a
	2,5	14	51,3 c	56,0 b	60,5 a
		28	64,1 b	73,3 a	73,4 a
	5	14	50,7 a	53,8 a	51,9 a
		28	58,2 c	68,6 b	73,0 a

Letras diferentes entre concentraciones indican diferencias significativas con $\alpha > 0,05$.

4.1.2.4 Número de hojas

El número de hojas en el cultivo de tomate se incrementó significativamente a partir de los 14 días con pulverizaciones de ácido salicílico a concentraciones de 0,1 y 0,01 mM en 0, 2,5 y 5 mS de salinidad. Igual efecto significativos también se observó en el cultivo de rábano con 0 y 2,5 mS de salinidad a partir de los 14 días de ensayo con las aplicaciones de las dos concentraciones de AS y con salinidad de 5 mS con la aplicación de 0,1 mM de AS, sólo se diferencia significativamente con el control a los 14 días y al finalizar el ensayo, mientras que a concentraciones de 0,01 mM a partir de los 14 días en el cultivo de rábano, el número de hojas aumenta significativamente respecto al control (Tabla 52).

Tabla 52. Efecto del AS en el número de hojas de tomate y rábano, *in vivo*

Especies	Niveles de salinidad (mS)	Días del cultivo	Número de hojas		
			Control	0,1 mM AS	0,01 mM AS
Tomate	0	7	2,0 a	2,0 a	2,0 a
		14	3,1 b	3,9 a	4,0 a
		21	3,7 b	4,2 a	4,3 a
		28	5,0 b	6,0 a	6,0 a
	2,5	7	2,0 a	2,0 a	2,0 a
		14	3,2 b	3,7 a	3,8 a
		21	3,6 b	4,0 a	4,0 a
		28	4,0 b	5,2 a	5,2 a
	5	7	2,0 b	2,0 a	2,0 a
		14	3,0 b	3,6 a	3,7 a
		21	3,4 b	3,8 a	4,0 a
		28	3,9 b	4,3 a	4,5 a
Rábano	0	7	2,0 a	2,0 a	2,0 a
		14	3,7 b	3,7 a	3,9 a
		21	4,2 b	4,2 a	4,5 a
		28	5,3 b	5,4 a	5,5 a
	2,5	7	2,0 a	2,0 a	2,0 a
		14	2,7 b	3,4 a	3,6 a
		21	3,2 b	4,0 a	4,0 a
		28	4,0 b	4,9 a	4,9 a
	5	7	2,0 a	2,0 a	2,0 a
		14	2,6 c	3,0 b	3,5 a
		21	3,1 b	3,3 b	4,0 a
		28	3,9 b	4,7 a	4,9 a

Letras diferentes entre concentraciones indican diferencias significativas con $\alpha > 0,05$.

En el cultivo de berenjena el número de hojas se incrementó a partir de los 14 días en 0 mS de conductividad eléctrica con las aplicaciones de 0,1 y 0,01 mM de AS, pero no son significativos mayores al compararlo con el control; este efecto de incremento aunque no significativo también se mostró a los 14 y 21 días con salinidad de 2,5 mS con la pulverización de las dos concentraciones de AS antes mencionadas, mientras que al finalizar el ensayo en 2,5 mS las dos concentraciones de AS mostraron ser estadísticamente mayor al control. Con salinidad de 5 mS a partir de los 14 días y hasta finalizar el ensayo el promedio del número de hojas se incrementó significativamente con pulverizaciones de 0,1 y 0,01 mM de AS; observándose que el mayor promedio se presenta con la concentración de 0,01 mM de AS (Tabla 53).

Tabla 53. Efecto del AS en el número de hojas en el cultivo de berenjena, *in vivo*

Niveles de salinidad (mS)	Días del cultivo	Número de hojas		
		Control	0,1 mM AS	0,01 mM AS
0	7	2,0 a	2,0 a	2,0 a
	14	3,5 a	3,8 a	3,9 a
	21	4,5 a	4,6 a	4,8 a
	28	4,9 a	5,1 a	5,1 a
2,5	7	2,0 a	2,0 a	2,0 a
	14	3,4 a	3,7 a	3,7 a
	21	3,8 a	3,9 a	4,0 a
	28	4,3 b	4,9 a	5,0 a
5	7	2,0 a	2,0 a	2,0 a
	14	3,0 b	3,7 a	3,7 a
	21	3,5 b	3,9 a	4,0 a
	28	4,0 b	4,8 a	4,9 a

Letras diferentes entre concentraciones indican diferencias significativas con $\alpha > 0,05$.

4.1.2.5 Clorofilas

La concentración de las clorofilas en las hojas del cultivo de tomate, se incrementó significativamente a los 14, 21 y 28 días del ensayo con las concentraciones de 0,1 y 0,01 mM de AS cultivadas en 0, 2,5 y 5 mS de salinidad; observando que a los 14 y 21 días, la concentración de 0,01 mM de AS presentó mayor incremento, mientras que al finalizar el ensayo los mejores resultados sobre el nivel de clorofilas de las hojas, se presentó a concentraciones de 0,1 mM de AS (Tabla 54).

Tabla 54. Niveles de las clorofilas en hojas de tomate por efecto del AS, *in vivo*

Niveles de salinidad (ms)	Días del cultivo	Clorofilas en unidades SPAD		
		Control	0,1 mM AS	0,01 mM AS
0	14	21,0 c	25,2 b	27,7 a
	21	21,0 b	24,2 a	26,1 a
	28	18,8 b	22,5 a	21,9 a
2,5	14	19,1 c	23,4 a	23,5 a
	21	18,3 b	21,7 a	22,6 a
	28	17,4 b	21,1 a	20,6 a
5	14	18,6 c	22,2 b	22,5 a
	21	17,4 b	21,7 a	22,4 a
	28	17,0 b	19,7 a	19,6 a

Letras diferentes entre concentraciones indican diferencias significativas con $\alpha > 0,05$.

A los 14, 21 y 28 días de la berenjena cultivadas en 0, 2,5 y 5 mS de salinidad, el contenido de las clorofilas de las hojas aumentó significativamente con

pulverizaciones de 0,1 y 0,01 mM de AS con respecto a 0 mM de AS, observándose que el mayor incremento se presenta con la concentración de 0,01 mM de AS; el efecto de incremento de las clorofilas, también se presentó en concentraciones de 0,1 y 0,01 mM de AS en el cultivo de rábano en los tres niveles de salinidad estudiados (Tabla 55).

Tabla 55. Variación de las clorofilas en berenjena y rábano por efecto del AS, *in vivo*

Especies	Niveles de salinidad (ms)	Días del cultivo	Clorofila en unidades SPAD		
			Control	0,1 mm AS	0,01 mm AS
Berenjena	0	14	22,1 b	25,1 a	25,7 a
		21	21,0 b	23,6 a	24,2 a
		28	18,1 c	21,4 b	22,4 a
	2,5	14	21,6 b	24,1 a	24,8 a
		21	19,7 b	22,4 a	23,4 a
		28	17,8 b	20,9 a	21,3 a
	5	14	21,0 b	23,4 a	24,3 a
		21	18,7 b	21,0 a	21,6 a
		28	17,0 b	20,0 a	20,1 a
Rábano	0	14	28,7 c	30,1 b	33,5 a
		21	23,0 b	27,3 a	26,9 a
		28	22,0 b	24,1 a	25,2 a
	2,5	14	27,4 c	29,9 a	28,7 b
		21	21,9 b	25,3 a	25,7 a
		28	20,1 b	23,7 a	24,8 a
	5	14	23,6 c	27,7 b	29,8 a
		21	20,6 b	24,9 a	23,9 a
		28	19,2 b	21,7 a	22,4 a

Letras diferentes entre concentraciones indican diferencias significativas con $\alpha > 0,05$.

4.1.2.6 Área foliar

Encontrándose mayores promedio en el parámetro de números de hojas con tratamiento de 0,01 y 0,1 mM de AS se observó claramente mayor incremento del área foliar en las tres especies estudiadas cultivadas en 0, 2,5 y 5 mS, diferenciándose estadísticamente con el control; en la tabla 56 se muestra que el mayor incremento del área foliar se presentó en concentraciones de 0,01 mM de AS a los 14 y 28 días en los tres cultivos y en los tres niveles de salinidad ensayadas.

Tabla 56. Variación de área foliar en diferentes especies por efecto del AS, *in vivo*

Especies	Niveles de salinidad (mS)	Días del cultivo	Área foliar (mm ²)		
			Control	0,1 mM AS	0,01 mM AS
Tomate	0	14	754,0 b	1053,4 a	1085,4 a
		28	2969,1 b	3993,9 a	4166,9 a
	2,5	14	697,0 b	943,1 a	970,1 a
		28	1896,6 b	3136,3 a	3183,0 a
	5	14	531,6 b	792,5 a	842,5 a
		28	1215,9 b	2382,5 a	2312,8 a
Berenjena	0	14	748,0 b	905,8 a	994,3 a
		28	1627,1 b	2448,9 a	2500,7 a
	2,5	14	587,1 b	747,1 a	848,0 a
		28	1301,1 b	1717,7 a	1761,0 a
	5	14	505,9 b	670,3 a	721,9 a
		28	1177,5 b	1674,3 a	1695,6 a
Rábano	0	14	475,4 c	599,5 b	679,9 a
		28	1302,0 b	1921,2 a	2048,2 a
	2,5	14	423,3 c	525,8 b	593,1 a
		28	1149,7 c	1441,8 b	1661,2 a
	5	14	379,8 b	496,6 a	538,8 a
		28	1029,8 c	1387,1 b	1647,2 a

Letras diferentes entre concentraciones indican diferencias significativas con $\alpha > 0,05$.

4.1.2.7 Pesos fresco y seco de hojas

Los tratamientos con AS a concentraciones de 0,01 y 0,1 mM en los cultivos de berenjena, tomate y rábano en consecuencia del mayor número de hojas y área foliar, permitió obtener un incremento en los pesos fresco y seco de las hojas de los cultivos, en los tres niveles de salinidad ensayados; demostrándose claramente diferencias significativas con el control.

En el cultivo de tomate la concentración de 0,01 mM de AS a los 14 y 28 días con 0 y 5 mS de salinidad y 14 días con 2,5 mS presentó los promedios más altos en el peso fresco de las hojas; de igual forma la aplicación de 0,01 mM de AS ocasionó un aumento en el peso seco de las hojas a los 14 días con 0 mS y a los 14 y 28 días con 2,5 y 5 mS de salinidad (Tabla 57).

Tabla 57. Efecto del AS sobre los pesos fresco y seco de hoja en tomate, *in vivo*

Niveles de salinidad (mS)	Días del cultivo	Peso fresco hoja (mg)			Peso seco hoja (mg)		
		Control	0,1 mM AS	0,01 mM AS	Control	0,1 mM AS	0,01 mM AS
0	14	134,7 b	180,7 a	187,2 a	13,4 b	18,9 a	22,5 a
	28	367,5 b	551,2 a	555,8 a	31,8 b	47,5 a	43,0 a
2,5	14	86,5 b	121,0 a	123,6 a	9,9 c	15,2 b	18,4 a
	28	207,4 b	370,3 a	363,4 a	18,2 b	28,5 a	26,3 a
5	14	78,2 b	103,5 a	104,4 a	9,2 c	15,0 b	17,4 a
	28	145,3 b	165,6 a	172,3 a	13,2 b	15,5 a	20,5 a

Letras diferentes entre concentraciones indican diferencias significativas con $\alpha > 0,05$.

El cultivo de berenjena, presento un incremento significativo del peso fresco y seco de las hojas con pulverizaciones de 0,01 mM de AS en los tres niveles de salinidad; igual efecto se presentó en el cultivo de rábano en los tres niveles de salinidad ensayados (Tabla 58).

Tabla 58. Efecto del AS sobre los pesos fresco y seco de hojas en la berenjena y rábano, *in vivo*

Especies	Niveles de salinidad (mS)	Días del cultivo	Peso fresco hoja (mg)			Peso seco hoja (mg)			
			Control	0,1 mM AS	0,01 mM AS	Control	0,1 mM AS	0,01 mM AS	
Berenjena	0	14	158,7 c	183,5 b	200,6 a	11,9 b	16,3 a	17,9 a	
		28	220,5 b	316,2 a	324,2 a	19,0 b	24,0 a	26,6 a	
	2,5	14	92,2 b	159,9 a	164,2 a	8,3 b	15,0 a	16,3 a	
		28	184,2 b	281,2 a	290,0 a	17,4 b	23,1 a	25,6 a	
	5	14	91,2 b	104,5 a	117,1 a	7,9 a	13,2 a	13,6 a	
		28	167,0 b	271,0 a	266,6 a	16,3 b	20,3 a	22,2 a	
	Rábano	0	14	189,9 b	201,9 b	221,1 a	17,6 b	20,3 ab	22,3 a
			28	379,4 b	583,8 a	602,6 a	37,0 b	53,1 a	55,1 a
2,5		14	168,6 b	195,8 ab	202,5 a	16,1 b	20,0 a	20,8 a	
		28	358,7 c	410,7 b	423,9 a	31,9 b	44,6 a	46,4 a	
5		14	129,9 c	160,5 b	205,3 a	12,5 b	17,3 a	18,4 a	
		28	320,9 b	396,2 a	422,0 a	26,4 b	35,4 a	37,2 a	

Letras diferentes entre concentraciones indican diferencias significativas con $\alpha > 0,05$.

4.1.2.8 Pesos fresco y seco del tallo

Las diferencias significativas en los promedios del peso fresco del tallo en el cultivo de tomate, se observaron claramente sobre el control, al aplicarse ácido salicílico a concentraciones de 0,01 y 0,1 mM en 0, 2,5 y 5 mS de salinidad, mostrándose un incremento superior con la concentración de 0,01 mM de AS en conductividades de 0 y 2,5 mS durante los 14 y 28 días del ensayo y a los 14 días con salinidad de 5 mS. Aun así, el tratamiento de 0,1 mM de AS con salinidad de

5 mS mostró un mayor incremento al finalizar el estudio. El efecto del ácido salicílico a concentraciones de 0,01 y 0,1 mM, incrementaron el peso seco del tallo de tomate, siendo estadísticamente significativo a los 14 y 28 días respecto al control en los tres niveles de salinidad, cuyos valores más altos se observaron en concentraciones de 0,01 mM de AS (Tabla 59).

Tabla 59. Efecto del AS sobre los pesos fresco y seco del tallo en tomate, *in vivo*

Niveles de salinidad (mS)	Días del cultivo	Peso fresco tallo (mg)			Peso seco tallo (mg)		
		Control	0,1 mM AS	0,01 mM AS	Control	0,1 mM AS	0,01 mM AS
0	14	155,5 b	214,8 a	218,2 a	14,8 b	21,6 a	23,8 a
	28	518,0 b	806,5 a	815,9 a	22,1 b	36,0 a	43,7 a
2,5	14	95,3 b	143,7 a	146,4 a	11,3 b	11,3 a	11,6 a
	28	324,7 b	507,7 a	513,5 a	16,3 c	23,7 b	30,2 a
5	14	84,6 b	132,2 a	142,8 a	9,5 b	17,6 a	19,8 a
	28	226,3 b	289,1 a	279,2 a	9,6 b	19,8 b	26,5 a

Letras diferentes entre concentraciones indican diferencias significativas con $\alpha > 0,05$.

El AS pulverizado a concentraciones de 0,01 y 0,1 mM, en el cultivo de berenjena cultivadas en suelo con 0, 2,5 y 5 mS de salinidad, produce un efecto positivo incrementando los pesos fresco y seco del tallo; en el peso fresco del tallo con 0 y 2,5 mS de salinidad a los 14 días y con 5 mS al finalizado el ensayo el tratamiento de 0,1 mM de AS mostró los promedios más altos, mientras que a los 14 días con salinidad de 5 mS y al finalizar el ensayo con 0 y 2,5 mS de salinidad los mejores promedio del peso fresco del tallo se obtuvieron con tratamiento de 0,01 mM de AS diferenciándose estadísticamente con el control; en cambio en los pesos secos del tallo del cultivo de berenjena en las tres conductividades eléctricas se observó que mayores promedios se presentaron con la concentración de 0,01 mM de AS que claramente muestra mayor aumento significativo a los 14 y 28 días del ensayo (Tabla 60).

El efecto sobre el incremento de la longitud del tallo con la aplicación del AS a concentraciones de 0,01 y 0,1 mM, influye en el aumento del peso fresco y seco del cultivo de rábano; obteniéndose las media más altas en los pesos frescos de tallo a los 14 días con 0 mS y a los 14 y 28 días del experimento con salinidad de 2,5 y 5 mS con tratamiento de 0,01 mM de AS, sin embargo a finalizar el ensayo

con 0 mS la concentración de 0,1 mM de AS mostró un mayor incremento sobre el peso fresco del tallo; obteniéndose diferencias significativas al compararlo con el control. Los pesos secos del tallo en el cultivo del rábano con tratamientos de 0,01 y 0,1 mM de AS se incrementaron significativamente en los tres niveles de salinidad ensayados, siendo mejor la concentración de 0,01 mM de AS (Tabla 61).

Tabla 60. Efecto del AS sobre los pesos fresco y seco del tallo en berenjena, *in vivo*

Niveles de salinidad (mS)	Días del cultivo	Peso fresco tallo (mg)			Peso seco tallo (mg)		
		Control	0,1 mM AS	0,01 mM AS	Control	0,1 mM AS	0,01 mM AS
0	14	86,3 b	122,0 a	113,1 a	10,4 b	17,1 a	18,6 a
	28	102,8 b	160,5 a	166,9 a	15,8 b	19,5 a	20,2 a
2,5	14	51,4 b	76,9 a	69,8 a	9,2 b	15,0 a	17,6 a
	28	89,0 b	132,9 a	134,5 a	13,7 b	17,5 ab	22,5 a
5	14	50,9 b	58,9 a	59,3 a	7,6 b	10,2 ab	13,1 a
	28	79,9 b	122,5 a	113,1 a	12,8 b	16,5 a	17,1 a

Letras diferentes entre concentraciones indican diferencias significativas con $\alpha > 0,05$.

Tabla 61. Efecto del AS, sobre los pesos fresco y seco del tallo en rábano, *in vivo*

Niveles de salinidad (mS)	Días del cultivo	Peso fresco tallo (mg)			Peso seco tallo (mg)		
		Control	0,1 mM AS	0,01 mM AS	Control	0,1 mM AS	0,01 mM AS
0	14	87,8 b	102,4 a	103,6 a	8,6 b	10,4 ab	11,0 a
	28	131,7 c	192,3 a	167,9 b	13,7 b	20,7 a	21,8 a
2,5	14	81,3 c	91,5 b	105,6 a	7,6 b	9,6 b	10,4 a
	28	115,4 b	156,3 a	157,6 a	11,3 b	17,1 a	18,9 a
5	14	74,5 c	86,1 b	90,6 a	6,9 b	8,1 ab	9,3 a
	28	112,3 b	123,2 b	143,2 a	9,3 b	13,0 a	15,1 a

Letras diferentes entre concentraciones indican diferencias significativas con $\alpha > 0,05$.

4.1.2.9 Pesos fresco y seco de las raíces

El efecto del AS a concentraciones de 0,01 y 0,1 mM, produjo un incremento de los pesos fresco y seco del sistema radical en tomate a los 14 y 28 días del ensayo en 0, 2,5 y 5 mS de salinidad; obteniéndose significativamente el mayor incremento del peso fresco y seco del sistema radical con la concentración de 0,01 mM de AS en los tres niveles de salinidad ensayados (Tabla 62).

Tabla 62. Efecto del AS, sobre los pesos fresco y seco de las raíces en tomate, *in vivo*

Niveles de salinidad (mS)	Días del cultivo	Peso fresco raíz (mg)			Peso seco raíz (mg)		
		Control	0,1 mM AS	0,01 mM AS	Control	0,1 mM AS	0,01 mM AS
0	14	25,9 b	63,2 a	65,6 a	5,3 b	8,2 b	12,2 a
	28	158,4 c	216,0 a	229,4 a	19,4 b	34,1 ab	39,7 a
2,5	14	21,0 c	32,8 b	41,8 a	3,8 c	7,3 b	10,6 a
	28	139,5 b	177,9 a	182,0 a	15,6 c	23,9 b	29,3 a
5	14	18,9 b	28,5 a	31,0 a	2,9 b	3,8 b	7,8 a
	28	100,5 b	119,6 a	121,4 a	9,7 b	15,2 a	17,4 a

Letras diferentes entre concentraciones indican diferencias significativas con $\alpha > 0,05$.

En el cultivo de berenjena los pesos fresco y seco del sistema radical se aumentaron con la pulverización de concentraciones de 0,01 y 0,1 mM de AS a los 14 y 28 días del ensayo en los tres niveles de salinidad; en el peso fresco radical a los 14 y 28 días con 0 y 5 mS de salinidad y finalizado el ensayo con salinidad de 2,5 mS los mejores promedio se presentaron con la aplicación de 0,01 mM de AS; cuyos promedios más altos también se mostraron en el peso seco del sistema radical con concentración de 0,01 mM de AS a los 14 y al finalizado el estudio con 0, 2,5 y 5 mS de salinidad (Tabla 63).

Tabla 63. Efecto del AS, sobre los pesos fresco y seco de las raíces de berenjena, *in vivo*

Niveles de salinidad (mS)	Días del cultivo	Peso fresco raíz (mg)			Peso seco raíz (mg)		
		Control	0,1 mM AS	0,01 mM AS	Control	0,1 mM AS	0,01 mM AS
0	14	56,6 c	79,7 b	91,8 a	7,1 a	8,0 ab	8,3 a
	28	121,1 b	182,1 a	189,5 a	13,4 c	17,9 b	22,8 a
2,5	14	48,2 b	65,3 a	63,4 a	6,0 a	7,4 a	8,0 a
	28	89,5 b	144,0 a	149,7 a	11,6 c	16,3 b	21,5 a
5	14	36,8 b	59,3 a	62,6 a	5,5 b	7,2 a	7,6 a
	28	87,3 b	136,5 a	138,2 a	9,8 c	13,9 b	18,8 a

Letras diferentes entre concentraciones indican diferencias significativas con $\alpha > 0,05$.

A los 14 y 28 días el peso fresco de las raíces del cultivo de rábano se incrementó significativamente al pulverizar tratamiento de 0,01 y 0,1 mM de AS en 0, 2,5 y 5 mS de salinidad; obteniéndose los valores más altos con 0,01 mM de AS y estableciendo claramente diferencia significativas con el control; igual incremento se presentó sobre el peso seco del sistema radical al aplicar las dos concentraciones de AS, observándose que la concentración de 0,01 mM provocó el mayor aumento de los pesos, en los tres niveles de salinidad (Tabla 64).

Tabla 64. Efecto del AS, sobre los pesos fresco y seco de las raíces en especies hortícolas, *in vivo*

Niveles de salinidad (mS)	Días del cultivo	Peso fresco raíz (mg)			Peso seco raíz (mg)		
		Control	0,1 mM AS	0,01 mM AS	Control	0,1 mM AS	0,01 mM AS
0	14	24,6 c	30,8 b	34,0 a	4,5 a	5,2 a	5,5 a
	28	67,5 b	117,0 a	117,0 a	6,9 b	14,1 a	16,0 a
2,5	14	19,5 b	25,1 a	26,1 a	3,4 b	4,0 ab	5,1 a
	28	52,6 b	93,2 a	112,4 a	6,2 b	11,0 a	14,1 a
5	14	13,6 b	24,7 a	25,7 a	2,8 b	3,7 ab	4,5 a
	28	49,3 b	81,3 a	86,6 a	5,4 b	10,1 a	11,8 a

Letras diferentes entre concentraciones indican diferencias significativas con $\alpha > 0,05$.

4.1.3 EFECTO DEL ÁCIDO BENZOICO EN EL CRECIMIENTO Y DESARROLLO DE TOMATE Y BERENJENA CULTIVADAS *in vitro* EN 2,5, 5 Y 7,5 mS DESALINIDAD

La influencia de concentraciones de 0, 1, 0,1 y 0,01 mM de ácido benzoico en medio MS modificado al 50 % con 1,5 % de sacarosa y salinidad de 2,5; 5 y 7,5 mS, ocasionaron un incremento en el crecimiento y desarrollo de las especies estudiadas.

4.1.3.1 Germinación

El 100 % de germinación del cultivo *in vitro* de tomate se logra con la concentración de 0,01 mM de AB, al octavo día con salinidad de 2,5, 5 y 7,5 mS; en el mismo día también se presentó un 100 % con la concentración de 0,1 mM en 2,5 y 5 mS de salinidad, mientras que con salinidad de 7,5 mS sólo alcanza un 88,5 %. El control con salinidad de 2,5 mS sólo logra un 92,3 %, con 5 mS un 76,9 % y con 7, 5 mS un 69,2 % al octavo día del ensayo; sin embargo, el porcentaje de germinación de semillas de tomate se ve reducido al aplicar AB a concentración de 1 mM, que con salinidad de 2,5 mS logra sólo un 57,7 % y un 46,2 % del total de emergencia con salinidad de 5 y 7,5 mS (Tabla 65).

Tabla 65. Efecto del AB, sobre la germinación *in vitro* del cultivo de tomate

Niveles de salinidad (mS)	Concentraciones AB (mM)	Días de cultivo						
		2	3	4	5	6	7	8
		% de germinación						
2,5	Control.	0	11,5	11,5	38,5	57,7	76,9	92,3
	1	0	11,5	19,2	38,5	38,5	53,8	57,7
	0,1	0	26,9	34,6	57,7	69,2	88,5	100
	0,01	0	19,2	57,7	69,2	76,9	92,3	100
5	Control.	0	0,0	7,7	30,8	57,7	69,2	76,9
	1	0	0,0	3,8	19,2	23,1	30,8	46,2
	0,1	0	0,0	11,5	23,1	69,2	76,9	100
	0,01	0	0,0	19,2	38,5	73,1	80,8	100
7,5	Control.	0	0,0	3,8	19,2	30,8	46,2	69,2
	1	0	0,0	7,7	19,2	23,1	38,5	46,2
	0,1	0	0,0	15,4	19,2	30,8	61,5	88,5
	0,01	0	0,0	19,2	30,8	46,2	76,9	100

El porcentaje de germinación de *Solanum melongena* L., a concentración de 1 mM de AB, se ve afectado negativamente en los tres niveles de salinidad, inhibiendo la germinación de la especie, mientras que con concentración de 0,01 mM con salinidad de 2,5 mS logra un 100 % de germinación al día 13; el mismo porcentaje es logrado con la concentración 0,1 mM al día 14, dejando un 92,3 % al control en el día 15. Con salinidad de 5 mS el porcentaje máximo de germinación sólo logra la concentración de 0,01 mM de AB al día 14 y la concentración de 0,1 mM en esta conductividad al día 15 sólo alcanzó un 92,3 % y para el control solo un 84,6 %. La concentración de 0,01 mM de AB también logra un 100 % con salinidad de 7,5 mS al día 15, mientras que con concentración de 0,1 mM y el control sólo alcanza un 76,9 % de la germinación (Tabla 66).

Tabla 66. Efecto del AB, sobre la germinación *in vitro* del cultivo de berenjena

Niveles de salinidad (mS)	Concentraciones AB (mM)	Días de cultivo									
		6	7	8	9	10	11	12	13	14	15
		% de germinación.									
2,5	Control.	0	3,8	19,2	34,6	38,5	53,8	65,4	61,5	76,9	92,3
	1	0	0,0	0,0	0,0	0,0	0,0	0,0	0,0	0,0	0,0
	0,1	0	19,2	30,8	53,8	69,2	76,9	92,3	92,3	100	100
	0,01	0	30,8	38,5	57,7	69,2	76,9	84,6	100	100	100
5	Control.	0	0,0	0,0	7,7	19,2	38,5	57,7	69,2	76,9	84,6
	1	0	0,0	0,0	0,0	0,0	0,0	0,0	0,0	0,0	0,0
	0,1	0	3,8	3,8	7,7	30,8	46,2	69,2	76,9	84,6	92,3
	0,01.	0	7,7	15,4	23,1	46,2	61,5	84,6	92,3	100	100
7,5	Control.	0	0,0	3,8	3,8	7,7	19,2	38,5	57,7	69,2	76,9
	1	0	0,0	0,0	0,0	0,0	0,0	0,0	0,0	0,0	0,0
	0,1	0	3,8	3,8	3,8	15,4	19,2	38,5	46,2	69,2	76,9
	0,01	0	3,8	7,7	30,8	38,5	46,2	69,2	76,9	84,6	100

4.1.3.2 Longitud del tallo

En la tabla 67, se muestra la longitud de tallo del tomate cultivado *in vitro* bajo el efecto del ácido benzoico; mostrándose claramente que concentraciones de 0,01 mM de AB, logra significativamente un mayor aumento sobre este parámetro en los tres niveles de salinidad, si lo comparamos con el control. La concentración de 0,1 mM de AB también incrementó la longitud de tallo en tomate con respecto al control con salinidad de 2,5 mS a los 14 y 28 días y durante los 28 días de ensayo con salinidad de 5 y 7,5 mS, mientras que aplicaciones de 1 mM de AB disminuyó significativamente la longitud del tallo.

Tabla 67. Efecto del AB, en la longitud del tallo del cultivo de tomate, *in vitro*

Niveles de salinidad (mS)	Días del cultivo	Longitud del tallo (mm)			
		Control	1 mM de AB	0,1 mM de AB	0,01 mM de AB
2,5	7	32,9 b	10,2 d	30,2 c	37,9 a
	14	54,0 c	22,0 d	64,1 b	68,0 a
	21	63,2 c	27,5 d	75,2 b	80,9 a
	28	99,8 b	32,9 c	98,0 b	122,5 a
5	7	23,8 c	9,0 d	26,6 b	31,7 a
	14	34,0 b	15,2 c	35,0 b	57,6 a
	21	58,0 b	25,0 c	70,9 a	73,1 a
	28	88,3 b	30,9 c	91,0 b	97,5 a
7,5	7	21,3 b	7,5 c	21,7 b	23,2 a
	14	29,9 b	10,1 c	32,3 b	51,1 a
	21	52,4 b	19,8 c	68,0 a	67,7 a
	28	75,3 c	24,6 d	86,4 b	92,8 a

Letras diferentes entre concentraciones indican diferencias significativas con $\alpha > 0,05$.

A los 7, 14, 21 y 28 días la longitud del tallo del explantos de berenjena se ve claramente incrementado con las aplicaciones de 0,1 y 0,01 mM de AB en los tres niveles de salinidad; observándose significancia sobre el control durante todo el ensayo, los mejores resultados se obtuvieron con la concentración de 0,01 mM de AB en todos los niveles de salinidad estudiado (Tabla 68).

Tabla 68. Efecto del AB, en la longitud del tallo del cultivo de berenjena, *in vitro*

Niveles de salinidad (mS)	Días del cultivo	Longitud del tallo (mm)			
		Control	1 mM de AB	0,1 mM de AB	0,01 mM de AB
2,5	7	23,8 c	0,0 d	26,6 b	31,7 a
	14	32,7 c	0,0 d	38,8 b	45,1 a
	21	46,4 b	0,0 c	59,2 a	61,4 a
	28	50,3 b	0,0 d	67,4 a	68,2 a
5	7	20,7 c	0,0 d	23,1 b	27,0 a
	14	29,5 c	0,0 d	35,5 b	40,7 a
	21	40,5 b	0,0 c	51,6 a	56,0 a
	28	45,0 c	0,0 d	56,4 b	65,4 a
7,5	7	18,5 c	0,0 d	21,1 b	24,8 a
	14	21,6 c	0,0 d	24,7 b	30,0 a
	21	31,4 c	0,0 d	43,9 b	47,1 a
	28	35,4 c	0,0 d	51,4 b	58,0 a

Letras diferentes entre concentraciones indican diferencias significativas con $\alpha > 0,05$.

4.1.3.3 Longitud de las raíces

En tomate la longitud del sistema radical se incrementó al aplicar la concentración de 0,01 mM de AB durante los 28 días del estudio y en los tres niveles de salinidad; con la concentración de 0,1 mM de AB también se mostró incremento sobre éste parámetro al inicio del ensayo en 2,5 mS, a los 7 días y al finalizar el ensayo con salinidad de 5 mS y a los 7, 21 y 28 días con 7,5 mS; mientras que la aplicación de 1 mM de AB ocasionó una disminución de la longitud de las raíces, siendo estadísticamente menor al control en 2,5, 5 y 7,5 mS de salinidad (Tabla 69).

Tabla 69. Efecto del AB, en la longitud de las raíces en el cultivo de tomate, *in vitro*

Niveles de salinidad (mS)	Días del cultivo	Longitud de las raíces (mm)			
		Control	1 mM de AB	0,1 mM de AB	0,01 mM de AB
2,5	7	23,2 b	8,85 c	24,6 a	25,5 a
	14	39,5 b	10,75 c	35,75 b	40,4 a
	21	45,2 b	11,45 d	39,8 c	51,6 a
	28	76,6 b	15,5 c	75,75 b	89,85 a
5	7	19,9 b	7,05 c	22,5 a	22,75 a
	14	30,95 a	9,3 b	29,45 a	32,8 a
	21	36,5 b	9,9 c	34,9 b	45 a
	28	73,5 b	14,5 c	74 b	83,55 a
7,5	7	17,2 b	5,25 c	20,75 a	21,15 a
	14	26,8 b	7,25 d	22,75 b	29,75 a
	21	30,9 b	8,5 c	31,9 b	35,8 a
	28	62,75 b	12,2 d	66,75 b	77,55 a

Letras diferentes entre concentraciones indican diferencias significativas con $\alpha > 0,05$.

La longitud del sistema radical de los explantos de berenjena se incrementó significativamente con respecto al control con la aplicación de la concentración de 0,01 mM de AB en los tres niveles de salinidad durante los 28 días del ensayo. La concentración de 0,1 mM también incrementa la longitud del sistema radical mostrando claramente diferencias significativas a los 7, 21 y 28 días con 2,5 mS de salinidad, en los primeros 21 días con 5 mS de salinidad y durante los 28 días del ensayo con 7,5 mS de salinidad (Tabla 70).

Tabla 70. Efecto del AB, en la longitud de las raíces del cultivo de berenjena, *in vitro*

Niveles de salinidad (mS)	Días del cultivo	Longitud de las raíces (mm)			
		Control	1 mM de AB	0,1 mM de AB	0,01 mM de AB
2,5	7	21,7 b	0,0 c	22,5 a	24,9 a
	14	31,0 b	0,0 c	30,7 b	36,9 a
	21	48,8 c	0,0 d	52,3 b	56,3 a
	28	57,3 c	0,0 d	63,7 b	69,0 a
5	7	19,9 b	0,0 c	22,5 a	22,8 a
	14	26,9 c	0,0 d	29,3 b	36,4 a
	21	42,8 c	0,0 d	46,6 b	53,9 a
	28	52,75 b	0,0 c	53,8 b	64,0 a
7,5	7	17,2 b	0,0 c	20,8 a	21,2 a
	14	22,7 c	0,0 d	28,4 b	35,5 a
	21	35,0 c	0,0 d	45,0 b	53,3 a
	28	43,8 c	0,0 d	48,8 b	63,5 a

Letras diferentes entre concentraciones indican diferencias significativas con $\alpha > 0,05$.

4.1.3.4 Número de hojas

El incremento del número de hojas en explantos de tomate se observó con las aplicaciones de 0,1 y 0,01 mM de AB en 2,5, 5 y 7,5 mS de salinidad durante los 28 días del ensayo, mostrándose en la tabla 71 que el mayor incremento del número de hojas, se presentó con la aplicación de 0,01 mM de AB en los tres niveles de salinidad, ocasionando claramente diferencias significativas al compararlo con el control. En cambio la concentración de 1 mM de AB, tuvo un efecto inhibitor en el número de hojas, siendo significativamente menor a partir de los 14 días con salinidad de 2,5, 5 y 7,5 mS.

Tabla 71. Efecto del AB, en el número de hojas en el cultivo de tomate, *in vitro*

Niveles de salinidad (mS)	Días del cultivo	Número de hojas			
		Control	1 mM de AB	1 mM de AB	0,01 mM de AB
2,5	7	2,1 b	2,0 b	2,9 a	2,8 a
	14	3,4 b	2,3 c	4,4 a	4,7 a
	21	4,4 b	3,8 c	5,1 ab	5,2 a
	28	4,9 b	4,1 c	5,8 ab	6,0 a
5	7	2,0 b	2,0 b	2,4 a	2,6 a
	14	3,1 b	2,1 c	4,0 a	4,0 a
	21	3,6 b	3,2 c	4,8 a	5,1 a
	28	4,5 b	3,3 c	5,5 a	5,7 a
7,5	7	2,1 bc	2,0 c	2,4 ab	2,6 a
	14	2,9 b	2,1 c	3,4 a	3,5 a
	21	3,4 b	3,0 c	4,5 a	4,6 a
	28	4,0 c	3,0 c	5,1 b	5,4 a

Letras diferentes entre concentraciones indican diferencias significativas con $\alpha > 0,05$.

El aumento significativo del número de hojas en el cultivo de berenjena se observó a partir de los 14 días, hasta la finalización del ensayo con salinidad de 2,5 mS y a los 21 y 28 días con salinidad de 5 y 7,5 mS con la aplicación de AB a concentración de 0,01 mM, estas diferencias significativas también se presenta con tratamientos de 0,1 mM a los 21 y 28 días con salinidad de 2,5 y 5 mS y al finalizar el ensayo con 7,5 mS de salinidad (Tabla72).

Tabla 72. Efecto del AB, en el número de hojas en el cultivo de berenjena, *in vitro*

Niveles de salinidad (mS)	Días del cultivo	Longitud de las raíces (mm)			
		Control	1 mM de AB	1 mM de AB	0,01 mM de AB
2,5	7	2,0 a	0,0 b	2,0 a	2,0 a
	14	2,5 b	0,0 c	2,5 ab	2,8 a
	21	3,4 b	0,0 c	3,8 a	4,0 a
	28	4,3 b	0,0 c	5,0 a	5,2 a
5	7	2,0 a	0,0 b	2,0 a	2,0 a
	14	2,2 a	0,0 b	2,4 a	2,5 a
	21	3,0 b	0,0 c	3,3 a	3,5 a
	28	4,0 b	0,0 c	5,0 a	5,0 a
7,5	7	2,0 a	0,0 b	2,0 a	2,0 a
	14	2,3 a	0,0 b	2,4 a	2,5 a
	21	3,0 b	0,0 c	3,2 ab	3,3 a
	28	3,8 b	0,0 c	5,0 a	5,0 a

Letras diferentes entre concentraciones indican diferencias significativas con $\alpha > 0,05$.

4.1.3.5 Clorofilas

El incremento de las clorofilas se mostró claramente con la aplicación de 0,1 y 0,01 mM de AB en los cultivo de berenjena y tomate con respecto al control, al

aumentar significativamente el promedio de las clorofilas en los tres niveles de salinidad ensayados. En la tabla 73 observamos que la concentración de 0,01 mM de AB el incremento de las clorofilas son mayores en las dos especies, cuando están sometidas a salinidad de 2,5, 5 y 7,5 mS, mientras que en el cultivo de tomate al aplicar concentraciones de 1 mM de AB el nivel de clorofilas se ve afectado negativamente, siendo estadísticamente menor que el control.

Tabla 73. Variación de las clorofilas en tomate y berenjena por efecto del AB, *in vitro*

Especie	Niveles de salinidad (mS)	Clorofilas en Unidades SPAD			
		Control	1 mM de AB	0,1 mM de AB	0,01 mM de AB
Berenjena	2,5	19,5 b	0,0 c	24,8 a	25,8 a
	5	18,7 c	0,0 d	24,1 b	25,3 a
	7,5	17,2 c	0,0 d	21,6 b	24,5 a
Tomate	2,5	19,1 c	15,2 d	22,2 b	24,9 a
	5	18,2 b	14,8 c	22,1 a	23,0 a
	7,5	16,3 c	12,8 d	20,6 b	22,7 a

Letras diferentes entre concentraciones indican diferencias significativas con $\alpha > 0,05$.

4.1.3.6 Área foliar

Al finalizado el ensayo, el AB incrementó significativamente el área foliar en los cultivos de tomate y berenjena en todas las conductividades estudiadas con tratamientos de 0,01 y 0,1 mM, obteniéndose un mayor incremento a concentraciones de 0,01 mM de AB; el tratamiento de 0,1 mM de AB presentó diferencia significativa con el control en salinidades de 5 y 7,5 mS en tomate y 2,5, 5 y 7,5 mS en el cultivo de berenjena. En cambio concentraciones de 1 mM de AB en el cultivo de tomate, mostraron claramente una reducción significativa del área foliar, evidenciando que la concentración posee posible propiedades inhibitoras sobre este parámetro (Tabla 74).

Tabla 74. Variación del área foliar en tomate y berenjena, por efecto del AB, *in vitro*

Especies	Niveles de salinidad (mS)	Área foliar (mm ²)			
		Control	1 mM de AB	0,1 mM de AB	0,01 mM de AB
Tomate	2,5	1920,5 b	258,1 c	1990,6 b	2781,9 a
	5	1577,6 c	215,6 d	1707,2 b	2359,1 a
	7,5	1119,6 c	140,6 d	1640,5 b	2192,9 a
Berenjena	2,5	958,2 c	0,0 d	1213,3 b	1721,3 a
	5	841,8 c	0,0 d	1216,2 b	1674,4 a
	7,5	763,4 c	0,0 d	1156,3 b	1576,2 a

Letras diferentes entre concentraciones indican diferencias significativas con $\alpha > 0,05$.

4.1.3.7 Pesos fresco y seco de hojas

Los pesos fresco y seco de las hojas de los cultivos de berenjena y tomate se incrementaron significativamente con la aplicación de 0,01 mM de AB en los tres niveles de salinidad al compararlo con el control. La concentración de 0,1 mM de AB, también aumento el peso fresco en el cultivo de berenjena con salinidad de 5 y 7,5 mS, siendo significativo en comparación al control en 5 mS de salinidad; igual incremento aunque no significativo se observó en el cultivo de tomate en las tres conductividades, mientras que con salinidad de 2,5 mS el peso fresco de hojas en berenjena se disminuyó, siendo estadísticamente igual que control.

En el peso seco de las hojas en berenjena también se incrementaron con la aplicación de 0,1 mM de AB en los tres niveles salinidad, observando significancia estadística mayor en salinidad de 7,5 mS. En el cultivo de tomate sólo en 2,5 mS de salinidad resultó con mayor incremento significativo del peso seco de hojas del cultivo con esta concentración de AS, mientras que en 5 y 7,5 mS de salinidad el promedio del peso seco de la hojas se disminuyó, pero no mostraron ser menor estadísticamente al compárale con el control; en cambio en el cultivo de tomate con la aplicación de 1 mM de AB los pesos fresco y seco de hojas se ven afectado negativamente, observándose que estadísticamente es menor con el respecto control (Tabla 75).

Tabla 75. Efecto del AB en los pesos fresco y seco de hojas en tomate y berenjena, *in vitro*

Especies	Niveles de salinidad (mS)	Peso fresco hoja (mg)			Peso seco hoja (mg)				
		Control	1 mM AB	0,1 mM AB	0,01 mM AB	Control	1 mM AB	0,1 mM AB	0,01 mM AB
Berenjena	2,5	217,3 b	0,0 c	207,8 b	325,2 a	22,1 b	0,0 c	23,3 b	32,9 a
	5	141,9 c	0,0 d	196,6 b	261,7 a	15,3 b	0,0 c	21,5ab	28,8 a
	7,5	130,4 c	0,0 d	171,3 b	240,9 a	13,3 c	0,0 d	18,4 b	24,1 a
Tomate	2,5	461,1 b	54,4 c	470,0 b	674,6 a	27,2 c	5,0 d	46,8 b	59,4 a
	5	374,3 b	46,9 c	374,8 b	510,4 a	31,3 b	4,5 c	30,7 b	51,6 a
	7,5	278,5 b	24,4 c	262,4 b	398,0 a	23,7 b	3,0 c	20,4 b	41,2 a

Letras diferentes entre concentraciones indican diferencias significativas con $\alpha > 0,05$.

4.1.3.8 Pesos fresco y seco de tallo

El AB a concentración de 0,01 mM aumentó significativamente el peso fresco y seco del tallo del cultivo de tomate con salinidades de 2,5, 5 y 7,5 mS, mientras que concentraciones de 0,1 mM de AB aumentó el peso fresco en 5 mS de salinidad y el peso seco en 2,5 y 5 mS, observándose significancia en el peso seco del tallo con salinidad de 5 mS respecto a control. La concentración de 1 mM de AB al reducir la longitud del tallo del cultivo de tomate, produjo una disminución del peso fresco y seco siendo estadísticamente menor al control (Tabla 76).

Tabla 76. Pesos fresco y seco del tallo de tomate por efecto del AB, *in vitro*

Niveles de salinidad (mS)	Peso fresco del tallo (mg)				Peso seco del tallo (mg)			
	Control	1 mM AB	0,1 mM AB	0,01 mM AB	Control	1 mM AB	0,1 mM AB	0,01 mM AB
2,5	300,1 b	51,4 c	292,6 b	371,6 a	26,8 b	6,2 c	30,4 b	38,7 a
5	281,9 b	41,2 c	288,7 b	358,4 a	20,7 c	4,9 d	29,5 b	35,9 a
7,5	134,9 b	25,9 c	132,5 b	225,2 a	14,1 b	3,8 c	13,1 b	23,7 a

Letras diferentes entre concentraciones indican diferencias significativas con $\alpha > 0,05$.

Los pesos fresco y seco del tallo de la berenjena se incrementaron con las aplicaciones de concentraciones de 0,01 y 0,1 mM de AB en los tres niveles de salinidad; observándose mayores incremento significativo sobre el control en los dos parámetros con el tratamiento de 0,01 mM de AB (Tabla 77).

Tabla 77. Pesos fresco y seco de tallo de berenjena por efecto del AB, *in vitro*

Pesos (mg)	Niveles de salinidad (mS)	Pesos (mg)			
		Control	1 mM AB	0,1 mM AB	0,01 mM AB
Peso fresco	2,5	114,1 b	0,0 c	148,0 a	159,6 a
	5	80,3 c	0,0 d	116,0 b	139,5 a
	7,5	79,4 b	0,0 c	107,6 a	116,1 a
Peso seco	2,5	10,6 b	0,0 c	16,1 a	19,0 a
	5	8,7 b	0,0 c	11,9 ab	14,1 a
	7,5	7,8 a	0,0 c	12,0 a	12,9 a

Letras diferentes entre concentraciones indican diferencias significativas con $\alpha > 0,05$.

4.1.3.9 Pesos fresco y seco de las raíces

Los pesos fresco y seco del sistema radical de explantos de tomate se incrementaron significativamente con la aplicación de 0,01 mM de AB en 2,5, 5 y 7,5 mS de salinidad con respecto al control, mientras que con concentraciones

de 0,1 mM de AB los pesos frescos de la raíces se disminuyeron en las tres salinidades estudiadas, siendo menor significativamente al control con salinidad de 2,5 y 5 mS; el efecto de disminución también se observó con esta concentración de AB en el peso seco de las raíces con salinidad de 2,5 mS en cambio con 5 y 7,5 mS de salinidad los promedios se incrementaron, la disminución y aumentos de lo peso no provocaron diferencia estadísticas sobre el control; sin embargo los promedio más bajo de los pesos fresco y seco del sistema radical de tomate se mostraron con la aplicación de 1 mM de AB, evidenciando la posible inhibición de este parámetro con la aplicación de altas concentraciones de AB (Tabla 78).

Tabla 78. Variación de los pesos fresco y seco de las raíces de tomate por efecto del AB, *in vitro*

Pesos	Niveles de salinidad (mS)	Control	1 mM AB	0,1 mM AB	0,01 mM AB
Fresco (mg)	2,5	172,1 b	35,5 c	114,4 c	239,2 a
	5	150,1 b	21,5 c	127,2 c	205,2 a
	7,5	104,7 b	15,8 c	100,1 b	129,8 a
Seco (mg)	2,5	15,1 b	5,6 c	12,3 b	24,1 a
	5	10,9 b	4,6 c	11,1 b	20,0 a
	7,5	8,0 bc	3,7 c	9,4 ab	12,8 a

Letras diferentes entre concentraciones indican diferencias significativas con $\alpha > 0,05$.

Finalizado el ensayo los pesos frescos y secos del sistema radical del cultivo de berenjena se incrementaron significativamente con la aplicación concentración de 0,01 mM de AB con respecto al control, este incremento sobre el peso fresco y seco del sistema radical, también se presentó con la aplicación de 0,1 mM de AB, observándose significancia en el peso fresco respecto al control en los tres niveles de salinidad, en el peso seco de las raíces también se incrementa sobre el control en los tres niveles de salinidad; observándose significancia estadística solo en 2,5 mS de salinidad (Tabla 79).

Tabla 79. Efecto del AB en los pesos fresco y seco de raíces de berenjena cultivadas *in vitro*

Pesos (mg)	Niveles de salinidad (mS)	Control	1 mM AB	0,1 mM AB	0,01 mM AB
Fresco (mg)	2,5	152,4 c	0,0 d	181,9 b	193,1 a
	5	95,7 c	0,0 d	120,3 b	133,0 a
	7,5	75,0 c	0,0 d	104,8 b	115,6 a
Seco (mg)	2,5	10,1 b	0,0 c	19,2 a	20,9 a
	5	6,7 b	0,0 c	10,3 ab	13,7 a
	7,5	4,1 bc	0,0 c	9,6 ab	11,9 a

Letras diferentes entre concentraciones indican diferencias significativas con $\alpha > 0,05$.

4.1.4 EFECTO DEL ÁCIDO BENZOICO (AB) EN EL CRECIMIENTO Y DESARROLLO DE ESPECIES HORTÍCOLAS CULTIVADAS *in vivo* EN 0, 2,5 Y 5 mS DE SALINIDAD

Se observó la acción del ácido benzoico sobre la germinación, crecimiento y desarrollo en los cultivos de tomate, berenjena y rábano; con semillas tratadas en proceso de imbibición durante 24 horas a concentraciones de 1 y 0,1 mM de AB; y luego sembradas en suelo con 0, 2,5 y 5 mS de salinidad.

4.1.4.1 Germinación

En proceso de imbibición de semillas de *Lycopersicon esculentum* Mill, en ácido benzoico a concentraciones de 1 y 0,1 mM permitió que al cuarto día se lograra un 100 % de la germinación con salinidad de 2,5 mS, mientras que el control solo presenta un 95 % de emergencia de las semillas. Con conductividades de 0 y 5 mS el 100 % de la emergencia de la semillas se presentó al quinto día con los tratamientos con AB; dejando a los controles respectivo con 97,5 % en salinidad de 0 mS y un 90 % para salinidad de 5 mS (Tabla 80).

Tabla 80. Efecto del AB, sobre la germinación del cultivo de tomate, *in vivo*

Niveles de salinidad (mS)	Concentraciones AB (mM)	Días de cultivo				
		1	2	3	4	5
		% de germinación.				
0	Control	0	10	25	73	97,5
	1	0	40	75	90	100
	0,1	0	35	80	93	100
2,5	Control	0	13	38	75	95
	1	0	25	75	100	100
	0,1	0	28	78	100	100
5	Control	0	10	30	65	90
	1	0	38	75	90	100
	0,1	0	40	78	93	100

En el cultivo de *Solanum melongena* L., el 100 % de la germinación se presentó al octavo día con tratamiento de 0,1 mM de AB cultivadas en 0 y 2,5 mS de salinidad; con tratamiento de 1 mM de AB este porcentaje máximo es logrado al noveno día en las dos conductividades mencionadas, mientras que el control solo

logra en este mismo día un 93 % con 0 mS y 90 % para 2,5 mS de salinidad. En cambio con conductividad de 5 mS los dos tratamientos con AB germinaron al 100 % al noveno día y el control sólo alcanza un 88 % (Tabla 81).

Tabla 81. Efecto del AB, sobre la germinación del cultivo de berenjena, *in vivo*

Niveles de salinidad (mS)	Concentraciones AB (mM)	Días de cultivo					
		4	5	6	7	8	9
		% de germinación.					
0	Control	0	0	5	30	70	93
	1	0	2,5	13	55	70	100
	0,1	0	2,5	25	63	100	100
2,5	Control	0	0	5	28	75	90
	1	0	7,5	48	68	78	100
	0,1	0	2,5	15	33	100	100
5	Control	0	0	2,5	30	65	88
	1	0	5	45	85	95	100
	0,1	0	2,5	23	38	85	100

El cultivo de *Raphanus sativus* L., germinó en un 100 % al cuarto día al ser tratadas en proceso de imbibición con ácido benzoico a concentración de 1 y 0,1 mM en 0, 2,5 y 5 mS de salinidad estudiadas; mientras que el control con salinidad de 0 mS logró un 95 %, un 87,5 % con salinidad de 2,5 mS y un 80 % con salinidad de 5 mS (Tabla 82).

Tabla 82. Efecto del AB, sobre la germinación del cultivo de rábano, *in vivo*

Niveles de salinidad (mS)	Concentraciones AB (mM)	Días de cultivo			
		1	2	3	4
		% de germinación.			
0	Control	0	25	77,5	95
	1	30	55	85	100
	0,1	25	75	87,5	100
2,5	Control	0	12,5	45	87,5
	1	25	45	92,5	100
	0,1	30	47,5	77,5	100
5	Control	12,5	57,5	67,5	80
	1	22,5	70	95	100
	0,1	30	65	87,5	100

4.1.4.2 Longitud del tallo

En la tabla 83, se demuestra que con las pulverizaciones de concentraciones de 0,1 y 1 mM de AB la longitud del tallo en tomate y berenjena se incrementó significativamente con respecto al control durante los 28 días de ensayo cultivados

en 0, 2,5 y 5 mS de salinidad; observándose en tomate que mayor incremento de éste parámetro se obtiene con la concentración de 0,1 mM de AB en los tres niveles de salinidad ensayados y en berenjena en cambio un mayor incremento significativo sucede con 1 mM de AB.

Tabla 83. Longitud del tallo del cultivo de tomate y berenjena bajo pulverización de AB, *in vivo*

Especie	Niveles de salinidad (mS)	Días del cultivo	Longitud del tallo (mm)		
			Control	1 mM AB	0,1 mM AB
Tomate	0	7	30,2 c	34,5 b	38,5 a
		14	84,8 b	104,5 a	105,3 a
		21	96,2 c	128,0 b	138,2 a
		28	133,3 c	172,3 b	183,6 a
	2,5	7	29,1 c	34,2 b	37,5 a
		14	73,5 b	98,1 a	98,6 a
		21	91,2 b	113,3 a	116,6 a
		28	114,4 c	151,7 b	160,9 a
	5	7	26,3 b	30,0 a	31,1 a
		14	66,9 b	83,4 a	86,0 a
		21	87,6 c	105,8 b	110,7 a
		28	97,4 b	125,7 a	125,9 a
Berenjena	0	7	21,2 b	28,6 a	27,1 a
		14	52,4 b	57,5 a	56,5 a
		21	63,7 b	66,7 a	65,9 a
		28	73,3 b	85,2 a	83,5 a
	2,5	7	20,1 b	26,7 a	25,9 a
		14	52,1 b	56,4 a	54,7 ab
		21	63,7 b	73,1 a	72,8 a
		28	67,6 b	82,9 a	81,1 a
	5	7	19,7 b	24,7 a	23,9 a
		14	49,9 b	54,0 a	52,0 ab
		21	61,7 b	72,8 a	72,0 a
		28	66,4 b	76,8 a	75,5 a

Letras diferentes entre concentraciones indican diferencias significativas con $\alpha > 0,05$.

A los 7, 14, 21 y 28 días con salinidad de 0, 2,5 y 5 mS en el cultivo de rábano la longitud del tallo se incrementaron significativamente con las pulverizaciones de concentraciones de 0,1 y 1 mM de AB con respecto al control; observándose en 0 mS que a los 7, 14 y al finalizado el ensayo mayor incremento se mostró con la concentración de 1 mM de AB; mientras que con salinidad de 2,5 mS ésta concentración sólo logró mayor incrementó a los 7 y a los 21 días del cultivo; al finalizado el estudio en esta conductividad mayor aumento de la longitud del tallo

se observó con la concentración de 0,1 mM de AB. En Cambio con 5 mS de salinidad durante los primeros 21 días un mayor incremento se observó con la concentración de 1 mM de AB y al finalizado el ensayo la concentración de 0,1 mM de AB resultó incrementar aún más el parámetro (Tabla 84).

Tabla 84. Longitud del tallo del cultivo de rábano, bajo pulverización de AB, *in vivo*

Niveles de salinidad (mS)	Días del cultivo	Longitud del tallo (mm)		
		Control	1 mM AB	0,1 mM AB
0	7	52,8 c	63,5 a	60,7 b
	14	60,0 b	67,5 a	67,6 a
	21	63,7 b	75,1 a	75,0 a
	28	74,8 c	94,6 a	92,0 b
2,5	7	46,2 b	60,8 a	58,8 a
	14	59,1 b	65,9 a	65,9 a
	21	63,7 b	73,1 a	72,8 a
	28	74,0 b	85,9 a	86,1 a
5	7	44,1 b	54,2 a	53,4 a
	14	57,4 b	63,4 a	62,5 a
	21	63,0 b	66,7 a	65,9 a
	28	70,7 b	80,7 a	82,9 a

Letras diferentes entre concentraciones indican diferencias significativas con $\alpha > 0,05$.

4.1.4.3 Longitud de las raíces

A los 14 y 28 días de ensayo el crecimiento la longitudinal de las raíces de tomate, berenjena y rábano cultivadas en 0, 2,5 y 5 mS de salinidad se incrementaron con las pulverizaciones de concentraciones de 0,1 y 1 mM de AB; observándose en tomate y rábano que la mayor longitud del sistema radical fue significativamente mayor con la concentración de 0,1 mM de AB; en berenjena a los 14 días con 0 y 2,5 mS de salinidad, también se obtiene mayor incremento con la concentración de 0,1 mM de AB, mientras que al finalizar el ensayo en ésta dos conductividad y en 5 mS de salinidad a los 14 y 28 días, el mayor incremento significativo presentó la concentración de 1 mM de AB (Tabla 85).

Tabla 85. Variación de longitud de las raíces de tomate, berenjena y rábano, bajo pulverización de concentraciones de AB, *in vivo*

Especies	Niveles de salinidad (mS)	Días del cultivo	Longitud de las raíces (mm)			
			Control	1 mM AB	0,1 mM AB	
Tomate	0	14	53,1 c	58,2 b	62,5 a	
		28	80,4 c	94,3 b	99,7 a	
	2,5	14	44,4 c	53,4 b	63,3 a	
		28	78,3 c	86,7 b	93,0 a	
	5	14	37,4 c	54,4 b	61,5 a	
		28	71,6 c	84,4 b	90,8 a	
	Berenjena	0	14	48,7 c	64,0 b	68,6 a
			28	76,9 c	91,1 a	87,8 b
2,5		14	47,6 b	63,6 a	63,9 a	
		28	70,2 b	86,9 a	84,5 a	
5		14	46,7 b	63,2 a	62,1 a	
		28	67,8 b	82,6 a	80,8 a	
Rábano		0	14	55,9 b	64,7 a	66,1 a
			28	65,9 b	93,6 a	95,2 a
	2,5	14	51,3 b	57,0 a	59,1 a	
		28	64,1 b	84,3 a	84,5 a	
	5	14	50,7 b	52,2 b	58,4 a	
		28	58,2 b	75,3 a	76,2 a	

Letras diferentes entre concentraciones indican diferencias significativas con $\alpha > 0,05$.

4.1.4.4 Número de hojas

En el cultivo de tomate en 0 2,5 y 5 mS de salinidad, el número de hojas se incrementó significativamente a partir de los 14 días, hasta la finalización del ensayo con las pulverizaciones con AB a concentraciones de 0,1 y 1 mM; observándose claramente significancia sobre el control (Tabla 86).

Tabla 86. Números de hojas en el cultivo de tomate bajo acción del AB, *in vivo*

Niveles de salinidad (mS)	Días del cultivo	Número de hojas		
		Control	1 mM AB	0,1 mM AB
0	7	2,0 a	2,0 a	2,0 a
	14	3,1 b	4,0 a	4,0 a
	21	3,7 b	4,6 a	4,5 a
	28	5,0 b	6,0 a	6,0 a
2,5	7	2,0 a	2,0 a	2,0 a
	14	3,2 b	3,8 a	4,0 a
	21	3,6 b	4,3 a	4,3 a
	28	4,0 b	5,7 a	5,6 a
5	7	2,0 b	2,0 a	2,0 a
	14	3,0 b	3,7 a	3,9 a
	21	3,4 b	4,0 a	4,0 a
	28	3,9 b	5,1 a	5,1 a

Letras diferentes entre concentraciones indican diferencias significativas con $\alpha > 0,05$.

El número de hojas en el cultivo de berenjena se incrementó a partir de los 14 días con aplicaciones de 0,1 y 1 mM de ácido benzoico, cultivadas en 0, 2,5 y 5 mS de salinidad; con tratamiento de 1 mM de AB mostró mayor incremento en este parámetro al finalizar el ensayo en los tres niveles de salinidad, observándose claramente diferencias significativas con el control. El AB, también influye en el aumento del número de hojas en el cultivo de rábano con la aplicación de 0,1 y 1 mM; mostrando diferencias significativas con el control en todos los niveles de salinidad, a partir de los 14 días y hasta el día 28 de finalizado el estudio (Tabla 87).

Tabla 87. Números de hojas en berenjena y en rábano, bajo acción del AB, *in vivo*

Especie	Niveles de salinidad (mS)	Días del cultivo	Número de hojas		
			Control	1 mM AB	0,1 mM AB
Berenjena	0	7	2,0 a	2,0 a	2,0 a
		14	3,5 b	3,9 a	3,9 a
		21	4,5 a	4,8 a	4,8 a
		28	4,9 b	5,6 a	5,2 b
	2,5	7	2,0 a	2,0 a	2,0 a
		14	3,4 b	3,8 a	4,0 a
		21	3,8 b	4,7 a	4,7 a
		28	4,3 c	5,4 a	5,1 b
	5	7	2,0 a	2,0 a	2,0 a
		14	3,0 b	3,9 a	3,9 a
		21	3,5 b	4,6 a	4,7 a
		28	4,0 c	5,3 a	5,1 b
Rábano	0	7	2,0 a	2,0 a	2,0 a
		14	3,9 b	3,8 a	3,7 a
		21	4,5 b	4,5 a	4,4 a
		28	5,5 b	5,5 b	6,0 a
	2,5	7	2,0 a	2,0 a	2,0 a
		14	2,7 b	3,7 a	3,6 a
		21	3,2 b	4,2 a	4,0 a
		28	4,0 a	5,0 a	5,0 a
	5	7	2,0 a	2,0 a	2,0 a
		14	2,6 b	3,6 a	3,3 a
		21	3,1 b	4,2 a	3,9 a
		28	3,9 b	5,0 a	4,9 a

Letras diferentes entre concentraciones indican diferencias significativas con $\alpha > 0,05$.

4.1.4.5 Clorofilas

En tomate cultivado en 0, 2,5 y 5 mS de salinidad los niveles de las clorofilas de las hojas se incrementaron significativamente con pulverizaciones de 1 y 0,1 mM de AB, observándose a los 14, 21 y 28 días del ensayo con 0 mS, un mayor incremento con el tratamiento de 1 mM de AB; este incremento con esta concentración, también se observó a los 21 y 28 días con salinidad de 2,5 mS, observándose que a los 14 días, la concentración de 0,1 mM de AB logra un mayor aumento de las clorofilas. Con salinidad de 5 mS los promedios más elevados del contenido de clorofilas, se mostraron con la concentración de 0,1 mM de AB a los 14, 21 y 28 días del ensayo (Tabla 88).

Tabla 88. Variación del contenido de las clorofilas en hojas de tomate, bajo efecto del AB, *in vivo*

Niveles de salinidad (mS)	Días del cultivo	Clorofilas en Unidades SPAD		
		Control	1 mM AB	0,1 mM AB
0	14	21,0 c	24,6 b	26,0 a
	21	21,0 b	24,0 a	23,2 a
	28	18,8 b	23,1 a	22,5 a
2,5	14	19,1 b	23,7 a	24,6 a
	21	18,3 b	22,7 a	22,5 a
	28	17,4 c	22,4 a	20,8 b
5	14	18,6 c	22,3 b	23,2 a
	21	17,4 b	21,4 a	22,2 a
	28	17,0 b	20,8 a	21,1 a

Letras diferentes entre concentraciones indican diferencias significativas con $\alpha > 0,05$.

La actividad fotosintética en el cultivo de berenjena se aumentó significativamente con las aplicaciones de 0,1 y 1 mM de AB; obteniéndose los promedios más altos de las clorofilas con la concentración 0,1 mM AB a los 14, 21 y 28 días con 0 y 2,5 mS de salinidad; a los 14 y 28 días con 5 mS; mientras que a los 21 días con 5 mS de salinidad el mayor incremento se observó con el tratamiento de 1 mM de AB (Tabla 89).

Tabla 89. Variación del contenido de las clorofilas en hojas de tomate, bajo efecto del AB *in vivo*

Niveles de salinidad (mS)	Días del cultivo	Clorofila en Unidades SPAD		
		Control	1 mM AB	0,1 mM AB
0	14	22,1 b	26,2 a	26,4 a
	21	21,0 b	24,4 a	24,8 a
	28	18,1 b	22,2 a	22,8 a
2,5	14	21,6 b	25,2 a	25,4 a
	21	19,7 b	23,7 a	23,8 a
	28	17,8 b	21,3 a	22,1 a
5	14	21,0 b	24,2 a	24,3 a
	21	18,7 b	22,9 a	22,7 a
	28	17,0 b	20,7 a	21,5 a

Letras diferentes entre concentraciones indican diferencias significativas con $\alpha > 0,05$.

El contenido de las clorofilas del cultivo de rábano, se incrementa significativamente con pulverizaciones de ácido benzoico a concentraciones de 0,1 y 1 mM; en 0 mS de conductividad eléctrica a los 14 y 21 días la concentración de 1 mM obtuvo un mayor incremento, mientras que al finalizar el ensayo el valor más alto se presenta con tratamiento de 0,1 mM de AB. En salinidades de 2,5 y 5 mS los valores más altos del nivel de clorofilas se presentaron a los 14 y 28 días con la concentración de 0,1 mM de AB y sólo a los 21 días del ensayo el tratamiento de 1 mM de AB mostró un mayor incremento del parámetro en estas dos conductividades (Tabla 90).

Tabla 90. Variación del contenido de las clorofilas en hojas de rábano, bajo efecto del AB, *in vivo*

Niveles de salinidad (mS)	Días del cultivo	Clorofila en Unidades SPAD		
		Control	1 mM AB	0,1 mM AB
0	14	28,7 c	34,1 a	31,7 b
	21	23,0 b	26,7 a	26,5 a
	28	22,0 b	24,3 a	25,2 a
2,5	14	27,4 c	29,5 b	30,6 a
	21	21,9 b	25,1 a	24,7 a
	28	20,1 b	23,8 a	24,3 a
5	14	23,6 b	28,9 a	29,5 a
	21	20,6 c	24,6 a	23,0 b
	28	19,2 b	21,4 a	22,2 a

Letras diferentes entre concentraciones indican diferencias significativas con $\alpha > 0,05$.

4.1.4.6 Área foliar

En tomate el incremento significativo del área foliar se observó a los 14 días y al finalizar el ensayo con aplicaciones de 0,1 y 1 mM de AB cultivadas en 0, 2,5 y 5 mS de salinidad; en 0 y 2,5 mS de salinidad la concentración de 0,1 mM mostró mayor incremento del área foliar a los 14 y 28 días, igual efecto se presentó a los 14 días con la misma concentración en 5 mS, mientras que al finalizar el cultivo la concentración de 1 mM, resultó mayor (Tabla 91).

Tabla 91. Área foliar, bajo acción del AB en cultivo de tomate, *in vivo*

Niveles de salinidad (mS)	Días del cultivo	Área foliar (mm ²)		
		Control	1 mM AB	0,1 mM AB
0	14	754,0 b	1090,0 a	1113,2 a
	28	2969,1 b	4545,3 a	4605,6 a
2,5	14	697,0 b	1005,0 a	1078,3 a
	28	1896,6 b	3872,6 a	3906,2 a
5	14	531,6 b	852,1 a	906,1 a
	28	1215,9 b	3127,1 a	3069,1 a

Letras diferentes entre concentraciones indican diferencias significativas con $\alpha > 0,05$.

A los 14 y 28 días de la evaluación del cultivo de berenjena con salinidad de 0, 2,5 y 5 mS, el área foliar se incrementó significativamente con las concentraciones de 0,1 y 1 mM de AB respecto al control; observándose que en 0 y 2,5 mS los promedio más altos, se presentaron con tratamiento de 1 mM, mientras que con salinidad de 5 mS, los promedio más elevados se mostraron con la concentración de 0,1 mM de AB (Tabla 92).

Tabla 92. Área foliar, bajo acción del AB en cultivo de berenjena, *in vivo*

Niveles de salinidad (mS)	Días del cultivo	Área foliar (mm ²)		
		Control	1 mM AB	0,1 mM AB
0	14	748,0 c	1144,6 a	1014,4 b
	28	1627,1 c	3016,5 a	2802,2 b
2,5	14	587,1 b	930,7 a	895,7 a
	28	1301,1 b	2856,0 a	2765,4 a
5	14	505,9 b	866,5 a	889,3 a
	28	1177,5 b	2678,7 a	2716,7 a

Letras diferentes entre concentraciones indican diferencias significativas con $\alpha > 0,05$.

A los 14 y 28 días de la evaluación del cultivo de rábano el promedio del área foliar se incrementó significativamente con concentraciones de 1 y 0,1 mM de AB; observando mayor incremento con tratamiento de 0,1 mM de AB en los tres niveles de salinidad ensayados (Tabla 93).

Tabla 93. Área foliar, bajo acción del AB en cultivo de rábano, *in vivo*

Niveles de salinidad (mS)	Días del cultivo	Área foliar (mm ²)		
		Control	1 mM AB	0,1 mM AB
0	14	475,4 c	720,8 b	902,0 a
	28	1302,0 c	2233,3 b	2732,0 a
2,5	14	423,3 c	609,1 b	673,4 a
	28	1149,7 b	1657,9 a	1759,6 a
5	14	379,8 c	611,2 b	664,0 a
	28	1029,8 b	1516,7 a	1562,6 a

Letras diferentes entre concentraciones indican diferencias significativas con $\alpha > 0,05$.

4.1.4.7 Pesos fresco y seco de hojas

A los 14 y 28 días del cultivo de tomate cultivado en 0, 2,5 y 5 mS de salinidad los promedios del peso fresco y seco de las hojas, se incrementaron significativamente con pulverizaciones de 0,1 y 1 mM de AB; en 0 mS el mayor incremento del peso fresco se presentó con la concentración de 1 mM a los 14 y 28 días, en 2,5 mS de salinidad a los 14 días el mayor incremento se presentó con el tratamiento de 0,1 mM de AB y al finalizar el ensayo con ésta salinidad la concentración de 1 mM mostró un mayor incremento del peso fresco de las hojas y en 5 mS de salinidad a los 14 y 28 días el mayor incremento del peso fresco se presentó con el tratamiento de 0,1 mM de AB. En cambio el mejor promedio del peso seco de las hojas resultó con el tratamiento de 0,1 mM de AB en los tres niveles de salinidad (Tabla 94).

Tabla 94. Pesos seco y fresco de las hojas de tomate bajo efecto del AB, *in vivo*

Niveles de salinidad (mS)	Días del cultivo	Peso fresco (mg)			Peso seco (mg)		
		Control	1 mM AB	0,1 mM AB	Control	1 mM AB	0,1 mM AB
0	14	134,7 b	227,0 a	223,9 a	13,4 c	20,6 b	24,8 a
	28	367,5 c	546,8 a	488,4 b	31,8 b	56,7 a	58,8 a
2,5	14	86,5 b	140,5 a	141,5 a	9,9 c	18,0 b	22,3 a
	28	207,4 b	504,0 a	487,6 a	18,2 b	40,9 a	45,0 a
5	14	78,2 c	102,6 b	115,1 a	9,2 c	16,5 b	20,7 a
	28	145,3 b	251,2 a	255,4 a	13,2 b	34,4 a	36,4 a

Letras diferentes entre concentraciones indican diferencias significativas con $\alpha > 0,05$.

El AB a concentraciones de 0,1 y 1 mM incrementan los pesos fresco y seco de las hojas del cultivo de berenjena cultivadas en 0, 2,5 y 5 mS de salinidad; a los 14 y 28 días con 0 y 2,5 mS y a los 14 días del ensayo con 5 mS de salinidad un mayor incremento sobre los pesos fresco y seco se observaron con el tratamiento de 0,1 mM, mientras que al finalizar el ensayo con 5 mS el mayor aumento del peso fresco y seco se presentó con la concentración de 1 mM de AB, observándose claramente significancias estadísticas sobre el control (Tabla 95).

Tabla 95. Pesos seco y fresco de las hojas de berenjena bajo efecto del AB, *in vivo*

Niveles de salinidad (mS)	Días del cultivo	Peso fresco (mg)			Peso seco (mg)		
		Control	1 mM AB	0,1 mM AB	Control	1 mM AB	0,1 mM AB
0	14	158,7 b	221,5 a	232,2 a	11,9 b	16,0 ab	18,1 a
	28	220,5 b	339,4 a	345,5 a	19,0 b	31,1 a	33,9 a
2,5	14	92,2 b	216,2 a	227,8 a	8,3 b	14,6 a	16,1 a
	28	184,2 b	298,5 a	300,3 a	17,4 b	28,0 a	30,6 a
5	14	91,2 b	129,7 a	130,8 a	7,9 b	13,1 ab	15,6 a
	28	167,0 b	288,1 a	276,1 a	16,3 b	29,3 a	27,5 a

Letras diferentes entre concentraciones indican diferencias significativas con $\alpha > 0,05$.

Los tratamientos con AB a concentraciones de 1 y 0,1 mM pulverizado en el cultivo de rábano a los 14 y 28 días de estudio, incrementó significativamente los pesos fresco y seco de las hojas en 0, 2,5 y 5 mS de salinidad; obteniéndose un mayor rendimiento de los parámetro con el tratamiento de 0,1 mM de AB (Tabla 96).

Tabla 96. Pesos seco y fresco de las hojas de rábano bajo efecto del AB, *in vivo*

Niveles de salinidad (mS)	Días del cultivo	Peso fresco (mg)			Peso seco (mg)		
		Control	1 mM AB	0,1 mM AB	Control	1 mM AB	0,1 mM AB
0	14	189,9 c	221,8 b	238,2 a	17,6 b	23,0 a	24,7 a
	28	379,4 c	631,4 b	677,3 a	37,0 b	67,0 a	70,3 a
2,5	14	168,6 b	214,6 a	234,5 a	16,1 b	21,4 a	23,6 a
	28	358,7 b	424,0 a	442,0 a	31,9 b	47,8 a	53,3 a
5	14	129,9 c	205,3 a	219,4 a	12,5 b	19,8 a	20,1 a
	28	320,9 b	408,6 a	430,2 a	26,4 b	38,3 a	40,2 a

Letras diferentes entre concentraciones indican diferencias significativas con $\alpha > 0,05$.

4.1.4.8. Pesos fresco y seco del tallo

Las diferencias significativas de los promedio en los pesos fresco y secos del tallo de tomate cultivados en 0, 2,5 y 5 mS de salinidad se observaron claramente sobre el control, con las aplicaciones de 0,1 y 1 mM de AB; demostrándose en la tabla 97 que a los 14 días, en las tres conductividades eléctricas y al finalizar el ensayo en 0 mS y 2,5 mS de salinidad un mayor incremento del peso fresco del tallo, se obtuvo con la concentración de 0,1 mM de AB, en 5 mS de salinidad al finalizar el ensayo el mayor incremento del peso fresco se observó con el tratamiento de 1 mM de AB; en cambio en el peso seco del tallo a los 14 y 28 días en los tres niveles de salinidad, el mayor incremento se presentó con la concentración de 0,1 mM de AB.

Tabla 97. Pesos seco y fresco del tallo del tomate bajo efecto del AB, *in vivo*

Niveles de salinidad (mS)	Días del cultivo	Peso fresco tallo (mg)			Peso seco tallo (mg)		
		Control	1 mM AB	0,1 mM AB	Control	1 mM AB	0,1 mM AB
0	14	155,5 b	233,7 a	236,7 a	14,8 b	28,3 a	29,5 a
	28	518,4 b	822,7 a	834,6 a	22,1 b	38,3 a	43,7 a
2,5	14	95,3 b	167,0 a	175,4 a	11,3 b	12,1 a	13,7 a
	28	324,7 b	720,6 a	740,9 a	16,3 b	39,1 a	43,0 a
5	14	84,6 c	113,4 b	133,7 a	9,5 c	21,1 b	24,5 a
	28	226,3 c	402,0 a	356,1 b	9,6 b	33,5 a	37,7 a

Letras diferentes entre concentraciones indican diferencias significativas con $\alpha > 0,05$.

Los pesos fresco y seco del tallo de la berenjena, se incrementaron con las aplicaciones de 0,1 y 1 mM de AB, en las tres conductividades; observándose que

un mayor incremento significativo del peso fresco a los 14 y 28 días en 2,5 mS, a los 28 días en 0 mS y a los 14 días con 5 mS de salinidad con la concentración de 0,1 mM de AB; en cambio, a los 14 días en 0 mS en salinidad y a los 28 días con 5 mS de salinidad mayor incremento del peso fresco del tallo se observó con el tratamiento de 1 mM de AB. Sin embargo, en los pesos secos del tallo, sólo la concentración de 0,1 mM de AB mostró mayor incremento significativo en los tres niveles de salinidad (Tabla 98).

Tabla 98. Pesos seco y fresco del tallo de la berenjena bajo efecto del AB, *in vivo*

Niveles de salinidad (mS)	Días del cultivo	Peso fresco tallo (mg)			Peso seco tallo (mg)		
		Control	1 mM AB	0,1 mM AB	Control	1 mM AB	0,1 mM AB
0	14	86,3 b	133,6 a	132,7 a	10,4 b	19,3 a	21,2 a
	28	102,8 b	189,8 a	190,9 a	15,8 b	18,0 ab	20,0 a
2,5	14	51,4 c	82,7 b	94,4 a	9,2 b	18,6 a	19,7 a
	28	89,0 b	175,4 a	180,5 a	13,7 b	17,5 a	19,9 a
5	14	50,9 c	70,8 b	93,0 a	7,6 b	17,9 a	19,9 a
	28	79,9 b	172,0 a	159,2 a	12,8 b	17,4 a	18,1 a

Letras diferentes entre concentraciones indican diferencias significativas con $\alpha > 0,05$.

El AB pulverizado a concentraciones de 0,1 y 1 mM permite obtener un incremento sobre los pesos fresco y seco del tallo de rábano, mostrándose un mayor promedio del peso fresco del tallo a los 14 días, en los tres niveles de salinidad con la concentración de 0,1 mM de AB; igual resultado se observó con el mismo tratamiento al finalizar el estudio en 0 mS de salinidad; sin embargo, en 2,5 y 5 mS de salinidad mayor incremento al finalizar el estudio se obtuvo con la concentración de 1 mM de AB. En cambio, en el parámetro del peso seco del tallo del rábano mayor incremento se presenta con la concentración de 0,1 mM de AB en los tres niveles de salinidad, claramente provocando significancias estadísticas al enfrentarle con el control (Tabla 99).

Tabla 99. Pesos seco y fresco del tallo de rábano bajo efecto del AB, *in vivo*

Niveles de salinidad (mS)	Días del cultivo	Peso fresco tallo (mg)			Peso seco tallo (mg)		
		Control	1 mM AB	0,1 mM AB	Control	1 mM AB	0,1 mM AB
0	14	87,8 c	115,2 b	125,0 a	8,6 c	11,4 b	15,2 a
	28	131,7 b	187,3 a	196,9 a	13,7 b	18,7 ab	23,1 a
2,5	14	81,3 b	108,1 a	109,9 a	7,6 b	10,2 ab	11,5 a
	28	115,4 b	160,5 a	158,0 a	11,3 b	17,3 a	19,3 a
5	14	74,5 b	85,8 ab	92,8 a	6,9 b	9,7 a	10,6 a
	28	112,3 b	133,5 a	120,1 a	9,3 c	14,9 b	17,6 a

Letras diferentes entre concentraciones indican diferencias significativas con $\alpha > 0,05$.

4.1.4.9 Pesos fresco y seco de las raíces

En el cultivo de tomate los pesos fresco y seco del sistema radical se ven significativamente aumentado con las aplicaciones de concentraciones de 0,1 y 1 mM de AB al compararle con el control respectivo; demostrándose en la tabla 100 que los mejores promedios de los pesos fresco y seco de las raíces se obtienen con la pulverización del tratamiento de 0,1 mM AB en los tres niveles de salinidad a los 14 y 28 días del ensayo.

Tabla 100. Pesos seco y fresco del sistema radical del tomate bajo efecto del AB, *in vivo*

Niveles de salinidad (mS)	Días del cultivo	Peso fresco (mg)			Peso seco (mg)		
		Control	1 mM AB	0,1 mM AB	Control	1 mM AB	0,1 mM AB
0	14	25,9 b	69,2 a	73,8 a	5,3 b	11,5 a	11,5 a
	28	158,4 c	226,6 b	249,0 a	19,4 b	42,8 a	43,7 a
2,5	14	21,0 c	35,8 b	53,4 a	3,8 c	9,4 b	11,3 a
	28	139,5 b	248,5 a	256,2 a	15,6 b	36,8 a	43,0 a
5	14	18,9 c	24,6 b	31,4 a	2,9 c	6,4 b	8,7 a
	28	100,5 b	185,5 a	195,7 a	9,7 c	23,7 b	37,7 a

Letras diferentes entre concentraciones indican diferencias significativas con $\alpha > 0,05$.

A los 14 y a los 28 días en berenjena cultivadas en suelos tratados con 0, 2,5 y 5 mS de salinidad los promedios de los pesos fresco y seco del sistema radical se incrementan con las aplicaciones de concentraciones de 0,1 y 1 mM de AB; observándose un mayor incremento en los pesos fresco y seco con tratamiento de 0,1 mM de AB, provocando claramente diferencias significativas en el peso fresco del sistema radical en los tres niveles de salinidad a los 14 y 28 días, y en el peso

seco finalizado el ensayo con 0 y 2,5 mS de salinidad y a los 14 y 28 días con 5 mS de salinidad (Tabla 101).

Tabla 101. Pesos seco y fresco del sistema radical de la berenjena bajo efecto del AB, *in vivo*

Niveles de salinidad (mS)	Días del cultivo	Peso fresco raíz (mg)			Peso seco raíz (mg)		
		Control	1 mM AB	0,1 mM AB	Control	1 mM AB	0,1 mM AB
0	14	56,6 b	108,6 a	109,8 a	7,1 a	8,1 a	8,6 a
	28	121,1 b	219,4 a	221,2 a	13,4 b	22,6 a	23,6 a
2,5	14	48,2 c	60,6 b	73,3 a	6,0 a	7,6 a	8,1 a
	28	89,5 b	161,9 a	169,5 a	11,6 b	21,6 a	22,1 a
5	14	36,8 b	58,2 a	64,1 a	5,5 b	7,5 a	7,9 a
	28	87,3 b	142,7 a	154,6 a	9,8 b	19,2 a	20,3 a

Letras diferentes entre concentraciones indican diferencias significativas con $\alpha > 0,05$.

En rábano cultivado en suelos tratados con 0, 2,5 y 5 mS de salinidad a los 14 y 28 días, los promedios de los pesos fresco y seco del sistema radical se incrementaron con las aplicaciones de concentraciones de 1 y 0,1 mM de AB; observándose un mayor incremento en los pesos frescos de las raíces con tratamiento de 0,1 mM de AB a los 14 y 28 días con 0 y 2,5 mS de salinidad y los 14 días con 5 mS de salinidad mientras que finalizado el ensayo con salinidad de 5 mS mayor incremento se presentó con tratamiento de 1 mM de AB, provocando claramente diferencias significativas sobre el control. En cambio, en el peso seco del sistema radical en los tres niveles de salinidad con la concentración 0,1 mM de AB se obtuvo mayor incremento al evaluar el parámetro (Tabla 102).

Tabla 102. Pesos seco y fresco del sistema radical del rábano bajo efecto del AB, *in vivo*

Niveles de salinidad (mS)	Días del cultivo	Peso fresco raíz (mg)			Peso seco raíz (mg)		
		Control	1 mM AB	0,1 mM AB	Control	1 mM AB	0,1 mM AB
0	14	24,6 c	35,8 b	40,2 a	4,5 b	6,2 a	6,6 a
	28	67,5 b	148,2 a	196,3 a	6,9 b	15,4 a	20,1 a
2,5	14	19,5 c	25,8 b	32,4 a	3,4 b	5,4 ab	6,1 a
	28	52,6 b	116,9 a	123,6 a	6,2 c	14,1 a	18,0 a
5	14	13,6 b	22,9 a	28,5 a	2,8 b	4,0 b	5,3 a
	28	49,3 b	112,1 a	105,0 a	5,4 c	15,1 a	16,4 a

Letras diferentes entre concentraciones indican diferencias significativas con $\alpha > 0,05$.

4.1.5 EFECTO DEL ÁCIDO ASCÓRBICO EN EL CRECIMIENTO Y DESARROLLO DE TOMATE Y BERENJENA CULTIVADAS *in vitro* EN 2,5, 5 Y 7,5 mS DE SALINIDAD

La influencia de concentraciones de 0, 100, 175 y 250 mg.l⁻¹ de ácido ascórbico, en medio MS modificado al 50 % con 1,5 % de sacarosa y con salinidad de 2,5, 5 y 7,5 mS, ocasionaron un incremento en el crecimiento y desarrollo en los cultivos de tomate y berenjena.

4.1.5.1 Germinación

En el cultivo de *Lycopersicon esculentum* Mill, con conductividad eléctrica de 2,5 mS germinó al 100 % al octavo día con las aplicaciones de concentraciones de 100, 175 y 250 mg.l⁻¹ de ácido ascórbico, mientras que el control sólo logra un 92,3 %. Con salinidad de 5 y 7,5 mS la concentración de 100 mg.l⁻¹ de A.As, solo se obtuvo el 100 % de la germinación en este mismo día; en cambio, con la concentración de 175 mg.l⁻¹ de A.As alcanzó un 96,2 % y un 92,3 % con la concentración de 250 mg.l⁻¹ de A.As para cada salinidad (5 y 7,5 mS), dejando al control con un porcentaje de germinación de 76,9 % con 5 mS y 69,2 % para 7,5 mS de salinidad (Tabla 103).

Tabla 103. Efecto del A.As, sobre la germinación *in vitro* del cultivo de tomate

Niveles de salinidad (mS)	Concentraciones de A.As (mg.l ⁻¹)	Días de cultivo						
		2	3	4	5	6	7	8
		% de germinación.						
2,5	Control	0	11,5	11,5	38,5	57,7	76,9	92,3
	100	0	26,9	57,7	69,2	81	96,2	100
	175	0	19,2	38,5	65,4	84,6	92,3	100
	250	0	15,4	30,8	46,2	69,2	88,5	100
5	Control	0	0	7,7	30,8	57,7	69,2	76,9
	100	0	0	23,1	42,3	76,9	84,6	100,0
	175	0	0	19,2	34,6	61,5	76,9	96,2
	250	0	0	19,2	30,8	57,7	73,1	92,3
7,5	Control	0	0	3,8	19,2	30,8	46,2	69,2
	100	0	0	23,1	30,8	50,0	80,8	100,0
	175	0	0	23,1	26,9	38,5	69,2	96,2
	250	0	0	15,4	23,1	30,8	57,7	92,3

En berenjena (*Solanum melongena* L.) con salinidad de 2,5 mS, la concentración de 100 mg.l⁻¹ de A.As promueve la emergencia de semillas cultivadas *in vitro*, alcanzado un 100 % a los 13 días; igual porcentaje de germinación logran las concentraciones de 175 y 250 mg.l⁻¹ de A.As a los 14 días, mientras que el control sólo alcanzó un 92,3 % a los 15 días. Con conductividad de 5 mS la concentración de 100 mg.l⁻¹ de A.As adelantó la germinación logrando el 100 % de la germinación a los 14 días, mientras que 175 y 250 mg.l⁻¹ de A.As logran el 100 % al día 15 del ensayo, en cambio, el control logró un 84,6 % de germinación. El ácido ascórbico a concentración de 100 mg.l⁻¹ logró un 100 % de germinación de semillas de berenjena cultivadas *in vitro* con salinidad de 7,5 mS a los 15 días, mientras que a concentración de 175 mg.l⁻¹ sólo presentó un 96,2 % y 92,3 % a concentración de 250 mg.l⁻¹, mientras que el control sólo alcanzó un 76,9 % de emergencia en este cultivo (Tabla 104).

Tabla 104. Efecto del A.As, sobre la germinación *in vitro* del cultivo de berenjena

Niveles de salinidad (mS)	Concentraciones A.As (mg.l ⁻¹)	Días de cultivo										
		6	7	8	9	10	11	12	13	14	15	
2,5	Control	0,0	3,8	19,2	34,6	38,5	53,8	65,4	61,5	76,9	92,3	
	100	0,0	30,8	38,5	57,7	69,2	76,9	92,3	100	100	100	
	175	0,0	30,8	38,5	57,7	61,5	69,2	76,9	92,3	100	100	
	250	0,0	23,1	38,5	57,7	57,7	65,4	76,9	84,6	100	100	
5	Control	0,0	0,0	0,0	7,7	19,2	38,5	57,7	69,2	76,9	84,6	
	100	0,0	7,7	15,4	30,8	57,7	73,1	84,6	92,3	100	100	
	175	0,0	3,8	7,7	15,4	30,8	53,8	69,2	80,8	84,6	100	
	250	0,0	3,8	3,8	7,7	30,8	46,2	61,5	76,9	84,6	100	
7,5	Control	0,0	0,0	3,8	3,8	7,7	19,2	38,5	57,7	69,2	76,9	
	100	0,0	3,8	7,7	38,5	46,2	53,8	73,1	84,6	92,3	100	
	175	0,0	3,8	3,8	19,2	30,8	38,5	53,8	61,5	76,9	96,2	
	250	0,0	3,8	3,8	3,8	15,4	19,2	38,5	46,2	69,2	92,3	

4.1.5.2 Longitud del tallo

A los 7, 14, 21 y 28 días la longitud de tallo de tomate cultivado *in vitro* en salinidad de 2,5 mS en concentración de 100 mg.l⁻¹ de A.As se incrementó significativamente con respecto a control; estos incrementos significativo también se mostraron a partir de los 14 días del ensayo a concentración de 175 mg.l⁻¹ de

A.As, mientras que con concentración 250 mg.l⁻¹ de A.As la longitud del tallo disminuyó, aunque sólo fue menor significativamente con el control a los 7 y 14 días. Con salinidad de 5 mS la longitud de tallo de explantos de tomate aumentaron significativamente con las aplicaciones de concentraciones de 100 y 175 mg.l⁻¹ de A.As; aun así, los mejores promedio se observaron 100 mg.l⁻¹ de A.As durante los 28 días de ensayo; mientras que la concentración de 250 mg.l⁻¹ de A.As disminuyó la longitud de tallo, sólo siendo significativamente menor con el control finalizado el ensayo.

La concentración de 100 mg.l⁻¹ de A.As también mostró mayores promedios significativos sobre el crecimiento de la longitud del tallo de explantos de tomate con salinidad de 7,5 mS, sin embargo, la concentración de 175 mg.l⁻¹ de A.As también aumentó la longitud de tallo hasta los 21 días del ensayo y finalizado el ensayo la longitud del tallo disminuyó, aunque no se presentó significancia menor con el respectivo control; mientras que la concentración de 250 mg.l⁻¹ de A.As disminuyó la longitud del tallo de los explantos a partir de los 14 días hasta finalizado el ensayo; encontrando diferencias significativas menor al compararle con el control a los 21 y 28 días del cultivo (Tabla 105).

Tabla 105. Efecto del A.AS, en la longitud del tallo del cultivo de tomate, *in vitro*

Niveles de salinidad (mS)	Días del cultivo	Longitud del tallo (mm)			
		Control	100 mg.l ⁻¹ de A.As	175 mg.l ⁻¹ de A.As	250 mg.l ⁻¹ de A.As
2,5	7	32,9 b	38,0 a	32,8 b	28,9 c
	14	54,0 c	70,9 a	59,1 b	48,2 d
	21	63,2 c	82,3 a	73,8 b	61,0 c
	28	99,8 c	125,8 a	106,6 b	98,7 c
5	7	23,8 c	33,3 a	27,5 b	22,3 c
	14	34,0 c	56,8 a	44,4 b	32,3 c
	21	58,0 c	74,4 a	64,8 b	56,6 c
	28	88,3 c	101,0 a	95,5 b	76,2 d
7,5	7	21,3 c	25,2 a	23,6 b	22,0 c
	14	29,9 c	53,8 a	42,7 b	31,6 c
	21	52,4 c	70,1 a	61,1 b	47,2 d
	28	75,3 b	96,5 a	74,2 b	71,3 c

Letras diferentes entre concentraciones indican diferencias significativas con $\alpha > 0,05$.

En berenjena cultivadas en 2,5, 5 y 7,5 mS de salinidad las concentraciones de 100 y 175 mg.l⁻¹ de ácido ascórbico permitió incrementar significativamente la longitud del tallo los 7, 14, 21 y 28 días de estudio, al compararlos con el control respectivo; observándose que mayor longitud se logra con la concentración de 100 mg.l⁻¹ de A.As; mientras que con la aplicación de concentración de 250 mg.l⁻¹ de A.As la longitud de tallo se aumentó a partir de los 14 días hasta finalizar el ensayo con conductividades de 2,5 y 5 mS y con salinidad de 7,5 mS a los 21 y 28 días del estudio; encontrándose significancia estadística a los 14 y 28 días con 2,5 y 5 mS de salinidad y a los 21 y 28 días con salinidad de 7,5 mS con el respectivo control (Tabla 106).

Tabla 106. Efecto del A.As, en la longitud del tallo del cultivo de berenjena, *in vitro*

Niveles de salinidad (mS)	Días del cultivo	Longitud del tallo (mm)			
		Control	100 mg.l ⁻¹ de A.As	175 mg.l ⁻¹ de A.As	250 mg.l ⁻¹ de A.As
2,5	7	23,8 c	32,0 a	27,5 b	22,3 c
	14	32,7 d	49,0 a	40,3 b	36,3 c
	21	46,4 c	64,2 a	56,9 b	48,3 c
	28	50,3 c	72,2 a	70,2 a	61,4 b
5	7	20,7 c	28,3 a	25,2 b	18,9 c
	14	29,5 d	45,1 a	37,4 b	33,2 c
	21	40,5 c	60,4 a	50,3 b	43,7 c
	28	45,0 d	68,8 a	63,6 b	53,2 c
7,5	7	18,5 b	25,1 a	24,9 a	17,1 b
	14	21,6 c	31,8 a	28,6 b	20,9 c
	21	31,4 d	54,3 a	47,7 b	38,3 c
	28	35,4 d	66,6 a	62,0 b	52,3 c

Letras diferentes entre concentraciones indican diferencias significativas con $\alpha > 0,05$.

4.1.5.3 Longitud de las raíces

En tomate, la concentración de 100 mg.l⁻¹ de A.As mostró un efecto promotor significativo sobre la longitud del sistema radical durante los 28 días de estudio con salinidad de 2,5, 5, 7,5 mS al compararlo con el control; la concentración de 175 mg.l⁻¹ de A.As también incrementó la longitud radical de los explantos de tomate al inicio y al finalizar el ensayo con salinidad de 2,5 mS, a los 21 y 28 días con 5 mS y a los 7, 21 y 28 días con 7,5 mS de salinidad; igual incremento se presentaron a los 21 y 28 días con salinidad de 5 y 75 mS con la aplicación de 250 mg.l⁻¹ de A.As. A concentración de 250 mg.l⁻¹ de A.As durante los 28 días en 2,5

mS de salinidad y en los primeros 14 días del cultivo con 5 y 7,5 mS de salinidad la longitud de las raíces disminuyó, siendo significativamente menor al control a los 14 y 21 días con salinidad de 2,5 mS y en los días mencionados con 5 y 7,5 mS de salinidad (Tabla 107).

Tabla 107. Efecto del A.As, en la longitud de las raíces del cultivo de tomate, *in vitro*

Niveles de salinidad (mS)	Días del cultivo	Longitud de las raíces (mm)			
		Control	100 mg.l ⁻¹ de A.As	175 mg.l ⁻¹ de A.As	250 mg.l ⁻¹ de A.As
2,5	7	23,2 b	29,4 a	23,8 b	22,8 b
	14	39,5 a	41,7 a	35,9 b	33,3 c
	21	45,2 b	51,7 a	45,1 b	41,0 c
	28	76,6 c	90,7 a	81,7 b	75,8 c
5	7	19,9 b	24,0 a	19,7 b	17,6 c
	14	31,0 b	34,2 a	30,7 b	25,7 c
	21	36,5 c	45,4 a	40,3 b	39,4 b
	28	73,5 c	88,7 a	77,0 b	74,3 c
7,5	7	17,2 c	22,8 a	19,2 b	15,2 d
	14	26,8 b	31,3 a	24,6 c	22,7 d
	21	30,9 c	40,4 a	36,9 b	32,1 c
	28	62,8 d	83,2 a	74,1 b	70,3 c

Letras diferentes entre concentraciones indican diferencias significativas con $\alpha > 0,05$.

La longitud de raíces de explantos de berenjena cultivados *in vitro* en condiciones de 2,5, 5 y 7,5 mS de salinidad aumentaron significativamente con la aplicación de ácido ascórbico a concentraciones de 100 mg.l⁻¹ durante 28 días de estudio al compararlo con el respectivo control; con concentraciones de 175 y 250 mg.l⁻¹ de A.As también se muestra dichos incrementos a los 7, 21 y 28 días con salinidad de 2,5 mS, a los 21 y 28 días con conductividad de 5 mS. Con salinidad de 7,5 mS a concentraciones de 175 mg.l⁻¹ de A.As la longitud del sistema radical también se incrementó durante los 28 días de ensayo; observándose diferencias significativas a los 7, 21 y 28 días; igual aumento significativo se mostró con la aplicación de la concentraciones de 250 mg.l⁻¹ de A.As a partir de los 14 días del cultivo de berenjena; siendo mayor significativamente con el control a los 21 y 28 días del estudio (Tabla 108).

Tabla 108. Efecto del A.As, en la longitud de las raíces del cultivo de berenjena, *in vitro*

Niveles de salinidad (mS)	Días del cultivo	Longitud de raíces (mm)			
		Control	100 mg.l ⁻¹ de A.As	175 mg.l ⁻¹ de A.As	250 mg.l ⁻¹ de A.As
2,5	7	21,7 c	29,2 a	23,8 b	22,8 bc
	14	31,0 b	39,5 a	29,4 b	28,2 b
	21	48,8 d	63,6 a	59,9 b	53,5 c
	28	57,3 d	75,9 a	70,5 b	64,3 c
5	7	19,9 b	24,0 a	19,7 b	17,6 c
	14	26,9 b	34,2 a	26,6 b	25,7 b
	21	42,8 d	60,6 a	56,8 b	51,5 c
	28	52,8 d	69,0 a	64,0 b	54,4 c
7,5	7	17,2 c	22,9 a	19,2 b	15,2 d
	14	22,7 b	33,4 a	23,6 b	23,1 b
	21	35,0 c	58,5 a	49,8 b	48,8 b
	28	43,8 c	65,0 a	63,3 a	54,6 b

Letras diferentes entre concentraciones indican diferencias significativas con $\alpha > 0,05$.

4.1.5.4 Número de hojas

El promedio de número de hojas de explantos tomate se incrementó con las aplicaciones de concentraciones de 100, 175 y 250 mg.l⁻¹ de A.As durante los 28 días del ensayo en los tres niveles de salinidad ensayados; observando a los 7, 14, 21 y 28 días mayor incremento mostró con la aplicación de la concentración de 100 mg.l⁻¹ de A.As, evidenciando claramente diferencias significativas sobre el control (Tabla 109).

Tabla 109. Efecto del A.As, en el número de hojas en el cultivo de tomate, *in vitro*

Niveles de salinidad (mS)	Días del cultivo	Número de hojas			
		Control	100 mg.l ⁻¹ de A.As	175 mg.l ⁻¹ de A.As	250 mg.l ⁻¹ de A.As
2,5	7	2,1 c	3,0 a	2,8 b	2,1 c
	14	3,4 b	4,6 a	3,8 b	3,8 b
	21	4,4 b	5,2 a	4,1 c	4,5 ab
	28	4,9 c	6,1 a	5,7 a	5,4 b
5	7	2,0 b	2,9 a	2,6 a	2,1 b
	14	3,1 c	4,2 a	3,7 b	3,7 b
	21	3,6 b	5,2 a	3,9 b	3,9 b
	28	4,5 c	5,8 a	5,0 b	5,0 b
7,5	7	2,1 b	2,9 a	2,6 a	2,1 b
	14	2,9 b	3,5 a	3,2 ab	3,1 ab
	21	3,4 b	5,0 a	3,7 b	3,7 b
	28	4,0 c	5,7 a	4,9 b	4,9 b

Letras diferentes entre concentraciones indican diferencias significativas con $\alpha > 0,05$.

A partir de los 14 días del cultivo *Solanum melongena* L., el número de hojas se incrementó con las aplicaciones de las concentraciones de 100, 175 y 250 mg.l⁻¹ de A.As con 2,5, 5 y 7,5 mS de salinidad; mostrándose en la tabla 108 que con la concentración de 100 mg.l⁻¹ de A.As el parámetro tiene un mayor incremento en los tres niveles de salinidad mostrándose claramente diferencias significativas sobre el control (Tabla 110).

Tabla 110. Efecto del A.As, en el número de hojas en el cultivo de berenjena, *in vitro*

Niveles de salinidad (mS)	Días del cultivo	Número de hojas			
		Control	100 mg.l ⁻¹ de A.As	175 mg.l ⁻¹ de A.As	250 mg.l ⁻¹ de A.As
2,5	7	2,0 a	2,0 a	2,0 a	2,0 a
	14	2,5 b	2,9 a	2,6 ab	2,2 b
	21	3,4 c	4,2 a	3,9 ab	3,8 b
	28	4,3 b	5,5 a	5,2 a	4,6 b
5	7	2,0 a	2,0 a	2,0 a	2,0 a
	14	2,2 b	2,8 a	2,6 ab	2,3 b
	21	3,0 c	4,1 a	3,8 ab	3,7 b
	28	4,0 d	5,6 a	5,1 b	4,5 c
7,5	7	2,0 a	2,0 a	2,0 a	2,0 a
	14	2,3 ab	2,6 a	2,4 ab	2,2 b
	21	3,0 c	4,0 a	3,7 ab	3,6 b
	28	3,8 c	5,0 a	4,9 a	4,3 b

Letras diferentes entre concentraciones indican diferencias significativas con $\alpha > 0,05$.

4.1.5.5 Clorofilas

El ácido ascórbico a concentraciones de 100, 175 y 250 mg.l⁻¹, influyó claramente en el incremento de la actividad fotosintética de los cultivos de tomate y berenjena, observando que los promedios de los niveles de las clorofilas se incrementaron significativamente en los tres niveles de salinidad ensayados; mostrado en la tabla 106 que mejores promedios del nivel de las clorofilas se obtienen con la aplicación de 100 mg.l⁻¹ de A.As finalizado en estudio en las dos especies experimentados (Tabla 111).

Tabla 111. Variación de las clorofilas en tomate y berenjena por efecto del A.As, *in vitro*

Especies	Niveles de salinidad (mS)	Clorofilas en Unidades SPAD			
		Control	100 mg.l ⁻¹ de A.As	175 mg.l ⁻¹ de A.As	250 mg.l ⁻¹ de A.As
Tomate	2,5	19,1 c	31,1 a	25,3 b	24,4 b
	5	18,2 d	27,5 a	23,3 b	21,9 c
	7,5	16,3 c	24,4 a	21,1 b	20,7 b
Berenjena	2,5	19,5 c	30,5 a	25,1 b	25,1 b
	5	18,7 d	28,8 a	25,2 b	23,4 c
	7,5	17,2 d	27,3 a	24,3 b	21,4 c

Letras diferentes entre concentraciones indican diferencias significativas con $\alpha > 0,05$.

4.1.5.6 Área foliar

En tomate y berenjena cultivadas *in vitro* en 2,5, 5 y 7,5 mS de salinidad, el área foliar se incrementó significativamente con las aplicaciones de 100 y 175 mg.l⁻¹ de A.As; observándose que los mejores promedios se mostraron con la concentración de 100 mg.l⁻¹ de A.As en los tres niveles de salinidad. Con concentración de 250 mg.l⁻¹ de A.As también se mostraron incremento del área foliar en el cultivo de tomate en los tres niveles de salinidad ensayados y en el cultivo de berenjena con 5 y 7,5 mS de salinidad mientras que en 2,5 mS del cultivo de berenjena disminuyó, aunque no presentó significancia estadística menor al compararle con el control (Tabla 112).

Tabla 112. Variación del Área foliar en tomate y berenjena por efecto del AS, *in vitro*

Especies	Niveles de salinidad (mS)	Área foliar (mm ²)			
		Control	100 mg.l ⁻¹ de A.As	175 mg.l ⁻¹ de A.As	250 mg.l ⁻¹ de A.As
Tomate	2,5	1920,5 d	2981,4 a	2406,1 b	2225,7 c
	5	1577,6 c	2543,8 a	2107,9 b	1690,2 c
	7,5	1119,6 d	2302,6 a	2040,1 b	1499,1 c
Berenjena	2,5	958,2 c	2227,3 a	1402,4 b	930,1 c
	5	841,8 c	1939,8 a	1265,1 b	923,0 c
	7,5	763,4 c	1853,5 a	1259,0 b	866,2 c

Letras diferentes entre concentraciones indican diferencias significativas con $\alpha > 0,05$.

4.1.5.7 Pesos fresco y seco de hojas

En tomate cultivado en 2,5, 5 y 7,5 mS de salinidad las aplicaciones de 100, 175 y 250 mg.l⁻¹ incrementaron los pesos frescos de las hojas; observando que con la concentración de 100 mg.l⁻¹ A.As se obtiene mayor incremento finalizado el

ensayo, mostrando significancia estadística en los tres niveles de salinidad al compararlo con el control; mientras que con la concentración 175 mg.l⁻¹ de A.As sólo mostró significancia estadística en salinidad de 7,5 mS.

El peso seco de hoja de tomate también se incrementó significativamente con las aplicaciones de 100 y 175 mg.l⁻¹ de ácido ascórbico con salinidad de 2,5, 5 y 7,5 mS; mientras que con 250 mg.l⁻¹ de A.As los incrementos significativos sobre el peso seco sólo se presentó con 2,5 mS de salinidad y en salinidad 5 mS el incremento del peso seco no mostró diferencias estadísticamente con el control (Tabla 115).

Tabla 113. Efecto del A.As en los pesos fresco y seco de hojas de tomate, *in vitro*

Peso en hoja	Niveles de salinidad (mS)	Control	100 mg.l ⁻¹ de A.As	175 mg.l ⁻¹ de A.As	250 mg.l ⁻¹ de A.As
Peso fresco	2,5	461,1 b	695,0 a	491,8 b	474,0 b
	5	374,3 b	560,4 a	418,8 b	405,1 b
	7,5	278,5 b	492,0 a	468,4 a	316,4 b
Peso seco	2,5	27,2 c	66,6 a	49,6 b	45,7 b
	5	31,3 c	56,7 a	47,8 ab	38,1 bc
	7,5	23,7 b	49,9 a	41,4 a	23,6 b

Letras diferentes entre concentraciones indican diferencias significativas con $\alpha > 0,05$.

El ácido ascórbico a concentración de 100 mg.l⁻¹ incrementó significativamente los pesos fresco y seco de hoja de berenjena con 2,5, 5 y 7,5 mS de salinidad respecto al control; igual incremento sobre los pesos fresco y seco de hojas se observó con la aplicación de 175 mg.l⁻¹ de A.As, encontrándose diferencias significativas con él control en 5 y 7,5 mS; en cambio, con la salinidad de 2,5 mS en los dos parámetros solo ocasionó un incremento no significativo.

Con concentración de 250 mg.l⁻¹ de A.As, disminuyó el peso fresco de las hojas de berenjena en salinidad de 2,5 y 5 mS, con salinidad de 7,5 mS se aumentó el promedio final; aunque el peso fresco disminuyó no se diferenció estadísticamente con el respectivo control. En cambio, con el peso seco de hojas de berenjena, con la aplicación de la concentración de 250 mg.l⁻¹ de A.As con salinidad de 2,5 mS disminuyó, pero no fue menor estadísticamente; mientras con salinidad 5 y 7,5 mS aumentaron sin ocasionar diferencias significativas (Tabla 114).

Tabla 114. Efecto del A.As, en pesos fresco y seco de hojas en berenjena, *in vitro*

Peso en hoja	Niveles de salinidad (mS)	Control	100 mg.l ⁻¹ de A.As	175 mg.l ⁻¹ de A.As	250 mg.l ⁻¹ de A.As
Peso fresco	2,5	217,3 b	351,0 a	237,0 b	146,3 c
	5	141,9 c	272,4 a	209,1 b	140,7 c
	7,5	130,4 c	244,8 a	191,8 b	139,7 c
Peso seco	2,5	22,1 bc	35,7 a	25,0 b	15,7 c
	5	15,3 b	30,1 a	21,1 b	15,7 b
	7,5	13,3 b	25,0 a	19,5 b	14,5 b

Letras diferentes entre concentraciones indican diferencias significativas con $\alpha > 0,05$.

4.1.5.8 Pesos fresco y seco del tallo

Los pesos fresco y seco del tallo de explantos de tomate aumentaron significativamente con la aplicación de concentración de 100 mg.l⁻¹ de A.As con 2,5, 5 y 7,5 mS de salinidad, este efecto de incremento sobre el pesos fresco también se observó con la aplicación de 175 mg.l⁻¹ de A.As en 2,5 y 7,5 mS de salinidad y en los tres niveles de salinidad de los pesos secos; siendo significativo sobre el control en el peso fresco con 7,5 mS y en los tres incrementos del peso seco; mientras que con salinidad de 5 mS el peso fresco del tallo disminuyó significativamente. En cambio, con la concentración de 250 mg.l⁻¹ de A.As los pesos fresco con salinidad de 2,5 y 5 mS disminuyeron sólo siendo menor estadísticamente en 5 mS de salinidad; sin embargo, los pesos secos del tallo con ésta concentración de A.AS se incrementaron en los tres niveles de salinidad, obteniendo significancia estadística en 7, 5 mS de salinidad (Tabla 115).

Tabla 115. Efecto del A.As, en pesos fresco y seco del tallo en tomate *in vitro*

Peso en tallo	Niveles de salinidad (mS)	Control	100 mg.l ⁻¹ de A.As	175 mg.l ⁻¹ de A.As	250 mg.l ⁻¹ de A.As
Peso fresco	2,5	300,1 b	401,6 a	305,2 b	295,0 b
	5	281,9 b	375,8 a	246,9 c	239,5 c
	7,5	134,9 d	262,2 a	231,9 b	187,5 c
Peso seco	2,5	26,8 b	41,2 a	31,3 a	29,3 b
	5	20,7 b	38,2 a	24,5 a	22,5 b
	7,5	14,1 c	27,0 a	23,7 a	19,2 b

Letras diferentes entre concentraciones indican diferencias significativas con $\alpha > 0,05$.

Los pesos fresco y seco del tallo de explantos de berenjena aumentaron con las aplicaciones de concentraciones de 100, 175 y 250 mg.l⁻¹ de A.As en los tres niveles de salinidad ensayados, observándose que mayores incrementos se presentaron con la aplicación de la concentración de 100 mg.l⁻¹ de A.As;

provocando claramente significancias estadísticas sobre el control en 2,5, 5 y 7,5 mS de salinidad en los dos parámetro evaluados (Tabla 116).

Tabla 116. Efecto del A.As, en pesos fresco y seco del tallo en berenjena, *in vitro*

Peso en tallo	Niveles de salinidad (mS)	Control	100 mg.l ⁻¹ de A.As	175 mg.l ⁻¹ de A.As	250 mg.l ⁻¹ de A.As
Peso fresco	2,5	114,1 c	191,3 a	149,8 b	126,9 c
	5	80,3 c	131,9 a	113,1 b	87,7 c
	7,5	79,4 c	122,4 a	104,7 b	81,8 c
Peso seco	2,5	10,6 b	20,3 a	13,9 b	12,8 b
	5	8,6 c	17,6 a	14,6 ab	9,6 bc
	7,5	7,8 b	15,8 a	10,9 b	8,9 b

Letras diferentes entre concentraciones indican diferencias significativas con $\alpha > 0,05$.

4.1.5.9 Pesos fresco y seco de las raíces

El peso fresco de las raíces aumentó significativamente en el cultivo de tomate a concentraciones de 100 mg.l⁻¹ de A.As con relación al control con salinidad de 2,5, 5 y 7,5 mS; igual aumentó significativo se mostró con la aplicación de concentraciones de 175 y 250 mg.l⁻¹ de A.As con salinidad de 7,5 mS; con salinidad de 2,5 y 5 mS la concentraciones de 175 mg.l⁻¹ de A.As, disminuyó el promedio del peso fresco de la raíz, aunque no fue significativamente menor con respecto al control; mientras, que con la aplicación de 250 mg.l⁻¹ de A.As se observó la reducción del peso fresco radical siendo menor estadísticamente. En cambio, los pesos secos del sistema radical aumentaron con la aplicaciones de 100, 175 y 250 mg.l⁻¹ de A.As; siendo mayor significativamente con la concentración de 100 mg.l⁻¹ de A.As con respecto al control (Tabla 117).

Tabla 117. Efecto del A.As, sobre pesos fresco y seco de raíces de tomate *in vitro*

Pesos de las raíces (mg)	Niveles de salinidad (mS)	Control	100 mg.l ⁻¹ de A.As	175 mg.l ⁻¹ de A.As	250 mg.l ⁻¹ de A.As
Peso fresco	2,5	172,1 b	259,0 a	159,2 b	140,8 c
	5	150,1 b	241,0 a	140,0 b	121,3 c
	7,5	104,7 c	163,3 a	150,4 b	119,7 bc
Peso seco	2,5	15,1 c	26,0 a	16,6 b	15,2 c
	5	11,0 c	24,1 a	15,6 ab	13,4 bc
	7,5	8,0 c	17,4 a	12,2 ab	9,7 b

Letras diferentes entre concentraciones indican diferencias significativas con $\alpha > 0,05$.

En el cultivo de berenjena los pesos fresco y seco del sistema radical se incrementaron significativamente con aplicación de concentración de 100 mg.l⁻¹

de A.As, en los tres niveles de salinidad ensayados. Igual incremento significativos se observaron con la aplicación de 175 mg.l⁻¹ de A.As en los pesos seco con salinidad de 2,5, 5 y 7,5 mS y peso fresco con salinidad de 7,5 mS; sin embargo, en el peso fresco radical con salinidad de 2,5 mS sólo aumentó y en 5 mS de salinidad disminuyó, pero no presentaron ser diferentes estadísticamente con respecto al control.

La concentración de 250 mg.l⁻¹ de A.As, disminuyó significativamente los pesos fresco y seco del sistema radical con salinidad de 2,5 mS y en el pesos fresco con salinidad de 5 mS, al compararlo con el control; mientras que con salinidad de 7,5 mS el pesos fresco se aumentó, aunque no mostró significancia sobre el control; igual efecto se observó en el promedio del peso seco de la raíces con salinidad de 5 mS. Sin embargo, la concentración de 250 mg.l⁻¹ de A.As mostró significancia estadística con respecto al control en el peso seco del sistema radical con salinidad de 7,5 mS (Tabla 118).

Tabla 118. Efecto del A.As, sobre pesos fresco y seco de raíces de berenjena, *in vitro*

Niveles de salinidad (mS)	Peso fresco raíz (mg)				Peso seco raíz (mg)			
	Control	100 mg.l ⁻¹ de A.As	175 mg.l ⁻¹ de A.As	250 mg.l ⁻¹ de A.As	Control	100 mg.l ⁻¹ de A.As	175 mg.l ⁻¹ de A.As	250 mg.l ⁻¹ de A.As
2,5	152,4 b	266,2 a	162,9 b	91,3 c	10,1 c	27,0 a	17,6 b	11,6 c
5	95,7 b	158,5 a	94,5 b	78,8 c	6,7 c	14,9 a	13,2 ab	9,1 bc
7,5	75,0 c	131,2 a	86,5 b	81,8 bc	4,1 c	13,5 a	10,8 ab	8,5 b

Letras diferentes entre concentraciones indican diferencias significativas con $\alpha > 0,05$.

4.1.6 EFECTO DEL ÁCIDO ASCÓRBICO EN EL CRECIMIENTO Y DESARROLLO DE TOMATE, BERENJENA Y RÁBANO CULTIVADAS *in vivo* EN 0, 2,5 y 5 mS DE SALINIDAD

Se observó la acción del ácido ascórbico en la germinación, crecimiento y desarrollo de especies hortícolas, con semillas tratadas en proceso de imbibición

durante 24 horas a concentraciones de 0, 100 y 250 mg.l⁻¹ de A.As y luego sembradas en suelo con 0, 2,5 y 5 mS de salinidad.

4.1.6.1 Germinación

El cultivo de *Lycopersicon esculentum* Mill, con salinidad de 0, 2,5 y 5 mS, al quinto días logran un 100 % de germinación, bajo imbibición de semillas con concentraciones de 100 y 250 mg.l⁻¹ de A.As, mientras que el control sometida en al mismo proceso, sólo un 97,5 % en salinidad de 0 mS, un 95 % con salinidad de 2,5 mS y un 92,5 % con salinidad de 5 mS (Tabla 119).

Tabla 119. Efecto del A.As, en la germinación *in vivo* del cultivo de tomate

Niveles de salinidad (mS)	Concentraciones A.As (mg.l ⁻¹)	Días de cultivo				
		1	2	3	4	5
		% de germinación				
0	Control	0	10,0	25,0	72,5	97,5
	100	0	37,5	77,5	97,5	100
	250	0	42,5	80	100	100
2,5	Control	0	12,5	37,5	75,0	95,0
	100	0	35	85	95	100
	250	0	50	95	95	100
5	Control	0	10,0	30,0	65,0	92,5
	100	0	30	50	75	100
	250	0	47,5	90	97,5	100

Las concentraciones de 100 y 250 mg.l⁻¹ de A.As, ayudaron sobre la emergencia de semillas de *Solanum melongena* L., mostrándose en la tabla 120, que al noveno día logra un 100 % con 0, 2,5 y 5 mS de salinidad; mientras que los controles respectivos sólo logran un 93 % con 0 mS de salinidad, un 90 % para 5 mS y un 87,5 % para 5 mS de salinidad.

Tabla 120. Efecto del A.As, en la germinación *in vitro* del cultivo de berenjena

Niveles de salinidad (mS)	Concentraciones A.As (mg.l ⁻¹)	Días de cultivo				
		5	6	7	8	9
		% de germinación.				
0	Control	0	5,0	30,0	70	93
	100	7,5	25	55	82,5	100
	250	7,5	25	57,5	87,5	100
2,5	Control	0	5,0	28	75	90,0
	100	0	25	40	90	100
	250	5	27,5	52,5	90	100
5	Control	0	2,5	30	65	87,5
	100	27,5	50	62,5	87,5	100
	250	10	32,5	52,5	97,5	100

En el cultivo de *Raphanus sativus* L., al cuarto día germinó al 100 % en las conductividades de 0, 2,5 y 5 mS con aplicaciones de concentraciones de 100 y 250 mg.l⁻¹ de A.As, mientras que el control respectivo con salinidad de 0 mS logra el 95 % de germinación; un 87,5 % de con salinidad de 2,5 mS y un 80 % con salinidad de 5 mS (Tabla 121).

Tabla 121. Efecto del A.As, en la germinación *in vitro* del cultivo de rábano

Niveles de salinidad (mS)	Concentraciones A.As (mg.l ⁻¹)	Días de cultivo			
		1	2	3	4
		% de germinación.			
0	Control	0,0	25,0	77,5	95
	100	35,0	60,0	77,5	100
	250	22,5	72,5	80,0	100
2,5	Control	25,0	45,0	92,5	87,5
	100	10,0	32,5	85,0	100
	250	32,5	80,0	95,0	100
5	Control	12,5	57,5	67,5	80
	100	32,5	80,0	92,5	100
	250	25,0	62,5	90,0	100

4.1.6.2 Longitud del tallo

La longitud del tallo de plantas de tomate, berenjena y rábano cultivados en 0, 2,5 y 5 mS de salinidad se incrementó significativamente con las pulverizaciones de concentraciones de 100 y 250 mg.l⁻¹ de A.As durante los 28 días de ensayo; observándose que mayor longitud del tallo de tomate y berenjena se presentaron con la aplicación de 250 mg.l⁻¹ de A.As en los tres niveles de salinidad. En rábano en 0 mS de salinidad también se muestra el mismo resultado, mientras que con salinidad de 2,5 y 5 mS, sólo a los 7, 21 y 28 días del ensayo la longitud del tallo es mayor con 250 mg.l⁻¹ de A.As; sin embargo, con la aplicación de 100 mg.l⁻¹ de A.As, a los 14 días en rábano, mostró un mayor aumento de la longitud del tallo en 2,5 y 5 mS de salinidad (Tabla 122).

Tabla 122. Efecto del A.As, en la longitud del tallo en el cultivo de rábano, *in vivo*

Especies	Niveles de salinidad (mS)	Días del cultivo	Longitud del tallo (mm)		
			Control	100 mg.l ⁻¹ de A.As	250 mg.l ⁻¹ de A.As
Tomate	0	7	30,2 b	36,7 a	38,4 a
		14	84,8 c	100,5 b	106,7 a
		21	96,2 c	134,5 b	142,3 a
		28	133,3 c	182,2 b	195,4 a
	2,5	7	29,1 c	34,3 b	36,8 a
		14	73,5 c	94,4 b	100,2 a
		21	91,2 c	108,2 b	124,7 a
		28	114,4 b	155,5 a	156,7 a
	5	7	26,3 b	31,0 a	31,9 a
		14	66,9 b	83,2 a	86,1 a
		21	87,6 c	103,0 b	110,8 a
		28	97,4 c	120,1 b	134,6 a
Berenjena	0	7	21,2 c	30,9 b	39,2 a
		14	52,4 b	58,3 a	60,2 a
		21	63,7 c	72,0 a	72,9 a
		28	73,3 c	86,9 b	95,2 a
	2,5	7	20,1 c	29,4 b	37,0 a
		14	52,1 b	57,3 a	59,2 a
		21	63,7 b	71,1 a	73,7 a
		28	67,6 c	84,1 b	89,0 a
	5	7	19,7 b	24,3 a	26,0 a
		14	49,9 b	52,9 a	54,9 a
		21	61,7 b	70,9 a	72,6 a
		28	66,4 c	83,4 b	87,3 a
Rábano	0	7	52,8 b	63,3 a	64,4 a
		14	60,0 b	68,9 a	69,8 a
		21	63,7 b	71,8 a	73,4 a
		28	74,8 b	95,1 a	94,2 a
	2,5	7	46,2 b	60,4 a	62,4 a
		14	59,1 b	67,5 a	64,1 ab
		21	63,7 b	71,3 a	73,7 a
		28	74,0 c	85,4 b	92,9 a
	5	7	44,1 b	51,2 a	50,3 a
		14	57,4 c	66,0 a	63,0 a
		21	63,0 b	71,2 a	72,9 a
		28	70,7 c	83,5 b	88,6 a

Letras diferentes entre concentraciones indican diferencias significativas con $\alpha > 0,05$.

4.1.6.3 Longitud de las raíces

El A.AS a concentraciones de 100 y 250 mg.l⁻¹, tiene efecto promotor significativo en el crecimiento de la longitud radical a los 14 y 28 días de ensayo en tomate, berenjena y rábano cultivadas en suelo con conductividad eléctrica de 0, 2,5 y 5

mS; observando que en los tres niveles de salinidad y a concentraciones 250 mg.l⁻¹ de A.As mostraron una mayor incremento sobre la longitud del sistema radical, diferenciándose estadísticamente con el control (Tabla 123)

Tabla 123. Efecto del A.As, en la longitud de las raíces en tomate, berenjena y rábano, *in vivo*

Especies	Niveles de salinidad (mS)	Días del cultivo	Longitud de las raíces (mm)		
			Control	100 mg.l ⁻¹ A.As	250 mg.l ⁻¹ A.As
Tomate	0	14	53,1 c	61,3 b	68,3 a
		28	80,4 b	105,3 a	108,5 a
	2,5	14	44,4 c	56,2 b	61,3 a
		28	78,3 c	91,2 b	106,1 a
	5	14	37,4 b	56,0 a	59,5 a
		28	71,6 b	90,6 a	91,4 a
Berenjena	0	14	48,7 b	65,4 a	66,9 a
		28	76,9 b	91,3 a	92,6 a
	2,5	14	47,6 b	63,8 a	64,6 a
		28	70,2 b	86,2 a	87,2 a
	5	14	46,7 b	63,4 a	64,3 a
		28	67,8 c	82,0 b	86,0 a
Rábano	0	14	55,9 b	62,6 a	65,5 a
		28	65,9 c	85,8 b	95,5 a
	2,5	14	51,3 c	56,0 b	64,7 a
		28	64,1 c	83,1 b	86,6 a
	5	14	50,7 b	55,1 a	55,0 a
		28	58,2 c	74,4 b	83,9 a

Letras diferentes entre concentraciones indican diferencias significativas con $\alpha > 0,05$.

4.1.6.4 Número de hojas

El número de hojas en plántulas de tomate se incrementó a partir de los 14 días de la germinación del cultivo con las aplicaciones de concentraciones de 100 y 250 mg.l⁻¹ de A.As, sembrada en sustrato con 0, 2,5 y 5 mS de salinidad durante los 28 días del ensayo; claramente demostrándose diferencias significativas sobre el control (Tabla 124).

Tabla 124. Efecto del A.As, sobre el número de hojas de tomate, *in vivo*

Niveles de salinidad (mS)	Días del cultivo	Número de hojas		
		Control	100 mg.l ⁻¹ de A.As	250 mg.l ⁻¹ de A.As
0	7	2,0 a	2,0 a	2,0 a
	14	3,1 b	4,0 a	4,0 a
	21	3,7 b	4,8 a	5,0 a
	28	5,0 b	6,0 a	6,0 a
2,5	7	2,0 a	2,0 a	2,0 a
	14	3,2 b	4,0 a	4,0 a
	21	3,6 b	4,3 a	4,5 a
	28	4,0 c	5,7 b	6,0 a
5	7	2,0 a	2,0 a	2,0 a
	14	3,0 b	3,9 a	4,0 a
	21	3,4 c	4,0 b	4,5 a
	28	3,9 b	5,2 a	5,2 a

Letras diferentes entre concentraciones indican diferencias significativas con $\alpha > 0,05$.

El número de hojas en plántulas de berenjena se incrementó a partir de los 14 días del cultivo con las aplicaciones de concentraciones de 100 y 250 mg.l⁻¹ de A.As, sembradas en 0, 2,5 y 5 mS de salinidad; observando que mayores incrementos del promedio de hojas se presentaron con concentración 250 mg.l⁻¹ de A.As en los tres niveles de salinidad, encontrándose diferencias significativas con respecto al control (Tabla 125).

Tabla 125. Efecto del A.As, sobre el número de hojas de berenjena, *in vivo*

Niveles de salinidad (mS)	Días del cultivo	Número de hojas		
		Control	100 mg.l ⁻¹ de A.As	250 mg.l ⁻¹ de A.As
0	7	2,0 a	2,0 a	2,0 a
	14	3,5 b	4,0 a	4,0 a
	21	4,5 b	4,8 ab	5,0 a
	28	4,9 b	5,1 ab	5,4 a
2,5	7	2,0 a	2,0 a	2,0 a
	14	3,4 b	4,0 a	4,0 a
	21	3,8 b	4,9 a	5,0 a
	28	4,3 b	5,3 a	5,7 a
5	7	2,0 a	2,0 a	2,0 a
	14	3,0 b	3,8 a	3,9 a
	21	3,5 b	4,6 a	4,7 a
	28	4,0 b	5,0 a	5,2 a

Letras diferentes entre concentraciones indican diferencias significativas con $\alpha > 0,05$.

El número de hojas en plántulas de rábano se incrementó a partir de los 14 días del cultivo con las aplicaciones de concentraciones de 100 y 250 mg.l⁻¹ de A.As, sembradas en 0, 2,5 y 5 mS de salinidad; observando que mayores incrementos del promedio de hojas se presentaron con concentración 250 mg.l⁻¹ de A.As en los tres niveles de salinidad, encontrándose diferencias significativas con respecto al control (Tabla 126).

Tabla 126. Efecto del A.As, sobre el número de hojas de rábano, *in vivo*

Niveles de salinidad (mS)	Días del cultivo	Número de hojas		
		Control	100 mg.l ⁻¹ de A.As	250 mg.l ⁻¹ de A.As
0	7	2,0 a	2,0 a	2,0 a
	14	3,7 b	3,8 a	3,8 a
	21	4,2 b	4,4 a	4,5 a
	28	5,3 b	6,0 a	6,0 a
2,5	7	2,0 a	2,0 a	2,0 a
	14	2,7 b	3,5 a	3,7 a
	21	3,2 b	4,2 a	4,2 a
	28	4,0 a	5,0 a	5,0 a
5	7	2,0 a	2,0 a	2,0 a
	14	2,6 b	3,4 a	3,6 a
	21	3,1 b	4,0 a	4,2 a
	28	3,9 b	5,0 a	5,0 a

Letras diferentes entre concentraciones indican diferencias significativas con $\alpha > 0,05$.

4.1.6.5 Clorofilas

A los 14, 21 y 28 días de ensayo la actividad fotosintética en las hojas de los cultivos de berenjena, tomate y rábano se incrementó significativamente con las aplicaciones de 100 y 250 mg.l⁻¹ de A.As, en los tres niveles de salinidad ensayados. La concentración de 250 mg.l⁻¹ de A.As mostró mayor incremento sobre los niveles de las clorofilas en 0, 2,5 y 5 mS de salinidad y las tres especies en estudio (Tabla 127).

Tabla 127. Variación de las clorofilas en diferentes especies hortícolas, bajo acción del A.As, *in vivo*

Especies	Niveles de salinidad (mS)	Días del cultivo	Clorofila en Unidades SPAD		
			Control	100 mg.l ⁻¹ A.As	250 mg.l ⁻¹ A.As
Tomate	0	14	21,0 b	27,4 a	27,9 a
		21	21,0 c	26,9 b	27,1 a
		28	18,8 c	21,7 b	23,0 a
	2,5	14	19,1 b	25,3 a	25,3 a
		21	18,3 c	23,2 b	24,6 a
		28	17,4 b	21,9 a	22,4 a
	5	14	18,6 b	23,9 a	23,8 a
		21	17,4 b	22,9 a	22,7 a
		28	17,0 b	21,8 a	22,7 a
Berenjena	0	14	22,1 c	27,5 b	28,7 a
		21	21,0 c	25,4 b	26,3 a
		28	18,1 b	23,4 a	23,4 a
	2,5	14	21,6 c	26,3 b	27,6 a
		21	19,7 c	24,4 b	25,3 a
		28	17,8 b	22,1 a	22,2 a
	5	14	21,0 c	24,5 b	26,8 a
		21	18,7 c	23,3 b	24,1 a
		28	17,0 b	21,2 a	22,0 a
Rábano	0	14	28,7 b	31,2 a	32,3 a
		21	23,0 b	27,5 a	27,9 a
		28	22,0 b	24,5 a	24,7 a
	2,5	14	27,4 b	30,8 a	31,6 a
		21	21,9 b	25,2 a	26,1 a
		28	20,1 b	23,6 a	24,5 a
	5	14	23,6 b	29,7 a	30,4 a
		21	20,6 b	23,5 a	24,3 a
		28	19,2 b	22,8 a	22,9 a

Letras diferentes entre concentraciones indican diferencias significativas con $\alpha > 0,05$.

4.1.6.6 Área foliar

A los 14 y 28 días de ensayo con las aplicaciones de concentraciones de 100 y 250 mg.l⁻¹ de A.As se obtiene un mayor incremento del área foliar en los cultivos de tomate, berenjena y rábano cultivadas en 0, 2,5 y 5 mS de salinidad; diferenciándose estadísticamente con el control. La concentración de 250 mg.l⁻¹ de A.As mostró tener un mayor incremento en este parámetro, en las tres especies con los tres niveles de salinidad (Tabla 128).

Tabla 128. Variación del área foliar en diferentes especies hortícolas, bajo acción del A.As, *in vivo*

Especies	Niveles de salinidad (mS)	Días del cultivo	Área foliar (mm ²)		
			Control	100 mg.l ⁻¹ A.As	250 mg.l ⁻¹ A.As
Tomate	0	14	754,0 c	1016,1 b	1426,0 a
		28	2969,1 b	4840,5 a	5029,5 a
	2,5	14	697,0 c	974,2 b	1317,7 a
		28	1896,6 c	4162,1 b	4867,8 a
	5	14	531,6 c	869,2 b	1092,0 a
		28	1215,9 c	3411,1 b	3698,2 a
Berenjena	0	14	748,0 b	1116,9 a	1209,5 a
		28	1627,1 c	2652,9 b	3027,5 a
	2,5	14	587,1 b	1102,0 a	1200,2 a
		28	1301,1 c	2526,8 b	2797,3 a
	5	14	505,9 c	945,9 b	1181,3 a
		28	1177,5 c	2357,2 b	2775,2 a
Rábano	0	14	475,4 c	784,7 b	960,8 a
		28	1302,0 c	2288,3 b	2773,5 a
	2,5	14	423,3 c	670,3 b	716,7 a
		28	1149,7 b	1968,7 a	2000,9 a
	5	14	379,8 c	594,1 b	705,5 a
		28	1029,8 c	1637,1 b	1830,2 a

Letras diferentes entre concentraciones indican diferencias significativas con $\alpha > 0,05$.

4.1.6.7 Pesos fresco y seco de hojas

Los datos indicado en la tabla 129, demuestran que a los 14 y 28 días del ensayo con las aplicaciones de 100 y 250 mg.l⁻¹ de A.As incrementaron los pesos fresco y seco de las hojas en tomate, rábano y berenjena cultivadas en 0, 2,5 y 5 mS de salinidad; mostrándose mayor incremento significativo sobre los dos parámetro con la concentración de 250 mg.l⁻¹ de A.As en los tres niveles de salinidad.

Tabla 129. Pesos fresco y seco de las hojas en diferentes especies hortícolas cultivado *in vivo*, bajo efecto del A.As

Especies	Niveles de salinidad (mS)	Días del cultivo	Peso fresco hoja (mg)			Peso seco hojas (mg)		
			Control	100 mg.l ⁻¹ A.As	250 mg.l ⁻¹ A.As	Control	100 mg.l ⁻¹ A.As	250 mg.l ⁻¹ A.As
Tomate	0	14	134,7 c	173,8 b	232,8 a	13,4 c	19,4 b	26,0 a
		28	367,5 c	575,7 b	666,2 a	31,8 b	57,3 a	65,2 a
	2,5	14	86,5 c	128,2 b	150,6 a	9,9 c	17,7 b	22,9 a
		28	207,4 c	505,6 b	581,7 a	18,2 c	35,7 b	51,6 a
	5	14	78,2 c	98,0 b	146,1 a	9,2 c	17,0 b	21,6 a
		28	145,3 b	284,8 a	290,8 a	13,2 c	33,7 b	40,5 a
Berenjena	0	14	158,7 b	260,1 a	262,5 a	11,9 b	23,3 a	25,5 a
		28	220,5 b	352,7 a	360,7 a	19,0 c	30,2 b	35,4 a
	2,5	14	92,2 b	247,4 a	257,0 a	8,3 b	21,5 a	23,4 a
		28	184,2 c	312,2 b	369,1 a	17,4 c	28,6 b	34,1 a
	5	14	91,2 c	152,1 b	213,8 a	7,9 b	18,4 a	19,9 a
		28	167,0 c	305,7 b	368,1 a	16,3 c	22,9 b	29,1 a
Rábano	0	14	189,9 c	242,8 b	264,0 a	17,6 c	23,1 b	27,4 a
		28	379,4 c	652,6 b	682,6 a	37,0 c	66,2 b	75,7 a
	2,5	14	168,6 b	239,4 a	255,3 a	16,1 b	23,1 a	25,4 a
		28	358,7 c	482,9 b	506,7 a	31,9 b	59,6 a	64,1 a
	5	14	129,9 c	218,3 b	234,5 a	12,5 b	20,1 a	23,4 a
		28	320,9 b	423,2 a	442,4 a	26,4 b	47,4 a	52,3 a

Letras diferentes entre concentraciones indican diferencias significativas con $\alpha > 0,05$.

4.1.6.8 Pesos fresco y seco del tallo

Los datos mostrados en tabla 130, demuestran que a los 14 y 28 días de ensayo, con las aplicaciones de concentraciones de 100 y 250 mg.l⁻¹ de A.As incrementaron los pesos fresco y seco de tallo de los cultivos de tomate, rábano y berenjena con 0, 2,5 y 5 mS de salinidad; aunque ambas concentraciones de A.As mostraron significancia con respecto al control; la concentración de 250 mg.l⁻¹ de A.As mostró un mayor incremento sobre los pesos fresco y seco del tallo en los tres niveles de salinidad y en las tres especies hortícolas ensayadas.

Tabla 130. Pesos fresco y seco de tallo en diferentes especies hortícolas cultivado *in vivo*, bajo efecto del A.As

Especies	Niveles de salinidad (mS)	Días del cultivo	Peso fresco tallo (mg)			Peso seco tallo (mg)		
			Control	100 mg.l ⁻¹ A.As	250 mg.l ⁻¹ A.As	Control	100 mg.l ⁻¹ A.As	250 mg.l ⁻¹ A.As
Tomate	0	14	155,5 c	194,6 b	242,5 a	14,8 b	28,0 a	31,1 a
		28	518,4 c	799,6 b	1001,9 a	22,1 b	47,2 a	50,9 a
	2,5	14	95,3 c	166,4 b	185,2 a	11,3 b	14,3 a	16,1 a
		28	324,7 c	695,7 b	819,7 a	16,3 c	32,5 b	46,3 a
	5	14	84,6 b	92,2 b	151,3 a	9,5 b	27,2 a	28,3 a
		28	226,3 b	430,3 a	448,3 a	9,6 b	32,3 a	34,0 a
Berenjena	0	14	86,3 c	150,5 b	169,0 a	10,4 b	24,7 a	25,7 a
		28	102,8 c	189,7 b	210,3 a	15,8 c	22,7 b	29,0 a
	2,5	14	51,4 b	94,1 a	98,4 a	9,2 b	22,0 a	24,9 a
		28	89,0 c	163,4 b	207,2 a	13,7 c	19,5 b	25,8 a
	5	14	50,9 b	90,8 a	95,9 a	7,6 c	19,1 b	22,9 a
		28	79,9 c	163,0 b	201,0 a	12,8 b	17,0 ab	20,7 a
Rábano	0	14	87,8 c	112,6 b	124,9 a	8,6 b	14,6 a	16,3 a
		28	131,7 b	198,7 a	201,4 a	13,7 b	20,9 a	25,2 a
	2,5	14	81,3 c	111,5 b	121,2 a	7,6 b	11,6 a	12,1 a
		28	115,4 b	171,1 a	180,5 a	11,3 c	19,5 b	23,7 a
	5	14	74,5 b	107,5 a	113,1 a	6,9 b	10,7 a	11,5 a
		28	112,3 b	135,0 a	143,8 a	9,3 c	16,4 b	20,1 a

Letras diferentes entre concentraciones indican diferencias significativas con $\alpha > 0,05$.

4.1.6.9 Pesos fresco y seco de las raíces

Los promedios de los pesos fresco y seco del sistema radical en tomate, rábano y berenjena cultivados en 0, 2,5 y 5 mS de salinidad mostrado en la tabla 131, indican que a los 14 y 28 días de ensayo con las aplicaciones de 100 y 250 mg.l⁻¹ de A.As, los parámetros evaluados se incrementaron si se compara con el control, observándose mayores valores con la concentración de 250 mg.l⁻¹ de A.As en las tres especies hortícolas y 0, 2,5 y 5 mS de salinidad (Tabla 131).

Tabla 131. Pesos fresco y seco de las raíces en diferentes especies hortícolas cultivado *in vivo*, bajo efecto del A.As

Especies	Niveles de salinidad (mS)	Días del cultivo	Peso fresco raíz (mg)			Peso seco raíz (mg)		
			Control	100 mg.l ⁻¹ A.As	250 mg.l ⁻¹ A.As	Control	100 mg.l ⁻¹ A.As	250 mg.l ⁻¹ A.As
Tomate	0	14	25,9 c	73,7 b	89,3 a	5,3 c	8,1 b	15,3 a
		28	158,4 b	266,5 b	317,8 a	19,4 b	48,0 a	53,3 a
	2,5	14	21,0 c	45,5 b	61,1 a	3,8 c	7,1 b	13,9 a
		28	139,5 c	232,5 b	280,7 a	15,6 b	33,9 a	38,9 a
	5	14	18,9 b	38,7 a	38,3 a	2,9 c	5,8 b	10,9 a
		28	100,5 c	200,0 b	225,9 a	9,7 b	19,1 a	19,8 a
Berenjena	0	14	56,6 c	95,1 b	111,2 a	7,1 b	8,7 a	12,2 a
		28	121,1 c	217,9 b	266,2 a	13,4 b	23,7 a	26,9 a
	2,5	14	48,2 b	70,6 a	73,2 a	6,0 b	7,7 a	10,2 a
		28	89,5 c	170,2 b	212,0 a	11,6 b	20,3 a	23,9 a
	5	14	36,8 c	54,5 b	71,6 a	5,5 a	7,3 a	8,4 a
		28	87,3 c	167,5 b	203,5 a	9,8 c	19,7 b	21,4 a
Rábano	0	14	24,6 b	38,8 a	41,1 a	4,5 b	6,8 a	7,5 a
		28	67,5 b	193,9 a	204,0 a	6,9 b	20,2 a	22,0 a
	2,5	14	19,5 c	26,3 a	34,3 a	3,4 b	6,3 a	7,1 a
		28	52,6 b	137,9 a	144,7 a	6,2 b	18,5 a	19,3 a
	5	14	13,6 c	27,1 b	31,3 a	2,8 b	5,7 ab	6,4 a
		28	49,3 b	133,8 a	143,9 a	5,4 b	18,6 a	19,1 a

Letras diferentes entre concentraciones indican diferencias significativas con $\alpha > 0,05$.

4.1.7 EFECTO DE LA TAURINA EN EL CRECIMIENTO Y DESARROLLO DE TOMATE Y BERENJENA CULTIVADAS *in vitro* EN 2,5, 5 Y 75,5 mS DE SALINIDAD

Las concentraciones de 0, 100, 175 y 250 mg.l⁻¹ de taurina, en medio MS modificado al 50 % con 1,5 % de sacarosa y salinidad de 2,5; 5 y 7,5 mS, ocasionaron un incremento en el crecimiento y desarrollo de las especies estudiadas.

4.1.7.1 Germinación

Las semillas de *Lycopersicon esculentum Mill*, con 2,5 mS de conductividad eléctrica germinaron al 100 % al octavo día con concentraciones de 100, 175 y

250 mg.l⁻¹ de taurina; mientras que el control sólo germinó en un 92,3 %. Con salinidad de 5 mS las concentraciones de 100 y 175 mg.l⁻¹ de taurina lograron un 100 % de germinación; observándose que con concentración de 250 mg.l⁻¹ de taurina sólo logra un 96,2 % y el control respectivo un 76,9 %; con salinidad de 7,5 mS el 100 % de germinación sólo lo alcanzó la concentración 100 mg.l⁻¹ de taurina, al octavo día; en cambio, con concentración 175 mg.l⁻¹ de taurina presentó un 96,2 % de la germinación y un 92,3 % con concentración 250 mg.l⁻¹ de taurina; mientras que el control sólo alcanzó un 69,2 % (Tabla 132).

Tabla 132. Efecto de la taurina, en la germinación *in vitro* del cultivo de tomate

Niveles de salinidad (mS)	Concentración de Taurina (mg.l ⁻¹)	Días de cultivo						
		2	3	4	5	6	7	8
		% de germinación.						
2,5	Control	0	11,5	11,5	38,5	57,7	76,9	92,3
	100	0	23,1	46,2	53,8	80,8	96,2	100
	175	0	19,2	38,5	57,7	69,2	92,3	100
	250	0	11,5	23,1	38,5	57,7	76,9	100
5	Control	0	0	7,7	30,8	57,7	69,2	76,9
	100	0	0	26,9	38,5	80,8	92,3	100
	175	0	0	23,1	30,8	69,2	80,8	100
	250	0	0	19,2	34,6	76,9	80,8	96,2
7,5	Control	0	0	3,8	19,2	30,8	46,2	69,2
	100	0	0	19,2	30,8	42,3	80,8	100
	175	0	0	15,4	26,9	34,6	76,9	96,2
	250	0	0	11,5	26,9	46,2	69,2	92,3

En el cultivo de *Solanum melongena* L., la taurina promueve la germinación del cultivo, observándose que a concentración 100 mg.l⁻¹ en el día 13 y con concentraciones de 175 y 250 mg.l⁻¹, al día 14 produjeron un 100 % de emergencia del cultivo con salinidad de 2,5 mS; mientras que el control al día 15 solo presentó un 92,3 %.

El 100 % de germinación también se presentó con salinidad de 5 mS con concentración 100 mg.l⁻¹ de taurina, al día 14 y al día 15 con salinidad de 7,5 mS; con concentración 175 y 250 mg.l⁻¹ de taurina con salinidad de 5 mS presentaron un 92,3 % de germinación; mientras que el control sólo logró un 84,6 %, en cambio, con salinidad de 7,5 mS la aplicación de 175 mg.l⁻¹ de taurina sólo

germinó en un 92,3 % y un 76,9 % de la germinación se observó con concentración 250 mg.l⁻¹ de taurina y en el control respectivo con esta salinidad (Tabla 133).

Tabla 133. Efecto de la taurina sobre la germinación *in vitro* del cultivo de berenjena

Niveles de salinidad (mS)	Concentraciones de taurina (mg.l ⁻¹)	Días de cultivo									
		6	7	8	9	10	11	12	13	14	15
2,5	Control	0	3,8	19,2	34,6	38,5	53,8	65,4	61,5	76,9	92,3
	100	0	30,8	38,5	57,7	69,2	76,9	92,3	100	100	100
	175	0	23,1	38,5	57,7	61,5	69,2	76,9	92,3	100	100
	250	0	23,1	38,5	57,7	57,7	65,4	76,9	84,6	100	100
5	Control	0	0,0	0,0	7,7	19,2	38,5	57,7	69,2	76,9	84,6
	100	0	7,7	19,2	38,5	57,7	76,9	92,3	92,3	100	100
	175	0	3,8	7,7	19,2	34,6	46,2	57,7	69,2	88,5	92,3
	250	0	3,8	3,8	7,7	30,8	38,5	53,8	65,4	84,6	92,3
7,5	Control	0	0,0	3,8	3,8	7,7	19,2	38,5	57,7	69,2	76,9
	100	0	3,8	7,7	38,5	46,2	53,8	73,1	84,6	92,3	100
	175	0	3,8	3,8	15,4	19,2	30,8	53,8	65,4	76,9	92,3
	250	0	3,8	3,8	3,8	15,4	19,2	38,5	46,2	69,2	76,9

4.1.7.2 Longitud del tallo

Durante los 28 días de ensayo la longitud de tallo de explantos de tomate con salinidad de 2,5, 5 y 7,5 mS se incrementó significativamente con la aplicación 100 mg.l⁻¹ de taurina con respecto al control; igual incremento significativo se observó a los 21 días con salinidad de 2,5 mS, a los 14 días con salinidad de 5 mS y a los 14 días y finalizado el ensayo con salinidad de 7,5 mS con la aplicación de la concentración de 175 mg.l⁻¹ de taurina; cuyos aumento sobre la longitud del tallo también se presentó con esta concentración de taurina a los 7 días con salinidad de 2,5 mS, 14 días con 5 mS de salinidad y a los 21 días con salinidad de 7,5 mS, aunque no difieren significativamente con el control.

También se observó que la concentración de 175 mg.l⁻¹ de taurina produjo una disminución de la longitud del tallo, sin ser significativo al inicio y finalizado del ensayo con salinidad de 7,5 mS, mientras que al inicio y finalizado con salinidad de 2,5 mS y a los 28 días con salinidad de 5 mS fue menor estadísticamente. La concentración de 250 mg.l⁻¹ de taurina, sólo produjo un aumento no significativo

a los 14 y 21 días de ensayo con salinidad de 2,5 mS y al inicio del estudio con salinidad de 7,5 mS (Tabla 134).

Tabla 134. Efecto de la taurina, en la longitud del tallo del cultivo de tomate, *in vitro*

Niveles de salinidad (mS)	Días del cultivo	Longitud del tallo (mm)			
		Control	100 mg.l ⁻¹ de taurina	175 mg.l ⁻¹ de taurina	250 mg.l ⁻¹ de taurina
2,5	7	32,9 b	39,7 a	23,3 c	23,3 c
	14	54,0 b	70,6 a	54,3 b	54,3 b
	21	63,2 b	84,0 a	64,3 b	64,3 c
	28	99,8 b	116,2 a	87,3 c	72,5 d
5	7	23,8 b	32,5 a	24,5 b	23,1 b
	14	34,0 c	64,4 a	44,1 b	29,6 d
	21	58,0 b	74,6 a	53,8 c	51,3 c
	28	88,3 b	99,0 a	85,1 c	67,5 d
7,5	7	21,3 bc	29,4 a	19,9 c	22,9 b
	14	29,9 c	50,2 a	40,9 b	29,4 c
	21	52,4 bc	70,6 a	54,3 b	49,8 c
	28	75,3 c	88,6 a	82,0 b	67,2 d

Letras diferentes entre concentraciones indican diferencias significativas con $\alpha > 0,05$.

La longitud del tallo de berenjena cultivados *in vitro* con salinidad de 2,5, 5 y 7,5 mS se aumentó significativamente a los 7, 14, 21 y 28 días de estudio con la aplicación de 100 mg.l⁻¹ de taurina; igual incremento significativo se observó finalizado el ensayo con salinidad de 2,5 mS; a los 7 y 28 días con conductividad de 5 mS y a los 14 días con 7,5 mS de salinidad con la aplicación de 175 mg.l⁻¹ de taurina, mientras que al finalizar el estudio con salinidad de 7,5 mS, a los 21 con 5 mS y a los 7 y 14 días con 2,5 mS, ésta concentración sólo aumentó la longitud del tallo de explantos de berenjena, pero no mostró significancia con el control. En cambio, la concentración de 250 mg.l⁻¹ de taurina, produjo una reducción de la longitud del tallo de berenjena, siendo menor estadísticamente al control con salinidad de 2,5, 5 y 7,5 mS (Tabla 135).

Tabla 135. Efecto de la taurina sobre la longitud del tallo del cultivo de berenjena, *in vitro*

Niveles de salinidad (mS)	Días del cultivo	Longitud del tallo (mm)			
		Control	100 mg.l ⁻¹ de taurina	175 mg.l ⁻¹ de taurina	250 mg.l ⁻¹ de taurina
2,5	7	23,8 b	32,5 a	24,5 b	19,8 c
	14	32,7 b	47,2 a	30,8 b	23,3 c
	21	46,4 b	61,8 a	47,9 b	30,7 c
	28	50,3 c	70,1 a	58,6 b	37,8 d
5	7	20,7 c	28,6 a	22,8 b	17,6 d
	14	29,5 b	44,5 a	27,0 c	19,1 d
	21	40,5 b	54,5 a	43,1 b	23,2 c
	28	45,0 c	66,1 a	54,7 b	30,4 d
7,5	7	18,5 b	25,3 a	18,3 b	15,3 c
	14	21,6 c	33,6 a	24,6 b	18,2 d
	21	31,4 b	48,4 a	31,1 b	19,9 c
	28	35,4 b	54,1 a	36,3 b	28,5 c

Letras diferentes entre concentraciones indican diferencias significativas con $\alpha > 0,05$.

4.1.7.3 Longitud de las raíces

En el cultivo de tomate sembrada en 2,5, 5 y 7,5 mS de salinidad, la longitud del sistema radical se incrementó con la aplicación de 100 mg.l⁻¹ de taurina, observándose diferencias significativas a partir de los 21 y 28 días del estudio con salinidad de 2,5 mS; durante los 28 días con salinidad de 5 mS y a los 7 y 21 días con 7,5 mS de conductividad eléctrica. Igual significancia estadística sobre el incremento de la longitud de la raíz se presentó a los 21 días con salinidad de 5 y 7,5 mS con la aplicación de 175 mg.l⁻¹ de taurina; mientras que durante los 28 días del cultivo con salinidad de 2,5 mS y a los 7, 14 y 28 días la longitud radical disminuyó significativamente con respecto al control con la aplicación de 175 mg.l⁻¹ de taurina. La concentración de 250 mg.l⁻¹ de taurina también redujo significativamente el crecimiento radical de explantos de tomate, en los tres niveles de salinidad ensayados; con respecto al control (Tabla 136).

En berenjena cultivados en 2,5, 5 y 7,5 mS de salinidad la longitud radical de los explantos se incrementó significativamente con la aplicación de 100 mg.l⁻¹ de taurina; al compararlo con el control; ésta significancia sobre el control también se observó al finalizar el ensayo con salinidad de 2,5 mS al aplicar concentración de 175 mg.l⁻¹ de taurina; mientras que durante los primeros 14 días de estudios con 2,5 mS y a los 7, 21 y 28 días con salinidad de 5 mS y durante los 28 días de ensayo con salinidad de 7,5 mS, disminuyó significativamente, respecto al

control; igual efecto se presentó en los tres niveles de salinidad con la aplicación de 250 mg.l⁻¹ de taurina, observando que los promedios más bajo se presentaron con esta concentración de taurina (Tabla 137).

Tabla 136. Efecto de la taurina, en la longitud de las raíces del cultivo de tomate, *in vitro*

Niveles de salinidad (mS)	Días del cultivo	Longitud del raíz (mm)			
		Control	100 mg.l ⁻¹ de taurina	175 mg.l ⁻¹ de taurina	250 mg.l ⁻¹ de taurina
2,5	7	23,2 a	24,6 a	19,7 b	17,1 b
	14	39,5 a	41,2 a	32,8 b	26,1 b
	21	45,2 b	53,5 a	42,4 c	32,9 d
	28	76,6 b	92,7 a	62,5 c	53,7 d
5	7	19,9 b	22,2 a	16,8 c	14,9 d
	14	31,0 b	33,6 a	25,5 c	23,7 c
	21	36,5 c	44,7 a	38,9 b	30,9 d
	28	73,5 b	89,6 a	60,9 c	51,0 d
7,5	7	17,2 b	19,9 a	15,1 c	13,1 d
	14	26,8 a	26,2 a	22,1 b	21,1 b
	21	30,9 c	41,0 a	34,3 b	22,3 d
	28	62,8 a	64,0 a	51,8 b	43,6 c

Letras diferentes entre concentraciones indican diferencias significativas con $\alpha > 0,05$.

Tabla 137. Efecto de la taurina en la longitud de las raíces del cultivo de berenjena, *in vitro*

Niveles de salinidad (mS)	Días del cultivo	Longitud del raíz (mm)			
		Control	100 mg.l ⁻¹ de taurina	175 mg.l ⁻¹ de taurina	250 mg.l ⁻¹ de taurina
2,5	7	21,7 b	24,5 a	17,1 c	16,8 c
	14	31,0 b	35,9 a	27,1 c	21,0 d
	21	48,8 b	58,3 a	47,8 b	34,7 c
	28	57,3 c	67,8 a	61,7 b	37,8 d
5	7	19,9 b	22,2 a	15,8 c	7,1 d
	14	26,9 b	33,7 a	25,5 b	12,5 c
	21	42,8 b	49,1 a	29,6 c	19,6 d
	28	52,8 b	62,8 a	32,5 c	21,0 d
7,5	7	17,2 b	19,9 a	13,1 c	5,3 d
	14	22,7 b	31,5 a	19,2 c	9,3 d
	21	35,0 b	42,6 a	21,7 c	17,9 d
	28	43,8 b	46,5 a	25,5 c	19,8 d

Letras diferentes entre concentraciones indican diferencias significativas con $\alpha > 0,05$.

4.1.7.4 Número de hojas

El número de hojas del cultivo de tomate se incrementó significativamente con la aplicación concentraciones de 100 mg.l⁻¹ de taurina durante los 28 días del ensayo con salinidad de 2,5, 5 y 7,5 mS; al compararle con el control; mientras que con

salinidad de 2,5 mS la concentración de 175 mg.l⁻¹ de taurina se incrementó a los 7, 14 y 28 días, solo diferenciándose estadísticamente al control al inicio y finalizado el ensayo; cuyos incrementos también se presentaron a partir de los 14 días con salinidad de 5 y 7,5 mS, observándose diferencias significativas al finalizar el ensayo en estas dos conductividades. Con concentración de 250 mg.l⁻¹ de taurina con salinidad de 2,5 mS el número de hojas se incrementó a los 14 y 28 días del cultivo, aunque no se mostró ser mayor significativamente al control, mientras que los aumentos del número de hojas con ésta concentración de taurina en 5 y 7,5 mS de salinidad se observó a partir de los 14 días del ensayo encontrándose significancia del parámetro finalizado el estudio (Tabla 138).

Tabla 138. Efecto de la taurina en el número de las hojas del cultivo de tomate, *in vitro*

Niveles de salinidad (mS)	Días del cultivo	Número de hojas			
		Control	100 mg.l ⁻¹ de taurina	175 mg.l ⁻¹ de taurina	250 mg.l ⁻¹ de taurina
2,5	7	2,1 b	3,0 a	2,8 a	2,0 b
	14	3,4 b	4,6 a	3,9 b	3,8 c
	21	4,4 b	5,1 a	4,1 c	4,1 c
	28	4,9 c	6,1 a	5,8 b	5,0 c
5	7	2,0 b	2,9 a	2,0 b	2,0 b
	14	3,1 b	4,0 a	3,6 b	3,6 b
	21	3,6 b	4,9 a	3,8 b	3,8 b
	28	4,5 b	5,8 a	5,0 b	5,0 b
7,5	7	2,1 b	2,9 a	2,0 b	2,0 b
	14	2,9 c	3,6 a	3,2 b	3,2 bc
	21	3,4 b	4,6 a	3,4 b	3,5 b
	28	4,0 c	5,5 a	4,9 b	4,6 b

Letras diferentes entre concentraciones indican diferencias significativas con $\alpha > 0,05$.

El número de hojas de berenjena se incrementó a partir de los 14 días de cultivo con salinidad de 2,5, 5 y 7,5 mS, con la aplicación de 100 mg.l⁻¹ de taurina; provocando significancias sobre el control a partir de los 14 días y hasta finalizado el ensayo con salinidad de 2,5 y 5 mS, igual significancia se presentó a los 21 y 28 días con 7,5 mS de salinidad. Con concentración de 175 mg.l⁻¹ de taurina, también se presentó incremento en el desarrollo de número de hojas en explantos de berenjena a los 21 y 28 días con salinidad de 2,5 mS; a los 14 días con salinidad de 5 mS y al finalizar el ensayo con salinidad de 7,5 mS. Mientras con concentración 250 mg.l⁻¹ de taurina sólo presentó incremento del número de hojas

a los 21 días con 2,5 mS, a los 14 días con 5 mS y finalizado el estudio con 7,5 mS de salinidad (Tabla 139).

Tabla 139. Efecto de la taurina, en el número de hojas en el cultivo de berenjena, *in vitro*

Niveles de salinidad (mS)	Días del cultivo	Número de hojas			
		Control	100 mg.l ⁻¹ de taurina	175 mg.l ⁻¹ de taurina	250 mg.l ⁻¹ de taurina
2,5	7	2,0 a	2,0 a	2,0 a	2,0 a
	14	2,5 b	2,9 a	2,5 b	2,4 b
	21	3,4 b	4,0 a	3,5 b	3,6 b
	28	4,3 c	5,4 a	5,0 b	4,0 c
5	7	2,0 a	2,0 a	2,0 a	2,0 a
	14	2,2 b	2,8 a	2,3 b	2,3 b
	21	3,0 b	4,0 a	3,0 b	3,0 b
	28	4,0 b	5,0 a	4,0 b	4,0 b
7,5	7	2,0 a	2,0 a	2,0 a	2,0 a
	14	2,3 ab	2,6 a	2,3 ab	2,2 b
	21	3,0 b	3,9 a	3,0 b	3,0 b
	28	3,8 c	4,9 a	4,0 b	4,0 b

Letras diferentes entre concentraciones indican diferencias significativas con $\alpha > 0,05$.

4.1.7.5 Clorofilas

El nivel de las clorofilas de las hojas de explantos de tomate y berenjena cultivados *in vitro* bajo condiciones de 2,5, 5 y 7,5 mS de salinidad aumentaron significativamente con las aplicaciones de 100, 175 y 250 mg.l⁻¹ de taurina, evidenciando que los mejores promedios de los niveles de las clorofilas se obtuvieron con 100 mg.l⁻¹ de taurina en las dos especies y en los tres niveles de salinidad (Tabla 140).

Tabla 140. Variación de las clorofilas en tomate y berenjena por efecto de la taurina, *in vitro*

Especies	Niveles de salinidad (mS)	Clorofilas en Unidades SPAD			
		Control	100 mg.l ⁻¹ de taurina	175 mg.l ⁻¹ de taurina	250 mg.l ⁻¹ de taurina
Tomate	2,5	19,1 d	31,0 a	25,4 b	23,7 c
	5	18,2 d	27,2 a	23,7 b	21,2 c
	7,5	16,3 d	23,7 a	21,7 b	19,4 c
Berenjena	2,5	19,5 d	29,7 a	26,0 b	23,9 c
	5	18,7 d	25,1 a	23,6 b	22,3 c
	7,5	17,2 c	24,8 a	22,3 b	21,7 b

Letras diferentes entre concentraciones indican diferencias significativas con $\alpha > 0,05$.

4.1.7.6 Área foliar

En el cultivo de tomate la aplicación de 100 mg.l⁻¹ de taurina aumentó significativamente el área foliar en los tres niveles de salinidad con respecto al control; el efecto también se muestra con 175 mg.l⁻¹ de taurina con 7,5 mS de salinidad; sin embargo, con las conductividades de 2,5 y 5 mS se redujo, aunque no fue menor estadísticamente al control, igual efecto de presentó con salinidad de 7,5 mS al aplicar la concentración de 250 mg.l⁻¹ de taurina; mientras que con salinidad de 2,5 y 5 mS al aplicar 250 mg.l⁻¹ de taurina, disminuyó estadísticamente al compararlo con el control.

En el cultivo de berenjena el desarrollo del área foliar se incrementó con la aplicación de concentraciones de 100 y 175 mg.l⁻¹ de taurina, con salinidad de 2,5, 5 y 7,5 mS; observándose que los mejores promedios se mostraron a concentración de 100 mg.l⁻¹ A.As; en los tres niveles de salinidad, claramente diferenciándose estadísticamente al control; mientras que al aplicar concentraciones de 250 mg.l⁻¹ de taurina, el área foliar disminuyó en salinidad de 2,5, 5 y 7,5 mS, sólo siendo significativamente menor al control en salinidad de 7,5 mS (Tabla 141).

Tabla 141. Área foliar en diferentes especies por efecto de la taurina, *in vitro*

Especies	Niveles de salinidad (mS)	Área foliar (mm ²)			
		Control	100 mg.l ⁻¹ de taurina	175 mg.l ⁻¹ de taurina	250 mg.l ⁻¹ de taurina
Tomate	2,5	1920,5 b	3420,4 a	1711,4 b	1337,5 c
	5	1577,6 b	2211,9 a	1421,4 b	1243,8 c
	7,5	1119,6 c	2145,0 a	1281,4 b	1112,0 c
Berenjena	2,5	958,2 b	1914,5 a	1031,5 b	957,1 c
	5	841,8 bc	1507,8 a	931,4 b	735,9 c
	7,5	763,4 b	1422,5 a	843,3 b	555,8 b

Letras diferentes entre concentraciones indican diferencias significativas con $\alpha > 0,05$.

4.1.7.7 Pesos fresco y seco de hojas

La aplicación de 100 mg.l⁻¹ de taurina, aumentó significativamente el peso fresco de la hoja de explantos de tomate, en los tres niveles de salinidad, con respecto al control; mientras que con 175 mg.l⁻¹ de taurina, en salinidad de 2,5 mS disminuyó

el peso fresco de las hojas y con las conductividades de 5 y 7,5 aumentó dicho parámetro; aunque no se mostraron ser diferentes estadísticamente con el control. A concentración de 250 mg.l⁻¹ de taurina, el peso fresco de hojas de tomate disminuyó en las tres conductividades eléctricas estudiadas; observándose que con salinidad de 2,5 y 7,5 mS son menores estadísticamente al control.

El peso seco de hojas de explantos de tomate con salinidad de 2,5 se aumentó significativamente con las aplicaciones de 100, 175 y 250 mg.l⁻¹ de taurina, observándose que los promedios más altos se presentan con concentraciones 100 mg.l⁻¹ de taurina, estos resultados también se muestran en la conductividad de 5 mS con la aplicaciones de 100 y 175 mg.l⁻¹ de taurina; mientras que la concentración de 250 mg.l⁻¹ de taurina con salinidad de 5 y 7,5 mS, disminuyó el peso seco de la hojas de explantos de tomate, aunque no se diferencia estadísticamente al control. Con salinidad de 7,5 mS los promedios de los pesos secos de las hojas de tomate aumentaron con la aplicación de concentraciones de 100 y 175 mg.l⁻¹ de taurina, siendo la concentración de 100 mg.l⁻¹ de taurina quien muestra mayor incremento y se diferencia estadísticamente al control.

En el cultivo de berenjena, aumentó significativamente el peso fresco de la hoja con la aplicación de 100 mg.l⁻¹ de taurina, con salinidad de 2,5, 5 y 7,5 mS, con respecto al control; igual efecto ocurrió al aplicar concentraciones de 175 mg.l⁻¹ de taurina, en salinidad de 5 y 7,5 mS; mientras con salinidad de 2,5 mS disminuyó significativamente. A concentración de 250 mg.l⁻¹ de taurina, el peso fresco de hojas de explantos de tomate disminuyó en las tres conductividades eléctricas estudiadas; observándose que con salinidad de 2,5 y 7,5 mS son menores estadísticamente al control.

El peso seco de hojas de explantos de berenjena con salinidad de 2,5 se aumentó con la aplicaciones de 100 y 175 mg.l⁻¹ de taurina, observándose que los promedios más altos se presentan con concentraciones 100 mg.l⁻¹ de taurina, pero no se mostraron ser diferente estadísticamente al control, esto resultados también se muestran en la conductividad de 5 mS al aplicar concentraciones de 100, 175 y

250 mg.l⁻¹ de taurina. Con salinidad de 7,5 mS los promedios de los pesos secos de las hojas aumentaron con 100, 175 y 250 mg.l⁻¹ de taurina, siendo la concentración de 100 mg.l⁻¹ de taurina quien muestra mayor incremento y se diferencia estadísticamente al control (Tabla 142).

Tabla 142. Efecto de la taurina, en pesos fresco y seco de hojas en tomate y berenjena, *in vitro*

Especies	Niveles de salinidad (mS)	Peso fresco hoja (mg)			Peso seco hoja (mg)				
		Control	100 mg.l ⁻¹ de taurina	175 mg.l ⁻¹ de taurina	250 mg.l ⁻¹ de taurina	Control	100 mg.l ⁻¹ de taurina	175 mg.l ⁻¹ de taurina	250 mg.l ⁻¹ de taurina
Tomate	2,5	461,1 b	798 a	419,0 c	307,9 d	27,2 c	73,6 a	42,7 b	41,9 b
	5	374,3 b	512,1 a	362,2 b	276,7 c	31,3 b	51,9 a	37,4 b	28,5 b
	7,5	278,5 c	446,6 a	345,2 b	244,8 d	23,7 b	41,3 a	31,1 b	22,3 b
Berenjena	2,5	217,3 b	328 a	195,8 bc	164,8 d	22,1 b	33,0 a	22,4ab	16,4 b
	5	141,9 c	213,2 a	187,4 b	131,7 c	15,3 b	21,2 a	19,1 a	16,3 a
	7,5	130,4 c	190,4 a	148,5 b	113,0 d	13,3 b	20,5 a	15,9 b	14,9 b

Letras diferentes entre concentraciones indican diferencias significativas con $\alpha > 0,05$.

4.1.7.8 Pesos fresco y seco del tallo

Los pesos fresco y seco de tallo de explantos de tomate se incrementaron significativamente con la aplicación de 100 mg.l⁻¹ de taurina, con salinidad de 2,5, 5 y 7,5 mS; con concentración de 175 mg.l⁻¹ de taurina también observaron incremento en el peso fresco del tallo con salinidad de 7,5 mS y en el peso seco en los tres niveles de salinidad, aunque no presentaron diferencias estadísticas; sin embargo, con salinidad de 2,5 y 5 mS los promedios del peso fresco del tallo disminuyeron con la aplicación de 175 mg.l⁻¹ de taurina, siendo menor significativamente con el control con salinidad de 2,5 mS.

Con concentración de 250 mg.l⁻¹ de taurina, sólo incrementó los pesos fresco y seco con salinidad de 7,5 mS, aunque no mostró significancia estadísticamente con el control; mientras que con 2,5 y 5 mS los promedios del peso fresco del tallo, disminuyó, observando que con salinidad de 2,5 mS el promedio fue menor estadísticamente al control; el peso seco del tallo también disminuye con salinidad de 2,5 y 5 mS; siendo menor significativamente al control con salinidad de 5 mS.

En el cultivo de berenjena el peso fresco del tallo de berenjena se incrementó con la aplicación de 100 mg.l⁻¹ de taurina; en los tres niveles de salinidad; estos incrementos del promedio del peso fresco de tallo también se mostraron con aplicación de concentraciones 175 mg.l⁻¹ de taurina en salinidad de 5 mS; mientras que con salinidad de 2,5 y 7,5 mS el promedio del peso fresco del tallo, se redujo, siendo menor estadísticamente con 2,5 mS; igual efecto de sobre de reducción del promedio fresco del tallo se mostró con la aplicación de 250 mg.l⁻¹ de taurina; siendo menor estadísticamente en los tres niveles de salinidad.

El peso seco del tallo de explantos de berenjena se incrementó con las aplicaciones de 100 y 175 mg.l⁻¹ de taurina; observándose que los promedios más altos se mostraron con 100 mg.l⁻¹ de taurina; con concentración 250 mg.l⁻¹ de taurina los valores de los promedios disminuyeron, aunque no se diferencian estadísticamente con relación al control (Tabla 143).

Tabla 143. Efecto de la taurina, en pesos fresco y seco del tallo en tomate y berenjena, *in vitro*

Especies.	Niveles de salinidad (mS)	Peso fresco tallo (mg)			Peso seco tallo (mg)				
		Control	100 mg.l ⁻¹ de taurina	175 mg.l ⁻¹ de taurina	250 mg.l ⁻¹ de taurina	Control	100 mg.l ⁻¹ de taurina	175 mg.l ⁻¹ de taurina	250 mg.l ⁻¹ de taurina
Tomate	2,5	300,1 b	428,9 a	287,7 b	197 c	26,8 bc	45,6 a	28,4 b	20,1 c
	5	281,9 b	335,2 a	253,2 c	192 d	20,7 b	34,5 a	25,5 b	12,4 c
	7,5	134,9 b	211,3 a	150,8 b	144 b	14,1 b	23,0 a	15,5 b	15,0 b
Berenjena	2,5	114,1 b	161,0 a	77,8 c	73,2 c	10,6 ab	19,4 a	13,8 ab	10,7 b
	5	80,3 c	131,0 a	99,4 b	63,3 d	8,6 b	16,1 a	11,6 a	6,7 a
	7,5	79,4 b	110,0 a	69,6 b	58,1 c	7,8 bc	14,1 a	10,1 b	6,1 c

Letras diferentes entre concentraciones indican diferencias significativas con $\alpha > 0,05$.

4.1.7.9 Pesos fresco y seco de las raíces

Los pesos fresco y seco del sistema radical de explantos de tomate y berenjena se incrementaron significativamente con la aplicación de 100 mg.l⁻¹ de taurina; con respecto al control en los tres niveles de salinidad; estos incrementos también se muestran con la aplicación de 175 mg.l⁻¹ de taurina en los pesos fresco de explantos de berenjena con salinidad de 2,5 y en tomate con salinidad de 2,5 y 7,5

mS. Igual incremento se observó en los pesos secos del sistema radical de berenjena con salinidad de 5 y 7,5 mS y tomate en los tres niveles de salinidad.

Con concentración de 250 mg.l⁻¹ de taurina el peso fresco del sistema radical de tomate y berenjena disminuyó, con respecto al control; con salinidad de 2,5, 5 y 7,5 mS, igual efecto se presentó en el peso seco de la raíz con salinidad de 2,5 y 5 mS en las dos especies, mientras que el peso seco de las raíces de explantos de berenjena y tomate, con salinidad de 7,5 mS provocó un aumento; aunque no mostró significancia estadística (Tabla 144).

Tabla 144. Efecto de la taurina, sobre pesos fresco y seco de las raíces de tomate y berenjena, *in vitro*

Especies.	Niveles de salinidad (mS)	Peso fresco raíces (mg)			Peso seco raíces (mg)				
		Control	100 mg.l ⁻¹ de taurina	175 mg.l ⁻¹ de taurina	250 mg.l ⁻¹ de taurina	Control	100 mg.l ⁻¹ de taurina	175 mg.l ⁻¹ de taurina	250 mg.l ⁻¹ de taurina
Tomate	2,5	172,1 b	294,4 a	178,0 b	122 c	15,1 bc	29,1 a	18,1 b	13,2 c
	5	150,1 b	213,9 a	128,8 c	77,1 d	11,0 b	21,6 a	16,6 a	10,0 b
	7,5	104,7 b	132,1 a	110,7 b	68,8 c	8,0 b	15,5 a	11,9 ab	8,1 b
Berenjena	2,5	152,4 b	207,1 a	160,0 b	127	10,1 b	20,3 a	16,8 ab	13,4 b
	5	95,7 b	149,3 a	90,0 c	79,9	6,7 b	15,0 a	12,5 ab	6,5 b
	7,5	75,0 b	125,2 a	61,5 c	43,0	4,1 c	12,6 a	9,4 ab	6,2 bc

Letras diferentes entre concentraciones indican diferencias significativas con $\alpha > 0,05$.

4.1.8 EFECTO DE LA TAURINA EN EL CRECIMIENTO Y DESARROLLO DE ESPECIES HORTÍCOLAS CULTIVADAS *in vivo* EN 0, 2,5 Y 5 mS DE SALINIDAD

Se observó la acción de la taurina en la germinación, crecimiento y desarrollo de especies hortícolas con semillas tratadas en proceso de imbibición durante 24 horas a concentraciones de 0, 100 y 250 mg.l⁻¹, y luego sembradas en sustrato con 0, 2,5 y 5 mS de salinidad.

4.1.8.1 Germinación

En el cultivo de *Lycopersicon esculentum* Mill, con salinidad de 0 mS al cuarto días logran 100 % de germinación la concentraciones de 100 mg.l⁻¹ de taurina,

mientras que la concentración 250 mg.l⁻¹ alcanza el 100 %, al quinto día; dejando al control con un 97,5 % de germinación; en cambio, con salinidad de 2,5 mS las concentraciones de 100 y 250 mg.l⁻¹ de taurina germinan en un 100 % al cuarto día; éste mismo resultados presenta las dos concentraciones al quinto con salinidad de 5 mS; observando que el control de 2,5 mS sólo germina en un 95 % y 92,5 % para el control de 5 mS de salinidad, al quinto día (Tabla 145).

Tabla 145. Germinación del cultivo de tomate, bajo acción de concentraciones de la taurina, *in vivo*

Niveles de salinidad (mS)	Concentraciones Taurina (mg.l ⁻¹)	Días de cultivo				
		1	2	3	4	5
		% de germinación.				
0	Control	0	10,0	25,0	72,5	97,5
	100	0	50	87,5	100	100
	250	0	52,5	85	97,5	100
2,5	Control	0	12,5	37,5	75,0	95,0
	100	0	50	92,5	100	100
	250	0	55	92,5	100	100
5	Control	0	10,0	30,0	65,0	92,5
	100	0	42,5	85	97,5	100
	250	0	40	75	97,5	100

Las concentraciones de 100 y 250 mg.l⁻¹ de taurina ayudaron sobre la emergencia de semillas de *Solanum melongena* L., mostrándose en la tabla 146, que al noveno día logra un 100 % con 0, 2,5 y 5 mS de salinidad; mientras que los controles respectivos sólo logran un 93 % con 0 mS de salinidad, un 90 % para 5 mS y un 87,5 % para 5 mS de salinidad.

Tabla 146. Germinación del cultivo de berenjena, bajo acción de concentraciones de la taurina, *in vivo*

Niveles de salinidad (mS)	Concentraciones Taurina (mg.l ⁻¹)	Días de cultivo				
		5	6	7	8	9
		% de germinación.				
0	Control	0	5,0	30,0	70	93
	100	2,5	25	65	85	100
	250	7,5	15	52,5	87,5	100
2,5	Control	0	5,0	28	75	90,0
	100	17,5	40	72,5	92,5	100
	250	2,5	30	45	87,5	100
5	Control	0	2,5	30	65	87,5
	100	2,5	10	25	75	100
	250	2,5	40	70	80	100

Raphanus sativus L. al cuarto día germinó al 100 % con las conductividades de 0, 2,5 y 5 mS, al someter las semillas en proceso de imbibición con concentraciones de 100 y 250 mg.l⁻¹ de taurina; mientras que el control con salinidad de 0 mS logró un 95 % de germinación, un 87,5 % con salinidad de 2,5 mS y un 80 % con salinidad de 5 mS (Tabla 147).

Tabla 147. Germinación del cultivo de rábano, bajo acción de concentraciones de la taurina, *in vivo*

Niveles de salinidad (mS)	Concentración Taurina (mg.l ⁻¹)	Días de cultivo			
		1	2	3	4
		% de germinación.			
0	Control	0,0	25,0	77,5	95
	100	12,5	65,0	87,5	100
	250	37,5	80,0	90,0	100
2,5	Control	25,0	45,0	92,5	87,5
	100	10,0	30,0	92,5	100
	250	17,5	37,5	92,5	100
5	Control	12,5	57,5	67,5	80
	100	27,5	60,0	85,0	100
	250	22,5	67,5	87,5	100

4.1.8.2 Longitud del tallo

La longitud del tallo de plantas de tomate, berenjena y rábano aumentaron significativamente con las pulverizaciones de 100 y 250 mg.l⁻¹ de taurina durante los 28 días de ensayo, cultivadas en 0, 2,5 y 5 mS de salinidad, observándose que el mayor valor fue para la concentración 250 mg.l⁻¹ de taurina en los tres niveles de salinidad y en las tres especies estudiadas (Tabla 148)

Tabla 148. Efecto de taurina sobre el desarrollo de la longitud del tallo en tomate, berenjena y rábano, *in vivo*

Especies	Niveles de salinidad (mS)	Días del cultivo	Longitud del tallo (mm)		
			Control	100 mg.l ⁻¹ de taurina	250 mg.l ⁻¹ de taurina
Tomate	0	7	30,2 b	37,9 a	39,0 a
		14	84,8 c	109,3 a	111,7 a
		21	96,2 c	132,3 b	143,6 a
		28	133,3 c	191,5 b	203,1 a
	2,5	7	29,1 c	35,0 b	38,9 a
		14	73,5 c	94,2 b	102,4 a
		21	91,2 c	114,0 b	126,5 a
		28	114,4 c	160,0 b	173,9 a
	5	7	21,2 b	37,6 a	39,5 a
		14	52,4 c	59,5 b	61,8 a
		21	63,7 c	70,6 b	75,0 a
		28	73,3 c	92,6 b	97,4 a
Berenjena	0	7	20,1 b	35,0 a	38,8 a
		14	52,1 b	59,6 a	60,8 a
		21	63,7 c	74,5 b	78,9 a
		28	67,6 c	88,0 b	95,4 a
	2,5	7	19,7 c	26,9 b	27,5 a
		14	49,9 b	54,7 a	56,3 a
		21	61,7 c	70,8 b	73,1 a
		28	66,4 c	87,8 b	94,6 a
	5	7	21,2 b	37,6 a	39,5 a
		14	52,4 b	59,5 a	61,8 a
		21	63,7 b	70,6 a	75,0 a
		28	73,3 c	92,6 b	97,4 a
Rábano	2,5	7	52,8 c	64,0 b	66,6 a
		14	60,0 c	69,5 b	74,0 a
		21	63,7 b	76,4 c	78,9 a
		28	74,8 b	95,5 c	96,9 a
	5	7	46,2 c	61,7 b	64,7 a
		14	59,1 b	68,7 a	69,3 a
		21	63,7 c	74,5 b	77,6 a
		28	74,0 c	88,8 b	92,6 a
	7,5	7	44,1 b	53,3 a	54,3 a
		14	57,4 b	68,3 a	69,1 a
		21	63,0 b	67,5 b	75,0 a
		28	70,7 b	87,7 a	90,1 a

Letras diferentes entre concentraciones indican diferencias significativas con $\alpha > 0,05$.

4.1.8.3 Longitud de las raíces

A los 14 y 28 días de ensayo, la taurina a concentraciones de 100 y 250 mg.l⁻¹ tiene efecto promotor significativo en el crecimiento de la longitud del sistema radical en los cultivos de tomate, berenjena y rábano sembradas en suelo con

conductividades eléctricas de 0, 2,5 y 5 mS; mostrando en la tabla 149 que en los tres niveles de salinidad y con concentraciones 250 mg.l⁻¹ de taurina se logra una mayor longitud del sistema radical con respecto a la concentración 100 mg.l⁻¹ de taurina.

Tabla 149. Efecto de la taurina sobre el desarrollo de la longitud de raíces en tomate, berenjena y rábano, *in vivo*

Especies	Niveles de salinidad (mS)	Días del cultivo	Longitud de las raíces (mm)		
			Control	100 mg.l ⁻¹ Taurina	250 mg.l ⁻¹ Taurina
Tomate	0	14	53,1 c	68,4 b	73,2 a
		28	80,4 b	114,2 a	117,2 a
	2,5	14	44,4 c	63,4 b	69,0 a
		28	78,3 c	103,0 b	112,5 a
	5	14	37,4 c	58,5 b	65,1 a
		28	71,6 c	89,8 b	96,0 a
Berenjena	0	14	48,7 b	65,6 a	67,7 a
		28	76,9 c	90,5 b	95,8 a
	2,5	14	47,6 c	63,2 b	67,4 a
		28	70,2 c	86,8 b	93,4 a
	5	14	46,7 c	61,5 b	64,2 a
		28	67,8 c	85,8 b	91,2 a
Rábano	0	14	55,9 c	64,0 b	71,6 a
		28	65,9 c	93,1 b	100,0 a
	2,5	14	51,3 c	61,8 b	67,4 a
		28	64,1 c	85,6 b	90,1 a
	5	14	50,7 c	52,95 b	65,4 a
		28	58,2 b	84,25 a	86,55 a

Letras diferentes entre concentraciones indican diferencias significativas con $\alpha > 0,05$.

4.1.8.4 Número de hojas

El desarrollo de número de hojas en plántulas de tomate, rábano y berenjena se incrementaron a partir de los 14 días de la germinación de los cultivos con las aplicaciones de concentraciones de 100 y 250 mg.l⁻¹ de taurina, sembrada en sustrato con 0, 2,5 y 5 mS de salinidad; mayores incremento del promedio de hojas se presentaron con la concentración 250 mg.l⁻¹ de taurina en el cultivo de berenjena en los tres niveles de salinidad, y en tomate con salinidad de 2,5 y 5 mS; encontrándose diferencias significativas con respecto al control (Tabla 150).

Tabla 150. Efecto de la taurina sobre el número de hojas en los cultivos de tomate, berenjena y rábano, *in vivo*

Especies	Niveles de salinidad (mS)	Días del cultivo	Número de hojas		
			Concentraciones taurinas (mg.l ⁻¹)		
			Control	100	250
Tomate	0	7	2,0 a	2,0 a	2,0 a
		14	3,1 b	4,0 a	4,0 a
		21	3,7 c	4,7 b	5,0 a
		28	5,0 b	6,0 a	6,0 a
	2,5	7	2,0 a	2,0 a	2,0 a
		14	3,2 b	4,0 a	4,0 a
		21	3,6 b	4,6 a	4,7 a
		28	4,0 c	5,7 b	6,0 a
	5	7	2,0 a	2,0 a	2,0 a
		14	3,0 b	4,0 a	4,0 a
		21	3,4 b	4,3 a	4,7 a
		28	3,9 b	5,3 a	5,5 a
Berenjena	0	7	2,0 a	2,0 a	2 a
		14	3,5 b	4,0 a	4 a
		21	4,5 b	5,0 a	5,0 a
		28	4,9 c	5,3 b	5,9 a
	2,5	7	2,0 a	2,0 a	2,0 a
		14	3,4 b	4,0 a	4,0 a
		21	3,8 b	4,9 a	5,0 a
		28	4,3 c	5,3 b	5,7 a
	5	7	2,0 a	2,0 a	2,0 a
		14	3,0 b	3,9 a	4,0 a
		21	3,5 b	4,8 a	4,9 a
		28	4,0 c	5,1 b	5,6 a
Rábano	0	7	2,0 a	2,0 a	2,0 a
		14	3,7 b	3,9 a	3,9 a
		21	4,2 b	4,6 a	4,7 a
		28	5,3 b	6,0 a	6,0 a
	2,5	7	2,0 a	2,0 a	2,0 a
		14	2,7 b	3,7 a	3,8 a
		21	3,2 b	4,3 a	4,3 a
		28	4,0 b	5,0 a	5,0 a
	5	7	2,0 a	2,0 a	2,0 a
		14	2,6 b	3,4 a	3,5 a
		21	3,1 b	4,2 a	4,3 a
		28	3,9 b	4,9 a	5,0 a

Letras diferentes entre concentraciones indican diferencias significativas con $\alpha > 0,05$.

4.1.8.5 Clorofilas

La tabla 151 sobre el contenido de clorofila en berenjena, tomate y rábano, a los 14, 21 y 28 días de ensayo, indica incrementos significativos con las aplicaciones de concentraciones de 100 y 250 mg.l⁻¹ de taurina, al compararlo con el respectivo

control, con salinidad de 0, 2,5 y 5 mS. La concentración de 250 mg.l⁻¹ de taurina mostró mayor incremento en el nivel de las clorofilas en las tres especies hortícolas; durante todas las evaluaciones del ensayo y en las tres conductividades eléctricas de estudio.

Tabla 151. Variación de las clorofilas en tomate, berenjena y rábano bajo efecto de la taurina *in vivo*

Especies	Niveles de salinidad (mS)	Días del cultivo	Clorofila en Unidades SPAD		
			Control	100 mg.l ⁻¹ Taurina	250 mg.l ⁻¹ Taurina
Tomate	0	14	21,0 b	27,6 a	28,2 a
		21	21,0 c	24,2 b	27,9 a
		28	18,8 c	21,4 b	23,7 a
	2,5	14	19,1 b	24,8 a	25,4 a
		21	18,3 c	22,5 b	24,8 a
		28	17,4 c	20,9 b	23,3 a
	5	14	18,6 c	23,1 a	24,1 a
		21	17,4 b	22,5 b	23,8 a
		28	17,0 c	21,9 b	23,0 a
Berenjena	0	14	22,1 c	28,0 b	29,8 a
		21	21,0 c	26,3 b	27,5 a
		28	18,1 c	22,2 b	23,8 a
	2,5	14	21,6 c	27,2 b	28,6 a
		21	19,7 c	25,1 b	26,1 a
		28	17,8 b	22,8 a	23,0 a
	5	14	21,0 b	26,7 a	27,7 a
		21	18,7 b	24,9 a	25,1 a
		28	17,0 b	22,5 a	22,7 a
Rábano	0	14	28,7 c	31,6 b	34,6 a
		21	23,0 b	26,2 a	27,7 a
		28	22,0 b	25,1 a	25,5 a
	2,5	14	27,4 c	30,5 b	32,1 a
		21	21,9 c	25,2 b	26,8 a
		28	20,1 c	23,5 b	25,1 a
	5	14	23,6 b	29,7 a	30,8 a
		21	20,6 b	25,0 a	25,6 a
		28	19,2 b	22,5 a	23,8 a

Letras diferentes entre concentraciones indican diferencias significativas con $\alpha > 0,05$.

4.1.8.6 Área foliar

A los 14 y 28 días de ensayo, al mostrarse mayores promedio en el parámetro de número de hojas con la aplicación de concentraciones de 100 y 250 mg.l⁻¹ de taurina, influyen claramente en el incremento del área foliar en las tres especies

estudiadas, sometidas a 0, 2,5 y 5 mS de salinidad, diferenciándose estadísticamente con el control; observándose que a concentración de 250 mg.l⁻¹ de A.As el incremento sobre el área foliar de los cultivo fue mayor en los tres niveles de salinidad ensayados (Tabla 152).

Tabla 152. Variación del área foliar de hojas de tomate, berenjena y rábano bajo acción de la taurina *in vivo*

Especies	Niveles de salinidad (mS)	Días del cultivo	Área foliar (mm ²)		
			Control	100 mg.l ⁻¹ Taurina	250 mg.l ⁻¹ Taurina
Tomate	0	14	754,0 c	1347,5 b	1511,0 a
		28	2969,1 c	4521,3 b	5904,6 a
	2,5	14	697,0 b	1302,0 a	1467,2 a
		28	1896,6 c	4283,8 b	5702,9 a
	5	14	531,6 c	972,9 b	1221,3 a
		28	1215,9 c	3473,4 b	4130,2 a
Berenjena	0	14	748,0 b	1174,1 a	1308,8 a
		28	1627,1 c	2885,7 b	3187,7 a
	2,5	14	587,1 b	1126,7 a	1250,7 a
		28	1301,1 c	2795,7 b	3147,9 a
	5	14	505,9 c	1105,8 b	1231,5 a
		28	1177,5 c	2743,6 b	3070,8 a
Rábano	0	14	475,4 c	885,7 b	1020,2 a
		28	1302,0 c	2106,3 b	2819,4 a
	2,5	14	423,3 c	693,6 b	961,1 a
		28	1149,7 c	2055,7 b	2208,5 a
	5	14	379,8 c	691,5 b	860,9 a
		28	1029,8 c	1711,2 b	1914,7 a

Letras diferentes entre concentraciones indican diferencias significativas con $\alpha > 0,05$.

4.1.8.7 Pesos fresco y seco de hojas

Los promedios presentados en tabla 153 demuestran que a los 14 y 28 días de ensayo en los cultivos de berenjena, tomate y rábano, con las aplicaciones de concentraciones de 100 y 250 mg.l⁻¹ de taurina, se incrementó significativamente los pesos fresco y seco de las hojas de las especies en estudio, cultivadas en 0, 2,5 y 5 mS de salinidad; aunque ambas con concentraciones de taurina mostraron significancia sobre el control; la concentración de 250 mg.l⁻¹ de taurina produjo un mayor aumento en los dos parámetro evaluados y en los tres niveles de salinidad.

Tabla 153. Variación de los pesos fresco y seco de hojas de tomate, berenjena y rábano cultivado *in vivo* bajo acción de la taurina

Especies	Niveles de salinidad (mS)	Días del cultivo	Peso fresco hoja (mg)			Peso fresco seco (mg)		
			Control	100 mg.l ⁻¹ Taurina	250 mg.l ⁻¹ Taurina	Control	100 mg.l ⁻¹ Taurina	250 mg.l ⁻¹ Taurina
Tomate	0	14	134,7 b	201,4 a	254,2 a	13,4 c	24,0 b	27,2 a
		28	367,5 c	542,0 b	752,0 a	31,8 b	64,7 a	75,8 a
	2,5	14	86,5 c	144,1 b	170,4 a	9,9 b	22,2 a	24,8 a
		28	207,4 c	530,0 b	688,7 a	18,2 c	46,6 b	65,1 a
	5	14	78,2 c	121,6 b	164,3 a	9,2 c	20,2 b	26,0 a
		28	145,3 c	260,6 b	366,3 a	13,2 b	39,1 a	42,5 a
Berenjena	0	14	158,7 c	243,3 b	274,2 a	11,9 c	18,1 b	28,6 a
		28	220,5 c	349,2 b	408,2 a	19,0 c	33,2 b	42,8 a
	2,5	14	92,2 c	231,3 b	266,6 a	8,3 c	19,9 b	26,2 a
		28	184,2 c	342,8 b	403,6 a	17,4 c	29,3 b	37,5 a
	5	14	91,2 c	162,1 b	226,6 a	7,9 b	16,4 a	21,6 a
		28	167,0 c	338,2 b	381,3 a	16,3 c	25,4 b	31,2 a
Rábano	0	14	189,9 b	271,5 a	283,5 a	17,6 b	26,8 a	28,5 a
		28	379,4 c	662,2 b	700,2 a	37,0 c	67,7 b	78,2 a
	2,5	14	168,6 b	259,9 a	281,7 a	16,1 b	25,9 a	28,0 a
		28	358,7 c	449,3 b	531,5 a	31,9 b	65,9 a	70,3 a
	5	14	129,9 c	244,6 b	269,0 a	12,5 b	23,8 a	25,7 a
		28	320,9 b	453,0 a	465,0 a	26,4 b	50,7 a	54,0 a

Letras diferentes entre concentraciones indican diferencias significativas con $\alpha > 0,05$.

4.1.8.8 Pesos fresco y seco del tallo

A los 14 y 28 días, los pesos fresco y seco de tallo de tomate, rábano y berenjena sometidas a 0, 2,5 y 5 mS de salinidad se incrementó significativamente con las aplicaciones de taurina a concentraciones de 100 y 250 mg.l⁻¹, observándose que con la aplicación de la concentración de 250 mg.l⁻¹ de taurina; el incremento es mayor con relación a 100 mg.l⁻¹ de taurina sobre los parámetros en los tres niveles de salinidad y en las tres especies hortícolas ensayadas (Tabla 154).

Tabla 154. Variación de los pesos fresco y seco del tallo de tomate, berenjena y rábano bajo efecto de la taurina *in vivo*

Especies	Niveles de salinidad (mS)	Días del cultivo	Peso fresco tallo (mg)			Peso seco tallo (mg)		
			Control	100 mg.l ⁻¹ Taurina	250 mg.l ⁻¹ Taurina	Control	100 mg.l ⁻¹ Taurina	250 mg.l ⁻¹ Taurina
Tomate	0	14	155,5 b	230,2 a	246,2 a	14,8 c	28,1 b	32,1 a
		28	518,4 c	840,1 b	1044,0 a	22,1 b	56,5 a	55,6 a
	2,5	14	95,3 c	170,5 b	208,0 a	11,3 c	13,7 b	15,8 a
		28	324,7 c	799,0 b	1017,8 a	16,3 b	38,9 a	47,1 a
	5	14	84,6 c	128,3 b	168,7 a	9,5 c	24,3 b	29,0 a
		28	226,3 c	458,9 b	550,7 a	9,6 c	30,0 b	45,3 a
Berenjena	0	14	86,3 c	129,4 b	172,8 a	10,4 b	24,2 a	26,6 a
		28	102,8 c	199,2 b	261,9 a	15,8 c	26,0 b	31,3 a
	2,5	14	51,4 c	100,1 b	118,0 a	9,2 b	22,6 a	25,9 a
		28	89,0 c	186,6 b	252,2 a	13,7 c	21,0 b	30,4 a
	5	14	50,9 c	97,8 b	107,2 a	7,6 c	20,3 b	23,9 a
		28	79,9 c	181,2 b	245,1 a	12,8 c	19,4 b	29,8 a
Rábano	0	14	87,8 b	122,8 a	133,2 a	8,6 c	15,0 b	18,4 a
		28	131,7 b	201,1 a	212,4 a	13,7 c	20,1 b	27,2 a
	2,5	14	81,3 c	116,3 b	125,2 a	7,6 c	10,2 b	14,3 a
		28	115,4 c	172,0 b	190,3 a	11,3 c	20,0 b	24,4 a
	5	14	74,5 c	104,8 b	122,2 a	6,9 c	10,5 b	13,1 a
		28	112,3 b	161,0 a	163,7 a	9,3 b	18,9 a	22,8 a

Letras diferentes entre concentraciones indican diferencias significativas con $\alpha > 0,05$.

4.1.8.9 Pesos fresco y seco de las raíces

La tabla 155 indica que a los 14 y 28 días, con la aplicación de taurina a concentraciones de 100 y 250 mg.l⁻¹, se incrementó significativamente los pesos fresco y seco del sistema radicular de tomate, rábano y berenjena sometidas a 0, 2,5 y 5 mS de salinidad; aunque ambas concentraciones de taurina mostraron significancia con respecto al control, la concentración de 250 mg.l⁻¹ de taurina mostró un mayor incremento sobre los pesos fresco y seco de la raíces de las tres especies hortícolas y en los tres niveles de salinidad ensayados.

Tabla 155. Evaluación de los pesos fresco y seco del sistema radical de tomate, berenjena y rábano bajo efecto de la taurina *in vivo*

Especies	Niveles de salinidad (mS)	Días del cultivo	Peso fresco raíz (mg)			Peso seco raíz (mg)		
			Control	100 mg.l ⁻¹ Taurina	250 mg.l ⁻¹ Taurina	Control	100 mg.l ⁻¹ Taurina	250 mg.l ⁻¹ Taurina
Tomate	0	14	25,9 b	88,6 a	95,4 a	5,3 c	12,5 b	15,9 a
		28	158,4 c	262,9 b	363,5 a	19,4 c	38,1 b	56,0 a
	2,5	14	21,0 c	62,7 b	69,7 a	3,8 c	11,2 b	15,0 a
		28	139,5 c	240,3 b	289,2 a	15,6 b	37,5 a	41,7 a
	5	14	18,9 c	27,9 b	41,7 a	2,9 c	7,5 b	13,1 a
		28	100,5 c	229,7 b	274,1 a	9,7 b	25,9 a	33,8 a
Berenjena	0	14	56,6 c	100,0 b	116,5 a	7,1 b	11,1 a	12,5 a
		28	121,1 c	242,8 b	290,7 a	13,4 b	24,4 a	28,6 a
	2,5	14	48,2 c	67,7 b	79,8 a	6,0 c	8,7 b	11,4 a
		28	89,5 c	201,6 b	239,7 a	11,6 c	23,0 b	27,9 a
	5	14	36,8 c	64,0 b	72,4 a	5,5 b	7,4 ab	8,7 a
		28	87,3 c	196,8 b	230,6 a	9,8c	19,7b	26,4 a
Rábano	0	14	24,6 b	35,9 a	44,0 a	4,5 b	7,5 a	8,5 a
		28	67,5 c	191,9 b	212,2 a	6,9 b	20,6 a	24,3 a
	2,5	14	19,5 b	34,3 a	41,0 a	3,4 b	7,0 a	8,1 a
		28	52,6 b	134,3 a	158,6 a	6,2 c	18,7 b	22,2 a
	5	14	13,6 b	31,0 a	35,2 a	2,8 c	5,4 b	7,6 a
		28	49,3 b	130,0 a	150,3 a	5,4 c	17,1 b	20,4 a

Letras diferentes entre concentraciones indican diferencias significativas con $\alpha > 0,05$.

4.2 DISCUSIÓN

4.2.1 DISCUSIÓN DEL EFECTO DEL ÁCIDO SALICÍLICO EN EL CRECIMIENTO Y DESARROLLO DE ESPECIES HORTÍCOLAS CULTIVADAS *in vitro* E *in vivo* SOMETIDAS EN CONDICIONES DE SALINIDAD

El comportamiento de la germinación de rábano, tomate, berenjena y cebolla cultivada *in vitro* en 2,5, 5 y 7,5 mS de salinidad se ven claramente influenciada por las aplicaciones de 0,1 y 0,01 mM de AS; igual efecto sobre la germinación se observaron a nivel *in vivo* con semillas en proceso de imbibición durante 24 horas, en los cultivos de rábano, tomate y berenjena cultivadas en 0, 2,5 y 5 mS de salinidad, cuyo efecto de acelerar la germinación concuerdan con SANDOVAL A. (2011), quién demostró la acción del AS a concentraciones de 10^{-4} M (0,1 mM) sobre la germinación en chile piquín (*Capsicum. annum*, var. *aviculare* Dierb.

D'Arcy & Eshbaugh; aclarando en los resultados que la precocidad de las emergencias de la semilla va en dependencia de cada especie.

El AS a concentraciones de 1 mM resultó inhibir la germinación de cebolla cultivada *in vitro* y redujo claramente el porcentaje de germinación en los cultivos de tomate, rábano y berenjena *in vitro*; efecto encontrado por VAZQUEZ A. y VIEITEZ E. (1995) que con la aplicación de 10^{-2} M de AS provoca un efecto tóxico y con concentración de 10^{-3} M de AS resulta un efecto inhibitor de la germinación en *Trifolium repens* L., *Trifolium pratense* L. y *Medicago sativa* L.

El crecimiento longitudinal del tallo de tomate, rábano y berenjena cultivados en condiciones de salinidad bajo acción de AS a concentraciones de 0,01 mM a nivel *in vitro* e *in vivo*, se incrementaron de forma progresiva durante los 28 días de los cultivos, concordando con LARQUÉ SA., *et al* (2010) que a concentraciones 1 μ M de AS, incrementó un 14,8 % del tamaño del tallo de plántulas de tomate mientras que MIURA K. y MITADA Y. (2014) mencionan que el AS a concentraciones óptimas está involucrado en la repuesta de varios estreses abióticos, entre esto la salinidad; AHMAD Z y AFTAB F. (2012) confirma con su estudio que el AS es una molécula de señal que con aplicaciones de 0,125 y 0,25 mM de AS donde incrementó el crecimiento de las plantas con salinidad de 60 mM de NaCl.

En tomate, berenjena cultivados *in vitro* y tomate, berenjena y rábano cultivados *in vivo*, concentraciones de 0,1 y 0,01 mM de AS incrementaron la longitud del sistema radical bajo estrés por condiciones salinas; en rábano *in vitro* sólo la concentración de 0,01 mM provocó mayor incremento significativo longitudinal de las raíces en los tres niveles de salinidad, y en 2,5 mS en el cultivo de cebolla se obtuvo el mismo efecto, mientras que al aumentar la concentración a 0,1 mM no se ven claramente los aumentos significativos más bien el crecimiento longitudinal se reduce con esta concentración; también GUTIÉRREZ M. *et al*, 1998 demostró la eficacia significativa del AS a concentraciones de 10^{-8} M sobre

la longitud radical del cultivo de soya (*Glycine mux* (L.) Men: cv. Cajeme) y de la reducción de la misma con concentraciones de 10^{-2} y 10^{-4} M de AS.

El AS a concentraciones de 0,1 y 0,01 mM incrementó el número de hojas demostrado en tomate, rábano y berenjena cultivados *in vitro* e *in vivo*; esta tendencia también lo evidenciaron por HAKIM A, *et al* (2012) en el cultivo de *Phaseolus vulgaris* L, con aplicaciones de 0,5 mM de AS. En el cultivo de cebolla en cambio se demuestra sólo la eficacia de la concentración de 0,01 mM de AS en conductividades de 2,5 y 5 mS durante el desarrollo del cultivo, mientras que en salinidad de 7,5 el incremento se presentó superior finalizado el estudio.

La longitud de hoja de la cebolla está claramente involucrado con el desarrollo del cultivo de cebolla en condiciones de salinidad, bajo efecto del AS a concentraciones de 0,01 mM; igual efecto pudo demostrar AHMAD Z y AFTAB F. (2012) con aplicaciones de 0,125 y 0,25 mM de AS y 60 mM de NaCl en plantas de *Solanum tuberosum* en sistema *in vitro*; GUNES A, *et al* (2005) también demostró el desarrollo y crecimiento de cultivo de maíz en condiciones de salinidad de 40 mM NaCl bajo acción del AS con concentraciones de 0,5 mM; ANCHONDO A, *et al* (2011), logró mayor altura de plantas de fresa con las aplicaciones de concentraciones de 0,01 y 0,001 μ M AS.

El AS a concentraciones de 0,01 y 0,1 mM incrementa los promedios finales de las clorofilas en hojas de tomate, berenjena y rábano cultivadas *in vitro* en 2,5, 5 y 7,5 mS de salinidad, resultado obtenido sobre el incremento del contenido de las clorofilas con las aplicaciones de concentraciones 0,01 y 0,1 mM de AS; también se observó al cultivar las tres especies en condiciones *in vivo* con 0, 2,5 y 5 mS de conductividad eléctricas, corroborado por FARIDUDDIN Q. *et al*, (2003) que sostiene que a concentraciones de 10^{-5} M, las clorofilas se aumentaron significativamente mientras que con concentración de 10^{-4} y 10^{-3} M los niveles de las clorofilas se redujeron observándose menor promedio con la concentración de 10^{-3} M en el cultivo de *Brassica juncea*, concordando con los datos obtenidos en

los experimentos de tomate, berenjena y rábano *in vitro* con la aplicación de la concentración de 1 mM (10^{-3} M de AS).

En el cultivo de cebolla el nivel de las clorofilas se incrementó a concentración de 0,01 mM de AS en los tres niveles de salinidad, el mismo efecto y a esta concentración de AS encontraron FARIDUDDIN Q. *et al* (2003), mientras CANAKCI S, (2008) demostró la reducción de las clorofilas con concentraciones de 1 y 2 mM en el cultivo de *Raphanus sativus L.*

En tomate, rábano y berenjena cultivados *in vitro e in vivo* con la aplicación de 0,01 mM de AS; el área foliar se aumentó en los tres niveles de salinidad ensayados; en cebolla también la concentración de 0,01 mM de AS provocó mayor aumento significativo en salinidad de 2,5 mS, al incrementar la concentración a 0,1 mM *in vivo* también se observaron efecto positivo en el incremento del área foliar; en sistema *in vitro* sólo un efecto positivo en los tres niveles de salinidad se muestra en tomate y rábano con la concentración de 0,1 mM de AS; en cambio con la aplicaciones de 1 mM de AS el área foliar es afectada; RODRÍGUEZ L. *et al*, 2008, también demuestra que en condiciones semicontroladas plantas de tomate provenientes de semillas tratadas con AS a una concentración de 0,01 mM desarrollaron mayor área foliar y biomasa de hojas, tallo y raíz.

Los pesos fresco y seco de las hojas, tallo y sistemas radical de los cultivos de tomate, berenjena, rábano y cebolla cultivados *in vitro* se incrementaron significativamente a concentración de 0,01 mM de AS a 0,1 mM de AS el efecto se observó solo en tomate y rábano en los pesos fresco y seco de las hojas, tallo y sistema radical, en los tres niveles de salinidad y 5 mS en el cultivo de berenjena; los efectos positivos del AS también se mostró en los cultivos *in vivo* de tomate, rábano y berenjena con 0,1y 0,01 mM de AS en las variables de pesos fresco y seco de las plantas (hojas, tallo y raíces); CANAKCI S, (2008) demostró que con concentración 0,2 mM no afectó el peso fresco en el cultivo de *Raphanus sativus L.*; y concentraciones de 1 y 2 mM reduce los pesos fresco y seco del cultivo *in vitro*.

FARIDUDDIN Q. *et al*, (2003) también demuestra el incremento significativo del peso seco del cultivo de *Brassica juncea*, con concentraciones de 10^{-5} M de AS; con concentraciones de 10^{-4} y 10^{-3} M se ven reducido significativamente con respecto al control.

En la cebolla a concentraciones de 0,01 y 0,1 mM de AS se incrementó el diámetro del bulbo cultivados en 2,5, 5 y 7,5 mS de salinidad, JAVAHERI M, *et al* (2012) también demostró que a concentraciones de 10^{-6} M de AS logra mayor desarrollo de fruto de tomate y ANCHONDO A, *et al* (2011), logró un incremento de 23 % en el número de fruto de fresa con las aplicación 0,001 μ M de AS; mientras que MARTIN R, *et al*, (2012) lograron que con aplicaciones de 0,01 μ M de AS incrementa en un 19,7 % adicional de frutos por planta de *Carica papaya*.

4.2.2 DISCUSIÓN DEL EFECTO DEL ÁCIDO BENZOICO EN EL CRECIMIENTO Y DESARROLLO DE ESPECIES HORTÍCOLAS CULTIVADAS *in vitro* E *in vivo* EN CONDICIONES DE SALINIDAD

La emergencia del 100 % de semillas de tomate y berenjena cultivados *in vitro* se ven claramente ayudada con las aplicaciones de concentración de 0,01 mM de AB en los tres niveles de salinidad; esta tendencia también se muestra con 0,1mM de AB en las conductividades de 2,5 y 5 mS; en el cultivo de berenjena *in vitro* tal porcentaje se ve disminuido con la aplicación de 0,1 mM en los tres niveles de salinidad; permitiendo la no germinación con 1 mM de AB en el cultivo de berenjena y reduciendo el porcentaje de germinación en tomate ; *in vivo* el tomate, rábano y berenjena cultivados en 0, 2,5 y 5 mS de salinidad, el porcentaje de germinación así mismo son ayudado por la imbibición en concentraciones de 1 y 0,1 mM de AB por 24 horas; concordando con SANDOVAL A, (2011), quién demuestra la acción del AB a concentraciones de 10^{-4} M (0,1 mM) sobre la germinación en chile piquín (*Capsicum. annuum*, var. *aviculare* Dierb. D'Arcy & Eshbaugh; aclarando en los resultados que la precocidad de las emergencias de la semilla va en dependencia de la especie.

El AB a concentraciones de 0,1 y 0,01 mM permite un mayor desarrollo del crecimiento longitudinal del tallo de los cultivos de tomate y berenjena cultivados *in vitro* en condiciones de salinidad de 2,5, 5 y 7,5 mS; concentraciones de 1 mM de AB claramente inhibió el crecimiento longitudinal, los pesos fresco y seco del tallo en el cultivo *in vitro* de tomate; en cambio *in vivo* a concentraciones de 1 y 0,1 mM de AB permitió el desarrollo longitudinal, incremento de los pesos fresco y seco del tallo en 0, 2,5 y 5 mS en los cultivos de tomate, rábano y berenjena; concordando con BENAVIDES A. *et al* (2007) que a concentraciones de 0,1 mM ejerce un efecto positivo en el crecimiento de tomate en suelo calcáreos; ANJUN SA *et al* (2013) demuestra que concentraciones de 0,5 mM de AB mejora la altura de las plantas de soya.

El AB a concentraciones de 0,1 y 0,01 mM en condiciones *in vitro* en los cultivos de tomate y berenjena ayuda al desarrollo del sistema radical de los cultivos en condiciones de salinidad, con concentración de 1 mM de AB provoca la disminución del sistema radical del cultivo *in vitro* de tomate; en cambio en condiciones *in vivo* el sistema radical de los cultivos de tomate, rábano y berenjena es ayudado por concentraciones de 1 y 0,1 mM de AB; tales resultados *in vitro* e *in vivo* influyen sobre los pesos fresco y seco de los sistema radicales de los cultivos estudiados, RAMÍREZ H. *et al*, (2006) demostró que con 10^{-6} M de AB, el sistema radical no son afectado en los cultivos de col, coliflor y brócoli; más bien incrementó los pesos fresco y seco de la raíces en la col y un efecto contrario encontró KAUR H. *et al*, (2005) que concentraciones de 1,09; 1,46 y 1,83 mg/g de suelo de AB suprime el desarrollo de la longitud de las raíces de mostaza.

El incremento de la actividad fotosintética se mostró claramente con la aplicación de 0,1 y 0,01 mM de AB en los cultivo de berenjena y tomate cultivado *in vitro* en 2,5, 5 y 7,5 mS de salinidad, en este sistema *in vitro* en el cultivo de tomate la concentración de 1 mM redujo los niveles de las clorofilas; la tendencia de incremento de la variable también se observó *in vivo* concentraciones de 1 y 0,1 mM de AB en tomate, berenjena y rábano; el AB a concentraciones de 0,5 mM

según ANJUN SA, *et al* (2013) mejora en un 11,54 % la fotosíntesis neta y en un 6,5 % del contenido de las clorofilas en el cultivo de soya.

El incremento de número de hojas, área foliar y de los pesos fresco y seco de la hojas en explantos de tomate y berenjena se observó con 0,1 y 0,01 mM de AB en 2,5, 5 y 7,5 mS de salinidad; RAMÍREZ H, *et al* (2006) demostró que con 10^{-6} M de AB, el número de hoja en el cultivo de col se incrementó ayudando a los pesos fresco y seco de la misma; el peso fresco de hojas de lechuga con concentración de 0,01 mM de AB se incrementaron según ESTRADA W. *et al* (2007).

4.2.3 DISCUSIÓN DEL EFECTO DEL ÁCIDO ASCÓRBICO EN EL CRECIMIENTO Y DESARROLLO DE ESPECIES HORTÍCOLAS CULTIVADAS *in vitro* E *in vivo* SOMETIDAS EN CONDICIONES DE SALINIDAD

El ácido ascórbico a concentraciones de 100, 175 y 250 mg.l⁻¹ ayudó claramente en la germinación *in vitro* de semillas de tomate y berenjena en un 100 % en salinidad de 2,5 mS, mientras que en 5 y 7,5 mS de salinidad solo la concentración de 100 mg.l⁻¹ de A.As obtuvo el 100 % de la germinación de tomate. En cambio en *Solanum melongena L.*, con conductividad de 5 mS la tres concentraciones de A.As lograron 100 % de la germinación; *in vivo* las concentraciones de 100 y 250 mg.l⁻¹ de A.As ayudaron en un 100 % de germinación de semillas de tomate, berenjena y rábano cultivados en 0, 2,5 y 5 mS; concordando con REHMAN R, (2014) que sostiene que A.As reduce los daños ocasionado por NaCl y que la salinidad reduce la emergencia de semillas de los vegetales.

El desarrollo longitudinal del tallo de tomate y berenjena *in vitro* se presentaron con concentraciones de 100 y 175 mg.l⁻¹ de A.As en 2,5, 5 y 7,5 mS de salinidad; mientras que con concentración 250 mg.l⁻¹ de A.As la longitud del tallo de tomate se disminuyó en los tres niveles de salinidad y en berenjena se aumentó a partir de los 14 días con conductividades de 2,5 y 5 mS y con salinidad de 7,5 mS al finalizado el ensayo; en condiciones *in vivo* en tomate, berenjena y rábano

cultivados en 0, 2,5 y 5 mS de salinidad el crecimiento del tallo se ve aumentado con las aplicaciones de concentraciones de 100 y 250 mg.l⁻¹ de A.As; tendencia también demostrada por MORA-HERRERA M. *et al*, (2011) que a concentración de 6.8 mM de A.As se incrementa significativamente la longitud del tallo y peso seco del tallo por planta de *Dendranthema grandiflora* Tzvelev) cv. Polaris

A concentraciones de 100 mg.l⁻¹ de A.As mostró un efecto promotor significativo sobre la longitud del sistema radical tomate y berenjena *in vitro* con salinidad de 2,5, 5, 7,5 mS con la concentración de 175 mg.l⁻¹ de A.As también incrementó la longitud radical de los explantos de tomate y berenjena, pero el desarrollo no es continuo en comparación a la concentración de 100 mg.l⁻¹ de A.As en la dos especies, a concentraciones de 250 mg.l⁻¹ el parámetro disminuye en el cultivo de tomate y en berenjena se aumentaron durante los 28 días en 7,5 mS de salinidad; en condiciones *in vivo* con las aplicaciones de 100 y 250 mg.l⁻¹ A.As, tiene efecto promotor significativo en el crecimiento de la longitud radical en tomate, berenjena y rábano cultivadas con conductividad eléctrica de 0, 2,5 y 5 mS cuyos resultado influyen en los pesos fresco y seco del sistema radical de los cultivos ensayados *in vitro* e *in vivo*; SHAFIQ S., *et al* (2014), demuestran que la aplicación foliar de A.As en el cultivo de canola (*Brassica napus* L.) a concentración de 100 mg.l⁻¹ mejora los pesos fresco y seco de las raíces.

AZOOZ M. *et al*, (2013) sostienen que pre-tratar semillas de haba (*Vicia faba* L) con 100 mg.l⁻¹ de ácido ascórbico y cultivarlos bajo condiciones de estrés salino (150 mM NaCl) aumenta los pigmentos fotosintéticos del vegetal; permitiendo concordar con los resultados obtenidos en el experimento donde el ácido ascórbico a concentraciones de 100, 175 y 250 mg.l⁻¹, influyó claramente en el incremento de los niveles de las clorofilas en los cultivos *in vitro* de tomate y berenjena; tales incremento también se observó en condiciones *in vivo* con las aplicaciones de concentraciones de 100 y 250 mg.l⁻¹ de A.As; afirmándose con REHMAN H., KHAN A. y ASHRAF M, (2007), que a concentración 100 mg.l⁻¹ en 150 mM de NaCl, contrarresta los efectos adversos sobre el estrés salino en cultivares de trigo (S-24 y MH-97), la cual mejora la capacidad fotosintética del S-24.

KHAN A. *et al* (2013), aseguran que pulverizar A.As a concentración 100 mg.l⁻¹ en el cultivo de girasol minimiza la toxicidad de la salinidad y resulta mejorar de forma significativa los pigmentos fotosintéticos; afirmando a los resultados obtenidos *in vitro* e *in vivo* sobre el incremento de los niveles de las clorofilas de hoja en especies hortícolas ensayadas.

Los resultados obtenidos del mayor número de hoja, área foliar y pesos fresco y seco de hojas de cada especie cultivadas *in vitro* e *in vivo*; son demostrados también por AGAMI A, (2014) donde obtiene incremento sobre los parámetros analizados del crecimiento de *Hordeum vulgare* con aplicaciones exógenas de 1 mM de A.As bajo condiciones de 100 y 200 mM de Na Cl.

4.2.4 DISCUSIÓN DEL EFECTO DE LA TAURINA EN EL CRECIMIENTO Y DESARROLLO DE ESPECIES HORTÍCOLAS *in vitro* E *in vivo* SOMETIDAS EN CONDICIONES DE SALINIDAD

La germinación *in vitro* de tomate y berenjena cultivadas en 2,5, 5 y 7,5 mS de salinidad son claramente ayuda por concentración de 100 mg.l⁻¹ de taurina con un 100 % de germinación, con concentración de 175 mg.l⁻¹ de taurina también se observó el porcentaje máximo en tomate en 2,5 y 5 mS de salinidad y con 250 mg.l⁻¹ de taurina el mismo porcentaje sólo se observó con salinidad de 2,5 mS en el cultivo de tomate, en cambio en berenjena con concentraciones de 175 y 250 el porcentaje va en disminución con respecto al incrementar la salinidad y la concentración de taurina; las concentraciones de taurina de 100 y 250 mg.l⁻¹ en proceso de inhibición de semillas por 24 horas en los cultivos de tomate, berenjena y rábano, ayudaron claramente en la emergencia en suelo tratados con 0, 2,5 y 5 mS de salinidad; los resultados obtenidos sobre la germinación de especies se pueden corroborar por unas de las funciones fisiológicas de la taurina que es la regulación osmótica y por las propiedades antioxidante y además se debe tener en consideración la composición química de poseer un grupo amino (NH₃) descritas por SHARANOVA N, *et al* (2012)

El crecimiento longitudinal y los pesos frescos y secos del tallo y raíces de explantos de tomate y berenjena cultivado *in vitro* en salinidad de 2,5, 5 y 7,5 mS se incrementaron con la aplicación de 100 mg.l⁻¹ de taurina, la concentración de 175 mg.l⁻¹ de taurina sobre los aumento sobre de la longitud del tallo y raíces no fueron tan notorio como la concentración de 100 mg.l⁻¹ de taurina; aunque con concentración de 250 mg.l⁻¹ de taurina los parámetro longitudinales del tallo y raíces de los cultivos *in vitro* se redujeron, con esta concentración los pesos fresco y seco hasta cierta medida y en dependencia de la especie cultivada *in vitro* mostraron ser eficaces concordando con HAO L, *et al* (2004) donde sugiere que la taurina tiene efectos protectores sobre la membrana en plántulas de trigo en semilleros hasta concentración óptima de 500 mg.l⁻¹, donde se promueve el crecimiento de plántulas, aumento de la longitud de raíces y aumento de los pesos fresco y seco; en cambio en condiciones *in vivo* con 0, 2,5 y 5 mS de salinidad el crecimiento longitudinal de tallo y raíces y la ganancia de pesos fresco y seco de tallo y raíces sucede con concentraciones de 100 y 250 mg.l⁻¹ de taurina.

El número de hojas de los cultivos *in vitro* de tomate y berenjena se incrementó con la aplicación de 100 mg.l⁻¹ de taurina durante los 28 días del ensayo con salinidad de 2,5, 5 y 7,5 mS; con concentración de 175 mg.l⁻¹ los incrementos no son tan pronunciados como la concentración de 100 mg.l⁻¹, cuyo efecto se reduce con el tratamiento de 250 mg.l⁻¹ de taurina; en condiciones *in vivo* el desarrollo de número de hojas en plántulas de tomate, rábano y berenjena se incrementaron con las aplicaciones de 100 y 250 mg.l⁻¹ de taurina, sembrada en sustrato con 0, 2,5 y 5 mS de salinidad; observándose que los resultados obtenidos en número de hojas ayudó sobre el área foliar y sobre los pesos fresco y seco de hojas de los cultivos tanto *in vitro e in vivo*; mientras que en este mismo órgano de los vegetales los niveles de las clorofilas son claramente ayudada por concentraciones de taurina de 100, 175 y 250 mg.l⁻¹ en los cultivos de tomate y berenjena *in vitro e in vivo* en tomate, berenjena y rábano con las aplicaciones de 100 y 250 mg.l^{-1P}; tomándose como referencia la actividad fisiológica de la taurina descrita por SHARANOVA N, *et al* (2012) y de los resultados obtenidos por HAO L, *et al* (2004); por no

encontrase referencias bibliográficas a los parámetro antecedido y porque aún no se ha aclarado el contenido y significado bioquímico y fisiológico de la taurina en los vegetales descrito por TAKAOKA H. (1990).

CONCLUSIONES Y RECOMENDACIONES

CONCLUSIONES

1. La germinación *in vitro* y las variables número de hojas, crecimiento longitudinal del tallo y raíces, clorofilas, área foliar y los pesos fresco y seco de hojas, tallo y raíces resultaron claramente afectadas por la concentración 1 mM de AS, en el caso de cebolla, tomate, berenjena y rábano; y por la misma concentración de AB, en el caso de tomate y berenjena.
2. Concentraciones de 0,1 y 0,01 mM de AS promueven la emergencia, crecimiento y desarrollo de tomate, rábano y berenjena; siendo la concentración 0,01 mM la que provoca mayores efectos positivos sobre las variables estudiadas en condiciones de salinidad; tales efectos de promoción fisiológica van en dependencia de cada especie y sistema utilizado, sean estos *in vitro e in vivo*.
3. La concentración 0,01 mM de AB en el M.MS al 50 % más 1,5 % de sacarosa promueve mayores incrementos del número de hojas, crecimiento longitudinal del tallo y raíces, clorofilas, área foliar y los pesos fresco y seco de hojas, tallo y raíces en tomate y berenjena en condiciones de salinidad (2,5, 5 y 7,5 mS). Similares resultados se obtuvieron con concentraciones de 0,1 y 1 mM de AB en tomate, berenjena y rábano cultivados *in vivo* en 0, 2,5 y 5 mS de salinidad.
4. La taurina y el A.As en M.MS al 50 % y con 1,5 % de sacarosa a concentraciones de 100 mg.l⁻¹ incrementan los promedio de número de hojas, crecimiento longitudinal del tallo y raíces, clorofilas, área foliar y los pesos fresco y seco de hojas, tallo y raíces en explantos de tomate y berenjena cultivadas en condiciones de salinidad.
5. En condiciones de 0, 2,5 y 5 mS de salinidad *in vivo*, las pulverizaciones de taurina y el A.As a concentraciones de 250 mg.l⁻¹ ocasionan mayor desarrollo

en número de hojas, crecimiento longitudinal del tallo y raíces, clorofilas, área foliar y los pesos fresco y seco de hojas, tallo y raíces en tomate, berenjena y rábano, reduciendo los efectos adversos por la salinidad.

6. Se estiman concentraciones óptimas de elicitores en sistema *in vitro* las siguientes: 0,01 mM de AS; 0,01 mM de AB; 100 mg.l⁻¹ A.As y 100 mg.l⁻¹ de taurina; las mismas que reducen mayormente el daño ocasionado por las condiciones de salinidad sobre el crecimiento y desarrollo de las especies hortícolas estudiadas.
7. Las dos concentraciones evaluadas en sistema *in vivo* de ácido salicílico, ácido benzoico, ácido ascórbico y taurina se manifiestan claramente como promotores del desarrollo fisiológico de tomate, berenjena y rábano en condiciones de salinidad, aunque sus efectos positivos varían en dependencia de la especie.
8. La imbibición de semillas en disoluciones de ácido salicílico, ácido benzoico, ácido ascórbico y taurina acelera la germinación en suelos con 0, 2,5 y 5 mS de salinidad.

RECOMENDACIONES

- Continuar con la evaluación del ácido salicílico, ácido benzoico, ácido ascórbico y taurina a nivel productivo en suelos con altos niveles de salinidad.
- Profundizar las investigaciones encaminadas a la determinación de las funciones específicas de los elicitores a nivel bioquímico y fisiológico en especies hortícolas de interés comercial.
- Despertar en los estudiantes el interés en el estudio de compuestos orgánicos no convencionales que pudieran ser de utilidad práctica en la horticultura.

BIBLIOGRAFÍA

ABOGADALLAH G. 2010. Antioxidative defense under salt stress. *Plant Signaling & Behavior* 5:4, 369-374; Landes Bioscience.

AGAMI R. 2014. Applications of ascorbic acid or proline increase resistance to salt stress in barley seedlings. *BIOLOGIA PLANTARUM* 58 (2): 341-347.

AHMAD Z y AFTAB F. 2012. Role of salicylic acid in amelioration of salt tolerance in potato (*solanum tuberosum* l.) under in vitro conditions. *Pak. J. Bot.*, 44: 37-42, Special Issue.

ANCHONDO A. NÚÑEZ A, RUIZ T, MARTÍNEZ J, VERGARA S, (Ed.). 2011. Effect of salicylic acid in bioproductivity of strawberry (*Fragaria ananassa*) cv Aromosa. *Revista Mexicana de Ciencias Agrícolas* 2(2), 2011. México: Red Instituto Nacional de Investigaciones Forestales, Agrícolas y Pecuarias. Retrieved from <http://www.ebrary.com>

ANJUM SA, EHSANULLAH A, XUE L. WANG L, SALEEM M y HUANG C. 2013. Exogenous benzoic acid (BZA) treatment can induce drought tolerance in soybean plants by improving gas-exchange and chlorophyll contents. *Australian Journal of Crop Science* Volume 7, Issue 5, April 2013, Pages 555-560

ASHRAF M. y HARRIS P. 2004. Potential biochemical indicators of salinity tolerance in plants. *Plant Science* 166 (2004) 3–16.

AZOOZ M., ALZAHIRANI A.M. y YOUSSEF M., 2013. The potential role of seed priming with ascorbic acid and nicotinamide and their interactions to enhance salt tolerance in broad bean (*Vicia faba* L.). *Australian Journal of Crop Science*. Volume 7, Issue 13, 2013, Pages 2091-2100.

BARRERA C. 2007. Cultivos de células de *Jacaratia mexicana* En un biorreactor Airlift: Efecto de un Inductor y un elicitor en la producción de enzimas

proteolíticas. Tesis Maestria en Ciencias. MX. INSTITUTO POLITÉCNICO NACIONAL.

BASURTO M. NÚÑEZ A, PÉREZ R y. HERNÁNDEZ O. 2008. Fisiología del estrés ambiental en plantas. Facultad de Ciencias Agrotecnológicas/Universidad Autónoma de Chihuahua MX.

BENAVIDES M. A. MENDOZA R, ORTEGA H y RAMÍREZ H. 2003. Exogenous application of tolerance elicitors and antioxidant enzymatic activity in tomato fruit. Departamento de Horticultura, Universidad Autónoma Agraria Antonio Narro, Buenavista, Saltillo, Coahuila, México.

BENAVIDES A, BURGO D, ORTEGA H. y RAMÍREZ H. 2007. Benzoic Acid and Poly (Acrylic Acid)-Chitosan in Tomato Quality and Yield in Calcareous Soil. Terra latinoamericana 262 volumen 25 número 3 pp 261-268.

BONET JJ. 2008. Tomato plant culture. In the field greenhouse and home garden. Ed 2nd Taylor & Francis Group. Boca Ratón. USA.

CADET PE. 2011. Salicilatos. Universidad de Costa Rica Facultad de Ciencias Agroalimentarias. Escuela de Agronomía. Reguladores de crecimiento (AF-5408) A71211.

CAMARERA G. 2007. Octadecanoides como reguladores de la defensa de las plantas. Revista Chapingo serie ciencias forestal y del ambiente. Universidad Autónoma Chapingo. México

CANAKCI S. 2008. Effect salicylic acid on fresh weight change, chlorophyll and protein amounts of radish (*Raphanus sativus* L.) seedling. Department of Biology, Faculty of Science and arts, Firat University, Elazığ. Journal of biological Sciences (8); 431- 435.

CAÑAS P. 2002. Biological and nutritional role of taurine and its derivatives. Rev. Chil. Nutr. V.29 N° 3

CASACA D. 2005. El cultivo de la berenjena, *solanum melogena*, Proyecto de modernización de los servicios de tecnología agrícola (PROMOSTA). ES.

CHINNUSAMY V, JAGENDORF A. AND ZHU JK. 2005. Understanding and Improving Salt Tolerance in Plants. Crop Sci. 45:437–448 USA.

CIARMIELLO L, WOODROW P, FUGGI A, PONTECORVO G y CARILLO P. 2011. Plant Genes for Abiotic Stress. University of Naples, Department of Life Science. Italy.

CRIOLLO H. y GARCIA J. 2009. Effect of planting density on the growth of radish (*Raphanus sativus* L.). Revista Colombiana de Ciencias Hortícolas - vol. 3 - N°.2 - pp. 210-222.

CUARTERO J. BOLARÍN M ASÍNS M Y MORENO V. 2006. Increasing salt tolerance in the tomato. Journal of Experimental Botany, Vol. 57, No. 5, pp. 1045–1058.

DAVEY M, VAN MONTAGU M, INZE D, SANMARTIN M, KANELLIS A, SMIRNOFF N, BENZIE J, STRAIN J, FAVELL D y FLETCHER. 2000. Plant L-ascorbic acid: chemistry, function, metabolism, bioavailability and effects of processing. Journal of the Science of Food and Agriculture 80:825±860.

ERDAL S, AYDIN M, GENISEL M, TASPINAR M, DUMLUPINAR R, KAYA O, And GORCEK Z. 2011. Effects of salicylic acid on wheat salt sensitivity. Journal of Biotechnology Vol. 10(30), pp. 5713-5718.

ESTRADA W, ÁLVAREZ A, LESCAY E, RODRÍGUEZ L, GONZÁLEZ G y CASTRO R. 2007. Effect of salicylic and benzoic acid on the lettuce (*Lactuca sativa* L.) Centro Agrícola, 39(4):85-89.

FARIDUDDIN Q. HAYAT S y AHMAD A. 2003. Salicylic acid influences net photosynthetic rate, carboxylation efficiency, nitrate reductase activity, and seed yield in *Brassica juncea*. Plant Physiology Section, Department of Botany, Aligarh Muslim University, Aligarh, India. Photosynthetica 41 (2): 281-284, 2003

FERRATO J. y MONDIDO C. 2011. Producción, consumo y comercialización de hortalizas el mundo. Publicación cuatrimestral de la Revista Agro mensajes de la Facultad de Ciencias Agrarias, Universidad Nacional de Rosario.

FOOD-INFO. 2007. ¿Qué es el ácido salicílico y en qué productos está presente? Wageningen University, Netherlands.

GARCÍAS M. Y PEREZ LEAL. 2003. Fitoalexinas: Mecanismo de defensa de las plantas. Revista Chapingo. Serie ciencias forestales y del ambiente. Vol 9 N^o 1 pp 5-11. Universidad Autónoma de Chapingo.MX.

GÁZQUEZ J. 2005. El cultivo de tomate. Técnicas del cultivo. Memoria del CONGRESO SAN FERNANDI DE HENARES 2005. El cultivo de tomate para fresco: Situación actual y perspectivas desde el punto de vista técnico comercial.

GUNES A, MEHMET A, FIGEN E, GUNERI B, NURAY C. 2007. Salicylic acid induced changes on some physiological parameters symptomatic for oxidative stress and mineral nutrition in maize (*Zea mays* L.) grown under salinity, Department of Soil Science and Plant Nutrition, Faculty of Agriculture, Ankara University, 06100 Ankara, Turkey. Journal of Plant Physiology 164 (2007) 728-736.

GUTIÉRREZ-CI, TREJO L C Y LARQUÉ A. 1998. Effects of salicylic acid on the growth of roots and shoots in soybean, Plant Physiol. Biochem., 1998,36 (8), 563-565.

HAKIM A MOUSTAFA N AND GHEETH R (2012) Foliar Application of Some Chemical Treatments and Planting Date Affecting Snap Bean (*Phaseolus*

vulgaris L.) Plants Grown in Egypt. Journal of Horticultural Science & Ornamental Plants 4 (3): 307-317, 2012.

HAYAT S, ALI B, AHMAD A. 2007. Salicylic acid: biosynthesis metabolism and physiological role in plants. Springer Dordrecht the Netherlands 401 p.

HAO L.H, HE P, LIU C, CHEN K, LI G. 2004. Physiological effects of taurine on the growth of wheat (*Triticum aestivum* L.) seedlings. Journal of Plant Physiology and Molecular Biology. 2004 Oct; 30(5):595-8.

INSTITUTO INTERAMERICANO DE COOPERACIÓN PARA LA AGRICULTURA (IICA). 2007. Guía práctica para la exportación a EE.UU: Rábanos. NI.

JADHAV SH. Y BHAMBURDEKAR S B. 2011. Effect of salicylic acid on germination performance in groundnut. International Journal of Applied Biology and Pharmaceutical Technology. Volume: 2: Issue-4: Oct - Dec -2011

JAVAHERI M, MASHAYEKHI K, DADKHAH A y FATEME Z. 2012. Effects of salicylic acid on yield and quality characters of tomato fruit (*Lycopersicon esculentum* Mill.) International Journal of Agriculture and Crop Sciences, Intl J Agri Crop Sci. Vol., 4 (16), 1184-1187, 2012.

JOUYBAN Z. 2012. The Effects of Salt stress on plant growth. Tech J Engin & App Sci., 2 (1): 7-10.

JÜRGEN E. y COSIO E. (2008), Elicitors of Plant Defense Responses. International Review of Cytology, Volume 148, 1994, Pages 1-36.

KAUR H, INDERJIT I y KAUSHIK S. 2005. Cellular evidence of allelopathic interference of benzoic acid to mustard (*Brassica juncea* L.) seedling growth. Plant Physiol. Biochem. 43:77-8.

KHAN A, LANG I, AMJID M, SHAH A, AHMAD I y NAWAZ, H. 2013. Inducing salt tolerance on growth and yield of sunflower by applying different levels of ascorbic acid. Journal of Plant Nutrition Volume 36, Issue 8, January 2013, Pages 1180-1190.

KHAN A, MAZID M y MOHAMMAD F. 2011. Role of ascorbic acid against pathogenesis in plants. Journal of Stress Physiology & Biochemistry, Vol. 7 No. 3 2011, pp. 222-234.

KINET JM. y PEET M.M. 2009. Tomato, The physiology of vegetable crop. Edit by HC WIWN. CORNELL. UNIVERSITY, ITHACA, NY,USA.

KOTUBY J, KOENIG R y KITCHEN B. 2000. Salinity and plant tolerance. UTAH STATE UNIVERSITY EXTESION. Electronic publishing. AG-SO-03.

LAMBERS H, STUART F y PONS T. 1998. Plant physiological: Ecology. Springer Verlag. New york. USA.

LAMZ A y GONZÁLEZ M. 2013. Salinity as a problem in agriculture: plant breeding an immediate solution. Cultivos Tropicales, 2013, vol. 34, no. 4, p. 31-42.

LARQUÉS A, MARTÍN R, NEXTICAPAN A, VERGARA S y GUTIÉRREZ M. 2010. Efect of salicylic acid on the growth of tomato (*lycopersicon esculentum* mill.) seedlings. Revista Chapingo Serie Horticultura 16(3): 183-187.

LOEWUS F. 1999. Biosynthesis and metabolism of ascorbic acid in plants and of analogs of ascorbic acid in fungi. Phytochemistry 52 (1999) 193±210.

LOSANKA P. 1997. SALICYLIC ACID: PROPERTIES, BIOSYNTHESIS AND PHYSIOLOGICAL ROLE, institute of plant physiology. Sofia Bulgaria. 86-90 pg.

MACUÁ I. LAHOZ I, CALVILLOS y SANTOS A. 2008. Berenjena *Solanum melongena*, Campaña 2007. Navarra Agraria. ES.

MAGALLÓN E, ROJAS A, BENAVIDES A, RAMÍREZ F, BAÑUELOS L. 2002. Exogenous application of benzoic acid in liliun cv. dreamland to modify floral bud characteristics. Departamento de Horticultura, UNIVERSIDAD AUTÓNOMA AGRARIA ANTONIO NARRO, Buenavista, México.

MARTIN MEX R, NEXTICAPAN- GARCES A. HERRERA TUZ R VERGARA S, LARQUE A: (2012). Positive effect of salicylic acid application on productivity of papaya (*Carica papaya*) Revista Mexicana de Ciencias Agrícolas, vol. 3, núm. 8, noviembre-diciembre, 2012, pp. 1637-1643. Instituto Nacional de Investigaciones Forestales, Agrícolas y Pecuarias Estado de México, México <http://www.ebrary.com>

MEENAKSHI T. y BALDEV S. 2013. Role of Elicitors in Inducing Resistance in Plants against Pathogen Infection: Biochemistry Volume 2013, 762412, 10 pages.

MIURA K. AND TADA Y. 2014. Regulation of water, salinity, and cold stress responses by salicylic acid. Front. Plant Sci. 5:4. doi:10.3389/fpls.2014.00004 This article was submitted to Plant Physiology, a section of the journal Frontiers in.

MONTERO S, SINGH B y TAYLOR R. 2006. Evaluación de seis estructuras de producción hidropónica diversificada en el trópico húmedo de Costa Rica. Rev. Tierra Tropical (2006) 2 (1): 1-11.

MORA-HERRERA M, PERALTA J LÓPEZ A, GARCÍA R y GONZÁLEZ J. 2011. Effect of ascorbic acid on growth, photosynthetic pigments and peroxidase activity of chrisantemum plants. Revista Chapingo Serie Horticultura, Vol. XVII, Edición Especial 2, 2011: 73-81.

MURASHIGE T y SKOOG F. 1962. A revised medium for rapid growth and bioassays with tobacco tissue cultures. *Physiologic plant*. 15, 473-638.

NILSEN E. y ORCUTT D. 1996. *The physiology of plant under stress*. Printed Jhon Wiley & Sons, Inc. USA

PALMA J. 2009. *Repuesta inducidas por ácido abscísico y ácido salicílico en las simbiosis de judía y alfalfa en estrés salino*. Tesis Doctoral. UNIVERSIDAD DE GRANADA. ES

PÉREZ J, HURTADO G, APARICIO V. ARGUETA Q Y LARÍN M. 2012. *Guía técnica del Cultivo de tomate*. CENTRO NACIONAL DE TECNOLOGÍA AGROPECUARIA Y FORESTAL (CENTA). San Salvador. SS.

PROAÑO J, SUÁREZ C, Y BRIONES C. 2003. *Estudios de metodologías para la validación de un modelo predictivo para el manejo y control de la salinidad del suelo y del agua en la península de Santa Elena, Provincia del Guayas, Ecuador*, VIII Congreso Ecuatoriano de la Ciencia del Suelo. Universidad Agraria, Guayaquil - Ecuador.

RAMÍREZ H. 2004. *La cebolla (Allium cepa L.) y su cultivo*. Corporación Colombiana de Investigación Agropecuaria, CORPOICA. Printed in Colombia.

RAMÍREZ H, RANCAÑO J H, BENAVIDES A. MENDOZA R., ROBLEDO V y HERNANDEZ J. 2006. *Stress signalling substances influence in vegetables and their antioxidant relationship: A preliminary study*. *Acta Horticultura*. Volume 774, 2008, Pages 127-132.

RAMÍREZ R y PÉREZ M. 2006. *Evaluation of the potential for biosolids obtained from wastewater treatment for agricultural use and their effect on cultivation of red radish (Raphanus sativus L.)* *Rev.Fac.Nal.Agr.Medellín*. Vol.59, No.2. p. 3543-3556.

RASKIN I. 1992. Salicylate, A New Plant Hormone. *Plant Physiol.* (1992) 99, 799-803.

REHMAN H., KHAN A. y ASHRAF M. 2007. Exogenously applied ascorbic acid alleviates salt-induced oxidative stress in wheat. *Environmental and Experimental Botany* 63 (2008) 224–231.

REOLON F, MARINI P. MAGALHÃES M, MUNT D y DO AMARANTE L. 2013. Salicylic acid: physiological and biochemical changes in seeds and maize seedlings subjected to salt stress. *Journal of Seed Science*, v.35, n.4, p.457-465.

RIVEROS A. 2001. Moléculas activadoras de la inducción de resistencia, incorporadas en programas de agricultura sostenible. *Manejo Integrado de Plagas (Costa Rica)* No. 61 p. 4 - 11.

ROTHMAN S y DONDO G. 2008. CEBOLLA (*Allium cepa* L). Horticultura Departamento producción vegetal, Facultad de Ciencias Agropecuarias. UNIVERSIDAD NACIONAL DE ENTRE RIOS. AR.

SAEIDI-SAR S, ABBASPOUR H, AFSHARI H Y YAGHOUBI R. 2013. Effects of ascorbic acid and gibberellin A3 on alleviation of salt stress in common bean (*Phaseolus vulgaris* L.) seedlings. *Acta Physiol Plant* (2013) 35:667–677.

SANDOVAL A. 2011. El cultivo del chile piquín y la influencia de los ácidos orgánicos en el crecimiento, productividad y calidad nutricional. Tesis doctoral. UNIVERSIDAD AUTÓNOMA DE NUEVO LEÓN.

SHAFIQ S, AKRAM N, ASHRAF M y ARSHAD A. 2014. Synergistic effects of drought and ascorbic acid on growth, mineral nutrients and oxidative defense system in canola (*Brassica napus* L.) plants. *Acta Physiol Plant* (2014) 36:1539–1553.

SHARANOVA N, VASILYEV V Y GAPPAROV M. 2012. Effect of Taurine on the Proteomic Profile of the Cytosolic and Microsomal Fractions of Rat

Hepatocytes during Ontogeny. *Bulletin of Experimental Biology and Medicine*, Vol. 153, No. 2, June, 2012

SAYYARI M. 2012. Improving Chilling Resistance of Cucumber Seedlings by Salicylic Acid. *American-Eurasian J. Agric. & Environ. Sci.*, 12 (2): 204-209.

SENARATNA T, MERRITT D, KINGSLEY D, BUNN E, TOUCHELL D y SIVASITHAMPARAM K. 2005. Benzoic acid may act as the functional group in salicylic acid and derivatives in the induction of multiple stress tolerance in plants. *Plant Growth Regulation* 39: 77–81.

SERRANO Z. 2006. El cultivo de la berenjena. Hojas Divulgadoras del Ministerio de Agricultura de España. LS.B.N. -341-0105-X - 33.771-1976.

SHIRASU K, NAKAJIMA H, KRISHNAMACHARI V, DIXON R y LAMBAS C. 1997. Salicylic Acid Potentiates an Agonist-Dependent Gain Control That Amplifies Pathogen Signals in the Activation of Defense Mechanisms. *The Plant Cell*, Vol. 9, 261-270.

SMIRNOF F. y WHEELER G. 2000. Ascorbic Acid in Plants: Biosynthesis and Function. *Critical Reviews in Biochemistry and Molecular Biology*. 35(4). 291-314.

SUBIABRE H, VILLABLANCA A Y OTÁROLA J. 2011. Generalidades del cultivo de cebolla en Lluta. Instituto de Investigaciones Agropecuarias, Centro de Investigación Especializado en Agricultura del Desierto y Altiplano (CIE), INIA Ururi, región de Arica y Parinacota. Ministerio de Agricultura, Informativo N° 57, diciembre 2011.

SYEED S, AJUM N, NAZAR R, IQBAL N, SHABINA MASOOD A y KHAN A. 2011. Salicylic acid-mediated changes in photosynthesis, nutrients content and antioxidant metabolism in two mustard (*Brassica juncea* L.) cultivars differing in salt tolerance. *Acta Physiol Plant* (2011) 33:877–886.

TAKAOKA H. 1990. Occurrence of Taurine in Plants. *Agric. Biol. Chem.*, 50 (7), 1887-1888, 1986.

TAPIA G. 2010. ¿Cómo cultivar tomate en un clima que está cambiando? INIA, Quilamapu. CL.

VÁZQUEZ M. 2012. Behavior of tomato plants (*Solanum lycopersicum*) sprayed with salicylic acid grown under different climatic conditions in a greenhouse. CIENCIA@UAQ. UNIVERSIDAD AUTÓNOMA DE QUERÉTARO. MX.

VAZQUEZ A. y VIEITEZ E. 1995. Effect of some phenolic compounds on germination of seed from *Trifolium repens L.*, *Trifolium pratense L.* and *Medicago sativa L.* *Fisiología Vegetal*. C.S.I.C.

VELARDE A. 2009, Modulación del transporte iónico por poliaminas en especies reactivas de oxígeno y su posible impacto a la repuesta al estrés salino. Tesis Maetrias. UNIVERSIDAD DE COLIMA.

WANG W, VINOCUR B, ALTMAN A. 2003. Plant responses to drought, salinity and extreme temperatures: towards genetic engineering for stress tolerance. The Robert H. Smith Institute of Plant Sciences and Genetics in Agriculture, and the Otto Warburg Center for Agricultural Biotechnology, Faculty of Agricultural, Food and Environmental Quality Sciences, The Hebrew University of Jerusalem, P.O.

WHEELER GL., JONES MA., SMIRNOFF N. 1998. The biosynthetic pathway of vitamin C in higher plants. *Nature*. Volume 393, Issue 6683, 28 May 1998, Pages 365-369.

ZUSHI K. MATSUZOE N y KITANO M. 2009. Developmental and tissue specific changes in oxidative parameters and antioxidant systems in tomato fruits grown under salt stress. *Scientia Horticulturae* 122 (2009) 362–368.

Anexo 1. Análisis de la variancia Oneway ANOVA de las variables estudiadas por efecto del ácido salicílico en tomate cultivada *in vitro* en 2,5, 5 y 7,5 mS de salinidad.

Tabla 156A. Analysis of Variance Oneway Anova, Length. Stem (mm) of *Lycopersicon esculentum* Mill, Days 7, salicylic acid, 2,5 mS of electrical conductivity, *in vitro*

Source	DF	Sum of Squares	Mean Square	F Ratio	Prob > F
Treatments	3	1204,7375	401,579	125,0052	<,0001*
Error	76	244,1500	3,213		
C. Total	79	1448,8875			

Tabla 157A. Analysis of Variance Oneway Anova, Length. Stem (mm) of *Lycopersicon esculentum* Mill, Days 14, salicylic acid, 2,5 mS of electrical conductivity, *in vitro*

Source	DF	Sum of Squares	Mean Square	F Ratio	Prob > F
Treatments	3	10310,700	3436,90	1845,967	<,0001*
Error	76	141,500	1,86		
C. Total	79	10452,200			

Tabla 158A. Analysis of Variance Oneway Anova, Length. Stem (mm) of *Lycopersicon esculentum* Mill, Days 21, salicylic acid, 2,5 mS of electrical conductivity, *in vitro*

Source	DF	Sum of Squares	Mean Square	F Ratio	Prob > F
Treatments	3	8550,4500	2850,15	1788,699	<,0001*
Error	76	121,1000	1,59		
C. Total	79	8671,5500			

Tabla 159A. Analysis of Variance Oneway Anova, Length. Stem (mm) of *Lycopersicon esculentum* Mill, Days 28, salicylic acid, 2,5 mS of electrical conductivity, *in vitro*

Source	DF	Sum of Squares	Mean Square	F Ratio	Prob > F
Treatments	3	21169,450	7056,48	766,0230	<,0001*
Error	76	700,100	9,21		
C. Total	79	21869,550			

Tabla 160A. Analysis of Variance Oneway Anova, Length roots (mm) of *Lycopersicon esculentum* Mill, Days 7, salicylic acid, 2,5 mS of electrical conductivity, *in vitro*

Source	DF	Sum of Squares	Mean Square	F Ratio	Prob > F
Treatments	3	2124,5500	708,183	661,2031	<,0001*
Error	76	81,4000	1,071		
C. Total	79	2205,9500			

Tabla 161A. Analysis of Variance Oneway Anova, Length roots (mm) of *Lycopersicon esculentum* Mill, Days 14, salicylic acid, 2,5 mS of electrical conductivity, *in vitro*

Source	DF	Sum of Squares	Mean Square	F Ratio	Prob > F
Treatments	3	4309,6375	1436,55	726,6388	<,0001*
Error	76	150,2500	1,98		
C. Total	79	4459,8875			

Tabla 162A. Analysis of Variance Oneway Anova, Length roots (mm) of *Lycopersicon esculentum* Mill, Days 21, salicylic acid, 2,5 mS of electrical conductivity, *in vitro*

Source	DF	Sum of Squares	Mean Square	F Ratio	Prob > F
Treatments	3	5883,7375	1961,25	1205,456	<,0001*
Error	76	123,6500	1,63		
C. Total	79	6007,3875			

Tabla 163A. Analysis of Variance Oneway Anova, Length roots (mm) of *Lycopersicon esculentum* Mill, Days 28, salicylic acid, 2,5 mS of electrical conductivity, *in vitro*

Source	DF	Sum of Squares	Mean Square	F Ratio	Prob > F
Treatments	3	11372,850	3790,95	759,9900	<,0001*
Error	76	379,100	4,99		
C. Total	79	11751,950			

Tabla 164A. Analysis of Variance Oneway Anova, N° Leaves of *Lycopersicon esculentum* Mill, Days 7, salicylic acid, 2,5 mS of electrical conductivity, *in vitro*

Source	DF	Sum of Squares	Mean Square	F Ratio	Prob > F
Treatments	3	4,500000	1,50000	10,6542	<,0001*
Error	76	10,700000	0,14079		
C. Total	79	15,200000			

Tabla 165A. Analysis of Variance Oneway Anova, N° Leaves of *Lycopersicon esculentum* Mill, Days 14, salicylic acid, 2,5 mS of electrical conductivity, *in vitro*

Source	DF	Sum of Squares	Mean Square	F Ratio	Prob > F
Treatments	3	35,337500	11,7792	59,0902	<,0001*
Error	76	15,150000	0,1993		
C. Total	79	50,487500			

Tabla 166A. Analysis of Variance Oneway Anova, N° Leaves of *Lycopersicon esculentum* Mill, Days 21, salicylic acid, 2,5 mS of electrical conductivity, *in vitro*

Source	DF	Sum of Squares	Mean Square	F Ratio	Prob > F
Treatments	3	37,100000	12,3667	87,8380	<,0001*
Error	76	10,700000	0,1408		
C. Total	79	47,800000			

Tabla 167A. Analysis of Variance Oneway Anova, N° Leaves of *Lycopersicon esculentum* Mill, Days 28, salicylic acid, 2,5 mS of electrical conductivity, *in vitro*

Source	DF	Sum of Squares	Mean Square	F Ratio	Prob > F
Treatments	3	25,200000	8,40000	55,0345	<,0001*
Error	76	11,600000	0,15263		
C. Total	79	36,800000			

Tabla 168A. Analysis of Variance Oneway Anova, Chlorophyll (U. SPAD) of *Lycopersicon esculentum* Mill, Days 28, salicylic acid, 2,5 mS of electrical conductivity, *in vitro*

Source	DF	Sum of Squares	Mean Square	F Ratio	Prob > F
Treatments	3	5539,8600	1846,62	1597,313	<,0001*
Error	76	87,8620	1,16		
C. Total	79	5627,7220			

Tabla 169A. Analysis of Variance Oneway Anova, Leaf area (mm²) of *Lycopersicon esculentum* Mill, Days 28, salicylic acid, 2,5 mS of electrical conductivity, *in vitro*

Source	DF	Sum of Squares	Mean Square	F Ratio	Prob > F
Treatments	3	21893739	7297913	1512,403	<,0001*
Error	76	366729	4825		
C. Total	79	22260468			

Tabla 170A. Analysis of Variance Oneway Anova, leaf fresh weight (mg) of *Lycopersicon esculentum* Mill, Days 28, salicylic acid, 2,5 mS of electrical conductivity, *in vitro*

Source	DF	Sum of Squares	Mean Square	F Ratio	Prob > F
Treatments	3	502415,05	167472	871,2078	<,0001*
Error	76	14609,43	192		
C. Total	79	517024,48			

Tabla 171A. Analysis of Variance Oneway Anova, stem fresh weight (mg) of *Lycopersicon esculentum* Mill, Days 28, salicylic acid, 2,5 mS of electrical conductivity, *in vitro*

Source	DF	Sum of Squares	Mean Square	F Ratio	Prob > F
Treatments	3	278559,37	92853,1	181,0810	<,0001*
Error	76	38970,61	512,8		
C. Total	79	317529,98			

Tabla 172A. Analysis of Variance Oneway Anova, roots fresh weight (mg) of *Lycopersicon esculentum* Mill, Days 28, salicylic acid, 2,5 mS of electrical conductivity, *in vitro*

Source	DF	Sum of Squares	Mean Square	F Ratio	Prob > F
Treatments	3	205737,17	68579,1	2216,078	<,0001*
Error	76	2351,91	30,9		
C. Total	79	208089,08			

Tabla 173A. Analysis of Variance Oneway Anova, leaf dry weight (mg) of *Lycopersicon esculentum* Mill, Days 28, salicylic acid, 2,5 mS of electrical conductivity, *in vitro*

Source	DF	Sum of Squares	Mean Square	F Ratio	Prob > F
Treatments	3	10730,066	3576,69	214,1014	<,0001*
Error	76	1269,624	16,71		
C. Total	79	11999,690			

Tabla 174A. Analysis of Variance Oneway Anova, stem dry weight (mg) of *Lycopersicon esculentum* Mill, Days 28, salicylic acid, 2,5 mS of electrical conductivity, *in vitro*

Source	DF	Sum of Squares	Mean Square	F Ratio	Prob > F
Treatments	3	2862,9259	954,309	108,8777	<,0001*
Error	76	666,1371	8,765		
C. Total	79	3529,0630			

Tabla 175A. Analysis of Variance Oneway Anova, roots dry weight (mg) of *Lycopersicon esculentum* Mill, Days 28, salicylic acid, 2,5 mS of electrical conductivity, *in vitro*

Source	DF	Sum of Squares	Mean Square	F Ratio	Prob > F
Treatments	3	4543,8431	1514,61	302,9379	<,0001*
Error	76	379,9812	5,00		
C. Total	79	4923,8243			

Tabla 176A. Analysis of Variance Oneway Anova, Length. Stem (mm) of *Lycopersicon esculentum* Mill, Days 7, salicylic acid, 5 mS of electrical conductivity, *in vitro*

Source	DF	Sum of Squares	Mean Square	F Ratio	Prob > F
Treatments	3	1508,3000	502,767	243,8434	<,0001*
Error	76	156,7000	2,062		
C. Total	79	1665,0000			

Tabla 177A. Analysis of Variance Oneway Anova, Length. Stem (mm) of *Lycopersicon esculentum* Mill, Days 14, salicylic acid, 5 mS of electrical conductivity, *in vitro*

Source	DF	Sum of Squares	Mean Square	F Ratio	Prob > F
Treatments	3	6224,4375	2074,81	1762,837	<,0001*
Error	76	89,4500	1,18		
C. Total	79	6313,8875			

Tabla 178A. Analysis of Variance Oneway Anova, Length. Stem (mm) of *Lycopersicon esculentum* Mill, Days 21, salicylic acid, 5 mS of electrical conductivity, *in vitro*

Source	DF	Sum of Squares	Mean Square	F Ratio	Prob > F
Treatments	3	7396,9375	2465,65	1755,401	<,0001*
Error	76	106,7500	1,40		
C. Total	79	7503,6875			

Tabla 179A. Analysis of Variance Oneway Anova, Length. Stem (mm) of *Lycopersicon esculentum* Mill, Days 28, salicylic acid, 5 mS of electrical conductivity, *in vitro*

Source	DF	Sum of Squares	Mean Square	F Ratio	Prob > F
Treatments	3	14506,450	4835,48	630,2465	<,0001*
Error	76	583,100	7,67		
C. Total	79	15089,550			

Tabla 180A. Analysis of Variance Oneway Anova, Length roots (mm) of *Lycopersicon esculentum* Mill, Days 7, salicylic acid, 5 mS of electrical conductivity, *in vitro*

Source	DF	Sum of Squares	Mean Square	F Ratio	Prob > F
Treatments	3	1744,9500	581,650	1277,613	<,0001*
Error	76	34,6000	0,455		
C. Total	79	1779,5500			

Tabla 181A. Analysis of Variance Oneway Anova, Length. Roots (mm) of *Lycopersicon esculentum* Mill, Days 14, salicylic acid, 5 mS of electrical conductivity, *in vitro*

Source	DF	Sum of Squares	Mean Square	F Ratio	Prob > F
Treatments	3	3904,2500	1301,42	1603,042	<,0001*
Error	76	61,7000	0,81		
C. Total	79	3965,9500			

Tabla 182A. Analysis of Variance Oneway Anova, Length roots (mm) of *Lycopersicon esculentum* Mill, Days 21, salicylic acid, 5 mS of electrical conductivity, *in vitro*

Source	DF	Sum of Squares	Mean Square	F Ratio	Prob > F
Treatments	3	6395,6375	2131,88	1674,654	<,0001*
Error	76	96,7500	1,27		
C. Total	79	6492,3875			

Tabla 183A. Analysis of Variance Oneway Anova, Length roots (mm) of *Lycopersicon esculentum* Mill, Days 28, salicylic acid, 5 mS of electrical conductivity, *in vitro*

Source	DF	Sum of Squares	Mean Square	F Ratio	Prob > F
Treatments	3	6196,6375	2065,55	967,5284	<,0001*
Error	76	162,2500	2,13		
C. Total	79	6358,8875			

Tabla 184A. Analysis of Variance Oneway Anova, N° Leaves of *Lycopersicon esculentum* Mill, Days 7, salicylic acid, 5 mS of electrical conductivity, *in vitro*

Source	DF	Sum of Squares	Mean Square	F Ratio	Prob > F
Treatments	3	5,837500	1,94583	12,6938	<,0001*
Error	76	11,650000	0,15329		
C. Total	79	17,487500			

Tabla 185A. Analysis of Variance Oneway Anova, N° Leaves of *Lycopersicon esculentum* Mill, Days 14, salicylic acid, 5 mS of electrical conductivity, *in vitro*

Source	DF	Sum of Squares	Mean Square	F Ratio	Prob > F
Treatments	3	11,850000	3,95000	27,5413	<,0001*
Error	76	10,900000	0,14342		
C. Total	79	22,750000			

Tabla 186A. Analysis of Variance Oneway Anova, N° Leaves of *Lycopersicon esculentum* Mill, Days 21, salicylic acid, 5 mS of electrical conductivity, *in vitro*

Source	DF	Sum of Squares	Mean Square	F Ratio	Prob > F
Treatments	3	43,037500	14,3458	220,2593	<,0001*
Error	76	4,950000	0,0651		
C. Total	79	47,987500			

Tabla 187A. Analysis of Variance Oneway Anova, N° Leaves of *Lycopersicon esculentum* Mill, Days 28, salicylic acid, 5 mS of electrical conductivity, *in vitro*

Source	DF	Sum of Squares	Mean Square	F Ratio	Prob > F
Treatments	3	42,050000	14,0167	107,6027	<,0001*
Error	76	9,900000	0,1303		
C. Total	79	51,950000			

Tabla 188A. Analysis of Variance Oneway Anova, Clorophyll (U. SPAD) of *Lycopersicon esculentum* Mill, Days 28, salicylic acid, 5 mS of electrical conductivity, *in vitro*

Source	DF	Sum of Squares	Mean Square	F Ratio	Prob > F
Treatments	3	7843,0583	2614,35	3540,387	<,0001*
Error	76	56,1212	0,74		
C. Total	79	7899,1796			

Tabla 189A. Analysis of Variance Oneway Anova, Leaf area (mm²) of *Lycopersicon esculentum* Mill, Days 28, salicylic acid, 5 mS of electrical conductivity, *in vitro*

Source	DF	Sum of Squares	Mean Square	F Ratio	Prob > F
Treatments	3	19550423	6516808	3567,727	<,0001*
Error	76	138822	1827		
C. Total	79	19689244			

Tabla 190A. Analysis of Variance Oneway Anova, leaf fresh weight (mg) of *Lycopersicon esculentum* Mill, Days 28, salicylic acid, 5 mS of electrical conductivity, *in vitro*

Source	DF	Sum of Squares	Mean Square	F Ratio	Prob > F
Treatments	3	504621,97	168207	488,6410	<,0001*
Error	76	26161,86	344		
C. Total	79	530783,83			

Tabla 191A. Analysis of Variance Oneway Anova, stem fresh weight (mg) of *Lycopersicon esculentum* Mill, Days 28, salicylic acid, 5 mS of electrical conductivity, *in vitro*

Source	DF	Sum of Squares	Mean Square	F Ratio	Prob > F
Treatments	3	192979,31	64326,4	696,3178	<,0001*
Error	76	7020,95	92,4		
C. Total	79	200000,26			

Tabla 192A. Analysis of Variance Oneway Anova, roots fresh weight (mg) of *Lycopersicon esculentum* Mill, Days 28, salicylic acid, 5 mS of electrical conductivity, *in vitro*

Source	DF	Sum of Squares	Mean Square	F Ratio	Prob > F
Treatments	3	170611,94	56870,6	1077,453	<,0001*
Error	76	4011,47	52,8		
C. Total	79	174623,41			

Tabla 193A. Analysis of Variance Oneway Anova, leaf dry weight (mg) of *Lycopersicon esculentum* Mill, Days 28, salicylic acid, 5 mS of electrical conductivity, *in vitro*

Source	DF	Sum of Squares	Mean Square	F Ratio	Prob > F
Treatments	3	5842,4636	1947,49	313,2355	<,0001*
Error	76	472,5169	6,22		
C. Total	79	6314,9805			

Tabla 194A. Analysis of Variance Oneway Anova, stem dry weight (mg) of *Lycopersicon esculentum* Mill, Days 28, salicylic acid, 5 mS of electrical conductivity, *in vitro*

Source	DF	Sum of Squares	Mean Square	F Ratio	Prob > F
Treatments	3	2724,0525	908,018	115,9067	<,0001*
Error	76	595,3870	7,834		
C. Total	79	3319,4395			

Tabla 195A. Analysis of Variance Oneway Anova, stem dry weight (mg) of *Lycopersicon esculentum* Mill, Days 28, salicylic acid, 5 mS of electrical conductivity, *in vitro*

Source	DF	Sum of Squares	Mean Square	F Ratio	Prob > F
Treatments	3	4488,2503	1496,08	235,4702	<,0001*
Error	76	482,8736	6,35		
C. Total	79	4971,1239			

Tabla 196A. Analysis of Variance Oneway Anova, Length. Stem (mm) of *Lycopersicon esculentum* Mill, Days 7, salicylic acid, 7,5 mS of electrical conductivity, *in vitro*

Source	DF	Sum of Squares	Mean Square	F Ratio	Prob > F
Treatments	3	2743,8375	914,613	692,6811	<,0001*
Error	76	100,3500	1,320		
C. Total	79	2844,1875			

Tabla 197A. Analysis of Variance Oneway Anova, Length. Stem (mm) of *Lycopersicon esculentum* Mill, Days 14, salicylic acid, 7,5 mS of electrical conductivity, *in vitro*

Source	DF	Sum of Squares	Mean Square	F Ratio	Prob > F
Treatments	3	10113,938	3371,31	3103,813	<,0001*
Error	76	82,550	1,09		
C. Total	79	10196,488			

Tabla 198A. Analysis of Variance Oneway Anova, Length. Stem (mm) of *Lycopersicon esculentum* Mill, Days 21, salicylic acid, 7,5 mS of electrical conductivity, *in vitro*

Source	DF	Sum of Squares	Mean Square	F Ratio	Prob > F
Treatments	3	28091,700	9363,90	13351,90	<,0001*
Error	76	53,300	0,70		
C. Total	79	28145,000			

Tabla 199A. Analysis of Variance Oneway Anova, Length. Stem (mm) of *Lycopersicon esculentum* Mill, Days 28, salicylic acid, 7,5 mS of electrical conductivity, *in vitro*

Source	DF	Sum of Squares	Mean Square	F Ratio	Prob > F
Treatments	3	48402,738	16134,2	2911,558	<,0001*
Error	76	421,150	5,5		
C. Total	79	48823,888			

Tabla 200A. Analysis of Variance Oneway Anova, Length roots (mm) of *Lycopersicon esculentum* Mill, Days 7, salicylic acid, 7,5 mS of electrical conductivity, *in vitro*

Source	DF	Sum of Squares	Mean Square	F Ratio	Prob > F
Treatments	3	6766,6000	2255,53	4243,083	<,0001*
Error	76	40,4000	0,53		
C. Total	79	6807,0000			

Tabla 201A. Analysis of Variance Oneway Anova, Length roots (mm) of *Lycopersicon esculentum* Mill, Days 14, salicylic acid, 7,5 mS of electrical conductivity, *in vitro*

Source	DF	Sum of Squares	Mean Square	F Ratio	Prob > F
Treatments	3	11422,450	3807,48	6652,155	<,0001*
Error	76	43,500	0,57		
C. Total	79	11465,950			

Tabla 202A. Analysis of Variance Oneway Anova, Length roots (mm) of *Lycopersicon esculentum* Mill, Days 21, salicylic acid, 7,5 mS of electrical conductivity, *in vitro*

Source	DF	Sum of Squares	Mean Square	F Ratio	Prob > F
Treatments	3	23463,300	7821,10	7957,210	<,0001*
Error	76	74,700	0,98		
C. Total	79	38949,388			

Tabla 203A. Analysis of Variance Oneway Anova, Length roots (mm) of *Lycopersicon esculentum* Mill, Days 28, salicylic acid, 7,5 mS of electrical conductivity, *in vitro*

Source	DF	Sum of Squares	Mean Square	F Ratio	Prob > F
Treatments	3	38845,638	12948,5	9485,200	<,0001*
Error	76	103,750	1,4		
C. Total	79	38949,388			

Tabla 204A. Analysis of Variance Oneway Anova, N° Leaves of *Lycopersicon esculentum* Mill, Days 7, salicylic acid, 7,5 mS of electrical conductivity, *in vitro*

Source	DF	Sum of Squares	Mean Square	F Ratio	Prob > F
Treatments	3	41,650000	13,8833	148,6103	<,0001*
Error	76	7,100000	0,0934		
C. Total	79	48,750000			

Tabla 205A. Analysis of Variance Oneway Anova, N° Leaves of *Lycopersicon esculentum* Mill, Days 14, salicylic acid, 7,5 mS of electrical conductivity, *in vitro*

Source	DF	Sum of Squares	Mean Square	F Ratio	Prob > F
Treatments	3	79,600000	26,5333	219,1884	<,0001*
Error	76	9,200000	0,1211		
C. Total	79	88,800000			

Tabla 206A. Analysis of Variance Oneway Anova, N° Leaves of *Lycopersicon esculentum* Mill, Days 21, salicylic acid, 7,5 mS of electrical conductivity, *in vitro*

Source	DF	Sum of Squares	Mean Square	F Ratio	Prob > F
Treatments	3	158,55000	52,8500	329,2295	<,0001*
Error	76	12,20000	0,1605		
C. Total	79	170,75000			

Tabla 207A. Analysis of Variance Oneway Anova, N° Leaves of *Lycopersicon esculentum* Mill, Days 28, salicylic acid, 7,5 mS of electrical conductivity, *in vitro*

Source	DF	Sum of Squares	Mean Square	F Ratio	Prob > F
Treatments	3	259,33750	86,4458	568,8211	<,0001*
Error	76	11,55000	0,1520		
C. Total	79	270,88750			

Tabla 208A. Analysis of Variance Oneway Anova, Clorophyll (U. SPAD) of *Lycopersicon esculentum* Mill, Days 28, salicylic acid, 7,5 mS of electrical conductivity, *in vitro*

Source	DF	Sum of Squares	Mean Square	F Ratio	Prob > F
Treatments	3	10064,130	3354,71	8024,612	<,0001*
Error	76	31,772	0,42		
C. Total	79	10095,902			

Tabla 209A. Analysis of Variance Oneway Anova, Leaf area (mm²) of *Lycopersicon esculentum* Mill, Days 28, salicylic acid, 7,5 mS of electrical conductivity, *in vitro*

Source	DF	Sum of Squares	Mean Square	F Ratio	Prob > F
Treatments	3	19376263	6458754	1675,256	<,0001*
Error	76	293009	3855		
C. Total	79	19669272			

Tabla 210A. Analysis of Variance Oneway Anova, leaf fresh weight (mg) of *Lycopersicon esculentum* Mill, Days 28, salicylic acid, 7,5 mS of electrical conductivity, *in vitro*

Source	DF	Sum of Squares	Mean Square	F Ratio	Prob > F
Treatments	3	789004,95	263002	6224,138	<,0001*
Error	76	3211,39	42		
C. Total	79	792216,34			

Tabla 211A. Analysis of Variance Oneway Anova, stem fresh weight (mg) of *Lycopersicon esculentum* Mill, Days 28, salicylic acid, 7,5 mS of electrical conductivity, *in vitro*

Source	DF	Sum of Squares	Mean Square	F Ratio	Prob > F
Treatments	3	429218,25	143073	2430,204	<,0001*
Error	76	4474,33	59		
C. Total	79	433692,58			

Tabla 212A. Analysis of Variance Oneway Anova, roots fresh weight (mg) of *Lycopersicon esculentum* Mill, Days 28, salicylic acid, 7,5 mS of electrical conductivity, *in vitro*

Source	DF	Sum of Squares	Mean Square	F Ratio	Prob > F
Treatments	3	112334,37	37444,8	1234,366	<,0001*
Error	76	2305,48	30,3		
C. Total	79	114639,85			

Tabla 213A. Analysis of Variance Oneway Anova, leaf dry weight (mg) of *Lycopersicon esculentum* Mill, Days 28, salicylic acid, 7,5 mS of electrical conductivity, *in vitro*

Source	DF	Sum of Squares	Mean Square	F Ratio	Prob > F
Treatments	3	7133,6450	2377,88	278,0793	<,0001*

Source	DF	Sum of Squares	Mean Square	F Ratio	Prob > F
Error	76	649,8830	8,55		
C. Total	79	7783,5280			

Tabla 214A. Analysis of Variance Oneway Anova, stem dry weight (mg) of *Lycopersicon esculentum* Mill, Days 28, salicylic acid, 7,5 mS of electrical conductivity, *in vitro*

Source	DF	Sum of Squares	Mean Square	F Ratio	Prob > F
Treatments	3	2934,9540	978,318	446,0345	<,0001*
Error	76	166,6960	2,193		
C. Total	79	3101,6500			

Tabla 215A. Analysis of Variance Oneway Anova, stem dry weight (mg) of *Lycopersicon esculentum* Mill, Days 28, salicylic acid, 7,5 mS of electrical conductivity, *in vitro*

Source	DF	Sum of Squares	Mean Square	F Ratio	Prob > F
Treatments	3	2353,8467	784,616	420,9182	<,0001*
Error	76	141,6684	1,864		
C. Total	79	2495,5151			

Anexo 2. Análisis de la variancia Oneway ANOVA de las variables estudiadas por efecto del ácido salicílico en berenjena cultivada *in vitro* en 2,5, 5 y 7,5 mS de salinidad.

Tabla 216A. Analysis of Variance Oneway Anova, Length. Stem (mm) of *Solanum melongena* L, Days 7, salicylic acid, 2,5 mS of electrical conductivity, *in vitro*

Source	DF	Sum of Squares	Mean Square	F Ratio	Prob > F
Treatments	3	578,10000	192,700	215,0543	<,0001*
Error	76	68,10000	0,896		
C. Total	79	646,20000			

Tabla 217A. Analysis of Variance Oneway Anova, Length. Stem (mm) of *Solanum melongena* L, Days 14, salicylic acid, 2,5 mS of electrical conductivity, *in vitro*

Source	DF	Sum of Squares	Mean Square	F Ratio	Prob > F
Treatments	3	1894,7000	631,567	228,4582	<,0001*
Error	76	210,1000	2,764		
C. Total	79	2104,8000			

Tabla 218A. Analysis of Variance Oneway Anova, Length. Stem (mm) of *Solanum melongena* L, Days 21, salicylic acid, 2,5 mS of electrical conductivity, *in vitro*

Source	DF	Sum of Squares	Mean Square	F Ratio	Prob > F
Treatments	3	4383,4375	1461,15	272,2076	<,0001*
Error	76	407,9500	5,37		
C. Total	79	4791,3875			

Tabla 219A. Analysis of Variance Oneway Anova, Length. Stem (mm) of *Solanum melongena* L, Days 28, salicylic acid, 2,5 mS of electrical conductivity, *in vitro*

Source	DF	Sum of Squares	Mean Square	F Ratio	Prob > F
Treatments	3	6522,4000	2174,13	104,7244	<,0001*
Error	76	1577,8000	20,76		
C. Total	79	8100,2000			

Tabla 220A. Analysis of Variance Oneway Anova, Length roots (mm) of *Solanum melongena* L, Days 7, salicylic acid, 2,5 mS of electrical conductivity, *in vitro*

Source	DF	Sum of Squares	Mean Square	F Ratio	Prob > F
Treatments	3	2461,6375	820,546	758,1943	<,0001*
Error	76	82,2500	1,082		
C. Total	79	2543,8875			

Tabla 221A. Analysis of Variance Oneway Anova, Length roots (mm) of *Solanum melongena* L, Days 14, salicylic acid, 2,5 mS of electrical conductivity, *in vitro*

Source	DF	Sum of Squares	Mean Square	F Ratio	Prob > F
Treatments	3	2842,6500	947,550	189,8597	<,0001*
Error	76	379,3000	4,991		
C. Total	79	3221,9500			

Tabla 222A. Analysis of Variance Oneway Anova, Length roots (mm) of *Solanum melongena* L, Days 21, salicylic acid, 2,5 mS of electrical conductivity, *in vitro*

Source	DF	Sum of Squares	Mean Square	F Ratio	Prob > F
Treatments	3	4181,2375	1393,75	999,7611	<,0001*
Error	76	105,9500	1,39		
C. Total	79	4287,1875			

Tabla 223A. Analysis of Variance Oneway Anova, Length roots (mm) of *Solanum melongena* L, Days 28, salicylic acid, 2,5 mS of electrical conductivity, *in vitro*

Source	DF	Sum of Squares	Mean Square	F Ratio	Prob > F
Treatments	3	6141,3500	2047,12	41,1786	<,0001*
Error	76	3778,2000	49,71		
C. Total	79	9919,5500			

Tabla 224A. Analysis of Variance Oneway Anova, N° Leaves of *Solanum melongena* L, Days 7, salicylic acid, 2,5 mS of electrical conductivity, *in vitro*

Source	DF	Sum of Squares	Mean Square	F Ratio	Prob > F
Treatments	3	9,637500	3,21250	36,1704	<,0001*
Error	76	6,750000	0,08882		
C. Total	79	16,387500			

Tabla 225A. Analysis of Variance Oneway Anova, N° Leaves of *Solanum melongena* L, Days 14, salicylic acid, 2,5 mS of electrical conductivity, *in vitro*

Source	DF	Sum of Squares	Mean Square	F Ratio	Prob > F
Treatments	3	34,237500	11,4125	52,7264	<,0001*
Error	76	16,450000	0,2164		
C. Total	79	50,687500			

Tabla 226A. Analysis of Variance Oneway Anova, N° Leaves of *Solanum melongena* L, Days 21, salicylic acid, 2,5 mS of electrical conductivity, *in vitro*

Source	DF	Sum of Squares	Mean Square	F Ratio	Prob > F
Treatments	3	39,050000	13,0167	55,8908	<,0001*
Error	76	17,700000	0,2329		
C. Total	79	56,750000			

Tabla 227A. Analysis of Variance Oneway Anova, N° Leaves of *Solanum melongena* L, Days 28, salicylic acid, 2,5 mS of electrical conductivity, *in vitro*

Source	DF	Sum of Squares	Mean Square	F Ratio	Prob > F
Treatments	3	74,60000	24,8667	50,5312	<,0001*
Error	76	37,40000	0,4921		
C. Total	79	112,00000			

Tabla 228A. Analysis of Variance Oneway Anova, Clorophyll (U. SPAD of *Solanum melongena* L, Days 28, salicylic acid, 2,5 mS of electrical conductivity, *in vitro*

Source	DF	Sum of Squares	Mean Square	F Ratio	Prob > F
Treatments	3	877,6894	292,563	67,4564	<,0001*
Error	76	329,6175	4,337		
C. Total	79	1207,3069			

Tabla 229A. Analysis of Variance Oneway Anova, Leaf area (mm²) of *Solanum melongena* L, Days 28, salicylic acid, 2,5 mS of electrical conductivity, *in vitro*

Source	DF	Sum of Squares	Mean Square	F Ratio	Prob > F
Treatments	3	10319583	3439861	184,9901	<,0001*
Error	76	1413208	18595		
C. Total	79	11732790			

Tabla 230A. Analysis of Variance Oneway Anova, leaf fresh weight (mg) of *Solanum melongena* L, Days 28, salicylic acid, 2,5 mS of electrical conductivity, *in vitro*

Source	DF	Sum of Squares	Mean Square	F Ratio	Prob > F
Treatments	3	469583,70	156528	209,9811	<,0001*
Error	76	56653,30	745		
C. Total	79	526237,00			

Tabla 231A. Analysis of Variance Oneway Anova, stem fresh weight (mg) of *Solanum melongena* L, Days 28, salicylic acid, 2,5 mS of electrical conductivity, *in vitro*

Source	DF	Sum of Squares	Mean Square	F Ratio	Prob > F
Treatments	3	83729,663	27909,9	871,1291	<,0001*
Error	76	2434,945	32,0		
C. Total	79	86164,608			

Tabla 232A. Analysis of Variance Oneway Anova, roots fresh weight (mg) of *Solanum melongena* L, Days 28, salicylic acid, 2,5 mS of electrical conductivity, *in vitro*

Source	DF	Sum of Squares	Mean Square	F Ratio	Prob > F
Treatments	3	95231,578	31743,9	1177,699	<,0001*
Error	76	2048,514	27,0		
C. Total	79	97280,092			

Tabla 233A. Analysis of Variance Oneway Anova, leaf dry weight (mg) of *Solanum melongena* L, Days 28, salicylic acid, 2,5 mS of electrical conductivity, *in vitro*

Source	DF	Sum of Squares	Mean Square	F Ratio	Prob > F
Treatments	3	3563,8046	1187,93	200,1152	<,0001*
Error	76	451,1554	5,94		
C. Total	79	4014,9600			

Tabla 234A. Analysis of Variance Oneway Anova, stem dry weight (mg) of *Solanum melongena* L, Days 28, salicylic acid, 2,5 mS of electrical conductivity, *in vitro*

Source	DF	Sum of Squares	Mean Square	F Ratio	Prob > F
Treatments	3	2682,3303	894,110	21,6852	<,0001*
Error	76	3133,5864	41,231		
C. Total	79	5815,9167			

Tabla 235A. Analysis of Variance Oneway Anova, leaf dry weight (mg) of *Solanum melongena* L, Days 28, salicylic acid, 2,5 mS of electrical conductivity, *in vitro*

Source	DF	Sum of Squares	Mean Square	F Ratio	Prob > F
Treatments	3	1683,4074	561,136	208,9364	<,0001*
Error	76	204,1115	2,686		
C. Total	79	1887,5189			

Tabla 236A. Analysis of Variance Oneway Anova, Length. Stem (mm) of *Solanum melongena* L, Days 7, salicylic acid, 5 mS of electrical conductivity, *in vitro*

Source	DF	Sum of Squares	Mean Square	F Ratio	Prob > F
Treatments	3	578,10000	192,700	215,0543	<,0001*
Error	76	68,10000	0,896		
C. Total	79	646,20000			

Tabla 237A. Analysis of Variance Oneway Anova, Length. Stem (mm) of *Solanum melongena* L, Days 14, salicylic acid, 5 mS of electrical conductivity, *in vitro*

Source	DF	Sum of Squares	Mean Square	F Ratio	Prob > F
Treatments	3	1894,7000	631,567	228,4582	<,0001*
Error	76	210,1000	2,764		
C. Total	79	2104,8000			

Tabla 238A. Analysis of Variance Oneway Anova, Length. Stem (mm) of *Solanum melongena* L, Days 21, salicylic acid, 5 mS of electrical conductivity, *in vitro*

Source	DF	Sum of Squares	Mean Square	F Ratio	Prob > F
Treatments	3	4383,4375	1461,15	272,2076	<,0001*
Error	76	407,9500	5,37		
C. Total	79	4791,3875			

Tabla 239A. Analysis of Variance Oneway Anova, Length. Stem (mm) of *Solanum melongena* L, Days 28, salicylic acid, 5 mS of electrical conductivity, *in vitro*

Source	DF	Sum of Squares	Mean Square	F Ratio	Prob > F
Treatments	3	6522,4000	2174,13	104,7244	<,0001*
Error	76	1577,8000	20,76		
C. Total	79	8100,2000			

Tabla 240A. Analysis of Variance Oneway Anova, Length. Roots (mm) of *Solanum melongena* L, Days 7, salicylic acid, 5 mS of electrical conductivity, *in vitro*

Source	DF	Sum of Squares	Mean Square	F Ratio	Prob > F
Treatments	3	2461,6375	820,546	758,1943	<,0001*
Error	76	82,2500	1,082		
C. Total	79	2543,8875			

Tabla 241A. Analysis of Variance Oneway Anova, Length. Roots (mm) of *Solanum melongena* L, Days 14, salicylic acid, 5 mS of electrical conductivity, *in vitro*

Source	DF	Sum of Squares	Mean Square	F Ratio	Prob > F
Treatments	3	2842,6500	947,550	189,8597	<,0001*
Error	76	379,3000	4,991		
C. Total	79	3221,9500			

Tabla 242A. Analysis of Variance Oneway Anova, Length. Roots (mm) of *Solanum melongena* L, Days 21, salicylic acid, 5 mS of electrical conductivity, *in vitro*

Source	DF	Sum of Squares	Mean Square	F Ratio	Prob > F
Treatments	3	4181,2375	1393,75	999,7611	<,0001*
Error	76	105,9500	1,39		
C. Total	79	4287,1875			

Tabla 243A. Analysis of Variance Oneway Anova, Length. Roots (mm) of *Solanum melongena* L, Days 28, salicylic acid, 5 mS of electrical conductivity, *in vitro*

Source	DF	Sum of Squares	Mean Square	F Ratio	Prob > F
Treatments	3	6141,3500	2047,12	41,1786	<,0001*
Error	76	3778,2000	49,71		
C. Total	79	9919,5500			

Tabla 244A. Analysis of Variance Oneway Anova, N° Leaves of *Solanum melongena* L, Days 7, salicylic acid, 5 mS of electrical conductivity, *in vitro*

Source	DF	Sum of Squares	Mean Square	F Ratio	Prob > F
Treatments	3	9,637500	3,21250	36,1704	<,0001*
Error	76	6,750000	0,08882		
C. Total	79	16,387500			

Tabla 245A. Analysis of Variance Oneway Anova, N° Leaves of *Solanum melongena* L, Days 14, salicylic acid, 5 mS of electrical conductivity, *in vitro*

Source	DF	Sum of Squares	Mean Square	F Ratio	Prob > F
Treatments	3	34,237500	11,4125	52,7264	<,0001*
Error	76	16,450000	0,2164		
C. Total	79	50,687500			

Tabla 246A. Analysis of Variance Oneway Anova, N° Leaves of *Solanum melongena* L, Days 21, salicylic acid, 5 mS of electrical conductivity, *in vitro*

Source	DF	Sum of Squares	Mean Square	F Ratio	Prob > F
Treatments	3	39,050000	13,0167	55,8908	<,0001*
Error	76	17,700000	0,2329		
C. Total	79	56,750000			

Tabla 247A. Analysis of Variance Oneway Anova, N° Leaves of *Solanum melongena* L, Days 28, salicylic acid, 5 mS of electrical conductivity, *in vitro*

Source	DF	Sum of Squares	Mean Square	F Ratio	Prob > F
Treatments	3	74,60000	24,8667	50,5312	<,0001*
Error	76	37,40000	0,4921		
C. Total	79	112,00000			

Tabla 248A. Analysis of Variance Oneway Anova, Leaf area (mm²) of *Solanum melongena* L, Days 28, salicylic acid, 5 mS of electrical conductivity, *in vitro*

Source	DF	Sum of Squares	Mean Square	F Ratio	Prob > F
Treatments	3	7318551,2	2439517	690,8183	<,0001*
Error	76	268382,1	3531		
C. Total	79	7586933,4			

Tabla 249A. Analysis of Variance Oneway Anova, Clorophyll (U. SPAD) of *Solanum melongena* L, Days 28, salicylic acid, 5 mS of electrical conductivity, *in vitro*

Source	DF	Sum of Squares	Mean Square	F Ratio	Prob > F
Treatments	3	1407,7410	469,247	165,9374	<,0001*
Error	76	214,9170	2,828		
C. Total	79	1622,6580			

Tabla 250A. Analysis of Variance Oneway Anova, leaf fresh weight (mg) of *Solanum melongena* L, Days 28, salicylic acid, 5 mS of electrical conductivity, *in vitro*

Source	DF	Sum of Squares	Mean Square	F Ratio	Prob > F
Treatments	3	472981,63	157661	370,3554	<,0001*
Error	76	32353,25	426		
C. Total	79	505334,88			

Tabla 251A. Analysis of Variance Oneway Anova, stem fresh weight (mg) of *Solanum melongena* L, Days 28, salicylic acid, 5 mS of electrical conductivity, *in vitro*

Source	DF	Sum of Squares	Mean Square	F Ratio	Prob > F
Treatments	3	75419,967	25140,0	1443,259	<,0001*
Error	76	1323,837	17,4		
C. Total	79	76743,804			

Tabla 252A. Analysis of Variance Oneway Anova, roots fresh weight (mg) of *Solanum melongena* L, Days 28, salicylic acid, 5 mS of electrical conductivity, *in vitro*

Source	DF	Sum of Squares	Mean Square	F Ratio	Prob > F
Treatments	3	72690,027	24230,0	804,4530	<,0001*
Error	76	2289,109	30,1		
C. Total	79	74979,136			

Tabla 253A. Analysis of Variance Oneway Anova, leaf dry weight (mg) of *Solanum melongena* L, Days 28, salicylic acid, 5 mS of electrical conductivity, *in vitro*

Source	DF	Sum of Squares	Mean Square	F Ratio	Prob > F
Treatments	3	3896,2604	1298,75	389,3107	<,0001*
Error	76	253,5385	3,34		
C. Total	79	4149,7989			

Tabla 254A. Analysis of Variance Oneway Anova, stem dry weight (mg) of *Solanum melongena* L, Days 28, salicylic acid, 5 mS of electrical conductivity, *in vitro*

Source	DF	Sum of Squares	Mean Square	F Ratio	Prob > F
Treatments	3	2399,4670	799,822	722,1443	<,0001*
Error	76	84,1750	1,108		
C. Total	79	2483,6420			

Tabla 255A. Analysis of Variance Oneway Anova, stem dry weight (mg) of *Solanum melongena* L, Days 28, salicylic acid, 5 mS of electrical conductivity, *in vitro*

Source	DF	Sum of Squares	Mean Square	F Ratio	Prob > F
Treatments	3	1426,1394	475,380	290,7978	<,0001*
Error	76	124,2405	1,635		
C. Total	79	1550,3799			

Tabla 256A. Analysis of Variance Oneway Anova, Length stem (mm) of *Solanum melongena* L, Days 7, salicylic acid, 7,5 mS of electrical conductivity, *in vitro*

Source	DF	Sum of Squares	Mean Square	F Ratio	Prob > F
Treatments	3	480,45000	160,150	224,1510	<,0001*
Error	76	54,30000	0,714		
C. Total	79	534,75000			

Tabla 257A. Analysis of Variance Oneway Anova, Length stem (mm) of *Solanum melongena* L, Days 14, salicylic acid, 7,5 mS of electrical conductivity, *in vitro*

Source	DF	Sum of Squares	Mean Square	F Ratio	Prob > F
Treatments	3	1008,8000	336,267	446,7879	<,0001*
Error	76	57,2000	0,753		
C. Total	79	1066,0000			

Tabla 258A. Analysis of Variance Oneway Anova, Length stem (mm) of *Solanum melongena* L, Days 21 salicylic acid, 7,5 mS of electrical conductivity, *in vitro*

Source	DF	Sum of Squares	Mean Square	F Ratio	Prob > F
Treatments	3	3913,6500	1304,55	797,6331	<,0001*
Error	76	124,3000	1,64		
C. Total	79	4037,9500			

Tabla 259A. Analysis of Variance Oneway Anova, Length stem (mm) of *Solanum melongena* L, Days 28, salicylic acid, 7,5 mS of electrical conductivity, *in vitro*

Source	DF	Sum of Squares	Mean Square	F Ratio	Prob > F
Treatments	3	6189,6500	2063,22	75,7400	<,0001*
Error	76	2070,3000	27,24		
C. Total	79	8259,9500			

Tabla 260A. Analysis of Variance Oneway Anova, Length roots (mm) of *Solanum melongena* L, Days 7, salicylic acid, 7,5 mS of electrical conductivity, *in vitro*

Source	DF	Sum of Squares	Mean Square	F Ratio	Prob > F
Treatments	3	1050,0500	350,017	784,6981	<,0001*
Error	76	33,9000	0,446		
C. Total	79	1083,9500			

Tabla 261A. Analysis of Variance Oneway Anova, Length roots (mm) of *Solanum melongena* L, Days 14, salicylic acid, 7,5 mS of electrical conductivity, *in vitro*

Source	DF	Sum of Squares	Mean Square	F Ratio	Prob > F
Treatments	3	1193,6375	397,879	867,6848	<,0001*
Error	76	34,8500	0,459		
C. Total	79	1228,4875			

Tabla 262A. Analysis of Variance Oneway Anova, Length roots (mm) of *Solanum melongena* L, Days 21, salicylic acid, 7,5 mS of electrical conductivity, *in vitro*

Source	DF	Sum of Squares	Mean Square	F Ratio	Prob > F
Treatments	3	3345,7000	1115,23	1799,527	<,0001*
Error	76	47,1000	0,62		
C. Total	79	3392,8000			

Tabla 263A. Analysis of Variance Oneway Anova, Length roots (mm) of *Solanum melongena* L, Days 28, salicylic acid, 7,5 mS of electrical conductivity, *in vitro*

Source	DF	Sum of Squares	Mean Square	F Ratio	Prob > F
Treatments	3	4955,7375	1651,91	143,2921	<,0001*
Error	76	876,1500	11,53		
C. Total	79	5831,8875			

Tabla 264A. Analysis of Variance Oneway Anova, N° Leaves of *Solanum melongena* L, Days 7, salicylic acid, 7,5 mS of electrical conductivity, *in vitro*

Source	DF	Sum of Squares	Mean Square	F Ratio	Prob > F
Treatments	3	0,3000000	0,100000	2,1714	0,0983
Error	76	3,5000000	0,046053		
C. Total	79	3,8000000			

Tabla 265A. Analysis of Variance Oneway Anova, N° Leaves of *Solanum melongena* L, Days 14, salicylic acid, 7,5 mS of electrical conductivity, *in vitro*

Source	DF	Sum of Squares	Mean Square	F Ratio	Prob > F
Treatments	3	16,150000	5,38333	61,9899	<,0001*
Error	76	6,600000	0,08684		
C. Total	79	22,750000			

Tabla 266A. Analysis of Variance Oneway Anova, N° Leaves of *Solanum melongena* L, Days 21, salicylic acid, 7,5 mS of electrical conductivity, *in vitro*

Source	DF	Sum of Squares	Mean Square	F Ratio	Prob > F
Treatments	3	31,837500	10,6125	57,0000	<,0001*
Error	76	14,150000	0,1862		
C. Total	79	45,987500			

Tabla 267A. Analysis of Variance Oneway Anova, N° Leaves of *Solanum melongena* L, Days 28, salicylic acid, 7,5 mS of electrical conductivity, *in vitro*

Source	DF	Sum of Squares	Mean Square	F Ratio	Prob > F
Treatments	3	61,637500	20,5458	113,5624	<,0001*
Error	76	13,750000	0,1809		
C. Total	79	75,387500			

Tabla 268A. Analysis of Variance Oneway Anova, Clorophyll (U. SPAD) of *Solanum melongena* L, Days 28, salicylic acid, 7,5 mS of electrical conductivity, *in vitro*

Source	DF	Sum of Squares	Mean Square	F Ratio	Prob > F
Treatments	3	1185,9136	395,305	181,3214	<,0001*
Error	76	165,6900	2,180		
C. Total	79	1351,6036			

Tabla 269A. Analysis of Variance Oneway Anova, Leaf area (mm²) of *Solanum melongena* L, Days 28, salicylic acid, 7,5 mS of electrical conductivity, *in vitro*

Source	DF	Sum of Squares	Mean Square	F Ratio	Prob > F
Treatments	3	2674785,3	891595	286,9217	<,0001*
Error	76	236166,3	3107		
C. Total	79	2910951,6			

Tabla 270A. Analysis of Variance Oneway Anova, leaf fresh weight (mg) of *Solanum melongena* L, Days 28, salicylic acid, 7,5 mS of electrical conductivity, *in vitro*

Source	DF	Sum of Squares	Mean Square	F Ratio	Prob > F
Treatments	3	359933,31	119978	331,4649	<,0001*
Error	76	27509,12	362		
C. Total	79	387442,43			

Tabla 271A. Analysis of Variance Oneway Anova, stem fresh weight (mg) of *Solanum melongena* L, Days 28, salicylic acid, 7,5 mS of electrical conductivity, *in vitro*

Source	DF	Sum of Squares	Mean Square	F Ratio	Prob > F
Treatments	3	73586,859	24529,0	911,5703	<,0001*
Error	76	2045,043	26,9		
C. Total	79	75631,902			

Tabla 272A. Analysis of Variance Oneway Anova, roots fresh weight (mg) of *Solanum melongena* L, Days 28, salicylic acid, 7,5 mS of electrical conductivity, *in vitro*

Source	DF	Sum of Squares	Mean Square	F Ratio	Prob > F
Treatments	3	46084,643	15361,5	796,0996	<,0001*
Error	76	1466,497	19,3		
C. Total	79	47551,140			

Tabla 273A. Analysis of Variance Oneway Anova, leaf dry weight (mg) of *Solanum melongena* L, Days 28, salicylic acid, 7,5 mS of electrical conductivity, *in vitro*

Source	DF	Sum of Squares	Mean Square	F Ratio	Prob > F
Treatments	3	2962,8790	987,626	745,5042	<,0001*
Error	76	100,6830	1,325		
C. Total	79	3063,5620			

Tabla 274A. Analysis of Variance Oneway Anova, stem dry weight (mg) of *Solanum melongena* L, Days 28, salicylic acid, 7,5 mS of electrical conductivity, *in vitro*

Source	DF	Sum of Squares	Mean Square	F Ratio	Prob > F
Treatments	3	1786,0654	595,355	96,8775	<,0001*
Error	76	467,0535	6,145		
C. Total	79	2253,1189			

Tabla 275A. Analysis of Variance Oneway Anova, roots dry weight (mg) of *Solanum melongena* L, Days 28, salicylic acid, 7,5 mS of electrical conductivity, *in vitro*

Source	DF	Sum of Squares	Mean Square	F Ratio	Prob > F
Treatments	3	1282,3920	427,464	242,3984	<,0001*
Error	76	134,0242	1,763		
C. Total	79	1416,4162			

Anexo 3. Análisis de la variancia Oneway ANOVA de las variables estudiadas por efecto del ácido salicílico en rábano cultivada *in vitro* en 2,5, 5 y 7,5 mS de salinidad.

Tabla 276A. Analysis of Variance Oneway Anova, Length. Stem (mm) of *Raphanus sativus* L, Days 7, salicylic acid, 2,5 mS of electrical conductivity, *in vitro*

Source	DF	Sum of Squares	Mean Square	F Ratio	Prob > F
Treatments	3	1590,6375	530,213	183,9587	<,0001*
Error	76	219,0500	2,882		
C. Total	79	1809,6875			

Tabla 277A. Analysis of Variance Oneway Anova, Length. Stem (mm) of *Raphanus sativus* L, Days 14, salicylic acid, 2,5 mS of electrical conductivity, *in vitro*

Source	DF	Sum of Squares	Mean Square	F Ratio	Prob > F
Treatments	3	1189,3500	396,450	120,2322	<,0001*
Error	76	250,6000	3,297		
C. Total	79	1439,9500			

Tabla 278A. Analysis of Variance Oneway Anova, Length. Stem (mm) of *Raphanus sativus* L, Days 21, salicylic acid, 2,5 mS of electrical conductivity, *in vitro*

Source	DF	Sum of Squares	Mean Square	F Ratio	Prob > F
Treatments	3	1825,6375	608,546	113,9852	<,0001*
Error	76	405,7500	5,339		
C. Total	79	2231,3875			

Tabla 279A. Analysis of Variance Oneway Anova, Length. Stem (mm) of *Raphanus sativus* L, Days 28, salicylic acid, 2,5 mS of electrical conductivity, *in vitro*

Source	DF	Sum of Squares	Mean Square	F Ratio	Prob > F
Treatments	3	1880,9000	626,967	48,4784	<,0001*
Error	76	982,9000	12,933		
C. Total	79	2863,8000			

Tabla 280A. Analysis of Variance Oneway Anova, Length roots (mm) of *Raphanus sativus* L, Days 7, salicylic acid, 2,5 mS of electrical conductivity, *in vitro*

Source	DF	Sum of Squares	Mean Square	F Ratio	Prob > F
Treatments	3	4147,1375	1382,38	546,1961	<,0001*
Error	76	192,3500	2,53		
C. Total	79	4339,4875			

Tabla 281A. Analysis of Variance Oneway Anova, Length roots (mm) of *Raphanus sativus* L, Days 14, salicylic acid, 2,5 mS of electrical conductivity, *in vitro*

Source	DF	Sum of Squares	Mean Square	F Ratio	Prob > F
Treatments	3	5586,9500	1862,32	756,8774	<,0001*
Error	76	187,0000	2,46		
C. Total	79	5773,9500			

Tabla 282A. Analysis of Variance Oneway Anova, Length roots (mm) of *Raphanus sativus* L, Days 21, salicylic acid, 2,5 mS of electrical conductivity, *in vitro*

Source	DF	Sum of Squares	Mean Square	F Ratio	Prob > F
Treatments	3	13033,038	4344,35	763,6644	<,0001*
Error	76	432,350	5,69		
C. Total	79	13465,387			

Tabla 283A. Analysis of Variance Oneway Anova, Length roots (mm) of *Raphanus sativus* L, Days 28, salicylic acid, 2,5 mS of electrical conductivity, *in vitro*

Source	DF	Sum of Squares	Mean Square	F Ratio	Prob > F
Treatments	3	18327,638	6109,21	302,9988	<,0001*
Error	76	1532,350	20,16		
C. Total	79	19859,988			

Tabla 284A. Analysis of Variance Oneway Anova, N° Leaves of *Raphanus sativus* L, Days 7, salicylic acid, 2,5 mS of electrical conductivity, *in vitro*

Source	DF	Sum of Squares	Mean Square	F Ratio	Prob > F
Treatments	3	7,337500	2,44583	9,5081	<,0001*
Error	76	19,550000	0,25724		
C. Total	79	26,887500			

Tabla 285A. Analysis of Variance Oneway Anova, N° Leaves of *Raphanus sativus* L, Days 14, salicylic acid, 2,5 mS of electrical conductivity, *in vitro*

Source	DF	Sum of Squares	Mean Square	F Ratio	Prob > F
Treatments	3	40,050000	13,3500	94,8224	<,0001*
Error	76	10,700000	0,1408		
C. Total	79	50,750000			

Tabla 286A. Analysis of Variance Oneway Anova, N° Leaves of *Raphanus sativus* L, Days 21, salicylic acid, 2,5 mS of electrical conductivity, *in vitro*

Source	DF	Sum of Squares	Mean Square	F Ratio	Prob > F
Treatments	3	51,700000	17,2333	113,8899	<,0001*
Error	76	11,500000	0,1513		
C. Total	79	63,200000			

Tabla 287A. Analysis of Variance Oneway Anova, N° Leaves of *Raphanus sativus* L, Days 28, salicylic acid, 2,5 mS of electrical conductivity, *in vitro*

Source	DF	Sum of Squares	Mean Square	F Ratio	Prob > F
Treatments	3	77,50000	25,8333	53,7900	<,0001*
Error	76	36,50000	0,4803		
C. Total	79	114,00000			

Tabla 288A. Analysis of Variance Oneway Anova, Chlorophyll (U. SPAD) of *Raphanus sativus* L, Days 28, salicylic acid, 2,5 mS of electrical conductivity, *in vitro*

Source	DF	Sum of Squares	Mean Square	F Ratio	Prob > F
Treatments	3	2774,1645	924,722	197,6262	<,0001*
Error	76	355,6150	4,679		
C. Total	79	3129,7795			

Tabla 289A. Analysis of Variance Oneway Anova, Leaf area (mm²) of *Raphanus sativus* L, Days 28, salicylic acid, 2,5 mS of electrical conductivity, *in vitro*

Source	DF	Sum of Squares	Mean Square	F Ratio	Prob > F
Treatments	3	14555323	4851774	168,5906	<,0001*
Error	76	2187162	28778		
C. Total	79	16742485			

Tabla 290A. Analysis of Variance Oneway Anova, leaf fresh weight (mg) of *Raphanus sativus* L, Days 28, salicylic acid, 2,5 mS of electrical conductivity, *in vitro*

Source	DF	Sum of Squares	Mean Square	F Ratio	Prob > F
Treatments	3	2859578,8	953193	1279,356	<,0001*
Error	76	56624,3	745		
C. Total	79	2916203,1			

Tabla 291A. Analysis of Variance Oneway Anova, stem fresh weight (mg) of *Raphanus sativus* L, Days 28, salicylic acid, 2,5 mS of electrical conductivity, *in vitro*

Source	DF	Sum of Squares	Mean Square	F Ratio	Prob > F
Treatments	3	93456,271	31152,1	493,6084	<,0001*
Error	76	4796,431	63,1		
C. Total	79	98252,702			

Tabla 292A. Analysis of Variance Oneway Anova, roots fresh weight (mg) of *Raphanus sativus* L, Days 28, salicylic acid, 2,5 mS of electrical conductivity, *in vitro*

Source	DF	Sum of Squares	Mean Square	F Ratio	Prob > F
Treatments	3	100683,24	33561,1	675,4020	<,0001*
Error	76	3776,48	49,7		
C. Total	79	104459,72			

Tabla 293A. Analysis of Variance Oneway Anova, leaf dry weight (mg) of *Raphanus sativus* L, Days 28, salicylic acid, 2,5 mS of electrical conductivity, *in vitro*

Source	DF	Sum of Squares	Mean Square	F Ratio	Prob > F
Treatments	3	27214,349	9071,45	330,9451	<,0001*
Error	76	2083,216	27,41		
C. Total	79	29297,565			

Tabla 294A. Analysis of Variance Oneway Anova, stem dry weight (mg) of *Raphanus sativus* L, Days 28, salicylic acid, 2,5 mS of electrical conductivity, *in vitro*

Source	DF	Sum of Squares	Mean Square	F Ratio	Prob > F
Treatments	3	2450,2284	816,743	101,0231	<,0001*
Error	76	614,4385	8,085		
C. Total	79	3064,6669			

Tabla 295A. Analysis of Variance Oneway Anova, roots dry weight (mg) of *Raphanus sativus* L, Days 28, salicylic acid, 5 mS of electrical conductivity, *in vitro*

Source	DF	Sum of Squares	Mean Square	F Ratio	Prob > F
Treatments	3	1849,1791	616,393	664,5578	<,0001*
Error	76	70,4918	0,928		
C. Total	79	1919,6708			

Tabla 296A. Analysis of Variance Oneway Anova, Length. Stem (mm) of *Raphanus sativus* L, Days 7, salicylic acid, 5 mS of electrical conductivity, *in vitro*

Source	DF	Sum of Squares	Mean Square	F Ratio	Prob > F
Treatments	3	1218,7000	406,233	257,0669	<,0001*
Error	76	120,1000	1,580		
C. Total	79	1338,8000			

Tabla 297A. Analysis of Variance Oneway Anova, Length. Stem (mm) of *Raphanus sativus* L, Days 14, salicylic acid, 5 mS of electrical conductivity, *in vitro*

Source	DF	Sum of Squares	Mean Square	F Ratio	Prob > F
Treatments	3	1398,6375	466,213	198,2218	<,0001*
Error	76	178,7500	2,352		
C. Total	79	1577,3875			

Tabla 298A. Analysis of Variance Oneway Anova, Length. Stem (mm) of *Raphanus sativus* L, Days21, salicylic acid, 5 mS of electrical conductivity, *in vitro*

Source	DF	Sum of Squares	Mean Square	F Ratio	Prob > F
Treatments	3	2008,8500	669,617	240,1645	<,0001*
Error	76	211,9000	2,788		
C. Total	79	2220,7500			

Tabla 299A. Analysis of Variance Oneway Anova, Length stem (mm) of *Raphanus sativus* L, Days 28, salicylic acid, 5 mS of electrical conductivity, *in vitro*

Source	DF	Sum of Squares	Mean Square	F Ratio	Prob > F
Treatments	3	3368,4375	1122,81	67,5670	<,0001*
Error	76	1262,9500	16,62		
C. Total	79	4631,3875			

Tabla 300A. Analysis of Variance Oneway Anova, Length roots (mm) of *Raphanus sativus* L, Days 7, salicylic acid, 5 mS of electrical conductivity, *in vitro*

Source	DF	Sum of Squares	Mean Square	F Ratio	Prob > F
Treatments	3	2632,0375	877,346	866,5144	<,0001*
Error	76	76,9500	1,012		
C. Total	79	2708,9875			

Tabla 301A. Analysis of Variance Oneway Anova, Length roots (mm) of *Raphanus sativus* L, Days 14, salicylic acid, 5 mS of electrical conductivity, *in vitro*

Source	DF	Sum of Squares	Mean Square	F Ratio	Prob > F
Treatments	3	5068,0375	1689,35	403,9336	<,0001*
Error	76	317,8500	4,18		
C. Total	79	5385,8875			

Tabla 302A. Analysis of Variance Oneway Anova, Length roots (mm) of *Raphanus sativus* L, Days 21, salicylic acid, 5 mS of electrical conductivity, *in vitro*

Source	DF	Sum of Squares	Mean Square	F Ratio	Prob > F
Treatments	3	11964,838	3988,28	781,1087	<,0001*
Error	76	388,050	5,11		
C. Total	79	12352,887			

Tabla 303A. Analysis of Variance Oneway Anova, Length roots (mm) of *Raphanus sativus* L, Days 28, salicylic acid, 5 mS of electrical conductivity, *in vitro*

Source	DF	Sum of Squares	Mean Square	F Ratio	Prob > F
Treatments	3	18316,900	6105,63	215,9978	<,0001*
Error	76	2148,300	28,27		
C. Total	79	20465,200			

Tabla 304A. Analysis of Variance Oneway Anova, N° Leaves of *Raphanus sativus* L, Days 7, salicylic acid, 5 mS of electrical conductivity, *in vitro*

Source	DF	Sum of Squares	Mean Square	F Ratio	Prob > F
Treatments	3	6,600000	2,20000	18,1739	<,0001*
Error	76	9,200000	0,12105		
C. Total	79	15,800000			

Tabla 305A. Analysis of Variance Oneway Anova, N° Leaves of *Raphanus sativus* L, Days 14, salicylic acid, 5 mS of electrical conductivity, *in vitro*

Source	DF	Sum of Squares	Mean Square	F Ratio	Prob > F
Treatments	3	21,300000	7,10000	31,9290	<,0001*
Error	76	16,900000	0,22237		
C. Total	79	38,200000			

Tabla 306A. Analysis of Variance Oneway Anova, N° Leaves of *Raphanus sativus* L, Days 21, salicylic acid, 5 mS of electrical conductivity, *in vitro*

Source	DF	Sum of Squares	Mean Square	F Ratio	Prob > F
Treatments	3	45,837500	15,2792	92,5272	<,0001*
Error	76	12,550000	0,1651		
C. Total	79	58,387500			

Tabla 307A. Analysis of Variance Oneway Anova, N° Leaves of *Raphanus sativus* L, Days 28, salicylic acid, 5 mS of electrical conductivity, *in vitro*

Source	DF	Sum of Squares	Mean Square	F Ratio	Prob > F
Treatments	3	58,337500	19,4458	77,5792	<,0001*
Error	76	19,050000	0,2507		
C. Total	79	77,387500			

Tabla 308A. Analysis of Variance Oneway Anova, Clorophyll (U. SPAD) of *Raphanus sativus* L, Days 28, salicylic acid, 5 mS of electrical conductivity, *in vitro*

Source	DF	Sum of Squares	Mean Square	F Ratio	Prob > F
Treatments	3	2378,0684	792,689	147,7054	<,0001*
Error	76	407,8685	5,367		
C. Total	79	2785,9369			

Tabla 309A. Analysis of Variance Oneway Anova, Leaf area (mm²) of *Raphanus sativus* L, Days 28, salicylic acid, 5 mS of electrical conductivity, *in vitro*

Source	DF	Sum of Squares	Mean Square	F Ratio	Prob > F
Treatments	3	15844388	5281463	345,7837	<,0001*
Error	76	1160816	15274		
C. Total	79	17005204			

Tabla 310A. Analysis of Variance Oneway Anova, leaf fresh weight (mg) of *Raphanus sativus* L, Days 28, salicylic acid, 5 mS of electrical conductivity, *in vitro*

Source	DF	Sum of Squares	Mean Square	F Ratio	Prob > F
Treatments	3	2599271,7	866424	1152,930	<,0001*
Error	76	57113,8	751		
C. Total	79	2656385,5			

Tabla 311A. Analysis of Variance Oneway Anova, stem fresh weight (mg) of *Raphanus sativus* L, Days 28, salicylic acid, 5 mS of electrical conductivity, *in vitro*

Source	DF	Sum of Squares	Mean Square	F Ratio	Prob > F
Treatments	3	73707,999	24569,3	451,9369	<,0001*
Error	76	4131,704	54,4		
C. Total	79	77839,702			

Tabla 312A. Analysis of Variance Oneway Anova, roots fresh weight (mg) of *Raphanus sativus* L, Days 28, salicylic acid, 5 mS of electrical conductivity, *in vitro*

Source	DF	Sum of Squares	Mean Square	F Ratio	Prob > F
Treatments	3	95048,115	31682,7	508,9906	<,0001*
Error	76	4730,707	62,2		
C. Total	79	99778,822			

Tabla 313A. Analysis of Variance Oneway Anova, leaf dry weight (mg) of *Raphanus sativus* L, Days 28, salicylic acid, 5 mS of electrical conductivity, *in vitro*

Source	DF	Sum of Squares	Mean Square	F Ratio	Prob > F
Treatments	3	18139,121	6046,37	482,8098	<,0001*
Error	76	951,771	12,52		
C. Total	79	19090,892			

Tabla 314A. Analysis of Variance Oneway Anova, stem dry weight (mg) of *Raphanus sativus* L, Days 28, salicylic acid, 5 mS of electrical conductivity, *in vitro*

Source	DF	Sum of Squares	Mean Square	F Ratio	Prob > F
Treatments	3	1760,2934	586,764	187,0546	<,0001*
Error	76	238,4015	3,137		
C. Total	79	1998,6949			

Tabla 315 A. Analysis of Variance Oneway Anova, roots dry weight (mg) of *Raphanus sativus* L, Days 28, salicylic acid, 5 mS of electrical conductivity, *in vitro*

Source	DF	Sum of Squares	Mean Square	F Ratio	Prob > F
Treatments	3	1197,8144	399,271	90,6664	<,0001*
Error	76	334,6845	4,404		
C. Total	79	1532,4989			

Tabla 316A. Analysis of Variance Oneway Anova, Length. Stem (mm) of *Raphanus sativus* L, Days 7, salicylic acid, 7,5 mS of electrical conductivity, *in vitro*

Source	DF	Sum of Squares	Mean Square	F Ratio	Prob > F
Treatments	3	1006,5000	335,500	588,8684	<,0001*
Error	76	43,3000	0,570		
C. Total	79	1049,8000			

Tabla 317A. Analysis of Variance Oneway Anova, Length. Stem (mm) of *Raphanus sativus* L, Days 14, salicylic acid, 7,5 mS of electrical conductivity, *in vitro*

Source	DF	Sum of Squares	Mean Square	F Ratio	Prob > F
Treatments	3	1049,2000	349,733	302,0424	<,0001*
Error	76	88,0000	1,158		
C. Total	79	1137,2000			

Tabla 318A. Analysis of Variance Oneway Anova, Length. Stem (mm) of *Raphanus sativus* L, Days 21, salicylic acid, 7,5 mS of electrical conductivity, *in vitro*

Source	DF	Sum of Squares	Mean Square	F Ratio	Prob > F
Treatments	3	1830,7375	610,246	316,6861	<,0001*
Error	76	146,4500	1,927		
C. Total	79	1977,1875			

Tabla 319A. Analysis of Variance Oneway Anova, Length. Stem (mm) of *Raphanus sativus* L, Days 28, salicylic acid, 7,5 mS of electrical conductivity, *in vitro*

Source	DF	Sum of Squares	Mean Square	F Ratio	Prob > F
Treatments	3	3496,0375	1165,35	117,3607	<,0001*
Error	76	754,6500	9,93		
C. Total	79	4250,6875			

Tabla 320A. Analysis of Variance Oneway Anova, Length. Roots (mm) of *Raphanus sativus* L, Days 7, salicylic acid, 7,5 mS of electrical conductivity, *in vitro*

Source	DF	Sum of Squares	Mean Square	F Ratio	Prob > F
Treatments	3	1462,3000	487,433	757,5651	<,0001*
Error	76	48,9000	0,643		
C. Total	79	1511,2000			

Tabla 321A. Analysis of Variance Oneway Anova, Length. Roots (mm) of *Raphanus sativus* L, Days 14, salicylic acid, 7,5 mS of electrical conductivity, *in vitro*

Source	DF	Sum of Squares	Mean Square	F Ratio	Prob > F
Treatments	3	3965,5000	1321,83	641,9127	<,0001*
Error	76	156,5000	2,06		
C. Total	79	4122,0000			

Tabla 322A. Analysis of Variance Oneway Anova, Length. Roots (mm) of *Raphanus sativus* L, Days 21, salicylic acid, 7,5 mS of electrical conductivity, *in vitro*

Source	DF	Sum of Squares	Mean Square	F Ratio	Prob > F
Treatments	3	9128,4500	3042,82	422,3819	<,0001*
Error	76	547,5000	7,20		
C. Total	79	9675,9500			

Tabla 323A. Analysis of Variance Oneway Anova, Length. Roots (mm) of *Raphanus sativus* L, Days 28, salicylic acid, 7,5 mS of electrical conductivity, *in vitro*

Source	DF	Sum of Squares	Mean Square	F Ratio	Prob > F
Treatments	3	20913,438	6971,15	149,5046	<,0001*
Error	76	3543,750	46,63		
C. Total	79	24457,188			

Tabla 324A. Analysis of Variance Oneway Anova, N° Leaves of *Raphanus sativus* L, Days 7, salicylic acid, 7,5 mS of electrical conductivity, *in vitro*

Source	DF	Sum of Squares	Mean Square	F Ratio	Prob > F
Treatments	3	3,800000	1,26667	12,0333	<,0001*
Error	76	8,000000	0,10526		
C. Total	79	11,800000			

Tabla 325A. Analysis of Variance Oneway Anova, N° Leaves of *Raphanus sativus* L, Days 14, salicylic acid, 7,5 mS of electrical conductivity, *in vitro*

Source	DF	Sum of Squares	Mean Square	F Ratio	Prob > F
Treatments	3	21,137500	7,04583	31,9692	<,0001*
Error	76	16,750000	0,22039		
C. Total	79	37,887500			

Tabla 326A. Analysis of Variance Oneway Anova, N° Leaves of *Raphanus sativus* L, Days 21, salicylic acid, 7,5 mS of electrical conductivity, *in vitro*

Source	DF	Sum of Squares	Mean Square	F Ratio	Prob > F
Treatments	3	31,637500	10,5458	28,2710	<,0001*
Error	76	28,350000	0,3730		
C. Total	79	59,987500			

Tabla 327A. Analysis of Variance Oneway Anova, N° Leaves of *Raphanus sativus* L, Days 28, salicylic acid, 7,5 mS of electrical conductivity, *in vitro*

Source	DF	Sum of Squares	Mean Square	F Ratio	Prob > F
Treatments	3	64,637500	21,5458	106,6764	<,0001*
Error	76	15,350000	0,2020		
C. Total	79	79,987500			

Tabla 328A. Analysis of Variance Oneway Anova, Chlorophyll (U. SPAD) of *Raphanus sativus* L, Days 28, salicylic acid, 7,5 mS of electrical conductivity, *in vitro*

Source	DF	Sum of Squares	Mean Square	F Ratio	Prob > F
Treatments	3	2586,7094	862,236	432,4854	<,0001*
Error	76	151,5195	1,994		
C. Total	79	2738,2289			

Tabla 329A. Analysis of Variance Oneway Anova, Leaf area (mm²) of *Raphanus sativus* L, Days 28, salicylic acid, 7,5 mS of electrical conductivity, *in vitro*

Source	DF	Sum of Squares	Mean Square	F Ratio	Prob > F
Treatments	3	16916655	5638885	383,0603	<,0001*
Error	76	1118767	14721		
C. Total	79	18035422			

Tabla 330A. Analysis of Variance Oneway Anova, leaf fresh weight (mg) of *Raphanus sativus* L, Days 28, salicylic acid, 7,5 mS of electrical conductivity, *in vitro*

Source	DF	Sum of Squares	Mean Square	F Ratio	Prob > F
Treatments	3	2120596,5	706865	990,7644	<,0001*
Error	76	54222,6	713		
C. Total	79	2174819,0			

Tabla 331A. Analysis of Variance Oneway Anova, stem fresh weight (mg) of *Raphanus sativus* L, Days 28, salicylic acid, 7,5 mS of electrical conductivity, *in vitro*

Source	DF	Sum of Squares	Mean Square	F Ratio	Prob > F
Treatments	3	77320,501	25773,5	324,2737	<,0001*
Error	76	6040,532	79,5		
C. Total	79	83361,034			

Tabla 332A. Analysis of Variance Oneway Anova, roots fresh weight (mg) of *Raphanus sativus* L, Days 28, salicylic acid, 7,5 mS of electrical conductivity, *in vitro*

Source	DF	Sum of Squares	Mean Square	F Ratio	Prob > F
Treatments	3	62512,101	20837,4	1504,019	<,0001*
Error	76	1052,939	13,9		
C. Total	79	63565,039			

Tabla 333A. Analysis of Variance Oneway Anova, leaf dryweight (mg) of *Raphanus sativus* L, Days 28, salicylic acid, 7,5 mS of electrical conductivity, *in vitro*

Source	DF	Sum of Squares	Mean Square	F Ratio	Prob > F
Treatments	3	8092,2314	2697,41	301,7044	<,0001*
Error	76	679,4837	8,94		
C. Total	79	8771,7150			

Tabla 334A. Analysis of Variance Oneway Anova, stem dryweight (mg) of *Raphanus sativus* L, Days 28, salicylic acid, 7,5 mS of electrical conductivity, *in vitro*

Source	DF	Sum of Squares	Mean Square	F Ratio	Prob > F
Treatments	3	1501,2420	500,414	235,2232	<,0001*
Error	76	161,6825	2,127		
C. Total	79	1662,9245			

Tabla 335A. Analysis of Variance Oneway Anova, roots dryweight (mg) of *Raphanus sativus* L, Days 28, salicylic acid, 7,5 mS of electrical conductivity, *in vitro*

Source	DF	Sum of Squares	Mean Square	F Ratio	Prob > F
Treatments	3	1112,5054	370,835	230,7029	<,0001*
Error	76	122,1635	1,607		
C. Total	79	1234,6689			

Anexo 4. Análisis de la variancia Oneway ANOVA de las variables estudiadas por efecto del ácido salicílico en cebolla cultivada *in vitro* en 2,5, 5 y 7,5 mS de salinidad.

Tabla 336A. Analysis of Variance Oneway Anova, Length. Roots (mm) of *Allium cepa* L, Days 7, salicylic acid, 2,5 mS of electrical conductivity, *in vitro*

Source	DF	Sum of Squares	Mean Square	F Ratio	Prob > F
Treatments	3	6209,1015	2069,70	119,6433	<,0001*
Error	76	1314,7180	17,30		
C. Total	79	7523,8195			

Tabla 337A. Analysis of Variance Oneway Anova, Length. Roots (mm) of *Allium cepa* L, Days 14, salicylic acid, 2,5 mS of electrical conductivity, *in vitro*

Source	DF	Sum of Squares	Mean Square	F Ratio	Prob > F
Treatments	3	9741,438	3247,15	115,5703	<,0001*
Error	76	2135,350	28,10		
C. Total	79	11876,788			

Tabla 338A. Analysis of Variance Oneway Anova, Length. Roots (mm) of *Allium cepa* L, Days 21, salicylic acid, 2,5 mS of electrical conductivity, *in vitro*

Source	DF	Sum of Squares	Mean Square	F Ratio	Prob > F
Treatments	3	18247,066	6082,36	682,1682	<,0001*
Error	76	677,632	8,92		
C. Total	79	18924,698			

Tabla 339A. Analysis of Variance Oneway Anova, Length. Roots (mm) of *Allium cepa* L, Days 28, salicylic acid, 2,5 mS of electrical conductivity, *in vitro*

Source	DF	Sum of Squares	Mean Square	F Ratio	Prob > F
Treatments	3	37276,438	12425,5	274,3609	<,0001*
Error	76	3441,950	45,3		
C. Total	79	40718,387			

Tabla 340A. Analysis of Variance Oneway Anova, Length. Roots (mm) of *Allium cepa* L, Days 7, salicylic acid, 5 mS of electrical conductivity, *in vitro*

Source	DF	Sum of Squares	Mean Square	F Ratio	Prob > F
Treatments	3	5958,9500	1986,32	374,5907	<,0001*
Error	76	403,0000	5,30		
C. Total	79	6361,9500			

Tabla 341A. Analysis of Variance Oneway Anova, Length. Roots (mm) of *Allium cepa* L, Days 14, salicylic acid, 5 mS of electrical conductivity, *in vitro*

Source	DF	Sum of Squares	Mean Square	F Ratio	Prob > F
Treatments	3	10079,100	3359,70	398,5285	<,0001*
Error	76	640,700	8,43		
C. Total	79	10719,800			

Tabla 342A. Analysis of Variance Oneway Anova, Length. Roots (mm) of *Allium cepa* L, Days 21, salicylic acid, 5 mS of electrical conductivity, *in vitro*

Source	DF	Sum of Squares	Mean Square	F Ratio	Prob > F
Treatments	3	14524,150	4841,38	607,3706	<,0001*
Error	76	605,800	7,97		
C. Total	79	15129,950			

Tabla 343A. Analysis of Variance Oneway Anova, Length. Roots (mm) of *Allium cepa* L, Days 28, salicylic acid, 5 mS of electrical conductivity, *in vitro*

Source	DF	Sum of Squares	Mean Square	F Ratio	Prob > F
Treatments	3	26675,650	8891,88	169,3565	<,0001*
Error	76	3990,300	52,50		
C. Total	79	30665,950			

Tabla 344A. Analysis of Variance Oneway Anova, Length. Roots (mm) of *Allium cepa* L, Days 7, salicylic acid, 7,5 mS of electrical conductivity, *in vitro*

Source	DF	Sum of Squares	Mean Square	F Ratio	Prob > F
Treatments	3	5114,2000	1704,73	2103,242	<,0001*
Error	76	61,6000	0,81		
C. Total	79	5175,8000			

Tabla 345A. Analysis of Variance Oneway Anova, Length. Roots (mm) of *Allium cepa* L, Days 14, salicylic acid, 7,5 mS of electrical conductivity, *in vitro*

Source	DF	Sum of Squares	Mean Square	F Ratio	Prob > F
Treatments	3	7657,3375	2552,45	1992,664	<,0001*
Error	76	97,3500	1,28		
C. Total	79	7754,6875			

Tabla 346A. Analysis of Variance Oneway Anova, Length. Roots (mm) of *Allium cepa* L, Days 21, salicylic acid, 7,5 mS of electrical conductivity, *in vitro*

Source	DF	Sum of Squares	Mean Square	F Ratio	Prob > F
Treatments	3	9543,138	3181,05	446,6688	<,0001*
Error	76	541,250	7,12		
C. Total	79	10084,387			

Tabla 347A. Analysis of Variance Oneway Anova, Length. Roots (mm) of *Allium cepa* L, Days 28, salicylic acid, 7,5 mS of electrical conductivity, *in vitro*

Source	DF	Sum of Squares	Mean Square	F Ratio	Prob > F
Treatments	3	16256,300	5418,77	183,4007	<,0001*
Error	76	2245,500	29,55		
C. Total	79	18501,800			

Tabla 348A. Analysis of Variance Oneway Anova, N° Leaves of *Allium cepa* L, Days 7, salicylic acid, 2,5 mS of electrical conductivity, *in vitro*

Source	DF	Sum of Squares	Mean Square	F Ratio	Prob > F
Treatments	3	27,837500	9,27917	154,9927	<,0001*
Error	76	4,550000	0,05987		
C. Total	79	32,387500			

Tabla 349 A. Analysis of Variance Oneway Anova, N° Leaves of *Allium cepa* L, Days 14, salicylic acid, 2,5 mS of electrical conductivity, *in vitro*

Source	DF	Sum of Squares	Mean Square	F Ratio	Prob > F
Treatments	3	38,950000	12,9833	149,5051	<,0001*
Error	76	6,600000	0,0868		
C. Total	79	45,550000			

Tabla 350A. Analysis of Variance Oneway Anova, N° Leaves of onions, Days 21, salicylic acid, 2,5 mS of electrical conductivity, *in vitro*

Source	DF	Sum of Squares	Mean Square	F Ratio	Prob > F
Treatments	3	44,537500	14,8458	227,9360	<,0001*
Error	76	4,950000	0,0651		
C. Total	79	49,487500			

Tabla 351A. Analysis of Variance Oneway Anova, N° Leaves of *Allium cepa* L, Days 28, salicylic acid, 2,5 mS of electrical conductivity, *in vitro*

Source	DF	Sum of Squares	Mean Square	F Ratio	Prob > F
Treatments	3	63,437500	21,1458	428,5556	<,0001*
Error	76	3,750000	0,0493		
C. Total	79	67,187500			

Tabla 352A. Analysis of Variance Oneway Anova, N° Leaves of *Allium cepa* L, Days 7, salicylic acid, 5 mS of electrical conductivity, *in vitro*

Source	DF	Sum of Squares	Mean Square	F Ratio	Prob > F
Treatments	3	18,437500	6,14583	124,5556	<,0001*
Error	76	3,750000	0,04934		
C. Total	79	22,187500			

Tabla 353A. Analysis of Variance Oneway Anova, N° Leaves of *Allium cepa* L, Days 14, salicylic acid, 5 mS of electrical conductivity, *in vitro*

Source	DF	Sum of Squares	Mean Square	F Ratio	Prob > F
Treatments	3	31,337500	10,4458	143,0420	<,0001*
Error	76	5,550000	0,0730		
C. Total	79	36,887500			

Tabla 354A. Analysis of Variance Oneway Anova, N° Leaves of *Allium cepa* L, Days 21, salicylic acid, 5 mS of electrical conductivity, *in vitro*

Source	DF	Sum of Squares	Mean Square	F Ratio	Prob > F
Treatments	3	35,100000	11,7000	102,2069	<,0001*
Error	76	8,700000	0,1145		
C. Total	79	43,800000			

Tabla 355A. Analysis of Variance Oneway Anova, N° Leaves of *Allium cepa* L, Days 28, salicylic acid, 5 mS of electrical conductivity, *in vitro*

Source	DF	Sum of Squares	Mean Square	F Ratio	Prob > F
Treatments	3	46,337500	15,4458	179,2188	<,0001*
Error	76	6,550000	0,0862		
C. Total	79	52,887500			

Tabla 356A. Analysis of Variance Oneway Anova, N° Leaves of *Allium cepa* L, Days 7, salicylic acid, 7,5 mS of electrical conductivity, *in vitro*

Source	DF	Sum of Squares	Mean Square	F Ratio	Prob > F
Treatments	3	15,000000	5,00000		
Error	76	0,000000	0,00000		
C. Total	79	15,000000			

Tabla 357A. Analysis of Variance Oneway Anova, N° Leaves of *Allium cepa* L, Days 14, salicylic acid, 7,5 mS of electrical conductivity, *in vitro*

Source	DF	Sum of Squares	Mean Square	F Ratio	Prob > F
Treatments	3	21,400000	7,13333	112,9444	<,0001*
Error	76	4,800000	0,06316		
C. Total	79	26,200000			

Tabla 358A. Analysis of Variance Oneway Anova, N° Leaves of *Allium cepa* L, Days 21, salicylic acid, 7,5 mS of electrical conductivity, *in vitro*

Source	DF	Sum of Squares	Mean Square	F Ratio	Prob > F
Treatments	3	24,400000	8,13333	90,9020	<,0001*
Error	76	6,800000	0,08947		
C. Total	79	31,200000			

Tabla 359A. Analysis of Variance Oneway Anova, N° Leaves of *Allium cepa* L, Days 28, salicylic acid, 7,5 mS of electrical conductivity, *in vitro*

Source	DF	Sum of Squares	Mean Square	F Ratio	Prob > F
Treatments	3	44,537500	14,8458	227,9360	<,0001*
Error	76	4,950000	0,0651		
C. Total	79	49,487500			

Tabla 360A. Analysis of Variance Oneway Anova, Length. Leaf (mm) of onions, Days 7, salicylic acid, 2,5 mS of electrical conductivity, *in vitro*

Source	DF	Sum of Squares	Mean Square	F Ratio	Prob > F
Treatments	3	19673,800	6557,93	1053,261	<,0001*
Error	76	473,200	6,23		
C. Total	79	20147,000			

Tabla 361A. Analysis of Variance Oneway Anova, Length. Leaf (mm) of *Allium cepa* L Days 14, salicylic acid, 2,5 mS of electrical conductivity, *in vitro*

Source	DF	Sum of Squares	Mean Square	F Ratio	Prob > F
Treatments	3	40888,038	13629,3	5054,063	<,0001*
Error	76	204,950	2,7		
C. Total	79	41092,987			

Tabla 362A. Analysis of Variance Oneway Anova, Length. Leaf (mm) of onions, Days 21, salicylic acid, 2,5 mS of electrical conductivity, *in vitro*

Source	DF	Sum of Squares	Mean Square	F Ratio	Prob > F
Treatments	3	67810,842	22603,6	294,9679	<,0001*
Error	76	5823,938	76,6		
C. Total	79	73634,780			

Tabla 363A. Analysis of Variance Oneway Anova, Length. Leaf (mm) of *Allium cepa* L, Days 28 salicylic acid, 2,5 mS of electrical conductivity, *in vitro*

Source	DF	Sum of Squares	Mean Square	F Ratio	Prob > F
Treatments	3	112065,00	37355,0	2212,422	<,0001*
Error	76	1283,20	16,9		
C. Total	79	113348,20			

Tabla 364A. Analysis of Variance Oneway Anova, Length. Leaf (mm) of *Allium cepa* L, Days 7 salicylic acid, 5 mS of electrical conductivity, *in vitro*

Source	DF	Sum of Squares	Mean Square	F Ratio	Prob > F
Treatments	3	7877,4375	2625,81	2812,710	<,0001*
Error	76	70,9500	0,93		
C. Total	79	7948,3875			

Tabla 365A. Analysis of Variance Oneway Anova, Length. Leaf (mm) of *Allium cepa* L, Days 14 salicylic acid, 5 mS of electrical conductivity, *in vitro*

Source	DF	Sum of Squares	Mean Square	F Ratio	Prob > F
Treatments	3	17720,938	5906,98	3351,478	<,0001*
Error	76	133,950	1,76		
C. Total	79	17854,887			

Tabla 366A. Analysis of Variance Oneway Anova, Length. Leaf (mm) of *Allium cepa* L, Days 21 salicylic acid, 5 mS of electrical conductivity, *in vitro*

Source	DF	Sum of Squares	Mean Square	F Ratio	Prob > F
Treatments	3	28216,538	9405,51	109,4845	<,0001*
Error	76	6528,950	85,91		
C. Total	79	34745,487			

Tabla 367A. Analysis of Variance Oneway Anova, Length. Leaf (mm) of *Allium cepa* L, Days 28 salicylic acid, 5 mS of electrical conductivity, *in vitro*

Source	DF	Sum of Squares	Mean Square	F Ratio	Prob > F
Treatments	3	47507,450	15835,8	1222,967	<,0001*
Error	76	984,100	12,9		
C. Total	79	48491,550			

Tabla 368A. Analysis of Variance Oneway Anova, Length. Leaf (mm) of *Allium cepa* L, Days 7 salicylic acid, 7,5 mS of electrical conductivity, *in vitro*

Source	DF	Sum of Squares	Mean Square	F Ratio	Prob > F
Treatments	3	4882,2375	1627,41	1690,818	<,0001*
Error	76	73,1500	0,96		
C. Total	79	4955,3875			

Tabla 369A. Analysis of Variance Oneway Anova, Length. Leaf (mm) of *Allium cepa* L, Days 14 salicylic acid, 7,5 mS of electrical conductivity, *in vitro*

Source	DF	Sum of Squares	Mean Square	F Ratio	Prob > F
Treatments	3	7284,5375	2428,18	1468,696	<,0001*
Error	76	125,6500	1,65		
C. Total	79	7410,1875			

Tabla 370A. Analysis of Variance Oneway Anova, Length. Leaf (mm) of *Allium cepa* L, Days 21 salicylic acid, 7,5 mS of electrical conductivity, *in vitro*

Source	DF	Sum of Squares	Mean Square	F Ratio	Prob > F
Treatments	3	8295,6000	2765,20	541,0793	<,0001*
Error	76	388,4000	5,11		
C. Total	79	8684,0000			

Tabla 371A. Analysis of Variance Oneway Anova, Length. Leaf (mm) of *Allium cepa* L, Days 28 salicylic acid, 7,5 mS of electrical conductivity, *in vitro*

Source	DF	Sum of Squares	Mean Square	F Ratio	Prob > F
Treatments	3	40856,200	13618,7	433,1368	<,0001*
Error	76	2389,600	31,4		
C. Total	79	43245,800			

Tabla 372A. Analysis of Variance Oneway Anova, Clorophyll (U. SPAD) of *Allium cepa* L, Days 28 salicylic acid, 2,5 mS of electrical conductivity, *in vitro*

Source	DF	Sum of Squares	Mean Square	F Ratio	Prob > F
Treatments	3	2975,6954	991,898	166,8202	<,0001*
Error	76	451,8895	5,946		
C. Total	79	3427,5849			

Tabla 373A. Analysis of Variance Oneway Anova, Clorophyll (U. SPAD) *Allium cepa* L, Days 28 salicylic acid, 5 mS of electrical conductivity, *in vitro*

Source	DF	Sum of Squares	Mean Square	F Ratio	Prob > F
Treatments	3	1861,8964	620,632	67,5876	<,0001*
Error	76	697,8806	9,183		
C. Total	79	2559,7769			

Tabla 374A. Analysis of Variance Oneway Anova, Clorophyll (U. SPAD) *Allium cepa* L, Days 28 salicylic acid, 7,5 mS of electrical conductivity, *in vitro*

Source	DF	Sum of Squares	Mean Square	F Ratio	Prob > F
Treatments	3	1279,5034	426,501	695,6484	<,0001*
Error	76	46,5955	0,613		
C. Total	79	1326,0989			

Tabla 375A. Analysis of Variance Oneway Anova, Leaf area (mm²) of *Allium cepa* L, Days 28 salicylic acid, 2,5 mS of electrical conductivity, *in vitro*

Source	DF	Sum of Squares	Mean Square	F Ratio	Prob > F
Treatments	3	2598022,7	866008	151,2234	<,0001*
Error	76	435227,5	5727		
C. Total	79	3033250,2			

Tabla 376A. Tabla 27A. Analysis of Variance Oneway Anova, Leaf area (mm²) of *Allium cepa* L, Days 28 salicylic acid, 5 mS of electrical conductivity, *in vitro*

Source	DF	Sum of Squares	Mean Square	F Ratio	Prob > F
Treatments	3	914597,1	304866	87,5260	<,0001*
Error	76	264718,9	3483		
C. Total	79	1179316,0			

Tabla 377A. Analysis of Variance Oneway Anova, Leaf area (mm²) of *Allium cepa* L, Days 28 salicylic acid, 5 mS of electrical conductivity, *in vitro*

Source	DF	Sum of Squares	Mean Square	F Ratio	Prob > F
Treatments	3	472230,60	157410	166,5661	<,0001*
Error	76	71822,40	945		
C. Total	79	544053,00			

Tabla 378A. Analysis of Variance Oneway Anova, fresh weight leaf (mg) of *Allium cepa* L, Days 28 salicylic acid, 2,5 mS of electrical conductivity, *in vitro*

Source	DF	Sum of Squares	Mean Square	F Ratio	Prob > F
Treatments	3	380801,96	126934	295,4303	<,0001*
Error	76	32654,01	430		
C. Total	79	413455,97			

Tabla 379A. Analysis of Variance Oneway Anova, fresh dry leaf (mg) of *Allium cepa* L, Days 28 salicylic acid, 2,5 mS of electrical conductivity, *in vitro*

Source	DF	Sum of Squares	Mean Square	F Ratio	Prob > F
Treatments	3	5657,818	1885,94	14,1234	<,0001*
Error	76	10148,533	133,53		
C. Total	79	15806,352			

Tabla 380A. Analysis of Variance Oneway Anova, fresh weight leaf (mg) of *Allium cepa* L., Days 28 salicylic acid, 5 mS of electrical conductivity, *in vitro*

Source	DF	Sum of Squares	Mean Square	F Ratio	Prob > F
Treatments	3	344827,07	114942	384,9834	<,0001*
Error	76	22690,90	299		
C. Total	79	367517,97			

Tabla 381A. Analysis of Variance Oneway Anova, dry weight leaf (mg) of *Allium cepa* L., Days 28 salicylic acid, 5 mS of electrical conductivity, *in vitro*

Source	DF	Sum of Squares	Mean Square	F Ratio	Prob > F
Treatments	3	3362,2904	1120,76	35,9330	<,0001*
Error	76	2370,4695	31,19		
C. Total	79	5732,7599			

Tabla 382A. Analysis of Variance Oneway Anova, fresh weight leaf (mg) of *Allium cepa* L., Days 28 salicylic acid, 7,5 mS of electrical conductivity, *in vitro*

Source	DF	Sum of Squares	Mean Square	F Ratio	Prob > F
Treatments	3	96792,94	32264,3	117,4556	<,0001*
Error	76	20876,73	274,7		
C. Total	79	117669,67			

Tabla 383A. Analysis of Variance Oneway Anova, dry weight leaf (mg) of *Allium cepa* L., Days 28 salicylic acid, 7,5 mS of electrical conductivity, *in vitro*

Source	DF	Sum of Squares	Mean Square	F Ratio	Prob > F
Treatments	3	2274,8830	758,294	33,2335	<,0001*
Error	76	1734,1050	22,817		
C. Total	79	4008,9880			

Tabla 384A. Analysis of Variance Oneway Anova roots fresh weight (mg) of *Allium cepa* L., Days 28 salicylic acid, 2,5 mS of electrical conductivity, *in vitro*

Source	DF	Sum of Squares	Mean Square	F Ratio	Prob > F
Treatments	3	30405,534	10135,2	71,6781	<,0001*
Error	76	10746,285	141,4		
C. Total	79	41151,819			

Tabla 385A. Analysis of Variance Oneway Anova roots dry weight (mg) of *Allium cepa* L., Days 28 salicylic acid, 2,5 mS of electrical conductivity, *in vitro*

Source	DF	Sum of Squares	Mean Square	F Ratio	Prob > F
Treatments	3	2165,8234	721,941	127,3994	<,0001*
Error	76	430,6735	5,667		
C. Total	79	2596,4969			

Tabla 386A. Analysis of Variance Oneway Anova roots fresh weight (mg) of *Allium cepa* L., Days 28 salicylic acid, 5 mS of electrical conductivity, *in vitro*

Source	DF	Sum of Squares	Mean Square	F Ratio	Prob > F
Treatments	3	24927,499	8309,17	52,5403	<,0001*
Error	76	12019,275	158,15		
C. Total	79	36946,775			

Tabla 387A. Analysis of Variance Oneway Anova roots dry weight (mg) of *Allium cepa* L., Days 28 salicylic acid, 5 mS of electrical conductivity, *in vitro*

Source	DF	Sum of Squares	Mean Square	F Ratio	Prob > F
Treatments	3	1208,7064	402,902	238,4491	<,0001*
Error	76	128,4155	1,690		
C. Total	79	1337,1219			

Tabla 388A. Analysis of Variance Oneway Anova roots fresh weight (mg) of *Allium cepa* L., Days 28 salicylic acid, 7,5 mS of electrical conductivity, *in vitro*

Source	DF	Sum of Squares	Mean Square	F Ratio	Prob > F
Treatments	3	7026,950	2342,32	54,3346	<,0001*
Error	76	3276,290	43,11		
C. Total	79	10303,240			

Tabla 389A. Analysis of Variance Oneway Anova roots dry weight (mg) of *Allium cepa* L., Days 28 salicylic acid, 7,5 mS of electrical conductivity, *in vitro*

Source	DF	Sum of Squares	Mean Square	F Ratio	Prob > F
Treatments	3	882,6444	294,215	146,8123	<,0001*
Error	76	152,3055	2,004		
C. Total	79	1034,9499			

Tabla 390A. Analysis of Variance Oneway Anova Diametre bulb of *Allium cepa* L., Days 28 salicylic acid, 2,5 mS of electrical conductivity, *in vitro*

Source	DF	Sum of Squares	Mean Square	F Ratio	Prob > F
Treatments	3	84,48597	28,1620	125,3016	<,0001*
Error	76	17,08127	0,2248		
C. Total	79	101,56725			

Tabla 391A. Analysis of Variance Oneway Anova Diametre bulb of *Allium cepa* L., Days 28 salicylic acid, 5 mS of electrical conductivity, *in vitro*

Source	DF	Sum of Squares	Mean Square	F Ratio	Prob > F
Treatments	3	75,913780	25,3046	241,3942	<,0001*
Error	76	7,966840	0,1048		
C. Total	79	83,880620			

Tabla 392A. Analysis of Variance Oneway Anova Diametre bulb of *Allium cepa* L., Days 28 salicylic acid, 5 mS of electrical conductivity, *in vitro*

Source	DF	Sum of Squares	Mean Square	F Ratio	Prob > F
Treatments	3	135,13433	45,0448	260,9615	<,0001*
Error	76	13,11842	0,1726		
C. Total	79	148,25276			

Tabla 393A. Analysis of Variance Oneway Anova Bulb fresh weight (mg) of *Allium cepa* L., Days 28 salicylic acid, 2,5 mS of electrical conductivity, *in vitro*

Source	DF	Sum of Squares	Mean Square	F Ratio	Prob > F
Treatments	3	21081,877	7027,29	36,7228	<,0001*
Error	76	14543,383	191,36		
C. Total	79	35625,260			

Tabla 394A. Analysis of Variance Oneway Anova Bulb fresh weight (mg) of *Allium cepa* L., Days 28 salicylic acid 5 mS of electrical conductivity, *in vitro*

Source	DF	Sum of Squares	Mean Square	F Ratio	Prob > F
Treatments	3	29687,884	9895,96	74,1981	<,0001*
Error	76	10136,279	133,37		
C. Total	79	39824,164			

Tabla 395A. Analysis of Variance Oneway Anova Bulb fresh weight (mg) of *Allium cepa* L., Days 28 salicylic acid, 7,5 mS of electrical conductivity, *in vitro*

Source	DF	Sum of Squares	Mean Square	F Ratio	Prob > F
Treatments	3	148387,24	49462,4	7,3998	0,0002*
Error	76	508005,17	6684,3		
C. Total	79	656392,40			

Tabla 396A. Analysis of Variance Oneway Anova Bulb dry weight (mg) of onions, Days 28 salicylic acid, 2,5 mS of electrical conductivity, *in vitro*

Source	DF	Sum of Squares	Mean Square	F Ratio	Prob > F
Treatments	3	1900,9943	633,665	232,6605	<,0001*
Error	76	206,9906	2,724		
C. Total	79	2107,9849			

Tabla 397A. Analysis of Variance Oneway Anova Bulb dry weight (mg) of onions, Days 28 salicylic acid, 5 mS of electrical conductivity, *in vitro*

Source	DF	Sum of Squares	Mean Square	F Ratio	Prob > F
Treatments	3	851,9874	283,996	58,9281	<,0001*
Error	76	366,2715	4,819		
C. Total	79	1218,2589			

Tabla 398A. Analysis of Variance Oneway Anova Bulb dry weight (mg) of onions, Days 28 salicylic acid, 5 mS of electrical conductivity, *in vitro*

Source	DF	Sum of Squares	Mean Square	F Ratio	Prob > F
Treatments	3	1112,0644	370,688	283,7961	<,0001*
Error	76	99,2695	1,306		
C. Total	79	1211,3339			

Anexo 5. Análisis de la variancia Oneway ANOVA de las variables estudiadas por efecto del ácido salicílico en tomate cultivada *in vivo* en 0, 5 y 7,5 mS de salinidad.

Tabla 399A. Analysis of Variance Oneway Anova, Length stem (mm) of *Lycopersicon esculentum* Mill, Days 7, salicylic acid, 0 mS of electrical conductivity, *in vivo*

Source	DF	Sum of Squares	Mean Square	F Ratio	Prob > F
Tratamientos	2	228,10000	114,050	9,9288	0,0002*
Error	57	654,75000	11,487		
C. Total	59	882,85000			

Tabla 400A. Analysis of Variance Oneway Anova, Length stem (mm) of *Lycopersicon esculentum* Mill, Days 14, salicylic acid, 0 mS of electrical conductivity, *in vivo*

Source	DF	Sum of Squares	Mean Square	F Ratio	Prob > F
Tratamientos	2	2077,7333	1038,87	67,5821	<,0001*
Error	57	876,2000	15,37		
C. Total	59	2953,9333			

Tabla 401A. Analysis of Variance Oneway Anova, Length stem (mm) of *Lycopersicon esculentum* Mill, Days 21, salicylic acid, 0 mS of electrical conductivity, *in vivo*

Source	DF	Sum of Squares	Mean Square	F Ratio	Prob > F
Tratamientos	2	13004,800	6502,40	173,6777	<,0001*
Error	57	2134,050	37,44		
C. Total	59	15138,850			

Tabla 402A. Analysis of Variance Oneway Anova, Length stem (mm) of *Lycopersicon esculentum* Mill, Days 28, salicylic acid, 0 mS of electrical conductivity, *in vivo*

Source	DF	Sum of Squares	Mean Square	F Ratio	Prob > F
Tratamientos	2	28990,833	14495,4	209,8464	<,0001*
Error	57	3937,350	69,1		
C. Total	59	32928,183			

Tabla 403A. Analysis of Variance Oneway Anova, Length stem (mm) of *Lycopersicon esculentum* Mill, Days 7, salicylic acid, 2,5 mS of electrical conductivity, *in vivo*

Source	DF	Sum of Squares	Mean Square	F Ratio	Prob > F
Tratamientos	2	469,30000	234,650	25,2980	<,0001*
Error	57	528,70000	9,275		
C. Total	59	998,00000			

Tabla 404A. Analysis of Variance Oneway Anova, Length stem (mm) of *Lycopersicon esculentum* Mill, Days 14, salicylic acid, 2,5 mS of electrical conductivity, *in vivo*

Source	DF	Sum of Squares	Mean Square	F Ratio	Prob > F
Tratamientos	2	2963,7333	1481,87	93,7474	<,0001*
Error	57	901,0000	15,81		
C. Total	59	3864,7333			

Tabla 405A. Analysis of Variance Oneway Anova, Length stem (mm) of *Lycopersicon esculentum* Mill, Days 21, salicylic acid, 2,5 mS of electrical conductivity, *in vivo*

Source	DF	Sum of Squares	Mean Square	F Ratio	Prob > F
Tratamientos	2	2873,4333	1436,72	85,5948	<,0001*
Error	57	956,7500	16,79		
C. Total	59	3830,1833			

Tabla 406A. Analysis of Variance Oneway Anova, Length stem (mm) of *Lycopersicon esculentum* Mill, Days 28, salicylic acid, 2,5 mS of electrical conductivity, *in vivo*

Source	DF	Sum of Squares	Mean Square	F Ratio	Prob > F
Tratamientos	2	26953,040	6738,26	79,6405	<,0001*
Error	57	8037,800	84,61		
C. Total	59	34990,840			

Tabla 407A. Analysis of Variance Oneway Anova, Length stem (mm) of *Lycopersicon esculentum* Mill, Days 7, salicylic acid, 5 mS of electrical conductivity, *in vivo*

Source	DF	Sum of Squares	Mean Square	F Ratio	Prob > F
Tratamientos	2	208,13333	104,067	16,2248	<,0001*
Error	57	365,60000	6,414		
C. Total	59	573,73333			

Tabla 408A. Analysis of Variance Oneway Anova, Length stem (mm) of *Lycopersicon esculentum* Mill, Days 14, salicylic acid, 5 mS of electrical conductivity, *in vivo*

Source	DF	Sum of Squares	Mean Square	F Ratio	Prob > F
Tratamientos	2	3648,2333	1824,12	132,9004	<,0001*
Error	57	782,3500	13,73		
C. Total	59	4430,5833			

Tabla 409A. Analysis of Variance Oneway Anova, Length stem (mm) of *Lycopersicon esculentum* Mill, Days 21, salicylic acid, 5 mS of electrical conductivity, *in vivo*

Source	DF	Sum of Squares	Mean Square	F Ratio	Prob > F
Tratamientos	2	1842,5333	921,267	46,3316	<,0001*
Error	57	1133,4000	19,884		
C. Total	59	2975,9333			

Tabla 410A. Analysis of Variance Oneway Anova, Length stem (mm) of *Lycopersicon esculentum* Mill, Days 21, salicylic acid, 5 mS of electrical conductivity, *in vivo*

Source	DF	Sum of Squares	Mean Square	F Ratio	Prob > F
Tratamientos	2	3048,4000	1524,20	103,2742	<,0001*
Error	57	841,2500	14,76		
C. Total	59	3889,6500			

Tabla 411A. Analysis of Variance Oneway Anova, roots length (mm) of *Lycopersicon esculentum* Mill, Days 14 salicylic acid, 0 mS of electrical conductivity, *in vivo*

Source	DF	Sum of Squares	Mean Square	F Ratio	Prob > F
Tratamientos	2	834,6333	417,317	14,2891	<,0001*
Error	57	1664,7000	29,205		
C. Total	59	2499,3333			

Tabla 412A. Analysis of Variance Oneway Anova, roots length (mm) of *Lycopersicon esculentum* Mill, Days 28 salicylic acid, 0 mS of electrical conductivity, *in vivo*

Source	DF	Sum of Squares	Mean Square	F Ratio	Prob > F
Tratamientos	2	4083,3000	2041,65	133,6557	<,0001*
Error	57	870,7000	15,28		
C. Total	59	4954,0000			

Tabla 413A. Analysis of Variance Oneway Anova, roots length (mm) of *Lycopersicon esculentum* Mill, Days 14, salicylic acid, 2,5 mS of electrical conductivity, *in vivo*

Source	DF	Sum of Squares	Mean Square	F Ratio	Prob > F
Tratamientos	2	1863,3000	931,650	50,0062	<,0001*
Error	57	1061,9500	18,631		
C. Total	59	2925,2500			

Tabla 414A. Analysis of Variance Oneway Anova, roots length (mm) of *Lycopersicon esculentum* Mill, Days 28, salicylic acid, 2,5 mS of electrical conductivity, *in vivo*

Source	DF	Sum of Squares	Mean Square	F Ratio	Prob > F
Tratamientos	2	3453,7000	1726,85	93,7477	<,0001*
Error	57	1049,9500	18,42		
C. Total	59	4503,6500			

Tabla 415A. Analysis of Variance Oneway Anova, roots length (mm) of *Lycopersicon esculentum* Mill, Days 14, salicylic acid, 5 mS of electrical conductivity, *in vivo*

Source	DF	Sum of Squares	Mean Square	F Ratio	Prob > F
Tratamientos	2	4284,2333	2142,12	111,4108	<,0001*
Error	57	1095,9500	19,23		
C. Total	59	5380,1833			

Tabla 416A. Analysis of Variance Oneway Anova, roots length (mm) of *Lycopersicon esculentum* Mill, Days 28, salicylic acid, 5 mS of electrical conductivity, *in vivo*

Source	DF	Sum of Squares	Mean Square	F Ratio	Prob > F
Tratamientos	2	2308,1333	1154,07	87,2669	<,0001*
Error	57	753,8000	13,22		
C. Total	59	3061,9333			

Tabla 417A. Analysis of Variance Oneway Anova, N° Leaves of *Lycopersicon esculentum* Mill, Days 7, salicylic acid, 0 mS of electrical conductivity, *in vivo*

Source	DF	Sum of Squares	Mean Square	F Ratio	Prob > F
Tratamientos	2	0	0		
Error	57	0	0		
C. Total	59	0			

Tabla 418A. Analysis of Variance Oneway Anova, N° Leaves of *Lycopersicon esculentum* Mill, Days 14, salicylic acid, 0 mS of electrical conductivity, *in vivo*

Source	DF	Sum of Squares	Mean Square	F Ratio	Prob > F
Tratamientos	2	9,733333	4,86667	23,9138	<.0001*
Error	57	11,600000	0,20351		
C. Total	59	21,333333			

Tabla 419A. Analysis of Variance Oneway Anova, N° Leaves of *Lycopersicon esculentum* Mill, Days 21 salicylic acid, 0 mS of electrical conductivity, *in vivo*

Source	DF	Sum of Squares	Mean Square	F Ratio	Prob > F
Tratamientos	2	3,700000	1,85000	8,0190	0,0009*
Error	57	13,150000	0,23070		
C. Total	59	16,850000			

Tabla 420A. Analysis of Variance Oneway Anova, N° Leaves of *Lycopersicon esculentum* Mill, Days 28 salicylic acid, 0 mS of electrical conductivity, *in vivo*

Source	DF	Sum of Squares	Mean Square	F Ratio	Prob > F
Tratamientos	2	14,700000	7,35000	441,0000	<.0001*
Error	57	0,950000	0,01667		
C. Total	59	15,650000			

Tabla 421A. Analysis of Variance Oneway Anova, N° Leaves of *Lycopersicon esculentum* Mill, Days 7 salicylic acid, 2,5 mS of electrical conductivity, *in vivo*

Source	DF	Sum of Squares	Mean Square	F Ratio	Prob > F
Tratamientos	2	0	0		
Error	57	0	0		
C. Total	59	0			

Tabla 422A. Analysis of Variance Oneway Anova, N° Leaves of *Lycopersicon esculentum* Mill, Days 14 salicylic acid, 2,5 mS of electrical conductivity, *in vivo*

Source	DF	Sum of Squares	Mean Square	F Ratio	Prob > F
Tratamientos	2	4,133333	2,06667	9,3492	0,0003*
Error	57	12,600000	0,22105		
C. Total	59	16,733333			

Tabla 423A. Analysis of Variance Oneway Anova, N° Leaves of *Lycopersicon esculentum* Mill, Days 21 salicylic acid, 2,5 mS of electrical conductivity, *in vivo*

Source	DF	Sum of Squares	Mean Square	F Ratio	Prob > F
Tratamientos	2	2,700000	1,35000	15,5455	<.0001*
Error	57	4,950000	0,08684		
C. Total	59	7,650000			

Tabla 424A. Analysis of Variance Oneway Anova, N° Leaves of *Lycopersicon esculentum* Mill, Days 28, salicylic acid, 2,5 mS of electrical conductivity, *in vivo*

Source	DF	Sum of Squares	Mean Square	F Ratio	Prob > F
Tratamientos	4	34,660000	8,66500	41,3656	<.0001*
Error	57	19,900000	0,20947		
C. Total	59	54,560000			

Tabla 425A. Analysis of Variance Oneway Anova, N° Leaves of *Lycopersicon esculentum* Mill, Days 7 salicylic acid, 5 mS of electrical conductivity, *in vivo*

Source	DF	Sum of Squares	Mean Square	F Ratio	Prob > F
Tratamientos	2	0	0		
Error	57	0	0		
C. Total	59	0			

Tabla 426A. Analysis of Variance Oneway Anova, N° Leaves of *Lycopersicon esculentum* Mill, Days 14 salicylic acid, 5 mS of electrical conductivity, *in vivo*

Source	DF	Sum of Squares	Mean Square	F Ratio	Prob > F
Tratamientos	2	5,233333	2,61667	13,1410	<,0001*
Error	57	11,350000	0,19912		
C. Total	59	16,583333			

Tabla 427A. Analysis of Variance Oneway Anova, N° Leaves of *Lycopersicon esculentum* Mill, Days 21 salicylic acid, 5 mS of electrical conductivity, *in vivo*

Source	DF	Sum of Squares	Mean Square	F Ratio	Prob > F
Tratamientos	2	4,433333	2,21667	16,3032	<,0001*
Error	57	7,750000	0,13596		
C. Total	59	12,183333			

Tabla 428A. Analysis of Variance Oneway Anova, N° Leaves of *Lycopersicon esculentum* Mill, Days 28 salicylic acid, 5 mS of electrical conductivity, *in vivo*

Source	DF	Sum of Squares	Mean Square	F Ratio	Prob > F
Tratamientos	2	4,433333	2,21667	10,7532	0,0001*
Error	57	11,750000	0,20614		
C. Total	59	16,183333			

Tabla 429A. Analysis of Variance Oneway Anova, Leaf area (mm²) of *Lycopersicon esculentum* Mill, Days 14 salicylic acid, 0 mS of electrical conductivity, *in vivo*

Source	DF	Sum of Squares	Mean Square	F Ratio	Prob > F
Tratamientos	2	1337022,7	668511	48,6012	<,0001*
Error	57	784036,5	13755		
C. Total	59	2121059,3			

Tabla 430A. Analysis of Variance Oneway Anova, Leaf area (mm²) of *Lycopersicon esculentum* Mill, Days 28 salicylic acid, 0 mS of electrical conductivity, *in vivo*

Source	DF	Sum of Squares	Mean Square	F Ratio	Prob > F
Tratamientos	2	16765225	8382612	61,4933	<,0001*
Error	57	7770094	136317		
C. Total	59	24535319			

Tabla 431A. Analysis of Variance Oneway Anova, Leaf area (mm²) of *Lycopersicon esculentum* Mill, Days 14 salicylic acid, 2,5 mS of electrical conductivity, *in vivo*

Source	DF	Sum of Squares	Mean Square	F Ratio	Prob > F
Tratamientos	2	906198,3	453099	20,1550	<,0001*
Error	57	1281402,6	22481		
C. Total	59	2187600,9			

Tabla 432A. Analysis of Variance Oneway Anova, Leaf area (mm²) of *Lycopersicon esculentum* Mill, Days 28 salicylic acid, 2,5 mS of electrical conductivity, *in vivo*

Source	DF	Sum of Squares	Mean Square	F Ratio	Prob > F
Tratamientos	2	21290729	10645364	168,3998	<,0001*
Error	57	3603246	63214,833		
C. Total	59	24893974			

Tabla 433A. Analysis of Variance Oneway Anova, Leaf area (mm²) of *Lycopersicon esculentum* Mill, Days 14, salicylic acid, 5 mS of electrical conductivity, *in vivo*

Source	DF	Sum of Squares	Mean Square	F Ratio	Prob > F
Tratamientos	2	1114469,6	557235	32,9281	<,0001*
Error	57	964596,7	16923		
C. Total	59	2079066,3			

Tabla 434A. Analysis of Variance Oneway Anova, Leaf area (mm²) of *Lycopersicon esculentum* Mill, Days 14, salicylic acid, 5 mS of electrical conductivity, *in vivo*

Source	DF	Sum of Squares	Mean Square	F Ratio	Prob > F
Tratamientos	2	17125864	8562932	149,6796	<,0001*
Error	57	3260880	57208		
C. Total	59	20386744			

Tabla 435A. Analysis of Variance Oneway Anova, Clorophyll (U. SPAD) of *Lycopersicon esculentum* Mill, Days 14, salicylic acid, 0 mS of electrical conductivity, *in vivo*

Source	DF	Sum of Squares	Mean Square	F Ratio	Prob > F
Tratamientos	2	627,38433	313,692	221,6837	<,0001*
Error	57	80,65750	1,415		
C. Total	59	708,04183			

Tabla 436A. Analysis of Variance Oneway Anova, Clorophyll (U. SPAD) of *Lycopersicon esculentum* Mill, Days 21, salicylic acid, 0 mS of electrical conductivity, *in vivo*

Source	DF	Sum of Squares	Mean Square	F Ratio	Prob > F
Tratamientos	2	465,86033	232,930	83,0712	<,0001*
Error	57	159,82700	2,804		
C. Total	59	625,68733			

Tabla 437A. Analysis of Variance Oneway Anova, Clorophyll (U. SPAD) of *Lycopersicon esculentum* Mill, Days 21, salicylic acid, 0 mS of electrical conductivity, *in vivo*

Source	DF	Sum of Squares	Mean Square	F Ratio	Prob > F
Tratamientos	2	245,81033	122,905	102,8133	<,0001*
Error	57	68,13900	1,195		
C. Total	59	313,94933			

Tabla 438A. Analysis of Variance Oneway Anova, Clorophyll (U. SPAD) of *Lycopersicon esculentum* Mill, Days 14, salicylic acid, 2,5 mS of electrical conductivity, *in vivo*

Source	DF	Sum of Squares	Mean Square	F Ratio	Prob > F
Tratamientos	2	255,15700	127,579	92,9783	<,0001*
Error	57	78,21150	1,372		
C. Total	59	333,36850			

Tabla 439A. Analysis of Variance Oneway Anova, Clorophyll (U. SPAD) of *Lycopersicon esculentum* Mill, Days 21, salicylic acid, 2,5 mS of electrical conductivity, *in vivo*

Source	DF	Sum of Squares	Mean Square	F Ratio	Prob > F
Tratamientos	2	211,41900	105,710	91,2324	<,0001*
Error	57	66,04500	1,159		
C. Total	59	277,46400			

Tabla 440A. Analysis of Variance Oneway Anova, Clorophyll (U. SPAD) of *Lycopersicon esculentum* Mill, Days 28, salicylic acid, 2,5 mS of electrical conductivity, *in vivo*

Source	DF	Sum of Squares	Mean Square	F Ratio	Prob > F
Tratamientos	2	166,19633	83,0982	85,5143	<,0001*
Error	57	55,38950	0,9717		
C. Total	59	221,58583			

Tabla 441A. Analysis of Variance Oneway Anova, Clorophyll (U. SPAD) of *Lycopersicon esculentum* Mill, Days 14, salicylic acid, 5 mS of electrical conductivity, *in vivo*

Source	DF	Sum of Squares	Mean Square	F Ratio	Prob > F
Tratamientos	2	188,46100	94,2305	80,0289	<,0001*
Error	57	67,11500	1,1775		
C. Total	59	255,57600			

Tabla 442A. Analysis of Variance Oneway Anova, Clorophyll (U. SPAD) of *Lycopersicon esculentum* Mill, Days 21, salicylic acid, 5 mS of electrical conductivity, *in vivo*

Source	DF	Sum of Squares	Mean Square	F Ratio	Prob > F
Tratamientos	2	290,36800	145,184	112,6131	<,0001*
Error	57	73,48600	1,289		
C. Total	59	363,85400			

Tabla 443A. Analysis of Variance Oneway Anova, Clorophyll (U. SPAD) of *Lycopersicon esculentum* Mill, Days 28, salicylic acid, 5 mS of electrical conductivity, *in vivo*

Source	DF	Sum of Squares	Mean Square	F Ratio	Prob > F
Tratamientos	2	100,65633	50,3282	147,8486	<,0001*
Error	57	19,40300	0,3404		
C. Total	59	120,05933			

Tabla 444A. Analysis of Variance Oneway Anova, leaf fresh weight (mg) of *Lycopersicon esculentum* Mill, Days 14, salicylic acid, 0 mS of electrical conductivity, *in vivo*

Source	DF	Sum of Squares	Mean Square	F Ratio	Prob > F
Tratamientos	2	32684,581	16342,3	36,1689	<,0001*
Error	57	25754,478	451,8		
C. Total	59	58439,059			

Tabla 445A. Analysis of Variance Oneway Anova, leaf fresh weight (mg) of *Lycopersicon esculentum* Mill, Days 28, salicylic acid, 0 mS of electrical conductivity, *in vivo*

Source	DF	Sum of Squares	Mean Square	F Ratio	Prob > F
Tratamientos	2	461683,64	230842	148,0303	<,0001*
Error	57	88887,13	1559		
C. Total	59	550570,77			

Tabla 446A. Analysis of Variance Oneway Anova, leaf fresh weight (mg) of *Lycopersicon esculentum* Mill, Days 14, salicylic acid, 2,5 mS of electrical conductivity, *in vivo*

Source	DF	Sum of Squares	Mean Square	F Ratio	Prob > F
Tratamientos	2	17186,881	8593,44	52,3393	<,0001*
Error	57	9358,666	164,19		
C. Total	59	26545,547			

Tabla 447A. Analysis of Variance Oneway Anova, leaf fresh weight (mg) of *Lycopersicon esculentum* Mill, Days 28, salicylic acid, 2,5 mS of electrical conductivity, *in vivo*

Source	DF	Sum of Squares	Mean Square	F Ratio	Prob > F
Tratamientos	2	339499,38	169750	135,4965	<,0001*
Error	57	71409,49	1253		
C. Total	59	410908,87			

Tabla 448A. Analysis of Variance Oneway Anova, leaf fresh weight (mg) of *Lycopersicon esculentum* Mill, Days 14, salicylic acid, 5 mS of electrical conductivity, *in vivo*

Source	DF	Sum of Squares	Mean Square	F Ratio	Prob > F
Tratamientos	2	8822,224	4411,11	17,4895	<,0001*
Error	57	14376,272	252,22		
C. Total	59	23198,496			

Tabla 449A. Analysis of Variance Oneway Anova, leaf fresh weight (mg) of *Lycopersicon esculentum* Mill, Days 28, salicylic acid, 5 mS of electrical conductivity, *in vivo*

Source	DF	Sum of Squares	Mean Square	F Ratio	Prob > F
Tratamientos	2	7893,493	3946,75	6,5662	0,0027*
Error	57	34260,903	601,07		
C. Total	59	42154,396			

Tabla 450A. Analysis of Variance Oneway Anova, stem fresh weight (mg) of *Lycopersicon esculentum* Mill, Days 14, salicylic acid, 0 mS of electrical conductivity, *in vivo*

Source	DF	Sum of Squares	Mean Square	F Ratio	Prob > F
Tratamientos	2	49728,933	24864,5	45,6466	<,0001*
Error	57	31048,824	544,7		
C. Total	59	80777,757			

Tabla 451A. Analysis of Variance Oneway Anova, stem fresh weight (mg) of *Lycopersicon esculentum* Mill, Days 28, salicylic acid, 0 mS of electrical conductivity, *in vivo*

Source	DF	Sum of Squares	Mean Square	F Ratio	Prob > F
Tratamientos	2	1144599,5	572300	160,8903	<,0001*
Error	57	202753,6	3557		
C. Total	59	1347353,1			

Tabla 452A. Analysis of Variance Oneway Anova, stem fresh weight (mg) of *Lycopersicon esculentum* Mill, Days 14, salicylic acid, 2,5 mS of electrical conductivity, *in vivo*

Source	DF	Sum of Squares	Mean Square	F Ratio	Prob > F
Tratamientos	2	33079,828	16539,9	41,4910	<,0001*
Error	57	22722,396	398,6		
C. Total	59	55802,224			

Tabla 453A. Analysis of Variance Oneway Anova, stem fresh weight (mg) of *Lycopersicon esculentum* Mill, Days 28, salicylic acid, 2,5 mS of electrical conductivity, *in vivo*

Source	DF	Sum of Squares	Mean Square	F Ratio	Prob > F
Tratamientos	2	460962,34	230481	81,9495	<,0001*
Error	57	160311,16	2812		
C. Total	59	621273,50			

Tabla 454A. Analysis of Variance Oneway Anova, stem fresh weight (mg) of *Lycopersicon esculentum* Mill, Days 14, salicylic acid, 5 mS of electrical conductivity, *in vivo*

Source	DF	Sum of Squares	Mean Square	F Ratio	Prob > F
Tratamientos	2	38449,156	19224,6	37,2019	<,0001*
Error	57	29455,538	516,8		
C. Total	59	67904,694			

Tabla 455A. Analysis of Variance Oneway Anova, stem fresh weight (mg) of *Lycopersicon esculentum* Mill, Days 28, salicylic acid, 5 mS of electrical conductivity, *in vivo*

Source	DF	Sum of Squares	Mean Square	F Ratio	Prob > F
Tratamientos	2	45597,777	22798,9	27,9553	<,0001*
Error	57	46486,273	815,5		
C. Total	59	92084,050			

Tabla 456A. Analysis of Variance Oneway Anova, roots fresh weight (mg) of *Lycopersicon esculentum* Mill, Days 14, salicylic acid, 0 mS of electrical conductivity, *in vivo*

Source	DF	Sum of Squares	Mean Square	F Ratio	Prob > F
Tratamientos	2	19803,161	9901,58	88,4859	<,0001*
Error	57	6378,308	111,90		
C. Total	59	26181,469			

Tabla 457A. Analysis of Variance Oneway Anova, roots fresh weight (mg) of *Lycopersicon esculentum* Mill, Days 28, salicylic acid, 0 mS of electrical conductivity, *in vivo*

Source	DF	Sum of Squares	Mean Square	F Ratio	Prob > F
Tratamientos	2	56956,17	28478,1	32,0108	<,0001*
Error	57	50709,46	889,6		
C. Total	59	107665,63			

Tabla 458A. Analysis of Variance Oneway Anova, roots fresh weight (mg) of *Lycopersicon esculentum* Mill, Days 14, salicylic acid, 2,5 mS of electrical conductivity, *in vivo*

Source	DF	Sum of Squares	Mean Square	F Ratio	Prob > F
Tratamientos	2	4360,4853	2180,24	67,4305	<,0001*
Error	57	1842,9920	32,33		
C. Total	59	6203,4773			

Tabla 459A. Analysis of Variance Oneway Anova, roots fresh weight (mg) of *Lycopersicon esculentum* Mill, Days 28, salicylic acid, 2,5 mS of electrical conductivity, *in vivo*

Source	DF	Sum of Squares	Mean Square	F Ratio	Prob > F
Tratamientos	2	22031,881	11015,9	14,0623	<,0001*
Error	57	44651,869	783,4		
C. Total	59	66683,750			

Tabla 460A. Analysis of Variance Oneway Anova, roots fresh weight (mg) of *Lycopersicon esculentum* Mill, Days 14, salicylic acid, 5 mS of electrical conductivity, *in vivo*

Source	DF	Sum of Squares	Mean Square	F Ratio	Prob > F
Tratamientos	2	1630,1293	815,065	32,9776	<,0001*
Error	57	1408,7940	24,716		
C. Total	59	3038,9233			

Tabla 461A. Analysis of Variance Oneway Anova, roots fresh weight (mg) of *Lycopersicon esculentum* Mill, Days 28, salicylic acid, 2,5 mS of electrical conductivity, *in vivo*

Source	DF	Sum of Squares	Mean Square	F Ratio	Prob > F
Tratamientos	2	5389,617	2694,81	24,0202	<,0001*
Error	57	6394,784	112,19		
C. Total	59	11784,402			

Tabla 462A. Analysis of Variance Oneway Anova, leaf dry weight (mg) of *Lycopersicon esculentum* Mill, Days 14, salicylic acid, 0 mS of electrical conductivity, *in vivo*

Source	DF	Sum of Squares	Mean Square	F Ratio	Prob > F
Tratamientos	2	829,9453	414,973	18,2818	<,0001*
Error	57	1293,8280	22,699		
C. Total	59	2123,7733			

Tabla 463A. Analysis of Variance Oneway Anova, leaf dry weight (mg) of *Lycopersicon esculentum* Mill, Days 28, salicylic acid, 0 mS of electrical conductivity, *in vivo*

Source	DF	Sum of Squares	Mean Square	F Ratio	Prob > F
Tratamientos	2	2611,865	1305,93	8,8307	0,0005*
Error	57	8429,462	147,89		
C. Total	59	11041,327			

Tabla 464A. Analysis of Variance Oneway Anova, leaf dry weight (mg) of *Lycopersicon esculentum* Mill, Days 14, salicylic acid, 2,5 mS of electrical conductivity, *in vivo*

Source	DF	Sum of Squares	Mean Square	F Ratio	Prob > F
Tratamientos	2	732,4373	366,219	35,6961	<,0001*
Error	57	584,7820	10,259		
C. Total	59	1317,2193			

Tabla 465A. Analysis of Variance Oneway Anova, leaf dry weight (mg) of *Lycopersicon esculentum* Mill, Days 28, salicylic acid, 2,5 mS of electrical conductivity, *in vivo*

Source	DF	Sum of Squares	Mean Square	F Ratio	Prob > F
Tratamientos	2	1187,6520	593,826	15,0088	<,0001*
Error	57	2255,2140	39,565		
C. Total	59	3442,8660			

Tabla 466A. Analysis of Variance Oneway Anova, leaf dry weight (mg) of *Lycopersicon esculentum* Mill, Days 14, salicylic acid, 5 mS of electrical conductivity, *in vivo*

Source	DF	Sum of Squares	Mean Square	F Ratio	Prob > F
Tratamientos	2	525,7453	262,873	25,2484	<,0001*
Error	57	593,4520	10,411		
C. Total	59	1119,1973			

Tabla 467A. Analysis of Variance Oneway Anova, leaf dry weight (mg) of *Lycopersicon esculentum* Mill, Days 28, salicylic acid, 5 mS of electrical conductivity, *in vivo*

Source	DF	Sum of Squares	Mean Square	F Ratio	Prob > F
Tratamientos	2	564,9910	282,496	5,6335	0,0059*
Error	57	2858,3250	50,146		
C. Total	59	3423,3160			

Tabla 468A. Analysis of Variance Oneway Anova, stem dry weight (mg) of *Lycopersicon esculentum* Mill, Days 14, salicylic acid, 0 mS of electrical conductivity, *in vivo*

Source	DF	Sum of Squares	Mean Square	F Ratio	Prob > F
Tratamientos	2	4782,320	2391,16	15,1506	<,0001*
Error	57	8996,062	157,83		
C. Total	59	13778,382			

Tabla 469A. Analysis of Variance Oneway Anova, stem dry weight (mg) of *Lycopersicon esculentum* Mill, Days 28, salicylic acid, 0 mS of electrical conductivity, *in vivo*

Source	DF	Sum of Squares	Mean Square	F Ratio	Prob > F
Tratamientos	2	868,2893	434,145	25,8482	<,0001*
Error	57	957,3700	16,796		
C. Total	59	1825,6593			

Tabla 470A. Analysis of Variance Oneway Anova, stem dry weight (mg) of *Lycopersicon esculentum* Mill, Days 14, salicylic acid, 2,5 mS of electrical conductivity, *in vivo*

Source	DF	Sum of Squares	Mean Square	F Ratio	Prob > F
Tratamientos	2	1184,4493	592,225	30,8080	<,0001*
Error	57	1095,7140	19,223		
C. Total	59	2280,1633			

Tabla 471A. Analysis of Variance Oneway Anova, stem dry weight (mg) of *Lycopersicon esculentum* Mill, Days 28, salicylic acid, 2,5 mS of electrical conductivity, *in vivo*

Source	DF	Sum of Squares	Mean Square	F Ratio	Prob > F
Tratamientos	2	1863,0190	931,510	28,6687	<,0001*
Error	57	1852,0575	32,492		
C. Total	59	3715,0765			

Tabla 472A. Analysis of Variance Oneway Anova, stem dry weight (mg) of *Lycopersicon esculentum* Mill, Days 14, salicylic acid, 5 mS of electrical conductivity, *in vivo*

Source	DF	Sum of Squares	Mean Square	F Ratio	Prob > F
Tratamientos	2	1206,7312	603,366	59,8514	<,0001*
Error	57	574,6202	10,081		
C. Total	59	1781,3514			

Tabla 473A. Analysis of Variance Oneway Anova, stem dry weight (mg) of *Lycopersicon esculentum* Mill, Days 28, salicylic acid, 5 mS of electrical conductivity, *in vivo*

Source	DF	Sum of Squares	Mean Square	F Ratio	Prob > F
Tratamientos	2	2881,5840	1440,79	68,3199	<,0001*
Error	57	1202,0685	21,09		
C. Total	59	4083,6525			

Tabla 474A. Analysis of Variance Oneway Anova, roots dry weight (mg) of *Lycopersicon esculentum* Mill, Days 14, salicylic acid, 0 mS of electrical conductivity, *in vivo*

Source	DF	Sum of Squares	Mean Square	F Ratio	Prob > F
Tratamientos	2	477,3773	238,689	12,6315	<,0001*
Error	57	1077,0900	18,896		
C. Total	59	1554,4673			

Tabla 475A. Analysis of Variance Oneway Anova, roots dry weight (mg) of *Lycopersicon esculentum* Mill, Days 28, salicylic acid, 0 mS of electrical conductivity, *in vivo*

Source	DF	Sum of Squares	Mean Square	F Ratio	Prob > F
Tratamientos	2	4409,034	2204,52	5,4836	0,0066*
Error	57	22914,941	402,02		
C. Total	59	27323,974			

Tabla 476A. Analysis of Variance Oneway Anova, roots dry weight (mg) of *Lycopersicon esculentum* Mill, Days 14, salicylic acid, 2,5 mS of electrical conductivity, *in vivo*

Source	DF	Sum of Squares	Mean Square	F Ratio	Prob > F
Tratamientos	2	458,47600	229,238	33,4100	<,0001*
Error	57	391,09800	6,861		
C. Total	59	849,57400			

Tabla 477A. Analysis of Variance Oneway Anova, roots dry weight (mg) of *Lycopersicon esculentum* Mill, Days 28, salicylic acid, 2,5 mS of electrical conductivity, *in vivo*

Source	DF	Sum of Squares	Mean Square	F Ratio	Prob > F
Tratamientos	2	1916,8023	958,401	7,9130	0,0009*
Error	57	6903,7275	121,118		
C. Total	59	8820,5298			

Tabla 478A. Analysis of Variance Oneway Anova, roots dry weight (mg) of *Lycopersicon esculentum* Mill, Days 14, salicylic acid, 5 mS of electrical conductivity, *in vivo*

Source	DF	Sum of Squares	Mean Square	F Ratio	Prob > F
Tratamientos	2	269,40933	134,705	33,9067	<,0001*
Error	57	226,45000	3,973		
C. Total	59	495,85933			

Tabla 479A. Analysis of Variance Oneway Anova, roots dry weight (mg) of *Lycopersicon esculentum* Mill, Days 28, salicylic acid, 5 mS of electrical conductivity, *in vivo*

Source	DF	Sum of Squares	Mean Square	F Ratio	Prob > F
Tratamientos	2	613,4894	306,745	17,2499	<,0001*
Error	57	1013,5951	17,782		
C. Total	59	1627,0845			

Anexo 6. Análisis de la variancia Oneway ANOVA de las variables estudiadas por efecto del ácido salicílico en berenjena cultivada *in vivo* en 2,5, 5 y 7,5 mS de salinidad.

Tabla 480A. Analysis of Variance Oneway Anova, Length stem (mm) of *Solanum melongena* L., Days 7, salicylic acid, 0 mS of electrical conductivity, *in vivo*

Source	DF	Sum of Squares	Mean Square	F Ratio	Prob > F
Tratamientos	2	624,70000	312,350	54,0005	<,0001*
Error	57	329,70000	5,784		
C. Total	59	954,40000			

Tabla 481A. Analysis of Variance Oneway Anova, Length stem (mm) of *Solanum melongena* L., Days 14, salicylic acid, 0 mS of electrical conductivity, *in vivo*

Source	DF	Sum of Squares	Mean Square	F Ratio	Prob > F
Tratamientos	2	176,6333	88,3167	3,9492	0,0248*
Error	57	1274,7000	22,3632		
C. Total	59	1451,3333			

Tabla 482A. Analysis of Variance Oneway Anova, Length stem (mm) of *Solanum melongena* L., Days 21, salicylic acid, 0 mS of electrical conductivity, *in vivo*

Source	DF	Sum of Squares	Mean Square	F Ratio	Prob > F
Tratamientos	2	394,1333	197,067	15,2031	<,0001*
Error	57	738,8500	12,962		
C. Total	59	1132,9833			

Tabla 483A. Analysis of Variance Oneway Anova, Length stem (mm) of *Solanum melongena* L., Days 28, salicylic acid, 0 mS of electrical conductivity, *in vivo*

Source	DF	Sum of Squares	Mean Square	F Ratio	Prob > F
Tratamientos	2	868,9333	434,467	26,0735	<,0001*
Error	57	949,8000	16,663		
C. Total	59	1818,7333			

Tabla 484A. Analysis of Variance Oneway Anova, Length stem (mm) of *Solanum melongena* L., Days 7, salicylic acid, 2,5 mS of electrical conductivity, *in vivo*

Source	DF	Sum of Squares	Mean Square	F Ratio	Prob > F
Tratamientos	2	330,10000	165,050	17,3721	<,0001*
Error	57	541,55000	9,501		
C. Total	59	871,65000			

Tabla 485A. Analysis of Variance Oneway Anova, Length stem (mm) of *Solanum melongena* L., Days 14, salicylic acid, 2,5 mS of electrical conductivity, *in vivo*

Source	DF	Sum of Squares	Mean Square	F Ratio	Prob > F
Tratamientos	2	184,9000	92,4500	4,0413	0,0228*
Error	57	1303,9500	22,8763		
C. Total	59	1488,8500			

Tabla 486A. Analysis of Variance Oneway Anova, Length stem (mm) of *Solanum melongena* L., Days 21, salicylic acid, 2,5 mS of electrical conductivity, *in vivo*

Source	DF	Sum of Squares	Mean Square	F Ratio	Prob > F
Tratamientos	2	672,5333	336,267	31,7233	<,0001*
Error	57	604,2000	10,600		

Source	DF	Sum of Squares	Mean Square	F Ratio	Prob > F
C. Total	59	1276,7333			

Tabla 487A. Analysis of Variance Oneway Anova, Length stem (mm) of *Solanum melongena* L., Days 28, salicylic acid, 2,5 mS of electrical conductivity, *in vivo*

Source	DF	Sum of Squares	Mean Square	F Ratio	Prob > F
Tratamientos	2	1584,0333	792,017	65,6034	<,0001*
Error	57	688,1500	12,073		
C. Total	59	2272,1833			

Tabla 488A. Analysis of Variance Oneway Anova, Length stem (mm) of *Solanum melongena* L., Days 7, salicylic acid, 5 mS of electrical conductivity, *in vivo*

Source	DF	Sum of Squares	Mean Square	F Ratio	Prob > F
Tratamientos	2	268,93333	134,467	15,7578	<,0001*
Error	57	486,40000	8,533		
C. Total	59	755,33333			

Tabla 489A. Analysis of Variance Oneway Anova, Length stem (mm) of *Solanum melongena* L., Days 14, salicylic acid, 5 mS of electrical conductivity, *in vivo*

Source	DF	Sum of Squares	Mean Square	F Ratio	Prob > F
Tratamientos	2	96,0333	48,0167	2,1672	0,1238
Error	57	1262,9000	22,1561		
C. Total	59	1358,9333			

Tabla 490A. Analysis of Variance Oneway Anova, Length stem (mm) of *Solanum melongena* L., Days 21, salicylic acid, 5 mS of electrical conductivity, *in vivo*

Source	DF	Sum of Squares	Mean Square	F Ratio	Prob > F
Tratamientos	2	1100,1000	550,050	32,6490	<,0001*
Error	57	960,3000	16,847		
C. Total	59	2060,4000			

Tabla 491A. Analysis of Variance Oneway Anova, Length stem (mm) of *Solanum melongena* L., Days 28, salicylic acid, 5 mS of electrical conductivity, *in vivo*

Source	DF	Sum of Squares	Mean Square	F Ratio	Prob > F
Tratamientos	2	1372,9000	686,450	67,8005	<,0001*
Error	57	577,1000	10,125		
C. Total	59	1950,0000			

Tabla 492A. Analysis of Variance Oneway Anova, Length roots (mm) of *Solanum melongena* L., Days 14, salicylic acid, 0 mS of electrical conductivity, *in vivo*

Source	DF	Sum of Squares	Mean Square	F Ratio	Prob > F
Tratamientos	2	3639,1000	1819,55	79,1380	<,0001*
Error	57	1310,5500	22,99		
C. Total	59	4949,6500			

Tabla 493A. Analysis of Variance Oneway Anova, Length roots (mm) of *Solanum melongena* L., Days 28, salicylic acid, 0 mS of electrical conductivity, *in vivo*

Source	DF	Sum of Squares	Mean Square	F Ratio	Prob > F
Tratamientos	2	1364,1333	682,067	49,0386	<,0001*
Error	57	792,8000	13,909		
C. Total	59	2156,9333			

Tabla 494A. Analysis of Variance Oneway Anova, Length roots (mm) of *Solanum melongena* L., Days 14, salicylic acid, 2,5 mS of electrical conductivity, *in vivo*

Source	DF	Sum of Squares	Mean Square	F Ratio	Prob > F
Tratamientos	2	3170,1000	1585,05	49,2748	<,0001*

Source	DF	Sum of Squares	Mean Square	F Ratio	Prob > F
Error	57	1833,5500	32,17		
C. Total	59	5003,6500			

Tabla 495A. Analysis of Variance Oneway Anova, Length roots (mm) of *Solanum melongena* L., Days 28, salicylic acid, 2,5 mS of electrical conductivity, *in vivo*

Source	DF	Sum of Squares	Mean Square	F Ratio	Prob > F
Tratamientos	2	1744,3000	872,150	36,6531	<,0001*
Error	57	1356,3000	23,795		
C. Total	59	3100,6000			

Tabla 496A. Analysis of Variance Oneway Anova, Length roots (mm) of *Solanum melongena* L., Days 14, salicylic acid, 5 mS of electrical conductivity, *in vivo*

Source	DF	Sum of Squares	Mean Square	F Ratio	Prob > F
Tratamientos	2	1326,4000	663,200	45,0995	<,0001*
Error	57	838,2000	14,705		
C. Total	59	2164,6000			

Tabla 497A. Analysis of Variance Oneway Anova, Length roots (mm) of *Solanum melongena* L., Days 28, salicylic acid, 5 mS of electrical conductivity, *in vivo*

Source	DF	Sum of Squares	Mean Square	F Ratio	Prob > F
Tratamientos	2	270,9333	135,467	4,9256	0,0106*
Error	57	1567,6500	27,503		
C. Total	59	1838,5833			

Tabla 498A. Analysis of Variance Oneway Anova, N° Leaves of *Solanum melongena* L., Days 7, salicylic acid, 0 mS of electrical conductivity, *in vivo*

Source	DF	Sum of Squares	Mean Square	F Ratio	Prob > F
Tratamientos	2	0	0		
Error	57	0	0		
C. Total	59	0			

Tabla 499A. Analysis of Variance Oneway Anova, N° Leaves of *Solanum melongena* L., Days 14, salicylic acid, 0 mS of electrical conductivity, *in vivo*

Source	DF	Sum of Squares	Mean Square	F Ratio	Prob > F
Tratamientos	2	1,433333	0,716667	3,2039	0,0480*
Error	57	12,750000	0,223684		
C. Total	59	14,183333			

Tabla 500A. Analysis of Variance Oneway Anova, N° Leaves of *Solanum melongena* L., Days 21, salicylic acid, 0 mS of electrical conductivity, *in vivo*

Source	DF	Sum of Squares	Mean Square	F Ratio	Prob > F
Tratamientos	2	0,700000	0,350000	1,4562	0,2417
Error	57	13,700000	0,240351		
C. Total	59	14,400000			

Tabla 501A. Analysis of Variance Oneway Anova, N° Leaves of *Solanum melongena* L., Days 28, salicylic acid, 0 mS of electrical conductivity, *in vivo*

Source	DF	Sum of Squares	Mean Square	F Ratio	Prob > F
Tratamientos	2	0,7000000	0,350000	2,7329	0,0736
Error	57	7,3000000	0,128070		
C. Total	59	8,0000000			

Tabla 502A. Analysis of Variance Oneway Anova, N° Leaves of *Solanum melongena* L, Days 7, salicylic acid, 2,5 mS of electrical conductivity, *in vivo*

Source	DF	Sum of Squares	Mean Square	F Ratio	Prob > F
Tratamientos	2	0	0		
Error	57	0	0		
C. Total	59	0			

Tabla 503A. Analysis of Variance Oneway Anova, N° Leaves of *Solanum melongena* L, Days 14, salicylic acid, 2,5 mS of electrical conductivity, *in vivo*

Source	DF	Sum of Squares	Mean Square	F Ratio	Prob > F
Tratamientos	2	1,200000	0,600000	2,5055	0,0906
Error	57	13,650000	0,239474		
C. Total	59	14,850000			

Tabla 504A. Analysis of Variance Oneway Anova, N° Leaves of *Solanum melongena* L, Days 21, salicylic acid, 2,5 mS of electrical conductivity, *in vivo*

Source	DF	Sum of Squares	Mean Square	F Ratio	Prob > F
Tratamientos	2	0,6333333	0,316667	2,3907	0,1007
Error	57	7,5500000	0,132456		
C. Total	59	8,1833333			

Tabla 505A. Analysis of Variance Oneway Anova, N° Leaves of *Solanum melongena* L, Days 28, salicylic acid, 2,5 mS of electrical conductivity, *in vivo*

Source	DF	Sum of Squares	Mean Square	F Ratio	Prob > F
Tratamientos	2	6,633333	3,31667	34,0631	<,0001*
Error	57	5,550000	0,09737		
C. Total	59	12,183333			

Tabla 506A. Analysis of Variance Oneway Anova, N° Leaves of *Solanum melongena* L, Days 7, salicylic acid, 5 mS of electrical conductivity, *in vivo*

Source	DF	Sum of Squares	Mean Square	F Ratio	Prob > F
Tratamientos	2	0	0		
Error	57	0	0		
C. Total	59	0			

Tabla 507A. Analysis of Variance Oneway Anova, N° Leaves of *Solanum melongena* L, Days 14, salicylic acid, 5 mS of electrical conductivity, *in vivo*

Source	DF	Sum of Squares	Mean Square	F Ratio	Prob > F
Tratamientos	2	5,633333	2,81667	17,6429	<,0001*
Error	57	9,100000	0,15965		
C. Total	59	14,733333			

Tabla 508A. Analysis of Variance Oneway Anova, N° Leaves of *Solanum melongena* L, Days 21, salicylic acid, 5 mS of electrical conductivity, *in vivo*

Source	DF	Sum of Squares	Mean Square	F Ratio	Prob > F
Tratamientos	2	3,233333	1,61667	6,8259	0,0022*
Error	57	13,500000	0,23684		
C. Total	59	16,733333			

Tabla 509A. Analysis of Variance Oneway Anova, N° Leaves of *Solanum melongena* L, Days 28, salicylic acid, 5 mS of electrical conductivity, *in vivo*

Source	DF	Sum of Squares	Mean Square	F Ratio	Prob > F
Tratamientos	2	9,300000	4,65000	47,7568	<,0001*
Error	57	5,550000	0,09737		
C. Total	59	14,850000			

Tabla 510A. Analysis of Variance Oneway Anova, Clorophyll (U. SPAD) of *Solanum melongena* L, Days 14 salicylic acid, 0 mS of electrical conductivity, *in vivo*

Source	DF	Sum of Squares	Mean Square	F Ratio	Prob > F
Tratamientos	2	146,41600	73,2080	60,9016	<,0001*
Error	57	68,51800	1,2021		
C. Total	59	214,93400			

Tabla 511A. Analysis of Variance Oneway Anova, Clorophyll (U. SPAD) of *Solanum melongena* L, Days 21, salicylic acid, 0 mS of electrical conductivity, *in vivo*

Source	DF	Sum of Squares	Mean Square	F Ratio	Prob > F
Tratamientos	2	115,20100	57,6005	58,6553	<,0001*
Error	57	55,97500	0,9820		
C. Total	59	171,17600			

Tabla 512A. Analysis of Variance Oneway Anova, Clorophyll (U. SPAD) of *Solanum melongena* L, Days 28, salicylic acid, 0 mS of electrical conductivity, *in vivo*

Source	DF	Sum of Squares	Mean Square	F Ratio	Prob > F
Tratamientos	2	202,13033	101,065	86,5863	<,0001*
Error	57	66,53150	1,167		
C. Total	59	268,66183			

Tabla 513A. Analysis of Variance Oneway Anova, Clorophyll (U. SPAD) of *Solanum melongena* L, Days 14, salicylic acid, 2,5 mS of electrical conductivity, *in vivo*

Source	DF	Sum of Squares	Mean Square	F Ratio	Prob > F
Tratamientos	2	113,18233	56,5912	38,8997	<,0001*
Error	57	82,92350	1,4548		
C. Total	59	196,10583			

Tabla 514A. Analysis of Variance Oneway Anova, Clorophyll (U. SPAD) of *Solanum melongena* L, Days 21, salicylic acid, 2,5 mS of electrical conductivity, *in vivo*

Source	DF	Sum of Squares	Mean Square	F Ratio	Prob > F
Tratamientos	2	144,49900	72,2495	34,6507	<,0001*
Error	57	118,84950	2,0851		
C. Total	59	263,34850			

Tabla 515A. Analysis of Variance Oneway Anova, Clorophyll (U. SPAD) of *Solanum melongena* L, Days 28, salicylic acid, 2,5 mS of electrical conductivity, *in vivo*

Source	DF	Sum of Squares	Mean Square	F Ratio	Prob > F
Tratamientos	2	124,49900	72,2495	34,6507	<,0001*
Error	57	218,84950	2,0851		
C. Total	59	371,34850			

Tabla 516A. Analysis of Variance Oneway Anova, Clorophyll (U. SPAD) of *Solanum melongena* L, Days 14, salicylic acid, 5 mS of electrical conductivity, *in vivo*

Source	DF	Sum of Squares	Mean Square	F Ratio	Prob > F
Tratamientos	2	116,77433	58,3872	25,3426	<,0001*
Error	57	131,32300	2,3039		
C. Total	59	248,09733			

Tabla 517A. Analysis of Variance Oneway Anova, Clorophyll (U. SPAD) of *Solanum melongena* L, Days 21, salicylic acid, 5 mS of electrical conductivity, *in vivo*

Source	DF	Sum of Squares	Mean Square	F Ratio	Prob > F
Tratamientos	2	98,53433	49,2672	25,8710	<,0001*
Error	57	108,54750	1,9043		
C. Total	59	207,08183			

Tabla 518A. Analysis of Variance Oneway Anova, Clorophyll (U. SPAD) of *Solanum melongena* L, Days 28, salicylic acid, 5 mS of electrical conductivity, *in vivo*

Source	DF	Sum of Squares	Mean Square	F Ratio	Prob > F
Tratamientos	2	132,09633	66,0482	85,5362	<,0001*
Error	57	44,01350	0,7722		
C. Total	59	176,10983			

Tabla 519A. Analysis of Variance Oneway Anova, Leaf area (mm²) of *Solanum melongena* L, Days 14 salicylic acid, 0 mS of electrical conductivity, *in vivo*

Source	DF	Sum of Squares	Mean Square	F Ratio	Prob > F
Tratamientos	2	622691,4	311346	19,5437	<,0001*
Error	57	908053,9	15931		
C. Total	59	1530745,3			

Tabla 520A. Analysis of Variance Oneway Anova, Leaf area (mm²) of *Solanum melongena* L, Days 28 salicylic acid, 0 mS of electrical conductivity, *in vivo*

Source	DF	Sum of Squares	Mean Square	F Ratio	Prob > F
Tratamientos	2	9608103	4804051	55,0789	<,0001*
Error	57	4971610	87221		
C. Total	59	14579713			

Tabla 521A. Analysis of Variance Oneway Anova, Leaf area (mm²) of *Solanum melongena* L, Days 14 salicylic acid, 2,5 mS of electrical conductivity, *in vivo*

Source	DF	Sum of Squares	Mean Square	F Ratio	Prob > F
Tratamientos	2	692089,6	346045	13,2109	<,0001*
Error	57	1493052,6	26194		
C. Total	59	2185142,2			

Tabla 522A. Analysis of Variance Oneway Anova, Leaf area (mm²) of *Solanum melongena* L, Days 28 salicylic acid, 2,5 mS of electrical conductivity, *in vivo*

Source	DF	Sum of Squares	Mean Square	F Ratio	Prob > F
Tratamientos	2	2581406,1	1290703	16,2494	<,0001*
Error	57	4527563,2	79431		
C. Total	59	7108969,3			

Tabla 523A. Analysis of Variance Oneway Anova, Leaf area (mm²) of *Solanum melongena* L, Days 14 salicylic acid, 5 mS of electrical conductivity, *in vivo*

Source	DF	Sum of Squares	Mean Square	F Ratio	Prob > F
Tratamientos	2	509048,0	254524	11,0966	<,0001*
Error	57	1307417,3	22937		
C. Total	59	1816465,3			

Tabla 524A. Analysis of Variance Oneway Anova, Leaf area (mm²) of *Solanum melongena* L, Days 28 salicylic acid, 5 mS of electrical conductivity, *in vivo*

Source	DF	Sum of Squares	Mean Square	F Ratio	Prob > F
Tratamientos	2	3437626,6	1718813	20,2806	<,0001*
Error	57	4830835,6	84752		
C. Total	59	8268462,2			

Tabla 525A. Analysis of Variance Oneway Anova, fresh weight leaf (mg) of *Solanum melongena* L, Days 14 salicylic acid, 0 mS of electrical conductivity, *in vivo*

Source	DF	Sum of Squares	Mean Square	F Ratio	Prob > F
Tratamientos	2	17735,332	8867,67	22,0899	<,0001*
Error	57	22881,834	401,44		
C. Total	59	40617,166			

Tabla 526A. Analysis of Variance Oneway Anova, fresh weight leaf (mg) of *Solanum melongena* L, Days 28 salicylic acid, 0 mS of electrical conductivity, *in vivo*

Source	DF	Sum of Squares	Mean Square	F Ratio	Prob > F
Tratamientos	2	133280,90	66640,5	92,3822	<,0001*
Error	57	41117,30	721,4		
C. Total	59	174398,20			

Tabla 527A. Analysis of Variance Oneway Anova, dry weight leaf (mg) of *Solanum melongena* L., Days 14 salicylic acid, 0 mS of electrical conductivity, *in vivo*

Source	DF	Sum of Squares	Mean Square	F Ratio	Prob > F
Tratamientos	2	395,5240	197,762	5,9568	0,0045*
Error	57	1892,3685	33,199		
C. Total	59	2287,8925			

Tabla 528A. Analysis of Variance Oneway Anova, dry weight leaf (mg) of *Solanum melongena* L., Days 28 salicylic acid, 0 mS of electrical conductivity, *in vivo*

Source	DF	Sum of Squares	Mean Square	F Ratio	Prob > F
Tratamientos	2	595,9063	297,953	11,8258	<,0001*
Error	57	1436,1210	25,195		
C. Total	59	2032,0273			

Tabla 529A. Analysis of Variance Oneway Anova, fresh weight leaf (mg) of *Solanum melongena* L, Days 14, salicylic acid, 2,5 mS of electrical conductivity, *in vivo*

Source	DF	Sum of Squares	Mean Square	F Ratio	Prob > F
Tratamientos	2	65208,025	32604,0	54,2712	<,0001*
Error	57	34243,388	600,8		
C. Total	59	99451,413			

Tabla 530A. Analysis of Variance Oneway Anova, fresh weight leaf (mg) of *Solanum melongena* L, Days 28, salicylic acid, 2,5 mS of electrical conductivity, *in vivo*

Source	DF	Sum of Squares	Mean Square	F Ratio	Prob > F
Tratamientos	2	137775,57	68887,8	118,7092	<,0001*
Error	57	33077,51	580,3		
C. Total	59	170853,07			

Tabla 531A. Analysis of Variance Oneway Anova, dry weight leaf (mg) of *Solanum melongena* L., Days 14 salicylic acid, 2,5 mS of electrical conductivity, *in vivo*

Source	DF	Sum of Squares	Mean Square	F Ratio	Prob > F
Tratamientos	2	730,2023	365,101	30,0889	<,0001*
Error	57	691,6435	12,134		
C. Total	59	1421,8458			

Tabla 532A. Analysis of Variance Oneway Anova, dry weight leaf (mg) of *Solanum melongena* L., Days 28 salicylic acid, 2,5 mS of electrical conductivity, *in vivo*

Source	DF	Sum of Squares	Mean Square	F Ratio	Prob > F
Tratamientos	2	705,1503	352,575	8,4231	0,0006*
Error	57	2385,9170	41,858		
C. Total	59	3091,0673			

Tabla 533A. Analysis of Variance Oneway Anova, fresh weight leaf (mg) of *Solanum melongena* L, Days 14, salicylic acid, 5 mS of electrical conductivity, *in vivo*

Source	DF	Sum of Squares	Mean Square	F Ratio	Prob > F
Tratamientos	2	6725,329	3362,66	25,4108	<,0001*
Error	57	7542,938	132,33		
C. Total	59	14268,267			

Tabla 534A. Analysis of Variance Oneway Anova, fresh weight leaf (mg) of *Solanum melongena* L, Days 28, salicylic acid, 5 mS of electrical conductivity, *in vivo*

Source	DF	Sum of Squares	Mean Square	F Ratio	Prob > F
Tratamientos	2	138284,38	69142,2	88,6307	<,0001*
Error	57	44466,60	780,1		
C. Total	59	182750,98			

Tabla 535A. Analysis of Variance Oneway Anova, dry weight leaf (mg) of *Solanum melongena* L., Days 14 salicylic acid, 5 mS of electrical conductivity, *in vivo*

Source	DF	Sum of Squares	Mean Square	F Ratio	Prob > F
Tratamientos	2	405,9160	202,958	2,7521	0,0723
Error	57	4203,6200	73,748		
C. Total	59	4609,5360			

Tabla 536A. Analysis of Variance Oneway Anova, dry weight leaf (mg) of *Solanum melongena* L., Days 28 salicylic acid, 5 mS of electrical conductivity, *in vivo*

Source	DF	Sum of Squares	Mean Square	F Ratio	Prob > F
Tratamientos	2	366,4893	183,245	9,4373	0,0003*
Error	57	1106,7728	19,417		
C. Total	59	1473,2621			

Tabla 537A. Analysis of Variance Oneway Anova, fresh weight stem (mg) of *Solanum melongena* L, Days 14 salicylic acid, 0 mS of electrical conductivity, *in vivo*

Source	DF	Sum of Squares	Mean Square	F Ratio	Prob > F
Tratamientos	2	13790,425	6895,21	28,7673	<,0001*
Error	57	13662,292	239,69		
C. Total	59	27452,717			

Tabla 538A. Analysis of Variance Oneway Anova, fresh weight stem (mg) of *Solanum melongena* L, Days 28 salicylic acid, 0 mS of electrical conductivity, *in vivo*

Source	DF	Sum of Squares	Mean Square	F Ratio	Prob > F
Tratamientos	2	49883,484	24941,7	64,6409	<,0001*
Error	57	21993,500	385,9		
C. Total	59	71876,984			

Tabla 539A. Analysis of Variance Oneway Anova, dry weight stem (mg) of *Solanum melongena* L, Days 14 salicylic acid, 0 mS of electrical conductivity, *in vivo*

Source	DF	Sum of Squares	Mean Square	F Ratio	Prob > F
Tratamientos	2	745,4023	372,701	22,3346	<,0001*
Error	57	951,1675	16,687		
C. Total	59	1696,5698			

Tabla 540A. Analysis of Variance Oneway Anova, dry weight stem (mg) of *Solanum melongena* L, Days 28 salicylic acid, 0 mS of electrical conductivity, *in vivo*

Source	DF	Sum of Squares	Mean Square	F Ratio	Prob > F
Tratamientos	2	223,4303	111,715	7,3657	0,0014*
Error	57	864,5097	15,167		
C. Total	59	1087,9400			

Tabla 541A. Analysis of Variance Oneway Anova, fresh weight stem (mg) of *Solanum melongena* L, Days 14 salicylic acid, 2,5 mS of electrical conductivity, *in vivo*

Source	DF	Sum of Squares	Mean Square	F Ratio	Prob > F
Tratamientos	2	6941,356	3470,68	29,9953	<,0001*
Error	57	6595,330	115,71		
C. Total	59	13536,686			

Tabla 542A. Analysis of Variance Oneway Anova, fresh weight stem (mg) of *Solanum melongena* L, Days 28 salicylic acid, 2,5 mS of electrical conductivity, *in vivo*

Source	DF	Sum of Squares	Mean Square	F Ratio	Prob > F
Tratamientos	2	26663,135	13331,6	39,1483	<,0001*
Error	57	19410,770	340,5		
C. Total	59	46073,905			

Tabla 543A. Analysis of Variance Oneway Anova, dry weight stem (mg) of *Solanum melongena* L, Days 14 salicylic acid, 2,5 mS of electrical conductivity, *in vivo*

Source	DF	Sum of Squares	Mean Square	F Ratio	Prob > F
Tratamientos	2	589,5790	294,789	18,5535	<,0001*
Error	57	905,6495	15,889		
C. Total	59	1495,2285			

Tabla 544A. Analysis of Variance Oneway Anova, dry weight stem (mg) of *Solanum melongena* L, Days 28 salicylic acid, 2,5 mS of electrical conductivity, *in vivo*

Source	DF	Sum of Squares	Mean Square	F Ratio	Prob > F
Tratamientos	2	767,0723	383,536	8,7622	0,0005*
Error	57	2494,9735	43,771		
C. Total	59	3262,0458			

Tabla 545A. Analysis of Variance Oneway Anova, fresh weight stem (mg) of *Solanum melongena* L, Days 14 salicylic acid, 5 mS of electrical conductivity, *in vivo*

Source	DF	Sum of Squares	Mean Square	F Ratio	Prob > F
Tratamientos	2	908,9440	454,472	5,9737	0,0044*
Error	57	4336,5260	76,079		
C. Total	59	5245,4700			

Tabla 546A. Analysis of Variance Oneway Anova, fresh weight stem (mg) of *Solanum melongena* L, Days 28 salicylic acid, 5 mS of electrical conductivity, *in vivo*

Source	DF	Sum of Squares	Mean Square	F Ratio	Prob > F
Tratamientos	2	2	20060,719	10030,4	49,9073
Error	57	57	11455,850	201,0	
C. Total	59	59	31516,569		

Tabla 547A. Analysis of Variance Oneway Anova, dry weight stem (mg) of *Solanum melongena* L, Days 14 salicylic acid, 5 mS of electrical conductivity, *in vivo*

Source	DF	Sum of Squares	Mean Square	F Ratio	Prob > F
Tratamientos	2	294,7263	147,363	7,5998	0,0012*
Error	57	1105,2530	19,390		
C. Total	59	1399,9793			

Tabla 548A. Analysis of Variance Oneway Anova, dry weight stem (mg) of *Solanum melongena* L, Days 28 salicylic acid, 5 mS of electrical conductivity, *in vivo*

Source	DF	Sum of Squares	Mean Square	F Ratio	Prob > F
Tratamientos	2	218,4303	109,215	5,1881	0,0085*
Error	57	1199,9090	21,051		
C. Total	59	1418,3393			

Tabla 549A. Analysis of Variance Oneway Anova roots fresh weight (mg) of *Solanum melongena* L., Days 14 salicylic acid, 0 mS of electrical conductivity, *in vivo*

Source	DF	Sum of Squares	Mean Square	F Ratio	Prob > F
Tratamientos	2	12772,357	6386,18	49,8854	<,0001*
Error	57	7296,966	128,02		
C. Total	59	20069,323			

Tabla 550A. Analysis of Variance Oneway Anova roots fresh weight (mg) of *Solanum melongena* L., Days 28 salicylic acid, 0 mS of electrical conductivity, *in vivo*

Source	DF	Sum of Squares	Mean Square	F Ratio	Prob > F
Tratamientos	2	56280,950	28140,5	69,5283	<,0001*
Error	57	23069,859	404,7		
C. Total	59	79350,809			

Tabla 551A. Analysis of Variance Oneway Anova roots dry weight (mg) of *Solanum melongena* L., Days 14 salicylic acid, 0 mS of electrical conductivity, *in vivo*

Source	DF	Sum of Squares	Mean Square	F Ratio	Prob > F
Tratamientos	2	16,24933	8,12467	1,2875	0,2839
Error	57	359,69250	6,31039		
C. Total	59	375,94183			

Tabla 552A. Analysis of Variance Oneway Anova roots dry weight (mg) of *Solanum melongena* L., Days 28 salicylic acid, 0 mS of electrical conductivity, *in vivo*

Source	DF	Sum of Squares	Mean Square	F Ratio	Prob > F
Tratamientos	2	872,9440	436,472	21,3758	<,0001*
Error	57	1163,8820	20,419		
C. Total	59	2036,8260			

Tabla 553A. Analysis of Variance Oneway Anova roots fresh weight (mg) of *Solanum melongena* L., Days 14 salicylic acid, 2,5 mS of electrical conductivity, *in vivo*

Source	DF	Sum of Squares	Mean Square	F Ratio	Prob > F
Tratamientos	2	3552,6013	1776,30	25,6754	<,0001*
Error	57	3943,4260	69,18		
C. Total	59	7496,0273			

Tabla 554A. Analysis of Variance Oneway Anova roots fresh weight (mg) of *Solanum melongena* L., Days 28 salicylic acid, 2,5 mS of electrical conductivity, *in vivo*

Source	DF	Sum of Squares	Mean Square	F Ratio	Prob > F
Tratamientos	2	44119,861	22059,9	28,1391	<,0001*
Error	57	44685,692	784,0		
C. Total	59	88805,553			

Tabla 555A. Analysis of Variance Oneway Anova roots dry weight (mg) of *Solanum melongena* L., Days 14 salicylic acid, 2,5 mS of electrical conductivity, *in vivo*

Source	DF	Sum of Squares	Mean Square	F Ratio	Prob > F
Tratamientos	2	42,05033	21,0252	2,0940	0,1326
Error	57	572,31150	10,0406		
C. Total	59	614,36183			

Tabla 556A. Analysis of Variance Oneway Anova roots dry weight (mg) of *Solanum melongena* L., Days 28 salicylic acid, 2,5 mS of electrical conductivity, *in vivo*

Source	DF	Sum of Squares	Mean Square	F Ratio	Prob > F
Tratamientos	2	971,0253	485,513	39,0723	<,0001*
Error	57	708,2820	12,426		
C. Total	59	1679,3073			

Tabla 557A. Analysis of Variance Oneway Anova roots fresh weight (mg) of *Solanum melongena* L., Days 14 salicylic acid, 5 mS of electrical conductivity, *in vivo*

Source	DF	Sum of Squares	Mean Square	F Ratio	Prob > F
Tratamientos	2	7894,204	3947,10	40,9330	<,0001*
Error	57	5496,410	96,43		

Source	DF	Sum of Squares	Mean Square	F Ratio	Prob > F
C. Total	59	13390,614			

Tabla 558A. Analysis of Variance Oneway Anova roots fresh weight (mg) of *Solanum melongena* L., Days 28 salicylic acid, 5 mS of electrical conductivity, *in vivo*

Source	DF	Sum of Squares	Mean Square	F Ratio	Prob > F
Tratamientos	2	33418,080	16709,0	31,1883	<,0001*
Error	57	30537,622	535,7		
C. Total	59	63955,702			

Tabla 559A. Analysis of Variance Oneway Anova roots dry weight (mg) of *Solanum melongena* L., Days 14 salicylic acid, 5 mS of electrical conductivity, *in vivo*

Source	DF	Sum of Squares	Mean Square	F Ratio	Prob > F
Tratamientos	2	49,14033	24,5702	5,5352	0,0064*
Error	57	253,01900	4,4389		
C. Total	59	302,15933			

Tabla 560A. Analysis of Variance Oneway Anova roots dry weight (mg) of *Solanum melongena* L., Days 28 salicylic acid, 5 mS of electrical conductivity, *in vivo*

Source	DF	Sum of Squares	Mean Square	F Ratio	Prob > F
Tratamientos	2	811,7861	405,893	21,0090	<,0001*
Error	57	1101,2389	19,320		
C. Total	59	1913,0250			

Anexo 7. Análisis de la variancia Oneway ANOVA de las variables estudiadas por efecto del ácido salicílico en rábano cultivada *in vivo* en 0, 2,5 y 5 mS de salinidad.

Tabla 561A. Analysis of Variance Oneway Anova, Length stem (mm) of *Raphanus sativus* L, Days 7, salicylic acid, 0 mS of electrical conductivity, *in vivo*

Source	DF	Sum of Squares	Mean Square	F Ratio	Prob > F
Treatments	2	201,9000	100,950	5,9401	0,0045*
Error	57	968,7000	16,995		
C. Total	59	1170,6000			

Tabla 562A. Analysis of Variance Oneway Anova, Length stem (mm) of *Raphanus sativus* L, Days 14, salicylic acid, 0 mS of electrical conductivity, *in vivo*

Source	DF	Sum of Squares	Mean Square	F Ratio	Prob > F
Treatments	2	590,9333	295,467	13,2195	<,0001*
Error	57	1274,0000	22,351		
C. Total	59	1864,9333			

Tabla 563A. Analysis of Variance Oneway Anova, Length stem (mm) of *Raphanus sativus* L, Days 21, salicylic acid, 0 mS of electrical conductivity, *in vivo*

Source	DF	Sum of Squares	Mean Square	F Ratio	Prob > F
Treatments	2	1271,1000	635,550	49,9984	<,0001*
Error	57	724,5500	12,711		
C. Total	59	1995,6500			

Tabla 564A. Analysis of Variance Oneway Anova, Length stem (mm) of *Raphanus sativus* L, Days 28, salicylic acid, 0 mS of electrical conductivity, *in vivo*

Source	DF	Sum of Squares	Mean Square	F Ratio	Prob > F
Treatments	2	2834,4333	1417,22	88,1411	<,0001*
Error	57	916,5000	16,08		
C. Total	59	3750,9333			

Tabla 565A. Analysis of Variance Oneway Anova, Length stem (mm) of *Raphanus sativus* L, Days 7, salicylic acid, 2,5 mS of electrical conductivity, *in vivo*

Source	DF	Sum of Squares	Mean Square	F Ratio	Prob > F
Treatments	2	201,9000	100,950	5,9401	0,0045*

Source	DF	Sum of Squares	Mean Square	F Ratio	Prob > F
Error	57	968,7000	16,995		
C. Total	59	1170,6000			

Tabla 566A. Analysis of Variance Oneway Anova, Length stem (mm) of *Raphanus sativus* L, Days 14, salicylic acid, 2,5 mS of electrical conductivity, *in vivo*

Source	DF	Sum of Squares	Mean Square	F Ratio	Prob > F
Treatments	2	590,9333	295,467	13,2195	<,0001*
Error	57	1274,0000	22,351		
C. Total	59	1864,9333			

Tabla 567A. Analysis of Variance Oneway Anova, Length stem (mm) of *Raphanus sativus* L, Days 21, salicylic acid, 2,5 mS of electrical conductivity, *in vivo*

Source	DF	Sum of Squares	Mean Square	F Ratio	Prob > F
Treatments	2	1271,1000	635,550	49,9984	<,0001*
Error	57	724,5500	12,711		
C. Total	59	1995,6500			

Tabla 568A. Analysis of Variance Oneway Anova, Length stem (mm) of *Raphanus sativus* L, Days 28, salicylic acid, 2,5 mS of electrical conductivity, *in vivo*

Source	DF	Sum of Squares	Mean Square	F Ratio	Prob > F
Treatments	2	2834,4333	1417,22	88,1411	<,0001*
Error	57	916,5000	16,08		
C. Total	59	3750,9333			

Tabla 569A. Analysis of Variance Oneway Anova, Length stem (mm) of *Raphanus sativus* L, Days 7, salicylic acid, 5 mS of electrical conductivity, *in vivo*

Source	DF	Sum of Squares	Mean Square	F Ratio	Prob > F
Treatments	2	951,3000	475,650	63,7781	<,0001*
Error	57	425,1000	7,458		
C. Total	59	1376,4000			

Tabla 570A. Analysis of Variance Oneway Anova, Length stem (mm) of *Raphanus sativus* L, Days 14, salicylic acid, 5 mS of electrical conductivity, *in vivo*

Source	DF	Sum of Squares	Mean Square	F Ratio	Prob > F
Treatments	2	471,03333	235,517	25,6412	<,0001*
Error	57	523,55000	9,185		
C. Total	59	994,58333			

Tabla 571A. Analysis of Variance Oneway Anova, Length stem (mm) of *Raphanus sativus* L, Days 21, salicylic acid, 5 mS of electrical conductivity, *in vivo*

Source	DF	Sum of Squares	Mean Square	F Ratio	Prob > F
Treatments	2	441,30000	220,650	23,1068	<,0001*
Error	57	544,30000	9,549		
C. Total	59	985,60000			

Tabla 572A. Analysis of Variance Oneway Anova, Length stem (mm) of *Raphanus sativus* L, Days 28, salicylic acid, 5 mS of electrical conductivity, *in vivo*

Source	DF	Sum of Squares	Mean Square	F Ratio	Prob > F
Treatments	2	1680,7000	840,350	23,5943	<,0001*
Error	57	2030,1500	35,617		
C. Total	59	3710,8500			

Tabla 573A. Analysis of Variance Oneway Anova, N° Leaves of *Raphanus sativus* L, Days 7, salicylic acid, 0 mS of electrical conductivity, *in vivo*

Source	DF	Sum of Squares	Mean Square	F Ratio	Prob > F
Treatments	2	0	0		
Error	57	0	0		
C. Total	59	0			

Tabla 574A. Analysis of Variance Oneway Anova, N° Leaves of *Raphanus sativus* L, Days 14, salicylic acid, 0 mS of electrical conductivity, *in vivo*

Source	DF	Sum of Squares	Mean Square	F Ratio	Prob > F
Treatments	2	10,800000	5,40000	13,0424	<,0001*
Error	57	23,600000	0,41404		
C. Total	59	34,400000			

Tabla 575A. Analysis of Variance Oneway Anova, N° Leaves of *Raphanus sativus* L, Days 21, salicylic acid, 0 mS of electrical conductivity, *in vivo*

Source	DF	Sum of Squares	Mean Square	F Ratio	Prob > F
Treatments	2	4,033333	2,01667	11,6111	<,0001*
Error	57	9,900000	0,17368		
C. Total	59	13,933333			

Tabla 576A. Analysis of Variance Oneway Anova, N° Leaves of *Raphanus sativus* L, Days 28, salicylic acid, 0 mS of electrical conductivity, *in vivo*

Source	DF	Sum of Squares	Mean Square	F Ratio	Prob > F
Treatments	2	9,733333	4,86667	20,9358	<,0001*
Error	57	13,250000	0,23246		
C. Total	59	22,983333			

Tabla 577A. Analysis of Variance Oneway Anova, N° Leaves of *Raphanus sativus* L, Days 7, salicylic acid, 2,5 mS of electrical conductivity, *in vivo*

Source	DF	Sum of Squares	Mean Square	F Ratio	Prob > F
Treatments	2	0	0		
Error	57	0	0		
C. Total	59	0			

Tabla 578A. Analysis of Variance Oneway Anova, N° Leaves of *Raphanus sativus* L, Days 14, salicylic acid, 2,5 mS of electrical conductivity, *in vivo*

Source	DF	Sum of Squares	Mean Square	F Ratio	Prob > F
Treatments	2	10,800000	5,40000	13,0424	<,0001*
Error	57	23,600000	0,41404		
C. Total	59	34,400000			

Tabla 579A. Analysis of Variance Oneway Anova, N° Leaves of *Raphanus sativus* L, Days 21, salicylic acid, 2,5 mS of electrical conductivity, *in vivo*

Source	DF	Sum of Squares	Mean Square	F Ratio	Prob > F
Treatments	2	4,033333	2,01667	11,6111	<,0001*
Error	57	9,900000	0,17368		
C. Total	59	13,933333			

Tabla 580A. Analysis of Variance Oneway Anova, N° Leaves of *Raphanus sativus* L, Days 28, salicylic acid, 2,5 mS of electrical conductivity, *in vivo*

Source	DF	Sum of Squares	Mean Square	F Ratio	Prob > F
Treatments	2	9,733333	4,86667	20,9358	<,0001*
Error	57	13,250000	0,23246		
C. Total	59	22,983333			

Tabla 581A. Analysis of Variance Oneway Anova, N° Leaves of *Raphanus sativus* L, Days 7, salicylic acid, 5 mS of electrical conductivity, *in vivo*

Source	DF	Sum of Squares	Mean Square	F Ratio	Prob > F
Treatments	2	0	0		
Error	57	0	0		
C. Total	59	0			

Tabla 582A Analysis of Variance Oneway Anova, N° Leaves of *Raphanus sativus* L, Days 14, salicylic acid, 5 mS of electrical conductivity, *in vivo*

Source	DF	Sum of Squares	Mean Square	F Ratio	Prob > F
Treatments	2	9,033333	4,51667	18,4552	<,0001*
Error	57	13,950000	0,24474		
C. Total	59	22,983333			

Tabla 583A. Analysis of Variance Oneway Anova, N° Leaves of *Raphanus sativus* L, Days 21, salicylic acid, 5 mS of electrical conductivity, *in vivo*

Source	DF	Sum of Squares	Mean Square	F Ratio	Prob > F
Treatments	2	9,033333	4,51667	18,4552	<,0001*
Error	57	13,950000	0,24474		
C. Total	59	22,983333			

Tabla 584A. Analysis of Variance Oneway Anova, N° Leaves of *Raphanus sativus* L, Days 28, salicylic acid, 5 mS of electrical conductivity, *in vivo*

Source	DF	Sum of Squares	Mean Square	F Ratio	Prob > F
Treatments	2	10,833333	5,41667	37,8834	<,0001*
Error	57	8,150000	0,14298		
C. Total	59	18,983333			

Tabla 585A. Analysis of Variance Oneway Anova, Length roots (mm) of *Raphanus sativus* L, Days 14, salicylic acid, 0 mS of electrical conductivity, *in vivo*

Source	DF	Sum of Squares	Mean Square	F Ratio	Prob > F
Tratamientos	2	624,9333	312,467	38,1547	<,0001*
Error	57	466,8000	8,189		
C. Total	59	1091,7333			

Tabla 586A. Analysis of Variance Oneway Anova, Length roots (mm) of *Raphanus sativus* L, Days 14, salicylic acid, 0 mS of electrical conductivity, *in vivo*

Source	DF	Sum of Squares	Mean Square	F Ratio	Prob > F
Tratamientos	2	4872,2333	2436,12	120,0836	<,0001*
Error	57	1156,3500	20,29		
C. Total	59	6028,5833			

Tabla 587A. Analysis of Variance Oneway Anova, Length roots (mm) of *Raphanus sativus* L, Days 14, salicylic acid, 2,5 mS of electrical conductivity, *in vivo*

Source	DF	Sum of Squares	Mean Square	F Ratio	Prob > F
Tratamientos	2	846,5333	423,267	40,5346	<,0001*
Error	57	595,2000	10,442		
C. Total	59	1441,7333			

Tabla 588 A. Analysis of Variance Oneway Anova, Length roots (mm) of *Raphanus sativus* L, Days 14, salicylic acid, 2,5 mS of electrical conductivity, *in vivo*

Source	DF	Sum of Squares	Mean Square	F Ratio	Prob > F
Tratamientos	2	1140,9333	570,467	76,5457	<,0001*
Error	57	424,8000	7,453		
C. Total	59	1565,7333			

Tabla 589A. Analysis of Variance Oneway Anova, Length. Roots (mm) of *Raphanus sativus* L, Days 14, salicylic acid, 5 mS of electrical conductivity, *in vivo*

Source	DF	Sum of Squares	Mean Square	F Ratio	Prob > F
Tratamientos	2	97,7333	48,8667	2,7329	0,0736
Error	57	1019,2000	17,8807		
C. Total	59	1116,9333			

Tabla 590A. Analysis of Variance Oneway Anova, Length. Roots (mm) of *Raphanus sativus* L, Days 28, salicylic acid, 5 mS of electrical conductivity, *in vivo*

Source	DF	Sum of Squares	Mean Square	F Ratio	Prob > F
Tratamientos	2	2297,6333	1148,82	77,8674	<,0001*
Error	57	840,9500	14,75		
C. Total	59	3138,5833			

Tabla 591A. Analysis of Variance Oneway Anova, Leaf area (mm²) of *Raphanus sativus* L, Days 14, salicylic acid, 0 mS of electrical conductivity, *in vivo*

Source	DF	Sum of Squares	Mean Square	F Ratio	Prob > F
Tratamientos	2	424597,30	212299	86,8153	<,0001*
Error	57	139388,10	2445		
C. Total	59	563985,40			

Tabla 592A. Analysis of Variance Oneway Anova, Leaf area (mm²) of *Raphanus sativus* L, Days 28, salicylic acid, 0 mS of electrical conductivity, *in vivo*

Source	DF	Sum of Squares	Mean Square	F Ratio	Prob > F
Tratamientos	2	6375680,5	3187840	82,0973	<,0001*
Error	57	2213312,4	38830		
C. Total	59	8588992,9			

Tabla 593A. Analysis of Variance Oneway Anova, Leaf area (mm²) of *Raphanus sativus* L, Days 14, salicylic acid, 2,5 mS of electrical conductivity, *in vivo*

Source	DF	Sum of Squares	Mean Square	F Ratio	Prob > F
Tratamientos	2	292450,53	146225	46,4763	<,0001*
Error	57	179335,20	3146		
C. Total	59	471785,73			

Tabla 594A. Analysis of Variance Oneway Anova, Leaf area (mm²) of *Raphanus sativus* L, Days 28, salicylic acid, 2,5 mS of electrical conductivity, *in vivo*

Source	DF	Sum of Squares	Mean Square	F Ratio	Prob > F
Tratamientos	2	2634475,9	1317238	40,2496	<,0001*
Error	57	1865423,0	32727		
C. Total	59	4499898,9			

Tabla 595A. Analysis of Variance Oneway Anova, Leaf area (mm²) of *Raphanus sativus* L, Days 14, salicylic acid, 5 mS of electrical conductivity, *in vivo*

Source	DF	Sum of Squares	Mean Square	F Ratio	Prob > F
Tratamientos	2	271226,43	135613	37,6594	<,0001*
Error	57	205259,75	3601		
C. Total	59	476486,18			

Tabla 596A. Analysis of Variance Oneway Anova, Leaf area (mm²) of *Raphanus sativus* L, Days 28, salicylic acid, 5 mS of electrical conductivity, *in vivo*

Source	DF	Sum of Squares	Mean Square	F Ratio	Prob > F
Tratamientos	2	3843970,2	1921985	36,2067	<,0001*
Error	57	3025768,7	53084		
C. Total	59	6869739,0			

Tabla 597A. Analysis of Variance Oneway Anova, leaf fresh weight (mg) of *Raphanus sativus* L, Days 14, salicylic acid, 0 mS of electrical conductivity, *in vivo*

Source	DF	Sum of Squares	Mean Square	F Ratio	Prob > F
Tratamientos	2	12879,38	6439,69	3,8351	0,0274*
Error	57	95712,34	1679,16		
C. Total	59	108591,72			

Tabla 598A. Analysis of Variance Oneway Anova, leaf fresh weight (mg) of *Raphanus sativus* L, Days 28, salicylic acid, 0 mS of electrical conductivity, *in vivo*

Source	DF	Sum of Squares	Mean Square	F Ratio	Prob > F
Tratamientos	2	55571,234	27785,6	44,8982	<,0001*
Error	57	35274,907	618,9		
C. Total	59	90846,142			

Tabla 599A. Analysis of Variance Oneway Anova, leaf fresh weight (mg) of *Raphanus sativus* L, Days 14, salicylic acid, 2,5 mS of electrical conductivity, *in vivo*

Source	DF	Sum of Squares	Mean Square	F Ratio	Prob > F
Tratamientos	2	9935,081	4967,54	9,8913	0,0002*
Error	57	28626,196	502,21		
C. Total	59	38561,277			

Tabla 600A. Analysis of Variance Oneway Anova, leaf fresh weight (mg) of *Raphanus sativus* L, Days 28, salicylic acid, 2,5 mS of electrical conductivity, *in vivo*

Source	DF	Sum of Squares	Mean Square	F Ratio	Prob > F
Tratamientos	2	612984,88	306492	231,9333	<,0001*
Error	57	75323,66	1321		
C. Total	59	688308,55			

Tabla 601A. Analysis of Variance Oneway Anova, Clorophyll (U. SPAD) of *Raphanus sativus* L, Days 14, salicylic acid, 0 mS of electrical conductivity, *in vivo*

Source	DF	Sum of Squares	Mean Square	F Ratio	Prob > F
Treatments	2	248,45033	124,225	46,8001	<,0001*
Error	57	151,29950	2,654		
C. Total	59	399,74983			

Tabla 602A. Analysis of Variance Oneway Anova, Clorophyll (U. SPAD) of *Raphanus sativus* L, Days 21, salicylic acid, 0 mS of electrical conductivity, *in vivo*

Source	DF	Sum of Squares	Mean Square	F Ratio	Prob > F
Treatments	2	224,13033	112,065	20,3872	<,0001*
Error	57	313,31950	5,497		
C. Total	59	537,44983			

Tabla 603A. Analysis of Variance Oneway Anova, Clorophyll (U. SPAD) of *Raphanus sativus* L, Days 28, salicylic acid, 0 mS of electrical conductivity, *in vivo*

Source	DF	Sum of Squares	Mean Square	F Ratio	Prob > F
Treatments	2	103,81633	51,9082	19,6974	<,0001*
Error	57	150,21100	2,6353		
C. Total	59	254,02733			

Tabla 604A. Analysis of Variance Oneway Anova, Clorophyll (U. SPAD) of *Raphanus sativus* L, Days 14, salicylic acid, 2,5 mS of electrical conductivity, *in vivo*

Source	DF	Sum of Squares	Mean Square	F Ratio	Prob > F
Treatments	2	64,70800	32,3540	24,9657	<,0001*
Error	57	73,86850	1,2959		
C. Total	59	138,57650			

Tabla 605A. Analysis of Variance Oneway Anova, Clorophyll (U. SPAD) of *Raphanus sativus* L, Days 21, salicylic acid, 2,5 mS of electrical conductivity, *in vivo*

Source	DF	Sum of Squares	Mean Square	F Ratio	Prob > F
Treatments	2	178,38633	89,1932	46,0296	<,0001*
Error	57	110,45100	1,9377		
C. Total	59	288,83733			

Tabla 606A. Analysis of Variance Oneway Anova, Clorophyll (U. SPAD) of *Raphanus sativus* L, Days 28, salicylic acid, 2,5 mS of electrical conductivity, *in vivo*

Source	DF	Sum of Squares	Mean Square	F Ratio	Prob > F
Treatments	2	247,42433	123,712	20,2750	<,0001*
Error	57	347,79750	6,102		
C. Total	59	595,22183			

Tabla 607A. Analysis of Variance Oneway Anova, Clorophyll (U. SPAD) of *Raphanus sativus* L, Days 14, salicylic acid, 5 mS of electrical conductivity, *in vivo*

Source	DF	Sum of Squares	Mean Square	F Ratio	Prob > F
Treatments	2	388,69033	194,345	47,6056	<,0001*
Error	57	232,69700	4,082		
C. Total	59	621,38733			

Tabla 608A. Analysis of Variance Oneway Anova, Clorophyll (U. SPAD) of *Raphanus sativus* L, Days 21, salicylic acid, 5 mS of electrical conductivity, *in vivo*

Source	DF	Sum of Squares	Mean Square	F Ratio	Prob > F
Treatments	2	198,65233	99,3262	21,7628	<,0001*
Error	57	260,14950	4,5640		
C. Total	59	458,80183			

Tabla 609A. Analysis of Variance Oneway Anova, Clorophyll (U. SPAD) of *Raphanus sativus* L, Days 28, salicylic acid, 5 mS of electrical conductivity, *in vivo*

Source	DF	Sum of Squares	Mean Square	F Ratio	Prob > F
Treatments	2	116,75233	58,3762	38,9496	<,0001*
Error	57	85,42950	1,4988		
C. Total	59	202,18183			

Tabla 610A. Analysis of Variance Oneway Anova, leaf fresh weight (mg) of *Raphanus sativus* L, Days 14, salicylic acid, 5 mS of electrical conductivity, *in vivo*

Source	DF	Sum of Squares	Mean Square	F Ratio	Prob > F
Tratamientos	2	57494,529	28747,3	83,4265	<,0001*
Error	57	19641,180	344,6		
C. Total	59	77135,709			

Tabla 611A. Analysis of Variance Oneway Anova, leaf fresh weight (mg) of *Raphanus sativus* L, Days 28, salicylic acid, 5 mS of electrical conductivity, *in vivo*

Source	DF	Sum of Squares	Mean Square	F Ratio	Prob > F
Tratamientos	2	110539,23	55269,6	30,9011	<,0001*
Error	57	101950,19	1788,6		
C. Total	59	212489,42			

Tabla 612A. Analysis of Variance Oneway Anova, stem fresh weight (mg) of *Raphanus sativus* L, Days 14, salicylic acid, 0 mS of electrical conductivity, *in vivo*

Source	DF	Sum of Squares	Mean Square	F Ratio	Prob > F
Tratamientos	2	5921,889	2960,94	32,9990	<,0001*
Error	57	5114,508	89,73		

Source	DF	Sum of Squares	Mean Square	F Ratio	Prob > F
C. Total	59	11036,397			

Tabla 613A. Analysis of Variance Oneway Anova, stem fresh weight (mg) of *Raphanus sativus* L, Days 28, salicylic acid, 0 mS of electrical conductivity, *in vivo*

Source	DF	Sum of Squares	Mean Square	F Ratio	Prob > F
Tratamientos	2	47591,234	23795,6	38,1702	<,0001*
Error	57	35534,307	623,4		
C. Total	59	83125,542			

Tabla 614A. Analysis of Variance Oneway Anova, stem fresh weight (mg) of *Raphanus sativus* L, Days 14, salicylic acid, 2,5 mS of electrical conductivity, *in vivo*

Source	DF	Sum of Squares	Mean Square	F Ratio	Prob > F
Tratamientos	2	3095,9093	1547,95	52,9079	<,0001*
Error	57	1667,6780	29,26		
C. Total	59	4763,5873			

Tabla 615A. Analysis of Variance Oneway Anova, stem fresh weight (mg) of *Raphanus sativus* L, Days 28, salicylic acid, 2,5 mS of electrical conductivity, *in vivo*

Source	DF	Sum of Squares	Mean Square	F Ratio	Prob > F
Tratamientos	2	37148,083	18574,0	25,2626	<,0001*
Error	57	41908,593	735,2		
C. Total	59	79056,676			

Tabla 616A. Analysis of Variance Oneway Anova, stem fresh weight (mg) of *Raphanus sativus* L, Days 14, salicylic acid, 5 mS of electrical conductivity, *in vivo*

Source	DF	Sum of Squares	Mean Square	F Ratio	Prob > F
Tratamientos	2	2826,4493	1413,22	102,3602	<,0001*
Error	57	786,9640	13,81		
C. Total	59	3613,4133			

Tabla 617A. Analysis of Variance Oneway Anova, stem fresh weight (mg) of *Raphanus sativus* L, Days 28, salicylic acid, 5 mS of electrical conductivity, *in vivo*

Source	DF	Sum of Squares	Mean Square	F Ratio	Prob > F
Tratamientos	2	9841,470	4920,74	14,9918	<,0001*
Error	57	18709,056	328,23		
C. Total	59	28550,526			

Tabla 618A. Analysis of Variance Oneway Anova, roots fresh weight (mg) of *Raphanus sativus* L, Days 14, salicylic acid, 0 mS of electrical conductivity, *in vivo*

Source	DF	Sum of Squares	Mean Square	F Ratio	Prob > F
Tratamientos	2	514,08933	257,045	65,8621	<,0001*
Error	57	222,45800	3,903		
C. Total	59	736,54733			

Tabla 619A. Analysis of Variance Oneway Anova, roots fresh weight (mg) of *Raphanus sativus* L, Days 28, salicylic acid, 0 mS of electrical conductivity, *in vivo*

Source	DF	Sum of Squares	Mean Square	F Ratio	Prob > F
Tratamientos	2	32643,630	16321,8	41,4185	<,0001*
Error	57	22462,012	394,1		
C. Total	59	55105,642			

Tabla 620A. Analysis of Variance Oneway Anova, roots fresh weight (mg) of *Raphanus sativus* L, Days 14, salicylic acid, 2,5 mS of electrical conductivity, *in vivo*

Source	DF	Sum of Squares	Mean Square	F Ratio	Prob > F
Tratamientos	2	37193,29	18596,6	13,9827	<,0001*

Source	DF	Sum of Squares	Mean Square	F Ratio	Prob > F
Error	57	75808,42	1330,0		
C. Total	59	113001,71			

Tabla 621A. Analysis of Variance Oneway Anova, roots fresh weight (mg) of *Raphanus sativus* L, Days 28, salicylic acid, 2,5 mS of electrical conductivity, *in vivo*

Source	DF	Sum of Squares	Mean Square	F Ratio	Prob > F
Tratamientos	2	929,5093	464,755	34,2000	<,0001*
Error	57	774,5900	13,589		
C. Total	59	1704,0993			

Tabla 622A. Analysis of Variance Oneway Anova, roots fresh weight (mg) of *Raphanus sativus* L, Days 14, salicylic acid, 5 mS of electrical conductivity, *in vivo*

Source	DF	Sum of Squares	Mean Square	F Ratio	Prob > F
Tratamientos	2	1812,9000	906,450	131,4953	<,0001*
Error	57	392,9240	6,893		
C. Total	59	2205,8240			

Tabla 623A. Analysis of Variance Oneway Anova, roots fresh weight (mg) of *Raphanus sativus* L, Days 14, salicylic acid, 5 mS of electrical conductivity, *in vivo*

Source	DF	Sum of Squares	Mean Square	F Ratio	Prob > F
Tratamientos	2	16268,947	8134,47	32,7914	<,0001*
Error	57	14139,821	248,07		
C. Total	59	30408,768			

Tabla 624A. Analysis of Variance Oneway Anova, leaf dry weight (mg) of *Raphanus sativus* L, Days 14, salicylic acid, 0 mS of electrical conductivity, *in vivo*

Source	DF	Sum of Squares	Mean Square	F Ratio	Prob > F
Tratamientos	2	250,4573	125,229	8,3316	0,0007*
Error	57	856,7400	15,031		
C. Total	59	1107,1973			

Tabla 625A. Analysis of Variance Oneway Anova, leaf dry weight (mg) of *Raphanus sativus* L, Days 28, salicylic acid, 0 mS of electrical conductivity, *in vivo*

Source	DF	Sum of Squares	Mean Square	F Ratio	Prob > F
Tratamientos	2	2120,6743	1060,34	9,1521	0,0004*
Error	57	6603,8675	115,86		
C. Total	59	8724,5418			

Tabla 626A. Analysis of Variance Oneway Anova, leaf dry weight (mg) of *Raphanus sativus* L, Days 14, salicylic acid, 2,5 mS of electrical conductivity, *in vivo*

Source	DF	Sum of Squares	Mean Square	F Ratio	Prob > F
Tratamientos	2	224,2360	112,118	4,3880	0,0169*
Error	57	1456,4100	25,551		
C. Total	59	1680,6460			

Tabla 627A. Analysis of Variance Oneway Anova, leaf dry weight (mg) of *Raphanus sativus* L, Days 28, salicylic acid, 2,5 mS of electrical conductivity, *in vivo*

Source	DF	Sum of Squares	Mean Square	F Ratio	Prob > F
Tratamientos	2	3464,0909	1732,05	19,2271	<,0001*
Error	57	5134,7729	90,08		
C. Total	59	8598,8638			

Tabla 628A. Analysis of Variance Oneway Anova, leaf dry weight (mg) of *Raphanus sativus* L, Days 14, salicylic acid, 5 mS of electrical conductivity, *in vivo*

Source	DF	Sum of Squares	Mean Square	F Ratio	Prob > F
Tratamientos	2	389,9560	194,978	14,0620	<,0001*
Error	57	790,3380	13,866		
C. Total	59	1180,2940			

Tabla 629A. Analysis of Variance Oneway Anova, leaf dry weight (mg) of *Raphanus sativus* L, Days 14, salicylic acid, 5 mS of electrical conductivity, *in vivo*

Source	DF	Sum of Squares	Mean Square	F Ratio	Prob > F
Tratamientos	2	1076,2030	538,101	5,6375	0,0058*
Error	57	5440,6770	95,450		
C. Total	59	6516,8800			

Tabla 630A. Analysis of Variance Oneway Anova, stem dry weight (mg) of *Raphanus sativus* L, Days 14, salicylic acid, 0 mS of electrical conductivity, *in vivo*

Source	DF	Sum of Squares	Mean Square	F Ratio	Prob > F
Tratamientos	2	81,44933	40,7247	7,4701	0,0013*
Error	57	310,74800	5,4517		
C. Total	59	392,19733			

Tabla 631A. Analysis of Variance Oneway Anova, stem dry weight (mg) of *Raphanus sativus* L, Days 28, salicylic acid, 0 mS of electrical conductivity, *in vivo*

Source	DF	Sum of Squares	Mean Square	F Ratio	Prob > F
Tratamientos	2	627,1003	313,550	11,0196	<,0001*
Error	57	1621,8655	28,454		
C. Total	59	2248,9658			

Tabla 632A. Analysis of Variance Oneway Anova, stem dry weight (mg) of *Raphanus sativus* L, Days 14, salicylic acid, 2,5 mS of electrical conductivity, *in vivo*

Source	DF	Sum of Squares	Mean Square	F Ratio	Prob > F
Tratamientos	2	62,64400	31,3220	3,6552	0,0321*
Error	57	488,44200	8,5692		
C. Total	59	551,08600			

Tabla 633A. Analysis of Variance Oneway Anova, stem dry weight (mg) of *Raphanus sativus* L, Days 28, salicylic acid, 2,5 mS of electrical conductivity, *in vivo*

Source	DF	Sum of Squares	Mean Square	F Ratio	Prob > F
Tratamientos	2	776,8343	388,417	5,1664	0,0087*
Error	57	4285,3430	75,181		
C. Total	59	5062,1773			

Tabla 634A. Analysis of Variance Oneway Anova, stem dry weight (mg) of *Raphanus sativus* L, Days 14, salicylic acid, 5 mS of electrical conductivity, *in vivo*

Source	DF	Sum of Squares	Mean Square	F Ratio	Prob > F
Tratamientos	2	54,76800	27,3840	3,2991	0,0441*
Error	57	473,12800	8,3005		
C. Total	59	527,89600			

Tabla 635A. Analysis of Variance Oneway Anova, stem dry weight (mg) of *Raphanus sativus* L, Days 28, salicylic acid, 5 mS of electrical conductivity, *in vivo*

Source	DF	Sum of Squares	Mean Square	F Ratio	Prob > F
Tratamientos	2	347,0453	173,523	9,8817	0,0002*
Error	57	1000,9165	17,560		
C. Total	59	1347,9618			

Tabla 636A. Analysis of Variance Oneway Anova, roots dry weight (mg) of *Raphanus sativus* L, Days 14, salicylic acid, 0 mS of electrical conductivity, *in vivo*

Source	DF	Sum of Squares	Mean Square	F Ratio	Prob > F
Tratamientos	2	28,65600	14,3280	3,2698	0,0453*
Error	57	249,76800	4,3819		
C. Total	59	278,42400			

Tabla 637A. Analysis of Variance Oneway Anova, roots dry weight (mg) of *Raphanus sativus* L, Days 14, salicylic acid, 0 mS of electrical conductivity, *in vivo*

Source	DF	Sum of Squares	Mean Square	F Ratio	Prob > F
Tratamientos	2	636,0063	318,003	33,5892	<,0001*
Error	57	539,6435	9,467		
C. Total	59	1175,6498			

Tabla 638A. Analysis of Variance Oneway Anova, roots dry weight (mg) of *Raphanus sativus* L, Days 14, salicylic acid, 2,5 mS of electrical conductivity, *in vivo*

Source	DF	Sum of Squares	Mean Square	F Ratio	Prob > F
Tratamientos	2	9,48133	4,74067	2,2678	0,1128
Error	57	119,15600	2,09046		
C. Total	59	128,63733			

Tabla 639A. Analysis of Variance Oneway Anova, roots dry weight (mg) of *Raphanus sativus* L, Days 14, salicylic acid, 2,5 mS of electrical conductivity, *in vivo*

Source	DF	Sum of Squares	Mean Square	F Ratio	Prob > F
Tratamientos	2	918,5063	459,253	51,8465	<,0001*
Error	57	504,9030	8,858		
C. Total	59	1423,4093			

Tabla 640A. Analysis of Variance Oneway Anova, roots dry weight (mg) of *Raphanus sativus* L, Days 14, salicylic acid, 5 mS of electrical conductivity, *in vivo*

Source	DF	Sum of Squares	Mean Square	F Ratio	Prob > F
Tratamientos	2	29,66933	14,8347	7,1515	0,0017*
Error	57	118,23800	2,0744		
C. Total	59	147,90733			

Tabla 641A. Analysis of Variance Oneway Anova, roots dry weight (mg) of *Raphanus sativus* L, Days 28, salicylic acid, 5 mS of electrical conductivity, *in vivo*

Source	DF	Sum of Squares	Mean Square	F Ratio	Prob > F
Tratamientos	2	437,4790	218,739	18,6862	<,0001*
Error	57	667,2375	11,706		
C. Total	59	1104,7165			

Anexo 8. Análisis de la variancia Oneway ANOVA de las variables estudiadas por efecto del ácido benzoico en tomate cultivada *in vitro* en 2,5, 5 y 7,5 mS de salinidad.

Tabla 642A. Analysis of Variance Oneway Anova, Length stem (mm) of *Lycopersicon sculentum* L., Days 7, benzoic acid, 2,5 mS of electrical conductivity, *in vitro*

Source	DF	Sum of Squares	Mean Square	F Ratio	Prob > F
Trata	3	8885,8500	2961,95	336,9379	<,0001*
Error	76	668,1000	8,79		
C. Total	79	9553,9500			

Tabla 643A. Analysis of Variance Oneway Anova, Length stem (mm) of *Lycopersicon sculentum* L., Days 14, benzoic acid, 2,5 mS of electrical conductivity, *in vitro*

Source	DF	Sum of Squares	Mean Square	F Ratio	Prob > F
Trata	3	26184,300	8728,10	1322,176	<,0001*
Error	76	501,700	6,60		
C. Total	79	26686,000			

Tabla 644A. Analysis of Variance Oneway Anova, Length stem (mm) of *Lycopersicon sculentum* L., Days 21, benzoic acid, 2,5 mS of electrical conductivity, *in vitro*

Source	DF	Sum of Squares	Mean Square	F Ratio	Prob > F
Trata	3	34494,038	11498,0	1245,065	<,0001*
Error	76	701,850	9,2		
C. Total	79	35195,888			

Tabla 645A. Analysis of Variance Oneway Anova, Length stem (mm) of *Lycopersicon sculentum* L., Days 28, benzoic acid, 2,5 mS of electrical conductivity, *in vitro*

Source	DF	Sum of Squares	Mean Square	F Ratio	Prob > F
Trata	3	89325,838	29775,3	2644,681	<,0001*
Error	76	855,650	11,3		
C. Total	79	90181,487			

Tabla 646A. Analysis of Variance Oneway Anova, Length roots (mm) of *Lycopersicon sculentum* L., Days 7, benzoic acid, 2,5 mS of electrical conductivity, *in vitro*

Source	DF	Sum of Squares	Mean Square	F Ratio	Prob > F
Trata	3	3696,3375	1232,11	533,4124	<,0001*
Error	76	175,5500	2,31		
C. Total	79	3871,8875			

Tabla 647A. Analysis of Variance Oneway Anova, Length roots (mm) of *Lycopersicon sculentum* Mill., Days 14, benzoic acid, 2,5 mS of electrical conductivity, *in vitro*

Source	DF	Sum of Squares	Mean Square	F Ratio	Prob > F
Trata	3	11835,900	3945,30	351,3920	<,0001*
Error	76	853,300	11,23		
C. Total	79	12689,200			

Tabla 648A. Analysis of Variance Oneway Anova, Length roots (mm) of *Lycopersicon sculentum* Mill., Days 21, benzoic acid, 2,5 mS of electrical conductivity, *in vitro*

Source	DF	Sum of Squares	Mean Square	F Ratio	Prob > F
Trata	3	18820,838	6273,61	259,6708	<,0001*
Error	76	1836,150	24,16		
C. Total	79	20656,988			

Tabla 649A. Analysis of Variance Oneway Anova, Length roots (mm) of *Lycopersicon sculentum* Mill., Days 28, benzoic acid, 2,5 mS of electrical conductivity, *in vitro*

Source	DF	Sum of Squares	Mean Square	F Ratio	Prob > F
Trata	3	66331,450	22110,5	696,6530	<,0001*
Error	76	2412,100	31,7		
C. Total	79	68743,550			

Tabla 650A. Analysis of Variance Oneway Anova, N° Leaves of *Lycopersicon sculentum* Mill., Days 7, benzoic acid, 2,5 mS of electrical conductivity, *in vitro*

Source	DF	Sum of Squares	Mean Square	F Ratio	Prob > F
Trata	3	12,137500	4,04583	40,7263	<,0001*
Error	76	7,550000	0,09934		
C. Total	79	19,687500			

Tabla 651A. Analysis of Variance Oneway Anova, N° Leaves of *Lycopersicon sculentum* Mill., Days 14, benzoic acid, 2,5 mS of electrical conductivity, *in vitro*

Source	DF	Sum of Squares	Mean Square	F Ratio	Prob > F
Trata	3	93,93750	31,3125	342,4101	<,0001*
Error	76	6,95000	0,0914		
C. Total	79	100,88750			

Tabla 652A. Analysis of Variance Oneway Anova, N° Leaves of *Lycopersicon sculentum* Mill., Days 21, benzoic acid, 2,5 mS of electrical conductivity, *in vitro*

Source	DF	Sum of Squares	Mean Square	F Ratio	Prob > F
Trata	3	24,737500	8,24583	59,9697	<,0001*
Error	76	10,450000	0,13750		
C. Total	79	35,187500			

Tabla 653A. Analysis of Variance Oneway Anova, N° Leaves of *Lycopersicon sculentum* Mill., Days 28, benzoic acid, 2,5 mS of electrical conductivity, *in vitro*

Source	DF	Sum of Squares	Mean Square	F Ratio	Prob > F
Trata	3	48,850000	16,2833	184,7065	<,0001*
Error	76	6,700000	0,0882		
C. Total	79	55,550000			

Tabla 654. Analysis of Variance Oneway Anova, Chlorophyll (U. SPAD) of *Lycopersicon sculentum* Mill., Days 28, benzoic acid, 2,5 mS of electrical conductivity, *in vitro*

Source	DF	Sum of Squares	Mean Square	F Ratio	Prob > F
Trata	3	1057,8420	352,614	323,8274	<,0001*
Error	76	82,7560	1,089		
C. Total	79	1140,5980			

Tabla 655A. Analysis of Variance Oneway Anova, Leaf area (mm²) of *Lycopersicon sculentum* Mill., Days 28, benzoic acid, 2,5 mS of electrical conductivity, *in vitro*

Source	DF	Sum of Squares	Mean Square	F Ratio	Prob > F
Trata	3	67539752	22513251	1219,593	<,0001*
Error	76	1402933	18459,649		
C. Total	79	68942685			

Tabla 656A. Analysis of Variance Oneway Anova, leaf fresh weight (mg) of *Lycopersicon sculentum* Mill., Days 28, benzoic acid, 2,5 mS of electrical conductivity, *in vitro*

Source	DF	Sum of Squares	Mean Square	F Ratio	Prob > F
Trata	3	4052018,3	1350673	744,7237	<,0001*
Error	76	137837,9	1814		
C. Total	79	4189856,1			

Tabla 657A. Analysis of Variance Oneway Anova, stem fresh weight (mg) of *Lycopersicon sculentum* Mill., Days 28, benzoic acid, 2,5 mS of electrical conductivity, *in vitro*

Source	DF	Sum of Squares	Mean Square	F Ratio	Prob > F
Trata	3	1169720,4	389907	815,8534	<,0001*
Error	76	36321,4	478		
C. Total	79	1206041,8			

Tabla 658A. Analysis of Variance Oneway Anova, roots fresh weight (mg) of *Lycopersicon sculentum* Mill., Days 28, benzoic acid, 2,5 mS of electrical conductivity, *in vitro*

Source	DF	Sum of Squares	Mean Square	F Ratio	Prob > F
Trata	3	449198,04	149733	637,2606	<,0001*
Error	76	17857,19	235		
C. Total	79	467055,23			

Tabla 659A. Analysis of Variance Oneway Anova, leaf dry weight (mg) of *Lycopersicon sculentum* Mill., Days 28, benzoic acid, 2,5 mS of electrical conductivity, *in vitro*

Source	DF	Sum of Squares	Mean Square	F Ratio	Prob > F
Trata	3	33843,822	11281,3	127,3240	<,0001*
Error	76	6733,821	88,6		
C. Total	79	40577,644			

Tabla 660A. Analysis of Variance Oneway Anova, stem dry weight (mg) of *Lycopersicon sculentum* Mill., Days 28, benzoic acid, 2,5 mS of electrical conductivity, *in vitro*

Source	DF	Sum of Squares	Mean Square	F Ratio	Prob > F
Trata	3	11415,155	3805,05	45,4946	<,0001*
Error	76	6356,441	83,64		
C. Total	79	17771,596			

Tabla 661A. Analysis of Variance Oneway Anova, stem dry weight (mg) of *Lycopersicon sculentum* Mill., Days 28, benzoic acid, 2,5 mS of electrical conductivity, *in vitro*

Source	DF	Sum of Squares	Mean Square	F Ratio	Prob > F
Trata	3	3544,5704	1181,52	20,4586	<,0001*
Error	76	4389,1357	57,75		
C. Total	79	7933,7062			

Tabla 662A. Analysis of Variance Oneway Anova, Length. Stem (mm) of *Lycopersicon sculentum* Mill., Days 7, benzoic acid, 5 mS of electrical conductivity, *in vitro*

Source	DF	Sum of Squares	Mean Square	F Ratio	Prob > F
Trata	3	5681,9000	1893,97	407,6507	<,0001*
Error	76	353,1000	4,65		
C. Total	79	6035,0000			

Tabla 663A. Analysis of Variance Oneway Anova, Length. Stem (mm) of *Lycopersicon sculentum* Mill., Days 14, benzoic acid, 5 mS of electrical conductivity, *in vitro*

Source	DF	Sum of Squares	Mean Square	F Ratio	Prob > F
Trata	3	18060,738	6020,25	581,4076	<,0001*
Error	76	786,950	10,35		
C. Total	79	18847,688			

Tabla 664A. Analysis of Variance Oneway Anova, Length. Stem (mm) of *Lycopersicon sculentum* Mill., Days 21, benzoic acid, 5 mS of electrical conductivity, *in vitro*

Source	DF	Sum of Squares	Mean Square	F Ratio	Prob > F
Trata	3	29543,400	9847,80	872,9097	<,0001*
Error	76	857,400	11,28		
C. Total	79	30400,800			

Tabla 665A. Analysis of Variance Oneway Anova, Length. Stem (mm) of *Lycopersicon sculentum* Mill., Days 28, benzoic acid, 5 mS of electrical conductivity, *in vitro*

Source	DF	Sum of Squares	Mean Square	F Ratio	Prob > F
Trata	3	57313,300	19104,4	1315,279	<,0001*
Error	76	1103,900	14,5		
C. Total	79	58417,200			

Tabla 666A. Analysis of Variance Oneway Anova, Length roots (mm) of *Lycopersicon sculentum* Mill., Days 7, benzoic acid, 5 mS of electrical conductivity, *in vitro*

Source	DF	Sum of Squares	Mean Square	F Ratio	Prob > F
Trata	3	3326,3000	1108,77	528,3152	<,0001*
Error	76	159,5000	2,10		
C. Total	79	3485,8000			

Tabla 667A. Analysis of Variance Oneway Anova, Length roots (mm) of *Lycopersicon sculentum* Mill., Days 14, benzoic acid, 5 mS of electrical conductivity, *in vitro*

Source	DF	Sum of Squares	Mean Square	F Ratio	Prob > F
Trata	3	7219,4500	2406,48	73,2362	<,0001*
Error	76	2497,3000	32,86		
C. Total	79	9716,7500			

Tabla 668A. Analysis of Variance Oneway Anova, Length roots (mm) of *Lycopersicon sculentum* Mill., Days 21, benzoic acid, 5 mS of electrical conductivity, *in vitro*

Source	DF	Sum of Squares	Mean Square	F Ratio	Prob > F
Trata	3	13706,950	4568,98	1063,205	<,0001*
Error	76	326,600	4,30		
C. Total	79	14033,550			

Tabla 669A. Analysis of Variance Oneway Anova, Length roots (mm) of *Lycopersicon sculentum* Mill., Days 28, benzoic acid, 5 mS of electrical conductivity, *in vitro*

Source	DF	Sum of Squares	Mean Square	F Ratio	Prob > F
Trata	3	59908,038	19969,3	2261,972	<,0001*
Error	76	670,950	8,8		
C. Total	79	60578,987			

Tabla 670A. Analysis of Variance Oneway Anova, N° Leaves of *Lycopersicon sculentum* Mill., Days 7, benzoic acid, 5 mS of electrical conductivity, *in vitro*

Source	DF	Sum of Squares	Mean Square	F Ratio	Prob > F
Trata	3	5,137500	1,71250	13,9198	<,0001*
Error	76	9,350000	0,12303		
C. Total	79	14,487500			

Tabla 671A. Analysis of Variance Oneway Anova, N° Leaves of *Lycopersicon sculentum* Mill., Days 14, benzoic acid, 5 mS of electrical conductivity, *in vitro*

Source	DF	Sum of Squares	Mean Square	F Ratio	Prob > F
Trata	3	111,33750	37,1125	308,2568	<,0001*
Error	76	9,15000	0,1204		
C. Total	79	120,48750			

Tabla 672A. Analysis of Variance Oneway Anova, N° Leaves of *Lycopersicon sculentum* Mill., Days 21, benzoic acid, 5 mS of electrical conductivity, *in vitro*

Source	DF	Sum of Squares	Mean Square	F Ratio	Prob > F
Trata	3	47,500000	15,8333	81,8594	<,0001*
Error	76	14,700000	0,1934		
C. Total	79	62,200000			

Tabla 673A. Analysis of Variance Oneway Anova, N° Leaves of *Lycopersicon sculentum* Mill., Days 28, benzoic acid, 5 mS of electrical conductivity, *in vitro*

Source	DF	Sum of Squares	Mean Square	F Ratio	Prob > F
Trata	3	69,737500	23,2458	85,5537	<,0001*
Error	76	20,650000	0,2717		
C. Total	79	90,387500			

Tabla 674A. Analysis of Variance Oneway Anova, Clorophyll (U. SPAD) of *Lycopersicon sculentum* Mill., Days 28, benzoic acid, 5 mS of electrical conductivity, *in vitro*

Source	DF	Sum of Squares	Mean Square	F Ratio	Prob > F
Trata	3	864,62538	288,208	212,4947	<,0001*
Error	76	103,07950	1,356		
C. Total	79	967,70488			

Tabla 675A. Analysis of Variance Oneway Anova, leaf área (mm²) of *Lycopersicon sculentum* Mill., Days 28, benzoic acid, 5 mS of electrical conductivity, *in vitro*

Source	DF	Sum of Squares	Mean Square	F Ratio	Prob > F
Trata	3	48635579	16211860	727,8765	<,0001*
Error	76	1692734	22272,816		
C. Total	79	50328313			

Tabla 676A. Analysis of Variance Oneway Anova, leaf fresh weight (mg) of *Lycopersicon sculentum* Mill., Days 28, benzoic acid, 5 mS of electrical conductivity, *in vitro*

Source	DF	Sum of Squares	Mean Square	F Ratio	Prob > F
Trata	3	2332141,5	777381	1214,030	<,0001*
Error	76	48665,1	640		
C. Total	79	2380806,7			

Tabla 677A. Analysis of Variance Oneway Anova, stem fresh weight (mg) of *Lycopersicon sculentum* Mill., Days 28, benzoic acid, 5 mS of electrical conductivity, *in vitro*

Source	DF	Sum of Squares	Mean Square	F Ratio	Prob > F
Trata	3	1153081,6	384361	1096,672	<,0001*
Error	76	26636,4	350		
C. Total	79	1179718,0			

Tabla 678A. Analysis of Variance Oneway Anova, roots fresh weight (mg) of *Lycopersicon sculentum* Mill., Days 28, benzoic acid, 5 mS of electrical conductivity, *in vitro*

Source	DF	Sum of Squares	Mean Square	F Ratio	Prob > F
Trata	3	355298,47	118433	384,7403	<,0001*
Error	76	23394,72	308		
C. Total	79	378693,20			

Tabla 679A. Analysis of Variance Oneway Anova, leaf dry weight (mg) of *Lycopersicon sculentum* Mill., Days 28, benzoic acid, 5 mS of electrical conductivity, *in vitro*

Source	DF	Sum of Squares	Mean Square	F Ratio	Prob > F
Trata	3	22414,641	7471,55	51,6751	<,0001*
Error	76	10988,621	144,59		
C. Total	79	33403,262			

Tabla 680A. Analysis of Variance Oneway Anova, stem dry weight (mg) of *Lycopersicon sculentum* Mill., Days 28, benzoic acid, 5 mS of electrical conductivity, *in vitro*

Source	DF	Sum of Squares	Mean Square	F Ratio	Prob > F
Trata	3	10824,511	3608,17	119,7949	<,0001*
Error	76	2289,087	30,12		
C. Total	79	13113,598			

Tabla 681A. Analysis of Variance Oneway Anova, stem dry weight (mg) of *Lycopersicon sculentum* Mill., Days 28, benzoic acid, 5 mS of electrical conductivity, *in vitro*

Source	DF	Sum of Squares	Mean Square	F Ratio	Prob > F
Trata	3	2407,1194	802,373	19,1282	<,0001*
Error	76	3187,9775	41,947		
C. Total	79	5595,0969			

Tabla 682A. Analysis of Variance Oneway Anova, Length. Stem (mm) of *Lycopersicon sculentum* Mill., Days 7, benzoic acid, 7,5 mS of electrical conductivity, *in vitro*

Source	DF	Sum of Squares	Mean Square	F Ratio	Prob > F
Trata	3	3235,3000	1078,43	465,9519	<,0001*
Error	76	175,9000	2,31		
C. Total	79	3411,2000			

Tabla 683A. Analysis of Variance Oneway Anova, Length. Stem (mm) of *Lycopersicon sculentum* Mill., Days 14 benzoic acid, 7,5 mS of electrical conductivity, *in vitro*

Source	DF	Sum of Squares	Mean Square	F Ratio	Prob > F
Trata	3	16831,138	5610,38	548,7276	<,0001*
Error	76	777,050	10,22		
C. Total	79	17608,188			

Tabla 684A. Analysis of Variance Oneway Anova, Length. Stem (mm) of *Lycopersicon sculentum* Mill., Days 21, benzoic acid, 7,5 mS of electrical conductivity, *in vitro*

Source	DF	Sum of Squares	Mean Square	F Ratio	Prob > F
Trata	3	30821,838	10273,9	829,9090	<,0001*
Error	76	940,850	12,4		
C. Total	79	31762,688			

Tabla 685A. Analysis of Variance Oneway Anova, Length. Stem (mm) of *Lycopersicon sculentum* Mill., Days 28, benzoic acid, 7,5 mS of electrical conductivity, *in vitro*

Source	DF	Sum of Squares	Mean Square	F Ratio	Prob > F
Trata	3	57510,938	19170,3	2951,968	<,0001*
Error	76	493,550	6,5		
C. Total	79	58004,488			

Tabla 686A. Analysis of Variance Oneway Anova, Length roots (mm) of *Lycopersicon sculentum* Mill., Days 7, benzoic acid, 7,5 mS of electrical conductivity, *in vitro*

Source	DF	Sum of Squares	Mean Square	F Ratio	Prob > F
Trata	3	3321,1375	1107,05	299,1484	<,0001*
Error	76	281,2500	3,70		
C. Total	79	3602,3875			

Tabla 687A. Analysis of Variance Oneway Anova, Length roots (mm) of *Lycopersicon sculentum* Mill., Days 14, benzoic acid, 7,5 mS of electrical conductivity, *in vitro*

Source	DF	Sum of Squares	Mean Square	F Ratio	Prob > F
Trata	3	6014,0375	2004,68	281,9051	<,0001*
Error	76	540,4500	7,11		
C. Total	79	6554,4875			

Tabla 688A. Analysis of Variance Oneway Anova, Length roots (mm) of *Lycopersicon sculentum* Mill., Days 21, benzoic acid, 7,5 mS of electrical conductivity, *in vitro*

Source	DF	Sum of Squares	Mean Square	F Ratio	Prob > F
Trata	3	9174,1500	3058,05	1199,235	<,0001*
Error	76	193,8000	2,55		
C. Total	79	9367,9500			

Tabla 689A. Analysis of Variance Oneway Anova, Length roots (mm) of *Lycopersicon sculentum* Mill., Days 28, benzoic acid, 7,5 mS of electrical conductivity, *in vitro*

Source	DF	Sum of Squares	Mean Square	F Ratio	Prob > F
Trata	3	50766,538	16922,2	2563,711	<,0001*
Error	76	501,650	6,6		
C. Total	79	51268,188			

Tabla 690A. Analysis of Variance Oneway Anova, N° Leaves of *Lycopersicon sculentum* Mill., Days 7, benzoic acid, 7,5 mS of electrical conductivity, *in vitro*

Source	DF	Sum of Squares	Mean Square	F Ratio	Prob > F
Trata	3	4,900000	1,63333	10,2590	<,0001*
Error	76	12,100000	0,15921		
C. Total	79	17,000000			

Tabla 691A. Analysis of Variance Oneway Anova, N° Leaves of *Lycopersicon sculentum* Mill., Days 14, benzoic acid, 7,5 mS of electrical conductivity, *in vitro*

Source	DF	Sum of Squares	Mean Square	F Ratio	Prob > F
Trata	3	25,637500	8,54583	49,7688	<,0001*
Error	76	13,050000	0,17171		
C. Total	79	38,687500			

Tabla 692A. Analysis of Variance Oneway Anova, N° Leaves of *Lycopersicon sculentum* Mill., Days 21, benzoic acid, 7,5 mS of electrical conductivity, *in vitro*

Source	DF	Sum of Squares	Mean Square	F Ratio	Prob > F
Trata	3	39,437500	13,1458	39,2567	<,0001*
Error	76	25,450000	0,3349		
C. Total	79	64,887500			

Tabla 693A. Analysis of Variance Oneway Anova, N° Leaves of *Lycopersicon sculentum* Mill., Days 28, benzoic acid, 7,5 mS of electrical conductivity, *in vitro*

Source	DF	Sum of Squares	Mean Square	F Ratio	Prob > F
Trata	3	70,737500	23,5792	183,7966	<,0001*
Error	76	9,750000	0,1283		
C. Total	79	80,487500			

Tabla 694A. Analysis of Variance Oneway Anova, Clorophyll (U. SPAD) of *Lycopersicon sculentum* Mill., Days 28, benzoic acid, 7,5 mS of electrical conductivity, *in vitro*

Source	DF	Sum of Squares	Mean Square	F Ratio	Prob > F
Trata	3	1162,0645	387,355	322,8984	<,0001*
Error	76	91,1710	1,200		
C. Total	79	1253,2355			

Tabla 695A. Analysis of Variance Oneway Anova, Leaf area (mm²) of *Lycopersicon sculentum* Mill., Days 28, benzoic acid, 7,5 mS of electrical conductivity, *in vitro*

Source	DF	Sum of Squares	Mean Square	F Ratio	Prob > F
Trata	3	45741925	15247308	413,0265	<,0001*
Error	76	2805620	36916,057		
C. Total	79	48547545			

Tabla 696A. Analysis of Variance Oneway Anova, leaf fresh weight (mg) of *Lycopersicon sculentum* Mill., Days 28, benzoic acid, 7,5 mS of electrical conductivity, *in vitro*

Source	DF	Sum of Squares	Mean Square	F Ratio	Prob > F
Trata	3	1468765,5	489588	1061,838	<,0001*
Error	76	35041,8	461		
C. Total	79	1503807,3			

Tabla 697A. Analysis of Variance Oneway Anova, stem fresh weight (mg) of *Lycopersicon sculentum* Mill., Days 28, benzoic acid, 7,5 mS of electrical conductivity, *in vitro*

Source	DF	Sum of Squares	Mean Square	F Ratio	Prob > F
Trata	3	398309,14	132770	407,6902	<,0001*
Error	76	24750,41	326		
C. Total	79	423059,54			

Tabla 698A. Analysis of Variance Oneway Anova, roots fresh weight (mg) of *Lycopersicon sculentum* Mill., Days 28, benzoic acid, 7,5 mS of electrical conductivity, *in vitro*

Source	DF	Sum of Squares	Mean Square	F Ratio	Prob > F
Trata	3	147656,62	49218,9	570,5922	<,0001*
Error	76	6555,70	86,3		
C. Total	79	154212,32			

Tabla 699A. Analysis of Variance Oneway Anova, leaf dry weight (mg) of *Lycopersicon sculentum* Mill., Days 28, benzoic acid, 7,5 mS of electrical conductivity, *in vitro*

Source	DF	Sum of Squares	Mean Square	F Ratio	Prob > F
Trata	3	14672,474	4890,82	79,7165	<,0001*
Error	76	4662,805	61,35		
C. Total	79	19335,279			

Tabla 700A. Analysis of Variance Oneway Anova, stem dry weight (mg) of *Lycopersicon sculentum* Mill., Days 28, benzoic acid, 7,5 mS of electrical conductivity, *in vitro*

Source	DF	Sum of Squares	Mean Square	F Ratio	Prob > F
Trata	3	3986,0045	1328,67	57,0014	<,0001*
Error	76	1771,5150	23,31		
C. Total	79	5757,5195			

Tabla 701A. Analysis of Variance Oneway Anova, stem dry weight (mg) of *Lycopersicon sculentum* Mill., Days 28, benzoic acid, 7,5 mS of electrical conductivity, *in vitro*

Source	DF	Sum of Squares	Mean Square	F Ratio	Prob > F
Trata	3	848,2706	282,757	10,6436	<,0001*
Error	76	2019,0011	26,566		
C. Total	79	2867,2717			

Anexo 9. Análisis de la variancia Oneway ANOVA de las variables estudiadas por efecto del ácido benzoico en berenjena cultivada *in vitro* en 2,5, 5 y 7,5 mS de salinidad.

Tabla 702A. Analysis of Variance Oneway Anova, Length stem (mm) of *Solanum melongena* L, Days 7, benzoic acid, 2,5 mS of electrical conductivity, *in vitro*

Source	DF	Sum of Squares	Mean Square	F Ratio	Prob > F
Trata	3	11846,900	3948,97	817,5469	<,0001*
Error	76	367,100	4,83		
C. Total	79	12214,000			

Tabla 703A. Analysis of Variance Oneway Anova, Length stem (mm) of *Solanum melongena* L, Days 14, benzoic acid, 2,5 mS of electrical conductivity, *in vitro*

Source	DF	Sum of Squares	Mean Square	F Ratio	Prob > F
Trata	3	24197,000	8065,67	757,5268	<,0001*
Error	76	809,200	10,65		
C. Total	79	25006,200			

Tabla 704A. Analysis of Variance Oneway Anova, Length stem (mm) of *Solanum melongena* L, Days 21, benzoic acid, 2,5 mS of electrical conductivity, *in vitro*

Source	DF	Sum of Squares	Mean Square	F Ratio	Prob > F
Trata	3	49066,938	16355,6	1638,691	<,0001*
Error	76	758,550	10,0		
C. Total	79	49825,487			

Tabla 705A. Analysis of Variance Oneway Anova, Length stem (mm) of *Solanum melongena* L, Days 28, benzoic acid, 2,5 mS of electrical conductivity, *in vitro*

Source	DF	Sum of Squares	Mean Square	F Ratio	Prob > F
Trata	3	61636,700	20545,6	1514,366	<,0001*
Error	76	1031,100	13,6		
C. Total	79	62667,800			

Tabla 706A. Analysis of Variance Oneway Anova, Length roots (mm) of *Solanum melongena* L, Days 7, benzoic acid, 2,5 mS of electrical conductivity, *in vitro*

Source	DF	Sum of Squares	Mean Square	F Ratio	Prob > F
Trata	3	8058,5375	2686,18	923,9630	<,0001*
Error	76	220,9500	2,91		
C. Total	79	8279,4875			

Tabla 707A. Analysis of Variance Oneway Anova, Length roots (mm) of *Solanum melongena* L, Days 14, benzoic acid, 2,5 mS of electrical conductivity, *in vitro*

Source	DF	Sum of Squares	Mean Square	F Ratio	Prob > F
Trata	3	16667,450	5555,82	1322,399	<,0001*
Error	76	319,300	4,20		
C. Total	79	16986,750			

Tabla 708A. Analysis of Variance Oneway Anova, Length roots (mm) of *Solanum melongena* L, Days 21, benzoic acid, 2,5 mS of electrical conductivity, *in vitro*

Source	DF	Sum of Squares	Mean Square	F Ratio	Prob > F
Trata	3	41775,938	13925,3	1103,283	<,0001*
Error	76	959,250	12,6		
C. Total	79	42735,188			

Tabla 709A. Analysis of Variance Oneway Anova, Length roots (mm) of *Solanum melongena* L, Days 28, benzoic acid, 2,5 mS of electrical conductivity, *in vitro*

Source	DF	Sum of Squares	Mean Square	F Ratio	Prob > F
Trata	3	61496,638	20498,9	2877,833	<,0001*
Error	76	541,350	7,1		
C. Total	79	62037,987			

Tabla 710A. Analysis of Variance Oneway Anova, N° Leaves of *Solanum melongena* L, Days 7, benzoic acid, 2,5 mS of electrical conductivity, *in vitro*

Source	DF	Sum of Squares	Mean Square	F Ratio	Prob > F
Trata	3	60,000000	20,0000		
Error	76	0,000000	0,0000		
C. Total	79	60,000000			

Tabla 711A. Analysis of Variance Oneway Anova, N° Leaves of *Solanum melongena* L, Days 14, benzoic acid, 2,5 mS of electrical conductivity, *in vitro*

Source	DF	Sum of Squares	Mean Square	F Ratio	Prob > F
Trata	3	101,53750	33,8458	195,6109	<,0001*
Error	76	13,15000	0,1730		
C. Total	79	114,68750			

Tabla 712A. Analysis of Variance Oneway Anova, N° Leaves of *Solanum melongena* L, Days 21, benzoic acid, 2,5 mS of electrical conductivity, *in vitro*

Source	DF	Sum of Squares	Mean Square	F Ratio	Prob > F
Trata	3	209,65000	69,8833	431,7995	<,0001*
Error	76	12,30000	0,1618		
C. Total	79	221,95000			

Tabla 713A. Analysis of Variance Oneway Anova, N° Leaves of *Solanum melongena* L, Days 28, benzoic acid, 2,5 mS of electrical conductivity, *in vitro*

Source	DF	Sum of Squares	Mean Square	F Ratio	Prob > F
Trata	3	359,35000	119,783	968,4610	<,0001*
Error	76	9,40000	0,124		
C. Total	79	368,75000			

Tabla 714 A. Analysis of Variance Oneway Anova, Clorophyll (U. SPAD) of *Solanum melongena* L, Days 28, benzoic acid, 2,5 mS of electrical conductivity, *in vitro*

Source	DF	Sum of Squares	Mean Square	F Ratio	Prob > F
Trata	3	8625,0944	2875,03	998,7516	<,0001*
Error	76	218,7755	2,88		
C. Total	79	8843,8699			

Tabla 715A. Analysis of Variance Oneway Anova, Leaf area (mm²) of *Solanum melongena* L, Days 28, benzoic acid, 2,5 mS of electrical conductivity, *in vitro*

Source	DF	Sum of Squares	Mean Square	F Ratio	Prob > F
Trata	3	31292927	10430976	445,2702	<,0001*
Error	76	1780389	23426,17		
C. Total	79	33073316			

Tabla 716A. Analysis of Variance Oneway Anova, leaf fresh weight (mg) of *Solanum melongena* L, Days 28, benzoic acid, 2,5 mS of electrical conductivity, *in vitro*

Source	DF	Sum of Squares	Mean Square	F Ratio	Prob > F
Trata	3	1108381,0	369460	510,9149	<,0001*
Error	76	54958,2	723		
C. Total	79	1163339,3			

Tabla 717A. Analysis of Variance Oneway Anova, stem fresh weight (mg) of *Solanum melongena* L, Days 28, benzoic acid, 2,5 mS of electrical conductivity, *in vitro*

Source	DF	Sum of Squares	Mean Square	F Ratio	Prob > F
Trata	3	318638,65	106213	393,3111	<,0001*
Error	76	20523,65	270		
C. Total	79	339162,30			

Tabla 718A. Analysis of Variance Oneway Anova, roots fresh weight (mg) of *Solanum melongena* L, Days 28, benzoic acid, 2,5 mS of electrical conductivity, *in vitro*

Source	DF	Sum of Squares	Mean Square	F Ratio	Prob > F
Trata	3	481129,78	160377	885,7328	<,0001*
Error	76	13761,06	181		
C. Total	79	494890,84			

Tabla 719A. Analysis of Variance Oneway Anova, leaf dry weight (mg) of *Solanum melongena* L, Days 28, benzoic acid, 2,5 mS of electrical conductivity, *in vitro*

Source	DF	Sum of Squares	Mean Square	F Ratio	Prob > F
Trata	3	11634,561	3878,19	39,3370	<,0001*
Error	76	7492,755	98,59		
C. Total	79	19127,316			

Tabla 720A. Analysis of Variance Oneway Anova, stem dry weight (mg) of *Solanum melongena* L, Days 28, benzoic acid, 2,5 mS of electrical conductivity, *in vitro*

Source	DF	Sum of Squares	Mean Square	F Ratio	Prob > F
Trata	3	4199,6684	1399,89	55,5357	<,0001*

Source	DF	Sum of Squares	Mean Square	F Ratio	Prob > F
Error	76	1915,7335	25,21		
C. Total	79	6115,4019			

Tabla 721A. Analysis of Variance Oneway Anova, roots dry weight (mg) of *Solanum melongena* L, Days 28, benzoic acid, 2,5 mS of electrical conductivity, *in vitro*

Source	DF	Sum of Squares	Mean Square	F Ratio	Prob > F
Trata	3	5540,6144	1846,87	52,7618	<,0001*
Error	76	2660,2995	35,00		
C. Total	79	8200,9139			

Tabla 722A. Analysis of Variance Oneway Anova, Length. Stem (mm) of *Solanum melongena* L, Days 7, benzoic acid, 5 mS of electrical conductivity, *in vitro*

Source	DF	Sum of Squares	Mean Square	F Ratio	Prob > F
Trata	3	8734,2500	2911,42	562,5926	<,0001*
Error	76	393,3000	5,17		
C. Total	79	9127,5500			

Tabla 723A. Analysis of Variance Oneway Anova, Length. Stem (mm) of *Solanum melongena* L, Days 14, benzoic acid, 5 mS of electrical conductivity, *in vitro*

Source	DF	Sum of Squares	Mean Square	F Ratio	Prob > F
Trata	3	19859,238	6619,75	656,6608	<,0001*
Error	76	766,150	10,08		
C. Total	79	20625,387			

Tabla 724A. Analysis of Variance Oneway Anova, Length. Stem (mm) of *Solanum melongena* L, Days 21, benzoic acid, 5 mS of electrical conductivity, *in vitro*

Source	DF	Sum of Squares	Mean Square	F Ratio	Prob > F
Trata	3	39041,100	13013,7	461,1130	<,0001*
Error	76	2144,900	28,2		
C. Total	79	41186,000			

Tabla 725A. Analysis of Variance Oneway Anova, Length. Stem (mm) of *Solanum melongena* L, Days 28, benzoic acid, 5 mS of electrical conductivity, *in vitro*

Source	DF	Sum of Squares	Mean Square	F Ratio	Prob > F
Trata	3	50497,250	16832,4	1795,962	<,0001*
Error	76	712,300	9,4		
C. Total	79	51209,550			

Tabla 726A. Analysis of Variance Oneway Anova, Length roots (mm) of *Solanum melongena* L, Days 7, benzoic acid, 5 mS of electrical conductivity, *in vitro*

Source	DF	Sum of Squares	Mean Square	F Ratio	Prob > F
Trata	3	7173,8375	2391,28	1459,151	<,0001*
Error	76	124,5500	1,64		
C. Total	79	7298,3875			

Tabla 727A. Analysis of Variance Oneway Anova, Length roots (mm) of *Solanum melongena* L, Days 14, benzoic acid, 5 mS of electrical conductivity, *in vitro*

Source	DF	Sum of Squares	Mean Square	F Ratio	Prob > F
Trata	3	15233,450	5077,82	631,3006	<,0001*
Error	76	611,300	8,04		
C. Total	79	15844,750			

Tabla 728A. Analysis of Variance Oneway Anova, Length roots (mm) of *Solanum melongena* L, Days 21, benzoic acid, 5 mS of electrical conductivity, *in vitro*

Source	DF	Sum of Squares	Mean Square	F Ratio	Prob > F
Trata	3	35461,638	11820,5	1267,887	<,0001*
Error	76	708,550	9,3		
C. Total	79	36170,188			

Tabla 729A. Analysis of Variance Oneway Anova, Length roots (mm) of *Solanum melongena* L, Days 28, benzoic acid, 5 mS of electrical conductivity, *in vitro*

Source	DF	Sum of Squares	Mean Square	F Ratio	Prob > F
Trata	3	49958,538	16652,8	2282,652	<,0001*
Error	76	554,450	7,3		
C. Total	79	50512,987			

Tabla 730A. Analysis of Variance Oneway Anova, N° Leaves of *Solanum melongena* L, Days 7, benzoic acid, 5 mS of electrical conductivity, *in vitro*

Source	DF	Sum of Squares	Mean Square	F Ratio	Prob > F
Trata	3	60,000000	20,0000		
Error	76	0,000000	0,0000		
C. Total	79	60,000000			

Tabla 731A. Analysis of Variance Oneway Anova, N° Leaves of *Solanum melongena* L, Days 14, benzoic acid, 5 mS of electrical conductivity, *in vitro*

Source	DF	Sum of Squares	Mean Square	F Ratio	Prob > F
Trata	3	83,537500	27,8458	163,4196	<,0001*
Error	76	12,950000	0,1704		
C. Total	79	96,487500			

Tabla 732A. Analysis of Variance Oneway Anova, N° Leaves of *Solanum melongena* L, Days 21, benzoic acid, 5 mS of electrical conductivity, *in vitro*

Source	DF	Sum of Squares	Mean Square	F Ratio	Prob > F
Trata	3	160,53750	53,5125	444,4754	<,0001*
Error	76	9,15000	0,1204		
C. Total	79	169,68750			

Tabla 733A. Analysis of Variance Oneway Anova, N° Leaves of *Solanum melongena* L, Days 28, benzoic acid, 5 mS of electrical conductivity, *in vitro*

Source	DF	Sum of Squares	Mean Square	F Ratio	Prob > F
Trata	3	340,00000	113,333		
Error	76	0,00000	0,000		
C. Total	79	340,00000			

Tabla 734A. Analysis of Variance Oneway Anova, Clorophyll (U. SPAD) of *Solanum melongena* L, Days 28, benzoic acid, 5 mS of electrical conductivity, *in vitro*

Source	DF	Sum of Squares	Mean Square	F Ratio	Prob > F
Trata	3	8211,8125	2737,27	2060,892	<,0001*
Error	76	100,9430	1,33		
C. Total	79	8312,7555			

Tabla 735A. Analysis of Variance Oneway Anova, Leaf area (mm²) of *Solanum melongena* L, Days 28, benzoic acid, 5 mS of electrical conductivity, *in vitro*

Source	DF	Sum of Squares	Mean Square	F Ratio	Prob > F
Trata	3	30173268	10057756	405,6151	<,0001*
Error	76	1884519	24796,304		
C. Total	79	32057788			

Tabla 736A. Analysis of Variance Oneway Anova, leaf fresh weight (mg) of *Solanum melongena* L, Days 28, benzoic acid, 5 mS of electrical conductivity, *in vitro*

Source	DF	Sum of Squares	Mean Square	F Ratio	Prob > F
Trata	3	744341,58	248114	593,9688	<,0001*
Error	76	31746,87	418		
C. Total	79	776088,45			

Tabla 737A. Analysis of Variance Oneway Anova, stem fresh weight (mg) of *Solanum melongena* L, Days 28, benzoic acid, 5 mS of electrical conductivity, *in vitro*

Source	DF	Sum of Squares	Mean Square	F Ratio	Prob > F
Trata	3	223570,15	74523,4	399,2668	<,0001*
Error	76	14185,45	186,7		
C. Total	79	237755,60			

Tabla 738A. Analysis of Variance Oneway Anova, roots fresh weight (mg) of *Solanum melongena* L, Days 28, benzoic acid, 5 mS of electrical conductivity, *in vitro*

Source	DF	Sum of Squares	Mean Square	F Ratio	Prob > F
Trata	3	217300,55	72433,5	144,4331	<,0001*
Error	76	38114,17	501,5		
C. Total	79	255414,72			

Tabla 739A. Analysis of Variance Oneway Anova, leaf dry weight (mg) of *Solanum melongena* L, Days 28, benzoic acid, 5 mS of electrical conductivity, *in vitro*

Source	DF	Sum of Squares	Mean Square	F Ratio	Prob > F
Trata	3	9017,835	3005,95	29,0428	<,0001*
Error	76	7866,029	103,50		
C. Total	79	16883,864			

Tabla 740A. Analysis of Variance Oneway Anova, stem dry weight (mg) of *Solanum melongena* L, Days 28, benzoic acid, 5 mS of electrical conductivity, *in vitro*

Source	DF	Sum of Squares	Mean Square	F Ratio	Prob > F
Trata	3	2423,3374	807,779	26,6029	<,0001*
Error	76	2307,6875	30,364		
C. Total	79	4731,0249			

Tabla 741A. Analysis of Variance Oneway Anova, roots dry weight (mg) of *Solanum melongena* L, Days 28, benzoic acid, 5 mS of electrical conductivity, *in vitro*

Source	DF	Sum of Squares	Mean Square	F Ratio	Prob > F
Trata	3	2058,9394	686,313	20,7846	<,0001*
Error	76	2509,5355	33,020		
C. Total	79	4568,4749			

Tabla 742A. Analysis of Variance Oneway Anova, Length. Stem (mm) of *Solanum melongena* L, Days 7, benzoic acid, 7,5 mS of electrical conductivity, *in vitro*

Source	DF	Sum of Squares	Mean Square	F Ratio	Prob > F
Trata	3	7308,4375	2436,15	467,6022	<,0001*
Error	76	395,9500	5,21		
C. Total	79	7704,3875			

Tabla 743A. Analysis of Variance Oneway Anova, Length. Stem (mm) of *Solanum melongena* L, Days 14, benzoic acid, 7,5 mS of electrical conductivity, *in vitro*

Source	DF	Sum of Squares	Mean Square	F Ratio	Prob > F
Trata	3	10402,738	3467,58	896,5335	<,0001*
Error	76	293,950	3,87		
C. Total	79	10696,688			

Tabla 744A. Analysis of Variance Oneway Anova, Length. Stem (mm) of *Solanum melongena* L, Days 21, benzoic acid, 7,5 mS of electrical conductivity, *in vitro*

Source	DF	Sum of Squares	Mean Square	F Ratio	Prob > F
Trata	3	27661,638	9220,55	1101,740	<,0001*
Error	76	636,050	8,37		
C. Total	79	28297,688			

Tabla 745A. Analysis of Variance Oneway Anova, Length. Stem (mm) of *Solanum melongena* L, Days 28, benzoic acid, 7,5 mS of electrical conductivity, *in vitro*

Source	DF	Sum of Squares	Mean Square	F Ratio	Prob > F
Trata	3	40316,838	13438,9	1617,740	<,0001*
Error	76	631,350	8,3		
C. Total	79	40948,188			

Tabla 746A. Analysis of Variance Oneway Anova, Length roots (mm) of *Solanum melongena* L, Days 7, benzoic acid, 7,5 mS of electrical conductivity, *in vitro*

Source	DF	Sum of Squares	Mean Square	F Ratio	Prob > F
Trata	3	6010,4500	2003,48	786,8978	<,0001*
Error	76	193,5000	2,55		
C. Total	79	6203,9500			

Tabla 747A. Analysis of Variance Oneway Anova, Length roots (mm) of *Solanum melongena* L, Days 14, benzoic acid, 7,5 mS of electrical conductivity, *in vitro*

Source	DF	Sum of Squares	Mean Square	F Ratio	Prob > F
Trata	3	14142,137	4714,05	1454,303	<,0001*
Error	76	246,350	3,24		
C. Total	79	14388,488			

Tabla 748A. Analysis of Variance Oneway Anova, Length roots (mm) of *Solanum melongena* L, Days 28, benzoic acid, 7,5 mS of electrical conductivity, *in vitro*

Source	DF	Sum of Squares	Mean Square	F Ratio	Prob > F
Trata	3	32910,100	10970,0	1825,537	<,0001*
Error	76	456,700	6,0		
C. Total	79	33366,800			

Tabla 749A. Analysis of Variance Oneway Anova, Length roots (mm) of *Solanum melongena* L, Days 28, benzoic acid, 7,5 mS of electrical conductivity, *in vitro*

Source	DF	Sum of Squares	Mean Square	F Ratio	Prob > F
Trata	3	44728,538	14909,5	1599,440	<,0001*
Error	76	708,450	9,3		
C. Total	79	45436,988			

Tabla 750A. Analysis of Variance Oneway Anova, N° Leaves of *Solanum melongena* L, Days 7, benzoic acid, 7,5 mS of electrical conductivity, *in vitro*

Source	DF	Sum of Squares	Mean Square	F Ratio	Prob > F
Trata	3	60,000000	20,0000	.	.
Error	76	0,000000	0,0000		
C. Total	79	60,000000			

Tabla 751A. Analysis of Variance Oneway Anova, N° Leaves of *Solanum melongena* L, Days 14, benzoic acid, 7,5 mS of electrical conductivity, *in vitro*

Source	DF	Sum of Squares	Mean Square	F Ratio	Prob > F
Trata	3	83,237500	27,7458	159,1459	<,0001*
Error	76	13,250000	0,1743		
C. Total	79	96,487500			

Tabla 752A. Analysis of Variance Oneway Anova, N° Leaves of *Solanum melongena* L, Days 21, benzoic acid, 7,5 mS of electrical conductivity, *in vitro*

Source	DF	Sum of Squares	Mean Square	F Ratio	Prob > F
Trata	3	151,35000	50,4500	518,1351	<,0001*
Error	76	7,40000	0,0974		
C. Total	79	158,75000			

Tabla 753A. Analysis of Variance Oneway Anova, N° Leaves of *Solanum melongena* L, Days 28, benzoic acid, 7,5 mS of electrical conductivity, *in vitro*

Source	DF	Sum of Squares	Mean Square	F Ratio	Prob > F
Trata	3	335,93750	111,979	2269,444	<,0001*
Error	76	3,75000	0,049		
C. Total	79	339,68750			

Tabla 754A. Analysis of Variance Oneway Anova, Clorophyll (U. SPAD) of *Solanum melongena* L, Days 28, benzoic acid, 7,5 mS of electrical conductivity, *in vitro*

Source	DF	Sum of Squares	Mean Square	F Ratio	Prob > F
Trata	3	7236,5244	2412,17	957,9850	<,0001*
Error	76	191,3655	2,52		
C. Total	79	7427,8899			

Tabla 755A. Analysis of Variance Oneway Anova, Leaf area (mm²) of *Solanum melongena* L, Days 28, benzoic acid, 7,5 mS of electrical conductivity, *in vitro*

Source	DF	Sum of Squares	Mean Square	F Ratio	Prob > F
Trata	3	26977951	8992650	551,7578	<,0001*
Error	76	1238662	16298		
C. Total	79	28216613			

Tabla 756A. Analysis of Variance Oneway Anova, leaf fresh weight (mg) of *Solanum melongena* L, Days 28, benzoic acid, 7,5 mS of electrical conductivity, *in vitro*

Source	DF	Sum of Squares	Mean Square	F Ratio	Prob > F
Trata	3	615429,71	205143	292,6933	<,0001*
Error	76	53266,98	701		
C. Total	79	668696,70			

Tabla 757A. Analysis of Variance Oneway Anova, stem fresh weight (mg) of *Solanum melongena* L, Days 28, benzoic acid, 7,5 mS of electrical conductivity, *in vitro*

Source	DF	Sum of Squares	Mean Square	F Ratio	Prob > F
Trata	3	167886,41	55962,1	519,5478	<,0001*
Error	76	8186,20	107,7		
C. Total	79	176072,61			

Tabla 758A. Analysis of Variance Oneway Anova, roots fresh weight (mg) of *Solanum melongena* L, Days 28, benzoic acid, 7,5 mS of electrical conductivity, *in vitro*

Source	DF	Sum of Squares	Mean Square	F Ratio	Prob > F
Trata	3	163026,70	54342,2	578,8550	<,0001*
Error	76	7134,79	93,9		
C. Total	79	170161,49			

Tabla 759A. Analysis of Variance Oneway Anova, leaf dry weight (mg) of *Solanum melongena* L, Days 28, benzoic acid, 7,5 mS of electrical conductivity, *in vitro*

Source	DF	Sum of Squares	Mean Square	F Ratio	Prob > F
Trata	3	6344,7065	2114,90	67,1029	<,0001*
Error	76	2395,3130	31,52		
C. Total	79	8740,0195			

Tabla 760A. Analysis of Variance Oneway Anova, stem dry weight (mg) of *Solanum melongena* L, Days 28, benzoic acid, 7,5 mS of electrical conductivity, *in vitro*

Source	DF	Sum of Squares	Mean Square	F Ratio	Prob > F
Trata	3	2065,1695	688,390	11,3200	<,0001*
Error	76	4621,6980	60,812		
C. Total	79	6686,8675			

Tabla 761A. Analysis of Variance Oneway Anova, stem dry weight (mg) of *Solanum melongena* L, Days 28, benzoic acid, 7,5 mS of electrical conductivity, *in vitro*

Source	DF	Sum of Squares	Mean Square	F Ratio	Prob > F
Trata	3	1738,3877	579,463	9,8834	<,0001*
Error	76	4455,8921	58,630		
C. Total	79	6194,2798			

Anexo 10. Análisis de la variancia Oneway ANOVA de las variables estudiadas por efecto del ácido benzoico en tomate cultivada *in vivo* en 0, 2,5 y 5 mS de salinidad.

Tabla 762A. Analysis of Variance Oneway Anova, Length. Stem (mm) of *Lycopersicon esculentum* Mill, Days 7, benzoic acid, 0 mS of electrical conductivity, *in vivo*

Source	DF	Sum of Squares	Mean Square	F Ratio	Prob > F
Tratamientos	2	681,0333	340,517	24,2270	<,0001*
Error	57	801,1500	14,055		
C. Total	59	1482,1833			

Tabla 763A. Analysis of Variance Oneway Anova, Length. Stem (mm) of *Lycopersicon esculentum* Mill, Days 14, benzoic acid, 0 mS of electrical conductivity, *in vivo*

Source	DF	Sum of Squares	Mean Square	F Ratio	Prob > F
Tratamientos	2	5393,2000	2696,60	91,7978	<,0001*
Error	57	1674,4000	29,38		
C. Total	59	7067,6000			

Tabla 764A. Analysis of Variance Oneway Anova, Length. Stem (mm) of *Lycopersicon esculentum* Mill, Days 21, benzoic acid, 0 mS of electrical conductivity, *in vivo*

Source	DF	Sum of Squares	Mean Square	F Ratio	Prob > F
Tratamientos	2	19230,033	9615,02	169,3255	<,0001*
Error	57	3236,700	56,78		
C. Total	59	22466,733			

Tabla 765A. Analysis of Variance Oneway Anova, Length. Stem (mm) of *Lycopersicon esculentum* Mill, Days 28, benzoic acid, 0 mS of electrical conductivity, *in vivo*

Source	DF	Sum of Squares	Mean Square	F Ratio	Prob > F
Tratamientos	2	27840,100	13920,0	160,3968	<,0001*
Error	57	4946,750	86,8		
C. Total	59	32786,850			

Tabla 766A. Analysis of Variance Oneway Anova, Length roots (mm) of *Lycopersicon esculentum* Mill, Days 14, benzoic acid, 0 mS of electrical conductivity, *in vivo*

Source	DF	Sum of Squares	Mean Square	F Ratio	Prob > F
Tratamientos	2	2315,2000	1157,60	54,6015	<,0001*
Error	57	1208,4500	21,20		
C. Total	59	3523,6500			

Tabla 767A. Analysis of Variance Oneway Anova, Length roots (mm) of *Lycopersicon esculentum* Mill, Days 28, benzoic acid, 0 mS of electrical conductivity, *in vivo*

Source	DF	Sum of Squares	Mean Square	F Ratio	Prob > F
Tratamientos	2	3965,7333	1982,87	162,1919	<,0001*
Error	57	696,8500	12,23		
C. Total	59	4662,5833			

Tabla 768A. Analysis of Variance Oneway Anova, N° Leaves of *Lycopersicon esculentum* Mill, Days 7, benzoic acid, 0 mS of electrical conductivity, *in vivo*

Source	DF	Sum of Squares	Mean Square	F Ratio	Prob > F
Tratamientos	2	0	0	.	.
Error	57	0	0		
C. Total	59	0			

Tabla 769A. Analysis of Variance Oneway Anova, N° Leaves of *Lycopersicon esculentum* Mill, Days 14, benzoic acid, 0 mS of electrical conductivity, *in vivo*

Source	DF	Sum of Squares	Mean Square	F Ratio	Prob > F
Tratamientos	2	10,800000	5,40000	31,4082	<,0001*
Error	57	9,800000	0,17193		
C. Total	59	20,600000			

Tabla 770A. Analysis of Variance Oneway Anova, N° Leaves of *Lycopersicon esculentum* Mill, Days 21, benzoic acid, 0 mS of electrical conductivity, *in vivo*

Source	DF	Sum of Squares	Mean Square	F Ratio	Prob > F
Tratamientos	2	9,300000	4,65000	19,0000	<,0001*
Error	57	13,950000	0,24474		
C. Total	59	23,250000			

Tabla 771A. Analysis of Variance Oneway Anova, N° Leaves of *Lycopersicon esculentum* Mill, Days 28, benzoic acid, 0 mS of electrical conductivity, *in vivo*

Source	DF	Sum of Squares	Mean Square	F Ratio	Prob > F
Tratamientos	2	14,700000	7,35000	441,0000	<,0001*
Error	57	0,950000	0,01667		
C. Total	59	15,650000			

Tabla 772A. Analysis of Variance Oneway Anova, Clorophyll (U. SPAD) of *Lycopersicon esculentum* Mill, Days 14, benzoic acid, 0 mS of electrical conductivity, *in vivo*

Source	DF	Sum of Squares	Mean Square	F Ratio	Prob > F
Tratamientos	2	264,71433	132,357	87,7322	<,0001*
Error	57	85,99300	1,509		
C. Total	59	350,70733			

Tabla 773A. Analysis of Variance Oneway Anova, Clorophyll (U. SPAD) of *Lycopersicon esculentum* Mill, Days 21, benzoic acid, 0 mS of electrical conductivity, *in vivo*

Source	DF	Sum of Squares	Mean Square	F Ratio	Prob > F
Tratamientos	2	94,05633	47,0282	14,7261	<,0001*
Error	57	182,03100	3,1935		
C. Total	59	276,08733			

Tabla 774A. Analysis of Variance Oneway Anova, Clorophyll (U. SPAD) of *Lycopersicon esculentum* Mill, Days 28, benzoic acid, 0 mS of electrical conductivity, *in vivo*

Source	DF	Sum of Squares	Mean Square	F Ratio	Prob > F
Tratamientos	2	217,88233	108,941	34,2713	<,0001*
Error	57	181,19100	3,179		
C. Total	59	399,07333			

Tabla 775A. Analysis of Variance Oneway Anova, Leaf area (mm²) of *Lycopersicon esculentum* Mill, Days 14, benzoic acid, 0 mS of electrical conductivity, *in vivo*

Source	DF	Sum of Squares	Mean Square	F Ratio	Prob > F
Tratamientos	2	4588557,6	2294279	81,6288	<,0001*
Error	57	1602055,7	28106		
C. Total	59	6190613,3			

Tabla 776A. Analysis of Variance Oneway Anova, Leaf area (mm²) of *Lycopersicon esculentum* Mill, Days 28, benzoic acid, 0 mS of electrical conductivity, *in vivo*

Source	DF	Sum of Squares	Mean Square	F Ratio	Prob > F
Tratamientos	2	34440034	17220017	122,3212	<,0001*
Error	57	8024291	140777,03		
C. Total	59	42464325			

Tabla 777A. Analysis of Variance Oneway Anova, leaf fresh weight (mg) of *Lycopersicon esculentum* Mill, Days 14, benzoic acid, 0 mS of electrical conductivity, *in vivo*

Source	DF	Sum of Squares	Mean Square	F Ratio	Prob > F
Tratamientos	2	97571,78	48785,9	57,8128	<,0001*
Error	57	48099,97	843,9		
C. Total	59	145671,75			

Tabla 778A. Analysis of Variance Oneway Anova, leaf fresh weight (mg) of *Lycopersicon esculentum* Mill, Days 28, benzoic acid, 0 mS of electrical conductivity, *in vivo*

Source	DF	Sum of Squares	Mean Square	F Ratio	Prob > F
Tratamientos	2	334688,41	167344	65,4028	<,0001*
Error	57	145844,25	2559		
C. Total	59	480532,67			

Tabla 779A. Analysis of Variance Oneway Anova, stem fresh weight (mg) of *Lycopersicon esculentum* Mill, Days 14, benzoic acid, 0 mS of electrical conductivity, *in vivo*

Source	DF	Sum of Squares	Mean Square	F Ratio	Prob > F
Tratamientos	2	75960,28	37980,1	78,3498	<,0001*
Error	57	27630,79	484,8		
C. Total	59	103591,07			

Tabla 780A. Analysis of Variance Oneway Anova, stem fresh weight (mg) of *Lycopersicon esculentum* Mill, Days 28, benzoic acid, 0 mS of electrical conductivity, *in vivo*

Source	DF	Sum of Squares	Mean Square	F Ratio	Prob > F
Tratamientos	2	1285257,3	642629	369,9171	<,0001*
Error	57	99021,7	1737		
C. Total	59	1384279,0			

Tabla 781A. Analysis of Variance Oneway Anova, roots fresh weight (mg) of *Lycopersicon esculentum* Mill, Days 14, benzoic acid, 0 mS of electrical conductivity, *in vivo*

Source	DF	Sum of Squares	Mean Square	F Ratio	Prob > F
Tratamientos	2	43664,625	21832,3	161,1673	<,0001*
Error	57	7721,428	135,5		
C. Total	59	51386,053			

Tabla 782A. Analysis of Variance Oneway Anova, roots fresh weight (mg) of *Lycopersicon esculentum* Mill, Days 28, benzoic acid, 0 mS of electrical conductivity, *in vivo*

Source	DF	Sum of Squares	Mean Square	F Ratio	Prob > F
Tratamientos	2	89113,24	44556,6	61,2091	<,0001*
Error	57	41492,63	727,9		
C. Total	59	130605,86			

Tabla 783A. Analysis of Variance Oneway Anova, leaf dry weight (mg) of *Lycopersicon esculentum* Mill, Days 14, benzoic acid, 0 mS of electrical conductivity, *in vivo*

Source	DF	Sum of Squares	Mean Square	F Ratio	Prob > F
Tratamientos	2	1571,5053	785,753	45,4971	<,0001*
Error	57	984,4120	17,270		
C. Total	59	2555,9173			

Tabla 784A. Analysis of Variance Oneway Anova, leaf dry weight (mg) of *Lycopersicon esculentum* Mill, Days 28, benzoic acid, 0 mS of electrical conductivity, *in vivo*

Source	DF	Sum of Squares	Mean Square	F Ratio	Prob > F
Tratamientos	2	9020,725	4510,36	23,3463	<,0001*
Error	57	11012,031	193,19		
C. Total	59	20032,756			

Tabla 785A. Analysis of Variance Oneway Anova, stem dry weight (mg) of *Lycopersicon esculentum* Mill, Days 14, benzoic acid, 0 mS of electrical conductivity, *in vivo*

Source	DF	Sum of Squares	Mean Square	F Ratio	Prob > F
Tratamientos	2	2985,3880	1492,69	74,8710	<,0001*
Error	57	1136,4020	19,94		
C. Total	59	4121,7900			

Tabla 786A. Analysis of Variance Oneway Anova, stem dry weight (mg) of *Lycopersicon esculentum* Mill, Days 28, benzoic acid, 0 mS of electrical conductivity, *in vivo*

Source	DF	Sum of Squares	Mean Square	F Ratio	Prob > F
Tratamientos	2	5031,030	2515,52	9,6733	0,0002*
Error	57	14822,692	260,05		
C. Total	59	19853,722			

Tabla 787A. Analysis of Variance Oneway Anova, roots dry weight (mg) of *Lycopersicon esculentum* Mill, Days 14, benzoic acid, 0 mS of electrical conductivity, *in vivo*

Source	DF	Sum of Squares	Mean Square	F Ratio	Prob > F
Tratamientos	2	1062,2080	531,104	54,0464	<,0001*
Error	57	560,1280	9,827		
C. Total	59	1622,3360			

Tabla 788A. Analysis of Variance Oneway Anova, stem dry weight (mg) of *Lycopersicon esculentum* Mill, Days 28, benzoic acid, 0 mS of electrical conductivity, *in vivo*

Source	DF	Sum of Squares	Mean Square	F Ratio	Prob > F
Tratamientos	2	7608,371	3804,19	20,3791	<,0001*
Error	57	10640,264	186,67		
C. Total	59	18248,635			

Tabla 789A. Analysis of Variance Oneway Anova, Length. Stem (mm) of *Lycopersicon esculentum* Mill, Days 7, benzoic acid, 2,5 mS of electrical conductivity, *in vivo*

Source	DF	Sum of Squares	Mean Square	F Ratio	Prob > F
Tratamientos	2	716,4000	358,200	57,2798	<,0001*
Error	57	356,4500	6,254		
C. Total	59	1072,8500			

Tabla 790A. Analysis of Variance Oneway Anova, Length. Stem (mm) of *Lycopersicon esculentum* Mill, Days 14, benzoic acid, 2,5 mS of electrical conductivity, *in vivo*

Source	DF	Sum of Squares	Mean Square	F Ratio	Prob > F
Tratamientos	2	8203,0333	4101,52	240,7935	<,0001*
Error	57	970,9000	17,03		
C. Total	59	9173,9333			

Tabla 791A. Analysis of Variance Oneway Anova, Length. Stem (mm) of *Lycopersicon esculentum* Mill, Days 21, benzoic acid, 2,5 mS of electrical conductivity, *in vivo*

Source	DF	Sum of Squares	Mean Square	F Ratio	Prob > F
Tratamientos	2	7629,7333	3814,87	150,3578	<,0001*
Error	57	1446,2000	25,37		
C. Total	59	9075,9333			

Tabla 792A. Analysis of Variance Oneway Anova, Length. Stem (mm) of *Lycopersicon esculentum* Mill, Days 28, benzoic acid, 2,5 mS of electrical conductivity, *in vivo*

Source	DF	Sum of Squares	Mean Square	F Ratio	Prob > F
Tratamientos	2	24254,533	12127,3	120,3269	<,0001*
Error	57	5744,800	100,8		
C. Total	59	29999,333			

Tabla 793A. Analysis of Variance Oneway Anova, Length roots (mm) of *Lycopersicon esculentum* Mill, Days 14, benzoic acid, 2,5 mS of electrical conductivity, *in vivo*

Source	DF	Sum of Squares	Mean Square	F Ratio	Prob > F
Tratamientos	2	3506,5213	1753,26	148,7568	<,0001*
Error	56	660,0211	11,79		
C. Total	58	4166,5424			

Tabla 794A. Analysis of Variance Oneway Anova, Length roots (mm) of *Lycopersicon esculentum* Mill, Days 28, benzoic acid, 2,5 mS of electrical conductivity, *in vivo*

Source	DF	Sum of Squares	Mean Square	F Ratio	Prob > F
Tratamientos	2	2191,0333	1095,52	60,5111	<,0001*
Error	57	1031,9500	18,10		
C. Total	59	3222,9833			

Tabla 795A. Analysis of Variance Oneway Anova, N° Leaves of *Lycopersicon esculentum* Mill, Days 7, benzoic acid, 2,5 mS of electrical conductivity, *in vivo*

Source	DF	Sum of Squares	Mean Square	F Ratio	Prob > F
Tratamientos	2	0	0		
Error	57	0	0		
C. Total	59	0			

Tabla 796A. Analysis of Variance Oneway Anova, N° Leaves of *Lycopersicon esculentum* Mill, Days 14, benzoic acid, 2,5 mS of electrical conductivity, *in vivo*

Source	DF	Sum of Squares	Mean Square	F Ratio	Prob > F
Tratamientos	2	6,700000	3,35000	27,4748	<,0001*
Error	57	6,950000	0,12193		
C. Total	59	13,650000			

Tabla 797A. Analysis of Variance Oneway Anova, N° Leaves of *Lycopersicon esculentum* Mill, Days 21, benzoic acid, 2,5 mS of electrical conductivity, *in vivo*

Source	DF	Sum of Squares	Mean Square	F Ratio	Prob > F
Tratamientos	2	7,500000	3,75000	16,0112	<,0001*
Error	57	13,350000	0,23421		
C. Total	59	20,850000			

Tabla 798A. Analysis of Variance Oneway Anova, N° Leaves of *Lycopersicon esculentum* Mill, Days 28, benzoic acid, 2,5 mS of electrical conductivity, *in vivo*

Source	DF	Sum of Squares	Mean Square	F Ratio	Prob > F
Tratamientos	2	34,233333	17,1167	72,2704	<,0001*
Error	57	13,500000	0,2368		

Source	DF	Sum of Squares	Mean Square	F Ratio	Prob > F
C. Total	59	47,733333			

Tabla 799A. Analysis of Variance Oneway Anova, Clorophyll (U. SPAD) of *Lycopersicon esculentum* Mill, Days 14, benzoic acid, 2,5 mS of electrical conductivity, *in vivo*

Source	DF	Sum of Squares	Mean Square	F Ratio	Prob > F
Tratamientos	2	347,77733	173,889	117,8107	<,0001*
Error	57	84,13200	1,476		
C. Total	59	431,90933			

Tabla 800A. Analysis of Variance Oneway Anova, Clorophyll (U. SPAD) of *Lycopersicon esculentum* Mill, Days 21, benzoic acid, 2,5 mS of electrical conductivity, *in vivo*

Source	DF	Sum of Squares	Mean Square	F Ratio	Prob > F
Tratamientos	2	255,84233	127,921	61,0948	<,0001*
Error	57	119,34750	2,094		
C. Total	59	375,18983			

Tabla 801A. Analysis of Variance Oneway Anova, Clorophyll (U. SPAD) of *Lycopersicon esculentum* Mill, Days 28, benzoic acid, 2,5 mS of electrical conductivity, *in vivo*

Source	DF	Sum of Squares	Mean Square	F Ratio	Prob > F
Tratamientos	2	260,97033	130,485	121,2589	<,0001*
Error	57	61,33700	1,076		
C. Total	59	322,30733			

Tabla 802A. Analysis of Variance Oneway Anova, Leaf area (mm²) of *Lycopersicon esculentum* Mill, Days 14, benzoic acid, 2,5 mS of electrical conductivity, *in vivo*

Source	DF	Sum of Squares	Mean Square	F Ratio	Prob > F
Tratamientos	2	1625227,9	812614	36,8554	<,0001*
Error	56	1234728,7	22049		
C. Total	58	2859956,7			

Tabla 803A. Analysis of Variance Oneway Anova, Leaf area (mm²) of *Lycopersicon esculentum* Mill, Days 28, benzoic acid, 2,5 mS of electrical conductivity, *in vivo*

Source	DF	Sum of Squares	Mean Square	F Ratio	Prob > F
Tratamientos	2	52959952	26479976	161,1144	<,0001*
Error	57	9368242	164355,13		
C. Total	59	62328194			

Tabla 804A. Analysis of Variance Oneway Anova, leaf fresh weight (mg) of *Lycopersicon esculentum* Mill, Days 14, benzoic acid, 2,5 mS of electrical conductivity, *in vivo*

Source	DF	Sum of Squares	Mean Square	F Ratio	Prob > F
Tratamientos	2	39605,306	19802,7	85,4190	<,0001*
Error	56	12982,454	231,8		
C. Total	58	52587,760			

Tabla 805A. Analysis of Variance Oneway Anova, leaf fresh weight (mg) of *Lycopersicon esculentum* Mill, Days 28, benzoic acid, 2,5 mS of electrical conductivity, *in vivo*

Source	DF	Sum of Squares	Mean Square	F Ratio	Prob > F
Tratamientos	2	1111687,0	555844	197,1898	<,0001*
Error	57	160673,0	2819		
C. Total	59	1272360,0			

Tabla 806A. Analysis of Variance Oneway Anova, stem fresh weight (mg) of *Lycopersicon esculentum* Mill, Days 14, benzoic acid, 2,5 mS of electrical conductivity, *in vivo*

Source	DF	Sum of Squares	Mean Square	F Ratio	Prob > F
Tratamientos	2	77533,98	38767,0	92,3053	<,0001*
Error	56	23519,24	420,0		
C. Total	58	101053,22			

Tabla 807A. Analysis of Variance Oneway Anova, stem fresh weight (mg) of *Lycopersicon esculentum* Mill, Days 28, benzoic acid, 2,5 mS of electrical conductivity, *in vivo*

Source	DF	Sum of Squares	Mean Square	F Ratio	Prob > F
Tratamientos	2	2202291,6	1101146	292,5935	<,0001*
Error	57	214513,7	3763		
C. Total	59	2416805,3			

Tabla 808A. Analysis of Variance Oneway Anova, roots fresh weight (mg) of *Lycopersicon esculentum* Mill, Days 14, benzoic acid, 2,5 mS of electrical conductivity, *in vivo*

Source	DF	Sum of Squares	Mean Square	F Ratio	Prob > F
Tratamientos	2	9562,617	4781,31	57,5032	<,0001*
Error	56	4656,320	83,15		
C. Total	58	14218,937			

Tabla 809A. Analysis of Variance Oneway Anova, roots fresh weight (mg) of *Lycopersicon esculentum* Mill, Days 28, benzoic acid, 2,5 mS of electrical conductivity, *in vivo*

Source	DF	Sum of Squares	Mean Square	F Ratio	Prob > F
Tratamientos	2	170386,86	85193,4	115,5417	<,0001*
Error	57	42028,33	737,3		
C. Total	59	212415,19			

Tabla 810A. Analysis of Variance Oneway Anova, leaf dry weight (mg) of *Lycopersicon esculentum* Mill, Days 28, benzoic acid, 2,5 mS of electrical conductivity, *in vivo*

Source	DF	Sum of Squares	Mean Square	F Ratio	Prob > F
Tratamientos	2	1481,9651	740,983	54,1459	<,0001*
Error	56	766,3553	13,685		
C. Total	58	2248,3203			

Tabla 811A. Analysis of Variance Oneway Anova, leaf dry weight (mg) of *Lycopersicon esculentum* Mill, Days 28, benzoic acid, 2,5 mS of electrical conductivity, *in vivo*

Source	DF	Sum of Squares	Mean Square	F Ratio	Prob > F
Tratamientos	2	8354,915	4177,46	54,9180	<,0001*
Error	57	4335,832	76,07		
C. Total	59	12690,747			

Tabla 812A. Analysis of Variance Oneway Anova, stem dry weight (mg) of *Lycopersicon esculentum* Mill, Days 14, benzoic acid, 2,5 mS of electrical conductivity, *in vivo*

Source	DF	Sum of Squares	Mean Square	F Ratio	Prob > F
Tratamientos	2	2061,6458	1030,82	41,6387	<,0001*
Error	56	1386,3573	24,76		
C. Total	58	3448,0031			

Tabla 813A. Analysis of Variance Oneway Anova, stem dry weight (mg) of *Lycopersicon esculentum* Mill, Days 28, benzoic acid, 2,5 mS of electrical conductivity, *in vivo*

Source	DF	Sum of Squares	Mean Square	F Ratio	Prob > F
Tratamientos	2	8546,822	4273,41	8,2590	0,0007*
Error	57	29493,257	517,43		
C. Total	59	38040,079			

Tabla 814A. Analysis of Variance Oneway Anova, roots dry weight (mg) of *Lycopersicon esculentum* Mill, Days 14, benzoic acid, 2,5 mS of electrical conductivity, *in vivo*

Source	DF	Sum of Squares	Mean Square	F Ratio	Prob > F
Tratamientos	2	596,06095	298,030	51,0859	<,0001*
Error	56	326,69905	5,834		
C. Total	58	922,76000			

Tabla 815A. Analysis of Variance Oneway Anova, roots dry weight (mg) of *Lycopersicon esculentum* Mill, Days 28, benzoic acid, 2,5 mS of electrical conductivity, *in vivo*

Source	DF	Sum of Squares	Mean Square	F Ratio	Prob > F
Tratamientos	2	8257,604	4128,80	5,9438	0,0045*
Error	57	39594,302	694,64		
C. Total	59	47851,906			

Tabla 816A. Analysis of Variance Oneway Anova, Length. Stem (mm) of *Lycopersicon esculentum* Mill, Days 7, benzoic acid, 5 mS of electrical conductivity, *in vivo*

Source	DF	Sum of Squares	Mean Square	F Ratio	Prob > F
Tratamientos	2	208,13333	104,067	16,2248	<,0001*
Error	57	365,60000	6,414		
C. Total	59	573,73333			

Tabla 817A. Analysis of Variance Oneway Anova, Length. Stem (mm) of *Lycopersicon esculentum* Mill, Days 14, benzoic acid, 5 mS of electrical conductivity, *in vivo*

Source	DF	Sum of Squares	Mean Square	F Ratio	Prob > F
Tratamientos	2	3648,2333	1824,12	132,9004	<,0001*
Error	57	782,3500	13,73		
C. Total	59	4430,5833			

Tabla 818A. Analysis of Variance Oneway Anova, Length. Stem (mm) of *Lycopersicon esculentum* Mill, Days 21, benzoic acid, 5 mS of electrical conductivity, *in vivo*

Source	DF	Sum of Squares	Mean Square	F Ratio	Prob > F
Tratamientos	2	1842,5333	921,267	46,3316	<,0001*
Error	57	1133,4000	19,884		
C. Total	59	2975,9333			

Tabla 819A. Analysis of Variance Oneway Anova, Length. Stem (mm) of *Lycopersicon esculentum* Mill, Days 28, benzoic acid, 5 mS of electrical conductivity, *in vivo*

Source	DF	Sum of Squares	Mean Square	F Ratio	Prob > F
Tratamientos	2	3048,4000	1524,20	103,2742	<,0001*
Error	57	841,2500	14,76		
C. Total	59	3889,6500			

Tabla 820A. Analysis of Variance Oneway Anova, Length roots (mm) of *Lycopersicon esculentum* Mill, Days 14, benzoic acid, 5 mS of electrical conductivity, *in vivo*

Source	DF	Sum of Squares	Mean Square	F Ratio	Prob > F
Tratamientos	2	4284,2333	2142,12	111,4108	<,0001*
Error	57	1095,9500	19,23		
C. Total	59	5380,1833			

Tabla 821A. Analysis of Variance Oneway Anova, Length roots (mm) of *Lycopersicon esculentum* Mill, Days 28, benzoic acid, 5 mS of electrical conductivity, *in vivo*

Source	DF	Sum of Squares	Mean Square	F Ratio	Prob > F
Tratamientos	2	2308,1333	1154,07	87,2669	<,0001*
Error	57	753,8000	13,22		
C. Total	59	3061,9333			

Tabla 822A. Analysis of Variance Oneway Anova, N° Leaves of *Lycopersicon esculentum* Mill, Days 7, benzoic acid, 5 mS of electrical conductivity, *in vivo*

Source	DF	Sum of Squares	Mean Square	F Ratio	Prob > F
Tratamientos	2	0	0		
Error	57	0	0		
C. Total	59	0			

Tabla 823A. Analysis of Variance Oneway Anova, N° Leaves of *Lycopersicon esculentum* Mill, Days 14, benzoic acid, 5 mS of electrical conductivity, *in vivo*

Source	DF	Sum of Squares	Mean Square	F Ratio	Prob > F
Tratamientos	2	5,233333	2,61667	13,1410	<,0001*
Error	57	11,350000	0,19912		
C. Total	59	16,583333			

Tabla 824A. Analysis of Variance Oneway Anova, N° Leaves of *Lycopersicon esculentum* Mill, Days 21, benzoic acid, 5 mS of electrical conductivity, *in vivo*

Source	DF	Sum of Squares	Mean Square	F Ratio	Prob > F
Tratamientos	2	4,433333	2,21667	16,3032	<,0001*
Error	57	7,750000	0,13596		
C. Total	59	12,183333			

Tabla 825A. Analysis of Variance Oneway Anova, N° Leaves of *Lycopersicon esculentum* Mill, Days 28, benzoic acid, 5 mS of electrical conductivity, *in vivo*

Source	DF	Sum of Squares	Mean Square	F Ratio	Prob > F
Tratamientos	2	4,433333	2,21667	10,7532	0,0001*
Error	57	11,750000	0,20614		
C. Total	59	16,183333			

Tabla 826A. Analysis of Variance Oneway Anova, Clorophyll (U. SPAD) of *Lycopersicon esculentum* Mill, Days 28, benzoic acid, 5 mS of electrical conductivity, *in vivo*

Source	DF	Sum of Squares	Mean Square	F Ratio	Prob > F
Tratamientos	2	235,70633	117,853	143,7634	<,0001*
Error	57	46,72700	0,820		
C. Total	59	282,43333			

Tabla 827A. Analysis of Variance Oneway Anova, Clorophyll (U. SPAD) of *Lycopersicon esculentum* Mill, Days 28, benzoic acid, 5 mS of electrical conductivity, *in vivo*

Source	DF	Sum of Squares	Mean Square	F Ratio	Prob > F
Tratamientos	2	261,43900	130,720	38,8549	<,0001*
Error	57	191,76500	3,364		
C. Total	59	453,20400			

Tabla 828A. Analysis of Variance Oneway Anova, Clorophyll (U. SPAD) of *Lycopersicon esculentum* Mill, Days 28, benzoic acid, 5 mS of electrical conductivity, *in vivo*

Source	DF	Sum of Squares	Mean Square	F Ratio	Prob > F
Tratamientos	2	211,00300	105,502	65,1872	<,0001*
Error	57	92,25100	1,618		
C. Total	59	303,25400			

Tabla 829A. Analysis of Variance Oneway Anova, Leaf area (mm²) of *Lycopersicon esculentum* Mill, Days 14, benzoic acid, 5 mS of electrical conductivity, *in vivo*

Source	DF	Sum of Squares	Mean Square	F Ratio	Prob > F
Tratamientos	2	1114469,6	557235	32,9281	<,0001*
Error	57	964596,7	16923		

Source	DF	Sum of Squares	Mean Square	F Ratio	Prob > F
C. Total	59	2079066,3			

Tabla 830A. Analysis of Variance Oneway Anova, Leaf area (mm²) of *Lycopersicon esculentum* Mill, Days 14, benzoic acid, 5 mS of electrical conductivity, *in vivo*

Source	DF	Sum of Squares	Mean Square	F Ratio	Prob > F
Tratamientos	2	17125864	8562932	149,6796	<,0001*
Error	57	3260880	57208		
C. Total	59	20386744			

Tabla 831A. Analysis of Variance Oneway Anova, leaf fresh weight (mg) of *Lycopersicon esculentum* Mill, Days 14, benzoic acid, 5 mS of electrical conductivity, *in vivo*

Source	DF	Sum of Squares	Mean Square	F Ratio	Prob > F
Tratamientos	2	8822,224	4411,11	17,4895	<,0001*
Error	57	14376,272	252,22		
C. Total	59	23198,496			

Tabla 832A. Analysis of Variance Oneway Anova, leaf fresh weight (mg) of *Lycopersicon esculentum* Mill, Days 28, benzoic acid, 5 mS of electrical conductivity, *in vivo*

Source	DF	Sum of Squares	Mean Square	F Ratio	Prob > F
Tratamientos	2	7893,493	3946,75	6,5662	0,0027*
Error	57	34260,903	601,07		
C. Total	59	42154,396			

Tabla 833A. Analysis of Variance Oneway Anova, stem fresh weight (mg) of *Lycopersicon esculentum* Mill, Days 14, benzoic acid, 5 mS of electrical conductivity, *in vivo*

Source	DF	Sum of Squares	Mean Square	F Ratio	Prob > F
Tratamientos	2	38449,156	19224,6	37,2019	<,0001*
Error	57	29455,538	516,8		
C. Total	59	67904,694			

Tabla 834A. Analysis of Variance Oneway Anova, stem fresh weight (mg) of *Lycopersicon esculentum* Mill, Days 28, benzoic acid, 5 mS of electrical conductivity, *in vivo*

Source	DF	Sum of Squares	Mean Square	F Ratio	Prob > F
Tratamientos	2	45597,777	22798,9	27,9553	<,0001*
Error	57	46486,273	815,5		
C. Total	59	92084,050			

Tabla 835A. Analysis of Variance Oneway Anova, roots fresh weight (mg) of *Lycopersicon esculentum* Mill, Days 14, benzoic acid, 5 mS of electrical conductivity, *in vivo*

Source	DF	Sum of Squares	Mean Square	F Ratio	Prob > F
Tratamientos	2	1630,1293	815,065	32,9776	<,0001*
Error	57	1408,7940	24,716		
C. Total	59	3038,9233			

Tabla 836A. Analysis of Variance Oneway Anova, roots fresh weight (mg) of *Lycopersicon esculentum* Mill, Days 28, benzoic acid, 5 mS of electrical conductivity, *in vivo*

Source	DF	Sum of Squares	Mean Square	F Ratio	Prob > F
Tratamientos	2	5389,617	2694,81	24,0202	<,0001*
Error	57	6394,784	112,19		
C. Total	59	11784,402			

Tabla 837A. Analysis of Variance Oneway Anova, leaf dry weight (mg) of *Lycopersicon esculentum* Mill, Days 14, benzoic acid, 5 mS of electrical conductivity, *in vivo*

Source	DF	Sum of Squares	Mean Square	F Ratio	Prob > F
Tratamientos	2	525,7453	262,873	25,2484	<,0001*

Source	DF	Sum of Squares	Mean Square	F Ratio	Prob > F
Error	57	593,4520	10,411		
C. Total	59	1119,1973			

Tabla 838A. Analysis of Variance Oneway Anova, leaf dry weight (mg) of *Lycopersicon esculentum* Mill, Days 28, benzoic acid, 5 mS of electrical conductivity, *in vivo*

Source	DF	Sum of Squares	Mean Square	F Ratio	Prob > F
Tratamientos	2	564,9910	282,496	5,6335	0,0059*
Error	57	2858,3250	50,146		
C. Total	59	3423,3160			

Tabla 839A. Analysis of Variance Oneway Anova, stem dry weight (mg) of *Lycopersicon esculentum* Mill, Days 14, benzoic acid, 5 mS of electrical conductivity, *in vivo*

Source	DF	Sum of Squares	Mean Square	F Ratio	Prob > F
Tratamientos	2	1206,7312	603,366	59,8514	<,0001*
Error	57	574,6202	10,081		
C. Total	59	1781,3514			

Tabla 840A. Analysis of Variance Oneway Anova, stem dry weight (mg) of *Lycopersicon esculentum* Mill, Days 28, benzoic acid, 5 mS of electrical conductivity, *in vivo*

Source	DF	Sum of Squares	Mean Square	F Ratio	Prob > F
Tratamientos	2	2881,5840	1440,79	68,3199	<,0001*
Error	57	1202,0685	21,09		
C. Total	59	4083,6525			

Tabla 841A. Analysis of Variance Oneway Anova, roots dry weight (mg) of *Lycopersicon esculentum* Mill, Days 14, benzoic acid, 5 mS of electrical conductivity, *in vivo*

Source	DF	Sum of Squares	Mean Square	F Ratio	Prob > F
Tratamientos	2	269,40933	134,705	33,9067	<,0001*
Error	57	226,45000	3,973		
C. Total	59	495,85933			

Tabla 842A. Analysis of Variance Oneway Anova, roots dry weight (mg) of *Lycopersicon esculentum* Mill, Days 28, benzoic acid, 5 mS of electrical conductivity, *in vivo*

Source	DF	Sum of Squares	Mean Square	F Ratio	Prob > F
Tratamientos	2	613,4894	306,745	17,2499	<,0001*
Error	57	1013,5951	17,782		
C. Total	59	1627,0845			

Anexo 11. Análisis de la variancia Oneway ANOVA de las variables estudiadas por efecto del ácido benzoico en berenjena cultivada *in vivo* en 0, 2,5 y 5 mS de salinidad.

Tabla 843A. Analysis of Variance Oneway Anova, Length. Stem (mm) of *Solanum melongena* L, Days 7, benzoic acid, 0 mS of electrical conductivity, *in vivo*

Source	DF	Sum of Squares	Mean Square	F Ratio	Prob > F
Tratamientos	2	621,0333	310,517	26,7707	<,0001*
Error	57	661,1500	11,599		
C. Total	59	1282,1833			

Tabla 844A. Analysis of Variance Oneway Anova, Length. Stem (mm) of *Solanum melongena* L, Days 14, benzoic acid, 0 mS of electrical conductivity, *in vivo*

Source	DF	Sum of Squares	Mean Square	F Ratio	Prob > F
Tratamientos	2	288,1000	144,050	5,2207	0,0083*

Source	DF	Sum of Squares	Mean Square	F Ratio	Prob > F
Error	57	1572,7500	27,592		
C. Total	59	1860,8500			

Tabla 845A. Analysis of Variance Oneway Anova, Length. Stem (mm) of *Solanum melongena* L, Days 21, benzoic acid, 0 mS of electrical conductivity, *in vivo*

Source	DF	Sum of Squares	Mean Square	F Ratio	Prob > F
Tratamientos	2	96,53333	48,2667	7,1711	0,0017*
Error	57	383,65000	6,7307		
C. Total	59	480,18333			

Tabla 846A. Analysis of Variance Oneway Anova, Length. Stem (mm) of *Solanum melongena* L, Days 28, benzoic acid, 0 mS of electrical conductivity, *in vivo*

Source	DF	Sum of Squares	Mean Square	F Ratio	Prob > F
Tratamientos	2	1651,3000	825,650	33,8004	<,0001*
Error	57	1392,3500	24,427		
C. Total	59	3043,6500			

Tabla 847A. Analysis of Variance Oneway Anova, N° Leaves of *Solanum melongena* L, Days 7, benzoic acid, 0 mS of electrical conductivity, *in vivo*

Source	DF	Sum of Squares	Mean Square	F Ratio	Prob > F
Tratamientos	2	0	0		
Error	57	0	0		
C. Total	59	0			

Tabla 848A. Analysis of Variance Oneway Anova, N° Leaves of *Solanum melongena* L, Days 14, benzoic acid, 0 mS of electrical conductivity, *in vivo*

Source	DF	Sum of Squares	Mean Square	F Ratio	Prob > F
Tratamientos	2	2,133333	1,06667	5,7358	0,0054*
Error	57	10,600000	0,18596		
C. Total	59	12,733333			

Tabla 849A. Analysis of Variance Oneway Anova, N° Leaves of *Solanum melongena* L, Days 21, benzoic acid, 0 mS of electrical conductivity, *in vivo*

Source	DF	Sum of Squares	Mean Square	F Ratio	Prob > F
Tratamientos	2	1,033333	0,516667	2,4644	0,0941
Error	57	11,950000	0,209649		
C. Total	59	12,983333			

Tabla 850A. Analysis of Variance Oneway Anova, N° Leaves of *Solanum melongena* L, Days 28, benzoic acid, 0 mS of electrical conductivity, *in vivo*

Source	DF	Sum of Squares	Mean Square	F Ratio	Prob > F
Tratamientos	2	5,700000	2,85000	16,4091	<,0001*
Error	57	9,900000	0,17368		
C. Total	59	15,600000			

Tabla 851A. Analysis of Variance Oneway Anova, Clorophyll (U. SPAD) of *Solanum melongena* L, Days 14, benzoic acid, 0 mS of electrical conductivity, *in vivo*

Source	DF	Sum of Squares	Mean Square	F Ratio	Prob > F
Tratamientos	2	230,80633	115,403	89,0077	<,0001*
Error	57	73,90350	1,297		
C. Total	59	304,70983			

Tabla 852A. Analysis of Variance Oneway Anova, Clorophyll (U. SPAD) of *Solanum melongena* L, Days 21, benzoic acid, 0 mS of electrical conductivity, *in vivo*

Source	DF	Sum of Squares	Mean Square	F Ratio	Prob > F
Tratamientos	2	173,19433	86,5972	69,4151	<,0001*
Error	57	71,10900	1,2475		
C. Total	59	244,30333			

Tabla 853A. Analysis of Variance Oneway Anova, Clorophyll (U. SPAD) of *Solanum melongena* L, Days 28, benzoic acid, 0 mS of electrical conductivity, *in vivo*

Source	DF	Sum of Squares	Mean Square	F Ratio	Prob > F
Tratamientos	2	265,63433	132,817	75,7243	<,0001*
Error	57	99,97550	1,754		
C. Total	59	365,60983			

Tabla 854A. Analysis of Variance Oneway Anova, Length roots (mm) of *Solanum melongena* L, Days 14, benzoic acid, 0 mS of electrical conductivity, *in vivo*

Source	DF	Sum of Squares	Mean Square	F Ratio	Prob > F
Tratamientos	2	4341,7333	2170,87	86,3499	<,0001*
Error	57	1433,0000	25,14		
C. Total	59	5774,7333			

Tabla 855A. Analysis of Variance Oneway Anova, Length roots (mm) of *Solanum melongena* L, Days 28, benzoic acid, 0 mS of electrical conductivity, *in vivo*

Source	DF	Sum of Squares	Mean Square	F Ratio	Prob > F
Tratamientos	2	2192,2333	1096,12	60,2785	<,0001*
Error	57	1036,5000	18,18		
C. Total	59	3228,7333			

Tabla 856 A. Analysis of Variance Oneway Anova, Leaf area (mm²) of *Solanum melongena* L, Days 14, benzoic acid, 0 mS of electrical conductivity, *in vivo*

Source	DF	Sum of Squares	Mean Square	F Ratio	Prob > F
Tratamientos	2	1634841,2	817421	48,4558	<,0001*
Error	57	961556,7	16869		
C. Total	59	2596397,9			

Tabla 857A. Analysis of Variance Oneway Anova, Leaf area (mm²) of *Solanum melongena* L, Days 28, benzoic acid, 0 mS of electrical conductivity, *in vivo*

Source	DF	Sum of Squares	Mean Square	F Ratio	Prob > F
Tratamientos	2	22381446	11190723	178,4473	<,0001*
Error	57	3574564	62711,649		
C. Total	59	25956010			

Tabla 858A. Analysis of Variance Oneway Anova, leaf fresh weight (mg) of *Solanum melongena* L, Days 14, benzoic acid, 0 mS of electrical conductivity, *in vivo*

Source	DF	Sum of Squares	Mean Square	F Ratio	Prob > F
Tratamientos	2	63011,75	31505,9	31,9575	<,0001*
Error	57	56194,51	985,9		
C. Total	59	119206,26			

Tabla 859A. Analysis of Variance Oneway Anova, leaf fresh weight (mg) of *Solanum melongena* L, Days 28, benzoic acid, 0 mS of electrical conductivity, *in vivo*

Source	DF	Sum of Squares	Mean Square	F Ratio	Prob > F
Tratamientos	2	198719,35	99359,7	97,6350	<,0001*
Error	57	58006,88	1017,7		
C. Total	59	256726,24			

Tabla 860A. Analysis of Variance Oneway Anova, stem fresh weight (mg) of *Solanum melongena* L, Days 14, benzoic acid, 0 mS of electrical conductivity, *in vivo*

Source	DF	Sum of Squares	Mean Square	F Ratio	Prob > F
Tratamientos	2	29266,956	14633,5	41,5934	<,0001*
Error	57	20053,850	351,8		
C. Total	59	49320,806			

Tabla 861A. Analysis of Variance Oneway Anova, stem fresh weight (mg) of *Solanum melongena* L, Days 28, benzoic acid, 0 mS of electrical conductivity, *in vivo*

Source	DF	Sum of Squares	Mean Square	F Ratio	Prob > F
Tratamientos	2	102308,64	51154,3	70,4224	<,0001*
Error	57	41404,36	726,4		
C. Total	59	143713,00			

Tabla 862A. Analysis of Variance Oneway Anova, roots fresh weight (mg) of *Solanum melongena* L, Days 14, benzoic acid, 0 mS of electrical conductivity, *in vivo*

Source	DF	Sum of Squares	Mean Square	F Ratio	Prob > F
Tratamientos	2	36877,961	18439,0	227,5068	<,0001*
Error	57	4619,738	81,0		
C. Total	59	41497,699			

Tabla 863 A. Analysis of Variance Oneway Anova, roots fresh weight (mg) of *Solanum melongena* L, Days 28, benzoic acid, 0 mS of electrical conductivity, *in vivo*

Source	DF	Sum of Squares	Mean Square	F Ratio	Prob > F
Tratamientos	2	131069,04	65534,5	189,6512	<,0001*
Error	57	19696,51	345,6		
C. Total	59	150765,56			

Tabla 864A. Analysis of Variance Oneway Anova, leaf dry weight (mg) of *Solanum melongena* L, Days 14, benzoic acid, 0 mS of electrical conductivity, *in vivo*

Source	DF	Sum of Squares	Mean Square	F Ratio	Prob > F
Tratamientos	2	407,1893	203,595	5,5107	0,0065*
Error	57	2105,9005	36,946		
C. Total	59	2513,0898			

Tabla 865A. Analysis of Variance Oneway Anova, leaf dry weight (mg) of *Solanum melongena* L, Days 28, benzoic acid, 0 mS of electrical conductivity, *in vivo*

Source	DF	Sum of Squares	Mean Square	F Ratio	Prob > F
Tratamientos	2	2531,7943	1265,90	26,8140	<,0001*
Error	57	2690,9875	47,21		
C. Total	59	5222,7818			

Tabla 866A. Analysis of Variance Oneway Anova, stem dry weight (mg) of *Solanum melongena* L, Days 14, benzoic acid, 0 mS of electrical conductivity, *in vivo*

Source	DF	Sum of Squares	Mean Square	F Ratio	Prob > F
Tratamientos	2	1315,1293	657,565	23,6835	<,0001*
Error	57	1582,5880	27,765		
C. Total	59	2897,7173			

Tabla 867A. Analysis of Variance Oneway Anova, stem dry weight (mg) of *Solanum melongena* L, Days 28, benzoic acid, 0 mS of electrical conductivity, *in vivo*

Source	DF	Sum of Squares	Mean Square	F Ratio	Prob > F
Tratamientos	2	171,8893	85,9447	3,9653	0,0244*
Error	57	1235,4146	21,6739		
C. Total	59	1407,3039			

Tabla 868A. Analysis of Variance Oneway Anova, roots dry weight (mg) of *Solanum melongena* L, Days 14, benzoic acid, 0 mS of electrical conductivity, *in vivo*

Source	DF	Sum of Squares	Mean Square	F Ratio	Prob > F
Tratamientos	2	25,43700	12,7185	1,6076	0,2093
Error	57	450,95950	7,9116		
C. Total	59	476,39650			

Tabla 869A. Analysis of Variance Oneway Anova, roots dry weight (mg) of *Solanum melongena* L, Days 28, benzoic acid, 0 mS of electrical conductivity, *in vivo*

Source	DF	Sum of Squares	Mean Square	F Ratio	Prob > F
Tratamientos	2	1248,1803	624,090	17,1693	<,0001*
Error	57	2071,9090	36,349		
C. Total	59	3320,0893			

Tabla 870A. Analysis of Variance Oneway Anova, Length. Stem (mm) of *Solanum melongena* L, Days 7, benzoic acid, 2,5 mS of electrical conductivity, *in vivo*

Source	DF	Sum of Squares	Mean Square	F Ratio	Prob > F
Tratamientos	2	514,0333	257,017	21,4134	<,0001*
Error	57	684,1500	12,003		
C. Total	59	1198,1833			

Tabla 871A. Analysis of Variance Oneway Anova, Length. Stem (mm) of *Solanum melongena* L, Days 14, benzoic acid, 2,5 mS of electrical conductivity, *in vivo*

Source	DF	Sum of Squares	Mean Square	F Ratio	Prob > F
Tratamientos	2	191,6333	95,8167	4,0749	0,0222*
Error	57	1340,3000	23,5140		
C. Total	59	1531,9333			

Tabla 872A. Analysis of Variance Oneway Anova, Length. Stem (mm) of *Solanum melongena* L, Days 21, benzoic acid, 2,5 mS of electrical conductivity, *in vivo*

Source	DF	Sum of Squares	Mean Square	F Ratio	Prob > F
Tratamientos	2	1135,3000	567,650	42,3315	<,0001*
Error	57	764,3500	13,410		
C. Total	59	1899,6500			

Tabla 873A. Analysis of Variance Oneway Anova, Length. Stem (mm) of *Solanum melongena* L, Days 28, benzoic acid, 2,5 mS of electrical conductivity, *in vivo*

Source	DF	Sum of Squares	Mean Square	F Ratio	Prob > F
Tratamientos	2	2805,0333	1402,52	44,0873	<,0001*
Error	57	1813,3000	31,81		
C. Total	59	4618,3333			

Tabla 874A. Analysis of Variance Oneway Anova, Length roots (mm) of *Solanum melongena* L, Days 14, benzoic acid, 2,5 mS of electrical conductivity, *in vivo*

Source	DF	Sum of Squares	Mean Square	F Ratio	Prob > F
Tratamientos	2	3478,5333	1739,27	66,9220	<,0001*
Error	57	1481,4000	25,99		
C. Total	59	4959,9333			

Tabla 875A. Analysis of Variance Oneway Anova, Length roots (mm) of *Solanum melongena* L, Days 28, benzoic acid, 2,5 mS of electrical conductivity, *in vivo*

Source	DF	Sum of Squares	Mean Square	F Ratio	Prob > F
Tratamientos	2	3260,9333	1630,47	80,2527	<,0001*
Error	57	1158,0500	20,32		
C. Total	59	4418,9833			

Tabla 876A. Analysis of Variance Oneway Anova, N° Leaves of *Solanum melongena* L, Days 7, benzoic acid, 2,5 mS of electrical conductivity, *in vivo*

Source	DF	Sum of Squares	Mean Square	F Ratio	Prob > F
Tratamientos	2	0	0		
Error	57	0	0		
C. Total	59	0			

Tabla 877A. Analysis of Variance Oneway Anova, N° Leaves of *Solanum melongena* L, Days 14, benzoic acid, 2,5 mS of electrical conductivity, *in vivo*

Source	DF	Sum of Squares	Mean Square	F Ratio	Prob > F
Tratamientos	2	4,433333	2,21667	16,3032	<,0001*
Error	57	7,750000	0,13596		
C. Total	59	12,183333			

Tabla 878A. Analysis of Variance Oneway Anova, N° Leaves of *Solanum melongena* L, Days 21, benzoic acid, 2,5 mS of electrical conductivity, *in vivo*

Source	DF	Sum of Squares	Mean Square	F Ratio	Prob > F
Tratamientos	2	11,433333	5,71667	26,0680	<,0001*
Error	57	12,500000	0,21930		
C. Total	59	23,933333			

Tabla 879A. Analysis of Variance Oneway Anova, N° Leaves of *Solanum melongena* L, Days 28, benzoic acid, 2,5 mS of electrical conductivity, *in vivo*

Source	DF	Sum of Squares	Mean Square	F Ratio	Prob > F
Tratamientos	2	13,900000	6,95000	41,7000	<,0001*
Error	57	9,500000	0,16667		
C. Total	59	23,400000			

Tabla 880A. Analysis of Variance Oneway Anova, Clorophyll (U. SPAD) of *Solanum melongena* L, Days 14, benzoic acid, 2,5 mS of electrical conductivity, *in vivo*

Source	DF	Sum of Squares	Mean Square	F Ratio	Prob > F
Tratamientos	2	183,74633	91,8732	68,2822	<,0001*
Error	57	76,69300	1,3455		
C. Total	59	260,43933			

Tabla 881A. Analysis of Variance Oneway Anova, Clorophyll (U. SPAD) of *Solanum melongena* L, Days 21, benzoic acid, 2,5 mS of electrical conductivity, *in vivo*

Source	DF	Sum of Squares	Mean Square	F Ratio	Prob > F
Tratamientos	2	219,08033	109,540	66,3883	<,0001*
Error	57	94,04950	1,650		
C. Total	59	313,12983			

Tabla 882A. Analysis of Variance Oneway Anova, Clorophyll (U. SPAD) of *Solanum melongena* L, Days 28, benzoic acid, 2,5 mS of electrical conductivity, *in vivo*

Source	DF	Sum of Squares	Mean Square	F Ratio	Prob > F
Tratamientos	2	210,56533	105,283	44,5992	<,0001*
Error	57	134,55650	2,361		
C. Total	59	345,12183			

Tabla 883A. Analysis of Variance Oneway Anova, Leaf area (mm²) of *Solanum melongena* L, Days 14, benzoic acid, 2,5 mS of electrical conductivity, *in vivo*

Source	DF	Sum of Squares	Mean Square	F Ratio	Prob > F
Tratamientos	2	1854622,5	927311	66,9835	<,0001*
Error	57	789100,8	13844		
C. Total	59	2643723,3			

Tabla 884A. Analysis of Variance Oneway Anova, Leaf area (mm²) of *Solanum melongena* L, Days 28, benzoic acid, 2,5 mS of electrical conductivity, *in vivo*

Source	DF	Sum of Squares	Mean Square	F Ratio	Prob > F
Tratamientos	2	30468228	15234114	342,3112	<,0001*
Error	57	2536711	44503,696		
C. Total	59	33004939			

Tabla 885A. Analysis of Variance Oneway Anova, leaf fresh weight (mg) of *Solanum melongena* L, Days 14, benzoic acid, 2,5 mS of electrical conductivity, *in vivo*

Source	DF	Sum of Squares	Mean Square	F Ratio	Prob > F
Tratamientos	2	225817,74	112909	128,5224	<,0001*
Error	57	50075,35	879		
C. Total	59	275893,09			

Tabla 886 A. Analysis of Variance Oneway Anova, leaf fresh weight (mg) of *Solanum melongena* L, Days 28, benzoic acid, 2,5 mS of electrical conductivity, *in vivo*

Source	DF	Sum of Squares	Mean Square	F Ratio	Prob > F
Tratamientos	2	176944,33	88472,2	156,6897	<,0001*
Error	57	32184,08	564,6		
C. Total	59	209128,41			

Tabla 887 A. Analysis of Variance Oneway Anova, stem fresh weight (mg) of *Solanum melongena* L, Days 14, benzoic acid, 2,5 mS of electrical conductivity, *in vivo*

Source	DF	Sum of Squares	Mean Square	F Ratio	Prob > F
Tratamientos	2	19765,649	9882,82	74,4096	<,0001*
Error	57	7570,540	132,82		
C. Total	59	27336,189			

Tabla 888A. Analysis of Variance Oneway Anova, stem fresh weight (mg) of *Solanum melongena* L, Days 28, benzoic acid, 2,5 mS of electrical conductivity, *in vivo*

Source	DF	Sum of Squares	Mean Square	F Ratio	Prob > F
Tratamientos	2	105695,22	52847,6	186,0016	<,0001*
Error	57	16195,10	284,1		
C. Total	59	121890,32			

Tabla 889A. Analysis of Variance Oneway Anova, roots fresh weight (mg) of *Solanum melongena* L, Days 14, benzoic acid, 2,5 mS of electrical conductivity, *in vivo*

Source	DF	Sum of Squares	Mean Square	F Ratio	Prob > F
Tratamientos	2	6315,244	3157,62	30,1176	<,0001*
Error	57	5976,050	104,84		
C. Total	59	12291,294			

Tabla 890A. Analysis of Variance Oneway Anova, roots fresh weight (mg) of *Solanum melongena* L, Days 28, benzoic acid, 2,5 mS of electrical conductivity, *in vivo*

Source	DF	Sum of Squares	Mean Square	F Ratio	Prob > F
Tratamientos	2	77961,77	38980,9	72,4838	<,0001*
Error	57	30653,90	537,8		
C. Total	59	108615,67			

Tabla 891A. Analysis of Variance Oneway Anova, leaf dry weight (mg) of *Solanum melongena* L, Days 14, benzoic acid, 2,5 mS of electrical conductivity, *in vivo*

Source	DF	Sum of Squares	Mean Square	F Ratio	Prob > F
Tratamientos	2	670,8493	335,425	20,9227	<,0001*
Error	57	913,8000	16,032		
C. Total	59	1584,6493			

Tabla 892A. Analysis of Variance Oneway Anova, leaf dry weight (mg) of *Solanum melongena* L, Days 28, benzoic acid, 2,5 mS of electrical conductivity, *in vivo*

Source	DF	Sum of Squares	Mean Square	F Ratio	Prob > F
Tratamientos	2	1934,1143	967,057	38,4509	<,0001*
Error	57	1433,5750	25,150		
C. Total	59	3367,6893			

Tabla 893A. Analysis of Variance Oneway Anova, stem dry weight (mg) of *Solanum melongena* L, Days 14, benzoic acid, 2,5 mS of electrical conductivity, *in vivo*

Source	DF	Sum of Squares	Mean Square	F Ratio	Prob > F
Tratamientos	2	1330,6423	665,321	22,8374	<,0001*
Error	57	1660,5795	29,133		
C. Total	59	2991,2218			

Tabla 894A. Analysis of Variance Oneway Anova, stem dry weight (mg) of *Solanum melongena* L, Days 28, benzoic acid, 2,5 mS of electrical conductivity, *in vivo*

Source	DF	Sum of Squares	Mean Square	F Ratio	Prob > F
Tratamientos	2	383,7330	191,866	7,9274	0,0009*
Error	57	1379,5710	24,203		
C. Total	59	1763,3040			

Tabla 895A. Analysis of Variance Oneway Anova, roots dry weight (mg) of *Solanum melongena* L, Days 14, benzoic acid, 2,5 mS of electrical conductivity, *in vivo*

Source	DF	Sum of Squares	Mean Square	F Ratio	Prob > F
Tratamientos	2	47,01233	23,5062	2,7079	0,0753
Error	57	494,79350	8,6806		
C. Total	59	541,80583			

Tabla 896A. Analysis of Variance Oneway Anova, roots dry weight (mg) of *Solanum melongena* L, Days 28, benzoic acid, 2,5 mS of electrical conductivity, *in vivo*

Source	DF	Sum of Squares	Mean Square	F Ratio	Prob > F
Tratamientos	2	1408,5910	704,295	27,6800	<,0001*
Error	57	1450,3175	25,444		
C. Total	59	2858,9085			

Tabla 897A. Analysis of Variance Oneway Anova, Length. Stem (mm) of *Solanum melongena* L, Days 7, benzoic acid, 5 mS of electrical conductivity, *in vivo*

Source	DF	Sum of Squares	Mean Square	F Ratio	Prob > F
Tratamientos	2	282,43333	141,217	17,3739	<,0001*
Error	57	463,30000	8,128		
C. Total	59	745,73333			

Tabla 898A. Analysis of Variance Oneway Anova, Length. Stem (mm) of *Solanum melongena* L, Days 14, benzoic acid, 5 mS of electrical conductivity, *in vivo*

Source	DF	Sum of Squares	Mean Square	F Ratio	Prob > F
Tratamientos	2	168,23333	84,1167	7,0561	0,0018*
Error	57	679,50000	11,9211		
C. Total	59	847,73333			

Tabla 899A. Analysis of Variance Oneway Anova, Length. Stem (mm) of *Solanum melongena* L, Days 21, benzoic acid, 5 mS of electrical conductivity, *in vivo*

Source	DF	Sum of Squares	Mean Square	F Ratio	Prob > F
Tratamientos	2	1532,9333	766,467	63,7557	<,0001*
Error	57	685,2500	12,022		
C. Total	59	2218,1833			

Tabla 900A. Analysis of Variance Oneway Anova, Length. Stem (mm) of *Solanum melongena* L, Days 28, benzoic acid, 5 mS of electrical conductivity, *in vivo*

Source	DF	Sum of Squares	Mean Square	F Ratio	Prob > F
Tratamientos	2	1292,2333	646,117	49,4543	<,0001*
Error	57	744,7000	13,065		
C. Total	59	2036,9333			

Tabla 901A. Analysis of Variance Oneway Anova, N° Leaves of *Solanum melongena* L, Days 7, benzoic acid, 5 mS of electrical conductivity, *in vivo*

Source	DF	Sum of Squares	Mean Square	F Ratio	Prob > F
Tratamientos	2	0	0		
Error	57	0	0		
C. Total	59	0			

Tabla 902A. Analysis of Variance Oneway Anova, N° Leaves of *Solanum melongena* L, Days 14, benzoic acid, 5 mS of electrical conductivity, *in vivo*

Source	DF	Sum of Squares	Mean Square	F Ratio	Prob > F
Tratamientos	2	9,633333	4,81667	53,8333	<,0001*
Error	57	5,100000	0,08947		
C. Total	59	14,733333			

Tabla 903A. Analysis of Variance Oneway Anova, N° Leaves of *Solanum melongena* L, Days 21, benzoic acid, 5 mS of electrical conductivity, *in vivo*

Source	DF	Sum of Squares	Mean Square	F Ratio	Prob > F
Tratamientos	2	18,633333	9,31667	37,6631	<,0001*
Error	57	14,100000	0,24737		
C. Total	59	32,733333			

Tabla 904A. Analysis of Variance Oneway Anova, N° Leaves of *Solanum melongena* L, Days 28, benzoic acid, 5 mS of electrical conductivity, *in vivo*

Source	DF	Sum of Squares	Mean Square	F Ratio	Prob > F
Tratamientos	2	19,033333	9,51667	105,3301	<,0001*
Error	57	5,150000	0,09035		
C. Total	59	24,183333			

Tabla 905A. Analysis of Variance Oneway Anova, Clorophyll (U. SPAD) of *Solanum melongena* L, Days 14, benzoic acid, 5 mS of electrical conductivity, *in vivo*

Source	DF	Sum of Squares	Mean Square	F Ratio	Prob > F
Tratamientos	2	140,22400	70,1120	40,9195	<,0001*
Error	57	97,66450	1,7134		
C. Total	59	237,88850			

Tabla 906A. Analysis of Variance Oneway Anova, Clorophyll (U. SPAD) of *Solanum melongena* L, Days 21, benzoic acid, 5 mS of electrical conductivity, *in vivo*

Source	DF	Sum of Squares	Mean Square	F Ratio	Prob > F
Tratamientos	2	232,29300	116,147	189,7329	<,0001*
Error	57	34,89300	0,612		
C. Total	59	267,18600			

Tabla 907A. Analysis of Variance Oneway Anova, Clorophyll (U. SPAD) of *Solanum melongena* L, Days 28, benzoic acid, 5 mS of electrical conductivity, *in vivo*

Source	DF	Sum of Squares	Mean Square	F Ratio	Prob > F
Tratamientos	2	238,89433	119,447	58,1798	<,0001*
Error	57	117,02500	2,053		
C. Total	59	355,91933			

Tabla 908A. Analysis of Variance Oneway Anova, Length roots (mm) of *Solanum melongena* L, Days 14, benzoic acid, 5 mS of electrical conductivity, *in vivo*

Source	DF	Sum of Squares	Mean Square	F Ratio	Prob > F
Tratamientos	2	3404,1333	1702,07	72,3366	<,0001*
Error	57	1341,2000	23,53		
C. Total	59	4745,3333			

Tabla 909A. Analysis of Variance Oneway Anova, Length roots (mm) of *Solanum melongena* L, Days 28, benzoic acid, 5 mS of electrical conductivity, *in vivo*

Source	DF	Sum of Squares	Mean Square	F Ratio	Prob > F
Tratamientos	2	2616,0333	1308,02	60,8181	<,0001*
Error	57	1225,9000	21,51		
C. Total	59	3841,9333			

Tabla 910A. Analysis of Variance Oneway Anova, Leaf area (mm²) of *Solanum melongena* L, Days 14, benzoic acid, 5 mS of electrical conductivity, *in vivo*

Source	DF	Sum of Squares	Mean Square	F Ratio	Prob > F
Tratamientos	2	1850543,6	925272	77,1176	<,0001*
Error	57	683897,3	11998		
C. Total	59	2534440,9			

Tabla 911A. Analysis of Variance Oneway Anova, Leaf area (mm²) of *Solanum melongena* L, Days 28, benzoic acid, 5 mS of electrical conductivity, *in vivo*

Source	DF	Sum of Squares	Mean Square	F Ratio	Prob > F
Tratamientos	2	30826905	15413453	164,0022	<,0001*
Error	57	5357042	93983,189		
C. Total	59	36183947			

Tabla 912A. Analysis of Variance Oneway Anova, leaf fresh weight (mg) of *Solanum melongena* L, Days 14, benzoic acid, 5 mS of electrical conductivity, *in vivo*

Source	DF	Sum of Squares	Mean Square	F Ratio	Prob > F
Tratamientos	2	20422,089	10211,0	33,5737	<,0001*
Error	57	17335,898	304,1		
C. Total	59	37757,987			

Tabla 913A. Analysis of Variance Oneway Anova, leaf fresh weight (mg) of *Solanum melongena* L, Days 28, benzoic acid, 5 mS of electrical conductivity, *in vivo*

Source	DF	Sum of Squares	Mean Square	F Ratio	Prob > F
Tratamientos	2	177971,06	88985,5	68,9732	<,0001*
Error	57	73538,39	1290,1		
C. Total	59	251509,45			

Tabla 914A. Analysis of Variance Oneway Anova, stem fresh weight (mg) of *Solanum melongena* L, Days 14, benzoic acid, 5 mS of electrical conductivity, *in vivo*

Source	DF	Sum of Squares	Mean Square	F Ratio	Prob > F
Tratamientos	2	17741,733	8870,87	78,0762	<,0001*
Error	57	6476,230	113,62		
C. Total	59	24217,963			

Tabla 915A. Analysis of Variance Oneway Anova, stem fresh weight (mg) of *Solanum melongena* L, Days 28, benzoic acid, 5 mS of electrical conductivity, *in vivo*

Source	DF	Sum of Squares	Mean Square	F Ratio	Prob > F
Tratamientos	2	99558,63	49779,3	155,8131	<,0001*
Error	57	18210,41	319,5		
C. Total	59	117769,04			

Tabla 916A. Analysis of Variance Oneway Anova, roots fresh weight (mg) of *Solanum melongena* L, Days 14, benzoic acid, 5 mS of electrical conductivity, *in vivo*

Source	DF	Sum of Squares	Mean Square	F Ratio	Prob > F
Tratamientos	2	8243,116	4121,56	62,8592	<,0001*
Error	57	3737,380	65,57		
C. Total	59	11980,496			

Tabla 917A. Analysis of Variance Oneway Anova, roots fresh weight (mg) of *Solanum melongena* L, Days 28, benzoic acid, 5 mS of electrical conductivity, *in vivo*

Source	DF	Sum of Squares	Mean Square	F Ratio	Prob > F
Tratamientos	2	51562,929	25781,5	34,8662	<,0001*
Error	57	42148,040	739,4		
C. Total	59	93710,969			

Tabla 918A. Analysis of Variance Oneway Anova, leaf dry weight (mg) of *Solanum melongena* L, Days 14, benzoic acid, 5 mS of electrical conductivity, *in vivo*

Source	DF	Sum of Squares	Mean Square	F Ratio	Prob > F
Tratamientos	2	616,8413	308,421	4,1341	0,0211*
Error	57	4252,4760	74,605		
C. Total	59	4869,3173			

Tabla 919A. Analysis of Variance Oneway Anova, leaf dry weight (mg) of *Solanum melongena* L, Days 28, benzoic acid, 5 mS of electrical conductivity, *in vivo*

Source	DF	Sum of Squares	Mean Square	F Ratio	Prob > F
Tratamientos	2	1993,6551	996,828	12,2799	<,0001*
Error	57	4627,0148	81,176		
C. Total	59	6620,6698			

Tabla 920A. Analysis of Variance Oneway Anova, stem dry weight (mg) of *Solanum melongena* L, Days 14, benzoic acid, 5 mS of electrical conductivity, *in vivo*

Source	DF	Sum of Squares	Mean Square	F Ratio	Prob > F
Tratamientos	2	1729,7053	864,853	71,7540	<,0001*
Error	57	687,0220	12,053		
C. Total	59	2416,7273			

Tabla 921A. Analysis of Variance Oneway Anova, stem dry weight (mg) of *Solanum melongena* L, Days 28, benzoic acid, 5 mS of electrical conductivity, *in vivo*

Source	DF	Sum of Squares	Mean Square	F Ratio	Prob > F
Tratamientos	2	333,8370	166,919	11,0455	<,0001*
Error	57	861,3770	15,112		
C. Total	59	1195,2140			

Tabla 922A. Analysis of Variance Oneway Anova, roots dry weight (mg) of *Solanum melongena* L, Days 14, benzoic acid, 5 mS of electrical conductivity, *in vivo*

Source	DF	Sum of Squares	Mean Square	F Ratio	Prob > F
Tratamientos	2	64,12300	32,0615	6,4527	0,0030*
Error	57	283,21350	4,9687		
C. Total	59	347,33650			

Tabla 923A. Analysis of Variance Oneway Anova, roots dry weight (mg) of *Solanum melongena* L, Days 28, benzoic acid, 5 mS of electrical conductivity, *in vivo*

Source	DF	Sum of Squares	Mean Square	F Ratio	Prob > F
Tratamientos	2	1333,2309	666,615	23,4314	<,0001*
Error	57	1621,6286	28,450		
C. Total	59	2954,8595			

Anexo 12. Análisis de la variancia Oneway ANOVA de las variables estudiadas por efecto del ácido benzoico en rábano cultivada *in vivo* en 0, 2,5 y 5 mS de salinidad.

Tabla 924A. Analysis of Variance Oneway Anova, Length. Stem (mm) of *Raphanus sativus* L, Days 7, benzoic acid, 0 mS of electrical conductivity, *in vivo*

Source	DF	Sum of Squares	Mean Square	F Ratio	Prob > F
Treatments	2	1228,2333	614,117	44,3799	<,0001*
Error	57	788,7500	13,838		
C. Total	59	2016,9833			

Tabla 925A. Analysis of Variance Oneway Anova, Length. Stem (mm) of *Raphanus sativus* L, Days 14, benzoic acid, 0 mS of electrical conductivity, *in vivo*

Source	DF	Sum of Squares	Mean Square	F Ratio	Prob > F
Treatments	2	755,2333	377,617	26,3212	<,0001*
Error	57	817,7500	14,346		
C. Total	59	1572,9833			

Tabla 926A. Analysis of Variance Oneway Anova, Length. Stem (mm) of *Raphanus sativus* L, Days 21, benzoic acid, 0 mS of electrical conductivity, *in vivo*

Source	DF	Sum of Squares	Mean Square	F Ratio	Prob > F
Treatments	2	1717,7333	858,867	81,8037	<,0001*
Error	57	598,4500	10,499		
C. Total	59	2316,1833			

Tabla 927A. Analysis of Variance Oneway Anova, Length. Stem (mm) of *Raphanus sativus* L, Days 28, benzoic acid, 0 mS of electrical conductivity, *in vivo*

Source	DF	Sum of Squares	Mean Square	F Ratio	Prob > F
Treatments	2	4645,9000	2322,95	194,2893	<,0001*
Error	57	681,5000	11,96		
C. Total	59	5327,4000			

Tabla 928A. Analysis of Variance Oneway Anova, N° Leaves of *Raphanus sativus* L, Days 7, benzoic acid, 0 mS of electrical conductivity, *in vivo*

Source	DF	Sum of Squares	Mean Square	F Ratio	Prob > F
Treatments	2	0	0		
Error	57	0	0		
C. Total	59	0			

Tabla 929A. Analysis of Variance Oneway Anova, N° Leaves of *Raphanus sativus* L, Days 14, benzoic acid, 0 mS of electrical conductivity, *in vivo*

Source	DF	Sum of Squares	Mean Square	F Ratio	Prob > F
Treatments	2	12,900000	6,45000	16,7494	<,0001*
Error	57	21,950000	0,38509		
C. Total	59	34,850000			

Tabla 930A. Analysis of Variance Oneway Anova, N° Leaves of *Raphanus sativus* L, Days 21, benzoic acid, 0 mS of electrical conductivity, *in vivo*

Source	DF	Sum of Squares	Mean Square	F Ratio	Prob > F
Treatments	2	9,300000	4,65000	18,4704	<,0001*
Error	57	14,350000	0,25175		
C. Total	59	23,650000			

Tabla 931A. Analysis of Variance Oneway Anova, N° Leaves of *Raphanus sativus* L, Days 28, benzoic acid, 0 mS of electrical conductivity, *in vivo*

Source	DF	Sum of Squares	Mean Square	F Ratio	Prob > F
Treatments	2	23,700000	11,8500	52,3605	<,0001*
Error	57	12,900000	0,2263		
C. Total	59	36,600000			

Tabla 932A. Analysis of Variance Oneway Anova, Length. Stem (mm) of *Raphanus sativus* L, Days 7, benzoic acid, 2,5 mS of electrical conductivity, *in vivo*

Source	DF	Sum of Squares	Mean Square	F Ratio	Prob > F
Treatments	2	2506,1333	1253,07	79,7508	<,0001*
Error	57	895,6000	15,71		
C. Total	59	3401,7333			

Tabla 933A. Analysis of Variance Oneway Anova, Length. Stem (mm) of *Raphanus sativus* L, Days 14, benzoic acid, 2,5 mS of electrical conductivity, *in vivo*

Source	DF	Sum of Squares	Mean Square	F Ratio	Prob > F
Treatments	2	607,50000	303,750	51,3914	<,0001*
Error	57	336,90000	5,911		
C. Total	59	944,40000			

Tabla 934A. Analysis of Variance Oneway Anova, Length. Stem (mm) of *Raphanus sativus* L, Days 21, benzoic acid, 2,5 mS of electrical conductivity, *in vivo*

Source	DF	Sum of Squares	Mean Square	F Ratio	Prob > F
Treatments	2	1135,3000	567,650	69,3815	<,0001*
Error	57	466,3500	8,182		
C. Total	59	1601,6500			

Tabla 935A. Analysis of Variance Oneway Anova, Length. Stem (mm) of *Raphanus sativus* L, Days 21, benzoic acid, 2,5 mS of electrical conductivity, *in vivo*

Source	DF	Sum of Squares	Mean Square	F Ratio	Prob > F
Treatments	2	1912,2333	956,117	105,0576	<,0001*
Error	57	518,7500	9,101		
C. Total	59	2430,9833			

Tabla 936A. Analysis of Variance Oneway Anova, N° Leaves of *Raphanus sativus* L, Days 7, benzoic acid, 2,5 mS of electrical conductivity, *in vivo*

Source	DF	Sum of Squares	Mean Square	F Ratio	Prob > F
Treatments	2	0	0		
Error	57	0	0		
C. Total	59	0			

Tabla 937A. Analysis of Variance Oneway Anova, N° Leaves of *Raphanus sativus* L, Days 14, benzoic acid, 2,5 mS of electrical conductivity, *in vivo*

Source	DF	Sum of Squares	Mean Square	F Ratio	Prob > F
Treatments	2	11,433333	5,71667	18,5670	<,0001*
Error	57	17,550000	0,30789		
C. Total	59	28,983333			

Tabla 938A. Analysis of Variance Oneway Anova, N° Leaves of *Raphanus sativus* L, Days 21, benzoic acid, 2,5 mS of electrical conductivity, *in vivo*

Source	DF	Sum of Squares	Mean Square	F Ratio	Prob > F
Treatments	2	10,433333	5,21667	51,7130	<,0001*
Error	57	5,750000	0,10088		
C. Total	59	16,183333			

Tabla 939A. Analysis of Variance Oneway Anova, N° Leaves of *Raphanus sativus* L, Days 28, benzoic acid, 2,5 mS of electrical conductivity, *in vivo*

Source	DF	Sum of Squares	Mean Square	F Ratio	Prob > F
Treatments	2	13,33333	6,6667	-4,3e+16	<,0001*
Error	57	-8,882e-15	-1,6e-16		
C. Total	59	13,33333			

Tabla 940A. Analysis of Variance Oneway Anova, Length. Stem (mm) of *Raphanus sativus* L, Days 14, benzoic acid, 5 mS of electrical conductivity, *in vivo*

Source	DF	Sum of Squares	Mean Square	F Ratio	Prob > F
Treatments	2	1268,2333	634,117	47,8927	<,0001*
Error	57	754,7000	13,240		
C. Total	59	2022,9333			

Tabla 941A. Analysis of Variance Oneway Anova, Length. Stem (mm) of *Raphanus sativus* L, Days 14, benzoic acid, 5 mS of electrical conductivity, *in vivo*

Source	DF	Sum of Squares	Mean Square	F Ratio	Prob > F
Treatments	2	426,2333	213,117	17,0529	<,0001*
Error	57	712,3500	12,497		
C. Total	59	1138,5833			

Tabla 942A. Analysis of Variance Oneway Anova, Length. Stem (mm) of *Raphanus sativus* L, Days 21, benzoic acid, 5 mS of electrical conductivity, *in vivo*

Source	DF	Sum of Squares	Mean Square	F Ratio	Prob > F
Treatments	2	147,23333	73,6167	10,4097	0,0001*
Error	57	403,10000	7,0719		
C. Total	59	550,33333			

Tabla 943A. Analysis of Variance Oneway Anova, Length. Stem (mm) of *Raphanus sativus* L, Days 28, benzoic acid, 5 mS of electrical conductivity, *in vivo*

Source	DF	Sum of Squares	Mean Square	F Ratio	Prob > F
Treatments	2	1700,8333	850,417	38,0216	<,0001*
Error	57	1274,9000	22,367		
C. Total	59	2975,7333			

Tabla 944A. Analysis of Variance Oneway Anova, N° Leaves of *Raphanus sativus* L, Days 7, benzoic acid, 5 mS of electrical conductivity, *in vivo*

Source	DF	Sum of Squares	Mean Square	F Ratio	Prob > F
Treatments	2	0	0		
Error	57	0	0		
C. Total	59	0			

Tabla 945A. Analysis of Variance Oneway Anova, N° Leaves of *Raphanus sativus* L, Days 7, benzoic acid, 5 mS of electrical conductivity, *in vivo*

Source	DF	Sum of Squares	Mean Square	F Ratio	Prob > F
Treatments	2	10,533333	5,26667	15,2774	<,0001*
Error	57	19,650000	0,34474		
C. Total	59	30,183333			

Tabla 946A. Analysis of Variance Oneway Anova, N° Leaves of *Raphanus sativus* L, Days 14, benzoic acid, 5 mS of electrical conductivity, *in vivo*

Source	DF	Sum of Squares	Mean Square	F Ratio	Prob > F
Treatments	2	12,033333	6,01667	24,2367	<,0001*
Error	57	14,150000	0,24825		
C. Total	59	26,183333			

Tabla 947A. Analysis of Variance Oneway Anova, N° Leaves of *Raphanus sativus* L, Days 21, benzoic acid, 5 mS of electrical conductivity, *in vivo*

Source	DF	Sum of Squares	Mean Square	F Ratio	Prob > F
Treatments	2	14,233333	7,11667	93,2529	<,0001*
Error	57	4,350000	0,07632		
C. Total	59	18,583333			

Tabla 948A. Analysis of Variance Oneway Anova, Clorophyll (U. SPAD) of *Raphanus sativus* L, Days 21, benzoic acid, 0 mS of electrical conductivity, *in vivo*

Source	DF	Sum of Squares	Mean Square	F Ratio	Prob > F
Treatments	2	303,01433	151,507	64,5861	<,0001*
Error	57	133,71150	2,346		
C. Total	59	436,72583			

Tabla 949A. Analysis of Variance Oneway Anova, Clorophyll (U. SPAD) of *Raphanus sativus* L, Days 21, benzoic acid, 0 mS of electrical conductivity, *in vivo*

Source	DF	Sum of Squares	Mean Square	F Ratio	Prob > F
Treatments	2	175,49733	87,7487	21,4035	<,0001*
Error	57	233,68450	4,0997		
C. Total	59	409,18183			

Tabla 950A. Analysis of Variance Oneway Anova, Clorophyll (U. SPAD) of *Raphanus sativus* L, Days 28, benzoic acid, 0 mS of electrical conductivity, *in vivo*

Source	DF	Sum of Squares	Mean Square	F Ratio	Prob > F
Treatments	2	108,29433	54,1472	16,4298	<,0001*
Error	57	187,85300	3,2957		
C. Total	59	296,14733			

Tabla 951A. Analysis of Variance Oneway Anova, Clorophyll (U. SPAD) of *Raphanus sativus* L, Days 14, benzoic acid, 2,5 mS of electrical conductivity, *in vivo*

Source	DF	Sum of Squares	Mean Square	F Ratio	Prob > F
Treatments	2	107,22033	53,6102	42,1493	<,0001*
Error	57	72,49900	1,2719		
C. Total	59	179,71933			

Tabla 952A. Analysis of Variance Oneway Anova, Clorophyll (U. SPAD) of *Raphanus sativus* L, Days 21, benzoic acid, 2,5 mS of electrical conductivity, *in vivo*

Source	DF	Sum of Squares	Mean Square	F Ratio	Prob > F
Treatments	2	127,02033	63,5102	86,8427	<,0001*
Error	57	41,68550	0,7313		
C. Total	59	168,70583			

Tabla 953A. Analysis of Variance Oneway Anova, Clorophyll (U. SPAD) of *Raphanus sativus* L, Days 28, benzoic acid, 2,5 mS of electrical conductivity, *in vivo*

Source	DF	Sum of Squares	Mean Square	F Ratio	Prob > F
Treatments	2	213,63300	106,817	25,1558	<,0001*
Error	57	242,03300	4,246		
C. Total	59	455,66600			

Tabla 954A. Analysis of Variance Oneway Anova, Clorophyll (U. SPAD) of *Raphanus sativus* L, Days 14, benzoic acid, 5 mS of electrical conductivity, *in vivo*

Source	DF	Sum of Squares	Mean Square	F Ratio	Prob > F
Treatments	2	420,98700	210,494	45,2000	<,0001*
Error	57	265,44550	4,657		
C. Total	59	686,43250			

Tabla 955A. Analysis of Variance Oneway Anova, Clorophyll (U. SPAD) of *Raphanus sativus* L, Days 21, benzoic acid, 5 mS of electrical conductivity, *in vivo*

Source	DF	Sum of Squares	Mean Square	F Ratio	Prob > F
Treatments	2	160,44300	80,2215	32,5299	<,0001*
Error	57	140,56700	2,4661		
C. Total	59	301,01000			

Tabla 956A. Analysis of Variance Oneway Anova, Clorophyll (U. SPAD) of *Raphanus sativus* L, Days 28, benzoic acid, 5 mS of electrical conductivity, *in vivo*

Source	DF	Sum of Squares	Mean Square	F Ratio	Prob > F
Treatments	2	99,62133	49,8107	13,9376	<,0001*
Error	57	203,70850	3,5738		
C. Total	59	303,32983			

Tabla 957A. Analysis of Variance Oneway Anova, Length. Roots (mm) of *Raphanus sativus* L, Days 28, benzoic acid, 0 mS of electrical conductivity, *in vivo*

Source	DF	Sum of Squares	Mean Square	F Ratio	Prob > F
Tratamientos	2	1210,3000	605,150	72,5722	<,0001*
Error	57	475,3000	8,339		
C. Total	59	1685,6000			

Tabla 958A. Analysis of Variance Oneway Anova, Length. Roots (mm) of *Raphanus sativus* L, Days 28, benzoic acid, 0 mS of electrical conductivity, *in vivo*

Source	DF	Sum of Squares	Mean Square	F Ratio	Prob > F
Tratamientos	2	10855,600	5427,80	611,3716	<,0001*
Error	57	506,050	8,88		
C. Total	59	11361,650			

Tabla 959A. Analysis of Variance Oneway Anova, Leaf area (mm²) of *Raphanus sativus* L, Days 14, benzoic acid, 0 mS of electrical conductivity, *in vivo*

Source	DF	Sum of Squares	Mean Square	F Ratio	Prob > F
Tratamientos	2	1833614,4	916807	193,1153	<,0001*
Error	57	270605,2	4747		
C. Total	59	2104219,7			

Tabla 960A. Analysis of Variance Oneway Anova, Leaf area (mm²) of *Raphanus sativus* L, Days 28, benzoic acid, 0 mS of electrical conductivity, *in vivo*

Source	DF	Sum of Squares	Mean Square	F Ratio	Prob > F
Tratamientos	2	21071523	10535762	127,4490	<,0001*
Error	57	4711991	82666,511		
C. Total	59	25783515			

Tabla 961A. Analysis of Variance Oneway Anova, fresh weight leaf (mg) of *Raphanus sativus* L, Days 14, benzoic acid, 0 mS of electrical conductivity, *in vivo*

Source	DF	Sum of Squares	Mean Square	F Ratio	Prob > F
Tratamientos	2	24144,929	12072,5	31,3539	<,0001*
Error	57	21947,228	385,0		
C. Total	59	46092,157			

Tabla 962A. Analysis of Variance Oneway Anova, fresh weight leaf (mg) of *Raphanus sativus* L, Days 14, benzoic acid, 0 mS of electrical conductivity, *in vivo*

Source	DF	Sum of Squares	Mean Square	F Ratio	Prob > F
Tratamientos	2	1028791,9	514396	432,3787	<,0001*
Error	57	67812,2	1190		
C. Total	59	1096604,2			

Tabla 963A. Analysis of Variance Oneway Anova, fresh weight stem (mg) of *Raphanus sativus* L, Days 14, benzoic acid, 0 mS of electrical conductivity, *in vivo*

Source	DF	Sum of Squares	Mean Square	F Ratio	Prob > F
Tratamientos	2	14885,065	7442,53	45,3076	<,0001*
Error	57	9363,212	164,27		
C. Total	59	24248,277			

Tabla 964A. Analysis of Variance Oneway Anova, fresh weight stem (mg) of *Raphanus sativus* L, Days 14, benzoic acid, 0 mS of electrical conductivity, *in vivo*

Source	DF	Sum of Squares	Mean Square	F Ratio	Prob > F
Tratamientos	2	49485,529	24742,8	34,4884	<,0001*
Error	57	40893,052	717,4		
C. Total	59	90378,582			

Tabla 965A. Analysis of Variance Oneway Anova, roots weight stem (mg) of *Raphanus sativus* L, Days 14, benzoic acid, 0 mS of electrical conductivity, *in vivo*

Source	DF	Sum of Squares	Mean Square	F Ratio	Prob > F
Tratamientos	2	2604,7213	1302,36	216,5359	<,0001*
Error	57	342,8280	6,01		
C. Total	59	2947,5493			

Tabla 966A. Analysis of Variance Oneway Anova, roots weight stem (mg) of *Raphanus sativus* L, Days 14, benzoic acid, 0 mS of electrical conductivity, *in vivo*

Source	DF	Sum of Squares	Mean Square	F Ratio	Prob > F
Tratamientos	2	169253,25	84626,6	60,3317	<,0001*
Error	57	79953,31	1402,7		
C. Total	59	249206,57			

Tabla 967A. Analysis of Variance Oneway Anova, leaf dry stem (mg) of *Raphanus sativus* L, Days 14, benzoic acid, 0 mS of electrical conductivity, *in vivo*

Source	DF	Sum of Squares	Mean Square	F Ratio	Prob > F
Tratamientos	2	547,88933	273,945	54,7026	<,0001*
Error	57	285,45000	5,008		
C. Total	59	833,33933			

Tabla 968A. Analysis of Variance Oneway Anova, leaf dry stem (mg) of *Raphanus sativus* L, Days 14, benzoic acid, 0 mS of electrical conductivity, *in vivo*

Source	DF	Sum of Squares	Mean Square	F Ratio	Prob > F
Tratamientos	2	11984,951	5992,48	79,4463	<,0001*
Error	57	4299,395	75,43		
C. Total	59	16284,345			

Tabla 969A. Analysis of Variance Oneway Anova, stem dry stem (mg) of *Raphanus sativus* L, Days 14, benzoic acid, 0 mS of electrical conductivity, *in vivo*

Source	DF	Sum of Squares	Mean Square	F Ratio	Prob > F
Tratamientos	2	439,20533	219,603	24,9478	<,0001*
Error	57	501,74200	8,802		
C. Total	59	940,94733			

Tabla 970A. Analysis of Variance Oneway Anova, stem dry stem (mg) of *Raphanus sativus* L, Days 14, benzoic acid, 0 mS of electrical conductivity, *in vivo*

Source	DF	Sum of Squares	Mean Square	F Ratio	Prob > F
Tratamientos	2	887,9443	443,972	8,0284	0,0008*
Error	57	3152,1176	55,300		
C. Total	59	4040,0619			

Tabla 971A. Analysis of Variance Oneway Anova, roots dry stem (mg) of *Raphanus sativus* L, Days 14, benzoic acid, 0 mS of electrical conductivity, *in vivo*

Source	DF	Sum of Squares	Mean Square	F Ratio	Prob > F
Tratamientos	2	47,06800	23,5340	8,6124	0,0005*
Error	57	155,75600	2,7326		
C. Total	59	202,82400			

Tabla 972A. Analysis of Variance Oneway Anova, roots dry stem (mg) of *Raphanus sativus* L, Days 28, benzoic acid, 0 mS of electrical conductivity, *in vivo*

Source	DF	Sum of Squares	Mean Square	F Ratio	Prob > F
Tratamientos	2	1793,6016	896,801	16,8435	<,0001*
Error	57	3034,8663	53,243		
C. Total	59	4828,4679			

Tabla 973A. Analysis of Variance Oneway Anova, Length. Roots (mm) of *Raphanus sativus* L, Days 14, benzoic acid, 2,5 mS of electrical conductivity, *in vivo*

Source	DF	Sum of Squares	Mean Square	F Ratio	Prob > F
Tratamientos	2	651,6000	325,800	18,5335	<,0001*
Error	57	1002,0000	17,579		
C. Total	59	1653,6000			

Tabla 974A. Analysis of Variance Oneway Anova, Length. Roots (mm) of *Raphanus sativus* L, Days 28, benzoic acid, 2,5 mS of electrical conductivity, *in vivo*

Source	DF	Sum of Squares	Mean Square	F Ratio	Prob > F
Tratamientos	2	5481,2333	2740,62	227,4040	<,0001*
Error	57	686,9500	12,05		
C. Total	59	6168,1833			

Tabla 975A. Analysis of Variance Oneway Anova, Length. Roots (mm) of *Raphanus sativus* L, Days 14, benzoic acid, 5 mS of electrical conductivity, *in vivo*

Source	DF	Sum of Squares	Mean Square	F Ratio	Prob > F
Tratamientos	2	666,5333	333,267	11,8121	<,0001*
Error	57	1608,2000	28,214		
C. Total	59	2274,7333			

Tabla 976A. Analysis of Variance Oneway Anova, Length. Roots (mm) of *Raphanus sativus* L, Days 28, benzoic acid, 5 mS of electrical conductivity, *in vivo*

Source	DF	Sum of Squares	Mean Square	F Ratio	Prob > F
Tratamientos	2	4091,4333	2045,72	245,2279	<,0001*
Error	57	475,5000	8,34		
C. Total	59	4566,9333			

Tabla 977A. Analysis of Variance Oneway Anova, Leaf area (mm²) of *Raphanus sativus* L, Days 14, benzoic acid, 2,5 mS of electrical conductivity, *in vivo*

Source	DF	Sum of Squares	Mean Square	F Ratio	Prob > F
Tratamientos	2	674707,60	337354	168,1300	<,0001*
Error	57	114370,80	2007		
C. Total	59	789078,40			

Tabla 978A. Analysis of Variance Oneway Anova, Leaf area (mm²) of *Raphanus sativus* L, Days 28, benzoic acid, 2,5 mS of electrical conductivity, *in vivo*

Source	DF	Sum of Squares	Mean Square	F Ratio	Prob > F
Tratamientos	2	4271062,0	2135531	43,1020	<,0001*
Error	57	2824123,9	49546		
C. Total	59	7095185,9			

Tabla 979A. Analysis of Variance Oneway Anova, Leaf area (mm²) of *Raphanus sativus* L, Days 14, benzoic acid, 5 mS of electrical conductivity, *in vivo*

Source	DF	Sum of Squares	Mean Square	F Ratio	Prob > F
Tratamientos	2	913903,9	456952	170,2863	<,0001*
Error	57	152955,8	2683		
C. Total	59	1066859,7			

Tabla 980A. Analysis of Variance Oneway Anova, Leaf area (mm²) of *Raphanus sativus* L, Days 28, benzoic acid, 5 mS of electrical conductivity, *in vivo*

Source	DF	Sum of Squares	Mean Square	F Ratio	Prob > F
Tratamientos	2	3487708,2	1743854	70,1745	<,0001*
Error	57	1416464,7	24850		
C. Total	59	4904173,0			

Tabla 981A. Analysis of Variance Oneway Anova, fresh weight leaf (mg) of *Raphanus sativus* L, Days 14, benzoic acid, 2,5 mS of electrical conductivity, *in vivo*

Source	DF	Sum of Squares	Mean Square	F Ratio	Prob > F
Tratamientos	2	45767,488	22883,7	30,3761	<,0001*
Error	57	42940,846	753,3		
C. Total	59	88708,334			

Tabla 982A. Analysis of Variance Oneway Anova, fresh weight leaf (mg) of *Raphanus sativus* L, Days 28, benzoic acid, 2,5 mS of electrical conductivity, *in vivo*

Source	DF	Sum of Squares	Mean Square	F Ratio	Prob > F
Tratamientos	2	73088,41	36544,2	42,2486	<,0001*
Error	57	49303,85	865,0		
C. Total	59	122392,26			

Tabla 983A. Analysis of Variance Oneway Anova, fresh weight leaf (mg) of *Raphanus sativus* L, Days 14, benzoic acid, 5 mS of electrical conductivity, *in vivo*

Source	DF	Sum of Squares	Mean Square	F Ratio	Prob > F
Tratamientos	2	92636,31	46318,2	221,2647	<,0001*
Error	57	11932,02	209,3		
C. Total	59	104568,33			

Tabla 984A. A. Analysis of Variance Oneway Anova, fresh weight leaf (mg) of *Raphanus sativus* L, Days 14, benzoic acid, 5 mS of electrical conductivity, *in vivo*

Source	DF	Sum of Squares	Mean Square	F Ratio	Prob > F
Tratamientos	2	133989,62	66994,8	24,2694	<,0001*
Error	57	157346,37	2760,5		
C. Total	59	291335,99			

Tabla 985A. Analysis of Variance Oneway Anova, leaf dry weight (mg) of *Raphanus sativus* L, Days 14, benzoic acid, 2,5 mS of electrical conductivity, *in vivo*

Source	DF	Sum of Squares	Mean Square	F Ratio	Prob > F
Tratamientos	2	584,2893	292,145	20,2698	<,0001*
Error	57	821,5300	14,413		
C. Total	59	1405,8193			

Tabla 986A. Analysis of Variance Oneway Anova, dry weight leaf (mg) of *Raphanus sativus* L, Days 28, benzoic acid, 2,5 mS of electrical conductivity, *in vivo*

Source	DF	Sum of Squares	Mean Square	F Ratio	Prob > F
Tratamientos	2	4354,1081	2177,05	25,7340	<,0001*
Error	57	4822,1144	84,60		
C. Total	59	9176,2225			

Tabla 987A. Analysis of Variance Oneway Anova, leaf dry weight (mg) of *Raphanus sativus* L, Days 14, benzoic acid, 5 mS of electrical conductivity, *in vivo*

Source	DF	Sum of Squares	Mean Square	F Ratio	Prob > F
Tratamientos	2	737,0893	368,545	32,1313	<,0001*
Error	57	653,7880	11,470		
C. Total	59	1390,8773			

Tabla 988A. Analysis of Variance Oneway Anova, leaf dry weight (mg) of *Raphanus sativus* L, Days 28, benzoic acid, 5 mS of electrical conductivity, *in vivo*

Source	DF	Sum of Squares	Mean Square	F Ratio	Prob > F
Tratamientos	2	2058,8103	1029,41	7,8395	0,0010*
Error	57	7484,6770	131,31		
C. Total	59	9543,4873			

Tabla 989A. Analysis of Variance Oneway Anova, fresh weight steam (mg) of *Raphanus sativus* L, Days 14, benzoic acid, 2,5 mS of electrical conductivity, *in vivo*

Source	DF	Sum of Squares	Mean Square	F Ratio	Prob > F
Tratamientos	2	10244,836	5122,42	45,6716	<,0001*
Error	57	6392,980	112,16		
C. Total	59	16637,816			

Tabla 990A Analysis of Variance Oneway Anova, fresh weight steam (mg) of *Raphanus sativus* L, Days 28, benzoic acid, 2,5 mS of electrical conductivity, *in vivo*

Source	DF	Sum of Squares	Mean Square	F Ratio	Prob > F
Tratamientos	2	76920,91	38460,5	44,6416	<,0001*
Error	57	49107,65	861,5		
C. Total	59	126028,56			

Tabla 991A Analysis of Variance Oneway Anova, fresh weight steam (mg) of *Raphanus sativus* L, Days 14, benzoic acid, 5 mS of electrical conductivity, *in vivo*

Source	DF	Sum of Squares	Mean Square	F Ratio	Prob > F
Tratamientos	2	3402,982	1701,49	5,5929	0,0061*
Error	57	17340,841	304,23		
C. Total	59	20743,823			

Tabla 992A Analysis of Variance Oneway Anova, fresh weight steam (mg) of *Raphanus sativus* L, Days 28, benzoic acid, 5 mS of electrical conductivity, *in vivo*

Source	DF	Sum of Squares	Mean Square	F Ratio	Prob > F
Tratamientos	2	4619,676	2309,84	5,9716	0,0044*
Error	57	22047,788	386,80		
C. Total	59	26667,464			

Tabla 993A. Analysis of Variance Oneway Anova, steam dry weight (mg) of *Raphanus sativus* L, Days 14, benzoic acid, 2,5 mS of electrical conductivity, *in vivo*

Source	DF	Sum of Squares	Mean Square	F Ratio	Prob > F
Tratamientos	2	156,5853	78,2927	3,9159	0,0255*
Error	57	1139,6340	19,9936		
C. Total	59	1296,2193			

Tabla 994A. Analysis of Variance Oneway Anova, steam dry weight (mg) of *Raphanus sativus* L, Days 28, benzoic acid, 2,5 mS of electrical conductivity, *in vivo*

Source	DF	Sum of Squares	Mean Square	F Ratio	Prob > F
Tratamientos	2	698,8030	349,402	10,5043	0,0001*
Error	57	1895,9821	33,263		
C. Total	59	2594,7851			

Tabla 995A. Analysis of Variance Oneway Anova, steam dry weight (mg) of *Raphanus sativus* L, Days 14, benzoic acid, 5 mS of electrical conductivity, *in vivo*

Source	DF	Sum of Squares	Mean Square	F Ratio	Prob > F
Tratamientos	2	149,04933	74,5247	7,3893	0,0014*
Error	57	574,87400	10,0855		
C. Total	59	723,92333			

Tabla 996A. Analysis of Variance Oneway Anova, steam dry weight (mg) of *Raphanus sativus* L, Days 28, benzoic acid, 5 mS of electrical conductivity, *in vivo*

Source	DF	Sum of Squares	Mean Square	F Ratio	Prob > F
Tratamientos	2	712,2760	356,138	30,2892	<,0001*
Error	57	670,2005	11,758		
C. Total	59	1382,4765			

Tabla 997A. Analysis of Variance Oneway Anova of roots fresh weight (mg) of *Raphanus sativus* L, Days 14, benzoic acid, 2,5 mS of electrical conductivity, *in vivo*

Source	DF	Sum of Squares	Mean Square	F Ratio	Prob > F
Tratamientos	2	1666,7890	833,395	79,5860	<,0001*
Error	57	596,8825	10,472		
C. Total	59	2263,6715			

Tabla 998A. Analysis of Variance Oneway Anova of roots fresh weight (mg) of *Raphanus sativus* L, Days 28, benzoic acid, 2,5 mS of electrical conductivity, *in vivo*

Source	DF	Sum of Squares	Mean Square	F Ratio	Prob > F
Tratamientos	2	61420,69	30710,3	22,0512	<,0001*
Error	57	79383,07	1392,7		
C. Total	59	140803,76			

Tabla 999A. Analysis of Variance Oneway Anova of roots fresh weight (mg) of *Raphanus sativus* L, Days 14, benzoic acid, 5 mS of electrical conductivity, *in vivo*

Source	DF	Sum of Squares	Mean Square	F Ratio	Prob > F
Tratamientos	2	2265,7333	1132,87	169,5668	<,0001*
Error	57	380,8140	6,68		
C. Total	59	2646,5473			

Tabla 1000A. Tabla 222A. Analysis of Variance Oneway Anova of roots fresh weight (mg) of *Raphanus sativus* L, Days 28, benzoic acid, 5 mS of electrical conductivity, *in vivo*

Source	DF	Sum of Squares	Mean Square	F Ratio	Prob > F
Tratamientos	2	47296,207	23648,1	88,2263	<,0001*
Error	57	15278,230	268,0		
C. Total	59	62574,437			

Tabla 1001A. Analysis of Variance Oneway Anova of roots dry weight (mg) of *Raphanus sativus* L, Days 14, benzoic acid, 2,5 mS of electrical conductivity, *in vivo*

Source	DF	Sum of Squares	Mean Square	F Ratio	Prob > F
Tratamientos	2	79,96933	39,9847	3,4031	0,0402*
Error	57	669,73000	11,7496		
C. Total	59	749,69933			

Tabla 1002A. Analysis of Variance Oneway Anova of roots dry weight (mg) of *Raphanus sativus* L, Days 28, benzoic acid, 2,5 mS of electrical conductivity, *in vivo*

Source	DF	Sum of Squares	Mean Square	F Ratio	Prob > F
Tratamientos	2	1446,8973	723,449	50,6025	<,0001*
Error	57	814,9120	14,297		
C. Total	59	2261,8093			

Tabla 1003A. Analysis of Variance Oneway Anova of roots dry weight (mg) of *Raphanus sativus* L, Days 14, benzoic acid, 5 mS of electrical conductivity, *in vivo*

Source	DF	Sum of Squares	Mean Square	F Ratio	Prob > F
Tratamientos	2	63,56933	31,7847	10,4321	0,0001*
Error	57	173,66800	3,0468		
C. Total	59	237,23733			

Tabla 1004 Analysis of Variance Oneway Anova of roots dry weight (mg) of *Raphanus sativus* L, Days 14, benzoic acid, 5 mS of electrical conductivity, *in vivo*

Source	DF	Sum of Squares	Mean Square	F Ratio	Prob > F
Tratamientos	2	1431,8643	715,932	37,4748	<,0001*
Error	57	1088,9478	19,104		
C. Total	59	2520,8121			

Anexo 13. Análisis de la variancia Oneway ANOVA de las variables estudiadas por efecto del ácido ascórbico en tomate cultivada *in vitro* en 2,5, 5 y 7,5 mS de salinidad.

Tabla 1005A. Analysis of Variance Oneway Anova, Length. Stem (mm) of *Lycopersicon esculentum* Mill, Days 7, ascorbic acid, 2,5 mS of electrical conductivity, *in vitro*

Source	DF	Sum of Squares	Mean Square	F Ratio	Prob > F
Trata	3	826,4500	275,483	39,6304	<,0001*
Error	76	528,3000	6,951		
C. Total	79	1354,7500			

Tabla 1006A. Analysis of Variance Oneway Anova, Length. Stem (mm) of *Lycopersicon esculentum* Mill, Days 14, ascorbic acid, 2,5 mS of electrical conductivity, *in vitro*

Source	DF	Sum of Squares	Mean Square	F Ratio	Prob > F
Trata	3	5573,3375	1857,78	118,0874	<,0001*
Error	76	1195,6500	15,73		
C. Total	79	6768,9875			

Tabla 1007A. Analysis of Variance Oneway Anova, Length. Stem (mm) of *Lycopersicon esculentum* Mill, Days 21, ascorbic acid, 2,5 mS of electrical conductivity, *in vitro*

Source	DF	Sum of Squares	Mean Square	F Ratio	Prob > F
Trata	3	5848,3000	1949,43	223,2961	<,0001*
Error	76	663,5000	8,73		
C. Total	79	6511,8000			

Tabla 1008A. Analysis of Variance Oneway Anova, Length. Stem (mm) of *Lycopersicon esculentum* Mill, Days 28, ascorbic acid, 2,5 mS of electrical conductivity, *in vitro*

Source	DF	Sum of Squares	Mean Square	F Ratio	Prob > F
Trata	3	9410,700	3136,90	188,0013	<,0001*
Error	76	1268,100	16,69		
C. Total	79	10678,800			

Tabla 1009A. Analysis of Variance Oneway Anova, Length roots (mm) of *Lycopersicon esculentum* Mill, Days 7, ascorbic acid, 2,5 mS of electrical conductivity, *in vitro*

Source	DF	Sum of Squares	Mean Square	F Ratio	Prob > F
Trata	3	569,25000	189,750	47,6412	<,0001*
Error	76	302,70000	3,983		
C. Total	79	871,95000			

Tabla 1010A. Analysis of Variance Oneway Anova, Length roots (mm) of *Lycopersicon esculentum* Mill, Days 14, ascorbic acid, 2,5 mS of electrical conductivity, *in vitro*

Source	DF	Sum of Squares	Mean Square	F Ratio	Prob > F
Trata	3	836,4500	278,817	32,6453	<,0001*
Error	76	649,1000	8,541		
C. Total	79	1485,5500			

Tabla 1011A. Analysis of Variance Oneway Anova, Length roots (mm) of *Lycopersicon esculentum* Mill, Days 21, ascorbic acid, 2,5 mS of electrical conductivity, *in vitro*

Source	DF	Sum of Squares	Mean Square	F Ratio	Prob > F
Trata	3	1173,8000	391,267	64,1975	<,0001*
Error	76	463,2000	6,095		
C. Total	79	1637,0000			

Tabla 1012A. Analysis of Variance Oneway Anova, Length roots (mm) of *Lycopersicon esculentum* Mill, Days 28, ascorbic acid, 2,5 mS of electrical conductivity, *in vitro*

Source	DF	Sum of Squares	Mean Square	F Ratio	Prob > F
Trata	3	2827,2375	942,413	24,4202	<,0001*
Error	76	2932,9500	38,591		
C. Total	79	5760,1875			

Tabla 1013A. Analysis of Variance Oneway Anova, N° Leaves of *Lycopersicon esculentum* Mill, Days 7, ascorbic acid, 2,5 mS of electrical conductivity, *in vitro*

Source	DF	Sum of Squares	Mean Square	F Ratio	Prob > F
Trata	3	13,450000	4,48333	52,4205	<,0001*
Error	76	6,500000	0,08553		
C. Total	79	19,950000			

Tabla 1014A. Analysis of Variance Oneway Anova, N° Leaves of *Lycopersicon esculentum* Mill, Days 14, ascorbic acid, 2,5 mS of electrical conductivity, *in vitro*

Source	DF	Sum of Squares	Mean Square	F Ratio	Prob > F
Trata	3	20,850000	6,95000	66,8608	<,0001*
Error	76	7,900000	0,10395		
C. Total	79	28,750000			

Tabla 1015A. Analysis of Variance Oneway Anova, N° Leaves of *Lycopersicon esculentum* Mill, Days 21, ascorbic acid, 2,5 mS of electrical conductivity, *in vitro*

Source	DF	Sum of Squares	Mean Square	F Ratio	Prob > F
Trata	3	11,937500	3,97917	18,2729	<,0001*
Error	76	16,550000	0,21776		
C. Total	79	28,487500			

Tabla 1016A. Analysis of Variance Oneway Anova, N° Leaves of *Lycopersicon esculentum* Mill, Days 28, ascorbic acid, 2,5 mS of electrical conductivity, *in vitro*

Source	DF	Sum of Squares	Mean Square	F Ratio	Prob > F
Trata	3	15,500000	5,16667	31,4133	<,0001*
Error	76	12,500000	0,16447		
C. Total	79	28,000000			

Tabla 1017A. Analysis of Variance Oneway Anova, Clorophyll (U. SPAD) of *Lycopersicon esculentum* Mill, Days 28, ascorbic acid, 2,5 mS of electrical conductivity, *in vitro*

Source	DF	Sum of Squares	Mean Square	F Ratio	Prob > F
Trata	3	1448,2864	482,762	274,7537	<,0001*
Error	76	133,5375	1,757		
C. Total	79	1581,8239			

Tabla 1018A. Analysis of Variance Oneway Anova, Leaf area (mm²) of *Lycopersicon esculentum* Mill, Days 28, ascorbic acid, 2,5 mS of electrical conductivity, *in vitro*

Source	DF	Sum of Squares	Mean Square	F Ratio	Prob > F
Trata	3	11945254	3981751	121,9386	<,0001*
Error	76	2481685	32654		
C. Total	79	14426939			

Tabla 1019A. Analysis of Variance Oneway Anova, leaf fresh weight (mg) of *Lycopersicon esculentum* Mill, Days 28, ascorbic acid, 2,5 mS of electrical conductivity, *in vitro*

Source	DF	Sum of Squares	Mean Square	F Ratio	Prob > F
Trata	3	732796,95	244266	133,7711	<,0001*
Error	76	138775,80	1826		
C. Total	79	871572,75			

Tabla 1020 A. Analysis of Variance Oneway Anova, stem fresh weight (mg) of *Lycopersicon esculentum* Mill, Days 28, ascorbic acid, 2,5 mS of electrical conductivity, *in vitro*

Source	DF	Sum of Squares	Mean Square	F Ratio	Prob > F
Trata	3	155615,45	51871,8	125,4696	<,0001*
Error	76	31420,03	413,4		
C. Total	79	187035,48			

Tabla 1021A. Analysis of Variance Oneway Anova, roots fresh weight (mg) of *Lycopersicon esculentum* Mill, Days 28, ascorbic acid, 2,5 mS of electrical conductivity, *in vitro*

Source	DF	Sum of Squares	Mean Square	F Ratio	Prob > F
Trata	3	164955,19	54985,1	210,3801	<,0001*
Error	76	19863,41	261,4		
C. Total	79	184818,60			

Tabla 1022A. Analysis of Variance Oneway Anova, leaf dry weight (mg) of *Lycopersicon esculentum* Mill, Days 28, ascorbic acid, 2,5 mS of electrical conductivity, *in vitro*

Source	DF	Sum of Squares	Mean Square	F Ratio	Prob > F
Trata	3	15681,880	5227,29	46,7561	<,0001*
Error	76	8496,728	111,80		
C. Total	79	24178,609			

Tabla 1023A. Analysis of Variance Oneway Anova, stem dry weight (mg) of *Lycopersicon esculentum* Mill, Days 28, ascorbic acid, 2,5 mS of electrical conductivity, *in vitro*

Source	DF	Sum of Squares	Mean Square	F Ratio	Prob > F
Trata	3	2394,196	798,065	6,8435	0,0004*
Error	76	8862,921	116,617		
C. Total	79	11257,117			

Tabla 1024A. Analysis of Variance Oneway Anova, roots dry weight (mg) of *Lycopersicon esculentum* Mill, Days 28, ascorbic acid, 2,5 mS of electrical conductivity, *in vitro*

Source	DF	Sum of Squares	Mean Square	F Ratio	Prob > F
Trata	3	1646,1995	548,733	8,3050	<,0001*
Error	76	5021,5212	66,073		
C. Total	79	6667,7207			

Tabla 1025A. Analysis of Variance Oneway Anova, Length. Stem (mm) of *Lycopersicon esculentum* Mill, Days 7, ascorbic acid, 5 mS of electrical conductivity, *in vitro*

Source	DF	Sum of Squares	Mean Square	F Ratio	Prob > F
Trata	3	1454,1000	484,700	99,3720	<,0001*
Error	76	370,7000	4,878		
C. Total	79	1824,8000			

Tabla 1026A. Analysis of Variance Oneway Anova, Length. Stem (mm) of *Lycopersicon esculentum* Mill, Days 14, ascorbic acid, 5 mS of electrical conductivity, *in vitro*

Source	DF	Sum of Squares	Mean Square	F Ratio	Prob > F
Trata	3	7675,7375	2558,58	212,8066	<,0001*
Error	76	913,7500	12,02		
C. Total	79	8589,4875			

Tabla 1027A. Analysis of Variance Oneway Anova, Length. Stem (mm) of *Lycopersicon esculentum* Mill, Days 21, ascorbic acid, 5 mS of electrical conductivity, *in vitro*

Source	DF	Sum of Squares	Mean Square	F Ratio	Prob > F
Trata	3	3953,3375	1317,78	166,3503	<,0001*
Error	76	602,0500	7,92		
C. Total	79	4555,3875			

Tabla 1028A. Analysis of Variance Oneway Anova, Length. Stem (mm) of *Lycopersicon esculentum* Mill, Days 28, ascorbic acid, 5 mS of electrical conductivity, *in vitro*

Source	DF	Sum of Squares	Mean Square	F Ratio	Prob > F
Trata	3	6886,6000	2295,53	168,3332	<,0001*
Error	76	1036,4000	13,64		
C. Total	79	7923,0000			

Tabla 1029A. Analysis of Variance Oneway Anova, Length roots (mm) of *Lycopersicon esculentum* Mill, Days 7, ascorbic acid, 5 mS of electrical conductivity, *in vitro*

Source	DF	Sum of Squares	Mean Square	F Ratio	Prob > F
Trata	3	422,63750	140,879	60,2353	<,0001*
Error	76	177,75000	2,339		
C. Total	79	600,38750			

Tabla 1030A. Analysis of Variance Oneway Anova, Length roots (mm) of *Lycopersicon esculentum* Mill, Days 14, ascorbic acid, 5 mS of electrical conductivity, *in vitro*

Source	DF	Sum of Squares	Mean Square	F Ratio	Prob > F
Trata	3	730,8500	243,617	60,9242	<,0001*
Error	76	303,9000	3,999		
C. Total	79	1034,7500			

Tabla 1031A. Analysis of Variance Oneway Anova, Length roots (mm) of *Lycopersicon esculentum* Mill, Days 21, ascorbic acid, 5 mS of electrical conductivity, *in vitro*

Source	DF	Sum of Squares	Mean Square	F Ratio	Prob > F
Trata	3	824,6375	274,879	28,4480	<,0001*
Error	76	734,3500	9,663		
C. Total	79	1558,9875			

Tabla 1032A. Analysis of Variance Oneway Anova, Length roots (mm) of *Lycopersicon esculentum* Mill, Days 28, ascorbic acid, 5 mS of electrical conductivity, *in vitro*

Source	DF	Sum of Squares	Mean Square	F Ratio	Prob > F
Trata	3	2956,7375	985,579	124,4770	<,0001*
Error	76	601,7500	7,918		
C. Total	79	3558,4875			

Tabla 1033A. Analysis of Variance Oneway Anova, N° Leaves of *Lycopersicon esculentum* Mill, Days 7, ascorbic acid, 5 mS of electrical conductivity, *in vitro*

Source	DF	Sum of Squares	Mean Square	F Ratio	Prob > F
Trata	3	10,450000	3,48333	31,8956	<,0001*
Error	76	8,300000	0,10921		
C. Total	79	18,750000			

Tabla 1034A. Analysis of Variance Oneway Anova, N° Leaves of *Lycopersicon esculentum* Mill, Days 14, ascorbic acid, 5 mS of electrical conductivity, *in vitro*

Source	DF	Sum of Squares	Mean Square	F Ratio	Prob > F
Trata	3	36,037500	12,0125	76,3975	<,0001*
Error	76	11,950000	0,1572		
C. Total	79	47,987500			

Tabla 1035A. Analysis of Variance Oneway Anova, N° Leaves of *Lycopersicon esculentum* Mill, Days 21, ascorbic acid, 5 mS of electrical conductivity, *in vitro*

Source	DF	Sum of Squares	Mean Square	F Ratio	Prob > F
Trata	3	31,137500	10,3792	63,8718	<,0001*
Error	76	12,350000	0,1625		
C. Total	79	43,487500			

Tabla 1036A. Analysis of Variance Oneway Anova, N° Leaves of *Lycopersicon esculentum* Mill, Days 28, ascorbic acid, 5 mS of electrical conductivity, *in vitro*

Source	DF	Sum of Squares	Mean Square	F Ratio	Prob > F
Trata	3	18,537500	6,17917	57,6217	<,0001*
Error	76	8,150000	0,10724		
C. Total	79	26,687500			

Tabla 1037A. Analysis of Variance Oneway Anova, Clorophyll (U. SPAD) of *Lycopersicon esculentum* Mill, Days 28, ascorbic acid, 5 mS of electrical conductivity, *in vitro*

Source	DF	Sum of Squares	Mean Square	F Ratio	Prob > F
Trata	3	888,49050	296,164	203,1648	<,0001*
Error	76	110,78900	1,458		
C. Total	79	999,27950			

Tabla 1038A. Analysis of Variance Oneway Anova, Leaf area (mm²) of *Lycopersicon esculentum* Mill, Days 28, ascorbic acid, 5 mS of electrical conductivity, *in vitro*

Source	DF	Sum of Squares	Mean Square	F Ratio	Prob > F
Trata	3	11602192	3867397	176,2288	<,0001*
Error	76	1667844	21945		
C. Total	79	13270037			

Tabla 1039A. Analysis of Variance Oneway Anova, leaf fresh weight (mg) of *Lycopersicon esculentum* Mill, Days 28, ascorbic acid, 5 mS of electrical conductivity, *in vitro*

Source	DF	Sum of Squares	Mean Square	F Ratio	Prob > F
Trata	3	409549,58	136517	133,6962	<,0001*
Error	76	77603,22	1021		
C. Total	79	487152,79			

Tabla 1040A. Analysis of Variance Oneway Anova, stem fresh weight (mg) of *Lycopersicon esculentum* Mill, Days 28, ascorbic acid, 5 mS of electrical conductivity, *in vitro*

Source	DF	Sum of Squares	Mean Square	F Ratio	Prob > F
Trata	3	235273,33	78424,4	127,2773	<,0001*
Error	76	46828,93	616,2		
C. Total	79	282102,26			

Tabla 1041A. Analysis of Variance Oneway Anova, roots fresh weight (mg) of *Lycopersicon esculentum* Mill, Days 28, ascorbic acid, 5 mS of electrical conductivity, *in vitro*

Source	DF	Sum of Squares	Mean Square	F Ratio	Prob > F
Trata	3	170258,50	56752,8	115,3397	<,0001*
Error	76	37395,76	492,0		
C. Total	79	207654,26			

Tabla 1042A. Analysis of Variance Oneway Anova, leaf dry weight (mg) of *Lycopersicon esculentum* Mill, Days 28, ascorbic acid, 5 mS of electrical conductivity, *in vitro*

Source	DF	Sum of Squares	Mean Square	F Ratio	Prob > F
Trata	3	7406,344	2468,78	13,6987	<,0001*
Error	76	13696,686	180,22		
C. Total	79	21103,030			

Tabla 1043A. Analysis of Variance Oneway Anova, stem dry weight (mg) of *Lycopersicon esculentum* Mill, Days 28, ascorbic acid, 5 mS of electrical conductivity, *in vitro*

Source	DF	Sum of Squares	Mean Square	F Ratio	Prob > F
Trata	3	3835,1954	1278,40	22,0335	<,0001*
Error	76	4409,5695	58,02		
C. Total	79	8244,7649			

Tabla 1044A. Analysis of Variance Oneway Anova, roots dry weight (mg) of *Lycopersicon esculentum* Mill, Days 28, ascorbic acid, 5 mS of electrical conductivity, *in vitro*

Source	DF	Sum of Squares	Mean Square	F Ratio	Prob > F
Trata	3	1965,3245	655,108	49,9253	<,0001*
Error	76	997,2550	13,122		
C. Total	79	2962,5795			

Tabla 1045A. Analysis of Variance Oneway Anova, Length stem (mm) of *Lycopersicon esculentum* Mill, Days 7, ascorbic acid, 7,5 mS of electrical conductivity, *in vitro*

Source	DF	Sum of Squares	Mean Square	F Ratio	Prob > F
Trata	3	179,50000	59,8333	21,6025	<,0001*
Error	76	210,50000	2,7697		
C. Total	79	390,00000			

Tabla 1046A. Analysis of Variance Oneway Anova, Length stem (mm) of *Lycopersicon esculentum* Mill, Days 14, ascorbic acid, 7,5 mS of electrical conductivity, *in vitro*

Source	DF	Sum of Squares	Mean Square	F Ratio	Prob > F
Trata	3	7376,650	2458,88	41,4974	<,0001*
Error	76	4503,300	59,25		
C. Total	79	11879,950			

Tabla 1047A. Analysis of Variance Oneway Anova, Length stem (mm) of *Lycopersicon esculentum* Mill, Days 21, ascorbic acid, 7,5 mS of electrical conductivity, *in vitro*

Source	DF	Sum of Squares	Mean Square	F Ratio	Prob > F
Trata	3	6059,0500	2019,68	140,7574	<,0001*
Error	76	1090,5000	14,35		
C. Total	79	7149,5500			

Tabla 1048A. Analysis of Variance Oneway Anova, Length stem (mm) of *Lycopersicon esculentum* Mill, Days 28, ascorbic acid, 7,5 mS of electrical conductivity, *in vitro*

Source	DF	Sum of Squares	Mean Square	F Ratio	Prob > F
Trata	3	8036,9500	2678,98	413,3226	<,0001*
Error	76	492,6000	6,48		
C. Total	79	8529,5500			

Tabla 1049A. Analysis of Variance Oneway Anova, Length roots (mm) of *Lycopersicon esculentum* Mill, Days 7, ascorbic acid, 7,5 mS of electrical conductivity, *in vitro*

Source	DF	Sum of Squares	Mean Square	F Ratio	Prob > F
Trata	3	627,63750	209,213	53,3473	<,0001*
Error	76	298,05000	3,922		
C. Total	79	925,68750			

Tabla 1050A. Analysis of Variance Oneway Anova, Length roots (mm) of *Lycopersicon esculentum* Mill, Days 14, ascorbic acid, 7,5 mS of electrical conductivity, *in vitro*

Source	DF	Sum of Squares	Mean Square	F Ratio	Prob > F
Trata	3	825,3375	275,113	61,3964	<,0001*
Error	76	340,5500	4,481		
C. Total	79	1165,8875			

Tabla 1051A. Analysis of Variance Oneway Anova, Length roots (mm) of *Lycopersicon esculentum* Mill, Days 21, ascorbic acid, 7,5 mS of electrical conductivity, *in vitro*

Source	DF	Sum of Squares	Mean Square	F Ratio	Prob > F
Trata	3	1161,7000	387,233	119,5845	<,0001*
Error	76	246,1000	3,238		
C. Total	79	1407,8000			

Tabla 1052A. Analysis of Variance Oneway Anova, Length roots (mm) of *Lycopersicon esculentum* Mill, Days 28, ascorbic acid, 7,5 mS of electrical conductivity, *in vitro*

Source	DF	Sum of Squares	Mean Square	F Ratio	Prob > F
Trata	3	4340,0375	1446,68	166,6757	<,0001*
Error	76	659,6500	8,68		
C. Total	79	4999,6875			

Tabla 1053A. Analysis of Variance Oneway Anova, N° Leaves of *Lycopersicon esculentum* Mill, Days 7, ascorbic acid, 7,5 mS of electrical conductivity, *in vitro*

Source	DF	Sum of Squares	Mean Square	F Ratio	Prob > F
Trata	3	9,100000	3,03333	22,8251	<,0001*
Error	76	10,100000	0,13289		
C. Total	79	19,200000			

Tabla 1054A. Analysis of Variance Oneway Anova, N° Leaves of *Lycopersicon esculentum* Mill, Days 14, ascorbic acid, 7,5 mS of electrical conductivity, *in vitro*

Source	DF	Sum of Squares	Mean Square	F Ratio	Prob > F
Trata	3	3,700000	1,23333	6,4644	0,0006*
Error	76	14,500000	0,19079		
C. Total	79	18,200000			

Tabla 1055A. Analysis of Variance Oneway Anova, N° Leaves of *Lycopersicon esculentum* Mill, Days 21, ascorbic acid, 7,5 mS of electrical conductivity, *in vitro*

Source	DF	Sum of Squares	Mean Square	F Ratio	Prob > F
Trata	3	32,250000	10,7500	53,3987	<,0001*
Error	76	15,300000	0,2013		
C. Total	79	47,550000			

Tabla 1056A. Analysis of Variance Oneway Anova, N° Leaves of *Lycopersicon esculentum* Mill, Days 28, ascorbic acid, 7,5 mS of electrical conductivity, *in vitro*

Source	DF	Sum of Squares	Mean Square	F Ratio	Prob > F
Trata	3	28,950000	9,65000	74,8367	<,0001*
Error	76	9,800000	0,12895		
C. Total	79	38,750000			

Tabla 1057A. Analysis of Variance Oneway Anova, Clorophyll (U. SPAD) of *Lycopersicon esculentum* Mill, Days 28, ascorbic acid, 7,5 mS of electrical conductivity, *in vitro*

Source	DF	Sum of Squares	Mean Square	F Ratio	Prob > F
Trata	3	666,96637	222,322	134,4903	<,0001*
Error	76	125,63350	1,653		
C. Total	79	792,59988			

Tabla 1058A. Analysis of Variance Oneway Anova, Leaf area (mm²) of *Lycopersicon esculentum* Mill, Days 28, ascorbic acid, 7,5 mS of electrical conductivity, *in vitro*

Source	DF	Sum of Squares	Mean Square	F Ratio	Prob > F
Trata	3	16990028	5663343	176,9447	<,0001*
Error	76	2432477	32006		
C. Total	79	19422506			

Tabla 1059 A. Analysis of Variance Oneway Anova, leaf fresh weight (mg) of *Lycopersicon esculentum* Mill, Days 28, ascorbic acid, 7,5 mS of electrical conductivity, *in vitro*

Source	DF	Sum of Squares	Mean Square	F Ratio	Prob > F
Trata	3	688013,81	229338	74,6161	<,0001*
Error	76	233591,32	3074		
C. Total	79	921605,14			

Tabla 1060A. Analysis of Variance Oneway Anova, stem fresh weight (mg) of *Lycopersicon esculentum* Mill, Days 28, ascorbic acid, 5 mS of electrical conductivity, *in vitro*

Source	DF	Sum of Squares	Mean Square	F Ratio	Prob > F
Trata	3	184282,48	61427,5	149,3240	<,0001*
Error	76	31264,17	411,4		
C. Total	79	215546,64			

Tabla 1061A. Analysis of Variance Oneway Anova, roots fresh weight (mg) of *Lycopersicon esculentum* Mill, Days 28, ascorbic acid, 7,5 mS of electrical conductivity, *in vitro*

Source	DF	Sum of Squares	Mean Square	F Ratio	Prob > F
Trata	3	43870,604	14623,5	68,9123	<,0001*
Error	76	16127,591	212,2		
C. Total	79	59998,196			

Tabla 1062A. Analysis of Variance Oneway Anova, leaf dry weight (mg) of *Lycopersicon esculentum* Mill, Days 28, ascorbic acid, 7,5 mS of electrical conductivity, *in vitro*

Source	DF	Sum of Squares	Mean Square	F Ratio	Prob > F
Trata	3	10415,088	3471,70	26,2484	<,0001*
Error	76	10051,991	132,26		
C. Total	79	20467,079			

Tabla 1063A. Analysis of Variance Oneway Anova, stem dry weight (mg) of *Lycopersicon esculentum* Mill, Days 28, ascorbic acid, 7,5 mS of electrical conductivity, *in vitro*

Source	DF	Sum of Squares	Mean Square	F Ratio	Prob > F
Trata	3	1869,1100	623,037	23,5409	<,0001*
Error	76	2011,4294	26,466		
C. Total	79	3880,5394			

Tabla 1064A. Analysis of Variance Oneway Anova, roots dry weight (mg) of *Lycopersicon esculentum* Mill, Days 28, ascorbic acid, 7,5 mS of electrical conductivity, *in vitro*

Source	DF	Sum of Squares	Mean Square	F Ratio	Prob > F
Trata	3	1014,5385	338,179	17,1190	<,0001*
Error	76	1501,3490	19,755		
C. Total	79	2515,8875			

Anexo 14. Análisis de la variancia Oneway ANOVA de las variables estudiadas por efecto del ácido ascórbico en berenjena cultivada *in vitro* en 2,5, 5 y 7,5 mS de salinidad.

Tabla 1065A. Analysis of Variance Oneway Anova, Length stem (mm) of *Solanum melongena* L, Days 7, ascorbic acid, 2,5 mS of electrical conductivity, *in vitro*

Source	DF	Sum of Squares	Mean Square	F Ratio	Prob > F
Trata	3	1125,0375	375,013	64,8560	<,0001*
Error	76	439,4500	5,782		
C. Total	79	1564,4875			

Tabla 1066A. Analysis of Variance Oneway Anova, Length stem (mm) of *Solanum melongena* L, Days 14, ascorbic acid, 2,5 mS of electrical conductivity, *in vitro*

Source	DF	Sum of Squares	Mean Square	F Ratio	Prob > F
Trata	3	2946,9500	982,317	59,1288	<,0001*
Error	76	1262,6000	16,613		
C. Total	79	4209,5500			

Tabla 1067A. Analysis of Variance Oneway Anova, Length stem (mm) of *Solanum melongena* L, Days 21, ascorbic acid, 2,5 mS of electrical conductivity, *in vitro*

Source	DF	Sum of Squares	Mean Square	F Ratio	Prob > F
Trata	3	4044,6500	1348,22	129,5543	<,0001*
Error	76	790,9000	10,41		
C. Total	79	4835,5500			

Tabla 1068A. Analysis of Variance Oneway Anova, Length stem (mm) of *Solanum melongena* L, Days 28, ascorbic acid, 2,5 mS of electrical conductivity, *in vitro*

Source	DF	Sum of Squares	Mean Square	F Ratio	Prob > F
Trata	3	6011,0375	2003,68	130,7177	<,0001*
Error	76	1164,9500	15,33		
C. Total	79	7175,9875			

Tabla 1069A. Analysis of Variance Oneway Anova, Length roots (mm) of *Solanum melongena* L, Days 7, ascorbic acid, 2,5 mS of electrical conductivity, *in vitro*

Source	DF	Sum of Squares	Mean Square	F Ratio	Prob > F
Trata	3	658,5000	219,500	43,7045	<,0001*
Error	76	381,7000	5,022		
C. Total	79	1040,2000			

Tabla 1070A. Analysis of Variance Oneway Anova, Length roots (mm) of *Solanum melongena* L, Days 14, ascorbic acid, 2,5 mS of electrical conductivity, *in vitro*

Source	DF	Sum of Squares	Mean Square	F Ratio	Prob > F
Trata	3	1563,7375	521,246	33,9385	<,0001*
Error	76	1167,2500	15,359		
C. Total	79	2730,9875			

Tabla 1071 A. Analysis of Variance Oneway Anova, Length roots (mm) of *Solanum melongena* L, Days 21, ascorbic acid, 2,5 mS of electrical conductivity, *in vitro*

Source	DF	Sum of Squares	Mean Square	F Ratio	Prob > F
Trata	3	2620,3375	873,446	48,5478	<,0001*
Error	76	1367,3500	17,991		
C. Total	79	3987,6875			

Tabla 1072A. Analysis of Variance Oneway Anova, Length roots (mm) of *Solanum melongena* L, Days 28, ascorbic acid, 2,5 mS of electrical conductivity, *in vitro*

Source	DF	Sum of Squares	Mean Square	F Ratio	Prob > F
Trata	3	3832,0500	1277,35	88,2613	<,0001*
Error	76	1099,9000	14,47		
C. Total	79	4931,9500			

Tabla 1073A. Analysis of Variance Oneway Anova, N° Leaves of *Solanum melongena* L, Days 7, ascorbic acid, 2,5 mS of electrical conductivity, *in vitro*

Source	DF	Sum of Squares	Mean Square	F Ratio	Prob > F
Trata	3	0	0		
Error	76	0	0		
C. Total	79	0			

Tabla 1074 A. Analysis of Variance Oneway Anova, N° Leaves of *Solanum melongena* L, Days 14, ascorbic acid, 2,5 mS of electrical conductivity, *in vitro*

Source	DF	Sum of Squares	Mean Square	F Ratio	Prob > F
Trata	3	5,050000	1,68333	8,5861	<,0001*
Error	76	14,900000	0,19605		
C. Total	79	19,950000			

Tabla 1075A. Analysis of Variance Oneway Anova, N° Leaves of *Solanum melongena* L, Days 21, ascorbic acid, 2,5 mS of electrical conductivity, *in vitro*

Source	DF	Sum of Squares	Mean Square	F Ratio	Prob > F
Trata	3	7,337500	2,44583	11,5815	<,0001*
Error	76	16,050000	0,21118		
C. Total	79	23,387500			

Tabla 1076A. Analysis of Variance Oneway Anova, N° Leaves of *Solanum melongena* L, Days 28, ascorbic acid, 2,5 mS of electrical conductivity, *in vitro*

Source	DF	Sum of Squares	Mean Square	F Ratio	Prob > F
Trata	3	18,000000	6,00000	23,7500	<,0001*
Error	76	19,200000	0,25263		
C. Total	79	37,200000			

Tabla 1077A. Analysis of Variance Oneway Anova, Clorophyll (U. SPAD) of *Solanum melongena* L, Days 28, ascorbic acid, 2,5 mS of electrical conductivity, *in vitro*

Source	DF	Sum of Squares	Mean Square	F Ratio	Prob > F
Trata	3	1224,5650	408,188	164,4237	<,0001*
Error	76	188,6730	2,483		
C. Total	79	1413,2380			

Tabla 1078A. Analysis of Variance Oneway Anova, Leaf area (mm²) of *Solanum melongena* L, Days 28, ascorbic acid, 2,5 mS of electrical conductivity, *in vitro*

Source	DF	Sum of Squares	Mean Square	F Ratio	Prob > F
Trata	3	21975709	7325236	299,3186	<,0001*
Error	76	1859951	24473		
C. Total	79	23835660			

Tabla 1079 A. Analysis of Variance Oneway Anova, leaf fresh weight (mg) of *Solanum melongena* L, Days 28, ascorbic acid, 2,5 mS of electrical conductivity, *in vitro*

Source	DF	Sum of Squares	Mean Square	F Ratio	Prob > F
Trata	3	430839,50	143613	174,4846	<,0001*
Error	76	62553,38	823		
C. Total	79	493392,89			

Tabla 1080A. Analysis of Variance Oneway Anova, stem fresh weight (mg) of *Solanum melongena* L, Days 28, ascorbic acid, 2,5 mS of electrical conductivity, *in vitro*

Source	DF	Sum of Squares	Mean Square	F Ratio	Prob > F
Trata	3	68970,919	22990,3	95,5993	<,0001*
Error	76	18276,950	240,5		

Source	DF	Sum of Squares	Mean Square	F Ratio	Prob > F
C. Total	79	87247,869			

Tabla 1081A. Analysis of Variance Oneway Anova, roots fresh weight (mg) of *Solanum melongena* L, Days 28, ascorbic acid, 2,5 mS of electrical conductivity, *in vitro*

Source	DF	Sum of Squares	Mean Square	F Ratio	Prob > F
Trata	3	316095,91	105365	215,2673	<,0001*
Error	76	37199,17	489		
C. Total	79	353295,07			

Tabla 1082A. Analysis of Variance Oneway Anova, leaf dry weight (mg) of *Solanum melongena* L, Days 28, ascorbic acid, 2,5 mS of electrical conductivity, *in vitro*

Source	DF	Sum of Squares	Mean Square	F Ratio	Prob > F
Trata	3	4159,697	1386,57	14,5748	<,0001*
Error	76	7230,223	95,13		
C. Total	79	11389,920			

Tabla 1083A. Analysis of Variance Oneway Anova, stem dry weight (mg) of *Solanum melongena* L, Days 28, ascorbic acid, 2,5 mS of electrical conductivity, *in vitro*

Source	DF	Sum of Squares	Mean Square	F Ratio	Prob > F
Trata	3	1045,1954	348,398	6,7904	0,0004*
Error	76	3899,3485	51,307		
C. Total	79	4944,5439			

Tabla 1084A. Analysis of Variance Oneway Anova, roots dry weight (mg) of *Solanum melongena* L, Days 28, ascorbic acid, 2,5 mS of electrical conductivity, *in vitro*

Source	DF	Sum of Squares	Mean Square	F Ratio	Prob > F
Trata	3	3515,0617	1171,69	57,0476	<,0001*
Error	76	1560,9450	20,54		
C. Total	79	5076,0067			

Tabla 1085A. Analysis of Variance Oneway Anova, Length stem (mm) of *Solanum melongena* L, Days 7, ascorbic acid, 5 mS of electrical conductivity, *in vitro*

Source	DF	Sum of Squares	Mean Square	F Ratio	Prob > F
Trata	3	1108,5000	369,500	54,3698	<,0001*
Error	76	516,5000	6,796		
C. Total	79	1625,0000			

Tabla 1086A. Analysis of Variance Oneway Anova, Length stem (mm) of *Solanum melongena* L, Days 14, ascorbic acid, 5 mS of electrical conductivity, *in vitro*

Source	DF	Sum of Squares	Mean Square	F Ratio	Prob > F
Trata	3	2672,4375	890,812	74,0760	<,0001*
Error	76	913,9500	12,026		
C. Total	79	3586,3875			

Tabla 1087A. Analysis of Variance Oneway Anova, Length stem (mm) of *Solanum melongena* L, Days 21, ascorbic acid, 5 mS of electrical conductivity, *in vitro*

Source	DF	Sum of Squares	Mean Square	F Ratio	Prob > F
Trata	3	4620,5000	1540,17	41,8299	<,0001*
Error	76	2798,3000	36,82		
C. Total	79	7418,8000			

Tabla 1088A. Analysis of Variance Oneway Anova, Length stem (mm) of *Solanum melongena* L, Days 28, ascorbic acid, 5 mS of electrical conductivity, *in vitro*

Source	DF	Sum of Squares	Mean Square	F Ratio	Prob > F
Trata	3	6804,4500	2268,15	228,5290	<,0001*
Error	76	754,3000	9,93		
C. Total	79	7558,7500			

Tabla 1089A. Analysis of Variance Oneway Anova, Length roots (mm) of *Solanum melongena* L, Days 7, ascorbic acid, 5 mS of electrical conductivity, *in vitro*

Source	DF	Sum of Squares	Mean Square	F Ratio	Prob > F
Trata	3	430,00000	143,333	84,5756	<,0001*
Error	76	128,80000	1,695		
C. Total	79	558,80000			

Tabla 1090 A. Analysis of Variance Oneway Anova, Length roots (mm) of *Solanum melongena* L, Days 14, ascorbic acid, 5 mS of electrical conductivity, *in vitro*

Source	DF	Sum of Squares	Mean Square	F Ratio	Prob > F
Trata	3	919,4500	306,483	28,6821	<,0001*
Error	76	812,1000	10,686		
C. Total	79	1731,5500			

Tabla 1091A. Analysis of Variance Oneway Anova, Length roots (mm) of *Solanum melongena* L, Days 21, ascorbic acid, 5 mS of electrical conductivity, *in vitro*

Source	DF	Sum of Squares	Mean Square	F Ratio	Prob > F
Trata	3	3546,3000	1182,10	141,5020	<,0001*
Error	76	634,9000	8,35		
C. Total	79	4181,2000			

Tabla 1092A. Analysis of Variance Oneway Anova, Length roots (mm) of *Solanum melongena* L, Days 28, ascorbic acid, 5 mS of electrical conductivity, *in vitro*

Source	DF	Sum of Squares	Mean Square	F Ratio	Prob > F
Trata	3	3618,3375	1206,11	109,0531	<,0001*
Error	76	840,5500	11,06		
C. Total	79	4458,8875			

Tabla 1093A. Analysis of Variance Oneway Anova, N° Leaves of *Solanum melongena* L, Days 7, ascorbic acid, 5 mS of electrical conductivity, *in vitro*

Source	DF	Sum of Squares	Mean Square	F Ratio	Prob > F
Trata	3	0	0		
Error	76	0	0		
C. Total	79	0			

Tabla 1094A. Analysis of Variance Oneway Anova, N° Leaves of *Solanum melongena* L, Days 14, ascorbic acid, 5 mS of electrical conductivity, *in vitro*

Source	DF	Sum of Squares	Mean Square	F Ratio	Prob > F
Trata	3	4,700000	1,56667	7,8852	0,0001*
Error	76	15,100000	0,19868		
C. Total	79	19,800000			

Tabla 1095A. Analysis of Variance Oneway Anova, N° Leaves of *Solanum melongena* L, Days 21, ascorbic acid, 5 mS of electrical conductivity, *in vitro*

Source	DF	Sum of Squares	Mean Square	F Ratio	Prob > F
Trata	3	12,137500	4,04583	36,8244	<,0001*
Error	76	8,350000	0,10987		
C. Total	79	20,487500			

Tabla 1096A. Analysis of Variance Oneway Anova, N° Leaves of *Solanum melongena* L, Days 28, ascorbic acid, 5 mS of electrical conductivity, *in vitro*

Source	DF	Sum of Squares	Mean Square	F Ratio	Prob > F
Trata	3	28,637500	9,54583	67,4868	<,0001*
Error	76	10,750000	0,14145		
C. Total	79	39,387500			

Tabla 1097A. Analysis of Variance Oneway Anova, Clorophyll (U. SPAD of *Solanum melongena* L, Days 28, ascorbic acid, 5 mS of electrical conductivity, *in vitro*

Source	DF	Sum of Squares	Mean Square	F Ratio	Prob > F
Trata	3	1044,6824	348,227	166,2262	<,0001*
Error	76	159,2125	2,095		
C. Total	79	1203,8949			

Tabla 1098A. Analysis of Variance Oneway Anova, Leaf area (mm²) of *Solanum melongena* L, Days 28, ascorbic acid, 5 mS of electrical conductivity, *in vitro*

Source	DF	Sum of Squares	Mean Square	F Ratio	Prob > F
Trata	3	14986982	4995661	134,5033	<,0001*
Error	76	2822757	37142		
C. Total	79	17809739			

Tabla 1099A. Analysis of Variance Oneway Anova, leaf fresh weight (mg) of *Solanum melongena* L, Days 28, ascorbic acid, 5 mS of electrical conductivity, *in vitro*

Source	DF	Sum of Squares	Mean Square	F Ratio	Prob > F
Trata	3	237681,09	79227,0	220,9352	<,0001*
Error	76	27253,48	358,6		
C. Total	79	264934,57			

Tabla 1100A. Analysis of Variance Oneway Anova, stem fresh weight (mg) of *Solanum melongena* L, Days 28, ascorbic acid, 5 mS of electrical conductivity, *in vitro*

Source	DF	Sum of Squares	Mean Square	F Ratio	Prob > F
Trata	3	33772,278	11257,4	54,5653	<,0001*
Error	76	15679,651	206,3		
C. Total	79	49451,930			

Tabla 1101A. Analysis of Variance Oneway Anova, roots fresh weight (mg) of *Solanum melongena* L, Days 28, ascorbic acid, 5 mS of electrical conductivity, *in vitro*

Source	DF	Sum of Squares	Mean Square	F Ratio	Prob > F
Trata	3	74589,370	24863,1	141,2992	<,0001*
Error	76	13373,025	176,0		
C. Total	79	87962,396			

Tabla 1102A. Analysis of Variance Oneway Anova, leaf dry weight (mg) of *Solanum melongena* L, Days 28, ascorbic acid, 5 mS of electrical conductivity, *in vitro*

Source	DF	Sum of Squares	Mean Square	F Ratio	Prob > F
Trata	3	2839,3930	946,464	12,9291	<,0001*
Error	76	5563,5117	73,204		
C. Total	79	8402,9047			

Tabla 1103A. Analysis of Variance Oneway Anova, stem dry weight (mg) of *Solanum melongena* L, Days 28, ascorbic acid, 5 mS of electrical conductivity, *in vitro*

Source	DF	Sum of Squares	Mean Square	F Ratio	Prob > F
Trata	3	1069,8269	356,609	7,5142	0,0002*
Error	76	3606,8032	47,458		
C. Total	79	4676,6302			

Tabla 1104A. Analysis of Variance Oneway Anova, roots dry weight (mg) of *Solanum melongena* L, Days 28, ascorbic acid, 5 mS of electrical conductivity, *in vitro*

Source	DF	Sum of Squares	Mean Square	F Ratio	Prob > F
Trata	3	831,3604	277,120	6,2304	0,0008*
Error	76	3380,3715	44,479		
C. Total	79	4211,7319			

Tabla 1105A. Analysis of Variance Oneway Anova, Length stem (mm) of *Solanum melongena* L, Days 7, ascorbic acid, 7,5 mS of electrical conductivity, *in vitro*

Source	DF	Sum of Squares	Mean Square	F Ratio	Prob > F
Trata	3	1056,8000	352,267	44,8146	<,0001*
Error	76	597,4000	7,861		
C. Total	79	1654,2000			

Tabla 1106A. Analysis of Variance Oneway Anova, Length stem (mm) of *Solanum melongena* L, Days 14, ascorbic acid, 7,5 mS of electrical conductivity, *in vitro*

Source	DF	Sum of Squares	Mean Square	F Ratio	Prob > F
Trata	3	1703,6375	567,879	90,9085	<,0001*
Error	76	474,7500	6,247		
C. Total	79	2178,3875			

Tabla 1107A. Analysis of Variance Oneway Anova, Length stem (mm) of *Solanum melongena* L, Days 21, ascorbic acid, 7,5 mS of electrical conductivity, *in vitro*

Source	DF	Sum of Squares	Mean Square	F Ratio	Prob > F
Trata	3	6128,5000	2042,83	229,4301	<,0001*
Error	76	676,7000	8,90		
C. Total	79	6805,2000			

Tabla 1108A. Analysis of Variance Oneway Anova, Length stem (mm) of *Solanum melongena* L, Days 28, ascorbic acid, 7,5 mS of electrical conductivity, *in vitro*

Source	DF	Sum of Squares	Mean Square	F Ratio	Prob > F
Trata	3	11410,300	3803,43	373,7051	<,0001*
Error	76	773,500	10,18		
C. Total	79	12183,800			

Tabla 1109A. Analysis of Variance Oneway Anova, Length roots (mm) of *Solanum melongena* L, Days 7, ascorbic acid, 7,5 mS of electrical conductivity, *in vitro*

Source	DF	Sum of Squares	Mean Square	F Ratio	Prob > F
Trata	3	644,53750	214,846	78,1819	<,0001*
Error	76	208,85000	2,748		
C. Total	79	853,38750			

Tabla 1110A. Analysis of Variance Oneway Anova, Length roots (mm) of *Solanum melongena* L, Days 14, ascorbic acid, 7,5 mS of electrical conductivity, *in vitro*

Source	DF	Sum of Squares	Mean Square	F Ratio	Prob > F
Trata	3	1604,6375	534,879	86,6293	<,0001*
Error	76	469,2500	6,174		
C. Total	79	2073,8875			

Tabla 1111A. Analysis of Variance Oneway Anova, Length roots (mm) of *Solanum melongena* L, Days 21, ascorbic acid, 7,5 mS of electrical conductivity, *in vitro*

Source	DF	Sum of Squares	Mean Square	F Ratio	Prob > F
Trata	3	5640,1000	1880,03	166,9383	<,0001*
Error	76	855,9000	11,26		
C. Total	79	6496,0000			

Tabla 1112A. Analysis of Variance Oneway Anova, Length roots (mm) of *Solanum melongena* L, Days 21, ascorbic acid, 7,5 mS of electrical conductivity, *in vitro*

Source	DF	Sum of Squares	Mean Square	F Ratio	Prob > F
Trata	3	5695,3000	1898,43	226,5362	<,0001*
Error	76	636,9000	8,38		
C. Total	79	6332,2000			

Tabla 1113A. Analysis of Variance Oneway Anova, N° Leaves of *Solanum melongena* L, Days 7, ascorbic acid, 7,5 mS of electrical conductivity, *in vitro*

Source	DF	Sum of Squares	Mean Square	F Ratio	Prob > F
Trata	3	0	0		
Error	76	0	0		
C. Total	79	0			

Tabla 1114A. Analysis of Variance Oneway Anova, N° Leaves of *Solanum melongena* L, Days 14, ascorbic acid, 7,5 mS of electrical conductivity, *in vitro*

Source	DF	Sum of Squares	Mean Square	F Ratio	Prob > F
Trata	3	1,937500	0,645833	3,0773	0,0325*
Error	76	15,950000	0,209868		
C. Total	79	17,887500			

Tabla 1115A. Analysis of Variance Oneway Anova, N° Leaves of *Solanum melongena* L, Days 21, ascorbic acid, 7,5 mS of electrical conductivity, *in vitro*

Source	DF	Sum of Squares	Mean Square	F Ratio	Prob > F
Trata	3	10,300000	3,43333	19,3284	<,0001*
Error	76	13,500000	0,17763		
C. Total	79	23,800000			

Tabla 1116A. Analysis of Variance Oneway Anova, N° Leaves of *Solanum melongena* L, Days 28, ascorbic acid, 7,5 mS of electrical conductivity, *in vitro*

Source	DF	Sum of Squares	Mean Square	F Ratio	Prob > F
Trata	3	20,237500	6,74583	52,5829	<,0001*
Error	76	9,750000	0,12829		
C. Total	79	29,987500			

Tabla 1117 A. Analysis of Variance Oneway Anova, Clorophyll (U. SPAD of *Solanum melongena* L, Days 28, ascorbic acid, 7,5 mS of electrical conductivity, *in vitro*

Source	DF	Sum of Squares	Mean Square	F Ratio	Prob > F
Trata	3	1114,5964	371,532	78,5385	<,0001*
Error	76	359,5235	4,731		
C. Total	79	1474,1199			

Tabla 1118A. Analysis of Variance Oneway Anova, Leaf area (mm²) of *Solanum melongena* L, Days 28, ascorbic acid, 7,5 mS of electrical conductivity, *in vitro*

Source	DF	Sum of Squares	Mean Square	F Ratio	Prob > F
Trata	3	14635640	4878547	167,6146	<,0001*
Error	76	2212036	29106		
C. Total	79	16847676			

Tabla 1119A. Analysis of Variance Oneway Anova, leaf fresh weight (mg) of *Solanum melongena* L, Days 28, ascorbic acid, 7,5 mS of electrical conductivity, *in vitro*

Source	DF	Sum of Squares	Mean Square	F Ratio	Prob > F
Trata	3	167695,55	55898,5	84,2706	<,0001*
Error	76	50412,43	663,3		
C. Total	79	218107,98			

Tabla 1120A. Analysis of Variance Oneway Anova, stem fresh weight (mg) of *Solanum melongena* L, Days 28, ascorbic acid, 7,5 mS of electrical conductivity, *in vitro*

Source	DF	Sum of Squares	Mean Square	F Ratio	Prob > F
Trata	3	24955,237	8318,41	57,4020	<,0001*
Error	76	11013,550	144,92		
C. Total	79	35968,788			

Tabla 1121A. Analysis of Variance Oneway Anova, roots fresh weight (mg) of *Solanum melongena* L, Days 28, ascorbic acid, 7,5 mS of electrical conductivity, *in vitro*

Source	DF	Sum of Squares	Mean Square	F Ratio	Prob > F
Trata	3	38952,551	12984,2	127,5543	<,0001*
Error	76	7736,297	101,8		
C. Total	79	46688,848			

Tabla 1122A. Analysis of Variance Oneway Anova, leaf dry weight (mg) of *Solanum melongena* L, Days 28, ascorbic acid, 7,5 mS of electrical conductivity, *in vitro*

Source	DF	Sum of Squares	Mean Square	F Ratio	Prob > F
Trata	3	1697,0650	565,688	9,5547	<,0001*
Error	76	4499,5970	59,205		
C. Total	79	6196,6620			

Tabla 1123A. Analysis of Variance Oneway Anova, stem dry weight (mg) of *Solanum melongena* L, Days 28, ascorbic acid, 7,5 mS of electrical conductivity, *in vitro*

Source	DF	Sum of Squares	Mean Square	F Ratio	Prob > F
Trata	3	750,7550	250,252	12,4007	<,0001*
Error	76	1533,7170	20,180		
C. Total	79	2284,4720			

Tabla 1124A. Analysis of Variance Oneway Anova, roots dry weight (mg) of *Solanum melongena* L, Days 28, ascorbic acid, 7,5 mS of electrical conductivity, *in vitro*

Source	DF	Sum of Squares	Mean Square	F Ratio	Prob > F
Trata	3	943,5964	314,532	11,5295	<,0001*
Error	76	2073,3255	27,281		
C. Total	79	3016,9219			

Anexo 15. Análisis de la variancia Oneway ANOVA de las variables estudiadas por efecto del ácido ascórbico en tomate cultivadas *in vivo* en 0, 2,5 y 5 mS de salinidad.

Tabla 1125A. Analysis of Variance Oneway Anova, Length. Stem (mm) of *Lycopersicon esculentum* Mill, Days 7, ascorbic acid, 0 mS of electrical conductivity, *in vivo*

Source	DF	Sum of Squares	Mean Square	F Ratio	Prob > F
Tratamientos	2	749,2000	374,600	34,9921	<,0001*
Error	57	610,2000	10,705		
C. Total	59	1359,4000			

Tabla 1126A. Analysis of Variance Oneway Anova, Length. Stem (mm) of *Lycopersicon esculentum* Mill, Days 14, ascorbic acid, 0 mS of electrical conductivity, *in vivo*

Source	DF	Sum of Squares	Mean Square	F Ratio	Prob > F
Tratamientos	2	5078,2333	2539,12	186,3272	<,0001*
Error	57	776,7500	13,63		
C. Total	59	5854,9833			

Tabla 1127A. Analysis of Variance Oneway Anova, Length. Stem (mm) of *Lycopersicon esculentum* Mill, Days 21, ascorbic acid, 0 mS of electrical conductivity, *in vivo*

Source	DF	Sum of Squares	Mean Square	F Ratio	Prob > F
Tratamientos	2	24388,900	12194,5	481,4599	<,0001*
Error	57	1443,700	25,3		
C. Total	59	25832,600			

Tabla 1128A. Analysis of Variance Oneway Anova, Length. Stem (mm) of *Lycopersicon esculentum* Mill, Days 28, ascorbic acid, 0 mS of electrical conductivity, *in vivo*

Source	DF	Sum of Squares	Mean Square	F Ratio	Prob > F
Tratamientos	2	42812,400	21406,2	250,2263	<,0001*
Error	57	4876,200	85,5		
C. Total	59	47688,600			

Tabla 1129A. Analysis of Variance Oneway Anova, Length roots (mm) of *Lycopersicon esculentum* Mill, Days 14, ascorbic acid, 0 mS of electrical conductivity, *in vivo*

Source	DF	Sum of Squares	Mean Square	F Ratio	Prob > F
Tratamientos	2	2315,2000	1157,60	54,6015	<,0001*
Error	57	1208,4500	21,20		
C. Total	59	3523,6500			

Tabla 1130A. Analysis of Variance Oneway Anova, Length roots (mm) of *Lycopersicon esculentum* Mill, Days 28, ascorbic acid, 0 mS of electrical conductivity, *in vivo*

Source	DF	Sum of Squares	Mean Square	F Ratio	Prob > F
Tratamientos	2	9480,233	4740,12	253,0548	<,0001*
Error	57	1067,700	18,73		
C. Total	59	10547,933			

Tabla 1131A. Analysis of Variance Oneway Anova, N° Leaves of *Lycopersicon esculentum* Mill, Days 7, ascorbic acid, 0 mS of electrical conductivity, *in vivo*

Source	DF	Sum of Squares	Mean Square	F Ratio	Prob > F
Tratamientos	2	0	0	.	.
Error	57	0	0		
C. Total	59	0			

Tabla 1132A. Analysis of Variance Oneway Anova, N° Leaves of *Lycopersicon esculentum* Mill, Days 14, ascorbic acid, 0 mS of electrical conductivity, *in vivo*

Source	DF	Sum of Squares	Mean Square	F Ratio	Prob > F
Tratamientos	2	10,800000	5,40000	31,4082	<,0001*
Error	57	9,800000	0,17193		
C. Total	59	20,600000			

Tabla 1133A. Analysis of Variance Oneway Anova, N° Leaves of *Lycopersicon esculentum* Mill, Days 21, ascorbic acid, 0 mS of electrical conductivity, *in vivo*

Source	DF	Sum of Squares	Mean Square	F Ratio	Prob > F
Tratamientos	2	19,600000	9,80000	75,4865	<,0001*
Error	57	7,400000	0,12982		
C. Total	59	27,000000			

Tabla 1134A. Analysis of Variance Oneway Anova, N° Leaves of *Lycopersicon esculentum* Mill, Days 28, ascorbic acid, 0 mS of electrical conductivity, *in vivo*

Source	DF	Sum of Squares	Mean Square	F Ratio	Prob > F
Tratamientos	2	14,700000	7,35000	441,0000	<,0001*

Source	DF	Sum of Squares	Mean Square	F Ratio	Prob > F
Error	57	0,950000	0,01667		
C. Total	59	15,650000			

Tabla 1135A. Analysis of Variance Oneway Anova, Chlorophyll (U. SPAD) of *Lycopersicon esculentum* Mill, Days 14, ascorbic acid, 0 mS of electrical conductivity, *in vivo*

Source	DF	Sum of Squares	Mean Square	F Ratio	Prob > F
Tratamientos	2	587,73700	293,869	239,9390	<,0001*
Error	57	69,81150	1,225		
C. Total	59	657,54850			

Tabla 1136A. Analysis of Variance Oneway Anova, Chlorophyll (U. SPAD) of *Lycopersicon esculentum* Mill, Days 21, ascorbic acid, 0 mS of electrical conductivity, *in vivo*

Source	DF	Sum of Squares	Mean Square	F Ratio	Prob > F
Tratamientos	2	468,55900	234,279	55,5790	<,0001*
Error	57	240,26950	4,215		
C. Total	59	708,82850			

Tabla 1137A. Analysis of Variance Oneway Anova, Chlorophyll (U. SPAD) of *Lycopersicon esculentum* Mill, Days 28, ascorbic acid, 0 mS of electrical conductivity, *in vivo*

Source	DF	Sum of Squares	Mean Square	F Ratio	Prob > F
Tratamientos	2	187,12633	93,5632	40,9912	<,0001*
Error	57	130,10350	2,2825		
C. Total	59	317,22983			

Tabla 1138A. Analysis of Variance Oneway Anova, Leaf area (mm²) of *Lycopersicon esculentum* Mill, Days 14, ascorbic acid, 0 mS of electrical conductivity, *in vivo*

Source	DF	Sum of Squares	Mean Square	F Ratio	Prob > F
Tratamientos	2	4588557,6	2294279	81,6288	<,0001*
Error	57	1602055,7	28106		
C. Total	59	6190613,3			

Tabla 1139A. Analysis of Variance Oneway Anova, Leaf area (mm²) of *Lycopersicon esculentum* Mill, Days 28, ascorbic acid, 0 mS of electrical conductivity, *in vivo*

Source	DF	Sum of Squares	Mean Square	F Ratio	Prob > F
Tratamientos	2	51884760	25942380	144,9421	<,0001*
Error	57	10202112	178984,42		
C. Total	59	62086871			

Tabla 1140A. Analysis of Variance Oneway Anova, leaf fresh weight (mg) of *Lycopersicon esculentum* Mill, Days 14, ascorbic acid, 0 mS of electrical conductivity, *in vivo*

Source	DF	Sum of Squares	Mean Square	F Ratio	Prob > F
Tratamientos	2	97571,78	48785,9	57,8128	<,0001*
Error	57	48099,97	843,9		
C. Total	59	145671,75			

Tabla 1141A. Analysis of Variance Oneway Anova, leaf fresh weight (mg) of *Lycopersicon esculentum* Mill, Days 28, ascorbic acid, 0 mS of electrical conductivity, *in vivo*

Source	DF	Sum of Squares	Mean Square	F Ratio	Prob > F
Tratamientos	2	938804,9	469402	128,3924	<,0001*
Error	57	208391,9	3656		
C. Total	59	1147196,8			

Tabla 1142A. Analysis of Variance Oneway Anova, stem fresh weight (mg) of *Lycopersicon esculentum* Mill, Days 14, ascorbic acid, 0 mS of electrical conductivity, *in vivo*

Source	DF	Sum of Squares	Mean Square	F Ratio	Prob > F
Tratamientos	2	75960,28	37980,1	78,3498	<,0001*
Error	57	27630,79	484,8		
C. Total	59	103591,07			

Tabla 1143A. Analysis of Variance Oneway Anova, stem fresh weight (mg) of *Lycopersicon esculentum* Mill, Days 28, ascorbic acid, 0 mS of electrical conductivity, *in vivo*

Source	DF	Sum of Squares	Mean Square	F Ratio	Prob > F
Tratamientos	2	2358777,5	1179389	153,6799	<,0001*
Error	57	437436,3	7674		
C. Total	59	2796213,7			

Tabla 1144A. Analysis of Variance Oneway Anova, roots fresh weight (mg) of *Lycopersicon esculentum* Mill, Days 14, ascorbic acid, 0 mS of electrical conductivity, *in vivo*

Source	DF	Sum of Squares	Mean Square	F Ratio	Prob > F
Tratamientos	2	43664,625	21832,3	161,1673	<,0001*
Error	57	7721,428	135,5		
C. Total	59	51386,053			

Tabla 1145A. Analysis of Variance Oneway Anova, roots fresh weight (mg) of *Lycopersicon esculentum* Mill, Days 28, ascorbic acid, 0 mS of electrical conductivity, *in vivo*

Source	DF	Sum of Squares	Mean Square	F Ratio	Prob > F
Tratamientos	2	264868,52	132434	158,6099	<,0001*
Error	57	47593,21	835		
C. Total	59	312461,73			

Tabla 1146A. Analysis of Variance Oneway Anova, leaf dry weight (mg) of *Lycopersicon esculentum* Mill, Days 14, ascorbic acid, 0 mS of electrical conductivity, *in vivo*

Source	DF	Sum of Squares	Mean Square	F Ratio	Prob > F
Tratamientos	2	1571,5053	785,753	45,4971	<,0001*
Error	57	984,4120	17,270		
C. Total	59	2555,9173			

Tabla 1147A. Analysis of Variance Oneway Anova, leaf dry weight (mg) of *Lycopersicon esculentum* Mill, Days 28, ascorbic acid, 0 mS of electrical conductivity, *in vivo*

Source	DF	Sum of Squares	Mean Square	F Ratio	Prob > F
Tratamientos	2	12166,929	6083,46	32,3250	<,0001*
Error	57	10727,230	188,20		
C. Total	59	22894,159			

Tabla 1148A. Analysis of Variance Oneway Anova, stem dry weight (mg) of *Lycopersicon esculentum* Mill, Days 14, ascorbic acid, 0 mS of electrical conductivity, *in vivo*

Source	DF	Sum of Squares	Mean Square	F Ratio	Prob > F
Tratamientos	2	2985,3880	1492,69	74,8710	<,0001*
Error	57	1136,4020	19,94		
C. Total	59	4121,7900			

Tabla 1149A. Analysis of Variance Oneway Anova, stem dry weight (mg) of *Lycopersicon esculentum* Mill, Days 28, ascorbic acid, 0 mS of electrical conductivity, *in vivo*

Source	DF	Sum of Squares	Mean Square	F Ratio	Prob > F
Tratamientos	2	9833,269	4916,63	23,4756	<,0001*
Error	57	11937,827	209,44		
C. Total	59	21771,096			

Tabla 1150A. Analysis of Variance Oneway Anova, roots dry weight (mg) of *Lycopersicon esculentum* Mill, Days 14, ascorbic acid, 0 mS of electrical conductivity, *in vivo*

Source	DF	Sum of Squares	Mean Square	F Ratio	Prob > F
Tratamientos	2	1062,2080	531,104	54,0464	<,0001*
Error	57	560,1280	9,827		
C. Total	59	1622,3360			

Tabla 1151A. Analysis of Variance Oneway Anova, roots dry weight (mg) of *Lycopersicon esculentum* Mill, Days 28, ascorbic acid, 0 mS of electrical conductivity, *in vivo*

Source	DF	Sum of Squares	Mean Square	F Ratio	Prob > F
Tratamientos	2	13321,628	6660,81	14,5466	<,0001*
Error	57	26100,023	457,90		
C. Total	59	39421,651			

Tabla 1152A. Analysis of Variance Oneway Anova, Length. Stem (mm) of *Lycopersicon esculentum* Mill, Days 7, ascorbic acid, 2,5 mS of electrical conductivity, *in vivo*

Source	DF	Sum of Squares	Mean Square	F Ratio	Prob > F
Tratamientos	2	624,03333	312,017	76,6923	<,0001*
Error	57	231,90000	4,068		
C. Total	59	855,93333			

Tabla 1153A. Analysis of Variance Oneway Anova, Length. Stem (mm) of *Lycopersicon esculentum* Mill, Days 14, ascorbic acid, 2,5 mS of electrical conductivity, *in vivo*

Source	DF	Sum of Squares	Mean Square	F Ratio	Prob > F
Tratamientos	2	7878,9000	3939,45	215,3427	<,0001*
Error	57	1042,7500	18,29		
C. Total	59	8921,6500			

Tabla 1154A. Analysis of Variance Oneway Anova, Length. Stem (mm) of *Lycopersicon esculentum* Mill, Days 21, ascorbic acid, 2,5 mS of electrical conductivity, *in vivo*

Source	DF	Sum of Squares	Mean Square	F Ratio	Prob > F
Tratamientos	2	11190,033	5595,02	313,6004	<,0001*
Error	57	1016,950	17,84		
C. Total	59	12206,983			

Tabla 1155A. Analysis of Variance Oneway Anova, Length. Stem (mm) of *Lycopersicon esculentum* Mill, Days 28, ascorbic acid, 2,5 mS of electrical conductivity, *in vivo*

Source	DF	Sum of Squares	Mean Square	F Ratio	Prob > F
Tratamientos	2	23199,600	11599,8	143,7992	<,0001*
Error	57	4598,000	80,7		
C. Total	59	27797,600			

Tabla 1156A. Analysis of Variance Oneway Anova, Length roots (mm) of *Lycopersicon esculentum* Mill, Days 14, ascorbic acid, 2,5 mS of electrical conductivity, *in vivo*

Source	DF	Sum of Squares	Mean Square	F Ratio	Prob > F
Tratamientos	2	2986,6333	1493,32	81,9161	<,0001*
Error	57	1039,1000	18,23		
C. Total	59	4025,7333			

Tabla 1157A. Analysis of Variance Oneway Anova, Length roots (mm) of *Lycopersicon esculentum* Mill, Days 28, ascorbic acid, 2,5 mS of electrical conductivity, *in vivo*

Source	DF	Sum of Squares	Mean Square	F Ratio	Prob > F
Tratamientos	2	7768,9000	3884,45	159,2045	<,0001*
Error	57	1390,7500	24,40		
C. Total	59	9159,6500			

Tabla 1158A. Analysis of Variance Oneway Anova, N° Leaves of *Lycopersicon esculentum* Mill, Days 7, ascorbic acid, 2,5 mS of electrical conductivity, *in vivo*

Source	DF	Sum of Squares	Mean Square	F Ratio	Prob > F
Tratamientos	2	0	0		
Error	57	0	0		
C. Total	59	0			

Tabla 1159A. Analysis of Variance Oneway Anova, N° Leaves of *Lycopersicon esculentum* Mill, Days 14, ascorbic acid, 2,5 mS of electrical conductivity, *in vivo*

Source	DF	Sum of Squares	Mean Square	F Ratio	Prob > F
Tratamientos	2	8,033333	4,01667	55,1687	<,0001*
Error	57	4,150000	0,07281		
C. Total	59	12,183333			

Tabla 1160A. Analysis of Variance Oneway Anova, N° Leaves of *Lycopersicon esculentum* Mill, Days 21, ascorbic acid, 2,5 mS of electrical conductivity, *in vivo*

Source	DF	Sum of Squares	Mean Square	F Ratio	Prob > F
Tratamientos	2	10,033333	5,01667	20,2085	<,0001*
Error	57	14,150000	0,24825		
C. Total	59	24,183333			

Tabla 1161A. Analysis of Variance Oneway Anova, N° Leaves of *Lycopersicon esculentum* Mill, Days 28, ascorbic acid, 2,5 mS of electrical conductivity, *in vivo*

Source	DF	Sum of Squares	Mean Square	F Ratio	Prob > F
Tratamientos	2	45,633333	22,8167	285,8352	<,0001*
Error	57	4,550000	0,0798		
C. Total	59	50,183333			

Tabla 1162A. Analysis of Variance Oneway Anova, Clorophyll (U. SPAD) of *Lycopersicon esculentum* Mill, Days 14, ascorbic acid, 2,5 mS of electrical conductivity, *in vivo*

Source	DF	Sum of Squares	Mean Square	F Ratio	Prob > F
Tratamientos	2	514,93788	257,469	264,8686	<,0001*
Error	57	55,40758	0,972		
C. Total	59	570,34546			

Tabla 1163A. Analysis of Variance Oneway Anova, Clorophyll (U. SPAD) of *Lycopersicon esculentum* Mill, Days 21, ascorbic acid, 2,5 mS of electrical conductivity, *in vivo*

Source	DF	Sum of Squares	Mean Square	F Ratio	Prob > F
Tratamientos	2	450,37900	225,190	149,8503	<,0001*
Error	57	85,65750	1,503		
C. Total	59	536,03650			

Tabla 1164A. Analysis of Variance Oneway Anova, Clorophyll (U. SPAD) of *Lycopersicon esculentum* Mill, Days 28, ascorbic acid, 2,5 mS of electrical conductivity, *in vivo*

Source	DF	Sum of Squares	Mean Square	F Ratio	Prob > F
Tratamientos	2	303,77100	151,885	196,4349	<,0001*
Error	57	44,07300	0,773		
C. Total	59	347,84400			

Tabla 1165A. Analysis of Variance Oneway Anova, Leaf area (mm²) of *Lycopersicon esculentum* Mill, Days 28, ascorbic acid, 2,5 mS of electrical conductivity, *in vivo*

Source	DF	Sum of Squares	Mean Square	F Ratio	Prob > F
Tratamientos	2	3867935,8	1933968	98,5279	<,0001*
Error	57	1118832,4	19629		
C. Total	59	4986768,2			

Tabla 1166A. Analysis of Variance Oneway Anova, Leaf area (mm²) of *Lycopersicon esculentum* Mill, Days 28, ascorbic acid, 2,5 mS of electrical conductivity, *in vivo*

Source	DF	Sum of Squares	Mean Square	F Ratio	Prob > F
Tratamientos	2	96390215	48195107	287,1639	<,0001*
Error	57	9566388	167831,36		
C. Total	59	105956602			

Tabla 1167A. Analysis of Variance Oneway Anova, leaf fresh weight (mg) of *Lycopersicon esculentum* Mill, Days 14, ascorbic acid, 2,5 mS of electrical conductivity, *in vivo*

Source	DF	Sum of Squares	Mean Square	F Ratio	Prob > F
Tratamientos	2	42384,868	21192,4	33,8555	<,0001*
Error	57	35680,098	626,0		
C. Total	59	78064,966			

Tabla 1168A. Analysis of Variance Oneway Anova, leaf fresh weight (mg) of *Lycopersicon esculentum* Mill, Days 28, ascorbic acid, 2,5 mS of electrical conductivity, *in vivo*

Source	DF	Sum of Squares	Mean Square	F Ratio	Prob > F
Tratamientos	2	1565208,0	782604	303,5757	<,0001*
Error	57	146943,3	2578		
C. Total	59	1712151,3			

Tabla 1169A. Analysis of Variance Oneway Anova, stem fresh weight (mg) of *Lycopersicon esculentum* Mill, Days 28, ascorbic acid, 2,5 mS of electrical conductivity, *in vivo*

Source	DF	Sum of Squares	Mean Square	F Ratio	Prob > F
Tratamientos	2	89972,63	44986,3	150,0924	<,0001*
Error	57	17084,28	299,7		
C. Total	59	107056,91			

Tabla 1170A. Analysis of Variance Oneway Anova, stem fresh weight (mg) of *Lycopersicon esculentum* Mill, Days 14, ascorbic acid, 2,5 mS of electrical conductivity, *in vivo*

Source	DF	Sum of Squares	Mean Square	F Ratio	Prob > F
Tratamientos	2	2653893,7	1326947	551,4780	<,0001*
Error	57	137151,4	2406		
C. Total	59	2791045,1			

Tabla 1171A. Analysis of Variance Oneway Anova, roots fresh weight (mg) of *Lycopersicon esculentum* Mill, Days 14, ascorbic acid, 2,5 mS of electrical conductivity, *in vivo*

Source	DF	Sum of Squares	Mean Square	F Ratio	Prob > F
Tratamientos	2	16324,252	8162,13	114,8534	<,0001*
Error	57	4050,738	71,07		
C. Total	59	20374,990			

Tabla 1172A. Analysis of Variance Oneway Anova, roots fresh weight (mg) of *Lycopersicon esculentum* Mill, Days 28, ascorbic acid, 2,5 mS of electrical conductivity, *in vivo*

Source	DF	Sum of Squares	Mean Square	F Ratio	Prob > F
Tratamientos	2	206072,83	103036	230,6634	<,0001*
Error	57	25461,67	447		
C. Total	59	231534,50			

Tabla 1173A. Analysis of Variance Oneway Anova, leaf dry weight (mg) of *Lycopersicon esculentum* Mill, Days 14, ascorbic acid, 2,5 mS of electrical conductivity, *in vivo*

Source	DF	Sum of Squares	Mean Square	F Ratio	Prob > F
Tratamientos	2	1692,4960	846,248	60,3956	<,0001*

Source	DF	Sum of Squares	Mean Square	F Ratio	Prob > F
Error	57	798,6700	14,012		
C. Total	59	2491,1660			

Tabla 1174A. Analysis of Variance Oneway Anova, leaf dry weight (mg) of *Lycopersicon esculentum* Mill, Days 28, ascorbic acid, 2,5 mS of electrical conductivity, *in vivo*

Source	DF	Sum of Squares	Mean Square	F Ratio	Prob > F
Tratamientos	2	11211,594	5605,80	144,2435	<,0001*
Error	57	2215,216	38,86		
C. Total	59	13426,810			

Tabla 1175A. Analysis of Variance Oneway Anova, stem dry weight (mg) of *Lycopersicon esculentum* Mill, Days 14, ascorbic acid, 2,5 mS of electrical conductivity, *in vivo*

Source	DF	Sum of Squares	Mean Square	F Ratio	Prob > F
Tratamientos	2	3594,4053	1797,20	112,6870	<,0001*
Error	57	909,0720	15,95		
C. Total	59	4503,4773			

Tabla 1176A. Analysis of Variance Oneway Anova, stem dry weight (mg) of *Lycopersicon esculentum* Mill, Days 28, ascorbic acid, 2,5 mS of electrical conductivity, *in vivo*

Source	DF	Sum of Squares	Mean Square	F Ratio	Prob > F
Tratamientos	2	8837,532	4418,77	20,3836	<,0001*
Error	57	12356,510	216,78		
C. Total	59	21194,042			

Tabla 1177A. Analysis of Variance Oneway Anova, roots dry weight (mg) of *Lycopersicon esculentum* Mill, Days 14, ascorbic acid, 2,5 mS of electrical conductivity, *in vivo*

Source	DF	Sum of Squares	Mean Square	F Ratio	Prob > F
Tratamientos	2	1062,2573	531,129	111,3535	<,0001*
Error	57	271,8760	4,770		
C. Total	59	1334,1333			

Tabla 1178A. Analysis of Variance Oneway Anova, roots dry weight (mg) of *Lycopersicon esculentum* Mill, Days 28, ascorbic acid, 2,5 mS of electrical conductivity, *in vivo*

Source	DF	Sum of Squares	Mean Square	F Ratio	Prob > F
Tratamientos	2	6017,130	3008,57	15,7414	<,0001*
Error	57	10894,067	191,12		
C. Total	59	16911,197			

Tabla 1179A. Analysis of Variance Oneway Anova, Length. Stem (mm) of *Lycopersicon esculentum* Mill, Days 7, ascorbic acid, 5 mS of electrical conductivity, *in vivo*

Source	DF	Sum of Squares	Mean Square	F Ratio	Prob > F
Tratamientos	2	359,23333	179,617	45,1119	<,0001*
Error	57	226,95000	3,982		
C. Total	59	586,18333			

Tabla 1180A. Analysis of Variance Oneway Anova, Length. Stem (mm) of *Lycopersicon esculentum* Mill, Days 14, ascorbic acid, 5 mS of electrical conductivity, *in vivo*

Source	DF	Sum of Squares	Mean Square	F Ratio	Prob > F
Tratamientos	2	4270,2333	2135,12	105,6484	<,0001*
Error	57	1151,9500	20,21		
C. Total	59	5422,1833			

Tabla 1181A. Analysis of Variance Oneway Anova, Length. Stem (mm) of *Lycopersicon esculentum* Mill, Days 21, ascorbic acid, 5 mS of electrical conductivity, *in vivo*

Source	DF	Sum of Squares	Mean Square	F Ratio	Prob > F
Tratamientos	2	5574,9333	2787,47	90,8957	<,0001*
Error	57	1748,0000	30,67		
C. Total	59	7322,9333			

Tabla 1182A. Analysis of Variance Oneway Anova, Length. Stem (mm) of *Lycopersicon esculentum* Mill, Days 28, ascorbic acid, 5 mS of electrical conductivity, *in vivo*

Source	DF	Sum of Squares	Mean Square	F Ratio	Prob > F
Tratamientos	2	14102,500	7051,25	218,2990	<,0001*
Error	57	1841,150	32,30		
C. Total	59	15943,650			

Tabla 1183A. Analysis of Variance Oneway Anova, N° Leaves of *Lycopersicon esculentum* Mill, Days 7, ascorbic acid, 5 mS of electrical conductivity, *in vivo*

Source	DF	Sum of Squares	Mean Square	F Ratio	Prob > F
Tratamientos	2	0	0		
Error	57	0	0		
C. Total	59	0			

Tabla 1184A. Analysis of Variance Oneway Anova, N° Leaves of *Lycopersicon esculentum* Mill, Days 14, ascorbic acid, 5 mS of electrical conductivity, *in vivo*

Source	DF	Sum of Squares	Mean Square	F Ratio	Prob > F
Tratamientos	2	10,900000	5,45000	88,7571	<,0001*
Error	57	3,500000	0,06140		
C. Total	59	14,400000			

Tabla 1185A. Analysis of Variance Oneway Anova, N° Leaves of *Lycopersicon esculentum* Mill, Days 21, ascorbic acid, 5 mS of electrical conductivity, *in vivo*

Source	DF	Sum of Squares	Mean Square	F Ratio	Prob > F
Tratamientos	2	12,233333	6,11667	36,7000	<,0001*
Error	57	9,500000	0,16667		
C. Total	59	21,733333			

Tabla 1186A. Analysis of Variance Oneway Anova, N° Leaves of *Lycopersicon esculentum* Mill, Days 28, ascorbic acid, 5 mS of electrical conductivity, *in vivo*

Source	DF	Sum of Squares	Mean Square	F Ratio	Prob > F
Tratamientos	2	22,533333	11,2667	83,9477	<,0001*
Error	57	7,650000	0,1342		
C. Total	59	30,183333			

Tabla 1187A. Analysis of Variance Oneway Anova, Clorophyll (U. SPAD) of *Lycopersicon esculentum* Mill, Days 14, ascorbic acid, 5 mS of electrical conductivity, *in vivo*

Source	DF	Sum of Squares	Mean Square	F Ratio	Prob > F
Tratamientos	2	368,66100	184,331	90,5485	<,0001*
Error	57	116,03550	2,036		
C. Total	59	484,69650			

Tabla 1188A. Analysis of Variance Oneway Anova, Clorophyll (U. SPAD) of *Lycopersicon esculentum* Mill, Days 21, ascorbic acid, 5 mS of electrical conductivity, *in vivo*

Source	DF	Sum of Squares	Mean Square	F Ratio	Prob > F
Tratamientos	2	386,70433	193,352	135,9192	<,0001*
Error	57	81,08550	1,423		
C. Total	59	467,78983			

Tabla 1189A. Analysis of Variance Oneway Anova, Chlorophyll (U. SPAD) of *Lycopersicon esculentum* Mill, Days 28, ascorbic acid, 5 mS of electrical conductivity, *in vivo*

Source	DF	Sum of Squares	Mean Square	F Ratio	Prob > F
Tratamientos	2	382,80933	191,405	135,6627	<,0001*
Error	57	80,42050	1,411		
C. Total	59	463,22983			

Tabla 1190A. Analysis of Variance Oneway Anova, Length roots (mm) of *Lycopersicon esculentum* Mill, Days 14, ascorbic acid, 5 mS of electrical conductivity, *in vivo*

Source	DF	Sum of Squares	Mean Square	F Ratio	Prob > F
Tratamientos	2	5644,1333	2822,07	129,6770	<,0001*
Error	57	1240,4500	21,76		
C. Total	59	6884,5833			

Tabla 1191A. Analysis of Variance Oneway Anova, Length roots (mm) of *Lycopersicon esculentum* Mill, Days 28, ascorbic acid, 5 mS of electrical conductivity, *in vivo*

Source	DF	Sum of Squares	Mean Square	F Ratio	Prob > F
Tratamientos	2	5010,8333	2505,42	162,6246	<,0001*
Error	57	878,1500	15,41		
C. Total	59	5888,9833			

Tabla 1192 A. Analysis of Variance Oneway Anova, Leaf area (mm²) of *Lycopersicon esculentum* Mill, Days 14, ascorbic acid, 5 mS of electrical conductivity, *in vivo*

Source	DF	Sum of Squares	Mean Square	F Ratio	Prob > F
Tratamientos	2	3183813,1	1591907	102,7234	<,0001*
Error	57	883330,3	15497		
C. Total	59	4067143,4			

Tabla 1193A. Analysis of Variance Oneway Anova, Leaf area (mm²) of *Lycopersicon esculentum* Mill, Days 28, ascorbic acid, 5 mS of electrical conductivity, *in vivo*

Source	DF	Sum of Squares	Mean Square	F Ratio	Prob > F
Tratamientos	2	73754285	36877142	366,3356	<,0001*
Error	57	5737901	100664,93		
C. Total	59	79492186			

Tabla 1194A. Analysis of Variance Oneway Anova, leaf fresh weight (mg) of *Lycopersicon esculentum* Mill, Days 14, ascorbic acid, 5 mS of electrical conductivity, *in vivo*

Source	DF	Sum of Squares	Mean Square	F Ratio	Prob > F
Tratamientos	2	48730,441	24365,2	142,1635	<,0001*
Error	57	9769,156	171,4		
C. Total	59	58499,597			

Tabla 1195A. Analysis of Variance Oneway Anova, leaf fresh weight (mg) of *Lycopersicon esculentum* Mill, Days 28, ascorbic acid, 5 mS of electrical conductivity, *in vivo*

Source	DF	Sum of Squares	Mean Square	F Ratio	Prob > F
Tratamientos	2	270850,57	135425	181,6830	<,0001*
Error	57	42487,41	745		
C. Total	59	313337,98			

Tabla 1196 A. Analysis of Variance Oneway Anova, stem fresh weight (mg) of *Lycopersicon esculentum* Mill, Days 28, ascorbic acid, 5 mS of electrical conductivity, *in vivo*

Source	DF	Sum of Squares	Mean Square	F Ratio	Prob > F
Tratamientos	2	53300,025	26650,0	132,4245	<,0001*
Error	57	11471,068	201,2		
C. Total	59	64771,093			

Tabla 1197A. Analysis of Variance Oneway Anova, stem fresh weight (mg) of *Lycopersicon esculentum* Mill, Days 28, ascorbic acid, 5 mS of electrical conductivity, *in vivo*

Source	DF	Sum of Squares	Mean Square	F Ratio	Prob > F
Tratamientos	2	607975,63	303988	202,5701	<,0001*
Error	57	85537,31	1501		
C. Total	59	693512,95			

Tabla 1198A. Analysis of Variance Oneway Anova, roots fresh weight (mg) of *Lycopersicon esculentum* Mill, Days 28, ascorbic acid, 5 mS of electrical conductivity, *in vivo*

Source	DF	Sum of Squares	Mean Square	F Ratio	Prob > F
Tratamientos	2	5113,4493	2556,72	43,5779	<,0001*
Error	57	3344,2040	58,67		
C. Total	59	8457,6533			

Tabla 1199A. Analysis of Variance Oneway Anova, roots fresh weight (mg) of *Lycopersicon esculentum* Mill, Days 28, ascorbic acid, 5 mS of electrical conductivity, *in vivo*

Source	DF	Sum of Squares	Mean Square	F Ratio	Prob > F
Tratamientos	2	175578,12	87789,1	137,4786	<,0001*
Error	57	36398,21	638,6		
C. Total	59	211976,33			

Tabla 1200A. Analysis of Variance Oneway Anova, leaf dry weight (mg) of *Lycopersicon esculentum* Mill, Days 14, ascorbic acid, 5 mS of electrical conductivity, *in vivo*

Source	DF	Sum of Squares	Mean Square	F Ratio	Prob > F
Tratamientos	2	1114,5973	557,299	41,0742	<,0001*
Error	57	773,3820	13,568		
C. Total	59	1887,9793			

Tabla 1201A. Analysis of Variance Oneway Anova, leaf dry weight (mg) of *Lycopersicon esculentum* Mill, Days 28, ascorbic acid, 5 mS of electrical conductivity, *in vivo*

Source	DF	Sum of Squares	Mean Square	F Ratio	Prob > F
Tratamientos	2	8115,4623	4057,73	147,6740	<,0001*
Error	57	1566,2250	27,48		
C. Total	59	9681,6873			

Tabla 1202A. Analysis of Variance Oneway Anova, stem dry weight (mg) of *Lycopersicon esculentum* Mill, Days 14, ascorbic acid, 5 mS of electrical conductivity, *in vivo*

Source	DF	Sum of Squares	Mean Square	F Ratio	Prob > F
Tratamientos	2	3224,3613	1612,18	133,6996	<,0001*
Error	57	687,3194	12,06		
C. Total	59	3911,6807			

Tabla 1203A. Analysis of Variance Oneway Anova, stem dry weight (mg) of *Lycopersicon esculentum* Mill, Days 28, ascorbic acid, 5 mS of electrical conductivity, *in vivo*

Source	DF	Sum of Squares	Mean Square	F Ratio	Prob > F
Tratamientos	2	7409,647	3704,82	19,1384	<,0001*
Error	57	11034,107	193,58		
C. Total	59	18443,754			

Tabla 1204A. Analysis of Variance Oneway Anova, stem roots weight (mg) of *Lycopersicon esculentum* Mill, Days 14, ascorbic acid, 5 mS of electrical conductivity, *in vivo*

Source	DF	Sum of Squares	Mean Square	F Ratio	Prob > F
Tratamientos	2	646,86533	323,433	155,4414	<,0001*
Error	57	118,60200	2,081		
C. Total	59	765,46733			

Tabla 1205A. Analysis of Variance Oneway Anova, stem roots weight (mg) of *Lycopersicon esculentum* Mill, Days 14, ascorbic acid, 5 mS of electrical conductivity, *in vivo*

Source	DF	Sum of Squares	Mean Square	F Ratio	Prob > F
Tratamientos	2	1268,9443	634,472	4,7316	0,0126*
Error	57	7643,2255	134,092		
C. Total	59	8912,1698			

Anexo 16. Análisis de la variancia Oneway ANOVA de las variables estudiadas por efecto del ácido ascórbico en berenjena cultivada *in vivo* en 0, 2,5 y 5 mS de salinidad.

Tabla 1206A. Analysis of Variance Oneway Anova on Length. Stem (mm) of *Solanum melongena* L, Days 7, ascorbic acid, 0 mS of electrical conductivity, *in vivo*

Source	DF	Sum of Squares	Mean Square	F Ratio	Prob > F
Tratamientos	2	3265,0333	1632,52	340,1698	<,0001*
Error	57	273,5500	4,80		
C. Total	59	3538,5833			

Tabla 1207A. Analysis of Variance Oneway Anova on Length. Stem (mm) of *Solanum melongena* L, Days 14, ascorbic acid, 0 mS of electrical conductivity, *in vivo*

Source	DF	Sum of Squares	Mean Square	F Ratio	Prob > F
Tratamientos	2	661,7333	330,867	9,0574	0,0004*
Error	57	2082,2000	36,530		
C. Total	59	2743,9333			

Tabla 1208A. Analysis of Variance Oneway Anova on Length. Stem (mm) of *Solanum melongena* L, Days 7, ascorbic acid, 0 mS of electrical conductivity, *in vivo*

Source	DF	Sum of Squares	Mean Square	F Ratio	Prob > F
Tratamientos	2	1028,9333	514,467	25,0199	<,0001*
Error	57	1172,0500	20,562		
C. Total	59	2200,9833			

Tabla 1209A. Analysis of Variance Oneway Anova on Length. Stem (mm) of *Solanum melongena* L, Days 7, ascorbic acid, 0 mS of electrical conductivity, *in vivo*

Source	DF	Sum of Squares	Mean Square	F Ratio	Prob > F
Tratamientos	2	4869,6333	2434,82	164,7197	<,0001*
Error	57	842,5500	14,78		
C. Total	59	5712,1833			

Tabla 1210A. Analysis of Variance Oneway Anova, Length roots of *Solanum melongena* L, Days 28, ascorbic acid, 0 mS of electrical conductivity, *in vivo*

Source	DF	Sum of Squares	Mean Square	F Ratio	Prob > F
Tratamientos	2	4072,4333	2036,22	115,3091	<,0001*
Error	57	1006,5500	17,66		
C. Total	59	5078,9833			

Tabla 1211A. Analysis of Variance Oneway Anova, Length roots of *Solanum melongena* L, Days 28, ascorbic acid, 0 mS of electrical conductivity, *in vivo*

Source	DF	Sum of Squares	Mean Square	F Ratio	Prob > F
Tratamientos	2	3036,9333	1518,47	141,2412	<,0001*
Error	57	612,8000	10,75		
C. Total	59	3649,7333			

Tabla 1212A. Analysis of Variance Oneway Anova, N° Leaves of *Solanum melongena* L, Days 7, ascorbic acid, 0 mS of electrical conductivity, *in vivo*

Source	DF	Sum of Squares	Mean Square	F Ratio	Prob > F
Tratamientos	2	0	0		
Error	57	0	0		
C. Total	59	0			

Tabla 1213A. Analysis of Variance Oneway Anova, N° Leaves of *Solanum melongena* L, Days 14, ascorbic acid, 0 mS of electrical conductivity, *in vivo*

Source	DF	Sum of Squares	Mean Square	F Ratio	Prob > F
Tratamientos	2	3,333333	1,66667	13,5714	<,0001*
Error	57	7,000000	0,12281		
C. Total	59	10,333333			

Tabla 1214A. Analysis of Variance Oneway Anova, N° Leaves of *Solanum melongena* L, Days 21, ascorbic acid, 0 mS of electrical conductivity, *in vivo*

Source	DF	Sum of Squares	Mean Square	F Ratio	Prob > F
Tratamientos	2	2,500000	1,25000	4,2537	0,0190*
Error	57	16,750000	0,29386		
C. Total	59	19,250000			

Tabla 1215A. Analysis of Variance Oneway Anova, N° Leaves of *Solanum melongena* L, Days 28, ascorbic acid, 0 mS of electrical conductivity, *in vivo*

Source	DF	Sum of Squares	Mean Square	F Ratio	Prob > F
Tratamientos	2	3,033333	1,51667	9,4481	0,0003*
Error	57	9,150000	0,16053		
C. Total	59	12,183333			

Tabla 1216A. Analysis of Variance Oneway Anova, Clorophyll (U. SPAD) of *Solanum melongena* L, Days 14, ascorbic acid, 0 mS of electrical conductivity, *in vivo*

Source	DF	Sum of Squares	Mean Square	F Ratio	Prob > F
Tratamientos	2	482,47500	241,237	198,2460	<,0001*
Error	57	69,36100	1,217		
C. Total	59	551,83600			

Tabla 1217A. Analysis of Variance Oneway Anova, Clorophyll (U. SPAD) of *Solanum melongena* L, Days 21, ascorbic acid, 0 mS of electrical conductivity, *in vivo*

Source	DF	Sum of Squares	Mean Square	F Ratio	Prob > F
Tratamientos	2	323,23733	161,619	125,9117	<,0001*
Error	57	73,16450	1,284		
C. Total	59	396,40183			

Tabla 1218A. Analysis of Variance Oneway Anova, Clorophyll (U. SPAD) of *Solanum melongena* L, Days 28, ascorbic acid, 0 mS of electrical conductivity, *in vivo*

Source	DF	Sum of Squares	Mean Square	F Ratio	Prob > F
Tratamientos	2	373,50433	186,752	65,9113	<,0001*
Error	57	161,50300	2,833		
C. Total	59	535,00733			

Tabla 1219A. Analysis of Variance Oneway Anova, leaf área (mm²) of *Solanum melongena* L, Days 14, ascorbic acid, 0 mS of electrical conductivity, *in vivo*

Source	DF	Sum of Squares	Mean Square	F Ratio	Prob > F
Tratamientos	2	2384848,4	1192424	30,3924	<,0001*
Error	57	2236357,7	39234		
C. Total	59	4621206,2			

Tabla 1220A. Analysis of Variance Oneway Anova, leaf área (mm²) of *Solanum melongena* L, Days 28, ascorbic acid, 0 mS of electrical conductivity, *in vivo*

Source	DF	Sum of Squares	Mean Square	F Ratio	Prob > F
Tratamientos	2	21023556	10511778	64,2846	<,0001*
Error	57	9320605	163519,38		
C. Total	59	30344161			

Tabla 1221A. Analysis of Variance Oneway Anova, leaf fresh weight (mg) of *Solanum melongena* L, Days 28, ascorbic acid, 0 mS of electrical conductivity, *in vivo*

Source	DF	Sum of Squares	Mean Square	F Ratio	Prob > F
Tratamientos	2	248028,89	124014	142,9508	<,0001*
Error	57	49449,36	868		
C. Total	59	297478,25			

Tabla 1222A. Analysis of Variance Oneway Anova, stem fresh weight (mg) of *Solanum melongena* L, Days 14 ascorbic acid, 0 mS of electrical conductivity, *in vivo*

Source	DF	Sum of Squares	Mean Square	F Ratio	Prob > F
Tratamientos	2	75327,55	37663,8	76,4212	<,0001*
Error	57	28092,15	492,8		
C. Total	59	103419,70			

Tabla 1223A. Analysis of Variance Oneway Anova, stem fresh weight (mg) of *Solanum melongena* L, Days 28, ascorbic acid, 0 mS of electrical conductivity, *in vivo*

Source	DF	Sum of Squares	Mean Square	F Ratio	Prob > F
Tratamientos	2	130313,20	65156,6	156,0435	<,0001*
Error	57	23800,59	417,6		
C. Total	59	154113,79			

Tabla 1224A. Analysis of Variance Oneway Anova, roots fresh weight (mg) of *Solanum melongena* L, Days 14, ascorbic acid, 0 mS of electrical conductivity, *in vivo*

Source	DF	Sum of Squares	Mean Square	F Ratio	Prob > F
Tratamientos	2	31506,465	15753,2	164,5278	<,0001*
Error	57	5457,644	95,7		
C. Total	59	36964,109			

Tabla 1225A. Analysis of Variance Oneway Anova, roots fresh weight (mg) of *Solanum melongena* L, Days 28, ascorbic acid, 0 mS of electrical conductivity, *in vivo*

Source	DF	Sum of Squares	Mean Square	F Ratio	Prob > F
Tratamientos	2	218193,96	109097	197,1583	<,0001*
Error	57	31540,79	553		
C. Total	59	249734,75			

Tabla 1226A. Analysis of Variance Oneway Anova, leaf dry weight (mg) of *Solanum melongena* L, Days 14, ascorbic acid, 0 mS of electrical conductivity, *in vivo*

Source	DF	Sum of Squares	Mean Square	F Ratio	Prob > F
Tratamientos	2	2142,8010	1071,40	14,6743	<,0001*
Error	57	4161,6750	73,01		
C. Total	59	6304,4760			

Tabla 1227A. Analysis of Variance Oneway Anova, stem dry weight (mg) of *Solanum melongena* L, Days 14, ascorbic acid, 0 mS of electrical conductivity, *in vivo*

Source	DF	Sum of Squares	Mean Square	F Ratio	Prob > F
Tratamientos	2	2927,0803	1463,54	32,2357	<,0001*
Error	57	2587,8695	45,40		
C. Total	59	5514,9498			

Tabla 1228A. Analysis of Variance Oneway Anova, stem dry weight (mg) of *Solanum melongena* L, Days 28, ascorbic acid, 0 mS of electrical conductivity, *in vivo*

Source	DF	Sum of Squares	Mean Square	F Ratio	Prob > F
Tratamientos	2	1730,5480	865,274	40,0388	<,0001*
Error	57	1231,8205	21,611		
C. Total	59	2962,3685			

Tabla 1229A. Analysis of Variance Oneway Anova, roots dry weight (mg) of *Solanum melongena* L, Days 14, ascorbic acid, 0 mS of electrical conductivity, *in vivo*

Source	DF	Sum of Squares	Mean Square	F Ratio	Prob > F
Tratamientos	2	279,7743	139,887	6,9742	0,0020*
Error	57	1143,2915	20,058		
C. Total	59	1423,0658			

Tabla 1230A. Analysis of Variance Oneway Anova, roots dry weight (mg) of *Solanum melongena* L, Days 28, ascorbic acid, 0 mS of electrical conductivity, *in vivo*

Source	DF	Sum of Squares	Mean Square	F Ratio	Prob > F
Tratamientos	2	1977,8165	988,908	28,6190	<,0001*
Error	57	1969,5912	34,554		
C. Total	59	3947,4077			

Tabla 1231A. Analysis of Variance Oneway Anova on Length. Stem (mm) of *Solanum melongena* L, Days 7, ascorbic acid, 2,5 mS of electrical conductivity, *in vivo*

Source	DF	Sum of Squares	Mean Square	F Ratio	Prob > F
Tratamientos	2	2865,7333	1432,87	103,3056	<,0001*
Error	57	790,6000	13,87		
C. Total	59	3656,3333			

Tabla 1232A. Analysis of Variance Oneway Anova on Length. Stem (mm) of *Solanum melongena* L, Days 14, ascorbic acid, 2,5 mS of electrical conductivity, *in vivo*

Source	DF	Sum of Squares	Mean Square	F Ratio	Prob > F
Tratamientos	2	546,4333	273,217	9,2374	0,0003*
Error	57	1685,9000	29,577		
C. Total	59	2232,3333			

Tabla 1233A. Analysis of Variance Oneway Anova on Length. Stem (mm) of *Solanum melongena* L, Days 21, ascorbic acid, 2,5 mS of electrical conductivity, *in vivo*

Source	DF	Sum of Squares	Mean Square	F Ratio	Prob > F
Tratamientos	2	1068,4333	534,217	38,9117	<,0001*
Error	57	782,5500	13,729		
C. Total	59	1850,9833			

Tabla 1234A. Analysis of Variance Oneway Anova on Length. Stem (mm) of *Solanum melongena* L, Days 28, ascorbic acid, 2,5 mS of electrical conductivity, *in vivo*

Source	DF	Sum of Squares	Mean Square	F Ratio	Prob > F
Tratamientos	2	5053,4333	2526,72	148,0574	<,0001*
Error	57	972,7500	17,07		
C. Total	59	6026,1833			

Tabla 1235A. Analysis of Variance Oneway Anova on Length roots (mm) of *Solanum melongena* L, Days 14, ascorbic acid, 2,5 mS of electrical conductivity, *in vivo*

Source	DF	Sum of Squares	Mean Square	F Ratio	Prob > F
Tratamientos	2	4072,4333	2036,22	115,3091	<,0001*
Error	57	1006,5500	17,66		
C. Total	59	5078,9833			

Tabla 1236A. Analysis of Variance Oneway Anova on Length roots (mm) of *Solanum melongena* L, Days 28, ascorbic acid, 2,5 mS of electrical conductivity, *in vivo*

Source	DF	Sum of Squares	Mean Square	F Ratio	Prob > F
Tratamientos	2	3036,9333	1518,47	141,2412	<,0001*
Error	57	612,8000	10,75		
C. Total	59	3649,7333			

Tabla 1237A. Analysis of Variance Oneway Anova, N° Leaves of *Solanum melongena* L, Days 7, ascorbic acid, 2,5 mS of electrical conductivity, *in vivo*

Source	DF	Sum of Squares	Mean Square	F Ratio	Prob > F
Tratamientos	2	0	0		
Error	57	0	0		
C. Total	59	0			

Tabla 1238A. Analysis of Variance Oneway Anova, N° Leaves of *Solanum melongena* L, Days 14, ascorbic acid, 2,5 mS of electrical conductivity, *in vivo*

Source	DF	Sum of Squares	Mean Square	F Ratio	Prob > F
Tratamientos	2	5,633333	2,81667	35,2857	<,0001*
Error	57	4,550000	0,07982		
C. Total	59	10,183333			

Tabla 1239A. Analysis of Variance Oneway Anova, N° Leaves of *Solanum melongena* L, Days 21, ascorbic acid, 2,5 mS of electrical conductivity, *in vivo*

Source	DF	Sum of Squares	Mean Square	F Ratio	Prob > F
Tratamientos	2	17,500000	8,75000	66,5000	<,0001*
Error	57	7,500000	0,13158		
C. Total	59	25,000000			

Tabla 1240A. Analysis of Variance Oneway Anova, N° Leaves of *Solanum melongena* L, Days 28, ascorbic acid, 2,5 mS of electrical conductivity, *in vivo*

Source	DF	Sum of Squares	Mean Square	F Ratio	Prob > F
Tratamientos	2	12,033333	6,01667	38,5337	<,0001*
Error	57	8,900000	0,15614		
C. Total	59	20,933333			

Tabla 1241A. Analysis of Variance Oneway Anova, Clorophyll (U. SPAD) of *Solanum melongena* L, Days 14, ascorbic acid, 2,5 mS of electrical conductivity, *in vivo*

Source	DF	Sum of Squares	Mean Square	F Ratio	Prob > F
Tratamientos	2	394,68633	197,343	105,0487	<,0001*
Error	57	107,07950	1,879		
C. Total	59	501,76583			

Tabla 1242A. Analysis of Variance Oneway Anova, Clorophyll (U. SPAD) of *Solanum melongena* L, Days 21, ascorbic acid, 2,5 mS of electrical conductivity, *in vivo*

Source	DF	Sum of Squares	Mean Square	F Ratio	Prob > F
Tratamientos	2	355,14533	177,573	118,4483	<,0001*
Error	57	85,45200	1,499		
C. Total	59	440,59733			

Tabla 1243A. Analysis of Variance Oneway Anova, Clorophyll (U. SPAD) of *Solanum melongena* L, Days 28, ascorbic acid, 2,5 mS of electrical conductivity, *in vivo*

Source	DF	Sum of Squares	Mean Square	F Ratio	Prob > F
Tratamientos	2	262,84900	131,424	60,1976	<,0001*
Error	57	124,44350	2,183		

Source	DF	Sum of Squares	Mean Square	F Ratio	Prob > F
C. Total	59	387,29250			

Tabla 1244A. Analysis of Variance Oneway Anova, leaf área (mm²) of *Solanum melongena* L, Days 14, ascorbic acid, 2,5 mS of electrical conductivity, *in vivo*

Source	DF	Sum of Squares	Mean Square	F Ratio	Prob > F
Tratamientos	2	2384848,4	1192424	30,3924	<,0001*
Error	57	2236357,7	39234		
C. Total	59	4621206,2			

Tabla 1245A. Analysis of Variance Oneway Anova, leaf área (mm²) of *Solanum melongena* L, Days 28, ascorbic acid, 2,5 mS of electrical conductivity, *in vivo*

Source	DF	Sum of Squares	Mean Square	F Ratio	Prob > F
Tratamientos	2	21023556	10511778	64,2846	<,0001*
Error	57	9320605	163519,38		
C. Total	59	30344161			

Tabla 1246A. Analysis of Variance Oneway Anova, leaf fresh weight (mg) of *Solanum melongena* L, Days 28, ascorbic acid, 2,5 mS of electrical conductivity, *in vivo*

Source	DF	Sum of Squares	Mean Square	F Ratio	Prob > F
Tratamientos	2	248028,89	124014	142,9508	<,0001*
Error	57	49449,36	868		
C. Total	59	297478,25			

Tabla 1247A. Analysis of Variance Oneway Anova, stem fresh weight (mg) of *Solanum melongena* L, Days 14, ascorbic acid, 2,5 mS of electrical conductivity, *in vivo*

Source	DF	Sum of Squares	Mean Square	F Ratio	Prob > F
Tratamientos	2	75327,55	37663,8	76,4212	<,0001*
Error	57	28092,15	492,8		
C. Total	59	103419,70			

Tabla 1248A. Analysis of Variance Oneway Anova, stem fresh weight (mg) of *Solanum melongena* L, Days 28, ascorbic acid, 2,5 mS of electrical conductivity, *in vivo*

Source	DF	Sum of Squares	Mean Square	F Ratio	Prob > F
Tratamientos	2	130313,20	65156,6	156,0435	<,0001*
Error	57	23800,59	417,6		
C. Total	59	154113,79			

Tabla 1249A. Analysis of Variance Oneway Anova, roots fresh weight (mg) of *Solanum melongena* L, Days 14, ascorbic acid, 2,5 mS of electrical conductivity, *in vivo*

Source	DF	Sum of Squares	Mean Square	F Ratio	Prob > F
Tratamientos	2	31506,465	15753,2	164,5278	<,0001*
Error	57	5457,644	95,7		
C. Total	59	36964,109			

Tabla 1250A. Analysis of Variance Oneway Anova, roots fresh weight (mg) of *Solanum melongena* L, Days 28, ascorbic acid, 2,5 mS of electrical conductivity, *in vivo*

Source	DF	Sum of Squares	Mean Square	F Ratio	Prob > F
Tratamientos	2	218193,96	109097	197,1583	<,0001*
Error	57	31540,79	553		
C. Total	59	249734,75			

Tabla 1251A. Analysis of Variance Oneway Anova, leaf dry weight (mg) of *Solanum melongena* L, Days 14, ascorbic acid, 2,5 mS of electrical conductivity, *in vivo*

Source	DF	Sum of Squares	Mean Square	F Ratio	Prob > F
Tratamientos	2	2142,8010	1071,40	14,6743	<,0001*

Source	DF	Sum of Squares	Mean Square	F Ratio	Prob > F
Error	57	4161,6750	73,01		
C. Total	59	6304,4760			

Tabla 1252A. Analysis of Variance Oneway Anova, stem dry weight (mg) of *Solanum melongena* L, Days 14, ascorbic acid, 2,5 mS of electrical conductivity, *in vivo*

Source	DF	Sum of Squares	Mean Square	F Ratio	Prob > F
Tratamientos	2	2927,0803	1463,54	32,2357	<,0001*
Error	57	2587,8695	45,40		
C. Total	59	5514,9498			

Tabla 1253A. Analysis of Variance Oneway Anova, stem dry weight (mg) of *Solanum melongena* L, Days 28, ascorbic acid, 2,5 mS of electrical conductivity, *in vivo*

Source	DF	Sum of Squares	Mean Square	F Ratio	Prob > F
Tratamientos	2	1730,5480	865,274	40,0388	<,0001*
Error	57	1231,8205	21,611		
C. Total	59	2962,3685			

Tabla 1254A. Analysis of Variance Oneway Anova, roots dry weight (mg) of *Solanum melongena* L, Days 14, ascorbic acid, 2,5 mS of electrical conductivity, *in vivo*

Source	DF	Sum of Squares	Mean Square	F Ratio	Prob > F
Tratamientos	2	279,7743	139,887	6,9742	0,0020*
Error	57	1143,2915	20,058		
C. Total	59	1423,0658			

Tabla 1255A. Analysis of Variance Oneway Anova, roots dry weight (mg) of *Solanum melongena* L, Days 28, ascorbic acid, 2,5 mS of electrical conductivity, *in vivo*

Source	DF	Sum of Squares	Mean Square	F Ratio	Prob > F
Tratamientos	2	1977,8165	988,908	28,6190	<,0001*
Error	57	1969,5912	34,554		
C. Total	59	3947,4077			

Tabla 1256A. Analysis of Variance Oneway Anova on Length. Stem (mm) of *Solanum melongena* L, Days 7, ascorbic acid, 5 mS of electrical conductivity, *in vivo*

Source	DF	Sum of Squares	Mean Square	F Ratio	Prob > F
Tratamientos	2	424,93333	212,467	24,0099	<,0001*
Error	57	504,40000	8,849		
C. Total	59	929,33333			

Tabla 1257A. Analysis of Variance Oneway Anova on Length. Stem (mm) of *Solanum melongena* L, Days 14, ascorbic acid, 5 mS of electrical conductivity, *in vivo*

Source	DF	Sum of Squares	Mean Square	F Ratio	Prob > F
Tratamientos	2	253,33333	126,667	10,0327	0,0002*
Error	57	719,65000	12,625		
C. Total	59	972,98333			

Tabla 1258A. Analysis of Variance Oneway Anova on Length. Stem (mm) of *Solanum melongena* L, Days 14, ascorbic acid, 5 mS of electrical conductivity, *in vivo*

Source	DF	Sum of Squares	Mean Square	F Ratio	Prob > F
Tratamientos	2	1384,0333	692,017	40,5854	<,0001*
Error	57	971,9000	17,051		
C. Total	59	2355,9333			

Tabla 1259A. Analysis of Variance Oneway Anova on Length. Stem (mm) of *Solanum melongena* L, Days 14, ascorbic acid, 5 mS of electrical conductivity, *in vivo*

Source	DF	Sum of Squares	Mean Square	F Ratio	Prob > F
Tratamientos	2	4956,7000	2478,35	125,5363	<,0001*
Error	57	1125,3000	19,74		
C. Total	59	6082,0000			

Tabla 1260A. Analysis of Variance Oneway Anova, N° Leaves of *Solanum melongena* L, Days 7, ascorbic acid, 5 mS of electrical conductivity, *in vivo*

Source	DF	Sum of Squares	Mean Square	F Ratio	Prob > F
Tratamientos	2	0	0		
Error	57	0	0		
C. Total	59	0			

Tabla 1261A. Analysis of Variance Oneway Anova, N° Leaves of *Solanum melongena* L, Days 14, ascorbic acid, 5 mS of electrical conductivity, *in vivo*

Source	DF	Sum of Squares	Mean Square	F Ratio	Prob > F
Tratamientos	2	8,633333	4,31667	39,0556	<,0001*
Error	57	6,300000	0,11053		
C. Total	59	14,933333			

Tabla 1262A. Analysis of Variance Oneway Anova, N° Leaves of *Solanum melongena* L, Days 21, ascorbic acid, 5 mS of electrical conductivity, *in vivo*

Source	DF	Sum of Squares	Mean Square	F Ratio	Prob > F
Tratamientos	2	19,300000	9,65000	39,4301	<,0001*
Error	57	13,950000	0,24474		
C. Total	59	33,250000			

Tabla 1263A. Analysis of Variance Oneway Anova, N° Leaves of *Solanum melongena* L, Days 24, ascorbic acid, 5 mS of electrical conductivity, *in vivo*

Source	DF	Sum of Squares	Mean Square	F Ratio	Prob > F
Tratamientos	2	16,533333	8,26667	90,6154	<,0001*
Error	57	5,200000	0,09123		
C. Total	59	21,733333			

Tabla 1264A. Analysis of Variance Oneway Anova, Clorophyll (U. SPAD) of *Solanum melongena* L, Days 14, ascorbic acid, 5 mS of electrical conductivity, *in vivo*

Source	DF	Sum of Squares	Mean Square	F Ratio	Prob > F
Tratamientos	2	345,38800	172,694	72,3469	<,0001*
Error	57	136,06050	2,387		
C. Total	59	481,44850			

Tabla 1265A. Analysis of Variance Oneway Anova, Clorophyll (U. SPAD) of *Solanum melongena* L, Days 21, ascorbic acid, 5 mS of electrical conductivity, *in vivo*

Source	DF	Sum of Squares	Mean Square	F Ratio	Prob > F
Tratamientos	2	349,20100	174,601	200,1192	<,0001*
Error	57	49,73150	0,872		
C. Total	59	398,93250			

Tabla 1266A. Analysis of Variance Oneway Anova, Clorophyll (U. SPAD) of *Solanum melongena* L, Days 28, ascorbic acid, 5 mS of electrical conductivity, *in vivo*

Source	DF	Sum of Squares	Mean Square	F Ratio	Prob > F
Tratamientos	2	297,84133	148,921	87,2241	<,0001*
Error	57	97,31800	1,707		
C. Total	59	395,15933			

Tabla 1267A. Analysis of Variance Oneway Anova on Length roots (mm) of *Solanum melongena* L, Days 14, ascorbic acid, 5 mS of electrical conductivity, *in vivo*

Source	DF	Sum of Squares	Mean Square	F Ratio	Prob > F
Tratamientos	2	3906,9000	1953,45	99,1952	<,0001*
Error	57	1122,5000	19,69		
C. Total	59	5029,4000			

Tabla 1268A. Analysis of Variance Oneway Anova on Length roots (mm) of *Solanum melongena* L, Days 28, ascorbic acid, 5 mS of electrical conductivity, *in vivo*

Source	DF	Sum of Squares	Mean Square	F Ratio	Prob > F
Tratamientos	2	3659,2000	1829,60	101,4812	<,0001*
Error	57	1027,6500	18,03		
C. Total	59	4686,8500			

Tabla 1269A. Analysis of Variance Oneway Anova, leaf área (mm²) of *Solanum melongena* L, Days 14, ascorbic acid, 5 mS of electrical conductivity, *in vivo*

Source	DF	Sum of Squares	Mean Square	F Ratio	Prob > F
Tratamientos	2	4701325,2	2350663	110,2305	<,0001*
Error	57	1215524,1	21325		
C. Total	59	5916849,3			

Tabla 1270A. Analysis of Variance Oneway Anova, leaf área (mm²) of *Solanum melongena* L, Days 28, ascorbic acid, 5 mS of electrical conductivity, *in vivo*

Source	DF	Sum of Squares	Mean Square	F Ratio	Prob > F
Tratamientos	2	27460409	13730205	156,4891	<,0001*
Error	57	5001125	87739,042		
C. Total	59	32461535			

Tabla 1271A. Analysis of Variance Oneway Anova, leaf fresh weight (mg) of *Solanum melongena* L, Days 14, ascorbic acid, 5 mS of electrical conductivity, *in vivo*

Source	DF	Sum of Squares	Mean Square	F Ratio	Prob > F
Tratamientos	2	150407,24	75203,6	142,5703	<,0001*
Error	57	30066,62	527,5		
C. Total	59	180473,85			

Tabla 1272A. Analysis of Variance Oneway Anova, leaf fresh weight (mg) of *Solanum melongena* L, Days 28, ascorbic acid, 5 mS of electrical conductivity, *in vivo*

Source	DF	Sum of Squares	Mean Square	F Ratio	Prob > F
Tratamientos	2	423468,31	211734	189,1003	<,0001*
Error	57	63822,46	1120		
C. Total	59	487290,76			

Tabla 1273A. Analysis of Variance Oneway Anova, stem fresh weight (mg) of *Solanum melongena* L, Days 14, ascorbic acid, 5 mS of electrical conductivity, *in vivo*

Source	DF	Sum of Squares	Mean Square	F Ratio	Prob > F
Tratamientos	2	24311,489	12155,7	119,2681	<,0001*
Error	57	5809,410	101,9		
C. Total	59	30120,899			

Tabla 1274 A. Analysis of Variance Oneway Anova, stem fresh weight (mg) of *Solanum melongena* L, Days 28, ascorbic acid, 5 mS of electrical conductivity, *in vivo*

Source	DF	Sum of Squares	Mean Square	F Ratio	Prob > F
Tratamientos	2	153480,58	76740,3	301,7376	<,0001*
Error	57	14496,69	254,3		
C. Total	59	167977,27			

Tabla 1275A. Analysis of Variance Oneway Anova, roots fresh weight (mg) of *Solanum melongena* L, Days 14, ascorbic acid, 5 mS of electrical conductivity, *in vivo*

Source	DF	Sum of Squares	Mean Square	F Ratio	Prob > F
Tratamientos	2	12098,117	6049,06	80,8895	<,0001*
Error	57	4262,560	74,78		
C. Total	59	16360,677			

Tabla 1276A. Analysis of Variance Oneway Anova, roots fresh weight (mg) of *Solanum melongena* L, Days 28, ascorbic acid, 5 mS of electrical conductivity, *in vivo*

Source	DF	Sum of Squares	Mean Square	F Ratio	Prob > F
Tratamientos	2	141613,17	70806,6	62,9945	<,0001*
Error	57	64068,65	1124,0		
C. Total	59	205681,82			

Tabla 1277A. Analysis of Variance Oneway Anova, leaf dry weight (mg) of *Solanum melongena* L, Days 14, ascorbic acid, 5 mS of electrical conductivity, *in vivo*

Source	DF	Sum of Squares	Mean Square	F Ratio	Prob > F
Tratamientos	2	1703,1070	851,554	8,5246	0,0006*
Error	57	5693,9415	99,894		
C. Total	59	7397,0485			

Tabla 1278A. Analysis of Variance Oneway Anova, leaf dry weight (mg) of *Solanum melongena* L, Days 28, ascorbic acid, 5 mS of electrical conductivity, *in vivo*

Source	DF	Sum of Squares	Mean Square	F Ratio	Prob > F
Tratamientos	2	1640,1751	820,088	10,3286	0,0001*
Error	57	4525,7708	79,399		
C. Total	59	6165,9458			

Tabla 1279A. Analysis of Variance Oneway Anova, stem dry weight (mg) of *Solanum melongena* L, Days 14, ascorbic acid, 5 mS of electrical conductivity, *in vivo*

Source	DF	Sum of Squares	Mean Square	F Ratio	Prob > F
Tratamientos	2	2509,5373	1254,77	69,3191	<,0001*
Error	57	1031,7760	18,10		
C. Total	59	3541,3133			

Tabla 1280A. Analysis of Variance Oneway Anova, stem dry weight (mg) of *Solanum melongena* L, Days 28, ascorbic acid, 5 mS of electrical conductivity, *in vivo*

Source	DF	Sum of Squares	Mean Square	F Ratio	Prob > F
Tratamientos	2	621,0750	310,537	13,6505	<,0001*
Error	57	1296,7010	22,749		
C. Total	59	1917,7760			

Tabla 1281A. Analysis of Variance Oneway Anova, roots dry weight (mg) of *Solanum melongena* L, Days 14, ascorbic acid, 5 mS of electrical conductivity, *in vivo*

Source	DF	Sum of Squares	Mean Square	F Ratio	Prob > F
Tratamientos	2	80,4573	40,2287	2,4360	0,0966
Error	57	941,3100	16,5142		
C. Total	59	1021,7673			

Tabla 1282A. Analysis of Variance Oneway Anova, roots dry weight (mg) of *Solanum melongena* L, Days 28, ascorbic acid, 5 mS of electrical conductivity, *in vivo*

Source	DF	Sum of Squares	Mean Square	F Ratio	Prob > F
Tratamientos	2	1565,7773	782,889	28,3516	<,0001*
Error	57	1573,9720	27,614		
C. Total	59	3139,7493			

Anexo 17. Análisis de la variancia Oneway ANOVA de las variables estudiadas por efecto del ácido ascórbico en rábano cultivada *in vivo* en 0, 2,5 y 5 mS de salinidad.

Tabla 1283A. Analysis of Variance Oneway Anova on Length. Stem (mm) of *Raphanus sativus* L, Days 7, ascorbic acid, 0 mS of electrical conductivity, *in vivo*

Source	DF	Sum of Squares	Mean Square	F Ratio	Prob > F
Treatments	2	1633,9000	816,950	63,4632	<,0001*
Error	57	733,7500	12,873		
C. Total	59	2367,6500			

Tabla 1284A. Analysis of Variance Oneway Anova on Length. Stem (mm) of *Raphanus sativus* L, Days 14, ascorbic acid, 0 mS of electrical conductivity, *in vivo*

Source	DF	Sum of Squares	Mean Square	F Ratio	Prob > F
Treatments	2	1173,7333	586,867	47,7195	<,0001*
Error	57	701,0000	12,298		
C. Total	59	1874,7333			

Tabla 1285A. Analysis of Variance Oneway Anova on Length. Stem (mm) of *Raphanus sativus* L, Days 21, ascorbic acid, 0 mS of electrical conductivity, *in vivo*

Source	DF	Sum of Squares	Mean Square	F Ratio	Prob > F
Treatments	2	1093,6333	546,817	50,7177	<,0001*
Error	57	614,5500	10,782		
C. Total	59	1708,1833			

Tabla 1286A. Analysis of Variance Oneway Anova on Length. Stem (mm) of *Raphanus sativus* L, Days 28, ascorbic acid, 0 mS of electrical conductivity, *in vivo*

Source	DF	Sum of Squares	Mean Square	F Ratio	Prob > F
Treatments	2	5275,9000	2637,95	279,4335	<,0001*
Error	57	538,1000	9,44		
C. Total	59	5814,0000			

Tabla 1287A. Analysis of Variance Oneway Anova, N° Leaves of *Raphanus sativus* L, Days 7, ascorbic acid, 0 mS of electrical conductivity, *in vivo*

Source	DF	Sum of Squares	Mean Square	F Ratio	Prob > F
Treatments	2	0	0		
Error	57	0	0		
C. Total	59	0			

Tabla 1288A. Analysis of Variance Oneway Anova, N° Leaves of *Raphanus sativus* L, Days 14, ascorbic acid, 0 mS of electrical conductivity, *in vivo*

Source	DF	Sum of Squares	Mean Square	F Ratio	Prob > F
Treatments	2	13,333333	6,66667	17,5926	<,0001*
Error	57	21,600000	0,37895		
C. Total	59	34,933333			

Tabla 1289A. Analysis of Variance Oneway Anova, N° Leaves of *Raphanus sativus* L, Days 21, ascorbic acid, 0 mS of electrical conductivity, *in vivo*

Source	DF	Sum of Squares	Mean Square	F Ratio	Prob > F
Treatments	2	9,100000	4,55000	17,8247	<,0001*
Error	57	14,550000	0,25526		
C. Total	59	23,650000			

Tabla 1290 A. Analysis of Variance Oneway Anova, N° Leaves of *Raphanus sativus* L, Days 28, ascorbic acid, 0 mS of electrical conductivity, *in vivo*

Source	DF	Sum of Squares	Mean Square	F Ratio	Prob > F
Treatments	2	32,033333	16,0167	184,4343	<,0001*
Error	57	4,950000	0,0868		
C. Total	59	36,983333			

Tabla 1291A. Analysis of Variance Oneway Anova, Clorophyll (U. SPAD) of *Raphanus sativus* L, Days 7, ascorbic acid, 0 mS of electrical conductivity, *in vivo*

Source	DF	Sum of Squares	Mean Square	F Ratio	Prob > F
Treatments	2	141,57433	70,7872	14,5512	<,0001*
Error	57	277,28750	4,8647		
C. Total	59	418,86183			

Tabla 1292A. Analysis of Variance Oneway Anova, Clorophyll (U. SPAD) of *Raphanus sativus* L, Days 14, ascorbic acid, 0 mS of electrical conductivity, *in vivo*

Source	DF	Sum of Squares	Mean Square	F Ratio	Prob > F
Treatments	2	290,7130	145,356	11,4327	<,0001*
Error	57	724,7010	12,714		
C. Total	59	1015,4140			

Tabla 1293A. Analysis of Variance Oneway Anova, Clorophyll (U. SPAD) of *Raphanus sativus* L, Days 28, ascorbic acid, 0 mS of electrical conductivity, *in vivo*

Source	DF	Sum of Squares	Mean Square	F Ratio	Prob > F
Treatments	2	87,97233	43,9862	11,0778	<,0001*
Error	57	226,32700	3,9706		
C. Total	59	314,29933			

Tabla 1294A. Analysis of Variance Oneway Anova on Length roots (mm) of *Raphanus sativus* L, Days 14, ascorbic acid, 0 mS of electrical conductivity, *in vivo*

Source	DF	Sum of Squares	Mean Square	F Ratio	Prob > F
Tratamientos	2	958,9000	479,450	32,7015	<,0001*
Error	57	835,7000	14,661		
C. Total	59	1794,6000			

Tabla 1295A. Analysis of Variance Oneway Anova on Length roots (mm) of *Raphanus sativus* L, Days 28, ascorbic acid, 0 mS of electrical conductivity, *in vivo*

Source	DF	Sum of Squares	Mean Square	F Ratio	Prob > F
Tratamientos	2	9115,233	4557,62	201,5862	<,0001*
Error	57	1288,700	22,61		
C. Total	59	10403,933			

Tabla 1296A. Analysis of Variance Oneway Anova, leaf área (mm²) of *Solanum melongena* L, Days 14, ascorbic acid, 0 mS of electrical conductivity, *in vivo*

Source	DF	Sum of Squares	Mean Square	F Ratio	Prob > F
Tratamientos	2	2415802,2	1207901	230,9578	<,0001*
Error	57	298108,0	5230		
C. Total	59	2713910,2			

Tabla 1297A. Analysis of Variance Oneway Anova, leaf área (mm²) of *Solanum melongena* L, Days 28, ascorbic acid, 0 mS of electrical conductivity, *in vivo*

Source	DF	Sum of Squares	Mean Square	F Ratio	Prob > F
Tratamientos	2	22490127	11245063	164,6133	<,0001*
Error	57	3893783	68311,986		
C. Total	59	26383910			

Tabla 1298A. Analysis of Variance Oneway Anova, fresh weight leaf (mg) *Raphanus sativus* L, Days 14, ascorbic acid, 0 mS of electrical conductivity, *in vivo*

Source	DF	Sum of Squares	Mean Square	F Ratio	Prob > F
Tratamientos	2	58300,069	29150,0	68,6738	<,0001*
Error	57	24194,838	424,5		
C. Total	59	82494,907			

Tabla 1299A. Analysis of Variance Oneway Anova, fresh weight leaf (mg) *Raphanus sativus* L, Days 28, ascorbic acid, 0 mS of electrical conductivity, *in vivo*

Source	DF	Sum of Squares	Mean Square	F Ratio	Prob > F
Tratamientos	2	1116351,5	558176	723,3544	<,0001*
Error	57	43984,0	772		
C. Total	59	1160335,5			

Tabla 1300A. Analysis of Variance Oneway Anova, fresh weight stem (mg) *Raphanus sativus* L, Days 14, ascorbic acid, 0 mS of electrical conductivity, *in vivo*

Source	DF	Sum of Squares	Mean Square	F Ratio	Prob > F
Tratamientos	2	14291,521	7145,76	78,0799	<,0001*
Error	57	5216,556	91,52		
C. Total	59	19508,077			

Tabla 1301A. Analysis of Variance Oneway Anova, fresh weight stem (mg) *Raphanus sativus* L, Days 28, ascorbic acid, 0 mS of electrical conductivity, *in vivo*

Source	DF	Sum of Squares	Mean Square	F Ratio	Prob > F
Tratamientos	2	62356,10	31178,0	40,0094	<,0001*
Error	57	44418,33	779,3		
C. Total	59	106774,43			

Tabla 1302A. Analysis of Variance Oneway Anova, fresh weight roots (mg) *Raphanus sativus* L, Days 14, ascorbic acid, 0 mS of electrical conductivity, *in vivo*

Source	DF	Sum of Squares	Mean Square	F Ratio	Prob > F
Tratamientos	2	3213,2093	1606,60	69,2296	<,0001*
Error	57	1322,7940	23,21		
C. Total	59	4536,0033			

Tabla 1303A. Analysis of Variance Oneway Anova, fresh weight roots (mg) *Raphanus sativus* L, Days 28, ascorbic acid, 0 mS of electrical conductivity, *in vivo*

Source	DF	Sum of Squares	Mean Square	F Ratio	Prob > F
Tratamientos	2	231137,56	115569	89,2453	<,0001*
Error	57	73812,48	1295		
C. Total	59	304950,04			

Tabla 1304A. Analysis of Variance Oneway Anova, leaf dry weight (mg) *Raphanus sativus* L, Days 28, ascorbic acid, 0 mS of electrical conductivity, *in vivo*

Source	DF	Sum of Squares	Mean Square	F Ratio	Prob > F
Tratamientos	2	963,4840	481,742	26,2137	<,0001*
Error	57	1047,5160	18,377		
C. Total	59	2011,0000			

Tabla 1305A. Analysis of Variance Oneway Anova, leaf dry weight (mg) *Raphanus sativus* L, Days 28, ascorbic acid, 0 mS of electrical conductivity, *in vivo*

Source	DF	Sum of Squares	Mean Square	F Ratio	Prob > F
Tratamientos	2	14396,961	7198,48	88,0211	<,0001*
Error	57	4661,533	81,78		
C. Total	59	19058,494			

Tabla 1306A. Analysis of Variance Oneway Anova, stem dry weight (mg) *Raphanus sativus* L, Days 14, ascorbic acid, 0 mS of electrical conductivity, *in vivo*

Source	DF	Sum of Squares	Mean Square	F Ratio	Prob > F
Tratamientos	2	646,4813	323,241	33,0029	<,0001*
Error	57	558,2760	9,794		
C. Total	59	1204,7573			

Tabla 1307A. Analysis of Variance Oneway Anova, stem dry weight (mg) of *Raphanus sativus* L, Days 14, ascorbic acid, 0 mS of electrical conductivity, *in vivo*

Source	DF	Sum of Squares	Mean Square	F Ratio	Prob > F
Tratamientos	2	1371,2290	685,614	9,4419	0,0003*
Error	57	4139,0195	72,614		
C. Total	59	5510,2485			

Tabla 1308A. Analysis of Variance Oneway Anova, roots dry weight (mg) of *Raphanus sativus* L, Days 14, ascorbic acid, 0 mS of electrical conductivity, *in vivo*

Source	DF	Sum of Squares	Mean Square	F Ratio	Prob > F
Tratamientos	2	97,33733	48,6687	10,6479	0,0001*
Error	57	260,53200	4,5707		
C. Total	59	357,86933			

Tabla 1309A. Analysis of Variance Oneway Anova, roots dry weight (mg) of *Raphanus sativus* L, Days 28, ascorbic acid, 0 mS of electrical conductivity, *in vivo*

Source	DF	Sum of Squares	Mean Square	F Ratio	Prob > F
Tratamientos	2	2711,9413	1355,97	35,3647	<,0001*
Error	57	2185,5205	38,34		
C. Total	59	4897,4618			

Tabla 1310A. Analysis of Variance Oneway Anova, Length stem (mm) of *Raphanus sativus* L, Days 7, ascorbic acid, 5 mS of electrical conductivity, *in vivo*

Source	DF	Sum of Squares	Mean Square	F Ratio	Prob > F
Treatments	2	601,3000	300,650	16,4195	<,0001*
Error	57	1043,7000	18,311		
C. Total	59	1645,0000			

Tabla 1311A. Analysis of Variance Oneway Anova, Length stem (mm) of *Raphanus sativus* L, Days 14, ascorbic acid, 5 mS of electrical conductivity, *in vivo*

Source	DF	Sum of Squares	Mean Square	F Ratio	Prob > F
Treatments	2	771,6333	385,817	40,9870	<,0001*
Error	57	536,5500	9,413		
C. Total	59	1308,1833			

Tabla 1312A. Analysis of Variance Oneway Anova, Length stem (mm) of *Raphanus sativus* L, Days 21, ascorbic acid, 5 mS of electrical conductivity, *in vivo*

Source	DF	Sum of Squares	Mean Square	F Ratio	Prob > F
Treatments	2	1113,2333	556,617	53,7976	<,0001*
Error	57	589,7500	10,346		
C. Total	59	1702,9833			

Tabla 1313A. Analysis of Variance Oneway Anova, Length stem (mm) of *Raphanus sativus* L, Days 28, ascorbic acid, 5 mS of electrical conductivity, *in vivo*

Source	DF	Sum of Squares	Mean Square	F Ratio	Prob > F
Treatments	2	3406,9000	1703,45	96,2783	<,0001*
Error	57	1008,5000	17,69		
C. Total	59	4415,4000			

Tabla 1314A. Analysis of Variance Oneway Anova, Length. Roots (mm) of *Raphanus sativus* L, Days 14, ascorbic acid, 5 mS of electrical conductivity, *in vivo*

Source	DF	Sum of Squares	Mean Square	F Ratio	Prob > F
Tratamientos	2	252,4000	126,200	2,3071	0,1088
Error	57	3118,0000	54,702		
C. Total	59	3370,4000			

Tabla 1315A. A. Analysis of Variance Oneway Anova, Length. Roots (mm) of *Raphanus sativus* L, Days 28, ascorbic acid, 5 mS of electrical conductivity, *in vivo*

Source	DF	Sum of Squares	Mean Square	F Ratio	Prob > F
Tratamientos	2	6754,5333	3377,27	435,7270	<,0001*
Error	57	441,8000	7,75		
C. Total	59	7196,3333			

Tabla 1316A. Analysis of Variance Oneway Anova, N° Leaves of *Raphanus sativus* L, Days 7, ascorbic acid, 5 mS of electrical conductivity, *in vivo*

Source	DF	Sum of Squares	Mean Square	F Ratio	Prob > F
Treatments	2	0	0	.	.
Error	57	0	0		
C. Total	59	0			

Tabla 1317A. Analysis of Variance Oneway Anova, N° Leaves of *Raphanus sativus* L, Days 14, ascorbic acid, 5 mS of electrical conductivity, *in vivo*

Source	DF	Sum of Squares	Mean Square	F Ratio	Prob > F
Treatments	2	12,033333	6,01667	15,3789	<,0001*
Error	57	22,300000	0,39123		
C. Total	59	34,333333			

Tabla 1318A. Analysis of Variance Oneway Anova, N° Leaves of *Raphanus sativus* L, Days 21, ascorbic acid, 5 mS of electrical conductivity, *in vivo*

Source	DF	Sum of Squares	Mean Square	F Ratio	Prob > F
Treatments	2	12,900000	6,45000	29,7692	<,0001*
Error	57	12,350000	0,21667		
C. Total	59	25,250000			

Tabla 1319A. Analysis of Variance Oneway Anova, N° Leaves of *Raphanus sativus* L, Days 7, ascorbic acid, 5 mS of electrical conductivity, *in vivo*

Source	DF	Sum of Squares	Mean Square	F Ratio	Prob > F
Treatments	2	16,133333	8,06667	255,4444	<,0001*
Error	57	1,800000	0,03158		
C. Total	59	17,933333			

Tabla 1320A. Analysis of Variance Oneway Anova, Clorophyll (U. SPAD) of *Raphanus sativus* L, Days 14, ascorbic acid, 5 mS of electrical conductivity, *in vivo*

Source	DF	Sum of Squares	Mean Square	F Ratio	Prob > F
Treatments	2	546,06633	273,033	67,6767	<,0001*
Error	57	229,95950	4,034		
C. Total	59	776,02583			

Tabla 1321A. Analysis of Variance Oneway Anova, Clorophyll (U. SPAD) of *Raphanus sativus* L, Days 21, ascorbic acid, 5 mS of electrical conductivity, *in vivo*

Source	DF	Sum of Squares	Mean Square	F Ratio	Prob > F
Treatments	2	150,03300	75,0165	24,4039	<,0001*
Error	57	175,21550	3,0740		
C. Total	59	325,24850			

Tabla 1322A. Analysis of Variance Oneway Anova, Clorophyll (U. SPAD) of *Raphanus sativus* L, Days 28, ascorbic acid, 5 mS of electrical conductivity, *in vivo*

Source	DF	Sum of Squares	Mean Square	F Ratio	Prob > F
Treatments	2	188,75833	94,3792	24,8781	<,0001*
Error	57	216,23900	3,7937		
C. Total	59	404,99733			

Tabla 1323A. Analysis of Variance Oneway Anova, Leaf area (mm²) of *Raphanus sativus* L, Days 14, ascorbic acid, 5 mS of electrical conductivity, *in vivo*

Source	DF	Sum of Squares	Mean Square	F Ratio	Prob > F
Tratamientos	2	1096031,0	548016	407,2651	<,0001*
Error	57	76699,2	1346		
C. Total	59	1172730,2			

Tabla 1324A. Analysis of Variance Oneway Anova, Leaf area (mm²) of *Raphanus sativus* L, Days 28, ascorbic acid, 5 mS of electrical conductivity, *in vivo*

Source	DF	Sum of Squares	Mean Square	F Ratio	Prob > F
Tratamientos	2	6978273,7	3489137	102,8440	<,0001*
Error	57	1933811,3	33927		
C. Total	59	8912085,0			

Tabla 1325A. Analysis of Variance Oneway Anova, fresh weight leaf (mg) *Raphanus sativus* L, Days 14, ascorbic acid, 5 mS of electrical conductivity, *in vivo*

Source	DF	Sum of Squares	Mean Square	F Ratio	Prob > F
Tratamientos	2	126880,93	63440,5	291,6850	<,0001*
Error	57	12397,30	217,5		
C. Total	59	139278,23			

Tabla 1326A. Analysis of Variance Oneway Anova, fresh weight leaf (mg) *Raphanus sativus* L, Days 28, ascorbic acid, 5 mS of electrical conductivity, *in vivo*

Source	DF	Sum of Squares	Mean Square	F Ratio	Prob > F
Tratamientos	2	170793,85	85396,9	38,1050	<,0001*
Error	57	127742,47	2241,1		
C. Total	59	298536,32			

Tabla 1327A. Analysis of Variance Oneway Anova, stem fresh weight (mg) *Raphanus sativus* L, Days 14, ascorbic acid, 5 mS of electrical conductivity, *in vivo*

Source	DF	Sum of Squares	Mean Square	F Ratio	Prob > F
Tratamientos	2	17425,728	8712,86	92,1718	<,0001*
Error	57	5388,128	94,53		
C. Total	59	22813,856			

Tabla 1328A. Analysis of Variance Oneway Anova, stem fresh weight (mg) *Raphanus sativus* L, Days 28, ascorbic acid, 5 mS of electrical conductivity, *in vivo*

Source	DF	Sum of Squares	Mean Square	F Ratio	Prob > F
Tratamientos	2	10546,814	5273,41	20,1916	<,0001*
Error	57	14886,573	261,17		
C. Total	59	25433,387			

Tabla 1329A. Analysis of Variance Oneway Anova, roots fresh weight (mg) *Raphanus sativus* L, Days 14, ascorbic acid, 5 mS of electrical conductivity, *in vivo*

Source	DF	Sum of Squares	Mean Square	F Ratio	Prob > F
Tratamientos	2	3417,4920	1708,75	215,9785	<,0001*
Error	57	450,9640	7,91		
C. Total	59	3868,4560			

Tabla 1330A. Analysis of Variance Oneway Anova, roots fresh weight (mg) *Raphanus sativus* L, Days 28, ascorbic acid, 5 mS of electrical conductivity, *in vivo*

Source	DF	Sum of Squares	Mean Square	F Ratio	Prob > F
Tratamientos	2	107820,50	53910,2	86,1213	<,0001*
Error	57	35680,88	626,0		
C. Total	59	143501,38			

Tabla 1331A. Analysis of Variance Oneway Anova, leaf dry weight (mg) *Raphanus sativus* L, Days 14, ascorbic acid, 5 mS of electrical conductivity, *in vivo*

Source	DF	Sum of Squares	Mean Square	F Ratio	Prob > F
Tratamientos	2	1421,4413	710,721	58,6049	<,0001*
Error	57	691,2580	12,127		
C. Total	59	2112,6993			

Tabla 1332A. Analysis of Variance Oneway Anova, leaf dry weight (mg) *Raphanus sativus* L, Days 28, ascorbic acid, 5 mS of electrical conductivity, *in vivo*

Source	DF	Sum of Squares	Mean Square	F Ratio	Prob > F
Tratamientos	2	6269,550	3134,78	27,7978	<,0001*
Error	57	6427,932	112,77		
C. Total	59	12697,482			

Tabla 1333A. Analysis of Variance Oneway Anova, stem dry weight (mg) *Raphanus sativus* L, Days 14, ascorbic acid, 5 mS of electrical conductivity, *in vivo*

Source	DF	Sum of Squares	Mean Square	F Ratio	Prob > F
Tratamientos	2	241,68933	120,845	26,7586	<,0001*
Error	57	257,41800	4,516		
C. Total	59	499,10733			

Tabla 1334A. Analysis of Variance Oneway Anova, stem dry weight (mg) *Raphanus sativus* L, Days 28, ascorbic acid, 5 mS of electrical conductivity, *in vivo*

Source	DF	Sum of Squares	Mean Square	F Ratio	Prob > F
Tratamientos	2	1198,8730	599,436	35,4717	<,0001*
Error	57	963,2435	16,899		
C. Total	59	2162,1165			

Tabla 1335A. Analysis of Variance Oneway Anova, roots dry weight (mg) *Raphanus sativus* L, Days 14, ascorbic acid, 5 mS of electrical conductivity, *in vivo*

Source	DF	Sum of Squares	Mean Square	F Ratio	Prob > F
Tratamientos	2	147,1773	73,5887	4,2784	0,0186*
Error	57	980,3960	17,1999		
C. Total	59	1127,5733			

Tabla 1336A. Analysis of Variance Oneway Anova, roots dry weight (mg) *Raphanus sativus* L, Days 28, ascorbic acid, 5 mS of electrical conductivity, *in vivo*

Source	DF	Sum of Squares	Mean Square	F Ratio	Prob > F
Tratamientos	2	2391,5853	1195,79	68,4034	<,0001*
Error	57	996,4440	17,48		
C. Total	59	3388,0293			

Anexo 18. Análisis de la variancia Oneway ANOVA de las variables estudiadas por efecto de la taurina en tomate cultivada *in vitro* en 2,5, 5 y 7,5 mS de salinidad.

Tabla 1337A. Analysis of Variance Oneway Anova on Length. Stem (mm) of *Lycopersicon sculentum* Mill, Days 7, taurine 2,5 mS of electrical conductivity, *in vitro*

Source	DF	Sum of Squares	Mean Square	F Ratio	Prob > F
Trata	3	3496,9375	1165,65	233,1598	<,0001*
Error	76	379,9500	5,00		
C. Total	79	3876,8875			

Tabla 1338A. Analysis of Variance Oneway Anova on Length. Stem (mm) of *Lycopersicon sculentum* Mill, Days 14, taurine 2,5 mS of electrical conductivity, *in vitro*

Source	DF	Sum of Squares	Mean Square	F Ratio	Prob > F
Trata	3	5279,2375	1759,75	176,9642	<,0001*
Error	76	755,7500	9,94		
C. Total	79	6034,9875			

Tabla 1339A. Analysis of Variance Oneway Anova on Length. Stem (mm) of *Lycopersicon sculentum* Mill, Days 21, taurine 2,5 mS of electrical conductivity, *in vitro*

Source	DF	Sum of Squares	Mean Square	F Ratio	Prob > F
Trata	3	7804,6375	2601,55	292,8063	<,0001*
Error	76	675,2500	8,88		
C. Total	79	8479,8875			

Tabla 1340A. Analysis of Variance Oneway Anova on Length. Stem (mm) of *Lycopersicon sculentum* Mill, Days 28, taurine 2,5 mS of electrical conductivity, *in vitro*

Source	DF	Sum of Squares	Mean Square	F Ratio	Prob > F
Trata	3	20641,050	6880,35	478,6330	<,0001*
Error	76	1092,500	14,38		
C. Total	79	21733,550			

Tabla 1341A. Analysis of Variance Oneway Anova on Length roots (mm) of *Lycopersicon sculentum* Mill, Days 7, taurine 2,5 mS of electrical conductivity, *in vitro*

Source	DF	Sum of Squares	Mean Square	F Ratio	Prob > F
Trata	3	703,25000	234,417	64,2006	<,0001*
Error	76	277,50000	3,651		
C. Total	79	980,75000			

Tabla 1342A. Analysis of Variance Oneway Anova on Length roots (mm) of *Lycopersicon sculentum* Mill., Days 14, taurine 2,5 mS of electrical conductivity, *in vitro*

Source	DF	Sum of Squares	Mean Square	F Ratio	Prob > F
Trata	3	2841,4375	947,146	97,9962	<,0001*
Error	76	734,5500	9,665		
C. Total	79	3575,9875			

Tabla 1343A. Analysis of Variance Oneway Anova on Length roots (mm) of *Lycopersicon sculentum* Mill., Days 21, taurine 2,5 mS of electrical conductivity, *in vitro*

Source	DF	Sum of Squares	Mean Square	F Ratio	Prob > F
Trata	3	4311,4500	1437,15	228,2621	<,0001*
Error	76	478,5000	6,30		
C. Total	79	4789,9500			

Tabla 1344A. Analysis of Variance Oneway Anova on Length roots (mm) of *Lycopersicon sculentum* Mill., Days 28, taurine 2,5 mS of electrical conductivity, *in vitro*

Source	DF	Sum of Squares	Mean Square	F Ratio	Prob > F
Trata	3	17464,550	5821,52	149,1589	<,0001*
Error	76	2966,200	39,03		
C. Total	79	20430,750			

Tabla 1345A. Analysis of Variance Oneway Anova, N° Leaves of *Lycopersicon sculentum* Mill., Days 7, taurine 2,5 mS of electrical conductivity, *in vitro*

Source	DF	Sum of Squares	Mean Square	F Ratio	Prob > F
Trata	3	13,937500	4,64583	59,3417	<,0001*
Error	76	5,950000	0,07829		
C. Total	79	19,887500			

Tabla 1346A. Analysis of Variance Oneway Anova, N° Leaves of *Lycopersicon sculentum* Mill., Days 14, taurine 2,5 mS of electrical conductivity, *in vitro*

Source	DF	Sum of Squares	Mean Square	F Ratio	Prob > F
Trata	3	20,237500	6,74583	70,7149	<,0001*
Error	76	7,250000	0,09539		
C. Total	79	27,487500			

Tabla 1347A. Analysis of Variance Oneway Anova, N° Leaves of *Lycopersicon sculentum* Mill., Days 21, taurine 2,5 mS of electrical conductivity, *in vitro*

Source	DF	Sum of Squares	Mean Square	F Ratio	Prob > F
Trata	3	16,237500	5,41250	42,1897	<,0001*
Error	76	9,750000	0,12829		
C. Total	79	25,987500			

Tabla 1348A. Analysis of Variance Oneway Anova, N° Leaves of *Lycopersicon sculentum* Mill., Days 28, taurine 2,5 mS of electrical conductivity, *in vitro*

Source	DF	Sum of Squares	Mean Square	F Ratio	Prob > F
Trata	3	21,450000	7,15000	53,8020	<,0001*
Error	76	10,100000	0,13289		
C. Total	79	31,550000			

Tabla 1349A. Analysis of Variance Oneway Anova, Clorophyll (U. SPAD) of *Lycopersicon sculentum* Mill., Days 28, taurine 2,5 mS of electrical conductivity, *in vitro*

Source	DF	Sum of Squares	Mean Square	F Ratio	Prob > F
Trata	3	1454,3720	484,791	405,9686	<,0001*
Error	76	90,7560	1,194		
C. Total	79	1545,1280			

Tabla 1350A. Analysis of Variance Oneway Anova, leaf área (mm²) of *Lycopersicon sculentum* Mill., Days 28, taurine 2,5 mS of electrical conductivity, *in vitro*

Source	DF	Sum of Squares	Mean Square	F Ratio	Prob > F
Trata	3	50161332	16720444	186,1611	<,0001*
Error	76	6826096	89817,047		
C. Total	79	56987428			

Tabla 1351A. Analysis of Variance Oneway Anova, leaf fresh weight (mg) of *Lycopersicon sculentum* Mill., Days 28, taurine 2,5 mS of electrical conductivity, *in vitro*

Source	DF	Sum of Squares	Mean Square	F Ratio	Prob > F
Trata	3	2676845,4	892282	762,9967	<,0001*
Error	76	88877,7	1169		
C. Total	79	2765723,1			

Tabla 1352A. Analysis of Variance Oneway Anova, stem fresh weight (mg) of *Lycopersicon sculentum* Mill., Days 28, taurine 2,5 mS of electrical conductivity, *in vitro*

Source	DF	Sum of Squares	Mean Square	F Ratio	Prob > F
Trata	3	548178,90	182726	320,5858	<,0001*
Error	76	43318,20	570		
C. Total	79	591497,10			

Tabla 1353A. Analysis of Variance Oneway Anova, roots fresh weight (mg) of *Lycopersicon sculentum* Mill., Days 28, taurine 2,5 mS of electrical conductivity, *in vitro*

Source	DF	Sum of Squares	Mean Square	F Ratio	Prob > F
Trata	3	320695,58	106899	185,8768	<,0001*
Error	76	43707,92	575		
C. Total	79	364403,51			

Tabla 1354A. Analysis of Variance Oneway Anova, leaf dry weight (mg) of *Lycopersicon sculentum* Mill., Days 28, taurine 2,5 mS of electrical conductivity, *in vitro*

Source	DF	Sum of Squares	Mean Square	F Ratio	Prob > F
Trata	3	22856,331	7618,78	42,8696	<,0001*
Error	76	13506,709	177,72		
C. Total	79	36363,039			

Tabla 1355A. Analysis of Variance Oneway Anova, stem dry weight (mg) of *Lycopersicon sculentum* Mill., Days 28, taurine 2,5 mS of electrical conductivity, *in vitro*

Source	DF	Sum of Squares	Mean Square	F Ratio	Prob > F
Trata	3	7067,031	2355,68	25,3600	<,0001*
Error	76	7059,590	92,89		
C. Total	79	14126,622			

Tabla 1356A. Analysis of Variance Oneway Anova, leaf dry weight (mg) of *Lycopersicon sculentum* Mill., Days 28, taurine 2,5 mS of electrical conductivity, *in vitro*

Source	DF	Sum of Squares	Mean Square	F Ratio	Prob > F
Trata	3	3029,0717	1009,69	61,1680	<,0001*
Error	76	1254,5210	16,51		
C. Total	79	4283,5927			

Tabla 1357A. Analysis of Variance Oneway Anova on Length. Stem (mm) of *Lycopersicon sculentum* Mill., Days 7, taurine 5 mS of electrical conductivity, *in vitro*

Source	DF	Sum of Squares	Mean Square	F Ratio	Prob > F
Trata	3	1149,2375	383,079	80,1046	<,0001*
Error	76	363,4500	4,782		
C. Total	79	1512,6875			

Tabla 1358A. Analysis of Variance Oneway Anova on Length. Stem (mm) of *Lycopersicon sculentum* Mill., Days 14, taurine 5 mS of electrical conductivity, *in vitro*

Source	DF	Sum of Squares	Mean Square	F Ratio	Prob > F
Trata	3	14351,837	4783,95	476,4199	<,0001*
Error	76	763,150	10,04		
C. Total	79	15114,988			

Tabla 1359A. Analysis of Variance Oneway Anova on Length. Stem (mm) of *Lycopersicon sculentum* Mill., Days 21, taurine 5 mS of electrical conductivity, *in vitro*

Source	DF	Sum of Squares	Mean Square	F Ratio	Prob > F
Trata	3	6602,2375	2200,75	237,1931	<,0001*
Error	76	705,1500	9,28		
C. Total	79	7307,3875			

Tabla 1360A. Analysis of Variance Oneway Anova on Length. Stem (mm) of *Lycopersicon sculentum* Mill., Days 28, taurine 5 mS of electrical conductivity, *in vitro*

Source	DF	Sum of Squares	Mean Square	F Ratio	Prob > F
Trata	3	10297,700	3432,57	389,3077	<,0001*
Error	76	670,100	8,82		
C. Total	79	10967,800			

Tabla 1361A. Analysis of Variance Oneway Anova on Length roots (mm) of *Lycopersicon sculentum* Mill., Days 7, taurine 5 mS of electrical conductivity, *in vitro*

Source	DF	Sum of Squares	Mean Square	F Ratio	Prob > F
Trata	3	625,65000	208,550	113,2938	<,0001*
Error	76	139,90000	1,841		
C. Total	79	765,55000			

Tabla 1362A. Analysis of Variance Oneway Anova on Length roots (mm) of *Lycopersicon sculentum* Mill., Days 14, taurine 5 mS of electrical conductivity, *in vitro*

Source	DF	Sum of Squares	Mean Square	F Ratio	Prob > F
Trata	3	1286,6500	428,883	65,0731	<,0001*
Error	76	500,9000	6,591		
C. Total	79	1787,5500			

Tabla 1363A. Analysis of Variance Oneway Anova on Length roots (mm) of *Lycopersicon sculentum* Mill., Days 21, taurine 5 mS of electrical conductivity, *in vitro*

Source	DF	Sum of Squares	Mean Square	F Ratio	Prob > F
Trata	3	1959,9375	653,313	117,7838	<,0001*
Error	76	421,5500	5,547		
C. Total	79	2381,4875			

Tabla 1364A. Analysis of Variance Oneway Anova on Length roots (mm) of *Lycopersicon sculentum* Mill., Days 28, taurine 5 mS of electrical conductivity, *in vitro*

Source	DF	Sum of Squares	Mean Square	F Ratio	Prob > F
Trata	3	16653,450	5551,15	504,3484	<,0001*
Error	76	836,500	11,01		
C. Total	79	17489,950			

Tabla 1365A. Analysis of Variance Oneway Anova, N° leaves of *Lycopersicon sculentum* Mill., Days7, taurine 5 mS of electrical conductivity, *in vitro*

Source	DF	Sum of Squares	Mean Square	F Ratio	Prob > F
Trata	3	10,837500	3,61250	107,6667	<,0001*
Error	76	2,550000	0,03355		
C. Total	79	13,387500			

Tabla 1366 A. Analysis of Variance Oneway Anova, N° leaves of *Lycopersicon sculentum* Mill, Days 14, taurine 5 mS of electrical conductivity, *in vitro*

Source	DF	Sum of Squares	Mean Square	F Ratio	Prob > F
Trata	3	10,450000	3,48333	16,2413	<,0001*
Error	76	16,300000	0,21447		
C. Total	79	26,750000			

Tabla 1367 A. Analysis of Variance Oneway Anova, N° leaves of *Lycopersicon sculentum* Mill, Days 21, taurine 5 mS of electrical conductivity, *in vitro*

Source	DF	Sum of Squares	Mean Square	F Ratio	Prob > F
Trata	3	21,437500	7,14583	34,9250	<,0001*
Error	76	15,550000	0,20461		
C. Total	79	36,987500			

Tabla 1368A. Analysis of Variance Oneway Anova, N° leaves of *Lycopersicon sculentum* Mill, Days 28, taurine 5 mS of electrical conductivity, *in vitro*

Source	DF	Sum of Squares	Mean Square	F Ratio	Prob > F
Trata	3	18,537500	6,17917	57,6217	<,0001*
Error	76	8,150000	0,10724		
C. Total	79	26,687500			

Tabla 1369A. Analysis of Variance Oneway Anova, Clorophyll (U. SPAD) of *Lycopersicon sculentum* Mill, Days 28, taurine 5 mS of electrical conductivity, *in vitro*

Source	DF	Sum of Squares	Mean Square	F Ratio	Prob > F
Trata	3	873,7005	291,233	143,8237	<,0001*
Error	76	153,8950	2,025		
C. Total	79	1027,5955			

Tabla 1370A. Analysis of Variance Oneway Anova, leaf área (mm²) of *Lycopersicon sculentum* Mill, Days 28, taurine 5 mS of electrical conductivity, *in vitro*

Source	DF	Sum of Squares	Mean Square	F Ratio	Prob > F
Trata	3	10660231	3553410	85,1472	<,0001*
Error	76	3171673	41733		
C. Total	79	13831904			

Tabla 1371A. Analysis of Variance Oneway Anova, leaf fresh weight (mg) of *Lycopersicon sculentum* Mill, Days 28, taurine 5 mS of electrical conductivity, *in vitro*

Source	DF	Sum of Squares	Mean Square	F Ratio	Prob > F
Trata	3	569145,23	189715	320,0051	<,0001*
Error	76	45056,61	593		
C. Total	79	614201,84			

Tabla 1372A. Analysis of Variance Oneway Anova, stem fresh weight (mg) of *Lycopersicon sculentum* Mill, Days 28, taurine 5 mS of electrical conductivity, *in vitro*

Source	DF	Sum of Squares	Mean Square	F Ratio	Prob > F
Trata	3	214622,81	71540,9	198,4368	<,0001*
Error	76	27399,72	360,5		
C. Total	79	242022,53			

Tabla 1373A. Analysis of Variance Oneway Anova, roots fresh weight (mg) of *Lycopersicon sculentum* Mill, Days 28, taurine 5 mS of electrical conductivity, *in vitro*

Source	DF	Sum of Squares	Mean Square	F Ratio	Prob > F
Trata	3	192574,96	64191,7	178,9567	<,0001*
Error	76	27261,16	358,7		
C. Total	79	219836,12			

Tabla 1374A. Analysis of Variance Oneway Anova, leaf dry weight (mg) of *Lycopersicon sculentum* Mill., Days 28, taurine 5 mS of electrical conductivity, *in vitro*

Source	DF	Sum of Squares	Mean Square	F Ratio	Prob > F
Trata	3	6535,502	2178,50	12,0636	<,0001*
Error	76	13724,412	180,58		
C. Total	79	20259,914			

Tabla 1375A. Analysis of Variance Oneway Anova, stem dry weight (mg) of *Lycopersicon sculentum* Mill., Days 28, taurine 5 mS of electrical conductivity, *in vitro*

Source	DF	Sum of Squares	Mean Square	F Ratio	Prob > F
Trata	3	5123,2124	1707,74	43,0205	<,0001*
Error	76	3016,8865	39,70		
C. Total	79	8140,0989			

Tabla 1376A. Analysis of Variance Oneway Anova, roots dry weight (mg) of *Lycopersicon sculentum* Mill., Days 28, taurine 5 mS of electrical conductivity, *in vitro*

Source	DF	Sum of Squares	Mean Square	F Ratio	Prob > F
Trata	3	1747,3174	582,439	13,9017	<,0001*
Error	76	3184,1675	41,897		
C. Total	79	4931,4849			

Tabla 1377A. Analysis of Variance Oneway Anova on Length. Stem (mm) of *Lycopersicon sculentum* Mill., Days 7, taurine 7,5 mS of electrical conductivity, *in vitro*

Source	DF	Sum of Squares	Mean Square	F Ratio	Prob > F
Trata	3	1066,1000	355,367	97,8191	<,0001*
Error	76	276,1000	3,633		
C. Total	79	1342,2000			

Tabla 1378 A. Analysis of Variance Oneway Anova on Length. Stem (mm) of *Lycopersicon sculentum* Mill., Days 14, taurine 7,5 mS of electrical conductivity, *in vitro*

Source	DF	Sum of Squares	Mean Square	F Ratio	Prob > F
Trata	3	5948,8375	1982,95	46,9944	<,0001*
Error	76	3206,8500	42,20		
C. Total	79	9155,6875			

Tabla 1379A. Analysis of Variance Oneway Anova on Length. Stem (mm) of *Lycopersicon sculentum* Mill., Days 21, taurine 7,5 mS of electrical conductivity, *in vitro*

Source	DF	Sum of Squares	Mean Square	F Ratio	Prob > F
Trata	3	5296,0375	1765,35	132,1250	<,0001*
Error	76	1015,4500	13,36		
C. Total	79	6311,4875			

Tabla 1380A. Analysis of Variance Oneway Anova on Length. Stem (mm) of *Lycopersicon sculentum* Mill., Days 28, taurine 7,5 mS of electrical conductivity, *in vitro*

Source	DF	Sum of Squares	Mean Square	F Ratio	Prob > F
Trata	3	5032,3375	1677,45	217,8687	<,0001*
Error	76	585,1500	7,70		
C. Total	79	5617,4875			

Tabla 1381A. Analysis of Variance Oneway Anova on Length. roots (mm) of *Lycopersicon sculentum* Mill., Days 7, taurine 7,5 mS of electrical conductivity, *in vitro*

Source	DF	Sum of Squares	Mean Square	F Ratio	Prob > F
Trata	3	501,83750	167,279	43,6355	<,0001*
Error	76	291,35000	3,834		
C. Total	79	793,18750			

Tabla 1382A. Analysis of Variance Oneway Anova on Length. roots (mm) of *Lycopersicon sculentum* Mill., Days 14, taurine 7,5 mS of electrical conductivity, *in vitro*

Source	DF	Sum of Squares	Mean Square	F Ratio	Prob > F
Trata	3	493,45000	164,483	40,2600	<,0001*
Error	76	310,50000	4,086		
C. Total	79	803,95000			

Tabla 1383A. Analysis of Variance Oneway Anova on Length. roots (mm) of *Lycopersicon sculentum* Mill., Days 21, taurine 7,5 mS of electrical conductivity, *in vitro*

Source	DF	Sum of Squares	Mean Square	F Ratio	Prob > F
Trata	3	3628,1375	1209,38	358,6842	<,0001*
Error	76	256,2500	3,37		
C. Total	79	3884,3875			

Tabla 1384A. Analysis of Variance Oneway Anova on Length. roots (mm) of *Lycopersicon sculentum* Mill., Days 28, taurine 7,5 mS of electrical conductivity, *in vitro*

Source	DF	Sum of Squares	Mean Square	F Ratio	Prob > F
Trata	3	5616,6000	1872,20	213,1963	<,0001*
Error	76	667,4000	8,78		
C. Total	79	6284,0000			

Tabla 1385A. Analysis of Variance Oneway Anova, N° Leaves of *Lycopersicon sculentum* Mill., Days 7, taurine 7,5 mS of electrical conductivity, *in vitro*

Source	DF	Sum of Squares	Mean Square	F Ratio	Prob > F
Trata	3	10,137500	3,37917	59,0383	<,0001*
Error	76	4,350000	0,05724		
C. Total	79	14,487500			

Tabla 1386A. Analysis of Variance Oneway Anova, N° Leaves of *Lycopersicon sculentum* Mill., Days 14, taurine 7,5 mS of electrical conductivity, *in vitro*

Source	DF	Sum of Squares	Mean Square	F Ratio	Prob > F
Trata	3	5,700000	1,90000	11,0229	<,0001*
Error	76	13,100000	0,17237		
C. Total	79	18,800000			

Tabla 1387A. Analysis of Variance Oneway Anova, N° Leaves of *Lycopersicon sculentum* Mill., Days 14, taurine 7,5 mS of electrical conductivity, *in vitro*

Source	DF	Sum of Squares	Mean Square	F Ratio	Prob > F
Trata	3	21,700000	7,23333	14,8176	<,0001*
Error	76	37,100000	0,48816		
C. Total	79	58,800000			

Tabla 1388A. Analysis of Variance Oneway Anova, N° Leaves of *Lycopersicon sculentum* Mill., Days 28, taurine 7,5 mS of electrical conductivity, *in vitro*

Source	DF	Sum of Squares	Mean Square	F Ratio	Prob > F
Trata	3	22,837500	7,61250	61,8770	<,0001*
Error	76	9,350000	0,12303		
C. Total	79	32,187500			

Tabla 1389A. Analysis of Variance Oneway Anova, Clorophyll (U. SPAD) of *Lycopersicon sculentum* Mill., Days 28, taurine 7,5 mS of electrical conductivity, *in vitro*

Source	DF	Sum of Squares	Mean Square	F Ratio	Prob > F
Trata	3	616,54937	205,516	168,8486	<,0001*
Error	76	92,50450	1,217		
C. Total	79	709,05387			

Tabla 1390A. Analysis of Variance Oneway Anova, leaf área (mm²) of *Lycopersicon sculentum* Mill., Days 28, taurine 7,5 mS of electrical conductivity, *in vitro*

Source	DF	Sum of Squares	Mean Square	F Ratio	Prob > F
Trata	3	14595773	4865258	141,5820	<,0001*
Error	76	2611629	34364		
C. Total	79	17207402			

Tabla 1391A. Analysis of Variance Oneway Anova, leaf fresh weight (mg) of *Lycopersicon sculentum* Mill., Days 28, taurine 7,5 mS of electrical conductivity, *in vitro*

Source	DF	Sum of Squares	Mean Square	F Ratio	Prob > F
Trata	3	474796,26	158265	315,9448	<,0001*
Error	76	38070,48	501		
C. Total	79	512866,74			

Tabla 1392A. Analysis of Variance Oneway Anova, stem fresh weight (mg) of *Lycopersicon sculentum* Mill., Days 28, taurine 7,5 mS of electrical conductivity, *in vitro*

Source	DF	Sum of Squares	Mean Square	F Ratio	Prob > F
Trata	3	72128,16	24042,7	43,7031	<,0001*
Error	76	41810,46	550,1		
C. Total	79	113938,62			

Tabla 1393A. Analysis of Variance Oneway Anova, roots fresh weight (mg) of *Lycopersicon sculentum* Mill., Days 28, taurine 7,5 mS of electrical conductivity, *in vitro*

Source	DF	Sum of Squares	Mean Square	F Ratio	Prob > F
Trata	3	41518,254	13839,4	76,4504	<,0001*
Error	76	13757,879	181,0		
C. Total	79	55276,134			

Tabla 1394A. Analysis of Variance Oneway Anova, leaf dry weight (mg) of *Lycopersicon sculentum* Mill., Days 28, taurine 7,5 mS of electrical conductivity, *in vitro*

Source	DF	Sum of Squares	Mean Square	F Ratio	Prob > F
Trata	3	4561,943	1520,65	10,4543	<,0001*
Error	76	11054,757	145,46		
C. Total	79	15616,699			

Tabla 1395A. Analysis of Variance Oneway Anova, leaf dry weight (mg) of *Lycopersicon sculentum* Mill., Days 28, taurine 7,5 mS of electrical conductivity, *in vitro*

Source	DF	Sum of Squares	Mean Square	F Ratio	Prob > F
Trata	3	1018,4930	339,498	6,6235	0,0005*
Error	76	3895,5250	51,257		
C. Total	79	4914,0180			

Tabla 1396A. Analysis of Variance Oneway Anova, leaf dry weight (mg) of *Lycopersicon sculentum* Mill., Days 28, taurine 7,5 mS of electrical conductivity, *in vitro*

Source	DF	Sum of Squares	Mean Square	F Ratio	Prob > F
Trata	3	785,2098	261,737	8,4003	<,0001*
Error	76	2367,9980	31,158		
C. Total	79	3153,2078			

Anexo 19. Análisis de la variancia Oneway ANOVA de las variables estudiadas por efecto de la taurina en berenjena cultivada *in vitro* en 2,5, 5 y 7,5 mS de salinidad.

Tabla 1397A. Analysis of Variance Oneway Anova on Length. Stem (mm) of *Solanum melongena* L, Days 7, taurine 2,5 mS of electrical conductivity, *in vitro*

Source	DF	Sum of Squares	Mean Square	F Ratio	Prob > F
Trata	3	1687,1375	562,379	91,5515	<,0001*
Error	76	466,8500	6,143		
C. Total	79	2153,9875			

Tabla 1398A. Analysis of Variance Oneway Anova on Length. Stem (mm) of *Solanum melongena* L, Days 14, taurine 2,5 mS of electrical conductivity, *in vitro*

Source	DF	Sum of Squares	Mean Square	F Ratio	Prob > F
Trata	3	5965,8375	1988,61	149,0258	<,0001*
Error	76	1014,1500	13,34		
C. Total	79	6979,9875			

Tabla 1399A. Analysis of Variance Oneway Anova on Length. Stem (mm) of *Solanum melongena* L, Days 21, taurine 2,5 mS of electrical conductivity, *in vitro*

Source	DF	Sum of Squares	Mean Square	F Ratio	Prob > F
Trata	3	9742,838	3247,61	221,8893	<,0001*
Error	76	1112,350	14,64		
C. Total	79	10855,188			

Tabla 1400A. Analysis of Variance Oneway Anova on Length. Stem (mm) of *Solanum melongena* L, Days 28, taurine 2,5 mS of electrical conductivity, *in vitro*

Source	DF	Sum of Squares	Mean Square	F Ratio	Prob > F
Trata	3	11126,800	3708,93	176,9041	<,0001*
Error	76	1593,400	20,97		
C. Total	79	12720,200			

Tabla 1401A. Analysis of Variance Oneway Anova on Length roots (mm) of *Solanum melongena* L, Days 14, taurine 2,5 mS of electrical conductivity, *in vitro*

Source	DF	Sum of Squares	Mean Square	F Ratio	Prob > F
Trata	3	839,1375	279,713	65,2391	<,0001*
Error	76	325,8500	4,288		
C. Total	79	1164,9875			

Tabla 1402A. Analysis of Variance Oneway Anova on Length roots (mm) of *Solanum melongena* L, Days 14, taurine 2,5 mS of electrical conductivity, *in vitro*

Source	DF	Sum of Squares	Mean Square	F Ratio	Prob > F
Trata	3	2379,4000	793,133	104,7587	<,0001*
Error	76	575,4000	7,571		
C. Total	79	2954,8000			

Tabla 1403A. Analysis of Variance Oneway Anova on Length roots (mm) of *Solanum melongena* L, Days 14, taurine 2,5 mS of electrical conductivity, *in vitro*

Source	DF	Sum of Squares	Mean Square	F Ratio	Prob > F
Trata	3	5641,6375	1880,55	111,3659	<,0001*
Error	76	1283,3500	16,89		
C. Total	79	6924,9875			

Tabla 1404A. Analysis of Variance Oneway Anova on Length roots (mm) of *Solanum melongena* L, Days 14, taurine 2,5 mS of electrical conductivity, *in vitro*

Source	DF	Sum of Squares	Mean Square	F Ratio	Prob > F
Trata	3	10057,050	3352,35	338,9365	<,0001*
Error	76	751,700	9,89		
C. Total	79	10808,750			

Tabla 1405A. Analysis of Variance Oneway Anova, N° Leaves of *Solanum melongena* L, Days 7, taurine 2,5 mS of electrical conductivity, *in vitro*

Source	DF	Sum of Squares	Mean Square	F Ratio	Prob > F
Trata	3	0	0		
Error	76	0	0		
C. Total	79	0			

Tabla 1406A. Analysis of Variance Oneway Anova, N° Leaves of *Solanum melongena* L, Days 14, taurine 2,5 mS of electrical conductivity, *in vitro*

Source	DF	Sum of Squares	Mean Square	F Ratio	Prob > F
Trata	3	3,637500	1,21250	5,6708	0,0015*
Error	76	16,250000	0,21382		
C. Total	79	19,887500			

Tabla 1407A. Analysis of Variance Oneway Anova, N° Leaves of *Solanum melongena* L, Days 21, taurine 2,5 mS of electrical conductivity, *in vitro*

Source	DF	Sum of Squares	Mean Square	F Ratio	Prob > F
Trata	3	4,937500	1,64583	7,6039	0,0002*
Error	76	16,450000	0,21645		
C. Total	79	21,387500			

Tabla 1408A. Analysis of Variance Oneway Anova, N° Leaves of *Solanum melongena* L, Days 28, taurine 2,5 mS of electrical conductivity, *in vitro*

Source	DF	Sum of Squares	Mean Square	F Ratio	Prob > F
Trata	3	23,137500	7,71250	54,5256	<,0001*
Error	76	10,750000	0,14145		
C. Total	79	33,887500			

Tabla 1409A. Analysis of Variance Oneway Anova, Clorophyll (U. SPAD) of *Solanum melongena* L, Days 28, taurine 2,5 mS of electrical conductivity, *in vitro*

Source	DF	Sum of Squares	Mean Square	F Ratio	Prob > F
Trata	3	1092,3670	364,122	226,4164	<,0001*
Error	76	122,2230	1,608		
C. Total	79	1214,5900			

Tabla 1410A. Analysis of Variance Oneway Anova, leaf área (mm²) of *Solanum melongena* L, Days 28, taurine 2,5 mS of electrical conductivity, *in vitro*

Source	DF	Sum of Squares	Mean Square	F Ratio	Prob > F
Trata	3	13108247	4369416	505,6320	<,0001*
Error	76	656753	8641		
C. Total	79	13765000			

Tabla 1411A. Analysis of Variance Oneway Anova, leaf fresh weight (mg) of *Solanum melongena* L, Days 28, taurine 2,5 mS of electrical conductivity, *in vitro*

Source	DF	Sum of Squares	Mean Square	F Ratio	Prob > F
Trata	3	300977,69	100326	205,9455	<,0001*
Error	76	37023,22	487		
C. Total	79	338000,91			

Tabla 1412A. Analysis of Variance Oneway Anova, stem fresh weight (mg) of *Solanum melongena* L, Days 28, taurine 2,5 mS of electrical conductivity, *in vitro*

Source	DF	Sum of Squares	Mean Square	F Ratio	Prob > F
Trata	3	99113,53	33037,8	184,9676	<,0001*
Error	76	13574,68	178,6		
C. Total	79	112688,21			

Tabla 1413A. Analysis of Variance Oneway Anova, roots fresh weight (mg) of *Solanum melongena* L, Days 28, taurine 2,5 mS of electrical conductivity, *in vitro*

Source	DF	Sum of Squares	Mean Square	F Ratio	Prob > F
Trata	3	66868,730	22289,6	53,8436	<,0001*
Error	76	31461,617	414,0		
C. Total	79	98330,348			

Tabla 1414A. Analysis of Variance Oneway Anova, leaf dry weight (mg) of *Solanum melongena* L, Days 28, taurine 2,5 mS of electrical conductivity, *in vitro*

Source	DF	Sum of Squares	Mean Square	F Ratio	Prob > F
Trata	3	2858,147	952,716	4,9783	0,0033*
Error	76	14544,405	191,374		
C. Total	79	17402,552			

Tabla 1415A. Analysis of Variance Oneway Anova, stem dry weight (mg) of *Solanum melongena* L, Days 28, taurine 2,5 mS of electrical conductivity, *in vitro*

Source	DF	Sum of Squares	Mean Square	F Ratio	Prob > F
Trata	3	1023,0204	341,007	5,0545	0,0030*
Error	76	5127,3695	67,465		
C. Total	79	6150,3899			

Tabla 1416A. Analysis of Variance Oneway Anova, roots dry weight (mg) of *Solanum melongena* L, Days 28, taurine 2,5 mS of electrical conductivity, *in vitro*

Source	DF	Sum of Squares	Mean Square	F Ratio	Prob > F
Trata	3	1145,6094	381,870	11,0367	<,0001*
Error	76	2629,5937	34,600		
C. Total	79	3775,2031			

Tabla 1417A. Analysis of Variance Oneway Anova on Length. Stem (mm) of *Solanum melongena* L, Days 7, taurine 5 mS of electrical conductivity, *in vitro*

Source	DF	Sum of Squares	Mean Square	F Ratio	Prob > F
Trata	3	1293,3000	431,100	74,8198	<,0001*
Error	76	437,9000	5,762		
C. Total	79	1731,2000			

Tabla 1418A. Analysis of Variance Oneway Anova on Length. Stem (mm) of *Solanum melongena* L, Days 14, taurine 5 mS of electrical conductivity, *in vitro*

Source	DF	Sum of Squares	Mean Square	F Ratio	Prob > F
Trata	3	6766,1500	2255,38	294,6187	<,0001*
Error	76	581,8000	7,66		
C. Total	79	7347,9500			

Tabla 1419A. Analysis of Variance Oneway Anova on Length. Stem (mm) of *Solanum melongena* L, Days 21, taurine 5 mS of electrical conductivity, *in vitro*

Source	DF	Sum of Squares	Mean Square	F Ratio	Prob > F
Trata	3	10044,500	3348,17	104,7034	<,0001*
Error	76	2430,300	31,98		
C. Total	79	12474,800			

Tabla 1420A. Analysis of Variance Oneway Anova on Length. Stem (mm) of *Solanum melongena* L, Days 28, taurine 5 mS of electrical conductivity, *in vitro*

Source	DF	Sum of Squares	Mean Square	F Ratio	Prob > F
Trata	3	13733,850	4577,95	384,8293	<,0001*
Error	76	904,100	11,90		
C. Total	79	14637,950			

Tabla 1421A. Analysis of Variance Oneway Anova on Length roots(mm) of *Solanum melongena* L, Days 7, taurine 5 mS of electrical conductivity, *in vitro*

Source	DF	Sum of Squares	Mean Square	F Ratio	Prob > F
Trata	3	2660,3375	886,779	471,1305	<,0001*
Error	76	143,0500	1,882		
C. Total	79	2803,3875			

Tabla 1422A. Analysis of Variance Oneway Anova on Length roots(mm) of *Solanum melongena* L, Days 14, taurine 5 mS of electrical conductivity, *in vitro*

Source	DF	Sum of Squares	Mean Square	F Ratio	Prob > F
Trata	3	4706,2000	1568,73	246,8400	<,0001*
Error	76	483,0000	6,36		
C. Total	79	5189,2000			

Tabla 1423A. Analysis of Variance Oneway Anova on Length roots(mm) of *Solanum melongena* L, Days 21, taurine 5 mS of electrical conductivity, *in vitro*

Source	DF	Sum of Squares	Mean Square	F Ratio	Prob > F
Trata	3	10524,738	3508,25	289,5755	<,0001*
Error	76	920,750	12,12		
C. Total	79	11445,488			

Tabla 1424A. Analysis of Variance Oneway Anova on Length roots(mm) of *Solanum melongena* L, Days 28, taurine 5 mS of electrical conductivity, *in vitro*

Source	DF	Sum of Squares	Mean Square	F Ratio	Prob > F
Trata	3	21562,038	7187,35	866,4260	<,0001*
Error	76	630,450	8,30		
C. Total	79	22192,488			

Tabla 1425A. Analysis of Variance Oneway Anova, N° Leaves of *Solanum melongena* L, Days 7, taurine 5 mS of electrical conductivity, *in vitro*

Source	DF	Sum of Squares	Mean Square	F Ratio	Prob > F
Trata	3	0	0		
Error	76	0	0		
C. Total	79	0			

Tabla 1426A. Analysis of Variance Oneway Anova, N° Leaves of *Solanum melongena* L, Days 14, taurine 5 mS of electrical conductivity, *in vitro*

Source	DF	Sum of Squares	Mean Square	F Ratio	Prob > F
Trata	3	3,850000	1,28333	6,5459	0,0005*
Error	76	14,900000	0,19605		
C. Total	79	18,750000			

Tabla 1427A. Analysis of Variance Oneway Anova, N° Leaves of *Solanum melongena* L, Days 21, taurine 5 mS of electrical conductivity, *in vitro*

Source	DF	Sum of Squares	Mean Square	F Ratio	Prob > F
Trata	3	15,000000	5,00000		
Error	76	0,000000	0,00000		
C. Total	79	15,000000			

Tabla 1428A. Analysis of Variance Oneway Anova, N° Leaves of *Solanum melongena* L, Days 28, taurine 5 mS of electrical conductivity, *in vitro*

Source	DF	Sum of Squares	Mean Square	F Ratio	Prob > F
Trata	3	13,537500	4,51250	361,0000	<,0001*
Error	76	0,950000	0,01250		
C. Total	79	14,487500			

Tabla 1429A. Analysis of Variance Oneway Anova, Clorophyll (U. SPAD) of *Solanum melongena* L, Days 28, taurine 5 mS of electrical conductivity, *in vitro*

Source	DF	Sum of Squares	Mean Square	F Ratio	Prob > F
Trata	3	446,25800	148,753	112,3621	<,0001*
Error	76	100,61400	1,324		
C. Total	79	546,87200			

Tabla 1430A. Analysis of Variance Oneway Anova, leaf área (mm²) of *Solanum melongena* L, Days 28, taurine 5 mS of electrical conductivity, *in vitro*

Source	DF	Sum of Squares	Mean Square	F Ratio	Prob > F
Trata	3	7144746,7	2381582	111,3908	<,0001*
Error	76	1624912,1	21380		
C. Total	79	8769658,8			

Tabla 1431A. Analysis of Variance Oneway Anova, leaf fresh weight (mg) of *Solanum melongena* L, Days 28, taurine 5 mS of electrical conductivity, *in vitro*

Source	DF	Sum of Squares	Mean Square	F Ratio	Prob > F
Trata	3	88430,38	29476,8	56,3066	<,0001*
Error	76	39786,40	523,5		
C. Total	79	128216,78			

Tabla 1432A. Analysis of Variance Oneway Anova, stem fresh weight (mg) of *Solanum melongena* L, Days 28, taurine 5 mS of electrical conductivity, *in vitro*

Source	DF	Sum of Squares	Mean Square	F Ratio	Prob > F
Trata	3	50451,842	16817,3	82,9417	<,0001*
Error	76	15409,772	202,8		
C. Total	79	65861,614			

Tabla 1433A. Analysis of Variance Oneway Anova, roots fresh weight (mg) of *Solanum melongena* L, Days 28, taurine 5 mS of electrical conductivity, *in vitro*

Source	DF	Sum of Squares	Mean Square	F Ratio	Prob > F
Trata	3	80101,47	26700,5	94,6417	<,0001*
Error	76	21441,26	282,1		
C. Total	79	101542,73			

Tabla 1434A. Analysis of Variance Oneway Anova, leaf dry weight (mg) of *Solanum melongena* L, Days 28, taurine 5 mS of electrical conductivity, *in vitro*

Source	DF	Sum of Squares	Mean Square	F Ratio	Prob > F
Trata	3	433,5810	144,527	2,0928	0,1082
Error	76	5248,5712	69,060		
C. Total	79	5682,1522			

Tabla 1435A. Analysis of Variance Oneway Anova, stem dry weight (mg) of *Solanum melongena* L, Days 28, taurine 5 mS of electrical conductivity, *in vitro*

Source	DF	Sum of Squares	Mean Square	F Ratio	Prob > F
Trata	3	1010,147	336,716	2,4763	0,0677
Error	76	10334,065	135,975		
C. Total	79	11344,212			

Tabla 1436A. Analysis of Variance Oneway Anova, roots dry weight (mg) of *Solanum melongena* L, Days 28, taurine 5 mS of electrical conductivity, *in vitro*

Source	DF	Sum of Squares	Mean Square	F Ratio	Prob > F
Trata	3	1067,5380	355,846	4,6236	0,0050*
Error	76	5849,1840	76,963		
C. Total	79	6916,7220			

Tabla 1437A. Analysis of Variance Oneway Anova on Length. Stem (mm) of *Solanum melongena* L, Days 7, taurine 7,5 mS of electrical conductivity, *in vitro*

Source	DF	Sum of Squares	Mean Square	F Ratio	Prob > F
Treatments	3	480,45000	160,150	224,1510	<,0001*
Error	76	54,30000	0,714		
C. Total	79	534,75000			

Tabla 1438A. Analysis of Variance Oneway Anova on Length. Stem (mm) of *Solanum melongena* L, Days 14, taurine 7,5 mS of electrical conductivity, *in vitro*

Source	DF	Sum of Squares	Mean Square	F Ratio	Prob > F
Treatments	3	1008,8000	336,267	446,7879	<,0001*
Error	76	57,2000	0,753		
C. Total	79	1066,0000			

Tabla 1439A. Analysis of Variance Oneway Anova on Length. Stem (mm) of *Solanum melongena* L, Days 21, taurine 7,5 mS of electrical conductivity, *in vitro*

Source	DF	Sum of Squares	Mean Square	F Ratio	Prob > F
Treatments	3	3913,6500	1304,55	797,6331	<,0001*
Error	76	124,3000	1,64		
C. Total	79	4037,9500			

Tabla 1440A. Analysis of Variance Oneway Anova on Length. Stem (mm) of *Solanum melongena* L, Days 28, taurine 7,5 mS of electrical conductivity, *in vitro*

Source	DF	Sum of Squares	Mean Square	F Ratio	Prob > F
Treatments	3	6189,6500	2063,22	75,7400	<,0001*
Error	76	2070,3000	27,24		
C. Total	79	8259,9500			

Tabla 1441A. Analysis of Variance Oneway Anova on Length roots (mm) of *Solanum melongena* L, Days 7, taurine 7,5 mS of electrical conductivity, *in vitro*

Source	DF	Sum of Squares	Mean Square	F Ratio	Prob > F
Treatments	3	1050,0500	350,017	784,6981	<,0001*
Error	76	33,9000	0,446		
C. Total	79	1083,9500			

Tabla 1442A. Analysis of Variance Oneway Anova on Length roots (mm) of *Solanum melongena* L, Days 14, taurine 7,5 mS of electrical conductivity, *in vitro*

Source	DF	Sum of Squares	Mean Square	F Ratio	Prob > F
Treatments	3	1193,6375	397,879	867,6848	<,0001*
Error	76	34,8500	0,459		
C. Total	79	1228,4875			

Tabla 1443A. Analysis of Variance Oneway Anova on Length roots (mm) of *Solanum melongena* L, Days 21, taurine 7,5 mS of electrical conductivity, *in vitro*

Source	DF	Sum of Squares	Mean Square	F Ratio	Prob > F
Treatments	3	3345,7000	1115,23	1799,527	<,0001*
Error	76	47,1000	0,62		
C. Total	79	3392,8000			

Tabla 1444A. Analysis of Variance Oneway Anova on Length roots (mm) of *Solanum melongena* L, Days 28, taurine 7,5 mS of electrical conductivity, *in vitro*

Source	DF	Sum of Squares	Mean Square	F Ratio	Prob > F
Treatments	3	4955,7375	1651,91	143,2921	<,0001*
Error	76	876,1500	11,53		
C. Total	79	5831,8875			

Tabla 1445A. Analysis of Variance Oneway Anova, N° Leaves of *Solanum melongena* L, Days 7, taurine 7,5 mS of electrical conductivity, *in vitro*

Source	DF	Sum of Squares	Mean Square	F Ratio	Prob > F
Treatments	3	0,3000000	0,100000	2,1714	0,0983
Error	76	3,5000000	0,046053		
C. Total	79	3,8000000			

Tabla 1446A. Analysis of Variance Oneway Anova, N° Leaves of *Solanum melongena* L, Days 14, taurine 7,5 mS of electrical conductivity, *in vitro*

Source	DF	Sum of Squares	Mean Square	F Ratio	Prob > F
Treatments	3	16,150000	5,38333	61,9899	<,0001*
Error	76	6,600000	0,08684		
C. Total	79	22,750000			

Tabla 1447A. Analysis of Variance Oneway Anova, N° Leaves of *Solanum melongena* L, Days 7, taurine 7,5 mS of electrical conductivity, *in vitro*

Source	DF	Sum of Squares	Mean Square	F Ratio	Prob > F
Treatments	3	31,837500	10,6125	57,0000	<,0001*
Error	76	14,150000	0,1862		
C. Total	79	45,987500			

Tabla 1448A. Analysis of Variance Oneway Anova, N° Leaves of *Solanum melongena* L, Days 7, taurine 7,5 mS of electrical conductivity, *in vitro*

Source	DF	Sum of Squares	Mean Square	F Ratio	Prob > F
Treatments	3	61,637500	20,5458	113,5624	<,0001*
Error	76	13,750000	0,1809		
C. Total	79	75,387500			

Tabla 1449A. Analysis of Variance Oneway Anova, Clorophyll (U. SPAD) of *Solanum melongena* L, Days 7, taurine 7,5 mS of electrical conductivity, *in vitro*

Source	DF	Sum of Squares	Mean Square	F Ratio	Prob > F
Trata	3	599,46738	199,822	79,9258	<,0001*
Error	76	190,00750	2,500		
C. Total	79	789,47488			

Tabla 1450A. Analysis of Variance Oneway Anova, leaf área (mm²) of *Raphanus sativus* L, Days 28, taurine 5 mS of electrical conductivity, *in vivo*

Source	DF	Sum of Squares	Mean Square	F Ratio	Prob > F
Trata	3	8266227,5	2755409	158,2285	<,0001*
Error	76	1323473,0	17414		
C. Total	79	9589700,5			

Tabla 1451A. Analysis of Variance Oneway Anova, leaf fresh weight (mg) of *Solanum melongena* L, Days 7, taurine 7,5 mS of electrical conductivity, *in vitro*

Source	DF	Sum of Squares	Mean Square	F Ratio	Prob > F
Trata	3	66176,505	22058,8	55,5547	<,0001*
Error	76	30176,958	397,1		
C. Total	79	96353,464			

Tabla 1452A. Analysis of Variance Oneway Anova, stem fresh weight (mg) of *Solanum melongena* L, Days 7, taurine 7,5 mS of electrical conductivity, *in vitro*

Source	DF	Sum of Squares	Mean Square	F Ratio	Prob > F
Trata	3	29661,576	9887,19	68,7708	<,0001*
Error	76	10926,529	143,77		
C. Total	79	40588,105			

Tabla 1453A. Analysis of Variance Oneway Anova, roots fresh weight (mg) of *Solanum melongena* L, Days 7, taurine 7,5 mS of electrical conductivity, *in vitro*

Source	DF	Sum of Squares	Mean Square	F Ratio	Prob > F
Trata	3	74384,897	24795,0	180,2496	<,0001*
Error	76	10454,486	137,6		
C. Total	79	84839,382			

Tabla 1454A. Analysis of Variance Oneway Anova, leaf dry weight (mg) of *Solanum melongena* L, Days 7, taurine 7,5 mS of electrical conductivity, *in vitro*

Source	DF	Sum of Squares	Mean Square	F Ratio	Prob > F
Trata	3	566,8405	188,947	7,4665	0,0002*
Error	76	1923,2470	25,306		
C. Total	79	2490,0875			

Tabla 1455A. Analysis of Variance Oneway Anova, stem dry weight (mg) of *Solanum melongena* L, Days 7, taurine 7,5 mS of electrical conductivity, *in vitro*

Source	DF	Sum of Squares	Mean Square	F Ratio	Prob > F
Trata	3	724,5314	241,510	10,8590	<,0001*
Error	76	1690,2875	22,241		
C. Total	79	2414,8189			

Tabla 1456A. Analysis of Variance Oneway Anova, leaf dry weight (mg) of *Solanum melongena* L, Days 7, taurine 7,5 mS of electrical conductivity, *in vitro*

Source	DF	Sum of Squares	Mean Square	F Ratio	Prob > F
Trata	3	817,8370	272,612	9,8541	<,0001*
Error	76	2102,5310	27,665		
C. Total	79	2920,3680			

Anexo 20. Análisis de la variancia Oneway ANOVA de las variables estudiadas por efecto de la taurina en tomate cultivadas *in vivo* en 0, 5 y 7,5 mS de salinidad.

Tabla 1457A. Analysis of Variance Oneway Anova on Length. Stem (mm) of *Lycopersicon sculentum* Mil L, Days 7, taurine 0 mS of electrical conductivity, *in vivo*

Source	DF	Sum of Squares	Mean Square	F Ratio	Prob > F
Tratamientos	2	913,0333	456,517	36,5495	<,0001*
Error	57	711,9500	12,490		
C. Total	59	1624,9833			

Tabla 1458A. Analysis of Variance Oneway Anova on Length. Stem (mm) of *Lycopersicon sculentum* Mil L, Days 14, taurine 0 mS of electrical conductivity, *in vivo*

Source	DF	Sum of Squares	Mean Square	F Ratio	Prob > F
Tratamientos	2	8844,633	4422,32	157,5500	<,0001*
Error	57	1599,950	28,07		
C. Total	59	10444,583			

Tabla 1459A. Analysis of Variance Oneway Anova on Length. Stem (mm) of *Lycopersicon sculentum* Mil L, Days 21, taurine 0 mS of electrical conductivity, *in vivo*

Source	DF	Sum of Squares	Mean Square	F Ratio	Prob > F
Tratamientos	2	24517,733	12258,9	515,5915	<,0001*
Error	57	1355,250	23,8		
C. Total	59	25872,983			

Tabla 1460A. Analysis of Variance Oneway Anova on Length. Stem (mm) of *Lycopersicon sculentum* Mil L, Days 28, taurine 0 mS of electrical conductivity, *in vivo*

Source	DF	Sum of Squares	Mean Square	F Ratio	Prob > F
Tratamientos	2	55927,900	27963,9	567,4523	<,0001*
Error	57	2808,950	49,3		
C. Total	59	58736,850			

Tabla 1461A. Analysis of Variance Oneway Anova on Length. Roots (mm) of *Lycopersicon sculentum* Mil L, Days 14, taurine 0 mS of electrical conductivity, *in vivo*

Source	DF	Sum of Squares	Mean Square	F Ratio	Prob > F
Tratamientos	2	4414,6333	2207,32	174,1895	<,0001*
Error	57	722,3000	12,67		
C. Total	59	5136,9333			

Tabla 1462A. Analysis of Variance Oneway Anova on Length. Roots (mm) of *Lycopersicon sculentum* Mil L, Days 28, taurine 0 mS of electrical conductivity, *in vivo*

Source	DF	Sum of Squares	Mean Square	F Ratio	Prob > F
Tratamientos	2	16725,100	8362,55	399,1169	<,0001*
Error	57	1194,300	20,95		
C. Total	59	17919,400			

Tabla 1463A. Analysis of Variance Oneway Anova, N° leaves of *Lycopersicon sculentum* Mil L, Days7, taurine 0 mS of electrical conductivity, *in vivo*

Source	DF	Sum of Squares	Mean Square	F Ratio	Prob > F
Tratamientos	2	0	0	.	.
Error	57	0	0		
C. Total	59	0			

Tabla 1464A. Analysis of Variance Oneway Anova, N° leaves of *Lycopersicon sculentum* Mil L, Days 14, taurine 0 mS of electrical conductivity, *in vivo*

Source	DF	Sum of Squares	Mean Square	F Ratio	Prob > F
Tratamientos	2	10,800000	5,40000	31,4082	<,0001*
Error	57	9,800000	0,17193		
C. Total	59	20,600000			

Tabla 1465A. Analysis of Variance Oneway Anova, N° leaves of *Lycopersicon sculentum* Mil L, Days 21, taurine 0 mS of electrical conductivity, *in vivo*

Source	DF	Sum of Squares	Mean Square	F Ratio	Prob > F
Tratamientos	2	18,533333	9,26667	62,8810	<,0001*
Error	57	8,400000	0,14737		
C. Total	59	26,933333			

Tabla 1466A. Analysis of Variance Oneway Anova, N° leaves of *Lycopersicon sculentum* Mil L, Days 28, taurine 0 mS of electrical conductivity, *in vivo*

Source	DF	Sum of Squares	Mean Square	F Ratio	Prob > F
Tratamientos	2	14,700000	7,35000	441,0000	<,0001*
Error	57	0,950000	0,01667		
C. Total	59	15,650000			

Tabla 1467A. Analysis of Variance Oneway Anova, Clorophyll (U. SPAD) of *Lycopersicon sculentum* Mil L, Days 14, taurine 0 mS of electrical conductivity, *in vivo*

Source	DF	Sum of Squares	Mean Square	F Ratio	Prob > F
Tratamientos	2	627,38433	313,692	221,6837	<,0001*
Error	57	80,65750	1,415		
C. Total	59	708,04183			

Tabla 1468A. Analysis of Variance Oneway Anova, Clorophyll (U. SPAD) of *Lycopersicon sculentum* Mil L, Days 21, taurine 0 mS of electrical conductivity, *in vivo*

Source	DF	Sum of Squares	Mean Square	F Ratio	Prob > F
Tratamientos	2	465,86033	232,930	83,0712	<,0001*
Error	57	159,82700	2,804		
C. Total	59	625,68733			

Tabla 1469A. Analysis of Variance Oneway Anova, Clorophyll (U. SPAD) of *Lycopersicon sculentum* Mil L, Days 28, taurine 0 mS of electrical conductivity, *in vivo*

Source	DF	Sum of Squares	Mean Square	F Ratio	Prob > F
Tratamientos	2	245,81033	122,905	102,8133	<,0001*
Error	57	68,13900	1,195		
C. Total	59	313,94933			

Tabla 1470A. Analysis of Variance Oneway Anova, leaf área (mm²) of *Lycopersicon sculentum* Mil L, Days 14, taurine 0 mS of electrical conductivity, *in vivo*

Source	DF	Sum of Squares	Mean Square	F Ratio	Prob > F
Tratamientos	2	6347723,7	3173862	66,0440	<,0001*
Error	57	2739235,9	48057		
C. Total	59	9086959,7			

Tabla 1471A. Analysis of Variance Oneway Anova, leaf área (mm²) of *Lycopersicon sculentum* Mil L, Days 28, taurine 0 mS of electrical conductivity, *in vivo*

Source	DF	Sum of Squares	Mean Square	F Ratio	Prob > F
Tratamientos	2	86266581	43133290	147,4283	<,0001*
Error	57	16676560	292571,23		
C. Total	59	102943141			

Tabla 1472A. Analysis of Variance Oneway Anova, leaf fresh weight (mg) of *Lycopersicon sculentum* Mil L, Days 14, taurine 0 mS of electrical conductivity, *in vivo*

Source	DF	Sum of Squares	Mean Square	F Ratio	Prob > F
Tratamientos	2	143498,05	71749,0	90,3608	<,0001*
Error	57	45259,59	794,0		
C. Total	59	188757,64			

Tabla 1473A. Analysis of Variance Oneway Anova, leaf fresh weight (mg) of *Lycopersicon sculentum* Mil L, Days 28, taurine 0 mS of electrical conductivity, *in vivo*

Source	DF	Sum of Squares	Mean Square	F Ratio	Prob > F
Tratamientos	2	1482964,2	741482	415,6253	<,0001*
Error	57	101688,9	1784		
C. Total	59	1584653,1			

Tabla 1474A. Analysis of Variance Oneway Anova, stem fresh weight (mg) of *Lycopersicon sculentum* Mill., Days 14, taurine 0 mS of electrical conductivity, *in vivo*

Source	DF	Sum of Squares	Mean Square	F Ratio	Prob > F
Tratamientos	2	93819,60	46909,8	25,6135	<,0001*
Error	57	104392,73	1831,5		
C. Total	59	198212,34			

Tabla 1475A. Analysis of Variance Oneway Anova, stem fresh weight (mg) of *Lycopersicon sculentum* Mill., Days 28, taurine 0 mS of electrical conductivity, *in vivo*

Source	DF	Sum of Squares	Mean Square	F Ratio	Prob > F
Tratamientos	2	2809368,3	1404684	368,3782	<,0001*
Error	57	217350,0	3813		
C. Total	59	3026718,3			

Tabla 1476A. Analysis of Variance Oneway Anova, roots fresh weight (mg) of *Lycopersicon sculentum* Mill., Days 14, taurine 0 mS of electrical conductivity, *in vivo*

Source	DF	Sum of Squares	Mean Square	F Ratio	Prob > F
Tratamientos	2	58768,709	29384,4	231,5930	<,0001*
Error	57	7232,118	126,9		
C. Total	59	66000,827			

Tabla 1477A. Analysis of Variance Oneway Anova, roots fresh weight (mg) of *Lycopersicon sculentum* Mill., Days 28, taurine 0 mS of electrical conductivity, *in vivo*

Source	DF	Sum of Squares	Mean Square	F Ratio	Prob > F
Tratamientos	2	420916,97	210458	207,9412	<,0001*
Error	57	57690,03	1012		
C. Total	59	478607,00			

Tabla 1478A. Analysis of Variance Oneway Anova, leaf dry weight (mg) of *Lycopersicon sculentum* Mill., Days 14, taurine 0 mS of electrical conductivity, *in vivo*

Source	DF	Sum of Squares	Mean Square	F Ratio	Prob > F
Tratamientos	2	2070,7000	1035,35	122,1933	<,0001*
Error	57	482,9640	8,47		
C. Total	59	2553,6640			

Tabla 1479A. Analysis of Variance Oneway Anova, leaf dry weight (mg) of *Lycopersicon sculentum* Mill., Days 28, taurine 0 mS of electrical conductivity, *in vivo*

Source	DF	Sum of Squares	Mean Square	F Ratio	Prob > F
Tratamientos	2	20932,429	10466,2	28,8441	<,0001*
Error	57	20682,700	362,9		
C. Total	59	41615,129			

Tabla 1480A. Analysis of Variance Oneway Anova, stem dry weight (mg) of *Lycopersicon sculentum* Mill., Days 14, taurine 0 mS of electrical conductivity, *in vivo*

Source	DF	Sum of Squares	Mean Square	F Ratio	Prob > F
Tratamientos	2	3264,9013	1632,45	188,8805	<,0001*
Error	57	492,6380	8,64		
C. Total	59	3757,5393			

Tabla 1481A. Analysis of Variance Oneway Anova, stem dry weight (mg) of *Lycopersicon sculentum* Mill., Days 28, taurine 0 mS of electrical conductivity, *in vivo*

Source	DF	Sum of Squares	Mean Square	F Ratio	Prob > F
Tratamientos	2	15379,039	7689,52	22,5412	<,0001*
Error	57	19444,549	341,13		
C. Total	59	34823,589			

Tabla 1482A. Analysis of Variance Oneway Anova, roots dry weight (mg) of *Lycopersicon sculentum* Mill, Days 14, taurine 0 mS of electrical conductivity, *in vivo*

Source	DF	Sum of Squares	Mean Square	F Ratio	Prob > F
Tratamientos	2	1165,4920	582,746	74,4228	<,0001*
Error	57	446,3220	7,830		
C. Total	59	1611,8140			

Tabla 1483A. Analysis of Variance Oneway Anova, roots dry weight (mg) of *Lycopersicon sculentum* Mill, Days 28, taurine 0 mS of electrical conductivity, *in vivo*

Source	DF	Sum of Squares	Mean Square	F Ratio	Prob > F
Tratamientos	2	13410,382	6705,19	26,0691	<,0001*
Error	57	14660,871	257,21		
C. Total	59	28071,253			

Tabla 1484A. Analysis of Variance Oneway Anova on Length. Stem (mm) of *Lycopersicon sculentum* Mill, Days 7, taurine 2,5 mS of electrical conductivity, *in vivo*

Source	DF	Sum of Squares	Mean Square	F Ratio	Prob > F
Tratamientos	2	982,9000	491,450	72,2534	<,0001*
Error	57	387,7000	6,802		
C. Total	59	1370,6000			

Tabla 1485A. Analysis of Variance Oneway Anova on Length. Stem (mm) of *Lycopersicon sculentum* Mill, Days 14, taurine 2,5 mS of electrical conductivity, *in vivo*

Source	DF	Sum of Squares	Mean Square	F Ratio	Prob > F
Tratamientos	2	8848,2333	4424,12	295,0274	<,0001*
Error	57	854,7500	15,00		
C. Total	59	9702,9833			

Tabla 1486A. Analysis of Variance Oneway Anova on Length. Stem (mm) of *Lycopersicon sculentum* Mill, Days 21, taurine 2,5 mS of electrical conductivity, *in vivo*

Source	DF	Sum of Squares	Mean Square	F Ratio	Prob > F
Tratamientos	2	12782,700	6391,35	288,1833	<,0001*
Error	57	1264,150	22,18		
C. Total	59	14046,850			

Tabla 1487A. Analysis of Variance Oneway Anova on Length. Stem (mm) of *Lycopersicon sculentum* Mill, Days 28, taurine 2,5 mS of electrical conductivity, *in vivo*

Source	DF	Sum of Squares	Mean Square	F Ratio	Prob > F
Tratamientos	2	38752,133	19376,1	170,9494	<,0001*
Error	57	6460,600	113,3		
C. Total	59	45212,733			

Tabla 1488A. Analysis of Variance Oneway Anova on roots Length (mm) of *Lycopersicon sculentum* Mill, Days 14, taurine 2,5 mS of electrical conductivity, *in vivo*

Source	DF	Sum of Squares	Mean Square	F Ratio	Prob > F
Tratamientos	2	6641,2333	3320,62	163,5418	<,0001*
Error	57	1157,3500	20,30		
C. Total	59	7798,5833			

Tabla 1489A. Analysis of Variance Oneway Anova on roots Length (mm) of *Lycopersicon sculentum* Mill, Days 28, taurine 2,5 mS of electrical conductivity, *in vivo*

Source	DF	Sum of Squares	Mean Square	F Ratio	Prob > F
Tratamientos	2	12466,533	6233,27	326,0645	<,0001*
Error	57	1089,650	19,12		
C. Total	59	13556,183			

Tabla 1490A. Analysis of Variance Oneway Anova, N° Leaves of *Lycopersicon sculentum* Mill, Days 7, taurine 2,5 mS of electrical conductivity, *in vivo*

Source	DF	Sum of Squares	Mean Square	F Ratio	Prob > F
Tratamientos	2	0	0		
Error	57	0	0		
C. Total	59	0			

Tabla 1491A. Analysis of Variance Oneway Anova, N° Leaves of *Lycopersicon sculentum* Mill, Days 14, taurine 2,5 mS of electrical conductivity, *in vivo*

Source	DF	Sum of Squares	Mean Square	F Ratio	Prob > F
Tratamientos	2	8,533333	4,26667	76,0000	<,0001*
Error	57	3,200000	0,05614		
C. Total	59	11,733333			

Tabla 1492A. Analysis of Variance Oneway Anova, N° Leaves of *Lycopersicon sculentum* Mill, Days 21, taurine 2,5 mS of electrical conductivity, *in vivo*

Source	DF	Sum of Squares	Mean Square	F Ratio	Prob > F
Tratamientos	2	15,633333	7,81667	31,5993	<,0001*
Error	57	14,100000	0,24737		
C. Total	59	29,733333			

Tabla 1493A. Analysis of Variance Oneway Anova, N° Leaves of *Lycopersicon sculentum* Mill, Days 28, taurine 2,5 mS of electrical conductivity, *in vivo*

Source	DF	Sum of Squares	Mean Square	F Ratio	Prob > F
Tratamientos	2	46,533333	23,2667	315,7619	<,0001*
Error	57	4,200000	0,0737		
C. Total	59	50,733333			

Tabla 1494A. Analysis of Variance Oneway Anova, Clorophyll (U. SPAD) of *Lycopersicon sculentum* Mill, Days 14, taurine 2,5 mS of electrical conductivity, *in vivo*

Source	DF	Sum of Squares	Mean Square	F Ratio	Prob > F
Tratamientos	2	492,56133	246,281	188,1719	<,0001*
Error	57	74,60200	1,309		
C. Total	59	567,16333			

Tabla 1495A. Analysis of Variance Oneway Anova, Clorophyll (U. SPAD) of *Lycopersicon sculentum* Mill, Days 21, taurine 2,5 mS of electrical conductivity, *in vivo*

Source	DF	Sum of Squares	Mean Square	F Ratio	Prob > F
Tratamientos	2	438,97600	219,488	97,0327	<,0001*
Error	57	128,93400	2,262		
C. Total	59	567,91000			

Tabla 1496A. Analysis of Variance Oneway Anova, Clorophyll (U. SPAD) of *Lycopersicon sculentum* Mill, Days 28, taurine 2,5 mS of electrical conductivity, *in vivo*

Source	DF	Sum of Squares	Mean Square	F Ratio	Prob > F
Tratamientos	2	355,10533	177,553	146,0137	<,0001*
Error	57	69,31200	1,216		
C. Total	59	424,41733			

Tabla 1497A. Analysis of Variance Oneway Anova, leaf área (mm²) of *Lycopersicon sculentum* Mill, Days 14, taurine 2,5 mS of electrical conductivity, *in vivo*

Source	DF	Sum of Squares	Mean Square	F Ratio	Prob > F
Tratamientos	2	6577120	3288560	53,9499	<,0001*
Error	57	3474484	60956		
C. Total	59	10051604			

Tabla 1498A. Analysis of Variance Oneway Anova, leaf área (mm²) of *Lycopersicon sculentum* Mill., Days 28, taurine 2,5 mS of electrical conductivity, *in vivo*

Source	DF	Sum of Squares	Mean Square	F Ratio	Prob > F
Tratamientos	2	148002610	74001305	532,7738	<,0001*
Error	57	7917196	138898,18		
C. Total	59	155919807			

Tabla 1499A. Analysis of Variance Oneway Anova, leaf fresh weight (mg) of *Lycopersicon sculentum* Mill., Days 14, taurine 2,5 mS of electrical conductivity, *in vivo*

Source	DF	Sum of Squares	Mean Square	F Ratio	Prob > F
Tratamientos	2	73636,709	36818,4	131,2077	<,0001*
Error	57	15994,838	280,6		
C. Total	59	89631,547			

Tabla 1500A. Analysis of Variance Oneway Anova, leaf fresh weight (mg) of *Lycopersicon sculentum* Mill., Days 28, taurine 2,5 mS of electrical conductivity, *in vivo*

Source	DF	Sum of Squares	Mean Square	F Ratio	Prob > F
Tratamientos	2	2406404,1	1203202	721,8922	<,0001*
Error	57	95003,8	1667		
C. Total	59	2501408,0			

Tabla 1501A. Analysis of Variance Oneway Anova, stem fresh weight (mg) of *Lycopersicon sculentum* Mill., Days 14, taurine 2,5 mS of electrical conductivity, *in vivo*

Source	DF	Sum of Squares	Mean Square	F Ratio	Prob > F
Tratamientos	2	131785,79	65892,9	146,9161	<,0001*
Error	57	25564,89	448,5		
C. Total	59	157350,68			

Tabla 1502A. Analysis of Variance Oneway Anova, stem fresh weight (mg) of *Lycopersicon sculentum* Mill., Days 28, taurine 2,5 mS of electrical conductivity, *in vivo*

Source	DF	Sum of Squares	Mean Square	F Ratio	Prob > F
Tratamientos	2	5020927,5	2510464	703,5951	<,0001*
Error	57	203379,0	3568		
C. Total	59	5224306,5			

Tabla 1503A. Analysis of Variance Oneway Anova, roots fresh weight (mg) of *Lycopersicon sculentum* Mill., Days 14, taurine 2,5 mS of electrical conductivity, *in vivo*

Source	DF	Sum of Squares	Mean Square	F Ratio	Prob > F
Tratamientos	2	27727,737	13863,9	220,6308	<,0001*
Error	57	3581,732	62,8		
C. Total	59	31309,469			

Tabla 1504A. Analysis of Variance Oneway Anova, roots fresh weight (mg) of *Lycopersicon sculentum* Mill., Days 28, taurine 2,5 mS of electrical conductivity, *in vivo*

Source	DF	Sum of Squares	Mean Square	F Ratio	Prob > F
Tratamientos	2	233077,99	116539	362,0455	<,0001*
Error	57	18347,76	322		
C. Total	59	251425,75			

Tabla 1505A. Analysis of Variance Oneway Anova, leaf dry weight (mg) of *Lycopersicon sculentum* Mill., Days 14, taurine 2,5 mS of electrical conductivity, *in vivo*

Source	DF	Sum of Squares	Mean Square	F Ratio	Prob > F
Tratamientos	2	2519,7813	1259,89	83,2097	<,0001*
Error	57	863,0460	15,14		
C. Total	59	3382,8273			

Tabla 1506A. Analysis of Variance Oneway Anova, leaf dry weight (mg) of *Lycopersicon sculentum* Mill., Days 28, taurine 2,5 mS of electrical conductivity, *in vivo*

Source	DF	Sum of Squares	Mean Square	F Ratio	Prob > F
Tratamientos	2	22328,420	11164,2	74,0701	<,0001*
Error	57	8591,317	150,7		
C. Total	59	30919,737			

Tabla 1507A. Analysis of Variance Oneway Anova, stem dry weight (mg) of *Lycopersicon sculentum* Mill., Days 14, taurine 2,5 mS of electrical conductivity, *in vivo*

Source	DF	Sum of Squares	Mean Square	F Ratio	Prob > F
Tratamientos	2	3566,1373	1783,07	100,6595	<,0001*
Error	57	1009,6900	17,71		
C. Total	59	4575,8273			

Tabla 1508A. Analysis of Variance Oneway Anova, stem dry weight (mg) of *Lycopersicon sculentum* Mill., Days 28, taurine 2,5 mS of electrical conductivity, *in vivo*

Source	DF	Sum of Squares	Mean Square	F Ratio	Prob > F
Tratamientos	2	10969,707	5484,85	22,3484	<,0001*
Error	57	13989,241	245,43		
C. Total	59	24958,949			

Tabla 1509A. Analysis of Variance Oneway Anova, roots dry weight (mg) of *Lycopersicon sculentum* Mill., Days 28, taurine 2,5 mS of electrical conductivity, *in vivo*

Source	DF	Sum of Squares	Mean Square	F Ratio	Prob > F
Tratamientos	2	1308,4193	654,210	148,2662	<,0001*
Error	57	251,5067	4,412		
C. Total	59	1559,9260			

Tabla 1510A. Analysis of Variance Oneway Anova, roots dry weight (mg) of *Lycopersicon sculentum* Mill., Days 28, taurine 2,5 mS of electrical conductivity, *in vivo*

Source	DF	Sum of Squares	Mean Square	F Ratio	Prob > F
Tratamientos	2	7844,997	3922,50	17,9297	<,0001*
Error	57	12469,920	218,77		
C. Total	59	20314,917			

Tabla 1511A. Analysis of Variance Oneway Anova on Length. Stem (mm) of *Lycopersicon sculentum* Mill., Days 7, taurine 5 mS of electrical conductivity, *in vivo*

Source	DF	Sum of Squares	Mean Square	F Ratio	Prob > F
Tratamientos	2	434,23333	217,117	38,1082	<,0001*
Error	57	324,75000	5,697		
C. Total	59	758,98333			

Tabla 1512A. Analysis of Variance Oneway Anova on Length. Stem (mm) of *Lycopersicon sculentum* Mill., Days 14, taurine 5 mS of electrical conductivity, *in vivo*

Source	DF	Sum of Squares	Mean Square	F Ratio	Prob > F
Tratamientos	2	6114,0333	3057,02	123,8846	<,0001*
Error	57	1406,5500	24,68		
C. Total	59	7520,5833			

Tabla 1513A. Analysis of Variance Oneway Anova on Length. Stem (mm) of *Lycopersicon sculentum* Mill., Days 21, taurine 5 mS of electrical conductivity, *in vivo*

Source	DF	Sum of Squares	Mean Square	F Ratio	Prob > F
Tratamientos	2	8761,433	4380,72	117,1452	<,0001*
Error	57	2131,550	37,40		
C. Total	59	10892,983			

Tabla 1514A. Analysis of Variance Oneway Anova on Length. Stem (mm) of *Lycopersicon sculentum* Mill., Days 28, taurine 5 mS of electrical conductivity, *in vivo*

Source	DF	Sum of Squares	Mean Square	F Ratio	Prob > F
Tratamientos	2	39873,633	19936,8	320,1754	<,0001*
Error	57	3549,300	62,3		
C. Total	59	43422,933			

Tabla 1515A. Analysis of Variance Oneway Anova on roots length (mm) of *Lycopersicon sculentum* Mill., Days 14, taurine 5 mS of electrical conductivity, *in vivo*

Source	DF	Sum of Squares	Mean Square	F Ratio	Prob > F
Tratamientos	2	8406,3000	4203,15	221,1470	<,0001*
Error	57	1083,3500	19,01		
C. Total	59	9489,6500			

Tabla 1516A. Analysis of Variance Oneway Anova on roots length (mm) of *Lycopersicon sculentum* Mill., Days 28, taurine 5 mS of electrical conductivity, *in vivo*

Source	DF	Sum of Squares	Mean Square	F Ratio	Prob > F
Tratamientos	2	6433,6000	3216,80	145,5219	<,0001*
Error	57	1260,0000	22,11		
C. Total	59	7693,6000			

Tabla 1517A. Analysis of Variance Oneway Anova, N° leaves of *Lycopersicon sculentum* Mill., Days 7, taurine 5 mS of electrical conductivity, *in vivo*

Source	DF	Sum of Squares	Mean Square	F Ratio	Prob > F
Tratamientos	2	0	0	.	.
Error	57	0	0		
C. Total	59	0			

Tabla 1518A. Analysis of Variance Oneway Anova, N° leaves of *Lycopersicon sculentum* Mill., Days 14, taurine 5 mS of electrical conductivity, *in vivo*

Source	DF	Sum of Squares	Mean Square	F Ratio	Prob > F
Tratamientos	2	13,33333	6,6667	-2,1e+16	<,0001*
Error	57	-1,776e-14	-3,1e-16		
C. Total	59	13,33333			

Tabla 1519A. Analysis of Variance Oneway Anova, N° leaves of *Lycopersicon sculentum* Mill., Days 21, taurine 5 mS of electrical conductivity, *in vivo*

Source	DF	Sum of Squares	Mean Square	F Ratio	Prob > F
Tratamientos	2	18,100000	9,05000	38,7857	<,0001*
Error	57	13,300000	0,23333		
C. Total	59	31,400000			

Tabla 1520A. Analysis of Variance Oneway Anova, N° leaves of *Lycopersicon sculentum* Mill., Days 28, taurine 5 mS of electrical conductivity, *in vivo*

Source	DF	Sum of Squares	Mean Square	F Ratio	Prob > F
Tratamientos	2	31,633333	15,8167	79,7832	<,0001*
Error	57	11,300000	0,1982		
C. Total	59	42,933333			

Tabla 1521A. Analysis of Variance Oneway Anova, Chlorophyll (U. SPAD) of *Lycopersicon sculentum* Mill., Days 14, taurine 5 mS of electrical conductivity, *in vivo*

Source	DF	Sum of Squares	Mean Square	F Ratio	Prob > F
Tratamientos	2	347,31233	173,656	315,8644	<,0001*
Error	57	31,33750	0,550		
C. Total	59	378,64983			

Tabla 1522A. Analysis of Variance Oneway Anova, Clorophyll (U. SPAD) of *Lycopersicon sculentum* Mill., Days 21, taurine 5 mS of electrical conductivity, *in vivo*

Source	DF	Sum of Squares	Mean Square	F Ratio	Prob > F
Tratamientos	2	452,63433	226,317	44,7902	<,0001*
Error	57	288,01150	5,053		
C. Total	59	740,64583			

Tabla 1523A. Analysis of Variance Oneway Anova, Clorophyll (U. SPAD) of *Lycopersicon sculentum* Mill., Days 28, taurine 5 mS of electrical conductivity, *in vivo*

Source	DF	Sum of Squares	Mean Square	F Ratio	Prob > F
Tratamientos	2	412,72633	206,363	153,7136	<,0001*
Error	57	76,52350	1,343		
C. Total	59	489,24983			

Tabla 1524A. Analysis of Variance Oneway Anova, leaf área (mm²) of *Lycopersicon sculentum* Mill., Days 14, taurine 5 mS of electrical conductivity, *in vivo*

Source	DF	Sum of Squares	Mean Square	F Ratio	Prob > F
Tratamientos	2	4880895,6	2440448	177,1587	<,0001*
Error	57	785202,8	13775		
C. Total	59	5666098,4			

Tabla 1525A. Analysis of Variance Oneway Anova, leaf área (mm²) of *Lycopersicon sculentum* Mill., Days 28, taurine 5 mS of electrical conductivity, *in vivo*

Source	DF	Sum of Squares	Mean Square	F Ratio	Prob > F
Tratamientos	2	93472247	46736123	720,4469	<,0001*
Error	57	3697648	64871,014		
C. Total	59	97169894			

Tabla 1526A. Analysis of Variance Oneway Anova, leaf fresh weight (mg) of *Lycopersicon sculentum* Mill., Days 28, taurine 5 mS of electrical conductivity, *in vivo*

Source	DF	Sum of Squares	Mean Square	F Ratio	Prob > F
Tratamientos	2	73996,43	36998,2	69,5253	<,0001*
Error	57	30332,82	532,2		
C. Total	59	104329,26			

Tabla 1527A. Analysis of Variance Oneway Anova, leaf fresh weight (mg) of *Lycopersicon sculentum* Mill., Days 28, taurine 5 mS of electrical conductivity, *in vivo*

Source	DF	Sum of Squares	Mean Square	F Ratio	Prob > F
Tratamientos	2	488667,27	244334	248,9771	<,0001*
Error	57	55936,95	981		
C. Total	59	544604,21			

Tabla 1528A. Analysis of Variance Oneway Anova, stem fresh weight (mg) of *Lycopersicon sculentum* Mill., Days 14, taurine 5 mS of electrical conductivity, *in vivo*

Source	DF	Sum of Squares	Mean Square	F Ratio	Prob > F
Tratamientos	2	70729,889	35364,9	139,2793	<,0001*
Error	57	14473,090	253,9		
C. Total	59	85202,979			

Tabla 1529A. Analysis of Variance Oneway Anova, stem fresh weight (mg) of *Lycopersicon sculentum* Mill., Days 28, taurine 5 mS of electrical conductivity, *in vivo*

Source	DF	Sum of Squares	Mean Square	F Ratio	Prob > F
Tratamientos	2	1118267,6	559134	762,7066	<,0001*
Error	57	41786,2	733		
C. Total	59	1160053,9			

Tabla 1530A. Analysis of Variance Oneway Anova, roots fresh weight (mg) of *Lycopersicon sculentum* Mill., Days 14, taurine 5 mS of electrical conductivity, *in vivo*

Source	DF	Sum of Squares	Mean Square	F Ratio	Prob > F
Tratamientos	2	5273,2920	2636,65	47,3941	<,0001*
Error	57	3171,0420	55,63		
C. Total	59	8444,3340			

Tabla 1531A. Analysis of Variance Oneway Anova, roots fresh weight (mg) of *Lycopersicon sculentum* Mill., Days 28, taurine 5 mS of electrical conductivity, *in vivo*

Source	DF	Sum of Squares	Mean Square	F Ratio	Prob > F
Tratamientos	2	325612,74	162806	544,0227	<,0001*
Error	57	17058,04	299		
C. Total	59	342670,78			

Tabla 1532A. Analysis of Variance Oneway Anova, leaf dry weight (mg) of *Lycopersicon sculentum* Mill., Days 14, taurine 5 mS of electrical conductivity, *in vivo*

Source	DF	Sum of Squares	Mean Square	F Ratio	Prob > F
Tratamientos	2	2090,1053	1045,05	126,0570	<,0001*
Error	57	472,5480	8,29		
C. Total	59	2562,6533			

Tabla 1533A. Analysis of Variance Oneway Anova, leaf dry weight (mg) of *Lycopersicon sculentum* Mill., Days 28, taurine 5 mS of electrical conductivity, *in vivo*

Source	DF	Sum of Squares	Mean Square	F Ratio	Prob > F
Tratamientos	2	10292,857	5146,43	113,0684	<,0001*
Error	57	2594,416	45,52		
C. Total	59	12887,273			

Tabla 1534A. Analysis of Variance Oneway Anova, stem dry weight (mg) of *Lycopersicon sculentum* Mill., Days 14, taurine 5 mS of electrical conductivity, *in vivo*

Source	DF	Sum of Squares	Mean Square	F Ratio	Prob > F
Tratamientos	2	3190,2327	1595,12	90,1819	<,0001*
Error	57	1008,2022	17,69		
C. Total	59	4198,4349			

Tabla 1535A. Analysis of Variance Oneway Anova, stem dry weight (mg) of *Lycopersicon sculentum* Mill., Days 28, taurine 5 mS of electrical conductivity, *in vivo*

Source	DF	Sum of Squares	Mean Square	F Ratio	Prob > F
Tratamientos	2	12808,502	6404,25	181,3730	<,0001*
Error	57	2012,661	35,31		
C. Total	59	14821,163			

Tabla 1536A. Analysis of Variance Oneway Anova, roots dry weight (mg) of *Lycopersicon sculentum* Mill., Days 14, taurine 5 mS of electrical conductivity, *in vivo*

Source	DF	Sum of Squares	Mean Square	F Ratio	Prob > F
Tratamientos	2	1046,1160	523,058	179,7840	<,0001*
Error	57	165,8340	2,909		
C. Total	59	1211,9500			

Tabla 1537A. Analysis of Variance Oneway Anova, stem dry weight (mg) of *Lycopersicon sculentum* Mill., Days 28, taurine 5 mS of electrical conductivity, *in vivo*

Source	DF	Sum of Squares	Mean Square	F Ratio	Prob > F
Tratamientos	2	6027,075	3013,54	8,8085	0,0005*
Error	57	19500,761	342,12		
C. Total	59	25527,837			

Anexo 21. Análisis de la variancia Oneway ANOVA de las variables estudiadas por efecto de la taurina en berenjena cultivada *in vivo* en 0, 2,5 y 5 mS de salinidad.

Tabla 1538A. Analysis of Variance Oneway Anova on Length. Stem (mm) of *Solanum melongena* L, Days 7, taurine 0 mS of electrical conductivity, *in vivo*

Source	DF	Sum of Squares	Mean Square	F Ratio	Prob > F
Tratamientos	2	4049,7333	2024,87	132,9005	<,0001*
Error	57	868,4500	15,24		
C. Total	59	4918,1833			

Tabla 1539A. Analysis of Variance Oneway Anova on Length. Stem (mm) of *Solanum melongena* L, Days 14, taurine 0 mS of electrical conductivity, *in vivo*

Source	DF	Sum of Squares	Mean Square	F Ratio	Prob > F
Tratamientos	2	949,4333	474,717	11,3526	<,0001*
Error	57	2383,5000	41,816		
C. Total	59	3332,9333			

Tabla 1540A. Analysis of Variance Oneway Anova on Length. Stem (mm) of *Solanum melongena* L, Days 21, taurine 0 mS of electrical conductivity, *in vivo*

Source	DF	Sum of Squares	Mean Square	F Ratio	Prob > F
Tratamientos	2	1299,4333	649,717	77,4281	<,0001*
Error	57	478,3000	8,391		
C. Total	59	1777,7333			

Tabla 1541A. Analysis of Variance Oneway Anova on Length. Stem (mm) of *Solanum melongena* L, Days 28, taurine 0 mS of electrical conductivity, *in vivo*

Source	DF	Sum of Squares	Mean Square	F Ratio	Prob > F
Tratamientos	2	6508,9333	3254,47	252,7999	<,0001*
Error	57	733,8000	12,87		
C. Total	59	7242,7333			

Tabla 1542A. Analysis of Variance Oneway Anova on roots length (mm) of *Solanum melongena* L, Days 14, taurine 0 mS of electrical conductivity, *in vivo*

Source	DF	Sum of Squares	Mean Square	F Ratio	Prob > F
Tratamientos	2	4340,1333	2170,07	120,6533	<,0001*
Error	57	1025,2000	17,99		
C. Total	59	5365,3333			

Tabla 1543A. Analysis of Variance Oneway Anova on roots length (mm) of *Solanum melongena* L, Days 28, taurine 0 mS of electrical conductivity, *in vivo*

Source	DF	Sum of Squares	Mean Square	F Ratio	Prob > F
Tratamientos	2	3780,1000	1890,05	109,2071	<,0001*
Error	57	986,5000	17,31		
C. Total	59	4766,6000			

Tabla 1544A. Analysis of Variance Oneway Anova, N° leaves of *Solanum melongena* L, Days 7, taurine 0 mS of electrical conductivity, *in vivo*

Source	DF	Sum of Squares	Mean Square	F Ratio	Prob > F
Tratamientos	2	0	0	.	.
Error	57	0	0		
C. Total	59	0			

Tabla 1545A. Analysis of Variance Oneway Anova, N° leaves of *Solanum melongena* L, Days 14, taurine 0 mS of electrical conductivity, *in vivo*

Source	DF	Sum of Squares	Mean Square	F Ratio	Prob > F
Tratamientos	2	3,333333	1,66667	13,5714	<,0001*
Error	57	7,000000	0,12281		
C. Total	59	10,333333			

Tabla 1546A. Analysis of Variance Oneway Anova, N° leaves of *Solanum melongena* L, Days 21, taurine 0 mS of electrical conductivity, *in vivo*

Source	DF	Sum of Squares	Mean Square	F Ratio	Prob > F
Tratamientos	2	3,333333	1,66667	7,3077	0,0015*
Error	57	13,000000	0,22807		
C. Total	59	16,333333			

Tabla 1547A. Analysis of Variance Oneway Anova, N° leaves of *Solanum melongena* L, Days 28, taurine 0 mS of electrical conductivity, *in vivo*

Source	DF	Sum of Squares	Mean Square	F Ratio	Prob > F
Tratamientos	2	11,100000	5,55000	37,0000	<,0001*
Error	57	8,550000	0,15000		
C. Total	59	19,650000			

Tabla 1548A. Analysis of Variance Oneway Anova, Clorophyll (U. SPAD) of *Solanum melongena* L, Days 14 taurine 0 mS of electrical conductivity, *in vivo*

Source	DF	Sum of Squares	Mean Square	F Ratio	Prob > F
Tratamientos	2	521,05033	260,525	109,8636	<,0001*
Error	57	135,16700	2,371		
C. Total	59	656,21733			

Tabla 1549A. Analysis of Variance Oneway Anova, Clorophyll (U. SPAD) of *Solanum melongena* L, Days 21 taurine 0 mS of electrical conductivity, *in vivo*

Source	DF	Sum of Squares	Mean Square	F Ratio	Prob > F
Tratamientos	2	542,31600	271,158	204,0020	<,0001*
Error	57	75,76400	1,329		
C. Total	59	618,08000			

Tabla 1550A. Analysis of Variance Oneway Anova, Clorophyll (U. SPAD) of *Solanum melongena* L, Days 28 taurine 0 mS of electrical conductivity, *in vivo*

Source	DF	Sum of Squares	Mean Square	F Ratio	Prob > F
Tratamientos	2	424,45200	212,226	107,1450	<,0001*
Error	57	112,90200	1,981		
C. Total	59	537,35400			

Tabla 1551A. Analysis of Variance Oneway Anova, leaf área (mm²) of *Solanum melongena* L, Days 14 taurine 0 mS of electrical conductivity, *in vivo*

Source	DF	Sum of Squares	Mean Square	F Ratio	Prob > F
Tratamientos	2	3428012,9	1714006	45,5860	<,0001*
Error	57	2143165,6	37599		
C. Total	59	5571178,6			

Tabla 1552A. Analysis of Variance Oneway Anova, leaf área (mm²) of *Solanum melongena* L, Days 28 taurine 0 mS of electrical conductivity, *in vivo*

Source	DF	Sum of Squares	Mean Square	F Ratio	Prob > F
Tratamientos	2	27403760	13701880	118,6565	<,0001*
Error	57	6582083	115475,13		
C. Total	59	33985843			

Tabla 1553A. Analysis of Variance Oneway Anova, leaf fresh weight (mg) of *Solanum melongena* L, Days 14 taurine 0 mS of electrical conductivity, *in vivo*

Source	DF	Sum of Squares	Mean Square	F Ratio	Prob > F
Tratamientos	2	143083,84	71541,9	126,4766	<,0001*
Error	57	32242,24	565,7		
C. Total	59	175326,08			

Tabla 1554A. Analysis of Variance Oneway Anova, leaf fresh weight (mg) of *Solanum melongena* L, Days 28 taurine 0 mS of electrical conductivity, *in vivo*

Source	DF	Sum of Squares	Mean Square	F Ratio	Prob > F
Tratamientos	2	368440,42	184220	227,1587	<,0001*
Error	57	46225,63	811		
C. Total	59	414666,05			

Tabla 1555A. Analysis of Variance Oneway Anova, stem fresh weight (mg) of *Solanum melongena* L, Days 14 taurine 0 mS of electrical conductivity, *in vivo*

Source	DF	Sum of Squares	Mean Square	F Ratio	Prob > F
Tratamientos	2	74753,657	37376,8	99,7084	<,0001*
Error	57	21367,090	374,9		
C. Total	59	96120,747			

Tabla 1556A. Analysis of Variance Oneway Anova, stem fresh weight (mg) of *Solanum melongena* L, Days 28 taurine 0 mS of electrical conductivity, *in vivo*

Source	DF	Sum of Squares	Mean Square	F Ratio	Prob > F
Tratamientos	2	257180,00	128590	250,4885	<,0001*
Error	57	29261,35	513		
C. Total	59	286441,35			

Tabla 1557 Analysis of Variance Oneway Anova, roots fresh weight (mg) of *Solanum melongena* L, Days 14 taurine 0 mS of electrical conductivity, *in vivo*

Source	DF	Sum of Squares	Mean Square	F Ratio	Prob > F
Tratamientos	2	38315,545	19157,8	183,0605	<,0001*
Error	57	5965,204	104,7		
C. Total	59	44280,749			

Tabla 1558A. Analysis of Variance Oneway Anova, leaf dry weight (mg) of *Solanum melongena* L, Days 14 taurine 0 mS of electrical conductivity, *in vivo*

Source	DF	Sum of Squares	Mean Square	F Ratio	Prob > F
Tratamientos	2	2844,2423	1422,12	75,8012	<,0001*
Error	57	1069,3875	18,76		
C. Total	59	3913,6298			

Tabla 1559A. Analysis of Variance Oneway Anova, leaf dry weight (mg) of *Solanum melongena* L, Days 28 taurine 0 mS of electrical conductivity, *in vivo*

Source	DF	Sum of Squares	Mean Square	F Ratio	Prob > F
Tratamientos	2	5745,9990	2873,00	187,0978	<,0001*
Error	57	875,2695	15,36		
C. Total	59	6621,2685			

Tabla 1560A. Analysis of Variance Oneway Anova, stem dry weight (mg) of *Solanum melongena* L, Days 14 taurine 0 mS of electrical conductivity, *in vivo*

Source	DF	Sum of Squares	Mean Square	F Ratio	Prob > F
Tratamientos	2	3042,1023	1521,05	40,4749	<,0001*
Error	57	2142,0670	37,58		
C. Total	59	5184,1693			

Tabla 1561A. Analysis of Variance Oneway Anova, stem dry weight (mg) of *Solanum melongena* L, Days 28 taurine 0 mS of electrical conductivity, *in vivo*

Source	DF	Sum of Squares	Mean Square	F Ratio	Prob > F
Tratamientos	2	2475,2305	1237,62	42,4477	<,0001*
Error	57	1661,9045	29,16		
C. Total	59	4137,1350			

Tabla 1562A. Analysis of Variance Oneway Anova, roots dry weight (mg) of *Solanum melongena* L, Days 14 taurine 0 mS of electrical conductivity, *in vivo*

Source	DF	Sum of Squares	Mean Square	F Ratio	Prob > F
Tratamientos	2	318,97233	159,486	17,1182	<,0001*
Error	57	531,05500	9,317		
C. Total	59	850,02733			

Tabla 1563A. Analysis of Variance Oneway Anova, roots dry weight (mg) of *Solanum melongena* L, Days 28 taurine 0 mS of electrical conductivity, *in vivo*

Source	DF	Sum of Squares	Mean Square	F Ratio	Prob > F
Tratamientos	2	2461,9767	1230,99	21,1876	<,0001*
Error	57	3311,6700	58,10		
C. Total	59	5773,6467			

Tabla 1564A. Analysis of Variance Oneway Anova on Length. Stem (mm) of *Solanum melongena* L, Days 7 taurine 2,5 mS of electrical conductivity, *in vivo*

Source	DF	Sum of Squares	Mean Square	F Ratio	Prob > F
Tratamientos	2	3892,6333	1946,32	204,1028	<,0001*
Error	57	543,5500	9,54		
C. Total	59	4436,1833			

Tabla 1565A. Analysis of Variance Oneway Anova on Length. Stem (mm) of *Solanum melongena* L, Days 14 taurine 2,5 mS of electrical conductivity, *in vivo*

Source	DF	Sum of Squares	Mean Square	F Ratio	Prob > F
Tratamientos	2	889,2000	444,600	23,8257	<,0001*
Error	57	1063,6500	18,661		
C. Total	59	1952,8500			

Tabla 1566A. Analysis of Variance Oneway Anova on Length. Stem (mm) of *Solanum melongena* L, Days 21 taurine 2,5 mS of electrical conductivity, *in vivo*

Source	DF	Sum of Squares	Mean Square	F Ratio	Prob > F
Tratamientos	2	2429,6333	1214,82	106,9084	<,0001*
Error	57	647,7000	11,36		
C. Total	59	3077,3333			

Tabla 1567A. Analysis of Variance Oneway Anova on Length. Stem (mm) of *Solanum melongena* L, Days 28 taurine 2,5 mS of electrical conductivity, *in vivo*

Source	DF	Sum of Squares	Mean Square	F Ratio	Prob > F
Tratamientos	2	8315,2333	4157,62	279,2319	<,0001*
Error	57	848,7000	14,89		
C. Total	59	9163,9333			

Tabla 1568A. Analysis of Variance Oneway Anova on roots Length (mm) of *Solanum melongena* L, Days 14 taurine 2,5 mS of electrical conductivity, *in vivo*

Source	DF	Sum of Squares	Mean Square	F Ratio	Prob > F
Tratamientos	2	4337,6333	2168,82	95,3473	<,0001*
Error	57	1296,5500	22,75		
C. Total	59	5634,1833			

Tabla 1569A. Analysis of Variance Oneway Anova on roots Length (mm) of *Solanum melongena* L, Days 28 taurine 2,5 mS of electrical conductivity, *in vivo*

Source	DF	Sum of Squares	Mean Square	F Ratio	Prob > F
Tratamientos	2	5715,7333	2857,87	135,6526	<,0001*
Error	57	1200,8500	21,07		
C. Total	59	6916,5833			

Tabla 1570A. Analysis of Variance Oneway Anova, N° Leaves of *Solanum melongena* L, Days 7 taurine 2,5 mS of electrical conductivity, *in vivo*

Source	DF	Sum of Squares	Mean Square	F Ratio	Prob > F
Tratamientos	2	0	0		
Error	57	0	0		
C. Total	59	0			

Tabla 1571A. Analysis of Variance Oneway Anova, N° Leaves of *Solanum melongena* L, Days 14 taurine 2,5 mS of electrical conductivity, *in vivo*

Source	DF	Sum of Squares	Mean Square	F Ratio	Prob > F
Tratamientos	2	5,633333	2,81667	35,2857	<,0001*
Error	57	4,550000	0,07982		
C. Total	59	10,183333			

Tabla 1572 A. Analysis of Variance Oneway Anova, N° Leaves of *Solanum melongena* L, Days 21 taurine 2,5 mS of electrical conductivity, *in vivo*

Source	DF	Sum of Squares	Mean Square	F Ratio	Prob > F
Tratamientos	2	19,300000	9,65000	99,1081	<,0001*
Error	57	5,550000	0,09737		
C. Total	59	24,850000			

Tabla 1573A. Analysis of Variance Oneway Anova, N° Leaves of *Solanum melongena* L, Days 28 taurine 2,5 mS of electrical conductivity, *in vivo*

Source	DF	Sum of Squares	Mean Square	F Ratio	Prob > F
Tratamientos	2	20,800000	10,4000	49,1950	<,0001*
Error	57	12,050000	0,2114		
C. Total	59	32,850000			

Tabla 1574A. Analysis of Variance Oneway Anova, Clorophyll (U. SPAD) of *Solanum melongena* L, Days 14 taurine 2,5 mS of electrical conductivity, *in vivo*

Source	DF	Sum of Squares	Mean Square	F Ratio	Prob > F
Tratamientos	2	551,05300	275,526	135,5569	<,0001*
Error	57	115,85550	2,033		
C. Total	59	666,90850			

Tabla 1575A. Analysis of Variance Oneway Anova, Clorophyll (U. SPAD) of *Solanum melongena* L, Days 21 taurine 2,5 mS of electrical conductivity, *in vivo*

Source	DF	Sum of Squares	Mean Square	F Ratio	Prob > F
Tratamientos	2	463,76400	231,882	174,8964	<,0001*
Error	57	75,57200	1,326		
C. Total	59	539,33600			

Tabla 1576A. Analysis of Variance Oneway Anova, Clorophyll (U. SPAD) of *Solanum melongena* L, Days 28 taurine 2,5 mS of electrical conductivity, *in vivo*

Source	DF	Sum of Squares	Mean Square	F Ratio	Prob > F
Tratamientos	2	349,32700	174,664	75,3056	<,0001*
Error	57	132,20550	2,319		
C. Total	59	481,53250			

Tabla 1577A. Analysis of Variance Oneway Anova, leaf área (mm²) of *Solanum melongena* L, Days 14 taurine 2,5 mS of electrical conductivity, *in vivo*

Source	DF	Sum of Squares	Mean Square	F Ratio	Prob > F
Tratamientos	2	4979394,1	2489697	76,6521	<,0001*
Error	57	1851388,2	32480		
C. Total	59	6830782,3			

Tabla 1578A. Analysis of Variance Oneway Anova, leaf área (mm²) of *Solanum melongena* L, Days 28 taurine 2,5 mS of electrical conductivity, *in vivo*

Source	DF	Sum of Squares	Mean Square	F Ratio	Prob > F
Tratamientos	2	38459189	19229595	217,7287	<,0001*
Error	57	5034187	88319,069		
C. Total	59	43493376			

Tabla 1579A. Analysis of Variance Oneway Anova, leaf fresh weight (mg) of *Solanum melongena* L, Days 14 taurine 2,5 mS of electrical conductivity, *in vivo*

Source	DF	Sum of Squares	Mean Square	F Ratio	Prob > F
Tratamientos	2	339928,63	169964	343,1433	<,0001*
Error	57	28233,00	495		
C. Total	59	368161,64			

Tabla 1580A. Analysis of Variance Oneway Anova, leaf fresh weight (mg) of *Solanum melongena* L, Days 28 taurine 2,5 mS of electrical conductivity, *in vivo*

Source	DF	Sum of Squares	Mean Square	F Ratio	Prob > F
Tratamientos	2	513217,35	256609	359,3911	<,0001*
Error	57	40698,55	714		
C. Total	59	553915,90			

Tabla 1581A. Analysis of Variance Oneway Anova, stem fresh weight (mg) of *Solanum melongena* L, Days 14 taurine 2,5 mS of electrical conductivity, *in vivo*

Source	DF	Sum of Squares	Mean Square	F Ratio	Prob > F
Tratamientos	2	47521,841	23760,9	138,3012	<,0001*
Error	57	9792,922	171,8		
C. Total	59	57314,763			

Tabla 1582A. Analysis of Variance Oneway Anova, stem fresh weight (mg) of *Solanum melongena* L, Days 28 taurine 2,5 mS of electrical conductivity, *in vivo*

Source	DF	Sum of Squares	Mean Square	F Ratio	Prob > F
Tratamientos	2	269692,92	134846	182,8456	<,0001*
Error	57	42036,82	737		
C. Total	59	311729,74			

Tabla 1583A. Analysis of Variance Oneway Anova, roots fresh weight (mg) of *Solanum melongena* L, Days 14 taurine 2,5 mS of electrical conductivity, *in vivo*

Source	DF	Sum of Squares	Mean Square	F Ratio	Prob > F
Tratamientos	2	10193,429	5096,71	58,3444	<,0001*
Error	57	4979,270	87,36		
C. Total	59	15172,699			

Tabla 1584A. Analysis of Variance Oneway Anova, roots fresh weight (mg) of *Solanum melongena* L, Days 28 taurine 2,5 mS of electrical conductivity, *in vivo*

Source	DF	Sum of Squares	Mean Square	F Ratio	Prob > F
Tratamientos	2	243828,21	121914	206,2847	<,0001*
Error	57	33686,96	591		
C. Total	59	277515,17			

Tabla 1585A. Analysis of Variance Oneway Anova, leaf dry weight (mg) of *Solanum melongena* L, Days 14 taurine 2,5 mS of electrical conductivity, *in vivo*

Source	DF	Sum of Squares	Mean Square	F Ratio	Prob > F
Tratamientos	2	3290,0830	1645,04	73,6270	<,0001*
Error	57	1273,5455	22,34		
C. Total	59	4563,6285			

Tabla 1586A. Analysis of Variance Oneway Anova, leaf dry weight (mg) of *Solanum melongena* L, Days 28 taurine 2,5 mS of electrical conductivity, *in vivo*

Source	DF	Sum of Squares	Mean Square	F Ratio	Prob > F
Tratamientos	2	4075,5663	2037,78	76,8082	<,0001*
Error	57	1512,2555	26,53		
C. Total	59	5587,8218			

Tabla 1587A. Analysis of Variance Oneway Anova, stem dry weight (mg) of *Solanum melongena* L, Days 14 taurine 2,5 mS of electrical conductivity, *in vivo*

Source	DF	Sum of Squares	Mean Square	F Ratio	Prob > F
Tratamientos	2	3133,6903	1566,85	64,3076	<,0001*
Error	57	1388,7955	24,36		
C. Total	59	4522,4858			

Tabla 1588A. Analysis of Variance Oneway Anova, stem dry weight (mg) of *Solanum melongena* L, Days 28 taurine 2,5 mS of electrical conductivity, *in vivo*

Source	DF	Sum of Squares	Mean Square	F Ratio	Prob > F
Tratamientos	2	2800,5430	1400,27	86,0242	<,0001*
Error	57	927,8255	16,28		
C. Total	59	3728,3685			

Tabla 1589A. Analysis of Variance Oneway Anova, roots dry weight (mg) of *Solanum melongena* L, Days 28 taurine 2,5 mS of electrical conductivity, *in vivo*

Source	DF	Sum of Squares	Mean Square	F Ratio	Prob > F
Tratamientos	2	285,69033	142,845	23,7703	<,0001*
Error	57	342,53550	6,009		
C. Total	59	628,22583			

Tabla 1590A. Analysis of Variance Oneway Anova, stem dry weight (mg) of *Solanum melongena* L, Days 28 taurine 2,5 mS of electrical conductivity, *in vivo*

Source	DF	Sum of Squares	Mean Square	F Ratio	Prob > F
Tratamientos	2	2808,5063	1404,25	43,5699	<,0001*
Error	57	1837,1035	32,23		
C. Total	59	4645,6098			

Tabla 1591A. Analysis of Variance Oneway Anova on Length stem (mm) of *Solanum melongena* L, Days 7, taurine 5 mS of electrical conductivity, *in vivo*

Source	DF	Sum of Squares	Mean Square	F Ratio	Prob > F
Tratamientos	2	748,0333	374,017	15,5960	<,0001*
Error	57	1366,9500	23,982		
C. Total	59	2114,9833			

Tabla 1592A. Analysis of Variance Oneway Anova on Length stem (mm) of *Solanum melongena* L, Days 14, taurine 5 mS of electrical conductivity, *in vivo*

Source	DF	Sum of Squares	Mean Square	F Ratio	Prob > F
Tratamientos	2	449,1000	224,550	15,5087	<,0001*
Error	57	825,3000	14,479		
C. Total	59	1274,4000			

Tabla 1593A. Analysis of Variance Oneway Anova on Length stem (mm) of *Solanum melongena* L, Days 21, taurine 5 mS of electrical conductivity, *in vivo*

Source	DF	Sum of Squares	Mean Square	F Ratio	Prob > F
Tratamientos	2	1384,0333	692,017	40,5854	<,0001*
Error	57	971,9000	17,051		
C. Total	59	2355,9333			

Tabla 1594A. Analysis of Variance Oneway Anova on Length stem (mm) of *Solanum melongena* L, Days 28, taurine 5 mS of electrical conductivity, *in vivo*

Source	DF	Sum of Squares	Mean Square	F Ratio	Prob > F
Tratamientos	2	8662,933	4331,47	154,3809	<,0001*
Error	57	1599,250	28,06		
C. Total	59	10262,183			

Tabla 1595A. Analysis of Variance Oneway Anova on Length roots (mm) of *Solanum melongena* L, Days 14, taurine 5 mS of electrical conductivity, *in vivo*

Source	DF	Sum of Squares	Mean Square	F Ratio	Prob > F
Tratamientos	2	3537,1000	1768,55	91,1665	<,0001*
Error	57	1105,7500	19,40		
C. Total	59	4642,8500			

Tabla 1596A. Analysis of Variance Oneway Anova on Length roots (mm) of *Solanum melongena* L, Days 28, taurine 5 mS of electrical conductivity, *in vivo*

Source	DF	Sum of Squares	Mean Square	F Ratio	Prob > F
Tratamientos	2	6032,4333	3016,22	120,7207	<,0001*
Error	57	1424,1500	24,99		
C. Total	59	7456,5833			

Tabla 1597A. Analysis of Variance Oneway Anova, N° Leaves of *Solanum melongena* L, Days 7, taurine 5 mS of electrical conductivity, *in vivo*

Source	DF	Sum of Squares	Mean Square	F Ratio	Prob > F
Tratamientos	2	0	0		
Error	57	0	0		
C. Total	59	0			

Tabla 1598 A. Analysis of Variance Oneway Anova, N° Leaves of *Solanum melongena* L, Days 14, taurine 5 mS of electrical conductivity, *in vivo*

Source	DF	Sum of Squares	Mean Square	F Ratio	Prob > F
Tratamientos	2	10,900000	5,45000	88,7571	<,0001*
Error	57	3,500000	0,06140		
C. Total	59	14,400000			

Tabla 1599A. Analysis of Variance Oneway Anova, N° Leaves of *Solanum melongena* L, Days 21, taurine 5 mS of electrical conductivity, *in vivo*

Source	DF	Sum of Squares	Mean Square	F Ratio	Prob > F
Tratamientos	2	19,300000	9,65000	39,4301	<,0001*
Error	57	13,950000	0,24474		
C. Total	59	33,250000			

Tabla 1600A. Analysis of Variance Oneway Anova, N° Leaves of *Solanum melongena* L, Days 28, taurine 5 mS of electrical conductivity, *in vivo*

Source	DF	Sum of Squares	Mean Square	F Ratio	Prob > F
Tratamientos	2	25,433333	12,7167	107,3852	<,0001*
Error	57	6,750000	0,1184		
C. Total	59	32,183333			

Tabla 1601A. Analysis of Variance Oneway Anova, Clorophyll (U. SPAD) of *Solanum melongena* L, Days 14, taurine 5 mS of electrical conductivity, *in vivo*

Source	DF	Sum of Squares	Mean Square	F Ratio	Prob > F
Tratamientos	2	521,05033	260,525	109,8636	<,0001*
Error	57	135,16700	2,371		
C. Total	59	656,21733			

Tabla 1602A. Analysis of Variance Oneway Anova, Clorophyll (U. SPAD) of *Solanum melongena* L, Days 21, taurine 5 mS of electrical conductivity, *in vivo*

Source	DF	Sum of Squares	Mean Square	F Ratio	Prob > F
Tratamientos	2	542,31600	271,158	204,0020	<,0001*
Error	57	75,76400	1,329		
C. Total	59	618,08000			

Tabla 1603A. Analysis of Variance Oneway Anova, Clorophyll (U. SPAD) of *Solanum melongena* L, Days 28, taurine 5 mS of electrical conductivity, *in vivo*

Source	DF	Sum of Squares	Mean Square	F Ratio	Prob > F
Tratamientos	2	424,45200	212,226	107,1450	<,0001*
Error	57	112,90200	1,981		
C. Total	59	537,35400			

Tabla 1604A. Analysis of Variance Oneway Anova, leaf área (mm²) of *Solanum melongena* L, Days 14, taurine 5 mS of electrical conductivity, *in vivo*

Source	DF	Sum of Squares	Mean Square	F Ratio	Prob > F
Tratamientos	2	6015073,3	3007537	170,3487	<,0001*
Error	57	1006345,3	17655		
C. Total	59	7021418,6			

Tabla 1605A. Analysis of Variance Oneway Anova, leaf área (mm²) of *Solanum melongena* L, Days 28, taurine 5 mS of electrical conductivity, *in vivo*

Source	DF	Sum of Squares	Mean Square	F Ratio	Prob > F
Tratamientos	2	40961267	20480634	215,6865	<,0001*
Error	57	5412467	94955,564		
C. Total	59	46373734			

Tabla 1606A. Analysis of Variance Oneway Anova, leaf fresh weight (mg) of *Solanum melongena* L, Days 14, taurine 5 mS of electrical conductivity, *in vivo*

Source	DF	Sum of Squares	Mean Square	F Ratio	Prob > F
Tratamientos	2	183552,39	91776,2	89,4158	<,0001*
Error	57	58504,68	1026,4		
C. Total	59	242057,07			

Tabla 1607A. Analysis of Variance Oneway Anova, leaf fresh weight (mg) of *Solanum melongena* L, Days 28, taurine 5 mS of electrical conductivity, *in vivo*

Source	DF	Sum of Squares	Mean Square	F Ratio	Prob > F
Tratamientos	2	513738,29	256869	320,3156	<,0001*
Error	57	45709,74	802		
C. Total	59	559448,03			

Tabla 1608A. Analysis of Variance Oneway Anova, stem fresh weight (mg) of *Solanum melongena* L, Days 14, taurine 5 mS of electrical conductivity, *in vivo*

Source	DF	Sum of Squares	Mean Square	F Ratio	Prob > F
Tratamientos	2	36404,421	18202,2	188,4712	<,0001*
Error	57	5504,958	96,6		
C. Total	59	41909,379			

Tabla 1609A. Analysis of Variance Oneway Anova, stem fresh weight (mg) of *Solanum melongena* L, Days 28, taurine 5 mS of electrical conductivity, *in vivo*

Source	DF	Sum of Squares	Mean Square	F Ratio	Prob > F
Tratamientos	2	277766,57	138883	279,0880	<,0001*
Error	57	28365,06	498		
C. Total	59	306131,62			

Tabla 1610A. Analysis of Variance Oneway Anova, roots fresh weight (mg) of *Solanum melongena* L, Days 14, taurine 5 mS of electrical conductivity, *in vivo*

Source	DF	Sum of Squares	Mean Square	F Ratio	Prob > F
Tratamientos	2	13862,617	6931,31	115,4918	<,0001*
Error	57	3420,890	60,02		
C. Total	59	17283,507			

Tabla 1611A. Analysis of Variance Oneway Anova, roots fresh weight (mg) of *Solanum melongena* L, Days 28, taurine 5 mS of electrical conductivity, *in vivo*

Source	DF	Sum of Squares	Mean Square	F Ratio	Prob > F
Tratamientos	2	224378,08	112189	198,7695	<,0001*
Error	57	32171,81	564		
C. Total	59	256549,89			

Tabla 1612A. Analysis of Variance Oneway Anova, leaf dry weight (mg) of *Solanum melongena* L, Days 14, taurine 5 mS of electrical conductivity, *in vivo*

Source	DF	Sum of Squares	Mean Square	F Ratio	Prob > F
Tratamientos	2	1901,8173	950,909	12,1580	<,0001*
Error	57	4458,1320	78,213		
C. Total	59	6359,9493			

Tabla 1613A. Analysis of Variance Oneway Anova, leaf dry weight (mg) of *Solanum melongena* L, Days 28, taurine 5 mS of electrical conductivity, *in vivo*

Source	DF	Sum of Squares	Mean Square	F Ratio	Prob > F
Tratamientos	2	2912,9453	1456,47	134,5980	<,0001*
Error	57	616,7920	10,82		
C. Total	59	3529,7373			

Tabla 1614A. Analysis of Variance Oneway Anova, stem dry weight (mg) of *Solanum melongena* L, Days 14, taurine 5 mS of electrical conductivity, *in vivo*

Source	DF	Sum of Squares	Mean Square	F Ratio	Prob > F
Tratamientos	2	2255,4267	1127,71	33,6681	<,0001*
Error	57	1909,2148	33,49		
C. Total	59	4164,6415			

Tabla 1615A. Analysis of Variance Oneway Anova, stem dry weight (mg) of *Solanum melongena* L, Days 28, taurine 5 mS of electrical conductivity, *in vivo*

Source	DF	Sum of Squares	Mean Square	F Ratio	Prob > F
Tratamientos	2	2934,6963	1467,35	50,9660	<,0001*
Error	57	1641,0710	28,79		
C. Total	59	4575,7673			

Tabla 1616A. Analysis of Variance Oneway Anova, roots dry weight (mg) of *Solanum melongena* L, Days 14, taurine 5 mS of electrical conductivity, *in vivo*

Source	DF	Sum of Squares	Mean Square	F Ratio	Prob > F
Tratamientos	2	103,37200	51,6860	6,3170	0,0033*
Error	57	466,37400	8,1820		
C. Total	59	569,74600			

Tabla 1617Tabla 1281A. Analysis of Variance Oneway Anova, roots dry weight (mg) of *Solanum melongena* L, Days 28, taurine 5 mS of electrical conductivity, *in vivo*

Source	DF	Sum of Squares	Mean Square	F Ratio	Prob > F
Tratamientos	2	2795,0363	1397,52	70,7449	<,0001*
Error	57	1125,9970	19,75		
C. Total	59	3921,0333			

Anexo 22. Análisis de la variancia Oneway ANOVA de las variables estudiadas por efecto de la taurina en rábano cultivada *in vivo* en 0, 2,5 y 5 mS de salinidad.

Tabla 1618A. Analysis of Variance Oneway Anova on Length stem (mm) of *Raphanus sativus* L, Days 7, taurine 0 mS of electrical conductivity, *in vivo*

Source	DF	Sum of Squares	Mean Square	F Ratio	Prob > F
Treatments	2	2150,9333	1075,47	109,0776	<,0001*
Error	57	562,0000	9,86		
C. Total	59	2712,9333			

Tabla 1619A. Analysis of Variance Oneway Anova on Length stem (mm) of *Raphanus sativus* L, Days 14, taurine 0 mS of electrical conductivity, *in vivo*

Source	DF	Sum of Squares	Mean Square	F Ratio	Prob > F
Treatments	2	2031,0333	1015,52	89,0599	<,0001*
Error	57	649,9500	11,40		
C. Total	59	2680,9833			

Tabla 1620A. Analysis of Variance Oneway Anova on Length stem (mm) of *Raphanus sativus* L, Days 21, taurine 0 mS of electrical conductivity, *in vivo*

Source	DF	Sum of Squares	Mean Square	F Ratio	Prob > F
Treatments	2	2664,0333	1332,02	72,5929	<,0001*
Error	57	1045,9000	18,35		
C. Total	59	3709,9333			

Tabla 1621A. Analysis of Variance Oneway Anova on Length stem (mm) of *Raphanus sativus* L, Days 28, taurine 0 mS of electrical conductivity, *in vivo*

Source	DF	Sum of Squares	Mean Square	F Ratio	Prob > F
Treatments	2	6138,6333	3069,32	318,4982	<,0001*
Error	57	549,3000	9,64		
C. Total	59	6687,9333			

Tabla 1622A. Analysis of Variance Oneway Anova on Length roots (mm) of *Raphanus sativus* L, Days 14, taurine 0 mS of electrical conductivity, *in vivo*

Source	DF	Sum of Squares	Mean Square	F Ratio	Prob > F
Tratamientos	2	2465,4333	1232,72	101,6049	<,0001*
Error	57	691,5500	12,13		
C. Total	59	3156,9833			

Tabla 1623A. Analysis of Variance Oneway Anova on Length roots (mm) of *Raphanus sativus* L, Days 28, taurine 0 mS of electrical conductivity, *in vivo*

Source	DF	Sum of Squares	Mean Square	F Ratio	Prob > F
Tratamientos	2	13029,100	6514,55	404,7186	<,0001*
Error	57	917,500	16,10		
C. Total	59	13946,600			

Tabla 1624A. Analysis of Variance Oneway Anova, N° Leaves *Raphanus sativus* L, Days 7, taurine 0 mS of electrical conductivity, *in vivo*

Source	DF	Sum of Squares	Mean Square	F Ratio	Prob > F
Treatments	2	0	0	.	.
Error	57	0	0		
C. Total	59	0			

Tabla 1625A. Analysis of Variance Oneway Anova, N° Leaves *Raphanus sativus* L, Days 14, taurine 0 mS of electrical conductivity, *in vivo*

Source	DF	Sum of Squares	Mean Square	F Ratio	Prob > F
Treatments	2	15,433333	7,71667	22,4987	<,0001*
Error	57	19,550000	0,34298		
C. Total	59	34,983333			

Tabla 1626A. Analysis of Variance Oneway Anova, N° Leaves *Raphanus sativus* L, Days 21, taurine 0 mS of electrical conductivity, *in vivo*

Source	DF	Sum of Squares	Mean Square	F Ratio	Prob > F
Treatments	2	13,433333	6,71667	26,7727	<,0001*
Error	57	14,300000	0,25088		
C. Total	59	27,733333			

Tabla 1627A. Analysis of Variance Oneway Anova, N° Leaves of *Raphanus sativus* L, Days 28, taurine 0 mS of electrical conductivity, *in vivo*

Source	DF	Sum of Squares	Mean Square	F Ratio	Prob > F
Treatments	2	32,033333	16,0167	184,4343	<,0001*
Error	57	4,950000	0,0868		
C. Total	59	36,983333			

Tabla 1628A. Analysis of Variance Oneway Anova, Clorophyll (U. SPAD) of *Raphanus sativus* L, Days 14, taurine 0 mS of electrical conductivity, *in vivo*

Source	DF	Sum of Squares	Mean Square	F Ratio	Prob > F
Treatments	2	348,10833	174,054	33,9046	<,0001*
Error	57	292,61750	5,134		
C. Total	59	640,72583			

Tabla 1629A. Analysis of Variance Oneway Anova, Clorophyll (U. SPAD) of *Raphanus sativus* L, Days 21, taurine 0 mS of electrical conductivity, *in vivo*

Source	DF	Sum of Squares	Mean Square	F Ratio	Prob > F
Treatments	2	232,47700	116,238	19,8569	<,0001*
Error	57	333,66700	5,854		
C. Total	59	566,14400			

Tabla 1630A. Analysis of Variance Oneway Anova, Clorophyll (U. SPAD) of *Raphanus sativus* L, Days 28, taurine 0 mS of electrical conductivity, *in vivo*

Source	DF	Sum of Squares	Mean Square	F Ratio	Prob > F
Treatments	2	148,02300	74,0115	19,2126	<,0001*
Error	57	219,57700	3,8522		
C. Total	59	367,60000			

Tabla 1631A. Analysis of Variance Oneway Anova, leaf área (mm²) of *Raphanus sativus* L, Days 14, taurine 0 mS of electrical conductivity, *in vivo*

Source	DF	Sum of Squares	Mean Square	F Ratio	Prob > F
Tratamientos	2	3222259,3	1611130	420,3179	<,0001*
Error	57	218487,9	3833		
C. Total	59	3440747,3			

Tabla 1632A. Analysis of Variance Oneway Anova, leaf área (mm²) of *Raphanus sativus* L, Days 28, taurine 0 mS of electrical conductivity, *in vivo*

Source	DF	Sum of Squares	Mean Square	F Ratio	Prob > F
Tratamientos	2	23052692	11526346	309,0137	<,0001*
Error	57	2126125	37300,431		
C. Total	59	25178816			

Tabla 1633A. Analysis of Variance Oneway Anova, leaf fresh weight (mg) of *Raphanus sativus* L, Days 14, taurine 0 mS of electrical conductivity, *in vivo*

Source	DF	Sum of Squares	Mean Square	F Ratio	Prob > F
Tratamientos	2	103770,88	51885,4	185,6495	<,0001*
Error	57	15930,40	279,5		
C. Total	59	119701,28			

Tabla 1634A. Analysis of Variance Oneway Anova, leaf fresh weight (mg) of *Raphanus sativus* L, Days 28, taurine 0 mS of electrical conductivity, *in vivo*

Source	DF	Sum of Squares	Mean Square	F Ratio	Prob > F
Tratamientos	2	1228488,4	614244	417,0840	<,0001*
Error	57	83944,5	1473		
C. Total	59	1312433,0			

Tabla 1635A. Analysis of Variance Oneway Anova, stem fresh weight (mg) of *Raphanus sativus* L, Days 14, taurine 0 mS of electrical conductivity, *in vivo*

Source	DF	Sum of Squares	Mean Square	F Ratio	Prob > F
Tratamientos	2	17546,065	8773,03	155,3343	<,0001*
Error	57	3219,268	56,48		
C. Total	59	20765,333			

Tabla 1636A. Analysis of Variance Oneway Anova, stem fresh weight (mg) of *Raphanus sativus* L, Days 28, taurine 0 mS of electrical conductivity, *in vivo*

Source	DF	Sum of Squares	Mean Square	F Ratio	Prob > F
Tratamientos	2	76330,50	38165,3	43,5768	<,0001*
Error	57	49921,48	875,8		
C. Total	59	126251,98			

Tabla 1637A. Analysis of Variance Oneway Anova, roots fresh weight (mg) of *Raphanus sativus* L, Days 14, taurine 0 mS of electrical conductivity, *in vivo*

Source	DF	Sum of Squares	Mean Square	F Ratio	Prob > F
Tratamientos	2	3799,9000	1899,95	232,4672	<,0001*
Error	57	465,8600	8,17		
C. Total	59	4265,7600			

Tabla 1638A. Analysis of Variance Oneway Anova, roots fresh weight (mg) of *Raphanus sativus* L, Days 28, taurine 0 mS of electrical conductivity, *in vivo*

Source	DF	Sum of Squares	Mean Square	F Ratio	Prob > F
Tratamientos	2	245385,72	122693	101,2504	<,0001*
Error	57	69071,26	1212		
C. Total	59	314456,98			

Tabla 1639A. Analysis of Variance Oneway Anova, leaf dry weight (mg) of *Raphanus sativus* L, Days 14, taurine 0 mS of electrical conductivity, *in vivo*

Source	DF	Sum of Squares	Mean Square	F Ratio	Prob > F
Tratamientos	2	1379,2840	689,642	37,4773	<,0001*
Error	57	1048,8900	18,402		
C. Total	59	2428,1740			

Tabla 1640A. Analysis of Variance Oneway Anova, leaf dry weight (mg) of *Raphanus sativus* L, Days 28, taurine 0 mS of electrical conductivity, *in vivo*

Source	DF	Sum of Squares	Mean Square	F Ratio	Prob > F
Tratamientos	2	16552,172	8276,09	91,4087	<,0001*
Error	57	5160,747	90,54		
C. Total	59	21712,919			

Tabla 1641A. Analysis of Variance Oneway Anova, stem dry weight (mg) of *Raphanus sativus* L, Days 28, taurine 0 mS of electrical conductivity, *in vivo*

Source	DF	Sum of Squares	Mean Square	F Ratio	Prob > F
Tratamientos	2	991,7640	495,882	113,7335	<,0001*
Error	57	248,5220	4,360		
C. Total	59	1240,2860			

Tabla 1642A. Analysis of Variance Oneway Anova, stem dry weight (mg) of *Raphanus sativus* L, Days 28, taurine 0 mS of electrical conductivity, *in vivo*

Source	DF	Sum of Squares	Mean Square	F Ratio	Prob > F
Tratamientos	2	1825,0303	912,515	16,2273	<,0001*
Error	57	3205,2990	56,233		
C. Total	59	5030,3293			

Tabla 1643A. Analysis of Variance Oneway Anova, roots dry weight (mg) of *Raphanus sativus* L, Days 28, taurine 0 mS of electrical conductivity, *in vivo*

Source	DF	Sum of Squares	Mean Square	F Ratio	Prob > F
Tratamientos	2	171,87600	85,9380	28,1920	<,0001*
Error	57	173,75400	3,0483		
C. Total	59	345,63000			

Tabla 1644A. Analysis of Variance Oneway Anova, roots dry weight (mg) of *Raphanus sativus* L, Days 28, taurine 0 mS of electrical conductivity, *in vivo*

Source	DF	Sum of Squares	Mean Square	F Ratio	Prob > F
Tratamientos	2	3346,5143	1673,26	61,3973	<,0001*
Error	57	1553,4190	27,25		
C. Total	59	4899,9333			

Tabla 1645A. Analysis of Variance Oneway Anova on Length stem (mm) of *Raphanus sativus* L, Days 7, taurine 2,5 mS of electrical conductivity, *in vivo*

Source	DF	Sum of Squares	Mean Square	F Ratio	Prob > F
Treatments	2	3935,0333	1967,52	134,8019	<,0001*
Error	57	831,9500	14,60		
C. Total	59	4766,9833			

Tabla 1646A. Analysis of Variance Oneway Anova on Length stem (mm) of *Raphanus sativus* L, Days 14, taurine 2,5 mS of electrical conductivity, *in vivo*

Source	DF	Sum of Squares	Mean Square	F Ratio	Prob > F
Treatments	2	1310,4000	655,200	52,8836	<,0001*
Error	57	706,2000	12,389		
C. Total	59	2016,6000			

Tabla 1647A. Analysis of Variance Oneway Anova on Length stem (mm) of *Raphanus sativus* L, Days 21 taurine 2,5 mS of electrical conductivity, *in vivo*

Source	DF	Sum of Squares	Mean Square	F Ratio	Prob > F
Treatments	2	2113,3000	1056,65	123,9026	<,0001*
Error	57	486,1000	8,53		
C. Total	59	2599,4000			

Tabla 1648 A. Analysis of Variance Oneway Anova on Length stem (mm) of *Raphanus sativus* L, Days 28, taurine 2,5 mS of electrical conductivity, *in vivo*

Source	DF	Sum of Squares	Mean Square	F Ratio	Prob > F
Treatments	2	3855,6333	1927,82	133,2673	<,0001*
Error	57	824,5500	14,47		
C. Total	59	4680,1833			

Tabla 1649A. Analysis of Variance Oneway Anova on Length roots (mm) of *Raphanus sativus* L, Days 14, taurine 2,5 mS of electrical conductivity, *in vivo*

Source	DF	Sum of Squares	Mean Square	F Ratio	Prob > F
Tratamientos	2	2672,1333	1336,07	115,3526	<,0001*
Error	57	660,2000	11,58		
C. Total	59	3332,3333			

Tabla 1650A. Analysis of Variance Oneway Anova on Length roots (mm) of *Raphanus sativus* L, Days 28, taurine 2,5 mS of electrical conductivity, *in vivo*

Source	DF	Sum of Squares	Mean Square	F Ratio	Prob > F
Tratamientos	2	7723,3333	3861,67	316,0755	<,0001*
Error	57	696,4000	12,22		
C. Total	59	8419,7333			

Tabla 1651A. Analysis of Variance Oneway Anova, N° Leaves of *Raphanus sativus* L, Days 7, taurine 2,5 mS of electrical conductivity, *in vivo*

Source	DF	Sum of Squares	Mean Square	F Ratio	Prob > F
Treatments	2	0	0		
Error	57	0	0		
C. Total	59	0			

Tabla 1652A. Analysis of Variance Oneway Anova, N° Leaves of *Raphanus sativus* L, Days 14, taurine 2,5 mS of electrical conductivity, *in vivo*

Source	DF	Sum of Squares	Mean Square	F Ratio	Prob > F
Treatments	2	14,800000	7,40000	36,3621	<,0001*
Error	57	11,600000	0,20351		
C. Total	59	26,400000			

Tabla 1653A. Analysis of Variance Oneway Anova, N° Leaves of *Raphanus sativus* L, Days 21, taurine 2,5 mS of electrical conductivity, *in vivo*

Source	DF	Sum of Squares	Mean Square	F Ratio	Prob > F
Treatments	2	16,133333	8,06667	39,6379	<,0001*
Error	57	11,600000	0,20351		
C. Total	59	27,733333			

Tabla 1654A. Analysis of Variance Oneway Anova, N° Leaves of *Raphanus sativus* L, Days 28, taurine 2,5 mS of electrical conductivity, *in vivo*

Source	DF	Sum of Squares	Mean Square	F Ratio	Prob > F
Treatments	2	13,33333	6,6667	-4,3e+16	<,0001*
Error	57	-8,882e-15	-1,6e-16		
C. Total	59	13,33333			

Tabla 1655A. Analysis of Variance Oneway Anova, Clorophyll (U. SPAD) of *Raphanus sativus* L, Days 14, taurine 2,5 mS of electrical conductivity, *in vivo*

Source	DF	Sum of Squares	Mean Square	F Ratio	Prob > F
Treatments	2	233,22533	116,613	68,2684	<,0001*
Error	57	97,36450	1,708		
C. Total	59	330,58983			

Tabla 1656A. Analysis of Variance Oneway Anova, Clorophyll (U. SPAD) of *Raphanus sativus* L, Days 21, taurine 2,5 mS of electrical conductivity, *in vivo*

Source	DF	Sum of Squares	Mean Square	F Ratio	Prob > F
Treatments	2	249,44633	124,723	65,1666	<,0001*
Error	57	109,09300	1,914		
C. Total	59	358,53933			

Tabla 1657A. Analysis of Variance Oneway Anova, Clorophyll (U. SPAD) of *Raphanus sativus* L, Days 28, taurine 2,5 mS of electrical conductivity, *in vivo*

Source	DF	Sum of Squares	Mean Square	F Ratio	Prob > F
Treatments	2	266,68233	133,341	72,8885	<,0001*
Error	57	104,27500	1,829		
C. Total	59	370,95733			

Tabla 1658A. Analysis of Variance Oneway Anova, leaf área (mm²) of *Raphanus sativus* L, Days 14, taurine 2,5 mS of electrical conductivity, *in vivo*

Source	DF	Sum of Squares	Mean Square	F Ratio	Prob > F
Tratamientos	2	2891777,7	1445889	593,4566	<,0001*
Error	57	138874,0	2436		
C. Total	59	3030651,7			

Tabla 1659A. Analysis of Variance Oneway Anova, leaf área (mm²) of *Raphanus sativus* L, Days 28, taurine 2,5 mS of electrical conductivity, *in vivo*

Source	DF	Sum of Squares	Mean Square	F Ratio	Prob > F
Tratamientos	2	13102416	6551208	303,5022	<,0001*
Error	57	1230366	21585		
C. Total	59	14332782			

Tabla 1660A. Analysis of Variance Oneway Anova, leaf fresh weight (mg) of *Raphanus sativus* L, Days 14, taurine 2,5 mS of electrical conductivity, *in vivo*

Source	DF	Sum of Squares	Mean Square	F Ratio	Prob > F
Tratamientos	2	144135,24	72067,6	80,6296	<,0001*
Error	57	50947,25	893,8		
C. Total	59	195082,49			

Tabla 1661A. Analysis of Variance Oneway Anova, leaf fresh weight (mg) of *Raphanus sativus* L, Days 28, taurine 2,5 mS of electrical conductivity, *in vivo*

Source	DF	Sum of Squares	Mean Square	F Ratio	Prob > F
Tratamientos	2	298943,49	149472	170,2712	<,0001*
Error	57	50037,17	878		
C. Total	59	348980,66			

Tabla 1662A. Analysis of Variance Oneway Anova, stem fresh weight (mg) of *Raphanus sativus* L, Days 14, taurine 2,5 mS of electrical conductivity, *in vivo*

Source	DF	Sum of Squares	Mean Square	F Ratio	Prob > F
Tratamientos	2	21507,996	10754,0	128,5186	<,0001*
Error	57	4769,564	83,7		
C. Total	59	26277,560			

Tabla 1663A. Analysis of Variance Oneway Anova, stem fresh weight (mg) of *Raphanus sativus* L, Days 28, taurine 2,5 mS of electrical conductivity, *in vivo*

Source	DF	Sum of Squares	Mean Square	F Ratio	Prob > F
Tratamientos	2	61091,279	30545,6	60,4768	<,0001*
Error	57	28789,559	505,1		
C. Total	59	89880,837			

Tabla 1664A. Analysis of Variance Oneway Anova, roots fresh weight (mg) of *Raphanus sativus* L, Days 14, taurine 2,5 mS of electrical conductivity, *in vivo*

Source	DF	Sum of Squares	Mean Square	F Ratio	Prob > F
Tratamientos	2	4856,2613	2428,13	210,6161	<,0001*
Error	57	657,1360	11,53		
C. Total	59	5513,3973			

Tabla 1665A. Analysis of Variance Oneway Anova, roots fresh weight (mg) of *Raphanus sativus* L, Days 28, taurine 2,5 mS of electrical conductivity, *in vivo*

Source	DF	Sum of Squares	Mean Square	F Ratio	Prob > F
Tratamientos	2	123320,63	61660,3	44,8216	<,0001*
Error	57	78413,92	1375,7		
C. Total	59	201734,56			

Tabla 1666A. Analysis of Variance Oneway Anova, leaf dry weight (mg) of *Raphanus sativus* L, Days 14, taurine 2,5 mS of electrical conductivity, *in vivo*

Source	DF	Sum of Squares	Mean Square	F Ratio	Prob > F
Tratamientos	2	1593,5453	796,773	90,0437	<,0001*
Error	57	504,3780	8,849		
C. Total	59	2097,9233			

Tabla 1667A. Analysis of Variance Oneway Anova, leaf dry weight (mg) of *Raphanus sativus* L, Days 28, taurine 2,5 mS of electrical conductivity, *in vivo*

Source	DF	Sum of Squares	Mean Square	F Ratio	Prob > F
Tratamientos	2	15201,849	7600,92	65,3702	<,0001*
Error	57	6627,680	116,28		
C. Total	59	21829,529			

Tabla 1668A. Analysis of Variance Oneway Anova, stem dry weight (mg) of *Raphanus sativus* L, Days 14, taurine 2,5 mS of electrical conductivity, *in vivo*

Source	DF	Sum of Squares	Mean Square	F Ratio	Prob > F
Tratamientos	2	463,0240	231,512	22,7965	<,0001*
Error	57	578,8700	10,156		
C. Total	59	1041,8940			

Tabla 1669A. Analysis of Variance Oneway Anova, stem dry weight (mg) of *Raphanus sativus* L, Days 14, taurine 2,5 mS of electrical conductivity, *in vivo*

Source	DF	Sum of Squares	Mean Square	F Ratio	Prob > F
Tratamientos	2	1778,4809	889,240	37,5006	<,0001*
Error	57	1351,6234	23,713		
C. Total	59	3130,1043			

Tabla 1670A. Analysis of Variance Oneway Anova, roots dry weight (mg) of *Raphanus sativus* L, Days 14, taurine 2,5 mS of electrical conductivity, *in vivo*

Source	DF	Sum of Squares	Mean Square	F Ratio	Prob > F
Tratamientos	2	244,66533	122,333	16,7763	<,0001*
Error	57	415,64400	7,292		
C. Total	59	660,30933			

Tabla 1671A. Analysis of Variance Oneway Anova, roots dry weight (mg) of *Raphanus sativus* L, Days 14, taurine 2,5 mS of electrical conductivity, *in vivo*

Source	DF	Sum of Squares	Mean Square	F Ratio	Prob > F
Tratamientos	2	2847,7930	1423,90	126,8830	<,0001*
Error	57	639,6610	11,22		
C. Total	59	3487,4540			

Tabla 1672A. Analysis of Variance Oneway Anova, N° leaf of *Raphanus sativus* L, Days 7, taurine 5 mS of electrical conductivity, *in vivo*

Source	DF	Sum of Squares	Mean Square	F Ratio	Prob > F
Treatments	2	0	0		
Error	57	0	0		
C. Total	59	0			

Tabla 1673A. Analysis of Variance Oneway Anova, N° leaf of *Raphanus sativus* L, Days 14, taurine 5 mS of electrical conductivity, *in vivo*

Source	DF	Sum of Squares	Mean Square	F Ratio	Prob > F
Treatments	2	9,733333	4,86667	13,5648	<,0001*
Error	57	20,450000	0,35877		
C. Total	59	30,183333			

Tabla 1674A. Analysis of Variance Oneway Anova, N° leaf of *Raphanus sativus* L, Days 21, taurine 5 mS of electrical conductivity, *in vivo*

Source	DF	Sum of Squares	Mean Square	F Ratio	Prob > F
Treatments	2	17,100000	8,55000	29,4471	<,0001*
Error	57	16,550000	0,29035		
C. Total	59	33,650000			

Tabla 1675A. Analysis of Variance Oneway Anova, N° leaf of *Raphanus sativus* L, Days 28, taurine 5 mS of electrical conductivity, *in vivo*

Source	DF	Sum of Squares	Mean Square	F Ratio	Prob > F
Treatments	2	14,800000	7,40000	117,1667	<,0001*
Error	57	3,600000	0,06316		
C. Total	59	18,400000			

Tabla 1676A. Analysis of Variance Oneway Anova, legth stem (mm) of *Raphanus sativus* L, Days 7, taurine 5 mS of electrical conductivity, *in vivo*

Source	DF	Sum of Squares	Mean Square	F Ratio	Prob > F
Treatments	2	1277,5000	638,750	61,5689	<,0001*
Error	57	591,3500	10,375		
C. Total	59	1868,8500			

Tabla 1677A. Analysis of Variance Oneway Anova, legth stem (mm) of *Raphanus sativus* L, Days14, taurine 5 mS of electrical conductivity, *in vivo*

Source	DF	Sum of Squares	Mean Square	F Ratio	Prob > F
Treatments	2	1724,0333	862,017	84,6352	<,0001*
Error	57	580,5500	10,185		
C. Total	59	2304,5833			

Tabla 1678A. Analysis of Variance Oneway Anova, legth stem (mm) of *Raphanus sativus* L, Days 21, taurine 5 mS of electrical conductivity, *in vivo*

Source	DF	Sum of Squares	Mean Square	F Ratio	Prob > F
Treatments	2	1459,0333	729,517	9,3614	0,0003*
Error	57	4441,9000	77,928		
C. Total	59	5900,9333			

Tabla 1679A. Analysis of Variance Oneway Anova, legth stem (mm) of *Raphanus sativus* L, Days 28, taurine 5 mS of electrical conductivity, *in vivo*

Source	DF	Sum of Squares	Mean Square	F Ratio	Prob > F
Treatments	2	4483,9000	2241,95	100,3307	<,0001*
Error	57	1273,7000	22,35		
C. Total	59	5757,6000			

Tabla 1680A. Analysis of Variance Oneway Anova, legth roots (mm) of *Raphanus sativus* L, Days 14, taurine 5 mS of electrical conductivity, *in vivo*

Source	DF	Sum of Squares	Mean Square	F Ratio	Prob > F
Tratamientos	2	2507,7000	1253,85	162,4490	<,0001*
Error	57	439,9500	7,72		
C. Total	59	2947,6500			

Tabla 1681A. A. Analysis of Variance Oneway Anova, legth roots (mm) of *Raphanus sativus* L, Days 28, taurine 5 mS of electrical conductivity, *in vivo*

Source	DF	Sum of Squares	Mean Square	F Ratio	Prob > F
Tratamientos	2	9917,433	4958,72	286,6892	<,0001*
Error	57	985,900	17,30		
C. Total	59	10903,333			

Tabla 1682A. Analysis of Variance Oneway Anova, Clorophyll (U. SPAD) of *Raphanus sativus* L, Days 14, taurine 5 mS of electrical conductivity, *in vivo*

Source	DF	Sum of Squares	Mean Square	F Ratio	Prob > F
Treatments	2	596,99233	298,496	113,4233	<,0001*
Error	57	150,00700	2,632		
C. Total	59	746,99933			

Tabla 1683A. Analysis of Variance Oneway Anova, Clorophyll (U. SPAD) of *Raphanus sativus* L, Days 21, taurine 5 mS of electrical conductivity, *in vivo*

Source	DF	Sum of Squares	Mean Square	F Ratio	Prob > F
Treatments	2	298,26300	149,131	36,5225	<,0001*
Error	57	232,74700	4,083		
C. Total	59	531,01000			

Tabla 1684A. Analysis of Variance Oneway Anova, Clorophyll (U. SPAD) of *Raphanus sativus* L, Days 28, taurine 5 mS of electrical conductivity, *in vivo*

Source	DF	Sum of Squares	Mean Square	F Ratio	Prob > F
Treatments	2	228,24100	114,120	26,5554	<,0001*
Error	57	244,95500	4,297		
C. Total	59	473,19600			

Tabla 1685A. Analysis of Variance Oneway Anova, leaf área (mm²) of *Raphanus sativus* L, Days 14, taurine 5 mS of electrical conductivity, *in vivo*

Source	DF	Sum of Squares	Mean Square	F Ratio	Prob > F
Tratamientos	2	2381974,9	1190987	38,3955	<,0001*
Error	57	1768080,0	31019		
C. Total	59	4150054,9			

Tabla 1686A. Analysis of Variance Oneway Anova, leaf área (mm²) of *Raphanus sativus* L, Days 28, taurine 5 mS of electrical conductivity, *in vivo*

Source	DF	Sum of Squares	Mean Square	F Ratio	Prob > F
Tratamientos	2	8592093	4296047	110,9789	<,0001*
Error	57	2206497	38710		
C. Total	59	10798591			

Tabla 1687A. Analysis of Variance Oneway Anova, leaf fresh weight (mg) of *Raphanus sativus* L, Days 14, taurine 5 mS of electrical conductivity, *in vivo*

Source	DF	Sum of Squares	Mean Square	F Ratio	Prob > F
Tratamientos	2	220721,78	110361	388,9292	<,0001*
Error	57	16174,08	284		
C. Total	59	236895,85			

Tabla 1688A. Analysis of Variance Oneway Anova, leaf fresh weight (mg) of *Raphanus sativus* L, Days 28, taurine 5 mS of electrical conductivity, *in vivo*

Source	DF	Sum of Squares	Mean Square	F Ratio	Prob > F
Tratamientos	2	255720,94	127860	64,3703	<,0001*
Error	57	113220,68	1986		
C. Total	59	368941,63			

Tabla 1689A. A. Analysis of Variance Oneway Anova, stem fresh weight (mg) of *Raphanus sativus* L, Days 14, taurine 5 mS of electrical conductivity, *in vivo*

Source	DF	Sum of Squares	Mean Square	F Ratio	Prob > F
Tratamientos	2	23290,245	11645,1	371,2056	<,0001*
Error	57	1788,152	31,4		
C. Total	59	25078,397			

Tabla 1690A. Analysis of Variance Oneway Anova, stem fresh weight (mg) of *Raphanus sativus* L, Days 28, taurine 5 mS of electrical conductivity, *in vivo*

Source	DF	Sum of Squares	Mean Square	F Ratio	Prob > F
Tratamientos	2	33462,116	16731,1	42,3648	<,0001*
Error	57	22510,933	394,9		
C. Total	59	55973,050			

Tabla 1691A. Analysis of Variance Oneway Anova, roots fresh weight (mg) of *Raphanus sativus* L, Days 14, taurine 5 mS of electrical conductivity, *in vivo*

Source	DF	Sum of Squares	Mean Square	F Ratio	Prob > F
Tratamientos	2	5256,8973	2628,45	502,5883	<,0001*
Error	57	298,1000	5,23		
C. Total	59	5554,9973			

Tabla 1692A. Analysis of Variance Oneway Anova, roots fresh weight (mg) of *Raphanus sativus* L, Days 28, taurine 5 mS of electrical conductivity, *in vivo*

Source	DF	Sum of Squares	Mean Square	F Ratio	Prob > F
Tratamientos	2	114150,45	57075,2	144,1728	<,0001*
Error	57	22565,20	395,9		
C. Total	59	136715,65			

Tabla 1693A. Analysis of Variance Oneway Anova, leaf dry weight (mg) of *Raphanus sativus* L, Days 14, taurine 5 mS of electrical conductivity, *in vivo*

Source	DF	Sum of Squares	Mean Square	F Ratio	Prob > F
Tratamientos	2	2023,6413	1011,82	83,6577	<,0001*
Error	57	689,4020	12,09		
C. Total	59	2713,0433			

Tabla 1694A. Analysis of Variance Oneway Anova, leaf dry weight (mg) of *Raphanus sativus* L, Days 28, taurine 5 mS of electrical conductivity, *in vivo*

Source	DF	Sum of Squares	Mean Square	F Ratio	Prob > F
Tratamientos	2	7883,106	3941,55	23,7077	<,0001*
Error	57	9476,600	166,26		
C. Total	59	17359,706			

Tabla 1695A. Analysis of Variance Oneway Anova, stem dry weight (mg) of *Raphanus sativus* L, Days 14, taurine 5 mS of electrical conductivity, *in vivo*

Source	DF	Sum of Squares	Mean Square	F Ratio	Prob > F
Tratamientos	2	387,73333	193,867	34,7917	<,0001*
Error	57	317,61600	5,572		
C. Total	59	705,34933			

Tabla 1696A. Analysis of Variance Oneway Anova, stem dry weight (mg) of *Raphanus sativus* L, Days 28, taurine 5 mS of electrical conductivity, *in vivo*

Source	DF	Sum of Squares	Mean Square	F Ratio	Prob > F
Tratamientos	2	1942,377	971,189	5,7018	0,0055*
Error	57	9708,865	170,331		
C. Total	59	11651,242			

Tabla 1697A. Analysis of Variance Oneway Anova, roots dry weight (mg) of *Raphanus sativus* L, Days 14, taurine 5 mS of electrical conductivity, *in vivo*

Source	DF	Sum of Squares	Mean Square	F Ratio	Prob > F
Tratamientos	2	233,02933	116,515	16,0761	<,0001*
Error	57	413,11800	7,248		
C. Total	59	646,14733			

Tabla 1698A. Analysis of Variance Oneway Anova, roots dry weight (mg) of *Raphanus sativus* L, Days 28, taurine 5 mS of electrical conductivity, *in vivo*

Source	DF	Sum of Squares	Mean Square	F Ratio	Prob > F
Tratamientos	2	2465,4623	1232,73	68,3760	<,0001*
Error	57	1027,6370	18,03		
C. Total	59	3493,0993			

Anexo 23. Figuras de actividades realizadas



FIG. 1A. Desinfección del material de laboratorio



FIG. 2A. Preparación de soluciones Stock

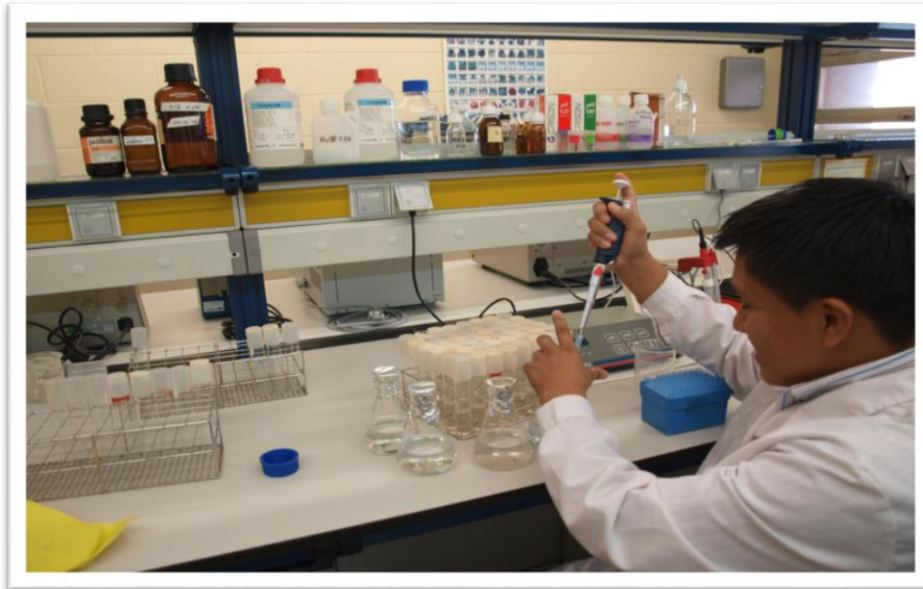


FIG. 3A. Preparación de medio MS (MURASHIGE Y SKOOG, 1962)

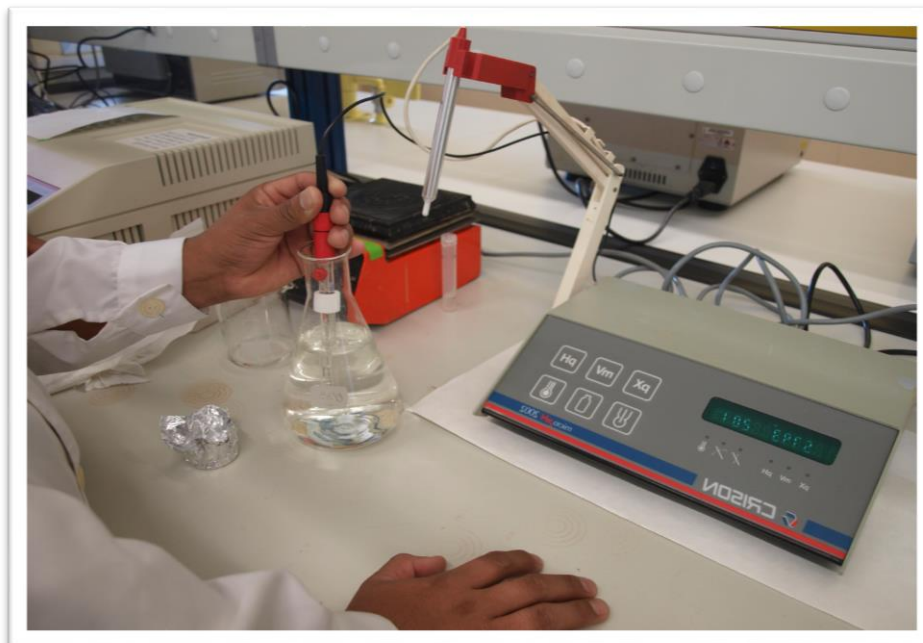


FIG. 4A. Control del pH del medio MS (MURASHIGE Y SKOOG, 1962)



FIG. 5A. Repartición del medio MS.

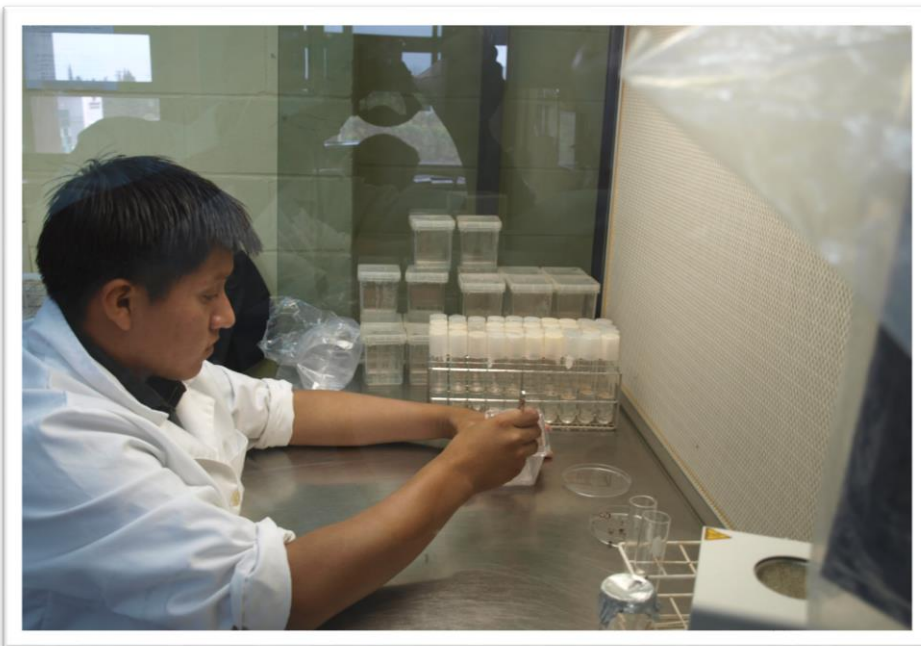


FIG. 6A. Siembra *in vitro*

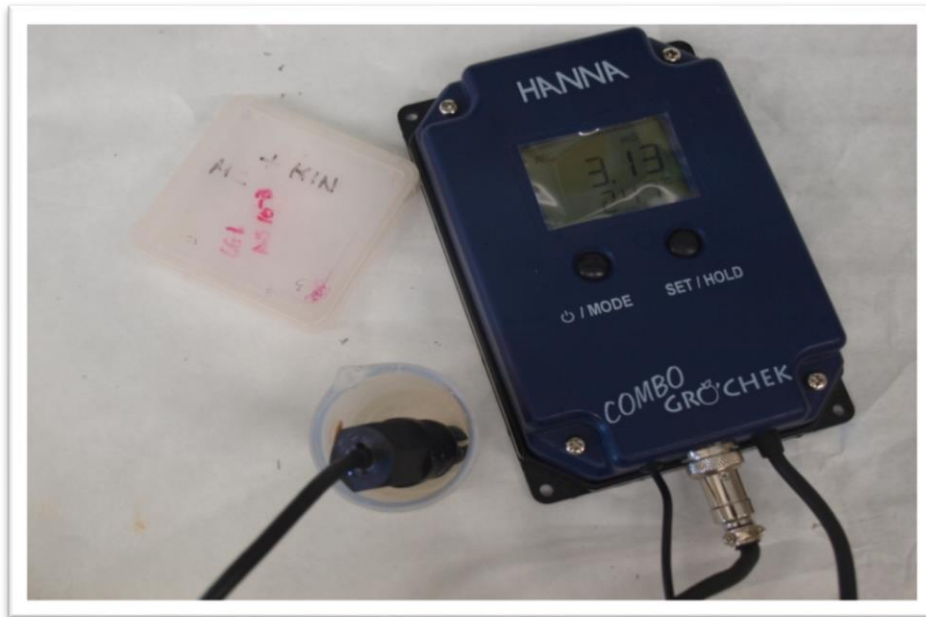


FIG. 7A. Control de conductividad eléctrica



FIG. 8 A. Cultivo en cámara desarrollo de explantos



FIG. 9 A. Control de desarrollo de los explantos

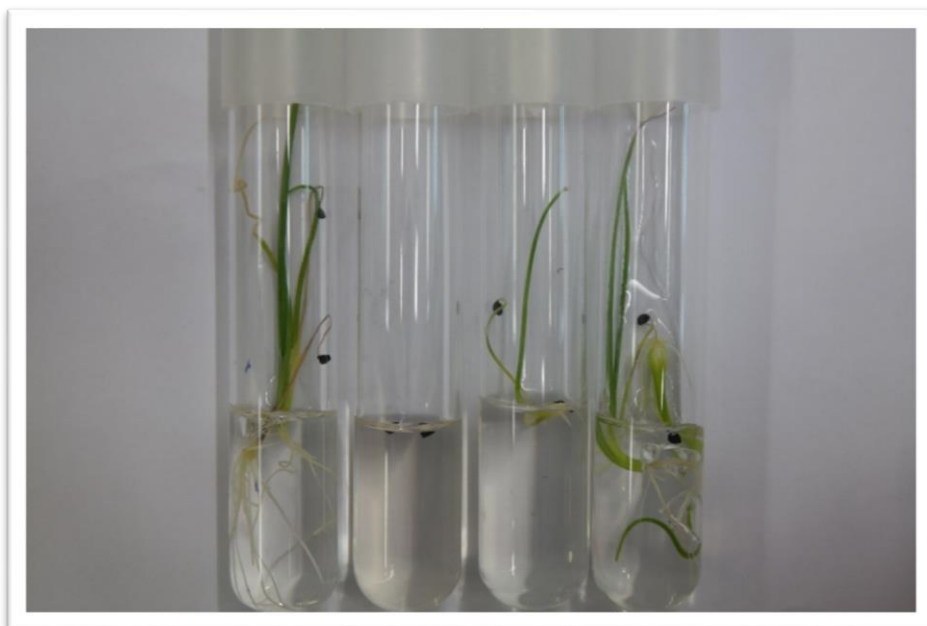


FIG. 10A. Desarrollo de explantos de cebolla



FIG. 11A. Llenado de bandejas germinadoras



FIG. 12A. Plantas de berenjena cultivadas *in vivo*.